

**ACADEMIA ROMÂNĂ**  
**INSTITUTUL DE ARHEOLOGIE „VASILE PÂRVAN”**

**MATERIALE**  
**ȘI**  
**CERCETĂRI**  
**ARHEOLOGICE**

**SERIE NOUĂ**  
**IX**

**2013**



**EDITURA ACADEMIEI ROMÂNE**  
**BUCUREȘTI, 2013**

## **Colegiul de redacție**

**PROF. DR. ALEXANDRU BARNEA** (Universitatea București), **DR. SANDA BALESCU** (Université des Sciences et Technologies de Lille, Laboratoire de Préhistoire et Quaternaire, CNRS), **PROF. DR. CLIVE BONSALL** (University of Edinburgh), **PROF. DR. NIKOLAUS BOROFFKA** (Deutsches Archäologisches Institut – Eurasien Abteilung, Berlin, Germany), **DR. GH. I. CANTACUZINO** (Institutul de „Arheologie Vasile Pârvan” București), **DR. UWE FIEDLER** (Berlin), **DR. RADU HARHOIU** (Institutul de Arheologie „Vasile Pârvan” București), **DR. ANNIE RENOUX** (Université du Maine, Le Mans), **PROF. DR. ERIK TRINKAUS** (Department of Anthropology, Washington University), **PROF. DR. ALAIN TUFFREAU** (Université des Sciences et Technologies de Lille, Laboratoire de Préhistoire et Quaternaire), **ACAD. ALEXANDRU VULPE** (Institutul de Arheologie „Vasile Pârvan” București).

## **Comitetul de redacție**

**ROXANA DOBRESU** – redactor-șef

**ADRIAN IONIȚĂ** – redactor-șef adjunct

**IRINA ACHIM, ADINA BORONEANȚ, ADRIAN DOBOȘ, LIANA OȚA, ADRIANA PANAITE, DANIEL SPÂNU, VLAD VINTILĂ ZIRRA** – membri

**LILIANA ZAHARIA** – secretar de redacție

Redactor Editura Academiei Române: **ADRIAN MIRCEA DOBRE**

Tehnoredactor Editura Academiei Române: **DOINA STOIA**

Revista se poate procura contracost la sediul EDITURII ACADEMIEI ROMÂNE, Calea 13 Septembrie nr. 13, sector 5, 050711, București, România; tel. 4021-318 8146, 4021-318 8106, Fax 4021-318 2444, e-mail: [edacad@ear.ro](mailto:edacad@ear.ro).

ORION PRESS IMPEX 2000 S.R.L., P.O. Box 77-19, sector 3, București, România, Tel./Fax: 4021-610 6765, 4021-210 6787, Tel.: 0311 044 668, e-mail: [office@orionpress.ro](mailto:office@orionpress.ro).

S.C. MANPRES DISTRIBUTION S.R.L., Piața Presei Libere, nr. 1, Corp B, Etaj 3, Cam. 301–302, sector 1, București, România, tel./fax: (4021) 314 6339, e-mail: [abonamente@manpres.ro](mailto:abonamente@manpres.ro), [office@manpres.ro](mailto:office@manpres.ro), [www.romanianjournals.com](http://www.romanianjournals.com).

DEREX COM S.R.L., e-mail: [derex\\_com@yahoo.com](mailto:derex_com@yahoo.com)

Orice corespondență se va trimite Colegiului de redacție pe adresa: str. Henri Coandă 11, 010667 București, tel./fax 4021 212 88 62. și [redactie\\_iab@yahoo.com](mailto:redactie_iab@yahoo.com)

Normele de redactare a manuscriselor și lista abrevierilor folosite în revistă sunt în general aceleași ca în celelalte publicații ale Institutului de Arheologie. În măsura în care vom elabora alte norme, ne obligăm să le publicăm în numărul următor.

© 2013, EDITURA ACADEMIEI ROMÂNE

## SUMAR

ALAIN TUFFREAU, ROXANA DOBRESU, SANDA BALESCU, MĂDĂLIN CORNEL VĂLEANU, Boinești (département de Satu-Mare), Moustérien, Aurignacien et processus taphonomiques .....	7
ALEXANDRU CIORNEI, Petrografia silicolitelor din siturile Paleoliticului superior de pe Valea Dunării. Caracteristici și proveniență .....	41
MIHAI GLIGOR, MARIANA ROȘU, CĂLIN ȘUTEU, New Evidence on Burial Practices in Petrești Culture .....	67
CAMELIA-MIRELA VINTILĂ, CARMEN PAVEL, MARIAN NEAGU, Noi aspecte ale plasticii antropomorfe descoperite la Dunărea de Jos.....	83
ALIN FRÎNCULEASA, BIANCA PREDA, OCTAV NEGREA, ANDREI DORIAN SOFICARU, Cercetări arheologice în cimitirul din epoca bronzului târziu de la Câmpina (jud. Prahova) – campaniile 2011 și 2012.....	97
DANIEL SPÂNU, Fibule „de tip hibrid”? .....	145
MIRCEA DABÎCA, Noi cercetări arheologice în partea de sud a cetății Histria. Campaniile 2003–2009 .....	157
ALEXANDRU BĂDESCU – Amfore orientale de tip Kapitän II descoperite la <i>Histria</i> în Sectorul <i>Basilica extra muros</i> .....	189
ANNAMARIA DIANA, MIHAI MEȘTER, Meeting an Early Medieval Community: A Preliminary Analysis of the Human Skeletal Remains from the Jucu Cemetery (Cluj-Napoca, Romania) .....	3; ;
BOGDAN CIUPERCĂ, ANDREI MĂGUREANU, EUGEN PAVELEȚ, DORIN SÂRBU, Cercetări arheologice în Curtea Domnească de la Târgșoru Vechi .....	219
RADU-ALEXANDRU DRAGOMAN, MIHAI FLOREA, Preambul la o cercetare arheologică a fostei colonii de muncă forțată din perioada comunistă de la Poarta Albă, România.....	231

## RECENZII

Laurent Carozza, Cătălin Bem, Cristian Micu (eds.), <i>Société et environnement dans la zone du Bas Danube durant le 5<sup>ème</sup> millénaire avant notre ère</i> , Editura Universității „Alexandru Ioan Cuza”, Iași, 2011, 413 p. (Cristian Eduard Ștefan) .....	243
<b>Abrevieri</b> .....	245





## SOMMAIRE

ALAIN TUFFREAU, ROXANA DOBRESU, SANDA BALESCU, MĂDĂLIN CORNEL VĂLEANU, Boinești (département de Satu-Mare), Moustérien, Aurignacien et processus taphonomiques .....	7
ALEXANDRU CIORNEI, Petrografia silicolitelor din siturile Paleoliticului superior de pe Valea Dunării. Caracteristici și proveniență.....	41
MIHAI GLIGOR, MARIANA ROȘU, CĂLIN ȘUTEU, New Evidence on Burial Practices in Petrești Culture .....	67
CAMELIA-MIRELA VINTILĂ, CARMEN PAVEL, MARIAN NEAGU, Several antropomorphic figurines found during the excavations on the Vidra tell .....	83
ALIN FRÎNCULEASA, BIANCA PREDA, OCTAV NEGREA, ANDREI DORIAN SOFICARU, Archaeological research in the Bronze Age cemetery at Câmpina (Prahova county) – campaigns 2011 și 2012.....	97
DANIEL SPÂNU, Fibule „de tip hibrid”? .....	145
MIRCEA DABÎCA, Les principaux résultats des fouilles menées entre 2003 et 2009 à Histria, dans le périmètre du Secteur sud .....	157
ALEXANDRU BĂDESCU – Amphoras Kapitän II discovered at Histria, in extra muros Basilica .....	189
ANNAMARIA DIANA, MIHAI MEȘTER, Meeting an Early Medieval Community: A Preliminary Analysis of the Human Skeletal Remains from the Jucu Cemetery (Cluj-Napoca, Romania) .....	3; ;
BOGDAN CIUPERCĂ, ANDREI MĂGUREANU, EUGEN PAVELEȚ, DORIN SÂRBU, Archaeological research Cercetări arheologice în Curtea Domnească de la Târgșoru Vechi.....	219
RADU-ALEXANDRU DRAGOMAN, MIHAI FLOREA, Preamble of planned archaeological research in the former forced labor camp from the communist period at Poarta Albă, Romania .....	231

## COMPTE-RENDUS

Laurent Carozza, Cătălin Bem, Cristian Micu (eds.), <i>Société et environnement dans la zone du Bas Danube durant le 5<sup>ème</sup> millénaire avant notre ère</i> , Editura Universității “Alexandru Ioan Cuza”, Iași, 2011, 413 p. ( <i>Cristian Eduard Ștefan</i> ) .....	243
<b>Abréviations</b> .....	245

# Boinești (département de Satu Mare) : Moustérien, Aurignacien et processus taphonomiques

ALAIN TUFFREAU\*, ROXANA DOBRESKU\*\*, SANDA BALESU\*,  
MĂDĂLIN CORNEL VĂLEANU \*\*\*

**Keywords:** Middle Palaeolithic, Aurignacian, IRSL sediment dating, taphonomy, Romania

**Abstract:** During the new excavations at Boinesti (2005–2006), Middle Palaeolithic and Aurignacian artefacts have been discovered within the loessic deposits. Three archaeological units (D, C1, C) have been identified. The raw material is varied. IRSL dating of these loessic deposits indicates that the Mousterian material (unit D) belongs to MIS 3 and that the Aurignacian material (units C1 and C) has been reworked during the Holocene. During this reworking episode, the Mousterian artefacts from the lower loessic deposit have been incorporated within the Aurignacian units (C and C1). Refittings of the pieces coming from different archaeological units confirm this interpretation.

**Cuvinte-cheie:** Paleolitic Mijlociu, Aurignacian, datare IRSL pe sediment, tafonomie, România.

**Rezumat:** În timpul săpăturilor de la Boinesti (2005–2006), au fost descoperite în depozitele loessoide, artefacte de tip Paleolitic Mijlociu și Aurignacian. Au fost identificate trei unități arheologice (D, C1, C). Materia primă este variată. Datările prin metoda IRSL a depozitelor loessoide arată că materialul Musterian (unitatea D) aparține unei faze târzii a MIS 3 și că materialul Aurignacian (unitățile C1 și C) a fost remaniat în Holocen. În timpul acestui episod de remaniere, piese musteriene din depozitul inferior au fost încorporate în unitățile aurignaciene (C și C1). Această interpretare este confirmată de remontajele efectuate cu piese provenind din diferitele unități arheologice.

## 1. INTRODUCTION

Le gisement paléolithique se situe dans le bassin de l'Oaş (département de Satu Mare) à l'endroit le plus élevé d'un éperon volcanique (Coasta Boinesti), orienté sud-ouest nord-est, et domine au sud-est, de

façon abrupte, une petite rivière dénommée Valea Rea (Pl. 1, 1). Le versant opposé, en pente plus douce, présente une couverture limoneuse. L'extrémité nord-est de l'éperon volcanique qui surplombe la rivière Lechincioara est barrée par la levée de terre d'une cité protohistorique.

Le site, propriété de la commune de Bixad dont dépend le village de Boinesti, n'est pas cultivé et sert de lieu de pâturage (Pl. 1, 2).

Le gisement a été découvert en 1957 à l'occasion d'une recherche de terrain effectuée par C.S. Nicolăescu-Plopșor et Elena Covaci (Nicolăescu-Plopșor, Kovács 1959). Le sondage réalisé par les deux chercheurs a permis de découvrir deux niveaux archéologiques qui ont été attribués à un Aurignacien moyen et à un Moustérien final. Des fouilles systématiques ont été effectuées dans les années 1960, 1962, 1967 par Maria Bitiri (1972). La superficie fouillée a été de 250 m<sup>2</sup> (10 sections). Elle a identifié trois niveaux archéologiques: Moustérien tardif, Aurignacien et Gravettien.

Les recherches ont été reprises dans les années 2005–2006 par une équipe mixte, franco-roumaine, dirigée par Alain Tuffreau et Roxana Dobrescu.

Trois niveaux archéologiques, différenciés plus sur base typologique que stratigraphique, ont été reconnus dans une séquence épaisse de 1 m à 1,5 m par M. Bitiri :

– niveau III : Gravettien dans les dépôts de l'horizon A (464 pièces).

\* UMR 8164, bâtiment de Géographie, Université Lille 1 – Sciences et Technologies, F- 59655 Villeneuve d'Ascq cedex, e-mail : alain.tuffreau@univ-lille1.fr, sanda.balescu@univ-lille1.fr

\*\* Institut d'Archéologie « Vasile Pârvan », 11 Rue Henri Coandă, 010667, Bucarest, Roumanie, e-mail : roxana\_dobrescu@yahoo.fr

\*\*\* Complexul Național Muzeal „Moldova” Iași, Piața Ștefan cel Mare și Sfânt nr. 1, Iași, Romania, e-mail: madalinvaleanu@yahoo.com

Les recherches ont été menées dans le cadre d'une collaboration entre la mission archéologique « Le Paléolithique de Roumanie » (Ministère français des Affaires étrangères et européennes) et l'Institut d'Archéologie « Vasile Pârvan ».

– niveau II : Aurignacien dans un limon brunâtre (environ 450 pièces).

– niveau I : Moustérien «tardif» dans des dépôts argileux rougeâtres (environ 200 pièces) qui a été attribué à une phase de transition entre le Paléolithique moyen et le Paléolithique supérieur.

Le matériel aurignacien de Boinești mis au jour lors des fouilles de M. Bitiri a été étudié par R. Dobrescu (2008).

## 2. LA STRATIGRAPHIE

Cinq sondages ont été réalisés en 2005 et 2006 (Pl. 1, 3) à l'endroit le plus haut de l'éperon volcanique près d'une borne topographique (47°53' 56N, 023° 20' 01E, altitude : 216 m).

### 2.1. Sondage B1

D'une superficie de quatre m<sup>2</sup> et d'une profondeur maximale d'un mètre, ce sondage a montré la succession stratigraphique suivante :

1. Sol de surface (ép. max. : 0,30 m) contenant à la partie inférieure, à la limite du dépôt sous-jacent, du matériel lithique (niveau archéologique C).

2. Limon brun jaunâtre foncé (10 YR 4/4 à 4/6), argileux, d'une épaisseur maximale de 0,30 m (niveau archéologique C1), présentant à la partie supérieure un cailloutis diffus de blocs d'andésite (L max. : 0,15 m).

3. Limon brun foncé (7,5 YR 5/6), argileux, observable sur 0,40 m, reposant sur de gros blocs d'andésite constituant le substrat. Ce limon a livré du matériel lithique (niveau archéologique D).

– sondage B2 : superficie : 2 m<sup>2</sup> ; profondeur : 1,3 m. Ce sondage n'a pas livré de matériel archéologique.

1. Sol de surface (ép. max. : 0,30m).

2. Limon brun jaunâtre foncé (10 YR 4/4 à 4/6), argileux, d'une épaisseur maximale de 0,30 m.

3. Limon brun foncé (7,5 YR 5/6), observé sur 0,90 m, argileux, contenant de nombreux fragments d'andésite (L = quelques cm), en partie désagrégés.

– sondage B3 : ce sondage a révélé la présence d'un silt argileux rougeâtre, stérile, remanié probablement lors des anciennes fouilles.

– sondage B4 : d'une superficie de 30 m<sup>2</sup>, ce sondage est celui qui a livré le plus de matériel lithique (488 pièces). Les traces d'une ancienne tranchée, certainement réalisée lors des fouilles de M. Bitiri, ont été reconnues sur plusieurs m<sup>2</sup> (Pl. 2, 1).

1. Sol de surface (ép. max. : 0,30 m) contenant des pièces à la partie inférieure et au sommet du limon sous-jacent (niveau C, matériel aurignacien).

2. Limon brun jaunâtre foncé (10 YR 4/4 à 4/6), d'une épaisseur maximale de 0,25 m, recelant un niveau de pièces lithiques ayant une très faible dispersion verticale ainsi que quelques charbons de bois (niveau C1, aurignacien).

3. Limon fortement argileux, rouge à rouge foncé (2,5 YR 4/6 à 3/6), reconnu sur une profondeur de 0,70 m. La partie supérieure du limon argileux a livré des pièces lithiques (niveau D, paléolithique moyen), séparées de celles du niveau C1 par 0,15 à 0,20 m de sédiment stérile. Un unique éclat a été découvert à une trentaine de centimètres de profondeur dans le limon argileux rouge à rouge foncé. Dans le secteur SE du sondage B4, apparaissent de nombreux blocs d'andésite, en partie désagrégés, enrobés par une matrice argileuse rougeâtre (Pl. 2, 2).

– sondage B5 : d'une superficie de 2 m<sup>2</sup>, ce sondage a révélé une séquence stratigraphique comparable à celle de B2. Ces deux sondages sont ceux dont l'altitude est la moins haute. Quelques pièces ont été trouvées dans la partie supérieure du sondage (niveaux C et C1).

## 3. DATATION IRSL

La méthode de datation IRSL ("*Infrared Stimulated Luminescence*"; Hütt *et al.* 1988) est une forme particulière d'OSL réservée aux feldspaths. Lorsque ces minéraux sont stimulés par des photons du proche-infrarouge ( $\lambda = 880$  nm), ils émettent un signal IRSL qui mesure le temps écoulé depuis leur dépôt ou leur dernière exposition à la lumière solaire.

Les trois échantillons de Boinești (BOIN 2, BOIN 3 et BOIN 4) destinés à la datation IRSL proviennent du sondage B4. L'échantillon BOIN 2 a été prélevé à la base du sol de surface (niveau C). Les échantillons BOIN 3 et BOIN 4 proviennent respectivement, du limon brun jaunâtre renfermant le niveau archéologique C1 et du limon argileux rougeâtre renfermant le niveau D.

La méthode de datation IRSL mise en œuvre repose sur l'analyse du signal IRSL des grains fins de feldspaths alcalins : 4–11  $\mu$ m. La technique utilisée est celle des doses  $\gamma$  additives (MDA) appliquée à des aliquotes multiples. Elle est comparable à celle appliquée par Balescu *et al.* (2003, 2010) aux séquences loessiques de Tuzla et Mircea Vodă en Dobrogea et de Mostiștea dans la Plaine du Danube.

Les aliquotes de grains fins sont irradiées à température ambiante au moyen d'une source  $\gamma$  de

$^{60}\text{Co}$  et sont ensuite préchauffées à 160°C pendant 8 heures, préalablement à la lecture de leurs signaux IRSL. Les contributions des rayonnements externes ( $\alpha$ ,  $\beta$  et  $\gamma$ ) à la dose annuelle (Da) sont calculées à partir des teneurs en U, Th et K du sédiment mesurées par activation neutronique. La teneur en eau estimée correspond à la moyenne entre la teneur en eau actuelle et la teneur à saturation, soit 25% pour BOIN 2 et 3, et 30% pour BOIN 4.

En raison de l'instabilité du signal IRSL des feldspaths (appelée «*fading anormal*») qui se traduit par une perte spontanée de signal au cours du temps et donc une sous-estimation des âges IRSL, les lectures IRSL ont été réalisées deux ans après l'irradiation en laboratoire pour réduire les effets de ce fading anormal (Spooner 1992).

Les âges IRSL reportés dans le tableau 1 sont stratigraphiquement cohérents. L'âge IRSL du loess inférieur (BOIN 4 :  $35 \pm 5$  ka) suggère une mise en place au cours de la Dernière Glaciation (MIS 3) en accord avec les données archéologiques (Moustérien « tardif »). Les âges IRSL du loess supérieur (BOIN 3 : 7,5 ka et BOIN 2 : 4,7 ka) sont par contre sous-estimés par rapport à l'âge supposé sur base des données archéologiques (Aurignacien). Ces données IRSL suggèrent en effet un âge Holocène. Il n'est donc pas exclu que le loess supérieur ait subi un important remaniement à l'Holocène (cf. l'étude taphonomique ci après). Dans ce cas, la sous-estimation de l'âge IRSL serait due à une réexposition des grains à la lumière solaire lors d'un remaniement par ruissellement du dépôt loessique.

Tableau 1  
Résultats de la datation IRSL de la séquence sédimentaire de Boinesti

Echantillon (4–11 $\mu\text{m}$ )	Lithostratigraphie et niveau archéologique	Paléodose De $\pm \sigma$ (Gy)	Dose annuelle Da (Gy/ka)	Age IRSL mesuré $\pm \sigma$ (ka)	Attribution culturelle
BOIN 2	Base du sol de surface (niveau C)	$28,2 \pm 2,8$	$5,96 \pm 0,54$	$4,7 \pm 0,6$	Aurignacien
BOIN 3	Limon brun jaunâtre ou loess supérieur (niveau C1)	$28,7 \pm 1,5$	$3,81 \pm 0,37$	$7,5 \pm 0,8$	Aurignacien
BOIN 4	Limon argileux rougeâtre ou loess inférieur (niveau D)	$96 \pm 13$	$2,74 \pm 0,28$	$35 \pm 5$	Moustérien « tardif »

#### 4. REPARTITION DU MATERIEL LITHIQUE ET OBSERVATIONS TAPHONOMIQUES

Les niveaux C, C1 et D ont été individualisés sans difficultés particulières sur le terrain. La distribution verticale du matériel lithique est comprise entre dix et vingt centimètres pour les niveaux C et D. Elle atteint 30 centimètres pour le niveau C1 en raison d'un épaississement local du limon jaunâtre brun foncé qui comble une dépression orientée dans la direction de la pente du versant. Comme les projections ne recoupent pas perpendiculairement la dépression dont les limites n'étaient pas facilement discernables, la répartition verticale des pièces de C1 se trouve être amplifiée (Pl. 3, 1).

L'orientation du matériel lithique par rapport au nord magnétique a été prise en compte afin d'essayer de mesurer l'impact des facteurs taphonomiques qui ont pu entraîner un déplacement éventuel. Les calculs ont été réalisés à partir de l'enregistrement au tachéomètre électronique des extrémités des pièces présentant une orientation et un pendage déterminables, c'est-à-dire à partir de celles dont la longueur excède 1,5 fois la largeur (Pl. 3, 2).

Les pièces du niveau C présentent des orientations majoritairement ouest à nord, c'est-à-dire en direction de la pente du versant orientée vers le nord-ouest. Un certain nombre de pièces ont des orientations est-ouest.

Les orientations vers le Nord sont moins marquées pour les pièces du niveau D. Les résultats sont cependant nettement différents pour le niveau C1, avec des orientations majoritairement est-ouest et quelques orientations vers le Nord. Ces orientations pourraient correspondre à celle d'une incision qui a pris cette direction.

Il semble donc que le matériel lithique du niveau D a été peu remanié à la différence de ceux des niveaux C1 et C.

Plusieurs remontages ont pu être effectués sur le matériel lithique (description détaillée infra). Plusieurs d'entre eux concernent des pièces provenant de niveaux archéologiques différents ce qui confirme l'existence d'un remaniement des niveaux C1 et C : remontage 1 (six éclats de C1 et 1 éclat de D) et remontage 5 (deux éclats de C, trois éclats et un nucléus de C1, trois éclats de D).

## 5. INTERPRETATION CHRONOSTRATIGRAPHIQUE

La séquence stratigraphique observée à Boinești correspond à une faible couverture limoneuse colmatant une légère dépression près du sommet d'une coulée volcanique. Cette couverture loessique repose sur un substrat d'andésite.

Ce loess piégé dans la dépression, montre une superposition de deux couches, loess inférieur et loess supérieur, qui renferment respectivement un matériel paléolithique moyen et de l'Aurignacien.

Le loess inférieur (niveau D) au sein duquel les pièces lithiques ne sont pas remaniées, a donné un âge IRSL de 35 ka. Il s'agit donc d'un loess récent mis en place au Dernier Glaciaire.

Sa teneur élevée en argile et sa couleur rougeâtre pourrait résulter d'une altération pédogénétique, témoin d'un paléosol interstadiaire (MIS 3) tel qu'on l'observe au sein des séquences loessiques de l'Est et du Sud de la Roumanie.

Le loess supérieur (niveaux C1-C) vraisemblablement déposé au MIS 2, a par contre été remanié (par ruissellement) à l'Holocène. Au cours de cet épisode (contexte plus humide), une partie du loess inférieur (couche D) a également été partiellement remaniée et incorporée au loess supérieur comme l'atteste le mélange de pièces de type paléolithique moyen et aurignaciennes dans le niveau C. Cependant, il n'est pas exclu que certaines d'entre elles fassent partie de l'assemblage aurignacien original car ce type d'industrie lithique peut contenir un certain nombre de pièces de facture moustérienne.

L'hypothèse d'un remaniement postdépositionnel du loess supérieur renfermant les niveaux C1 et C, s'appuie sur les arguments suivants :

- orientation préférentielle et très marquée des pièces dans C1 et C ;
- remontages de pièces D et C1 dans le niveau C1 ainsi que de pièces D, C1 et D dans le niveau C.
- âge IRSL holocène des sédiments loessiques renfermant les niveaux C1 et C.

Le « loess » supérieur renfermant des industries lithiques attribuables au Paléolithique supérieur a vraisemblablement été remanié à l'Holocène, le long du versant. Le loess inférieur colmatant le fond de la dépression, par ailleurs pédogénéisé, semble par contre avoir été mieux protégé.

## 6. LES MATIERES PREMIERES

### 6.1. Les matières premières présentes

Les matières premières observables dans le matériel lithique de Boinești sont très variées.

#### 6.1.1. Roches magmatiques effusives

– *Dacite et andésite* : très altérée. Source probable : les affleurements à proximité du site.

– *Andésite* : Matière première très altérée. Source probable : les affleurements et les alluvions à proximité du site.

– *Obsidienne* : source probable de la région d'Orașu Nou ou d'Apa.

– *Roches non différenciées résultant de la solidification de la lave* : structure fine à texture fluide, avec des inclusions de matériel consolidé ou d'aspect de bréchiforme. Source probable : les affleurements et les alluvions à proximité du site.

– *Roches indéterminables très fines* : couleur noire, structure fine fluide, cassure conchoïdale. Une pièce présente des altérations secondaires sous la forme des taches plus claires.

#### 6.1.2. Roches métamorphiques

– *Quartzite* : couleur blanche laiteuse, à fissures qui présentent une oxydation secondaire, ou de couleur brune rougeâtre. Source probable : les alluvions du lit majeur de la rivière Someș.

#### 6.1.3. Roches sédimentaires

Les roches sédimentaires constituent la catégorie la plus abondante de l'échantillon.

– *Roches clastiques ou détritiques*

*Grès* : présence d'un grès constitué principalement par des granules de quartz légèrement roulés. Couleur vert très clair ou couleur brunâtre due à une oxydation secondaire. Des galets roulés, ramassés dans les alluvions du lit majeur de la rivière Someș, ont été utilisés.

– *Marne siliceuse* : type de marne très fine, de couleur brune jaunâtre, relativement dure. On la trouve en abondance dans les alluvions du lit majeur de la rivière Someș.

*Roches sédimentaires d'origine chimique*

*Silex* : abondant sous la forme des galets dans les alluvions du lit majeur de la rivière Someș. Il comprend plusieurs variétés.

– *Silex de couleur noir intense, légèrement translucide ou opaque, à cassure conchoïdale.* Certaines pièces présentent des traces de roulement. D'autres présentent des plages de cortex ou des zones avec des inclusions calcaires.

– *Silex de couleur gris foncé.* Il est en général translucide et présente une cassure conchoïdale typique. Certaines pièces présentent des traces de roulement.

– *Silex jaunâtre, translucide, à cassure conchoïdale typique.*

– *Autres variétés plus faiblement représentées : bleuâtre translucide, vert blanchâtre légèrement translucide.*

*Silicolites stratifiées de type jaspe et radiolarite* : un affleurement de silicolites stratifiés, macroscopiquement identiques à celles qui sont présentes dans le matériel lithique de Boinesti a été découvert à 10 km vers le sud, à proximité du village de Racșa Vii. Il s'agit de jaspes et de radiolarites, avec une large variété texturale et une palette de couleurs assez diversifiée (blanc, jaune, rouge, jusqu'au noir). Ces roches sont présentes dans les formations d'âge Jurassique moyen – Eocène. La couleur prédominante est représentée par le rouge et le brun jaunâtre, à la suite d'une altération résultant de la circulation de l'eau. Les roches qui ont été utilisées sont à forte teneur de silice mais certains fragments contiennent du calcaire.

On a découvert dans le site archéologique de gros fragments non taillés dans lesquels on observe le contact avec la couche calcaire, la stratification et les zones siliceuses à coloration très varié (incolore et translucide jusqu'au rouge intense ou même noir et opaque). La plupart des pièces débitées contient des zones à silice pure ou à haut contenu de silice, d'autres ont un contenu plus réduit de silice. Un matériel pétrographique dur, de couleur brun clair, à haut contenu de silice imprégné dans la masse calcaire fait partie du même groupe lithologique. Une autre source possible d'approvisionnement est constituée par les alluvions du lit majeur de la rivière Someș car certaines pièces présentent des traces de roulement ou des altérations concentriques. Les mêmes alluvions ont constitué la source d'approvisionnement pour les roches de type silicolites stratiformes. Les pièces taillées dans des roches de ce type sont celles qui ont une couleur rouge intense et une cassure conchoïdale. Certaines gardent des traces de roulement ou d'altération spécifique. Pour certaines pièces il n'est possible de déterminer s'il s'agit des silicolites stratiformes (de type jaspe) ou des silex.

*Roches sédimentaires non identifiées* : l'altération de certaines pièces n'a pas pu permettre de les déterminer.

## 6.2. Les sources possibles d'approvisionnement

Des prospections et des collectes d'échantillons ont été effectuées dans les affleurements naturels, les carrières, les ballastières et les alluvions de la rivière afin de mieux comprendre le contexte pétrographique local.

### 6.2.1. Les perlites

Une prospection dans les carrières situés aux abords d'Orașu Nou (Pl. 4), points 8–10) et dans des affleurements naturels (Pl. 4), point 11) ont

permis d'identifier un certain nombre de ces verres d'origine volcanique. Dans la carrière située au sud d'Orașu Nou (Pl. 4, point 10) nous avons identifié une perlite de couleur claire (bleu clair), de dureté moins importante (Pl. 5, n° 1–3). Elle est associée à des roches comme les bentonites typiques, les bentonites avec des intercalations de perlite (Pl. 5, n° 8–9°) ou des textures vacuolaires etc. On relève aussi la présence d'un petit fragment de pierre ponce (Pl. 6, n° 3). Quelques petits blocs de perlite roulés sont observables dans le lit du ruisseau qui coule à proximité de la carrière. Leur couleur est plus foncée et la dureté plus forte (Pl. 5, n° 10). Un de ces blocs présente une inclusion d'obsidienne (Pl. 5, n° 11).

Des observations comparables ont été faites dans deux autres carrières situées à l'ouest d'Orașu Nou (Pl. 4, points 8–9) et sur le versant sud de la colline, dans un affleurement naturel (Pl. 4, point 11). La même composition pétrographique est similaire avec quelques petites différences (Pl. 5, n° 6–7).

### 6.2.2. L'obsidienne

Les recherches effectuées n'ont pas mis en évidence l'existence de l'obsidienne, mais les échantillons de perlites trouvés dans la première carrière (Pl. 5, n° 10–11), nous indiquent que du point de vue pétro-génétique l'obsidienne peut être locale, dans les dépôts alluvionnaires. Les recherches dans les ballastières ont commencé avec celles situées à l'est du village Drăgușeni (Pl. 4, points 1–3) où on a identifié un large spectre pétrographique de roches. On sait que l'étude pétrographique réalisée dans les années 80 à l'occasion de l'ouverture de la carrière a mentionné la présence de l'obsidienne (information orale communiquée par un ingénieur qui a travaillé dans cette carrière).

### 6.2.3. Les autres roches

Dans la ballastière située au nord du village Apa (Pl. 4, point 6), le silex est présent dans les alluvions, sous la forme des galets de grandes dimensions et couleurs variées (Pl. 6, n° 2).

Une série de roches provenant du corps des bentonites et des perlites ont été trouvées dans les deux ballastières situées à l'est du village Livada (Pl. 4, points 4–5).

Très intéressant est aussi l'affleurement du village Racșa Vii (Pl. 4, point 12) où on a mis en évidence les silicolites stratifiés (Pl. 6, n° 7–9).

Dans les alluvions situées à proximité du site archéologique (Pl. 4, points 13–15) on a trouvé des roches magmatiques du type andésite Pl. 4, points 10–11). Très proche de ces alluvions, à la base de la colline où se trouve le site archéologique, il y a

de nombreuses ouvertures naturelles où on a pu remarquer l'altération de la rhyolithe.

En conclusion, il y a plusieurs sources possibles d'approvisionnement en matières premières. Ainsi, pour les roches magmatiques, les sources probables sont les affleurements à proximité du site (type andésite) ou les zones d'Orașu Nou et Apa (type obsidienne). Les roches métamorphiques (type quartzite) et une partie de celles sédimentaires (grès, marne siliceuse, silex) arrivent de plus loin, des alluvions du lit majeur de la rivière Someș. En ce qui concerne le jaspé, matière première la plus utilisée dans les trois niveaux archéologiques, il arrive soit du lit majeur du Someș, soit de la région Racșa Vii à une dizaine de km vers le sud.

## 7. LES INDUSTRIES LITHIQUES

### 7.1. Niveau C

C'est le niveau le plus riche en pièces lithiques (790 pièces) et en types de matières premières (Pl. 7).

On constate l'exploitation intense du jaspé par rapport aux autres types de matières premières : 51,26% du total des matières premières utilisées dans le niveau C. Puis vient le silex (35,31%). Le jaspé représente 75,86% de l'effectif des nucléus, 48,88% des produits bruts de débitage, 50% des outils. Le silex atteint 13,79% de l'effectif des nucléus, 39,20% des produits bruts de débitage et 41,67% des outils.

Tableau 2

Matières premières et matériel lithique (Niveau C). AR : autres roches. RMI : roches magmatiques indéterminées, RMN : roches magmatiques non différenciées, RSN : roches sédimentaires non précisées, RSS : roches sédimentaires à grand contenu de silice, ND : matière première non déterminée.

Type matière première	Nucléus et frag.	Produits de débitage	Outils, frag.outils et déchets d'outils	Déchets de débitage	Percuteurs	Total
Jaspé	22	197	12	174		405
Silex	4	158	12	105		279
Andésite		8		2		10
AR		3		15		18
Grès		1		2	1	4
Marne siliceuse		2		1		3
Obsidienne		2				2
Quartz					1	1
RMI		2			1	3
RMN	2	14	1	11		28
RSN		3				3
RSS		11			4	15
Tuf volcanique					1	1
ND	1	2		11	4	18

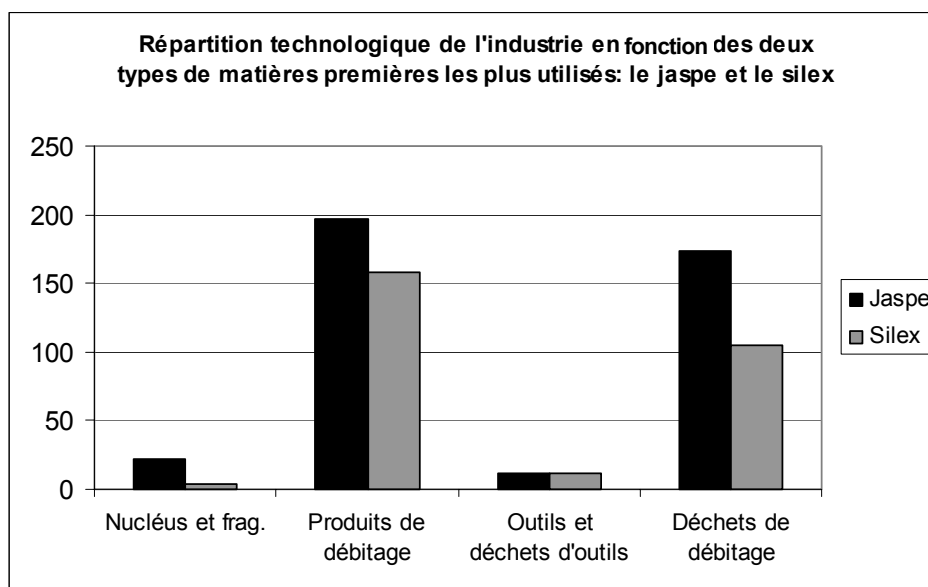


Fig. 1. Répartition technologique des pièces en jaspé et en silex (niveau C).

### 7.1.1. Les nucléus (29)

#### – Les nucléus en jaspe (22)

Ils finissent en débitage de lames (2), de lamelles (4) et d'éclats (16).

#### *La production laminaire*

Un seul nucléus à lames est entier ( $L = 79,4$  mm,  $l$  moy. =  $85,8$  mm, ép. moy. =  $60,3$  mm). Son dos est plat et cortical. Le débitage, de type frontal, se déroule à partir d'un plan de frappe de type lisse. Le bloc est fissuré. On a observé des réfléchissements importants résultant des tentatives de réaménagement du dos, des flancs et du plan de frappe qui ont échoué à cause de la mauvaise qualité de la matière première.

Les nucléus à lamelles (4 dont 1 fragment) ont comme supports un éclat, un galet (les deux autres supports n'ont pas pu être identifiés). Les longueurs se situent dans l'intervalle  $25,15$  mm –  $29,98$  mm, avec une moyenne de  $27,1$  mm. La largeur moyenne est de  $19,6$  mm (intervalle :  $11,6$  mm –  $25,1$  mm) et l'épaisseur moyenne de  $15,6$  mm (intervalle :  $11,6$  mm –  $22$  mm). La préparation a généralement été faite à partir de crêtes latérales. Le débitage se déroule sur une table plate (4) qui est de type large (1) ou étroite (2). En ce qui concerne le dos, les types observés sont plats (2) ou légèrement convexes (1), le dos étant délimité par des arêtes (1) ou des crêtes latérales (1). Les plans de frappe sont lisses (2) ou facettés (2). Un nucléus a un débitage unipolaire, les autres ont un débitage bipolaire. L'angle mesuré avec la table se situe dans la fourchette de  $68^\circ$  –  $89^\circ$ , avec une moyenne de  $81^\circ$ .

Le réaménagement se fait par des néo-crêtes observées sur la base du nucléus (1).

La production suit un rythme frontal (2) ou semi tournant sur les deux flancs (1). Sur le nucléus ayant comme support un éclat, le débitage bipolaire entrecroisé se fait sur la tranche du support avec une surface d'extraction courte et plutôt carénée afin de produire des micro-lamelles (4 négatifs de lamelles).

Dans tous les cas l'abandon est dû à l'épuisement du nucléus (3). Certains nucléus ont été abandonnés à cause de la matière première, les derniers produits étant réfléchis.

#### *La production des éclats*

Au nombre de 16, les nucléus à éclats, qui sont majoritaires, ont une longueur se situant dans l'intervalle  $35$  mm –  $78,1$  mm (moyenne :  $54,2$  mm). La largeur est comprise entre  $25,4$  mm et  $76,6$  mm (moyenne :  $46,3$  mm) et l'épaisseur entre  $18,7$  mm et  $57,9$  mm (moyenne :  $34,4$  mm).

Si l'on prend en compte les nucléus abandonnés dans la phase de préparation, le débitage laminaire

est majoritaire contrairement à ce que pourrait laisser supposer le nombre de nucléus à éclats. En outre, quatre nucléus à éclats présentent des négatifs de préparations typiques pour le débitage laminaire : installation des plans de frappe, utilisation des morphologies naturelles des blocs (dos en dièdre naturels, début d'aménagement des crêtes postéro-latérales ou médianes). Si dans trois cas les tailleurs ont abandonné les blocs à cause de la mauvaise matière première, dans un seul nous ne savons pas quelle en a été la cause (matière première de bonne qualité, plan de frappe installé, dos en dièdre, crête postéro-latérale).

En ce qui concerne le débitage des éclats proprement dit, on constate deux cas différents. Un premier est illustré par des nucléus à un ou plusieurs plans de frappe (arêtes utilisées) avec une production de petits ou gros éclats (production petite : 4 à 6 éclats). Un nucléus présente un débitage bifacial, les arêtes étant utilisées comme plans de frappe. Un deuxième cas (4 pièces) concerne ceux dont le débitage est anarchique avec beaucoup de produits réfléchis.

D'anciens blocs ont aussi été repris dans le but d'en tirer des éclats (4 cas).

En conclusion, on constate que nous avons trois chaînes opératoires : une à lames, une à lamelles et une à éclats.

#### – Les nucléus en silex (4)

Le débitage a été initié sur un éclat (2) un galet (1) ou un rognon (1) et s'achève par la production de lamelles. La longueur se situe dans l'intervalle de  $23,20$  mm –  $40,67$  mm, avec une moyenne de  $33,34$  mm, la largeur dans l'intervalle de  $16,16$  mm –  $44,33$  mm, avec une moyenne de  $31,56$  mm et l'épaisseur dans l'intervalle de  $13,78$  mm –  $25,58$  mm, avec une moyenne de  $20,52$  mm.

Quant à la phase de préparation, nous avons observé sur la deuxième table d'un des nucléus les négatifs d'une crête. Le débitage se déroule sur des tables de type large (2) ou étroite (3), plates (2) ou légèrement arquées (3).

Les types de dos observés peuvent être : plat (1), arrondi cortical (1), convexe (1).

En ce qui concerne les plans de frappe, deux nucléus sont bipolaires, les deux autres n'ayant qu'un seul plan de frappe. Les types de plans de frappe observés sont lisses (4) ou facetté (1). L'angle se situe dans la fourchette de  $48^\circ$  –  $80^\circ$ , avec une moyenne de  $69,5^\circ$ .

La phase de réaménagement a été observée sur un seul nucléus avec des négatifs de néo-crêtes sur les flancs.

La progression du débitage est de type frontal (2), semi-tournant sur un flanc (1), semi tournant



sur les deux flancs (1). On a observé un cas de recyclage d'un nucléus à lames, ayant la taille idéale pour une production lamellaire. Ce nucléus présente un changement de direction. Le nucléus sur éclat a été repris en grattoir caréné.

Dans tous les cas l'abandon est dû à l'épuisement des nucléus. En général, la matière première est de mauvaise qualité comme l'indiquent les derniers produits qui sont réfléchis et les tentatives de réaménagement des nucléus sur les flancs ou la base.

– *Les nucléus en roches magmatiques non différenciées (2)*

*La production laminaire*

Des dimensions moyennes ( $L = 63,5$  mm,  $l = 52$ , mm, ép. = 46, mm), un nucléus a comme support un rognon. Le dos, légèrement convexe, est délimité par deux crêtes latérales qui envahissent le dos. Le débitage se déroule à partir des deux plans de frappe : un facetté ( $81^\circ$ ) et un lisse ( $82^\circ$ ), avec les bords soigneusement préparé. Il y a deux tables, une large et arquée et l'autre étroite et légèrement courbe. La préparation du bloc est faite en crêtes latérales. Les négatifs d'une néo-crête médiane sur la table indiquent un processus de réaménagement.

Le débitage est semi-tournant sur les deux flancs. Il y a un changement du sens du débitage. Le 2<sup>ème</sup> plan de frappe (pour la dernière table) est un enlèvement laminaire sur le flanc. Les derniers produits ont une longueur de 47 mm.

*La production lamellaire*

Elle est attestée par un nucléus de petites dimensions ( $L = 25,7$  mm,  $l = 22$  mm, ép. = 10,2 mm), au dos légèrement concave, délimité par 2 arêtes. Le débitage se déroule sur une table large et arquée. Les deux plans de frappe ont disparus au cours du débitage qui est de type frontal. L'abandon est dû à l'épuisement du nucléus. Les deux extrémités du nucléus ont été retouchées sur le dos.

– *Les nucléus en matière première non déterminée*

Cette catégorie ne comprend qu'un nucléus à lames dont le support est un rognon ( $L = 73,1$  mm,  $l = 65$ , mm, ép. = 36,7 mm). Le dos est concave, la table large et légèrement arquée. Le débitage se déroule principalement à partir d'un plan de frappe de type facetté, avec le bord soigneusement préparé avec un angle de  $71^\circ$ . Le débitage est semi-tournant avec des négatifs de néo-crête sur la table. Un gros réfléchissement indique une tentative de réaménagement du dos qui a échoué. Le débitage a continué sur un flanc. Un débitage bipolaire a ensuite été repris à partir d'une arête.

**7.1.2. Les produits laminaires non retouchés (156)**

– *Les lames (68)*

Tableau 3

Matières premières des lames (niveau C)

Jaspe	37
Silex	26
RMN	2
Andésite	1
marne siliceuse	1
Non déterminé	1
<b>TOTAL</b>	<b>68</b>

*Lames en jaspe (37)*

L'état de conservation est assez mauvais : 1 entière, 16 fragments proximaux, 11 fragments mésiaux, 9 fragments distaux (largeurs de 12,2 mm à 40,2 mm, moyenne : 18,6 mm ; épaisseurs de 2,1 à 28,7 mm, moyenne : 6,4 mm). La seule pièce entière a une longueur de 60,60 mm.

Les lames de petit gabarit sont majoritaires (largeur moy. de 15 mm, épaisseur moy. de 3,7 mm). Les lames qui présentent une régularité moyenne des bords et des nervures prédominent ainsi que celles qui sont légèrement courbes.

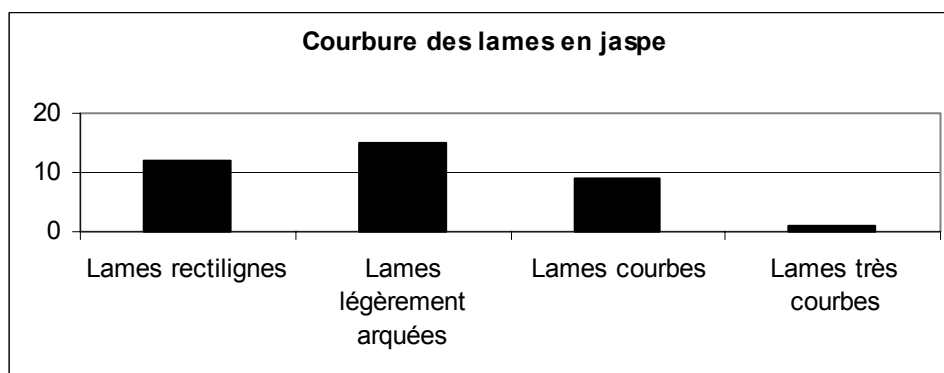


Fig. 2. Courbure des lames en jaspe (niveau C).

Les talons identifiés comprennent une majorité de lisses (10 exemplaires). Les autres sont facettés (2), cortical (1), semi-cortical (1), linéaire (1), ôté (1).

L'épaisseur moyenne du talon est de 4,18 mm. Dans certains cas on constate une abrasion faite

avant le détachement. La percussion directe à la pierre prédomine (12), tandis que celle au percuteur tendre est faiblement représentée (5).

Quant aux phases technologiques, l'on remarque l'absence de celle de préparation.

Tableau 4

Lames en jaspe et phases technologiques (niveau C)

Début du débitage	N°	Plein débitage	N°	Réaménagement	N°
Lame à crête	4	PD table	12	Flanc	5
Sous-crête dorsale	4	PD flanc	10	Table	2

Les lames de section trapézoïdale (43,24%) et celles de section triangulaire (40,54%) prédominent. La plupart des lames qui ont été cassées l'ont été par flexion (54,05%), pendant le débitage (29,72%) tandis que pour les autres on observe les deux types de cassure (au cours du débitage et de l'utilisation).

#### Lames en silex (26)

Elles sont toutes fracturées : 12 fragments proximaux, 6 mésiaux, 8 distaux) avec des largeurs

comprises entre 12,1 et 29,5 mm (moyenne : 17 mm) et des épaisseurs entre 12,1 et 29,5 mm (moyenne ; 5,4 mm).

Les lames en silex sont plus étroites et moins épaisses que celles en jaspe mais les lames de petit gabarit prédominent également (largeur moy. de 14,5 mm, épaisseur moy. de 3 mm) comme celles dont la rectitude est moyenne à légèrement courbe.

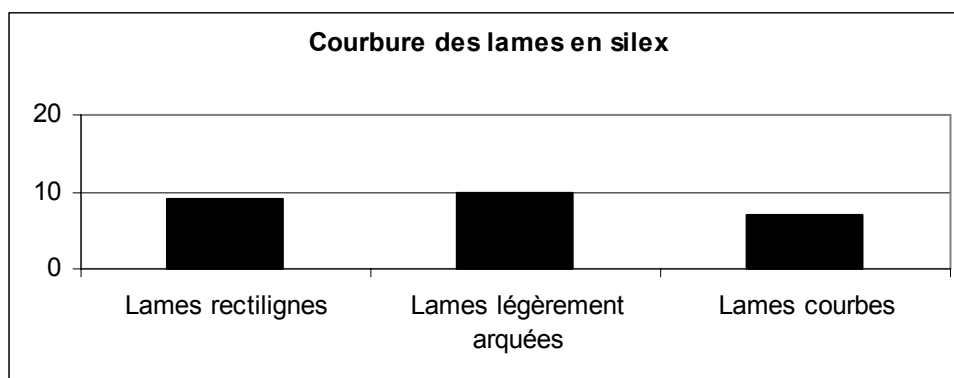


Fig. 3. Courbure des lames en silex (niveau C)

Les talons sont en majorité lisses (8), puis viennent les ôtés (3), un facetté et un lisse. 1 F, 1 linéaire. Leur épaisseur moyenne est de 3,72 mm. Dans certains cas on constate une abrasion faite avant le détachement. Nous avons constaté les deux

types de percussion : directe dure (6) et directe tendre (4).

En ce qui concerne les phases technologiques, on remarque de nouveau que celle de préparation manque. Les lames de plein débitage prédominent.

Tableau 5

Lames en silex et phases technologiques (niveau C)

Début du débitage	N°	Plein débitage	N°	Réaménagement	N°
Lame à crête	1	PD table	14	Flanc	7
		PD flanc	3	Table	1

A la différence des lames en jaspe (section trapézoïdale prédominante), les lames en silex ont surtout une section triangulaire. Les lames à 4 pans sont rares (2). Contrairement aussi aux lames en jaspe, celles en silex, dans leur majorité, se sont fracturées pendant le débitage.

– Les lamelles (88)

Tableau 6

Matières premières des lamelles (niveau C)

Jaspe	33
Silex	51
Obsidienne	1
RMI	1
RMN	2
<b>TOTAL</b>	<b>88</b>

Plus nombreuses que les lames, les lamelles sont majoritairement en silex (57,95 %). L'on remarque dès le début que les lamelles sont plus nombreuses que les lames et que les tailleurs ont préféré le silex pour cette catégorie de support (57,95%).

#### *Lamelles en jaspe (33)*

L'état de conservation est assez mauvais : 1 entière, 12 fragments proximaux, 17 mésiaux, 3 distaux (largeurs de 5,1 à 11,9 mm, moyenne : 9,7 mm ; épaisseurs de 1 à 6,2 mm, moyenne : 3,2 mm). La seule pièce entière a une longueur de 25,8 mm.

Les lamelles qui présentent une régularité moyenne des bords et des nervures prédominent (57,57%). Quant à la rectitude, les lamelles plates et celles légèrement arquées sont majoritaires. Les talons sont lisses (8), facetté (1), punctiformes (3) ou ôté (1). L'épaisseur moyenne du talon est de 1,9 mm. Dans certains cas on constate une abrasion faite avant le détachement. La percussion directe à la pierre dure prédomine.

Comme dans le cas des lames, il n'y a que trois phases technologiques observées, la plupart des supports se situant dans la phase du plein débitage :

Tableau 7  
Lamelles en jaspe et phases technologiques (niveau C)

Début du débitage	N°	Plein débitage	N°	Réaménagement	N°
Sous-crête tabulaire	1	PD table	17	Flanc	3
		PD flanc	9	Table	2
				Néo-crête	1

On observe la nette prédominance des lamelles de section triangulaire (24). Une lamelle témoigne d'un débitage opposé.

La plupart des lamelles ont été cassées pendant le débitage (18).

#### *Lamelles en silex (51)*

L'état de conservation est assez mauvais : 1 entière, 23 fragments proximaux, 22 mésiaux, 5 distaux (largeurs de 3,6 à 11,9 mm, moyenne : 7,6 mm ;

épaisseurs de 0,7 à 6,7 mm, moyenne : 2,2 mm). La seule pièce entière a une longueur de 19,7 mm.

Par rapport aux lamelles en jaspe, les largeurs et les épaisseurs des lamelles en silex correspondent à des pièces moins larges et beaucoup plus fines. En ce qui concerne la régularité des bords et des nervures, les lamelles présentant une régularité moyenne prédominent. Les lamelles légèrement arquées sont les plus nombreuses. Certaines ont une courbure importante et une torsion.

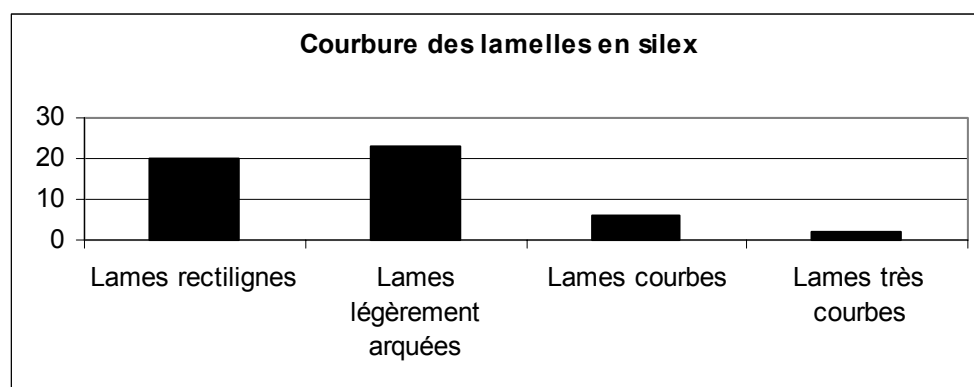


Fig. 4. Courbure des lamelles en silex (niveau C).

Les talons sont lisses (18), facettés (1), punctiformes (4) ou ôté (1). L'épaisseur moyenne du talon est de 1,1 mm. Dans certains cas on constate une abrasion faite avant le détachement. Si l'on compare avec les lamelles en jaspe, celles en silex ont été débitées principalement par percussion directe tendre.

Comme pour les lamelles en jaspe, les mêmes phases technologiques sont présentes les lamelles de plein débitage sont les mieux représentées.

Comme pour celles en jaspe, les lamelles de section triangulaire prédominent. Deux lamelles témoignent d'un débitage opposé.

*Tableau 8*  
Lamelles en silex et phases technologiques (niveau C)

Début du débitage	N°	Plein débitage	N°	Réaménagement	N°
Sous-crête dorsale	1	PD table	30	Flanc	1
Sous-crête tabulaire+dorsale	1	PD flanc	14	table	1
				Néo-crête	3

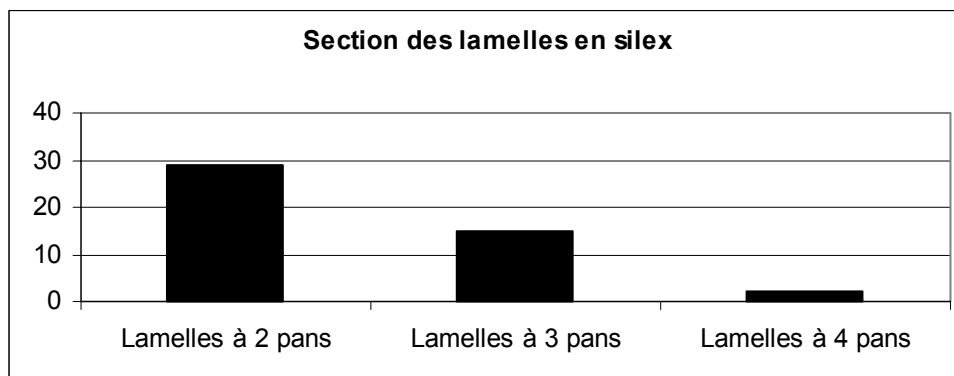


Fig. 5. Section des lamelles en silex (niveau C).

Tandis que les lamelles en jaspe sont cassées essentiellement pendant le débitage, les lamelles en silex ont surtout été fracturées par flexion.

#### 7.1.3. Les éclats non retouchés (247)

Ils présentent une grande variété de matière première avec une prédominance du jaspe suivi par le silex.

*Tableau 9*

Matières premières des éclats non retouchés (niveau C)

Jaspe	127
Silex	81
Andésite	7
AR	3
Grès	1
Marne siliceuse	1
Obsidienne	1
RMI	1
RMN	10
RSN	3
RSS	11
ND	1
<b>TOTAL</b>	<b>247</b>

#### – Les éclats en jaspe (127)

Ils comprennent 14 éclats laminaires. L'état de conservation est assez bon vu avec 74 % de pièces entières : 93 pièces entières, 19 fragments proximaux, 3 fragments mésiaux, 12 fragments distaux. Les longueurs sont comprises entre 11,8 et 81,9 mm (moyenne : 26,5 mm), les largeurs entre 7,2 et 77,9 mm (moyenne : 23,4 mm), les épaisseurs entre 1,5 et 35,4 mm (moyenne : 6,2 mm).

Les éclats présentant du cortex ne sont pas nombreux : 12 ont une plage corticale couvrant entre 10 et 20% de la face supérieure, 6 entre 40 et 60%, 4 entre 80 et 100 %.

Les talons sont assez variés : 3 corticaux, 1 semi-cortical, 2 dièdres, 18 facettés, 2 linéaires, 47 lisses, 31 punctiformes, 8 ôtés. L'épaisseur moyenne du talon est de 4,76 mm. La grande majorité des éclats a été débitée par percussion dure (103 pièces). La percussion au percuteur tendre est présente mais rare. Presque la moitié des éclats sont outrepassés ou réfléchis.

Toutes les phases technologiques sont présentes. La phase de plein débitage prédomine (55,9%), suivie par celle de préparation (33,07%).

*Tableau 10*

Phases technologiques des éclats en jaspe (niveau C)

Préparation	N°	Plein débitage	N°	Réaménagement	N°	Non-déterminé
Eclat cortical	3	PD table	67	flanc	6	1
Eclat de crête	25	PD flanc	4	table	2	
Eclat de préparation (avec des négatives de crête)	14			Néo-crête	1	
				base du nucléus	1	
				tablette	3	

Un éclat est brûlé.

– *Les éclats en silex* (81)

Sur un total de 81, 5 éclats sont laminaires. L'état de conservation est assez bon : 54 entiers, 15 fragments proximaux, 1 mésial et 11 distaux. Les longueurs sont comprises entre 8 et 47 mm (moyenne : 20,7 mm), les largeurs entre 6,3 et

65,4 mm (moyenne : 18,8 mm), les épaisseurs entre 0,7 et 17,6 mm (moyenne : 3,9 mm).

Les éclats corticaux sont peu nombreux : 8 pièces ont entre 10 et 20% de plage corticale, 2 ont 30% et 6 entre 80 et 100%.

Quatre pièces sont des éclats de retouche. Un éclat a été brûlé.

Tableau 11

Phases technologiques des éclats en silex (niveau C)

Préparation	Nbre	Début du débitage	N°	Plein débitage	N°	Réaménagement	N°
Eclat cortical	5	Sous-crête tabulaire	1	PD table	49	Flanc	2
Eclat de crête	11					table	2
Eclat de préparation (avec des négatives de crête)	4					Néo-crête	1
						tablette	3

#### 7.1.4. Les outils (24)

Tableau 12

Décompte des outils (niveau C)

Types d'outils	Nbre	%
grattoirs	7	29,17
lamelles retouchées	4	16,67
lamelles à dos	3	12,5
burins	2	8,34
troncatures	1	4,17
perçoirs	1	4,17
becs	1	4,17
racloirs	3	12,5
pointes de flèche	1	4,17
pièces à retouches	1	4,17
<b>TOTAL</b>	<b>24</b>	

Tableau 13

Outils et matières premières (niveau C)

Type outil	Jaspe	Silex	RMN	Marne siliceuse	Total
<b>Grattoirs sur lame</b>					
Grattoirs en bout de lame	1	1			2
<b>Grattoirs sur éclat/ bloc</b>					
Grattoirs carénés	3		1		4
Rabot	1				1
<b>Lamelles à dos</b>	1	2			3
<b>Lamelles retouchées sur 1 bord</b>		4			4
<b>Burins</b>					
Burins d'axe dièdres	1				1
Burins d'angle sur troncature		1			1
<b>Troncatures</b>	1				1
<b>Perçoirs/ becs</b>	1	1			2
<b>Racloirs</b>	2			1	3
<b>Pointe de flèche</b>		1			1
<b>Pièces à retouches</b>	1				1

*Tableau 14*  
Outils et types de support (niveau C)

Groupe d'outils	Lame	Lamelle	Eclat	Bloc
Grattoirs	2		2	3
Lamelles à dos		3		
Lamelles retouchées		4		
Burins	1		1	
Troncatures	1			
Perçoirs		1		
Becs			1	
Racloirs			3	
Pointes de flèche			1	
Pièces à retouches			1	

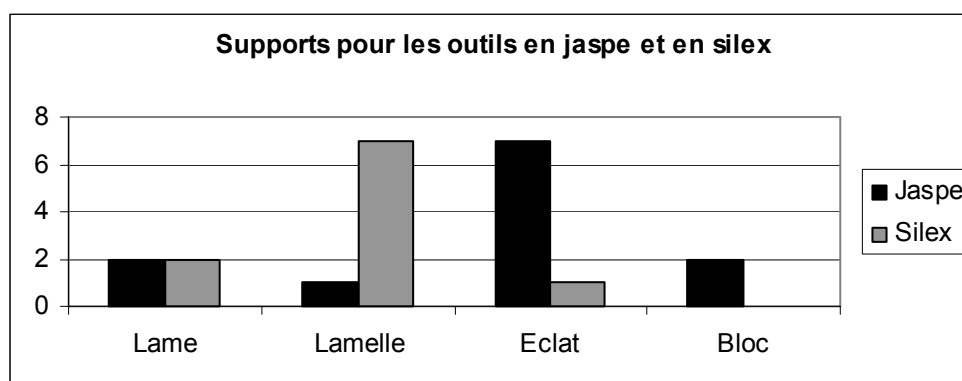


Fig. 6. Supports des outils et matières premières (niveau C).

Si l'on essaie de voir comment les supports d'outils se partagent par types de matière première (jaspe et silex), on observe que les éclats sont préférés pour le jaspe et que les lamelles sont préférées pour le silex.

– *Les outils en jaspe* (12)

Ils représentent la moitié des outils du niveau C.

Au nombre de 5, les grattoirs se répartissent en grattoir en bout de lame (1), grattoir caréné (3) et rabot (1).

Le front, obtenu par un seul étage de retouches (2) ou par deux (3) a une longueur située dans l'intervalle de 14,2 mm et 54,9 mm et une hauteur comprise dans l'intervalle de 7,9 à 32,1 mm. Le front a été obtenu par des retouches convergentes (1) ou non convergentes (4) qui sont de type lamellaire (2), lamellaire et écaillé (2) ou écaillé (1).

Les autres types d'outils en jaspe comprennent une lamelle à dos, un bec, un burin dièdre, une troncature oblique, deux racloirs (dont un est denticulé) et une pièce retouchée. Les outils ont été obtenus par des retouches directes abruptes (3) ou directes semi-abruptes (3).

Parmi les supports, les éclats (7) prédominent, suivis par les éclats laminaires (3) et les blocs (2).

– *Les outils en silex* (10)

Le silex a été utilisé pour des outils plus variés : un grattoir en bout de lame, quatre lamelles retouchées sur un bord, deux lamelles à dos, un perçoir, un burin d'angle sur troncature oblique, une pointe de flèche. Si l'on compare avec les outils en jaspe, on remarque immédiatement une différence au niveau des supports. A une seule exception, ils ont des supports laminaires, principalement des lamelles : sept lamelles et deux lames. Les lamelles ont une largeur moyenne de 6,7 mm et une épaisseur moyenne de 2,7 mm, s'approchant des valeurs moyennes des lamelles brutes. Par contre, les lames sont plus robustes que les supports laminaires bruts (longueur moyenne de 22 mm contre 17 mm et épaisseur moyenne de 8 mm par rapport à 5,4 mm). En ce qui concerne la régularité des bords et des nervures et la courbure des pièces, les supports présentent une bonne régularité, la courbure étant plutôt plate ou légèrement arquée. Tous les supports sont de plein débitage. En section, les supports triangulaires prédominent (5).

Les retouches sont écailleuses et marginales (3), écailleuses et abrupts croisés (3), écailleuses semi-abruptes (2) et bifaciales (pointe de flèche).

– *Les outils en autres types de matière première* (2)

Il s'agit d'un grattoir caréné en RMN et d'un racloir convergent en marne siliceuse. Le grattoir a comme support un bloc (52,9 mm/ 41,9 mm/ 23,3 mm) avec un front dégagé par des retouches semi-convergentes de type lamellaire et écailleux. Le racloir est obtenu par des retouches écailleuses

directes et abruptes. On remarque la présence des deux chutes de burin en silex.

## 7.2. Niveau C1

Le niveau C1 est moins riche en pièces lithiques (363) mais on relève la même diversité de matières premières que pour le niveau C (Pl. 8).

Tableau 15  
Matières premières et matériel lithique (Niveau C1)

Type matière première	Nucléus et fragments	Produits de débitage	Outils, fragments outils, déchets d'outils	Déchets de débitage	Total
Jaspe	18	124	7	69	218
Silex		73	4	17	94
Andésite		7		3	10
AR		1			1
Grès		1			1
Marne siliceuse		2			2
Obsidienne		1			1
Quartz		1			1
RMI		1			1
RMN		14	1		15
RSN		1			1
RSS		1			1
ND	1	7		8	16

### 7.2.1. Les nucléus (17)

– *Les nucléus en jaspe* (16)

Ils comprennent des nucléus laminaires (10) et des nucléus à éclats (6).

*Nucléus à lames* (4)

Les longueurs sont comprises entre 88,8 et 109,1 mm (moyenne : 100,9 mm), les largeurs entre 48,5 et 103,7 mm (moyenne : 80,7 mm) et les épaisseurs entre 44 et 83,9 mm (moyenne : 64,6 mm).

La table est de type large (2) ou étroite (2), avec une rectitude légèrement arquée (2), plate (1) ou concave (1). Les types observés du dos sont : dièdre (1), arrondi cortical (1), plat (2). Trois nucléus sont bipolaires et un seul unipolaire. Le plan de frappe est de type lisse (2), cortical (1) ou facetté (1). L'angle formé avec la table se situe dans la fourchette de 65° – 84°, avec une moyenne de 75,5°.

En ce qui concerne la préparation, on a observé une seule crête latérale partielle (sur le dos). Le réaménagement se fait par des néo-crêtes. Ainsi, sur 2 nucléus il y a deux crêtes latérales et pour un autre on observe sur la table les négatifs d'une crête médiane destinée à corriger la carène du nucléus.

Le type de débitage est frontal (3) ou semi-tournant sur un flanc (1).

Les accidents de taille sont à l'origine de l'abandon des nucléus à lames en raison de la présence d'inclusions dans la matière première.

*Nucléus à lamelles* (6)

Les longueurs sont comprises entre 26,3 et 52,6 mm (moyenne : 40,7 mm), les largeurs entre 29,6 et 43,1 mm (moyenne : 36,7 mm) et les épaisseurs entre 14,6 et 26,3 mm (moyenne : 18,6 mm).

Les tables observées sont de type large (3), étroit (2), les deux types présents sur le même nucléus (1), avec une rectitude plate (3), légèrement convexe (2) ou convexe (1). Plusieurs types de dos sont présents : légèrement convexe (1), concave (surface naturelle) (1), plat (2), plat cortical (1).

Les négatifs d'une crête médiane tabulaire et ceux de deux crêtes latérales sont les restes de la phase de préparation.

Pour cinq nucléus le débitage est unipolaire et seulement pour un seul le débitage se déroule à partir d'un seul plan de frappe. Le second plan de frappe a été aménagé dans le but de corriger la convexité de la table. Les plans de frappe sont lisses (5) ou facettés (2). L'angle se situe dans la fourchette de 66° – 90°, avec une moyenne de 83°. Sur le nucléus ayant comme support un éclat, le débitage a été effectué sur la tranche du support.

Le réaménagement se fait par des néo-crêtes. Deux nucléus présentent deux crêtes latérales sur les flancs, sur un autre il y a des négatifs caractéristiques d'une crête antéro-latérale sur le flanc droit. Il en reste aussi des négatifs d'une crête latérale partielle sur le dos qui était destinée au réaménagement.

Le type de débitage est frontal (2), semi-tournant sur un flanc ou semi-tournant sur les deux flancs (4).

Sur un nucléus, un abandon technique résulte d'une mauvaise angulation des deux plans de frappe comme le montre les négatifs derniers enlèvements qui sont réfléchis. La convexité de la table n'a pas pu être corrigée, donc de nouveau les derniers produits sont réfléchis. D'autres nucléus ont été abandonnés en raison de l'avancement très poussé du débitage.

#### *Nucléus à éclats (6 dont 1 fragment)*

Les longueurs sont comprises entre 37,3 et 85,8 mm (moyenne : 57,9 mm), les largeurs entre 39 et 62 mm (moyenne : 49,8 mm) et les épaisseurs entre 18,8 et 50,7 mm (moyenne : 29,3 mm).

Les dos sont plats. Deux nucléus à lames ont été repris pour la production d'éclats. Certains nucléus ont produit des éclats à partir de trois à quatre plans de frappe ou à partir des arêtes. Deux nucléus ont été épuisés. Le débitage des éclats est rare mais bien présent comme l'atteste aussi le remontage avec six éclats. Dans la plupart des cas, l'abandon du nucléus est la conséquence d'une matière

première de mauvaise qualité qui a entraîné des réfléchissements importants.

Deux blocs en jaspe de mauvaise qualité ont été testés (longueurs : 204 et 89,6 mm ; largeurs : 146 et 82,9 mm ; épaisseurs : 57,9 et 49,2 mm).

#### *– Nucléus en matière première non déterminée*

Un seul, à éclats, dont le débitage a été abandonné car il a été épuisé (longueur : 51 mm, largeur : 42,6 mm, épaisseur : 31,2 mm).

#### 7.2.2. Les produits laminaires non retouchés (68)

##### *– Les lames (43)*

Elles peuvent être en jaspe (25), en silex (15), en roches magmatiques non différenciées (2) ou en andésite (1).

##### *Lames en jaspe (25)*

Leur état de conservation est mauvais (1 entière dont la longueur est de 40 mm ; 8 fragments proximaux, 10 mésiaux, 6 distaux). Les intervalles de largeur des fragments sont compris entre 13,4 et 35,4 mm (moyenne : 18,5 mm), épaisseurs entre 1,4 et 12,2 mm (moyenne : 6,2 mm).

Ce sont toujours les lames de petit gabarit qui prédominent (largeur moy. de 16,1 mm, épaisseur moy. de 3,7 mm). Les lames qui présentent une régularité moyenne des bords et des nervures sont majoritaires. Quant à la courbure, les lames plates et celles courbes sont en proportions égales.

Les talons sont lisses (8) ou facettés (1) avec une épaisseur moyenne de 3,9 mm. La percussion directe à la pierre est celle qui prédomine.

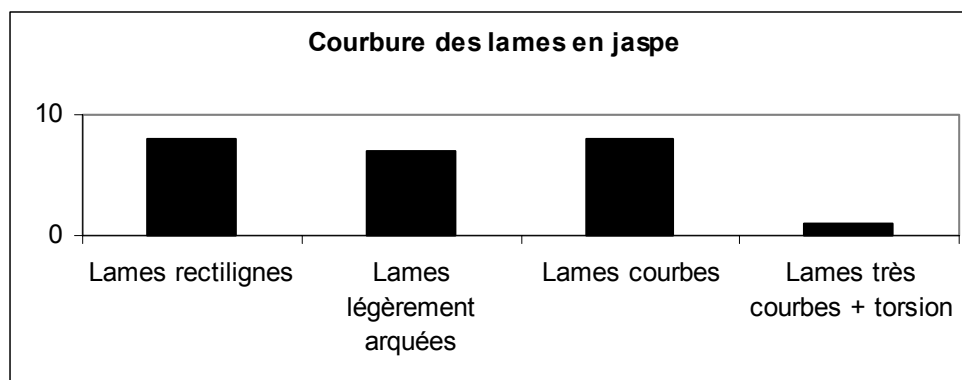


Fig. 7. Courbure des lames en jaspe (niveau C1).

Tableau 16

Phases technologiques des lames en jaspe (niveau C1)

Préparation	N°	Début du débitage	N°	Plein débitage	N°	Réaménagement	N°
Lame corticale	2	Lame à crête	2	PD table	3	Flanc	7
		Sous-crête dorsale	1	PD flanc	6	table	3
						Néo-crête	1



Les lames de section triangulaire (9) ou trapézoïdale (7) prédominent. Celles à quatre pans (2) sont rares.

La plupart des lames a été cassée par flexion (12). Les autres l'ont été pendant le débitage (6). Sur d'autres on voit les deux types de fractures (6). Six lames sont outrepassées.

#### *Lames en silex (15)*

Leur état de conservation est mauvais (2 entières, 3 fragments proximaux, 5 mésiaux, 5 distaux). Les deux pièces entières ont des longueurs de 40,3 mm et 76,3 mm. Les lames en silex sont plus étroites et plus fines que les lames en jaspe : largeurs comprises entre 12 et 33,5 mm (moyenne : 17 mm), épaisseurs entre 1,3 et 12,4 mm (moyenne (4,8 mm). Les lames de petit gabarit prédominent toujours (largeur moy. de 16,4 mm, épaisseur moy. de 3,3 mm).

Les lames en jaspe sont légèrement plus étroites et moins épaisses que celles en silex mais ce sont toujours celles de petit gabarit qui sont plus nombreuses.

Les lames qui présentent une régularité moyenne des bords et des nervures prédominent. En ce qui concerne la rectitude des supports, les lames faiblement courbes et celles arquées sont les mieux représentées.

Les talons sont lisses (3), facetté (1) ou punctiforme (1) avec une épaisseur moyenne de 1,5 mm. Ils présentent les stigmates de la percussion directe à la pierre dure.

En ce qui concerne les phases technologiques, la phase de préparation manque.

Tableau 17  
Phases technologiques des lames en silex (niveau C1)

Début du débitage	N°	Plein débitage	N°	Réaménagement	N°
Sous-crête tabulaire	3	PD table	2	Flanc	1
		PD flanc	4	table	4
				Néo-crête	1

A part une lame à 4 pans, les lames ont une section triangulaire ou trapézoïdale.

Comme pour les lames en jaspe, la plupart des lames en silex a été cassée par flexion (7). Les autres l'ont été pendant le débitage (3). Sur d'autres, on voit les deux types de fractures (2). Presque la moitié des lames sont outrepassées ou réfléchies.

#### *Les lamelles (25)*

##### *Lamelles en jaspe (5)*

Il s'agit des fragments avec une largeur moyenne de 9,3 mm et épaisseur moyenne de 3,4 mm. A une exception, ce sont des produits de plein débitage, fracturés principalement par flexion.

##### *Lamelles en silex (19)*

L'état de conservation est assez mauvais : 2 entières, 13 fragments proximaux, 3 mésiaux, 1 distaux (largeurs de 4,1 à 11,8 mm, moyenne : 7,6 mm ; épaisseurs de 1 à 7,9 mm, moyenne :

2,8 mm). Les pièces entières ont des longueurs de 40,1 et 41,7 mm.

On observe que par rapport aux lamelles en jaspe, les largeurs et les épaisseurs des lamelles en silex correspondent à des pièces moins larges et beaucoup plus fines. En ce qui concerne la régularité des bords et des nervures, les lamelles présentant une bonne régularité prédominent. Les lamelles légèrement arquées sont les plus nombreuses. En section, on constate que les lamelles triangulaires et celles trapézoïdales sont en proportions égales.

Les talons sont lisses (8), facetté (1), punctiformes (5) ou dièdre (1). L'épaisseur moyenne du talon est d'un mm. Dans certains cas on constate une abrasion faite avant le détachement. Les deux types de percussion sont présents : directe dure (5), directe tendre (4).

Quant aux phases technologiques, les lamelles de plein débitage sont les mieux représentées.

Tableau 18  
Lamelles en silex et phases technologiques (niveau C1)

Début du débitage	N°	Plein débitage	N°	Réaménagement	N°
Sous-crête dorsale	1	PD table	10	Flanc	3
		PD flanc	1		

La majorité a été fracturée par flexion.

La série contient aussi une lamelle dans une matière première non-déterminée.

#### 7.2.3. Les éclats non retouchés (166)

Les matières premières sont très diverses, le jaspe (94) étant le plus recherché, suivi par le silex (39).

**Tableau 19**  
Matériaux premières des éclats (niveau C1)

Jaspe	94
Silex	39
Andésite	6
AR	1
Grès	1
Marne siliceuse	2
Obsidienne	1
RMI	1
RMN	12
RSN	1
RSS	1
Quartz	1
<b>TOTAL</b>	<b>166</b>

#### *Eclats en jaspe (94)*

Sur un total de 94, 14 sont éclats laminaires. Leur état de conservation est assez bon : 64 éclats

entiers dont la longueur est comprise entre 9,1 et 82,4 mm (moyenne : 40,7 mm) ; 16 fragments proximaux, 14 distaux. Les intervalles de largeur se situent entre 8,8 et 101 mm (moyenne : 37,5 mm), épaisseurs entre 1,8 et 29,7 mm (moyenne : 10,2 mm).

Les plages corticales sont présentes sur plus du quart des éclats avec des étendues se répartissant ainsi : 10 à 20% de la surface : 11, 30 à 50% : 4, 60 à 70% : 2, 80 à 100% : 5.

Les talons sont de types variés : corticaux (3), semi-corticaux (2), facettés (11), linéaire (1), lisses (36), punctiformes (23), ôtés (4). L'épaisseur moyenne des talons est de 8 mm. La percussion est principalement dure (2 bulbes, esquillements, points d'impact bien marqués). Les éclats présentent des accidents : 11 outrepassés, 18 réfléchis, 1 Siret.

**Tableau 20**  
Eclats en jaspe et phases technologiques (niveau C1)

Préparation	N°	Plein débitage	N°	Réaménagement	N°
Eclat cortical	4	PD	41	Flanc	5
Eclat de crête	24			table	6
Eclat de préparation (avec des négatives de crête)	6			Base du nucléus	1
Installation du PdF	2			tablette	4
Eclat de cintrage	1				

#### *Eclats en silex (39)*

Trois pièces sur un total de 39 sont des éclats laminaires. Leur état de conservation est assez bon : 2 éclats entiers dont la longueur est comprise entre 11,9 et 47 mm (moyenne : 24,6 mm) ; 7 fragments proximaux, 3 mésiaux, 2 distaux. Les intervalles de largeur se situent entre 9,4 et 55,2 mm

(moyenne : 22,8 mm), les épaisseurs entre 0,8 et 16 mm (moyenne : 4 mm).

Les talons sont semi-cortical (1), dièdre (1), facettés (7), linéaire (1), lisses 14), punctiformes (8), ôtés (2). L'épaisseur moyenne est de 4,54 mm. La percussion est dure.

**Tableau 21**  
Eclats en silex et phases technologiques (niveau C1)

Préparation	N°	Début du débitage		Plein débitage	N°	Réaménagement	N°
Eclat cortical	1	Sous-crête tabulaire	1	PD	21	Flanc	2
Eclat de crête	9					table	1
Eclat de préparation (avec des négatives de crête)	3					tablette	1

#### 7.2.4. Les outils (12)

**Tableau 22**  
Outils et matériaux premières (niveau C1)

Type outil	Jaspe	Silex	RMN	%	Nbre
<b>Grattoirs</b>	4		1	41,67	<b>5</b>
<b>Lamelles à dos</b>		1		8,34	<b>1</b>
<b>Burins</b>		1		8,34	<b>1</b>
<b>Troncatures</b>		1			<b>1</b>
<b>Racloirs</b>	3			25	<b>3</b>
<b>Encoche</b>		1		8,34	<b>1</b>

Tableau 23  
Outils et types de supports (niveau C1)

Groupe outils	Lame	Lamelle	Eclat
Grattoirs	1		4
Lamelles à dos		1	
Burins	1		
Troncatures		1	
Racloirs			3
Encoches	1		

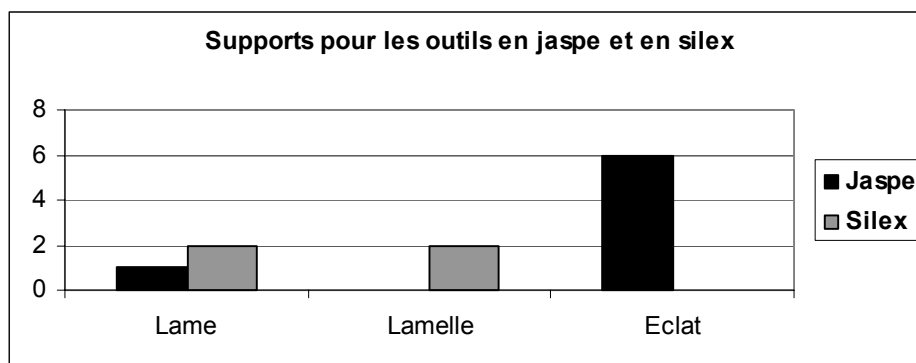


Fig. 8. Supports des outils et matières premières (niveau C1).

Les accidents de débitage sont attestés par 6 éclats outrepassés et 9 réfléchis.

Les éclats sont les supports majoritaires pour les outils en jaspe et les produits laminaires pour les outils en silex.

#### *Les outils en jaspe (7)*

Ils représentent la majorité des outils. Il s'agit de grattoirs et de racloirs. Les grattoirs, au nombre de 4 sont en bout de lame (1), sur éclat (2) et carénés (1). Les supports, à une exception, sont des éclats. Le front est obtenu par des retouches semi-convergentes (1) ou non convergentes (3), de type lamellaire (3) ou écailleuse (1). Les fronts ont des longueurs situées dans l'intervalle de 13,2 à 43,9 mm et des hauteurs comprises entre 7,8 à 16,3 mm.

Les racloirs, au nombre de trois, sont simples (2) ou doubles (1). Les supports sont des éclats de préparation, de dimensions moyennes, retouchés par des retouches écailleuses semi-abruptes.

#### *Les outils en silex (4)*

Ils comprennent une lamelle à dos, un burin sur cassure, une troncature oblique et une encoche. A la différence du jaspe, les produits laminaires ont été choisis comme supports. Les retouches sont de type écailleuse directe semi-abrupte (1) ou abrupte (2).

#### *Les outils en RMN (1)*

Il s'agit d'une belle pièce, un grattoir caréné, sur un éclat de préparation, de dimensions assez importantes (L = 72,5 mm, l = 80,3 mm, ép. : 23,5 mm). Le front est large (L = 80,3 mm, h =

24,1 mm), obtenu par des retouches semi-convergentes de type lamellaire et écailleuse.

#### *– Les remontages du niveau C1*

##### *Remontage 1*

Il s'agit d'un remontage d'éclats en jaspe : 6 éclats provenant du niveau C1 (n<sup>os</sup> 464, 465, 466, 631, 634, 635) et un éclat du niveau D (n<sup>o</sup> 576).

Les éclats sont de grandes et moyennes dimensions (5 entiers et 2 proximaux). Les longueurs s'échelonnent de 62,7 mm à 77,8 mm (moy. = 72,3 mm). Les largeurs vont de 53,7 mm à 100,8 mm (moy. = 76 mm) et les épaisseurs de 6,3 mm à 15,7 mm (moy. = 10,4 mm).

Les talons sont lisses avec une épaisseur moyenne de 15,3 mm. La percussion est directe dure : talons larges et épais, bulbes importants, gros esquillements sur le bulbe, points d'impact bien marqué. Trois sont réfléchis et un est outrepassé (Pl. 9, 1).

Les éclats ont été trouvés dans le même endroit ce qui prouve le débitage sur place. Le nucléus manque.

Il s'agit d'une chaîne opératoire de débitage d'éclats, les produits recherchés étant des éclats de dimensions moyennes et grandes.

##### *Remontage 2*

Un fragment de nucléus (n<sup>o</sup> 538) et un éclat (n<sup>o</sup> 529) en jaspe.

##### *Remontage 3*

Il s'agit d'un éclat (n<sup>o</sup> 336) qui remonte sur deux fragments d'un nucléus (n<sup>os</sup> 586 et 604). Le

nucléus est laminaire (L = 97,3 mm, l = 103,7 mm, ép. = 43,7 mm). La progression du débitage est de type frontal. Il se déroule sur une table de type large, légèrement arquée. Le dos est concave et délimité par deux néo-crêtes. Le débitage est unipolaire, le plan de frappe est lisse, avec le bord préparé. Pour continuer le débitage, le tailleur a procédé à un réavivage des flancs par des néo-crêtes latérales. Une tentative d'enlèvement de la crête latérale sur le flanc gauche a échoué (matière première mauvaise ou coup trop violent ?), le résultat se concrétise par un gros accident : le flanc se détache.

La dernière tentative a consisté à ouvrir un second plan de frappe par un éclat (celui qui remonte sur le nucléus). L'abandon est dû à la présence d'impuretés dans la matière première ce qui a provoqué de gros réfléchissements.

#### *Remontage 4*

Trois éclats (n°s 459, 460, 552) remontent sur un nucléus à lames (n° 424) : L = 88,8 mm, l = 72,5 mm, ép. = 51,5 mm.

Le débitage est unipolaire, le plan de frappe étant facetté avec une angulation de 82°. Le nucléus a été abandonné en cours de réaménagement à cause de la présence de nodules de quartz.

Les trois éclats qui remontent sont des éclats de néo-crêtes postéro-latérales. Matière première jaspe.

#### *Remontage 5*

C'est le raccord qui prouve l'action de processus taphonomiques avec des pièces provenant de niveaux différents :

- niveau C : 2 éclats (n°s 65 et 297),
- niveau C1 : 3 éclats (n°s 521 et 632) et un nucléus (n°490),
- niveau D : 3 éclats (n°s 267, 404 et 266) ; le dernier est un fragment distal qui se raccorde avec l'éclat n° 632 (fragment proximal) du niveau C1.

Le nucléus à lames remonté a les dimensions suivantes : L = 109,1 mm, l = 98,3 mm, ép. = 83,9 mm. Le dos est un arrondi cortical délimité par une crête latérale et une arête. On observe une

préparation en crête latérale partielle sur une partie du dos. Le débitage se déroule à partir d'un seul plan de frappe (PdF facetté avec une angulation de 84°). La table, de type large, est légèrement arquée. Le débitage est semi-tournant sur un flanc (Pl. 9, 2).

Les éclats qui remontent sur le nucléus démontrent plusieurs phases de réavivage :

1. Un éclat entier de réaménagement du PdF (C1 n°266, D n°632). L = 84,7 mm, l = 62,5 mm, ép. = 34,3 mm. Talon facetté, percussion dure. L'éclat a pris une partie importante du dos.

2. Un éclat de plein débitage sur la table (C n° 297). L = 15 mm, l = 14 mm, ép. = 2 mm. Talon lisse, percussion tendre.

3. Un éclat de réaménagement du plan de frappe (C1-sans numéro). Percussion dure, matière première qui éclate.

4. Un éclat de réavivage du dos (D n°267). L = 48,6 mm, l = 32 mm, ép. = 17,9 mm. La percussion est dure, talon ôté.

5. Un éclat de réaménagement du PdF (C n°65). L = 51 mm, l = 47 mm, ép. = 14 mm. Talon punctiforme, percussion dure.

6. Un éclat de réaménagement du PdF (C1 n°521). L = 49 mm, l = 57 mm, ép. = 18. Talon facetté, percussion dure.

7. Un éclat de néo-crête pour raviver le flanc (D n°404). L = 31 mm, l = 26 mm, ép. = 13 mm. Talon punctiforme, percussion dure.

En conclusion, il s'agit de plusieurs tentatives de ravivage du nucléus : plan de frappe, dos, flanc. Les éclats destinés à raviver le plan de frappe sont plutôt des tablettes partielles de ravivage ayant comme but la correction localisée de l'angle de frappe.

### **7.3. Niveau D**

C'est le niveau le plus pauvre en pièces lithiques (165) avec une moins grande diversité des matières premières (Pl. 10). Le jaspe reste la matière la mieux représentée.

Tableau 24  
Matières premières et matériel lithique (niveau D)

Type matière première	Nucléus et fragments	Produits de débitage	Outils, fragments outils, déchets d'outils	Déchets de débitage	Percuteurs	Total
Jaspe	14	50	3	28		95
Silex	1	17				18
Andésite	1	3		1		5
Grès	1	2				3
RMI		1			1	2
RMN	2	9	2	5		18
RSS			1			1
Calcaire	4	2		4		10
ND		8	2	2	1	13

### 7.3.1. Les nucléus (23)

#### – *Nucléus en jaspe* (14)

Les nucléus en jaspe, qui sont majoritaires, se répartissent dans les catégories suivantes : nucléus à une surface de débitage (5), à deux surfaces de débitage (2), à enlèvements anarchiques (3) et globuleux (4).

Les nucléus à une surface de débitage comprennent un nucléus à un plan de frappe et quatre autres présentant deux plans de frappe opposés. Les nucléus à deux surfaces de débitage ont deux plans de frappe opposés sur une surface et un seul plan de frappe sur l'autre surface ou une surface de débitage à un plan de frappe et un débitage périphérique centripète très partiel sur l'autre surface.

L'un des nucléus globuleux a été repris en percuteur.

Les supports initiaux sont 13 rognons et un galet. Les dimensions à l'état d'abandon sont assez variées : longueur située dans l'intervalle de 33 mm à 95 mm (moyenne de 55,3 mm), largeur située de 35 mm à 75 mm (moyenne de 50,9 mm) et épaisseur comprise entre 24 mm à 49 mm (moyenne de 35,8 mm).

#### – *Nucléus en silex* (1)

L'unique nucléus en silex du niveau D est un fragment de nucléus à lamelles (L = 17,0 mm, l = 26,8 mm, ép. = 13,7 mm). Son débitage unipolaire, son plan de frappe est facetté (ép. = 26,09 mm) avec un bord très peu préparé. Il est possible que cette pièce provienne d'un niveau supérieur en raison des perturbations mises en évidence par les remontages et les orientations du matériel lithique.

#### – *Nucléus en autres types de matières premières* (8) *RMN* (2)

Il s'agit d'un nucléus à lames et d'un nucléus à éclats. Le support du nucléus laminaire est un éclat de dimensions assez réduites (L = 46,3 mm, l = 25,1 mm, ép. = 12,4 mm). Le nucléus garde le négatif d'une lame et ceux des deux crêtes latérales qui envahissent le dos. Le débitage est unipolaire, son plan de frappe est lisse (ép. = 15,4 mm), le bord ayant subi une préparation. Le nucléus à éclat, sur rognon (L = 60,4 mm, l = 46,5 mm, ép. = 28,2 mm), a un débitage périphérique centripète et a gardé 20% de cortex.

#### *Grès* (1)

Un nucléus à éclats sur galet, de dimensions moyennes : L = 49,28 mm, l = 44,7 mm, ép. = 22,38 mm). Le dos est arrondi et cortical. Le débitage se déroule à partir de trois plans de frappe.

#### *Andésite* (1)

Il s'agit d'un fragment de nucléus à éclats, à un plan de frappe de type facetté (ép. = 15,95 mm).

### *Calcaire* (4)

Quatre nucléus à éclats, trois entiers et un fragment, sur galets (2) ou sur rognons (2) : L. moy. = 58,1 mm (intervalle : 54 mm à 67,7 mm), l. moy. = 39,1 mm (intervalle : 29,5 mm à 59,5 mm) et ép. moy. = 32,2 mm (intervalle : 24,2 mm à 51,7 mm). Trois exemplaires ont une surface de débitage à plusieurs plans de frappe, le dernier ne présente pas de débitage organisé.

### 7.3.2. Les produits laminaires non retouchés (21)

#### – *Les lames* (16)

##### *Lames en jaspe* (6)

L'état de conservation est mauvais : 1 fragment proximal, 4 mésiaux et 1 distal (largeur moyenne : 21,7 mm, épaisseur moyenne : 4,2 mm). Toutes ont une régularité moyenne et sont plates ou légèrement courbes. Le seul talon observable est lisse, témoignant d'une percussion dure.

Il s'agit de lames de plein débitage, une étant une lame de réaménagement de la table. En section, les lames sont triangulaires (4) ou trapézoïdales (2).

Elles ont été cassées pendant le débitage (2), par flexion (1) ou les deux (3).

##### *Lames en silex* (4)

L'une est entière, les autres sont à l'état de fragment (1 proximal, 1 mésial, 1 distal). Dimensions : L = 49, 7 mm, l. moy. = 14,1 mm ; ép. moy. = 5 mm

Elles sont plates ou légèrement arquées et présentent une bonne ou moyenne régularité des bords et des nervures. Elles ont été débitées par percussion dure (1) ou tendre (1). Trois sont de plein débitage, la dernière est une lame à crête.

Les autres lames provenant du niveau D sont en grès (1), en RMI (1) et en RMN (3). Pour un exemplaire nous n'avons pas identifié la matière première.

#### – *Les lamelles* (5)

##### *Lamelles en jaspe* (2)

Les lamelles en jaspe sont entières et ont des dimensions presque identiques : L = 34 mm, l = 11 mm, épaisseur = 5 mm. Il s'agit d'une sous-crête dorsale et d'une lamelle de réaménagement du flanc. Les talons sont lisses, mais on constate les deux types de percussion, dure et tendre.

##### *Lamelles en silex* (3)

Elles sont représentées par une pièce entière et deux fragments. Les lamelles présentent une bonne régularité des bords et nervures et sont légèrement arquées. Les talons (lisse et punctiforme) témoignent d'une percussion tendre et dure. Les trois sont des lamelles de plein débitage.

7.3.3. Les éclats (71)

Tableau 25  
Matières premières des éclats (niveau D)

Jaspe	42
Silex	10
Andésite	2
Andésite (tuf volcanique ?)	1
Grès	1
Calcaire ?	2
RMN	6
ND	7
<b>TOTAL</b>	<b>71</b>

– *Eclats en jaspe* (42)

Les éclats en jaspe sont en bon état de conservation : 27 pièces entières, 5 fragments proximaux,

2 mésiaux et 8 distaux (longueurs comprises entre 16,7 et 66 mm, moyenne : 35,6 mm ; largeurs entre 15 et 71,2 mm, moyenne : 31 mm ; épaisseurs entre 3 et 31,4 mm, moyenne : 10,6 mm).

Les pièces présentant des plages corticales sont peu nombreuses (2 pour chacune des étendues allant de 10 à 20% du dos, 60 à 70% et 80 à 90% et 4 pour 30 à 40%).

Les talons sont dièdres (2), facetté (1), linéaire (1), lisses (21), punctiformes (7), ôtés (2) avec une épaisseur moyenne de 10,31 mm. La percussion est dure. Quelques éclats présentent des accidents de débitage : 1 outrepassé, 7 réfléchis.

Tableau 26  
Phases technologiques des éclats en jaspe (niveau D)

Préparation	N°	Plein débitage	N°	Réaménagement	N°
Eclat cortical	1	PD	29	table	2
Eclat de crête	3				
Eclat de préparation (avec des négatives de crête)	4				
Installation du PdF	1				
Aménagement du dos	1				

Tableau 27  
Outils et matières premières (niveau D)

Type outil	Jaspe	RMN	RSS	ND	Total
<b>Grattoirs sur éclat/ bloc</b>					
Grattoirs sur éclat	1			1	2
<b>Burins</b>					
Burins dièdres			1		1
<b>Racloirs</b>	1				1
<b>Denticulé</b>	1				1
<b>Encoche</b>		1			1
<b>Eclat retouché</b>				1	1
<b>Pièces à retouches</b>		1			1

Tableau 28  
Outils et types de support (niveau D)

Groupe d'outils	Eclat	Nucléus	Bloc
Grattoirs	2		
Burins		1	
Racloirs	1		
Encoches	1		
Denticulé			1
Eclat retouché	1		
Pièce à retouche	1		

– *Eclats en silex* (10)

Il s'agit de 9 pièces entières et d'un fragment proximal correspondant à 7 éclats de plein débitage et à 3 de préparation ((longueurs comprises entre 14,7 et 55 mm, moyenne : 30,9 mm ; largeurs entre 14,4 et 39 mm, moyenne : 24,6 mm ; épaisseurs entre 1,6 et 15 mm, moyenne : 6,7 mm).

7.3.4. Les outils (8)– *Outils en jaspe* (3)

Au nombre de trois, les outils en jaspe comprennent un grattoir caréné, un racloir simple convexe et un denticulé. Les supports ont des dimensions moyennes (L entre 34,3 et 52,1 mm, largeur entre 27,9 et 41 mm, épaisseur entre 7,8 et

30,6 mm). Le racloir de type simple convexe présente des retouches écailleuses semi-abruptes. La partie active du grattoir caréné a été obtenue par des retouches semi-convergentes, de type lamellaires et écailleuses.

– *Outils en autres types de matières premières* (5)

Une encoche et une pièce à retouches sont en RMN, le burin dièdre est en RSS et un grattoir sur éclat et un éclat retouché ont été taillés dans une matière première non déterminée.

## 8. DISCUSSION ET CONCLUSION

Le matériel lithique du niveau D est nettement de facture paléolithique moyen avec un débitage d'éclats obtenus à partir de nucléus globuleux ou à une ou deux surfaces de débitage. L'outillage se compose d'outils sur éclat (denticulé, encoche, racloirs) qui s'intègre aisément dans une industrie du Paléolithique moyen dont il n'est pas possible de préciser les caractéristiques typologiques en raison de sa faiblesse numérique. Il en est de même pour le matériel mis au jour lors des fouilles anciennes (Bitiri 1972). La datation IRSL ( $35 \pm 5$  ka) obtenue sur le sédiment du niveau D indique que cette industrie lithique se situe dans le MIS 3, dans une période tardive du Paléolithique moyen.

Les assemblages lithiques des niveaux C1 et C comprennent des matières premières très variées, plus variées que celles du niveau D. Leur origine est en grand en majorité locale ou se situe à une distance de moins de dix kilomètres. Le matériel des niveaux C1 et C inclut une forte composante laminaire volumétrique (nucléus, lames à crête) mais aussi une production d'éclats à partir de nucléus à une surface de débitage ce qui constitue l'un des arguments qui a souvent été évoqué dans la littérature roumaine pour justifier la thèse d'une évolution locale de cultures moustériennes vers l'Aurignacien (Bitiri-Ciortescu 1987, Cârciumar 1999). En Roumanie, la notion d'Aurignacien a parfois recouvert des situations fort différentes tant sur le plan techno-typologique que chronologique (Anghelinu, Niță 2012). Cependant, indépendamment de la question de l'origine de l'Aurignacien, il faut souligner que l'Aurignacien classique peut comprendre une production d'éclats non négligeable. La présence de grattoirs carénés dans les niveaux C1 et C suggère, comme cela avait été déjà fait (Bitiri 1972, Dobrescu 2008, Hahn 1977), une attribution à l'Aurignacien d'une partie du matériel

lithique de ces niveaux ce qui cadre avec la composante laminaire volumétrique fortement présente. Cette culture et d'autres faciès du Paléolithique supérieur ancien sont bien représentés au nord de l'Oaş dans la haute vallée de la Tisa (Monigal *et al.* 2006, Tkachenko 2003). Aucun élément (débitage, outils) ne permet de supposer qu'une partie du matériel lithique est attribuable à du Gravettien contrairement à ce qui avait été proposé dans les publications antérieures concernant Boinești (Bitiri 1972, Chirica *et al.* 1996).

Cependant, les datations IRSL obtenues sur les sédiments des niveaux C1 ( $7,5 \pm 0,8$  ka) et C ( $4,7 \pm 0,6$  ka) suggère un remaniement à l'Holocène ce qui est en accord avec les observations concernant les orientations des pièces et les remontages de pièces provenant de niveaux différents. Dans ces conditions, il est difficile d'estimer si toute la production d'éclats des niveaux C1 et C est intrusive ou si une partie, même faible, fait partie d'une industrie aurignacienne.

## BIBLIOGRAPHIE

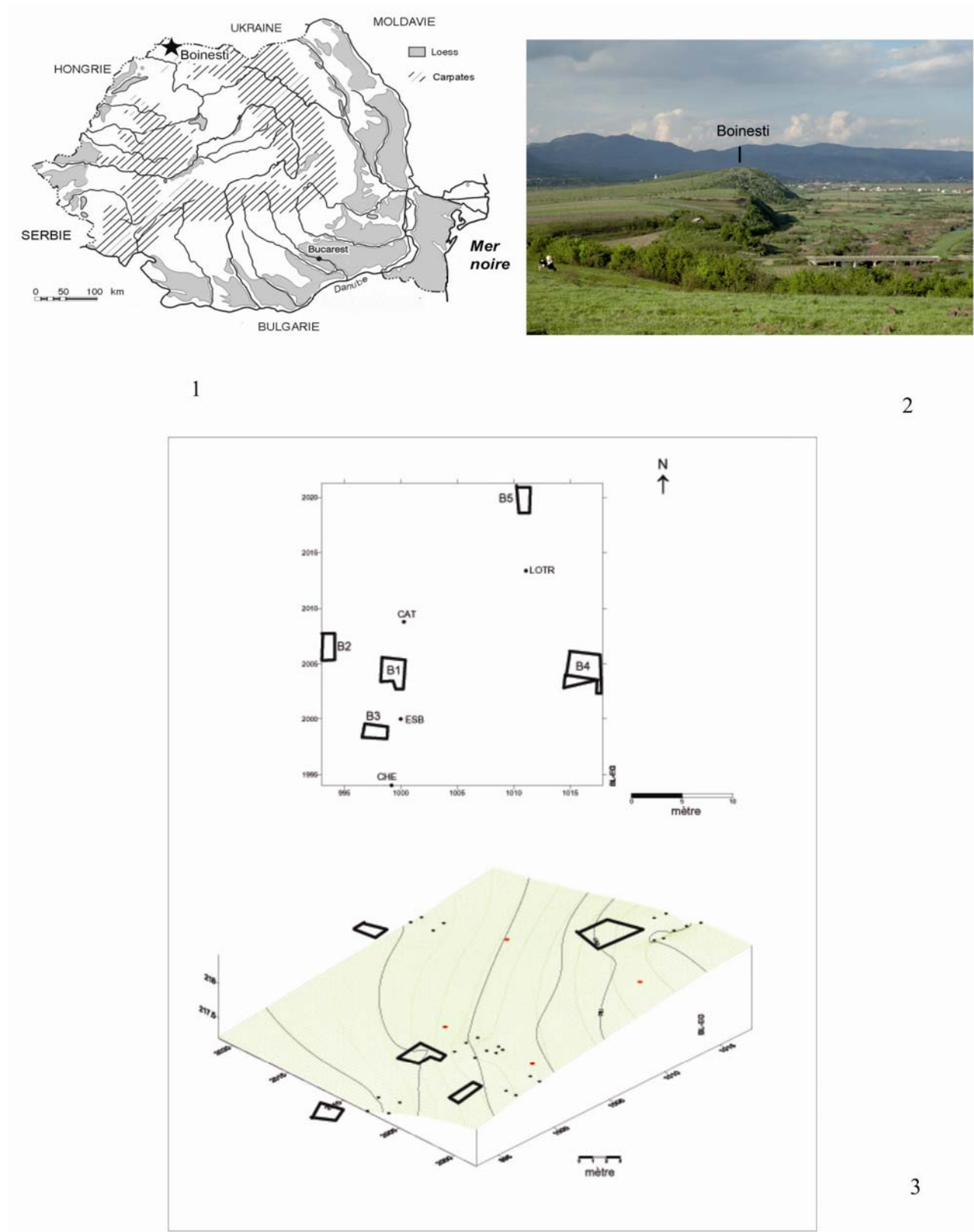
- Anghelinu, Niță 2012 – M. Anghelinu, L. Niță, *What's in a name: The Aurignacian in Romania*. Quaternary International, 2012, in press.
- Balescu *et al.*, 2003 – S. Balescu, M. Lamothe, N. Mercier, S. Huot, D. Balteanu, A. Billard J. Hus, J. *Luminescence chronology of Pleistocene loess deposits from Romania: testing methods of age correction for anomalous fading in alkali feldspars*. Quaternary Geochronology 22/10–13, 2003, p. 967–973.
- Balescu *et al.*, 2010 – S. Balescu, M. Lamothe, C.G. Panaiotu, C. Panaiotu, *La chronologie IRSL des séquences loessiques de l'Est de la Roumanie*. Quaternaire 21 (2), p. 115–126.
- Bitiri 1972 – M. Bitiri, *Paleoliticul în Țara Oașului*. Studiu arheologic. București, 1972.
- Bitiri-Ciortescu 1987 – M. Bitiri-Ciortescu, *Paleoliticul de la Mitoc-Valea Izvorului. Probleme privind începutul paleoliticului superior pe teritoriul României*. SCIVA 38, 1987, p. 207–223.
- Cârciumar 1999 – M. Cârciumar, *Le Paléolithique en Roumanie*, Grenoble, 1999.
- Cârciumar, Anghelinu 2000 – M. Cârciumar, M. Anghelinu, *The Carpathian Mousterian and the Transition from Middle to Upper Palaeolithic in Southern Romania*, in : Orschiedt J. and Weniger G. C. (Eds), *Neanderthals and Modern Humans. Discussing the transition. Central and Eastern Europe from 50 000 – 30 000 B.P.*, Bonn, 2000, p. 190–195.
- Dobrescu 2008 – R. Dobrescu, *Aurignacianul din Transilvania*. Studii de preistorie. Supplementum 3, București, 2008.
- Hahn 1977 – J. Hahn, *Aurignacien : das ältere Jungpaläolithikum in Mittel-und Osteuropa*, Fundamenta, A, 9, 1977, Köln und Wien.

- Hütt *et al.* 1988 – G. Hütt, G., I. Jaek, J. Chonka, *Optical dating: K-feldspars optical response stimulation spectra*. Quaternary Science Reviews 7, 1988, p. 381–385.
- Monigal *et al.* 2006 – K. Monigal, V. Usik, L. Koulakovskaya, N. Gerisimenko, *The beginning of the Upper Paleolithic in Transcarpathia*, Anthropologie 44, 2006, p. 61–74.
- Nicolăescu-Plopșor, Kovács 1959 – C.S. Nicolăescu-Plopșor, E. Kovács, *Cercetările paleolitice din regiunea Baia Mare*, MCA 6, 1959, p. 35–40.
- Spooner 1992 – N. A. Spooner, *Optical dating: preliminary results on the anomalous fading of luminescence from feldspars*, Quaternary Science Reviews 11, 1992, p. 139–145.
- Tkachenko 2003 – V. Tkachenko, *Le Paléolithique supérieur de Transcarpathie*, Kiev 2003 (en ukrainien).

## LISTE DES PLANCHES

- Pl. 1 – Le site de Boinesti : 1. Localisation du site ; 2. Vue générale de la Coasta Boinesti (l'emplacement du gisement paléolithique est indiqué par la flèche) ; 3. Plan général des fouilles.
- Pl. 2 – Aspects de la fouille archéologique de Boinesti : 1. Le sondage B4 en cours de fouille ; 2. Sondage B4. Blocs d'andésite dans limon argileux rouge (niveau archéologique D).
- Pl. 3 – Boinesti : 1. Répartition verticale du matériel lithique (sondage B4) ; 2. Orientations des pièces dont la longueur est au moins deux fois supérieure à la largeur (sondage B4).
- Pl. 4 – Boinesti. Provenances possibles des matières premières.
- Pl. 5 – Boinesti. Types de perlites.
- Pl. 6 – Boinesti. Différentes matières premières.
- Pl. 7 – Boinesti, niveau C : 1. Burin sur troncature ; 2–3. Grattoirs carénés ; 4. Nucléus à lamelles ; 5. Nucléus à éclats.
- Pl. 8 – Boinesti, niveau C1 (sauf n°5 : C) : 1 à 3. Grattoirs carénés ; 4. Grattoir sur lame ; 5. Lamelle à dos ; 6. Racloir ; 7. Lame outrepassée ; 8. Encoche.
- Pl. 9 – Boinesti, remontages : 1. Remontage n° 1 (six éclats du niveau C1 avec un éclat du niveau D) ; 2. Remontage n° 5 (un nucleus du niveau C1 avec deux éclats du niveau C, trois éclats du niveau C1 et trois éclats du niveau D).
- Pl. 10 – Boinesti, niveau D : nucléus.





Pl. 1 – Le site de Boinesti : 1. Localisation du site ; 2. Vue générale de la Coasta Boinesti (l'emplacement du gisement paléolithique est indiqué par la flèche) ; 3. Plan général des fouilles.

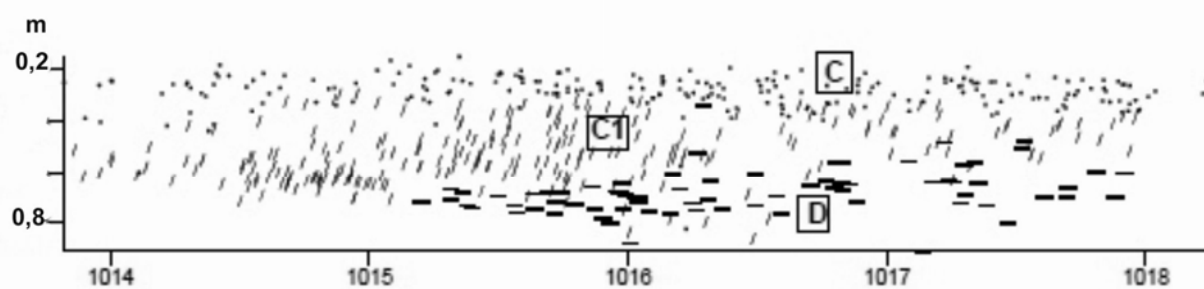


1

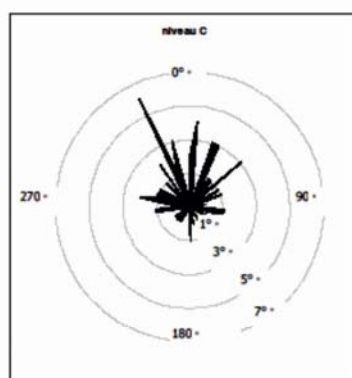


2

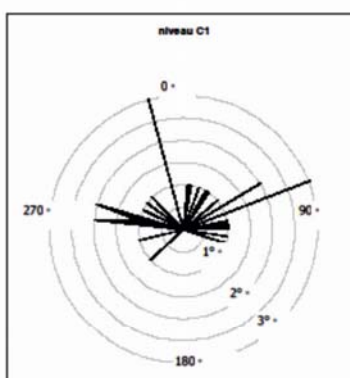
Pl. 2 – Aspects de la fouille archéologique de Boinesti : 1. Le sondage B4 en cours de fouille ;  
2. Sondage B4. Blocs d'andésite dans limon argileux rouge (niveau archéologique D).



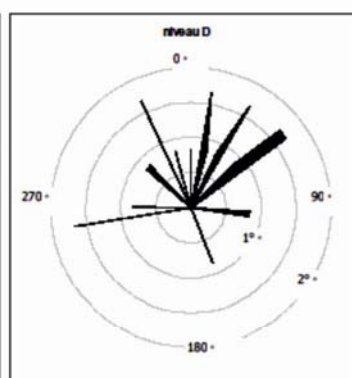
1



Echantillon de 16 % des pièces du niveau C



Echantillon de 26 % des pièces du niveau C1

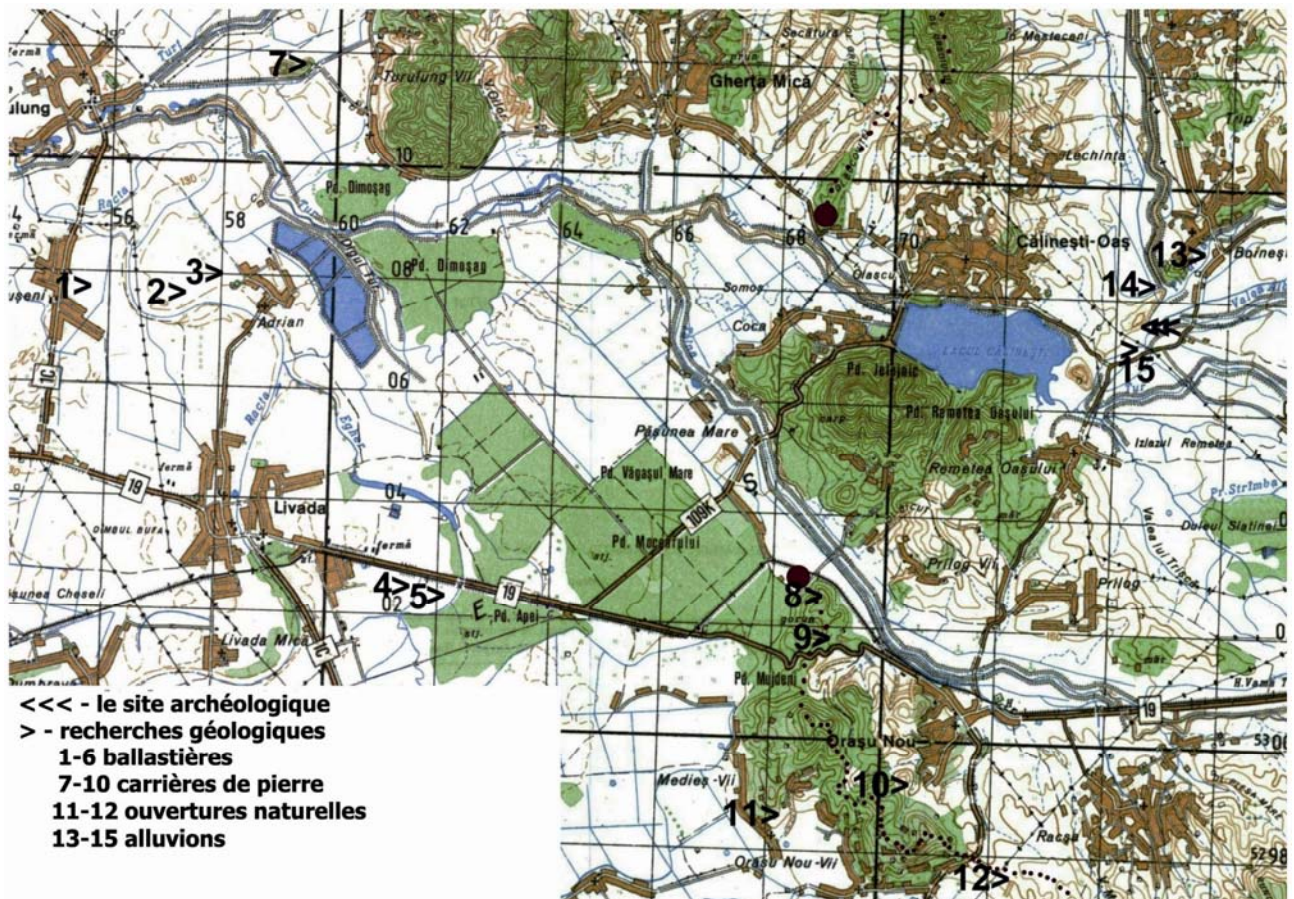


Echantillon de 26 % des pièces du niveau D

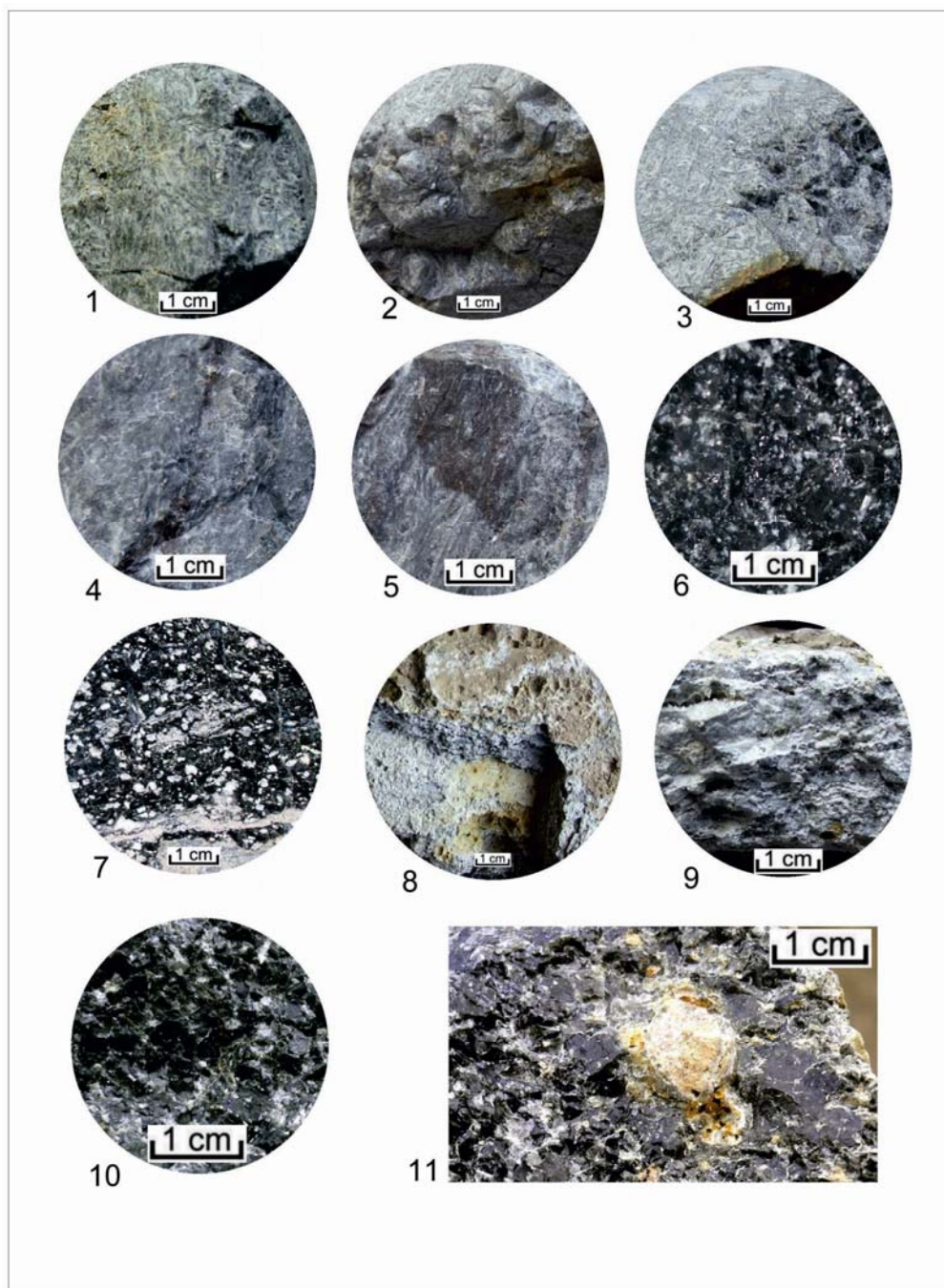
2

Pl. 3 – Boinești : 1. Répartition verticale du matériel lithique (sondage B4) ; 2. Orientations des pièces dont la longueur est au moins deux fois supérieure à la largeur (sondage B4).



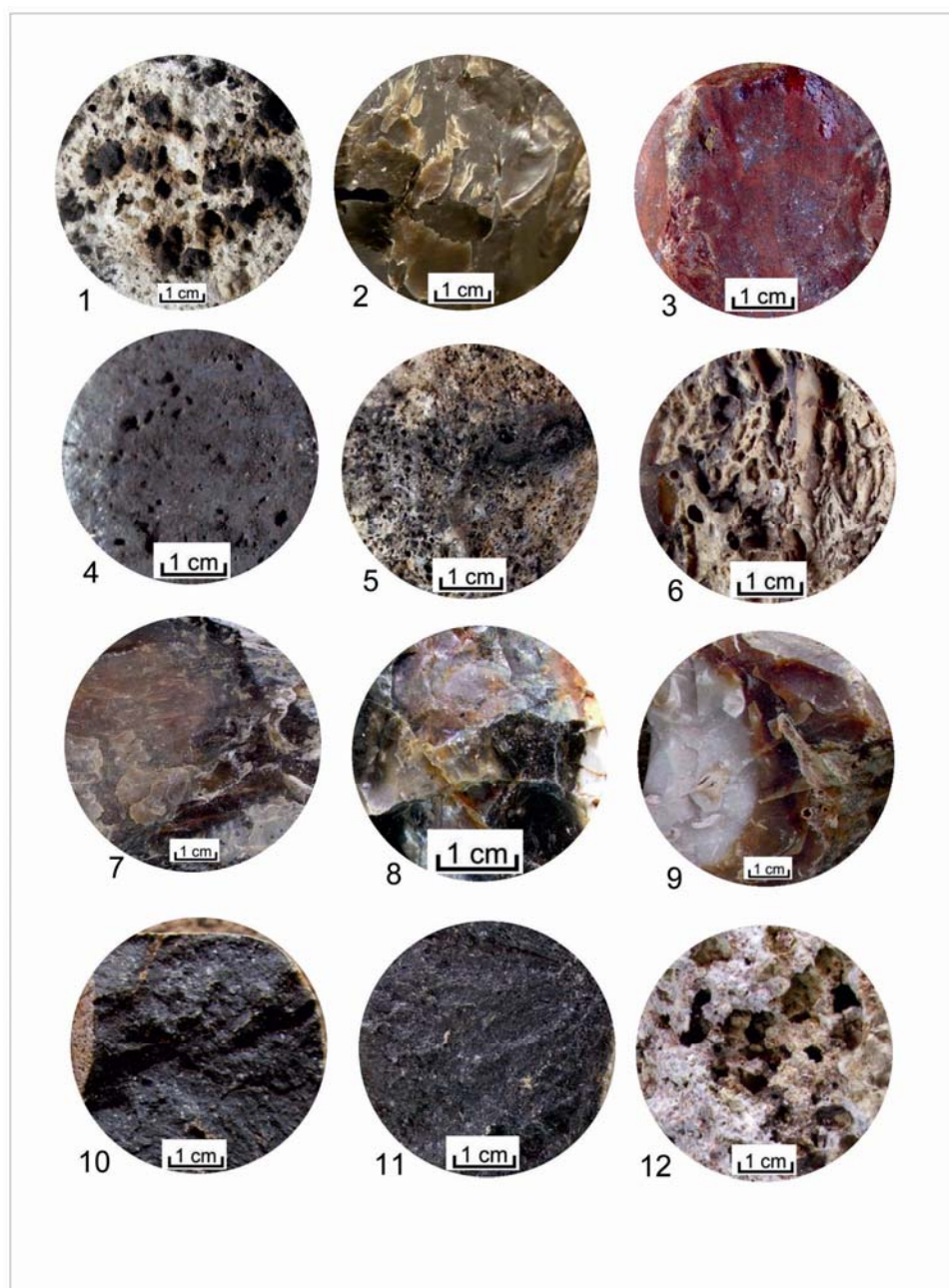


Pl. 4 – Boinești. Provenances possibles des matières premières.

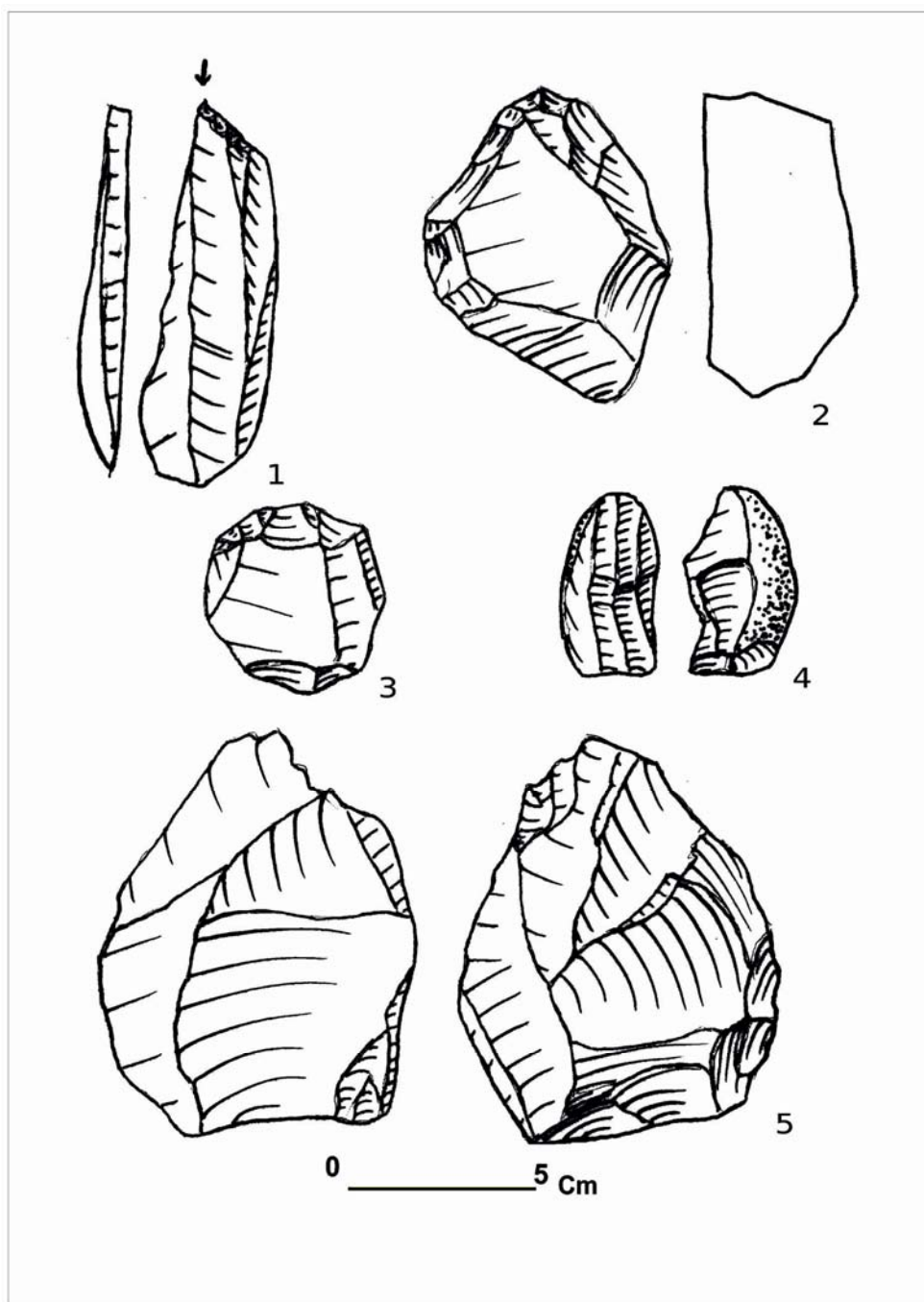


Pl. 5 – Boinești. Types de perlites.

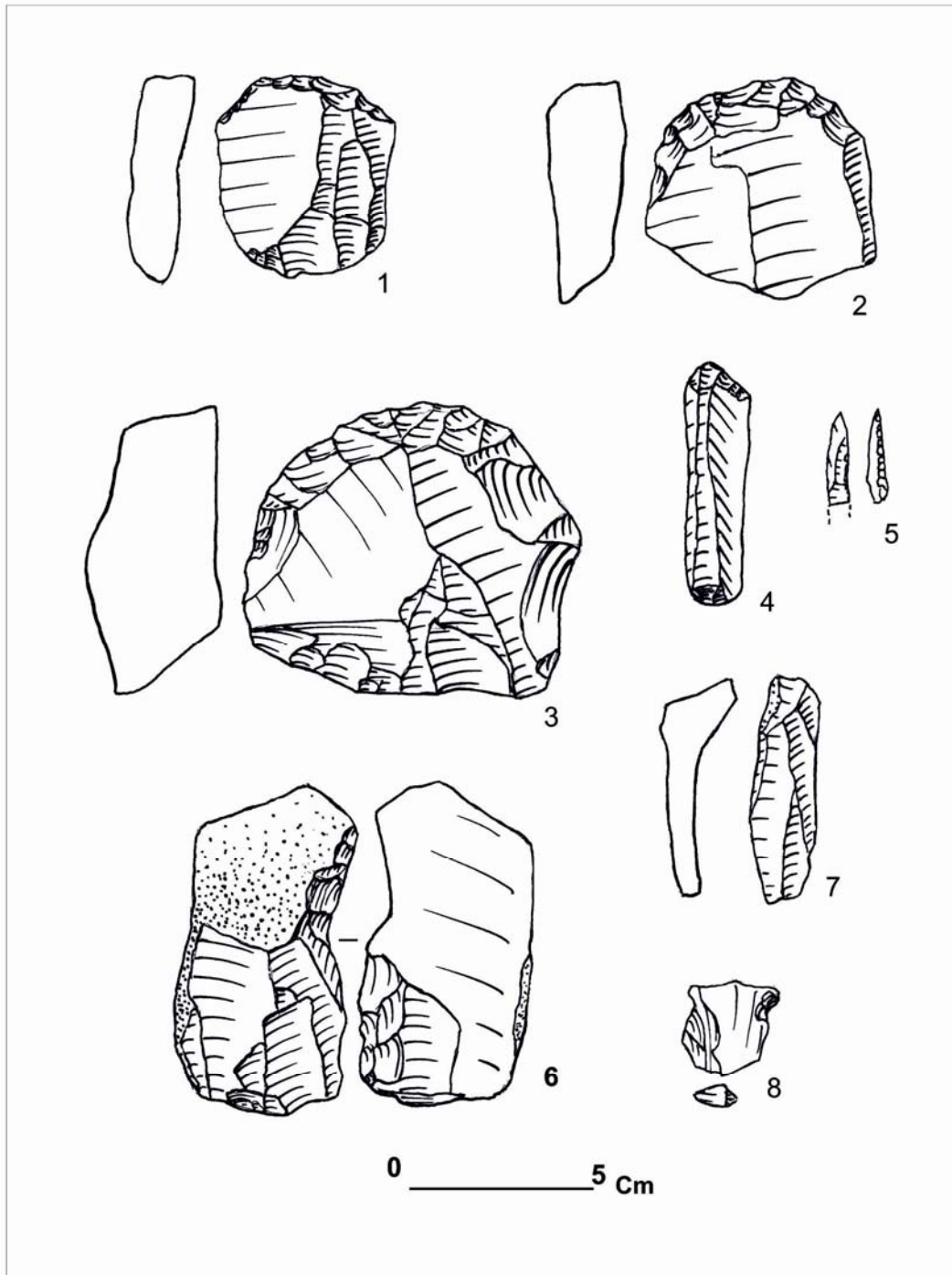




Pl. 6 – Boinesti. Différentes matières premières.



Pl. 7 – Boinești, niveau C : 1. Burin sur troncature ; 2 – 3. Grattoirs carénés ;  
4. Nucléus à lamelles ; 5. Nucléus à éclats.



Pl. 8 – Boinești, niveau C1 (sauf n°5 : C) : 1 à 3. Grattoirs carénés ; 4. Grattoir sur lame ; 5. Lamelle à dos ; 6. Racloir ; 7. Lame outrepassée ; 8. Encoche.



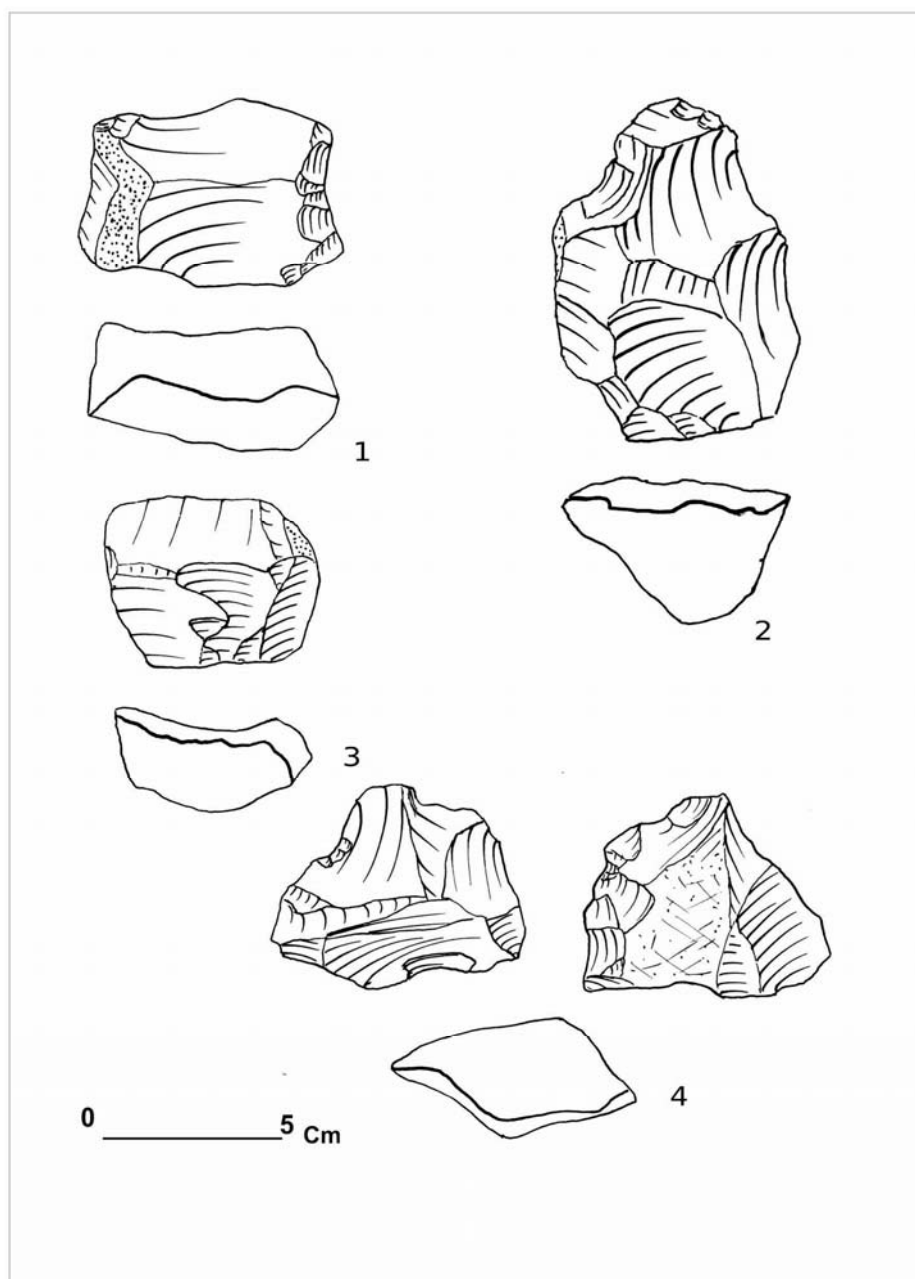


1



2

Pl. 9 – Boinești, remontages : 1. Remontage n° 1 (six éclats du niveau C1 avec un éclat du niveau D) ; 2. Remontage n° 5 (un nucleus du niveau C1 avec deux éclats du niveau C, trois éclats du niveau C1 et trois éclats du niveau D).



Pl. 10 – Boinesti, niveau D : nucléus.

**ACADEMIA ROMÂNĂ**  
**INSTITUTUL DE ARHEOLOGIE „VASILE PÂRVAN”**

**MATERIALE  
ȘI  
CERCETĂRI  
ARHEOLOGICE**

**SERIE NOUĂ  
IX**

**2013**



**EDITURA ACADEMIEI ROMÂNE**  
**BUCUREȘTI, 2013**

## **Colegiul de redacție**

**PROF. DR. ALEXANDRU BARNEA** (Universitatea București), **DR. SANDA BALESCU** (Université des Sciences et Technologies de Lille, Laboratoire de Préhistoire et Quaternaire, CNRS), **PROF. DR. CLIVE BONSALL** (University of Edinburgh), **PROF. DR. NIKOLAUS BOROFFKA** (Deutsches Archäologisches Institut – Eurasien Abteilung, Berlin, Germany), **DR. GH. I. CANTACUZINO** (Institutul de „Arheologie Vasile Pârvan” București), **DR. UWE FIEDLER** (Berlin), **DR. RADU HARHOIU** (Institutul de Arheologie „Vasile Pârvan” București), **DR. ANNIE RENOUX** (Université du Maine, Le Mans), **PROF. DR. ERIK TRINKAUS** (Department of Anthropology, Washington University), **PROF. DR. ALAIN TUFFREAU** (Université des Sciences et Technologies de Lille, Laboratoire de Préhistoire et Quaternaire), **ACAD. ALEXANDRU VULPE** (Institutul de Arheologie „Vasile Pârvan” București).

## **Comitetul de redacție**

**ROXANA DOBRESU** – redactor-șef

**ADRIAN IONIȚĂ** – redactor-șef adjunct

**IRINA ACHIM, ADINA BORONEANȚ, ADRIAN DOBOȘ, LIANA OȚA, ADRIANA PANAITE, DANIEL SPÂNU, VLAD VINTILĂ ZIRRA** – membri

**LILIANA ZAHARIA** – secretar de redacție

Redactor Editura Academiei Române: **ADRIAN MIRCEA DOBRE**

Tehnoredactor Editura Academiei Române: **DOINA STOIA**

Revista se poate procura contracost la sediul EDITURII ACADEMIEI ROMÂNE, Calea 13 Septembrie nr. 13, sector 5, 050711, București, România; tel. 4021-318 8146, 4021-318 8106, Fax 4021-318 2444, e-mail: [edacad@ear.ro](mailto:edacad@ear.ro).

ORION PRESS IMPEX 2000 S.R.L., P.O. Box 77-19, sector 3, București, România, Tel./Fax: 4021-610 6765, 4021-210 6787, Tel.: 0311 044 668, e-mail: [office@orionpress.ro](mailto:office@orionpress.ro).

S.C. MANPRES DISTRIBUTION S.R.L., Piața Presei Libere, nr. 1, Corp B, Etaj 3, Cam. 301–302, sector 1, București, România, tel./fax: (4021) 314 6339, e-mail: [abonamente@manpres.ro](mailto:abonamente@manpres.ro), [office@manpres.ro](mailto:office@manpres.ro), [www.romanianjournals.com](http://www.romanianjournals.com).

DEREX COM S.R.L., e-mail: [derex\\_com@yahoo.com](mailto:derex_com@yahoo.com)

Orice corespondență se va trimite Colegiului de redacție pe adresa: str. Henri Coandă 11, 010667 București, tel./fax 4021 212 88 62. și [redactie\\_iab@yahoo.com](mailto:redactie_iab@yahoo.com)

Normele de redactare a manuscriselor și lista abrevierilor folosite în revistă sunt în general aceleași ca în celelalte publicații ale Institutului de Arheologie. În măsura în care vom elabora alte norme, ne obligăm să le publicăm în numărul următor.

© 2013, EDITURA ACADEMIEI ROMÂNE

## SUMAR

ALAIN TUFFREAU, ROXANA DOBRESU, SANDA BALESCU, MĂDĂLIN CORNEL VĂLEANU, Boinești (département de Satu-Mare), Moustérien, Aurignacien et processus taphonomiques .....	7
ALEXANDRU CIORNEI, Petrografia silicolitelor din siturile Paleoliticului superior de pe Valea Dunării. Caracteristici și proveniență .....	41
MIHAI GLIGOR, MARIANA ROȘU, CĂLIN ȘUTEU, New Evidence on Burial Practices in Petrești Culture .....	67
CAMELIA-MIRELA VINTILĂ, CARMEN PAVEL, MARIAN NEAGU, Noi aspecte ale plasticii antropomorfe descoperite la Dunărea de Jos .....	83
ALIN FRÎNCULEASA, BIANCA PREDA, OCTAV NEGREA, ANDREI DORIAN SOFICARU, Cercetări arheologice în cimitirul din epoca bronzului târziu de la Câmpina (jud. Prahova) – campaniile 2011 și 2012 .....	97
DANIEL SPÂNU, Fibule „de tip hibrid”?	145
MIRCEA DABÎCA, Noi cercetări arheologice în partea de sud a cetății Histria. Campaniile 2003–2009 .....	157
ALEXANDRU BĂDESCU – Amfore orientale de tip Kapitän II descoperite la <i>Histria</i> în Sectorul <i>Basilica extra muros</i> .....	189
ANNAMARIA DIANA, MIHAI MEȘTER, Meeting an Early Medieval Community: A Preliminary Analysis of the Human Skeletal Remains from the Jucu Cemetery (Cluj-Napoca, Romania) .....	3; ;
BOGDAN CIUPERCĂ, ANDREI MĂGUREANU, EUGEN PAVELEȚ, DORIN SÂRBU, Cercetări arheologice în Curtea Domnească de la Târgșoru Vechi .....	219
RADU-ALEXANDRU DRAGOMAN, MIHAI FLOREA, Preambul la o cercetare arheologică a fostei colonii de muncă forțată din perioada comunistă de la Poarta Albă, România .....	231

## RECENZII

Laurent Carozza, Cătălin Bem, Cristian Micu (eds.), <i>Société et environnement dans la zone du Bas Danube durant le 5<sup>ème</sup> millénaire avant notre ère</i> , Editura Universității „Alexandru Ioan Cuza”, Iași, 2011, 413 p. (Cristian Eduard Ștefan) .....	243
<b>Abrevieri</b> .....	245



## SOMMAIRE

ALAIN TUFFREAU, ROXANA DOBRESU, SANDA BALESCU, MĂDĂLIN CORNEL VĂLEANU, Boinești (département de Satu-Mare), Moustérien, Aurignacien et processus taphonomiques .....	7
ALEXANDRU CIORNEI, Petrografia silicolitelor din siturile Paleoliticului superior de pe Valea Dunării. Caracteristici și proveniență.....	41
MIHAI GLIGOR, MARIANA ROȘU, CĂLIN ȘUTEU, New Evidence on Burial Practices in Petrești Culture .....	67
CAMELIA-MIRELA VINTILĂ, CARMEN PAVEL, MARIAN NEAGU, Several antropomorphic figurines found during the excavations on the Vidra tell .....	83
ALIN FRÎNCULEASA, BIANCA PREDA, OCTAV NEGREA, ANDREI DORIAN SOFICARU, Archaeological research in the Bronze Age cemetery at Câmpina (Prahova county) – campaigns 2011 și 2012.....	97
DANIEL SPÂNU, Fibule „de tip hibrid”? .....	145
MIRCEA DABÎCA, Les principaux résultats des fouilles menées entre 2003 et 2009 à Histria, dans le périmètre du Secteur sud .....	157
ALEXANDRU BĂDESCU – Amphoras Kapitän II discovered at Histria, in extra muros Basilica .....	189
ANNAMARIA DIANA, MIHAI MEȘTER, Meeting an Early Medieval Community: A Preliminary Analysis of the Human Skeletal Remains from the Jucu Cemetery (Cluj-Napoca, Romania) .....	3; ;
BOGDAN CIUPERCĂ, ANDREI MĂGUREANU, EUGEN PAVELEȚ, DORIN SÂRBU, Archaeological research Cercetări arheologice în Curtea Domnească de la Târgșoru Vechi.....	219
RADU-ALEXANDRU DRAGOMAN, MIHAI FLOREA, Preamble of planned archaeological research in the former forced labor camp from the communist period at Poarta Albă, Romania .....	231

## COMPTE-RENDUS

Laurent Carozza, Cătălin Bem, Cristian Micu (eds.), <i>Société et environnement dans la zone du Bas Danube durant le 5<sup>ème</sup> millénaire avant notre ère</i> , Editura Universității “Alexandru Ioan Cuza”, Iași, 2011, 413 p. (Cristian Eduard Ștefan) .....	243
<b>Abréviations</b> .....	245

# Petrografia silicolitelor din siturile Paleoliticului superior de pe Valea Dunării. Caracteristici și proveniență

ALEXANDRU CIORNEI\*

**Keywords:** Upper Paleolithic, Lower Danube Valley, chert, petrography, provenance, gravel deposits, local sources.

**Abstract:** This article presents the conclusions of the author's PhD thesis called "Raw-material sources, raw-material supply and production strategies in the Upper Paleolithic from the Valachian Sector of the Moesian Platform". The study area is the Lower Danube Valley and includes the Paleolithic sites of Vădastra-Măgura Fetelor, Ciuperceni-La Tir, Ciuperceni-La Vii 1, Giurgiu-Malu Roșu and Nicolae Bălcescu-La Vii, plus a series of sampling points (see map 1, tables 1 and 2). The raw-material taken in consideration is *chert*. For many years archaeologists supported two alternative hypotheses about the raw-materials provenance: Pre-Balkan Platform and the Danube's gravels. By means of macroscopic description in hand specimens, microscopic characterization in thin section (mineralogy, primary constituents, fossils), complemented by X-ray diffraction, the author has determined several varieties of chert for each site and sampling location and also three categories that exhibit macro- and microscopic features which surpass the local settings (see map 2, tables 4, 5 and 6). By analyzing the microscopic features and by directly examining the thin sections chert varieties with macroscopic similarities from different places, the author determined the provenance of some raw-materials in the Paleolithic sites. The two Ciuperceni sites are linked to the Frătești Formation (Lower Pleistocene) gravels, opened in the vicinity by a modern quarry (Ciuperceni-La Carieră); some of the Giurgiu-Malu Roșu cherts were determined to originate from gravels of the Frătești Formation, opened by modern quarries to the North-West (Ghizdaru-Cariera de la Haltă, Cetatea-Cariera Bălănoaia), and from gravels of the lower terrace ( $t_1$ ), opened in places such as Giurgiu-Cariera Malu Roșu; the source of provenance for the main raw-material (grayish "granulated" chert – in fact a peloidal chert) of Giurgiu-Malu Roșu was not found; for the other two sites in the study, Vădastra-Măgura Fetelor and Nicolae Bălcescu-La Vii, it was impossible to determine the provenance of the raw-materials. All cherts from the Paleolithic sites have external characteristics which are similar to materials transported and reworked by waters (despite of the "fresh cortex" found on many of the samples).

The raw-material sources that were identified indicate short supply distances and a local exploitation of raw-materials (under 50 km).

**Cuvinte cheie:** Paleolitic superior, Valea Dunării Inferioare, silicolite, petrografie, proveniență, depozite de pietrișuri, surse locale.

**Rezumat:** În acest articol sunt prezentate câteva concluzii cu privire la rezultatele analizei petrografice a silicolitelor din situri aparținând Paleoliticului superior de pe Valea Dunării și din locații de eșantionare (harta 1, tabelele 1 și 2). Pe baza caracteristicilor macroscopice și microscopice au fost determinate mai multe varietăți pentru fiecare sit și locație, dar și trei categorii ce prezintă trăsături care depășesc cadrul local (harta 2, tabelele 4, 5 și 6). Pentru siturile paleolitice de la Ciuperceni (La Vii 1, La Tir), sursa de proveniență a materiilor prime este reprezentată de Formațiunea de Frătești, deschisă în punctul La Carieră; câteva din varietățile de silicolite de la Giurgiu-Malu Roșu provin din pietrișurile Formațiunii de Frătești (Ghizdaru-Cariera de la Haltă), iar o probă a fost atribuită pietrișurilor terasei joase ( $t_1$ ) a Dunării (Giurgiu-Cariera Malu Roșu). Nu a fost identificată sursa materiei prime predominante în ansamblul litic de la Giurgiu-Malu Roșu („silexul cenușiu cu nuanțe albastrii și mici pete alburii” – de fapt, un silicolit peloidal) și nici sursele de aprovizionare cu silicolite pentru siturile de la Vădastra-Măgura Fetelor și Nicolae Bălcescu-La Vii. Toate silicolitele din siturile considerate în acest studiu prezintă trăsături macroscopice externe specifice clastelor rulate și transportate de către ape. Sursele identificate indică distanțe scurte de aprovizionare și o exploatare locală a materiei primă (sub 50 km).

## 1. INTRODUCERE

Aceast articol prezintă concluzii parțiale ale tezei de doctorat cu titlul *Surse de materie primă, strategii de aprovizionare și de prelucrare a materiei prime în Paleoliticul din Sectorul Valah al Platformei*

\*Alexandru Ciornei, e-mail: hammerfall1996@yahoo.com



*Moesice*<sup>1</sup>. Scopul acestei lucrări a fost realizarea unei descrieri petrografice și determinarea provenienței silicolitelor din situri aparținând Paleoliticului superior de pe Valea Dunării (detalii în tabelele 1 și 2 și harta 1).

## 2. CERCETĂRI DE TEREN ȘI TEHNICI DE INVESTIGAȚIE ÎN LABORATOR

*Cercetarea de teren* cuprinde mai multe periegeze în locații considerate ca potențiale surse<sup>2</sup> de materie primă pentru așezările Paleoliticului superior de pe Valea Dunării, pornind de la indicații bibliografice pentru fiecare sit (Alexandrescu 1996–1998, Boroneanț *et al.* 1983, Dobrescu, Tuffreau 2011; Nicolăescu-Plopșor *et al.* 1956, Păunescu 2000, Păunescu, Alexandrescu 1997a, Protopopescu-Pache, Mateescu 1959). Documentarea probelor în teren s-a făcut prin înregistrarea datelor de localizare a punctului, sumare observații stratigrafice și extragerea de eșantioane pentru analiza petrografică.

*Observațiile macroscopice* s-au fost desfășurate pe 73 de specimene prelevate din surse și aproximativ 238 de specimene din siturile arheologice incluse în studiu<sup>3</sup> (tabelele 1 și 2). Analiza macroscopică a urmărit două aspecte: cel extern (dimensiunea, greutatea și morfologia clastelor, consistența, culoarea și grosimea cortexului) și cel intern (tipul de spărtură, gradul de transmitere a luminii în așchii subțiri, luciul suprafeței proaspăt sparte, culoarea, textura, zona compozițională, impurități, resturi de fosile vizibile). Aceste caracteristici macroscopice au permis o primă clasificare a silicolitelor din situri și surse.

Pentru *observații microscopice* s-a utilizat un microscop petrografic Olympus BH-2, grosimet de  $4 \times$  (A4 PO, 0.10, 160/–) și  $10 \times$  (A10 PO, 0.25, 160/0.17). Studiul descriptiv microscopic al silicolitelor (82 de secțiuni subțiri) a urmărit compoziția mineralogică, ponderea și relațiile dintre constituenții

primari (ciment, particule, matrice), dar și identificarea tipurilor de fosile și frecvența acestora (determinări la nivel de phylum, subordin, familie).

De asemenea, secțiunile subțiri neacoperite au fost expuse razelor X într-un difractometru PANalytical X'Pert  $\theta/\theta$ , cu radiație  $\text{CuK}\alpha$ , interval de scanare  $2\text{--}55^\circ 2\theta$ ,  $10\text{--}56^\circ 2\theta$ ,  $15\text{--}70^\circ 2\theta$ , step size  $0,0170^\circ$ , scan step time 10 s. *Difracția de raze X* reprezintă o tehnică de analiză structurală a mineralelor (Bloss 1994, Klein, Hurlbut 1999), ce poate fi utilizată pentru a suplimenta informațiile obținute prin analiza petrografică sau geochimică (Akridge, Benoit 2001, Heaney, Post 1992, Navazo *et al.* 2008).

Din punct de vedere mineralogic aceste silicolite sunt constituite din cuarț granular microcristalin, calcedonie, megacuarț, calcit, cuarț detritic, filo-silicați, fosfați și pirită.

Din punct de vedere petrografic, aceste silicolite sunt constituite dintr-un procent variabil de bioclaste, peloide, micropeloide, rar ootide, un procent scăzut de particule necarbonatice (cuarț detritic, filo-silicați, fosfați, pirită framboidală), la care se adaugă matricea micritică<sup>4</sup> și cimentul silicios (cuarț granular microcristalin, calcedonie; pe fisuri calcedonie și megacuarț). Constituții primari și relațiile dintre aceștia, dar și asociația de fosile, constituie un set de caracteristici ce au permis întărirea/ infirmarea varietăților stabilite pe baza aspectului macroscopic.

## 3. STUDIUL COMPARATIV AL SILICOLITELOR DIN SITURI ȘI SURSE. PROVENIENȚĂ

Proveniența silicolitelor din siturile Paleoliticului superior de pe Valea Dunării s-a realizat prin compararea directă a secțiunilor subțiri, ținând cont de ambele seturi de caracteristici (macro- și microscopice). Probele din siturile de la Ciuperceni (La Tir și La Vii 1) au fost comparate cu eșantioane din punctul La Carieră, iar cele din situl de la Giurgiu-Malu Roșu cu eșantioane de la Ghizdaru și Bălănoaia (tabelele 1 și 2, harta 1). Pentru că nu au beneficiat de locații apropiate de eșantionare, probele de la Vădastra-Măgura Fetelor au fost comparate cu cele de la Ciuperceni-La Carieră, iar cele de la Nicolae Bălcescu-La Vii cu probele de la Căscioarele-Malul Estic al Lacului.

<sup>1</sup> Teza de doctorat a fost coordonată de prof. dr. Lucian Matei de la Facultatea de Geologie și Geofizică (Universitatea București). Analizele prin difracție de raze X și observațiile la microscop s-au realizat la Facultatea de Geologie și Geofizică (Platforma de Geoștiințe), sub îndrumarea doamnei lector dr. ing. Barbara Soare.

<sup>2</sup> Aceste locații nu reprezintă surse preistorice propriu-zise, ci puncte care permit evaluarea respectivului depozit ca sursă potențială de aprovizionare.

<sup>3</sup> Probe provenind din siturile paleolitice mi-au fost puse la dispoziție de către doamna Roxana Dobrescu, cercetător la Institutul de Arheologie „Vasile Pârvan”.

<sup>4</sup> Micritul reprezintă matricea fin-granulară din rocile carbonatice și constituentul fin-granular al particulelor carbonatice, sub formă de cristale cu diametre de  $1\text{--}4\ \mu\text{m}$  (Bathurst 1994, Anastasiu 1998, Scholle, Ulmer-Scholle 2003, Flügel 2010).

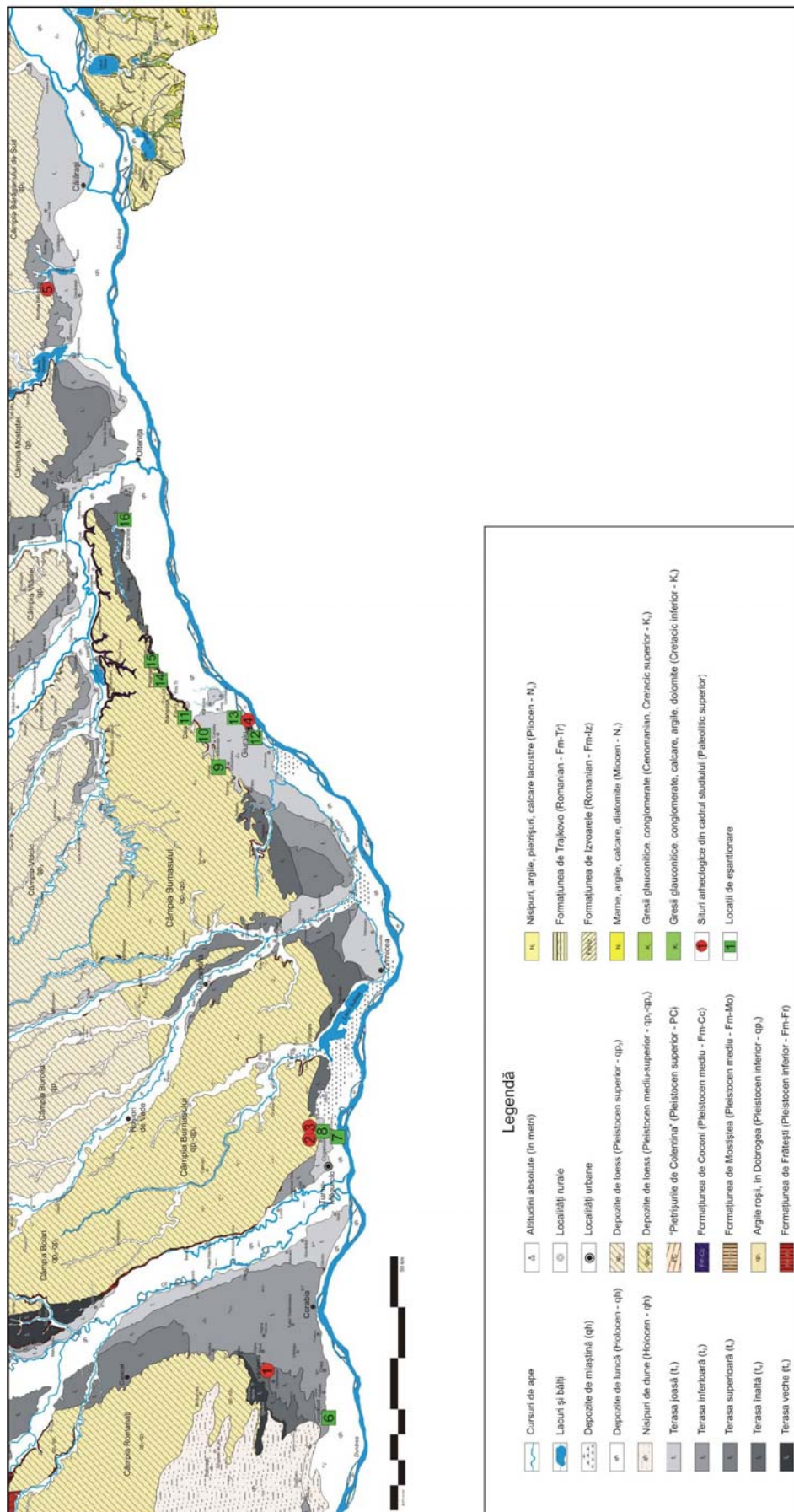
Tabelul 1  
Siturile arheologice incluse în studiu (SSb – secțiuni subțiri)

Nr. <sup>4</sup>	Sit arheologic	Repere	Tip depozit (în care au fost găsite resturile arheologice)	Total piese	Materie primă (după autorii săpăturilor)	Nr. probe	Nr. SSb
1	Vădastra-Măgura Fetelor	la 0,9 km SV de biserica satului Vădastra și la 14 km NNW de Corabia (jud. Olț); la 48 km VNV de Ciuperceni-La Tir	loess foarte nisipos (4-6 m gr.) din acoperișul aluviunilor terasei mijlocii (t <sub>1</sub> ) a Dunării	3829	silix maroniu cretacic (predominant); cuarțit, gresie silicioasă, radiolarit, jasp și cuarțit (nesemnificativ)	71	7
2	Ciuperceni-La Tir	la 0,5 km NNE de instalația Țevilor de aducție, la 2,5 km NNE de satul Ciuperceni (jud. Teleorman); la 2 km N de punctul La Vii 1 și la 48 km ESE de punctul Măgura Fetelor	depunere loessoidă nisipoasă din Câmpia Burnasului Vestic	1421	silix senonian gălbui închis spre maroniu (98%); rocă grezoasă, cuarțit și gresia silicioasă (nesemnificativ)	16	5
3	Ciuperceni-La Vii 1	la 1,5 km E de marginea satului Ciuperceni și la 7 km E de Tumu-Măgurele (jud. Teleorman); la 2 km SE de punctul La Tir și la 49 km VSV punctul Măgura Fetelor	depozit loessoid nisipos-prăfos (4-6 m gr.) din Câmpia Burnasului Vestic	1755	„silixul din cretă” (predominant); „silix exogen albăstrui” (nesemnificativ)	21	7
4	Gurgău-Malu Roșu	la 0,5 km ENE de marginea cartierului Oinacu (Giurgiu) (jud. Giurgiu); la 85 km E de satul Ciuperceni-La Vii 1 și 131 km E de situl Vădastra-Măgura Fetelor	depozit luto-nisipos foarte fin (6-7 m gr.) din acoperișul terasei joase (t <sub>1</sub> ) a Dunării	28530	silix cenușiu cu nuanțe albăstrui (80-86%); silix gălbui cu nuanțe brune (13-15%); silix cenușiu fin-granular sticlos, gresie silicioasă, șist negru, cuarțit, gresie cuarțifică (nesemnificativ)	102	15
5	Nicolae Bălcescu-La Vii	la 0,9 km SSV de școala și biserica satului Nicolae Bălcescu și la 23 km VNV de Călărași (jud. Călărași); la 95 km E de situl de la Gurgău-Malu Roșu	depozit loessoid prăfos gălbui ce acoperă aluviunile terasei inferioare (t <sub>2</sub> ) a Dunării	309	silixul senonian maroniu, brun închis, brun-cenușiu (95%); silixul fin granular maroniu sau cenușiu (5%)	28	6

Tabelul 2  
Locațiile de eșantionare din cadrul studiului, considerate ca potențiale surse de aprovizionare (SSb – secțiuni subțiri):

Nr. <sup>5</sup>	Punct	Repere	Tip depozit	Poziție	Nr. probe	Nr. SSb
6	Grojdibodu-Cariera de la V de sat	la 3,5 km V de biserică satului Grojdibodu și la 23 km V de Corabia; la 17 km SV de Vădastra (jud. Olț)	depozitele aluviale ale terasei inferioare (t <sub>2</sub> ) a Dunării (nisipuri și pietrișuri cu stratificație orizontală și oblică, cimentate)	<i>in situ</i>	3	-
7	Poiana-Cariera de la Plopi	la 0,6 km de marginea sudică a satului Poiana (jud. Teleorman); la 3,5 km SE de satul Ciuperceni (jud. Teleorman); la 3,5 km SV de satul La Vii 1;	depozitele aluviale ale luncii Dunării (nisipuri gălbui-cenușii cu stratificație orizontală și intercalații lenticulare de pietrișuri)	<i>in situ</i>	5	-
8	Ciuperceni-La Carieră	la 1,4 km de marginea estică a satului Ciuperceni și la 7 km E de Turmu Măgurele (jud. Teleorman); la 0,2 km E de situl La Vii 1;	depozitele Formațiunii de Frățești (strat de pietrișuri cu clase groșiere, stratificație orizontală, puternic cimentate, 0,90 m gr.)	<i>in situ</i>	23	18
9	Ghizdaru-Cariera de la Hălță	la 0,2 km E de Halta CFR Oncești, la 1,5 km NE de satul Ghizdaru și la 7,6 km NV de Giurgiu (jud. Giurgiu); la 8,9 km NV de situl de la Malu Roșu;	depozitele Formațiunii de Frățești (strate de nisipuri, cu stratificație orizontală și oblică, și pietrișuri cu stratificație încrucișată, 5–6 m gr.)	<i>in situ</i>	15	12
10	Cetatea-Cariera Bălănoia	la 0,8 km de marginea nordică a satului Bălănoia, la 2 km N de marginea satului Cetatea și la 8 km N de Giurgiu (jud. Giurgiu); la 7,2 km NV de situl de la Malu Roșu;	probabil depozitele Formațiunii de Frățești	<i>passim</i>	9	6
11	Daia-Cariera de la Cimitir	la 0,2 km NE de biserică satului și la 12 km NE de orașul Giurgiu (jud. Giurgiu); la 8,7 km NE de situl de la Malu Roșu;	probabil depozitele Formațiunii de Frățești	<i>passim</i>	1	-
12	Giurgiu-Cariera de la SV	la 4 km SV de orașul Giurgiu (jud. Giurgiu); la 7,1 km V de situl de la Malu Roșu;	depozitele aluviale ale terasei joase (t <sub>1</sub> ) a Dunării (nisipuri cu stratificație orizontală și oblică, 5–7 m gr., și pietrișuri cu stratificație orizontală, 0,5 m gr.)	<i>in situ</i>	3	-
13	Giurgiu-Cariera Malu Roșu	la 3,6 km E de marginea orașului Giurgiu și la 4 km S de satul Oinau (jud. Giurgiu); la 3,1 km E de situl de la Malu Roșu;	depozitele aluviale ale terasei joase (t <sub>1</sub> ) a Dunării (argilă nisipoasă și nisip cu stratificație orizontală și intercalații subțiri de pietrișuri)	<i>in situ</i>	3	-
14	Pietrele-Cariera de la Faur	la 1 km V de marginea satului Pietrele și la 0,8 km E de marginea satului Băneasa (jud. Giurgiu); la 17,6 km NE de situl de la Malu Roșu;	probabil depozitele Formațiunii de Frățești (strat de pietrișuri cu stratificație orizontală, 0,30 m gr.)	<i>in situ</i>	1	-
15	Pietrele-Cariera de la V de Măgura Gorgana	la 1,3 km E de marginea satului Pietrele (jud. Giurgiu); la 21 km NE de Giurgiu-Malu Roșu;	probabil depozitele Formațiunii de Frățești (strat de pietrișuri cu stratificație orizontală)	<i>in situ</i>	2	-
16	Căscioarele-Malul Estic al Lacului	0,2 km E de Căscioarele și la 7 km V de marginea satului Chimogi (jud. Călărași); la 51 km V-SV de Nicolae Bălcescu-La Vii;	depozitele Formațiunii de Frățești sau aluviunile terasei t <sub>3</sub> a Dunării (nisipuri și pietrișuri cu stratificație orizontală)	<i>in situ</i>	7	6

<sup>5</sup> Numerele corespund celor de pe harta 1.



Harta 1. Localizarea siturilor paleolitice și a „surselor posibile” din cadrul studiului. Denumirile siturilor și „surselor posibile” se găsesc în tabelele 1 și 2. Corelizare după Harta geologică a României 1 : 200000. Foile Turnu Măgurele, Slatina (partea inferioară), Neajlov (partea inferioară), Giurgiu, București și Călărași (partea inferioară). Situația geologică reprezentată este cea de la momentul concepției acestor hărți (1966–1968), actualizată ca denumiri ale formațiunilor și a încadrărilor cronostratigrafice.



Tabelul 3

Probe de silicolite din situri și surse considerate ca fiind echivalente (M – micrit; CQf – ciment calcedonic; CQm – ciment de cuarț microcristalin)<sup>5</sup>

Indicativ probă	Culoare	Luciu	Transparență	M	C Qf	C Qm	Bioclaste	Peloide
Ciup-Vii [4]	gri închis	gras	translucid	20%	(-)	47%	26%	(-)
Ciup-Ca [6]	gri închis	gras	translucid	20%	(-)	63%	22%	(-)
Ciup-Ca [16]	gri închis	gras	translucid	20%	(-)	50%	21%	(-)
Ciup-Ca [19]	gri închis	gras	translucid	20%	(-)	49%	21%	(-)
Ciup-Vii [2]	gri-marونیu deschis	gras	translucid	25%	(-)	42%	23%	(-)
Ciup-Ca [5]	gri-marونیu deschis	gras	translucid	25%	(-)	45%	25%	(-)
Ciup-Ca [15]	gri-marونیu deschis	gras	translucid	25%	(-)	45%	20%	(-)
Ciup-Ca [23]	gri-marونیu deschis	gras	translucid	25%	(-)	48%	25%	(-)
Ciup-Tir [8]	gri-marونیu închis	gras	translucid	10%	(-)	59%	10%	(-)
Ciup-Ca [20]	gri-marونیu închis	gras	translucid	10%	(-)	70%	10%	(-)
Ciup-Ca [21]	gri-marونیu închis	gras	translucid	10%	(-)	67%	13%	(-)
Ciup-Ca [12]	gri-marونیu deschis	gras	translucid	10%	(-)	70%	11%	(-)
Ciup-Tir [7]	gri-marونیu închis	gras	translucid	5%	(-)	79%	11%	(-)
Ciup-Vii [1]	gri-marونیu închis	gras	translucid	5%	(-)	72%	13%	(-)
Ciup-Ca [18]	gri-marونیu închis	gras	translucid	5%	(-)	75%	10%	(-)
Ciup-Tir [11]	gălbui-marونیu	mat	semi-opac	20%	(-)	60%	10%	(-)
Ciup-Vii [3]	gălbui-marونیu	mat	semi-opac	20%	(-)	52%	7%	(-)
Ciup-Ca [9]	gălbui-marونیu	mat	semi-opac	20%	(-)	65%	12%	(-)
Ciup-Tir [10]	bej	mat	opac	35%	(-)	45%	15%	(-)
Ciup-Vii [5]	bej	mat	opac	35%	(-)	35%	15%	(-)
Ciup-Ca [22]	bej	mat	opac	35%	(-)	34%	16%	(-)
Ciup-Tir [16]	crem	mat	opac	50%	(-)	35%	10%	(-)
Ciup-Vii [6]	crem	mat	opac	50%	(-)	29%	11%	(-)
Ciup-Vii [7]	crem	mat	opac	50%	(-)	30%	15%	(-)
Ciup-Ca [3]	crem	mat	opac	50%	(-)	28%	13%	(-)
Ciup-Ca [7]	crem	mat	opac	50%	(-)	37%	11%	(-)
GMR [48]	brun	mat	translucid	(-)	23%	(-)	21%	40%
Gh-CH [15]	brun	mat	translucid	(-)	29%	(-)	15%	40%
GMR [50]	brun	mat	translucid	(-)	10%	34%	15%	20%
Gh-CH [4]	brun	mat	translucid	(-)	9%	40%	10%	20%
GMR [45]	cenușiu-rozaliu	mat	translucid	(-)	5%	35%	15%	30%
Gh-CH [3]	cenușiu-rozaliu	mat	translucid	(-)	5%	40%	10%	30%
GMR [65]	gri-marونیu	gras	translucid	10%	(-)	70%	10%	(-)
GMR [62]	gri-marونیu	gras	translucid	10%	(-)	75%	5%	(-)
Gh-CH [1]	gri-marونیu	gras	translucid	5%	(-)	73%	10%	(-)
Ct-CaBl [3]	gălbui-marونیu	mat	semi-opac	30%	(-)	54%	15%	(-)
Gh-CH [8]	gălbui-marونیu	mat	semi-opac	30%	(-)	53%	10%	(-)
Gh-CH [13]	gălbui-marونیu	mat	semi-opac	30%	(-)	52%	12%	(-)
Gh-CH [14]	gălbui-marونیu	mat	semi-opac	30%	(-)	52%	12%	(-)

<sup>5</sup> În acest tabel (și următoarele) nu au fost incluse procente de cuarț detritic, filosilicați, fosfați, pirită și materie organică ce completează tabloul constituenților primari ai silicolitelor.

### 3.1. Vădastra-Măgura Fetelor

Pentru Vădastra-Măgura Fetelor au fost determinate cinci varietăți de silicolite (detalii în tabelele 4 și 5). După aspectul cortexului<sup>6</sup>, sursa de aprovizionare este reprezentată printr-un depozit aluvial, asemănător celor de la Ciuperceni sau Ghizdaru, dar aflat mai aproape de Vădastra (harta 2). Prin culoarea și aspectul petelor gri-alburii, probele Văd-MF [26], [29], [69] și [70] prezintă asemănări cu probele Ciup-Ca [6], [16], [19], Ciup-Ca [9] și Ciup-Ca [18], confruntarea directă a secțiunilor subțiri, neconfirmând decât recurența unor trăsături comune generale.

### 3.2. Ciuperceni-La Vii 1, Ciuperceni-La Tir și Ciuperceni-La Carieră

Pentru situl Ciuperceni-La Vii 1 au fost determinate șase varietăți de silicolite, iar pentru situl Ciuperceni-La Tir au fost determinate cinci varietăți. În depozitul aluvial din punctul Ciuperceni-La Carieră au fost identificate 11 varietăți de silicolite. Pe baza asemănărilor macroscopice și prin compararea secțiunilor subțiri s-au stabilit echivalențe între probele prelevate din situri și cele din carieră (principalele caracteristici sunt sintetizate în tabelul 3; pl. 1, 2, 3, 4, 5, 6 și 7, harta 2). Varietățile de silicolit gri închis (Ciup-Ca [6], [14], [16] și [19]) și gri-marونی deschis (Ciup-Ca [5], [15] și [23]) (pl. 6 și 7) lipsesc din situl Ciuperceni-La Tir (sau n-au fost eșantionate), iar varietatea gri-marونی închisă (Ciup-Ca [20], [21] și [12]) (pl. 5) lipsește din situl Ciuperceni-La Vii 1 (sau nu a fost eșantionată). Celelalte varietăți de silicolite din cadrul carierei nu au fost identificate în niciunul dintre cele două situri (sau cel puțin nu au fost eșantionate).

Numărul ridicat de varietăți prezente în cadrul celor două situri a fost condiționat de natura sursei exploatate, în care sunt reprezentate silicolite provenite din mai multe etaje geologice (indicate de fosile) și dintr-o zonă relativ largă de la Sud de Dunăre (fapt indicat de gradul diferit de rulare și prelucrare de către ape). Cu toate acestea se poate afirma că siturile La Vii 1 și La Tir se găsesc pe sursă, iar distanțele de transport sunt minime, ceea ce se reflectă în caracteristicile tehnologice ale materialului litic (numeroase așchii de decorticare, așchii și galeți de dimensiuni mari). Deși punctul

La Carieră nu poate fi considerat ca o sursă preistorică de aprovizionare, oferă însă o bună perspectivă asupra abundenței, disponibilității și variabilității silicolitelor din jurul acestor situri paleolitice.

### 3.3. Giurgiu-Malu Roșu, Ghizdaru-Cariera de la Haltă, Cetatea-Cariera Bălănoaia

Pentru situl de la Giurgiu-Malu Roșu au fost determinate 12 varietăți de silicolite (tabelele 4, 5 și 6, la care se adaugă încă 11 varietăți izolate doar pe baza caracteristicilor macroscopice), în contradicție cu cele două tipuri principale indicate de Păunescu și Alexandrescu (1997b), Păunescu (2000) sau Alexandrescu (1996–1998), și a căror frecvență în cadrul materialului litic de la Malu Roșu este greu de apreciat. Punctele Ghizdaru-Cariera de la Haltă și Cetatea-Cariera Bălănoaia (tabelele 1 și 2, harta 1) reprezintă deschideri antropice într-un depozit aluvial (Formațiunea de Frățești) eterogen din punct de vedere al conținutului de silicolite (11, respectiv 5 varietăți).

Trei dintre varietățile peloidale de la Malu Roșu (tabelul 6) au o culoare gri (silicolitul gri mat cu pete alburii fine – probele GMR [10] și [22] – și încă două varietăți de culoare gri – probele GMR [20] și [30]) și au fost probabil descrise de autorii mai sus citați sub denumirea de „silex cenușiu cu nuanțe albastrii și mici pete alburii” ce reprezintă materia primă predominantă din acest sit. Silicolitul gri mat a fost descris de Nicolăescu-Plopșor *et al.* (1956) drept „silex de culoare vânăță cu granulație mare” (vezi și descrierea petrografică realizată de C. Papacostea). Al. Păunescu și Em. Alexandrescu au denumit „silex de culoare cenușie cu nuanțe albastrii și mici pete alburii”. Granulația „mare” a acestui material se explică prin preponderența peloidelor (cu diametre de 0,2 mm), subordonat bioclaste, strâns împachetate și prinse într-un ciment calcedonic. Această varietate nu a fost identificată în carierele eșantionate în cadrul acestui studiu.

Nouă dintre varietățile de silicolite de la Giurgiu au culori de la gri, gri-verzui, gri-marونی până la gălbui-marونی sau brun, în general cu reminiscențe carbonatice gri/crem-alburii, și au fost încadrate anterior la categoria tipului secundar de materie primă sub denumirea de „silex gălbui-marونی” (=„categoria M”=„de tip zis de Frățești”) sau la categoria „alte materii prime”. Stabilirea câtorva echivalențe între situl paleolitic și cariera de la Ghizdaru (trei varietăți peloidale și o varietate translucidă) permite considerarea depozitului deschis în acest punct ca o sursă probabilă de aprovizionare

<sup>6</sup> Trăsăturile care indică transportul de către ape a galeților de silicolite: pe suprafețele cretoase gălbui/gri-alburii apar urme de netezire; suprafețe complet rulate; microfisuri de transport observate în secțiuni subțiri.

cu materie primă (tabelul 3, pl. 8, 9, 10, harta 2). Toate celelalte varietăți izolate pentru Malu Roșu provin fie din alte depozite aluviale (pietrișuri aparținând teraselor Dunării)<sup>7</sup> din interiorul zonei de studiu, fie din depozite aluviale aflate în dreapta Dunării (depozite de terasă ale Dunării și/sau formațiuni echivalente cronostratigrafic Formațiunii de Frătești sau mai vechi)<sup>8</sup>. Numărul mare de varietăți de la Giurgiu-Malu Roșu reflectă nu doar variabilitatea surselor (depozite aluviale), ci și posibila proveniență din mai multe surse locale și, probabil, extralocale.

### 3.4. Nicolae Bălcescu-La Vii și Căscioarele-Malul Estic al Lacului

Pentru situl de la Nicolae Bălcescu-La Vii au fost determinate 7 varietăți de silicolite (tabelele 4, 5 și 6, harta 2), din care două sunt de culoare negricioasă (NB-Vii [16] și [18]) și diferențiabile pe baza constituenților primari și asociației de fosile. Alte două varietăți au o culoare brună, fiind diferențiate pe baza constituenților primari și a modului de împachetare a acestora. Acest sit nu beneficiază de surse apropiate documentate în cadrul studiului. Între materialele de la Căscioarele-Malul Estic al Lacului au fost diferențiate patru varietăți de silicolite (tabelele 4 și 5), dar analiza comparativă nu a scos în evidență asemănări specifice care să indice proveniența silicolitelor de la Nicolae Bălcescu-La Vii din această sursă (harta 2). Ca și pentru celelalte situri, sursa de aprovizionare cu silicolite a sitului de la Nicolae Bălcescu este reprezentată de un depozit aluvial, așa cum o arată toate așchiile analizate și care prezintă cortex poros-rulat sau cretos-rulat (alb-gălbui-ruginiu) și/ sau neocortex (gălbui/gri-ruginiu), cu ciobituri-zgârieturi de impact.

<sup>7</sup> Proba GMR [73] are un aspect macroscopic foarte asemănător cu proba GMR-Ca [1] (pl. 9). Asemănarea merită însă menționată, deoarece proba GMR-Ca [1] provine dintr-un depozit aluvial ce aparține terasei Giurgiu.

<sup>8</sup> Această ipoteză se bazează pe faptul că toți galeții de silicolit gri mat prezintă și cortex cretos-poros cu urme de rulare și pete ruginii, dar și suprafețe bine rulate. De asemenea, dimensiunile materialului litic de acest tip implică dimensiuni mari ale materiei prime brute și o sursă relativ apropiată de sit. Cortexul „proaspăt” indică o distanță scurtă de transport de către ape, iar dimensiunile mari ale galeților presupun un curs cu o mare capacitate de eroziune și transport. În partea central-nordică a Podișului Prebalcanic se găsește o formațiune aluvial-proluvială atribuită intervalului Pliocen superior-Pleistocen inferior (150 m a.a.) formată din pietrișuri și nisipuri (7–8 m grosime) cu *Zygodolopodon borsoni*, *Anancus arvernensis* și *Mammuthus meridionalis* (la Vasilcoviți și Ruse) (Enciu 2007).

## 4. STUDIUL COMPARATIV AL SILICOLITELOR DIN SITURI ȘI SURSE. CARACTERISTICI GENERALE

De-a lungul timpului, în arheologia Paleoliticului din Sudul României s-au utilizat sintagmele „silex prebalcanic”, „silex senonian”, „silex din cretacul platformei prebalcanice” și „silex zis de tip Frătești”, termeni care indicau caracteristici specifice și o proveniență certă a materialelor din siturile arheologice din zona văii Dunării. Pentru întregul spațiu de studiu, silicolitele analizate prezintă câteva caracteristici generale, ce apar și transcend cadrul restrâns al fiecărui sit sau sursă.

Din punct de vedere macroscopic, majoritatea silicolitelor din acest studiu conțin „pete gri-alburii milimetrice”, ovale, oval-alungite sau neregulate, mai rare în zona subcorticală, dar mai dese și mai mari spre centrul nodulului. În așchii subțiri, aceste pete sunt opace. La microscop au o culoare brun-gălbui sau brun-cenușie (izotrope) și sunt constituite din aceleași particule care se regăsesc și în masa silicioasă (fosile, micrit, granule de cuarț detritic). Aceste „pete” reprezintă reminiscențe carbonatice și reflectă textura și constituenții primari ai rocii în care s-a produs silicifierea.

La microscop, frecvența anumitor constituenți primari (micrit, bioclaste, peloide, ciment) și modul de asociere și împachetare al acestora permit gruparea probelor analizate în trei categorii: A) silicolite constituite dintr-o masă silicioasă impregnată cu micrit (procent variabil, corelat cu trepte în gradul de translucidență) și bioclaste larg răspândite (37 de probe; tabelul 4, harta 2); B) silicolite constituite dintr-o masă silicioasă în care abundă bioclastele carbonatice (echinoderme, spiculi de spongieri) în matrice micritică (29 de probe, tabelul 5, harta 2); C) silicolite constituite predominant din bioclaste cu peloide sau din peloide și bioclaste, strâns împachetate (16 probe, tabelul 6, harta 2).

În spațiul cuprins între Vădastra și Nicolae Bălcescu predomină primele două categorii (A și B), atât ca număr de probe analizate, cât și ca distribuție constantă în toate siturile și aproape toate carierele (harta 2). Silicolitele caracterizate prin abundența peloidelor și bioclastelor strâns împachetate (categoria C) apar preponderent în zona Giurgiu și sporadic în zona Călărași, fără însă să fie identificate la Căscioarele.

În ciuda caracteristicilor comune generale pentru acest spațiu, cu siguranță nu se poate vorbi de un „silex prebalcanic” în sens larg și nici de „caracteristici petrografice specifice văii Dunării” (Păunescu, Alexandrescu 1997b), ci mai degrabă de categorii cu trăsături specifice locației din bazinul de sedimentare a rocilor-gazdă și condițiilor

locale ale diagenzei prin care au luat naștere aceste silicolite (în Platforma Moesică, la Sud de Dunăre). Distribuția acestor silicolite în spațiul de la N de Dunăre ține de capacitatea de transport și direcția de curgere a apei râurilor care au contribuit

la acumularea depozitelor de pietrișuri și nisipuri din Pliocenul superior și Pleistocenul inferior, dar și de acțiunea ulterioară a Dunării (prin sistemul de terase dezvoltate pe ambele părți) care a erodat și reciclat o parte din aceste pietrișuri.

Tabelul 4

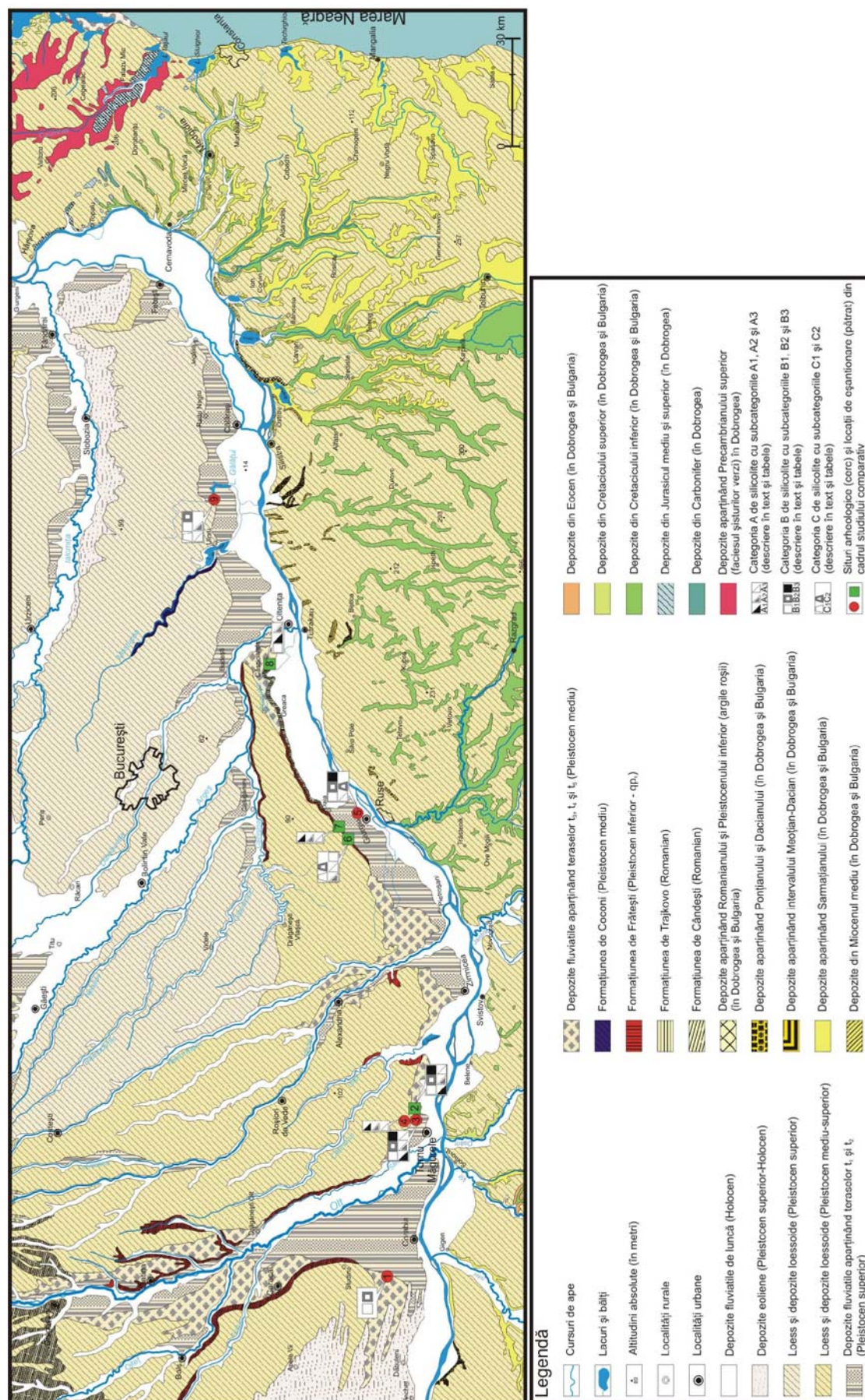
Categoria A – silicolite constituite dintr-o masă silicioasă impregnată cu micrit și fosile larg răspândite (M – micrit; CQf – ciment calcedonic; CQm – ciment de cuarț microcristalin)

Indicativ probă	Culoare	Luciu	Transparență	M	C Qf	C Qm	Bioclaste	Peloide
<b>A1 (silicolite opace)</b>								
Ciup-Vii [6]	crem	mat	opac	50%	(–)	29%	11%	(–)
Ciup-Vii [7]	crem	mat	opac	50%	(–)	30%	15%	(–)
Ciup-Ca [3]	crem	mat	opac	50%	(–)	28%	13%	(–)
Ciup-Ca [7]	crem	mat	opac	50%	(–)	37%	11%	(–)
Ciup-Tir [16]	crem	mat	opac	50%	(–)	35%	10%	(–)
Căs-Lac [4]	crem	mat	opac	50%	(–)	22%	16%	(–)
Ct-CaBl [2]	gălbui-marونی	mat	opac	50%	(–)	25%	15%	(–)
Ct-CaBl [4]	gălbui-marونی	mat	opac	50%	(–)	30%	15%	(–)
Ciup-Tir [10]	bej	mat	opac	35%	(–)	45%	15%	(–)
Ciup-Vii [5]	bej	mat	opac	35%	(–)	35%	15%	(–)
Ciup-Ca [22]	bej	mat	opac	35%	(–)	34%	16%	(–)
<b>A2 (silicolite semiopace)</b>								
Ct-CaBl [3]	gălbui-marونی	mat	semi-opac	30%	(–)	54%	15%	(–)
Gh-CH [8]	gălbui-marونی	mat	semi-opac	30%	(–)	53%	10%	(–)
Gh-CH [13]	gălbui-marونی	mat	semi-opac	30%	(–)	52%	12%	(–)
Gh-CH [14]	gălbui-marونی	mat	semi-opac	30%	(–)	52%	12%	(–)
Ct-CaBl [5]	gri-marونی închis	gras	semi-opac	30%	(–)	53%	12%	(–)
Ciup-Tir [11]	gălbui-marونی	mat	semi-opac	25%	(–)	55%	10%	(–)
Ciup-Vii [3]	gălbui-marونی	mat	semi-opac	25%	(–)	47%	7%	(–)
Ciup-Ca [9]	gălbui-marونی	mat	semi-opac	25%	(–)	60%	12%	(–)
<b>A3 (silicolite translucide)</b>								
Căs-Lac [3]	gălbui-marونی deschis	gras	translucid	15%	(–)	55%	23%	(–)
Ct-CaBl [8]	gri-marونی	gras	translucid	15%	(–)	79%	11%	(–)
NB-Vii [25]	gri închis	gras	translucid	15%	(–)	67%	6%	(–)
Ciup-Ca [4]	gri închis	mat	translucid	15%	(–)	77%	5%	(–)
Ciup-Tir [8]	gri-marونی închis	gras	translucid	10%	(–)	59%	10%	(–)
Ciup-Ca [20]	gri-marونی închis	gras	translucid	10%	(–)	70%	10%	(–)
Ciup-Ca [21]	gri-marونی închis	gras	translucid	10%	(–)	67%	13%	(–)
Ciup-Ca [12]	gri-marونی deschis	gras	translucid	10%	(–)	70%	11%	(–)
Ct-CaBl [6]	gri-marونی închis	gras	translucid	10%	30%	40%	10%	(–)
Ciup-Ca [11]	marونی	gras	translucid	10%	(–)	75%	5%	(–)
Văd-MF [3]	ciocolatiu	gras	translucid	10%	(–)	78%	5%	1%
NB-Vii [2]	brun	mat	translucid	10%	(–)	68%	10%	(–)
GMR [65]	gri-marونی	gras	translucid	10%	(–)	70%	10%	(–)
GMR [62]	gri-marونی	gras	translucid	10%	(–)	75%	5%	(–)
Gh-CH [1]	gri-marونی	gras	translucid	5%	(–)	73%	10%	(–)
Ciup-Tir [7]	gri-marونی închis	gras	translucid	5%	(–)	79%	11%	(–)
Ciup-Vii [1]	gri-marونی închis	gras	translucid	5%	(–)	72%	13%	(–)
Ciup-Ca [18]	gri-marونی închis	gras	translucid	5%	(–)	75%	10%	(–)



*Tabelul 5*  
Categoria B – silicolite cu bioclaste carbonatice în matrice micritică

Indicativ probă	Culoare	Luciu	Transparență	M	C Qf	C Qm	Bioclaste	Peloide
<b>B1</b>								
GMR [73]	gri maroniu deschis	gras	translucid	15%	(-)	57%	23%	(-)
Ciup-Vii [4]	gri închis	gras	translucid	20%	(-)	47%	26%	(-)
Ciup-Ca [6]	gri închis	gras	translucid	20%	(-)	63%	22%	(-)
Ciup-Ca [16]	gri închis	gras	translucid	20%	(-)	50%	21%	(-)
Ciup-Ca [19]	gri închis	gras	translucid	20%	(-)	49%	21%	(-)
Văd-MF [23]	gri-negricios	gras	translucid	20%	(-)	49%	15%	(-)
Văd-MF [26]	castaniu	gras	translucid	20%	(-)	59%	15%	(-)
Văd-MF [29]	castaniu	gras	translucid	20%	(-)	50%	25%	(-)
Văd-MF [69]	gălbui-marونی	gras	translucid	20%	(-)	49%	25%	(-)
Văd-MF [70]	gălbui-marونی	gras	translucid	20%	(-)	48%	26%	(-)
NB-Vii [16]	negricios	gras	translucid	20%	(-)	50%	25%	(-)
Căs-Lac [5]	gri-marونی închis	gras	translucid	20%	(-)	58%	17%	(-)
Căs-Lac [6]	gri-marونی închis	gras	translucid	20%	(-)	53%	22%	(-)
Gh-CH [10]	gri-marونی deschis	gras	translucid	20%	(-)	54%	20%	(-)
<b>B2</b>								
Ciup-Vii [2]	gri-marونی deschis	gras	translucid	25%	(-)	42%	23%	(-)
Ciup-Ca [5]	gri-marونی deschis	gras	translucid	25%	(-)	45%	25%	(-)
Ciup-Ca [15]	gri-marونی deschis	gras	translucid	25%	(-)	45%	20%	(-)
Ciup-Ca [23]	gri-marونی deschis	gras	translucid	25%	(-)	48%	25%	(-)
Ciup-Ca [17]	cenușiu	gras	translucid	25%	(-)	38%	32%	(-)
GMR [61]	gri închis	gras	translucid	25%	(-)	49%	22%	(-)
GMR [77]	marونی	mat	translucid	25%	(-)	36%	37%	(-)
GMR [85]	gri deschis	mat	translucid	30%	(-)	42%	25%	(-)
Căs-Lac [1]	gălbui-marونی închis	gras	translucid	30%	(-)	35%	30%	(-)
Căs-Lac [7]	gălbui-marونی	gras	translucid	30%	(-)	32%	32%	(-)
NB-Vii [21]	gri-verzui închis	mat	-	35%	(-)	43%	17%	(-)
Văd-MF [44]	gri-marونی	mat	-	45%	(-)	32%	21%	(-)
<b>B3 (silicolite fosilifere)</b>								
GMR [86]	gri-verzui	mat	translucid	25%	(-)	32%	<b>39%</b>	(-)
Ciup-Ca [10]	gălbui-marونی	mat	translucid	15%	(-)	33%	<b>50%</b>	(-)



Harta 2. Distribuția categoriilor de silicite determinate pentru siturile Paleoliticului superior și locațiile de eșantionare din cadrul studiului comparativ (1. Vădastra-Măgura Fetelor; 2. Ciuperceni-La Carieră; 3. Ciuperceni-La Vii; 4. Ciuperceni-La Tir; 5. Giurgiu-Malu Roșu; 6. Ghizdaru-Cariera de la Haltă; 7. Cetatea-Cariera Bălănoia; 8. Căscioarele-Malul estic al Lacului; 9. Nicolae Bălcescu-La Vii). Corelizare după Harta geologică a României 1: 1000000 (1978), cu modificări în ceea ce privește denumirile formațiunilor geologice și încadrarea lor cronostratigrafică.

*Tabelul 6*  
Categorii C – silicolite bio-peloidale

Indicativ probă	Culoare	Luciu	Transparență	C Qf	C Qm	Bioclaste	Peloide
<b>C1</b>							
NB-Vii [18]	negricios	gras	translucid	5%	45%	30%	10%
Gh-CH [12]	maroniu-negricios	gras	translucid	(–)	47%	32%	10%
Gh-CH [7]	maroniu deschis	gras	translucid	10%	48%	25%	10%
Gh-CH [2]	cenușiu-negricios	sticlos	translucid	15%	40%	20%	10%
NB-Vii [10]	brun închis	mat	translucid	10%	38%	21%	20%
<b>C2</b>							
GMR [50]	brun	mat	translucid	10%	34%	15%	20%
Gh-CH [4]	brun	mat	translucid	9%	40%	10%	20%
GMR [45]	cenușiu-rozaliu	mat	translucid	5%	35%	15%	30%
Gh-CH [3]	cenușiu-rozaliu	mat	translucid	5%	40%	10%	30%
GMR [43]	brun-ruginiu	mat	f. translucid	51%	10%	1%	30%
GMR [10]	gri	mat	translucid	35%	10%	10%	30%
GMR [22]	gri	mat	translucid	30%	10%	10%	30%
GMR [30]	gri deschis	gras	f. translucid	38%	(–)	15%	40%
GMR [48]	brun	mat	translucid	23%	(–)	21%	40%
Gh-CH [15]	brun	mat	translucid	29%	(–)	15%	40%
GMR [20]	vinețiu	gras	translucid	29%	(–)	21%	40%

## 5. CONCLUZII

Eșantionarea unui număr prea mic de surse posibile de aprovizionare în cadrul prezentului studiu (harta 1) reprezintă cauza succesului limitat în privința identificării surselor de materie primă pentru siturile Paleoliticului superior din zona de Sud a României (determinarea și explicarea provenienței materiilor prime pentru siturile de la Ciuperceni și parțial de la Giurgiu-Malu Roșu, imposibilitatea de a stabili proveniența materiilor prime de la Vădastra-Măgura Fetelor, Nicolae Bălcescu-La Vii). Analiza petrografică din prezentul studiu a încercat să contureze o imagine mai exactă asupra abundenței, disponibilității și variabilității silicolitelor din spațiul dat. Confirmarea varietăților din siturile arheologice în cadrul locațiilor de eșantionare constituie un argument în favoarea considerării respectivului depozit ca fiind accesibil la momentul locuirii umane. Privite în ansamblu, în aceste situri paleolitice au fost utilizate materii prime provenite din surse locale de aprovizionare, și anume depozitele aluviale existente în momentul locuirii umane sau în curs de formare (ipoteză mai veche a paleoliticienilor români, confirmată prin acest studiu petrografic).

În analizele petrografice realizate în trecut pentru zona de Sud a României (în acest sens se pot cita descrierile făcute de C. Papacostea, Păunescu 1970 și de către Alexandrescu, Soare 2009), accentul a căzut prea mult pe mineralogie și prea puțin sau deloc pe frecvența, textura și modul de împachetare al constituenților primari (de altfel, această carență se poate observa și în descrierile la microscop pentru „silexurile” din Bulgaria – Gurova 2008, Gurova, Nachev 2008). Ceea ce a lipsit acestor descrieri petrografice constă în neaplicarea principiilor analizei de microfacies din petrografia sedimentară (Flügel 2010). O descriere petrografică sistematică nu exclude în niciun fel aplicarea altor tehnici de analiză, precum cele utilizate în studiul materiilor prime ca tehnici de sine stătătoare (analiza micropaleontologică, analizele geochemice și modelarea statistică a datelor geochemice), dar necesită și o bună documentare bibliografică (arheologie, geologie regională) pentru canalizarea eficientă a eforturilor de localizare și eșantionare a surselor probabile de aprovizionare.

Tabloul arheologic eterogen și situația incertă cu privire la datarea și încadrarea culturală a

siturilor paleolitice din zona de Sud a României, numărul mic de situri cercetate prin săpături sistematice, dar și numărul redus de surse probabile eșantionate, reprezintă argumente care împiedică formularea unei concluzii asupra circulației materiilor prime în acest spațiu. La nivelul actual al cunoștințelor, se pune problema identificării surselor principale de aprovizionare (adică a celor care au dat peste 50–60% sau mai mult din totalul materiilor prime dintr-un sit), dar și constituirea de litoteci la nivel regional.

## BIBLIOGRAFIE

- Anastasiu 1998 – N. Anastasiu, *Sedimentologie și petrologie sedimentară*, București, 1998.
- Akridge, Benoît 2001 – G. D. Akridge, P. H. Benoît, *Luminescence properties of chert and some archaeological application*, JAS 28, 2001, p. 143–151.
- Alexandrescu 1996–1998 – E. Alexandrescu, *Observații asupra industriei litice de la Giurgiu-Malu Roșu*, BMTA 2-4, 1996–1998, p. 33–57.
- Alexandrescu, Soare 2009 – E. Alexandrescu, B. Soare, *Studiul petrografic al unor silexuri din situl Giurgiu-Malu Roșu*, BMTA 12, 2009, p. 55–62.
- Bathurst 1994 – R. G. C. Bathurst, *Carbonate sediments and their diagenesis*, (1975), *Developments in Sedimentology* 12, Elsevier Science B.V., Amsterdam, 1994.
- Bloss 1994 – D. F. Bloss, *Crystallography and Crystal Chemistry. An introduction*, Mineralogical Society of America, Washington D.C., 1994.
- Boroneanț et al. 1983 – V. Boroneanț, I. Vlad, E. Terzea, Th. Neagu, V. Serini, P. Coteș, D. Popescu, T. Postolache, H. Azvadurov, Ș. Roman, M. Cărciumaru, *Principalele rezultate ale cercetărilor de la Ciuperceni-Tr. Măgurele*, MCA XV, 1983, p. 14–16.
- Dobrescu, Tuffreau 2011 – R. Dobrescu, A. Tuffreau, *Le gisement paléolithique supérieur ancien de La Vii 1 à Ciuperceni (vallée du Danube): caractéristiques technologiques du niveau CR*, comunicare, International Conference „Recent Studies on Past and Present: New Sources, New Methods or a New Public?”, Bucharest, 25th–28th September 2011.
- Enciu 2007 – P. Enciu, *Pliocenul și Cuaternarul din vestul Bazinului Dacic. Stratigrafie și evoluție paleogeografică*, București, 2007.
- Flügel 2010 – E. Flügel, *Microfacies of Carbonate Rocks. Analysis, Interpretation and Application*, Berlin-Heidelberg, 2010.
- Gurova 2008 – M. Gurova, *Towards an understanding of Early Neolithic populations: a flint perspective from Bulgaria*, Documenta Praehistorica 35, 2008, p. 111–129.
- Gurova, Nachev 2008 – M. Gurova, C. Nachev, *Formal Early Neolithic flint toolkits: archaeological and sedimentological aspects*, în *Geoarchaeology and Archaeomineralogy. Proceedings of the International Conference*, 29–30 October 2008 Sofia, R. I. Kostov, B. Gaydarska și M. Gurova (eds.), Sofia, 2008, p. 29–35.
- Heaney, Post 1992 – P. J. Heaney, J. E. Post, *The widespread distribution of a novel silica polymorph in microcrystalline quartz varieties*, Science 255 (5043), 1992, p. 441–443.
- Klein, Hurlbut 1999 – C. Klein, C. S. Hurlbut Jr., *Manual of Mineralogy*, (after James D. Dana), New York, 1999.
- Nicolăescu-Plopșor et al. 1956 – C. S. Nicolăescu-Plopșor, E. Comșa, Gh. Rădulescu, M. I. Ionescu, *Paleoliticul de la Giurgiu. Așezarea de la Malu Roșu*, SCIV 7 (3–4), 1956, p. 223–235.
- Navazo et al. 2008 – M. Navazo, A. Colina, S. Dominguez-Bella, A. Benito-Calvo, *Raw stone material supply for Upper Pleistocene settlements in Sierra de Atapuerca (Burgos, Spain): flint characterization using petrographic and geochemical techniques*, în JAS 35, 2008, p. 1961–1973.
- Păunescu 1970 – Al. Păunescu, *Evoluția uneltelor și armelor de piatră cioplită descoperite pe teritoriul României*, București, 1970.
- Păunescu 2000 – Al. Păunescu, *Paleoliticul și mezoliticul din spațiul cuprins între Carpați și Dunăre*, București, 2000.
- Păunescu, Alexandrescu 1997a – Al. Păunescu, Em. Alexandrescu, *Prima așezare aurignaciană din Sud-Estul Câmpiei Române*, CCDJ 15, 1997.
- Păunescu, Alexandrescu 1997b – Al. Păunescu, Em. Alexandrescu, *Săpăturile arheologice de la Giurgiu-Malu Roșu. Campaniile 1992–1993*, Cercetări arheologice 10, 1997, p. 7–33.
- Protopopescu-Pache, Mateescu 1959 – Em. Protopopescu-Pache, C. N. Mateescu, *Deux outils de silex paléolithiques de Vădastra*, Anthropozoikum 8, p. 7–16.
- Scholle, Ulmer-Scholle 2003 – P. A. Scholle, D. S. Ulmer-Scholle, *A color guide to the Petrography of Carbonate rocks: grains, textures, porosity, diagenesis*, AAPG Memoir 77, American Association of Petroleum Geologists, Tulsa, 2003.

## LISTA TABELELOR

- Tabelul 1. Siturile arheologice incluse în studiu (SSb – secțiuni subțiri).
- Tabelul 2. Locațiile de eșantionare din cadrul studiului, considerate ca potențiale surse de aprovizionare (SSb – secțiuni subțiri).
- Tabelul 3. Probe de silicolite din situri și surse considerate ca fiind echivalente (M – micrit; CQf – ciment calcedonic; CQm – ciment de cuarț microcristalin).
- Tabelul 4. Categoria A – silicolite constituite dintr-o masă silicioasă impregnată cu micrit și fosile larg răspândite (M – micrit; CQf – ciment calcedonic; CQm – ciment de cuarț microcristalin).
- Tabelul 5. Categoria B – silicolite cu bioclaste carbonatice în matrice micritică.
- Tabelul 6. Categoria C – silicolite bio-peloidale.

## LISTA PLANȘELOR

- Pl. 1. Aspecte macroscopice și microscopice ale varietății de silicolit opac (categoria A1) de la Ciuperceni-La Vii (1–4), Ciuperceni-La Carieră (5–6) și Ciuperceni-La Tir (7–8): 1. Ciup-Vii [7] (macro); 2. Ciup-Vii [7] (micro – LPP);



3. Ciup-Vii [6] (macro); 4. Ciup-Vii [6] (micro – LPP); 5. Ciup-Ca [7] (macro); 6. Ciup-Ca [7] (micro – LPP); 7. Ciup-Tir [16] (macro); 8. Ciup-Tir [16] (micro – LPP); fotografii de Al. Ciornei (2012); foto macro – mirele au 1 cm; foto micro – grosiment 4X; LPP – lumină plan-polarizată.
- Pl. 2. Aspecte macroscopice și microscopice ale varietății de silicolit opac cu perforații tubulare (categoria A1) de la Ciuperceni-La Vii (1–2), Ciuperceni-La Carieră (3–4) și Ciuperceni-La Tir (5–6): 1. Ciup-Vii [5] (macro); 2. Ciup-Vii [5] (micro – LPP); 3. Ciup-Ca [22] (macro); 4. Ciup-Ca [22] (micro – LPP); 5. Ciup-Tir [10] (macro); 6. Ciup-Tir [10] (micro – LPP); fotografii de Al. Ciornei (2012); foto macro – mirele au 1 cm; foto micro – grosiment 4X; LPP – lumină plan-polarizată.
- Pl. 3. Aspecte macroscopice și microscopice ale varietăților de silicolite semiopace (categoria A2) de la Ciuperceni-La Vii (1–2), Ciuperceni-La Carieră (3–4, 7–8) și Ciuperceni-La Tir (5–6): 1. Ciup-Vii [3] (macro); 2. Ciup-Vii [3] (micro – LPP); 3. Ciup-Ca [9] (macro); 4. Ciup-Ca [9] (micro – LPP); 5. Ciup-Tir [11] (macro); 6. Ciup-Tir [11] (micro – LPP); 7. Ciup-Ca [11] (macro); 8. Ciup-Ca [11] (micro – LPP); fotografii de Al. Ciornei (2012); foto macro – mirele au 1 cm; foto micro – grosiment 4X; LPP – lumină plan-polarizată.
- Pl. 4. Aspecte macroscopice și microscopice ale varietății de silicolit translucid gri-marونیu închis (categoria A3) de la Ciuperceni-La Vii (1–2), Ciuperceni-La Carieră (3–4) și Ciuperceni-La Tir (5–6): 1. Ciup-Vii [1] (macro); 2. Ciup-Vii [1] (micro – LPP); 3. Ciup-Ca [18] (macro); 4. Ciup-Ca [18] (micro – LPP); 5. Ciup-Tir [7] (macro); 6. Ciup-Tir [7] (micro – LPP); fotografii de Al. Ciornei (2012); foto macro – mirele au 1 cm; foto micro – grosiment 4X; LPP – lumină plan-polarizată.
- Pl. 5. Aspecte macroscopice și microscopice ale varietății de silicolit translucid gri-marونیu închis (categoria A3) de la Ciuperceni-La Tir (1–2) și Ciuperceni-La Carieră (3–8): 1. Ciup-Tir [8] (macro); 2. Ciup-Tir [8] (micro – N+); 3. Ciup-Ca [20] (macro); 4. Ciup-Ca [20] (micro – N+); 5. Ciup-Ca [12] (macro); 6. Ciup-Ca [12] (micro – N+); 7. Ciup-Ca [21] (macro); 8. Ciup-Ca [21] (micro – N+); fotografii de Al. Ciornei (2012); foto macro – mirele au 1 cm; foto micro – grosiment 4X; N+ – nicolii încrucișați.
- Pl. 6. Aspecte macroscopice și microscopice ale varietății de silicolit cu bioclaste carbonatice fragmentate (categoria B1) de la Ciuperceni-La Vii (1–2) și Ciuperceni-La Carieră (3–8): 1. Ciup-Vii [4] (macro); 2. Ciup-Vii [4] (micro – N+); 3. Ciup-Ca [16] (macro); 4. Ciup-Ca [16] (micro – N+); 5. Ciup-Ca [6] (macro); 6. Ciup-Ca [6] (micro – N+); 7. Ciup-Ca [19] (macro); 8. Ciup-Ca [19] (micro – N+); fotografii de Al. Ciornei (2012); foto macro – mirele au 1 cm; foto micro – grosiment 4X; N+ – nicolii încrucișați.
- Pl. 7. Aspecte macroscopice și microscopice ale varietății de silicolit cu bioclaste carbonatice fragmentate (categoria B2) de la Ciuperceni-La Vii (1–2) și Ciuperceni-La Carieră (3–8): 1. Ciup-Vii [2] (macro); 2. Ciup-Vii [2] (micro – N+); 3. Ciup-Ca [23] (macro); 4. Ciup-Ca [23] (micro – N+); 5. Ciup-Ca [5] (macro); 6. Ciup-Ca [5] (micro – N+); 7. Ciup-Ca [15] (macro); 8. Ciup-Ca [15] (micro – N+); fotografii de Al. Ciornei (2012); foto macro – mirele au 1 cm; foto micro – grosiment 4X; N+ – nicolii încrucișați.
- Pl. 8. Aspecte macroscopice și microscopice ale varietății de silicolit gri-marونیu translucid (categoria A3) de la Giurgiu-Malu Roșu (1–4) și Ghizdaru-Cariera de la Haltă (5–6): 1. GMR [62] (macro); 2. GMR [62] (micro – N+); 3. GMR [65] (macro); 4. GMR [65] (micro – N+); 5. Gh-CH [1] (macro); 6. Gh-CH [1] (micro – N+); fotografii de Al. Ciornei (2012); foto macro – mirele au 1 cm; foto micro – grosiment 4X; N+ – nicolii încrucișați.
- Pl. 9. Aspecte macroscopice și microscopice ale varietății de silicolit cenușiu-rozaliu peloidal (1–4 – categoria C2) și a varietății de silicolit gri-marونیu deschis cu bioclaste puternic fragmentate (5–7 – categoria B1) de la Ghizdaru-Cariera de la Haltă (1–2), Giurgiu-Malu Roșu (3–6) și Giurgiu-Cariera Malu Roșu (7): 1. Gh-CH [3] (macro); 2. Gh-CH [3] (micro – N+); 3. GMR [45] (macro); 4. GMR [45] (micro – N+); 5. GMR [73] (macro); 6. GMR [73] (micro – N+); 7. GMR-Ca [1] (macro); fotografii de Al. Ciornei (2012); foto macro – mirele au 1 cm; foto micro – grosiment 4X; N+ – nicolii încrucișați.
- Pl. 10. Aspecte macroscopice și microscopice ale varietăților de silicolite peloidale (categoria C2) de la Ghizdaru-Cariera de la Haltă (1–2, 5–6) și Giurgiu-Malu Roșu (3–4, 7–8): 1. Gh-CH [4] (macro); 2. Gh-CH [4] (micro – N+); 3. GMR [50] (macro); 4. GMR [50] (micro – N+); 5. Gh-CH [15] (macro); 6. Gh-CH [15] (micro – N+); 7. GMR [48] (macro); 8. GMR [48] (micro – N+); fotografii de Al. Ciornei (2012); foto macro – mirele au 1 cm; foto micro – grosiment 4X; N+ – nicolii încrucișați.

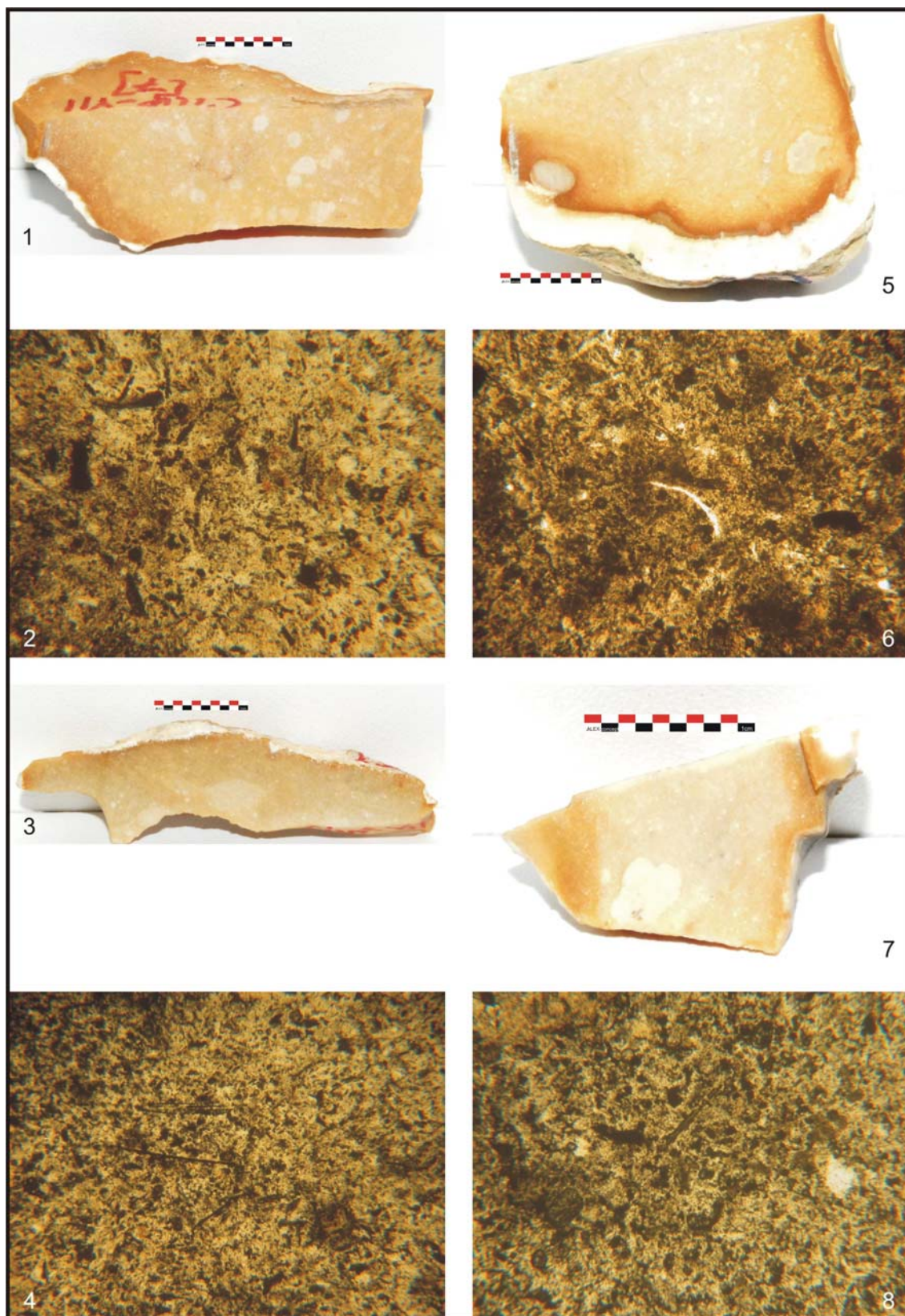
## TABLE LIST

- Table 1. Archaeological sites in the study area (SSb – thin sections).
- Table 2. Sampling locations in the study area, considered as potential raw-material sources (SSb – thin sections).
- Table 3. Equivalent chert samples from sites and potential raw-material sources (M – micrite; CQf –chalcedony cement; CQm – microquartz cement).
- Table 4. Category A – cherts with siliceous groundmass impregnated with micrite and loosely packed fossils (M – micrite; CQf –chalcedony cement; CQm – micro-quartz cement).
- Table 5. Category B – cherts with carbonate bioclasts in a micrite matrix.
- Table 6. Category C – bio-peloidal cherts.

## PLATES LIST

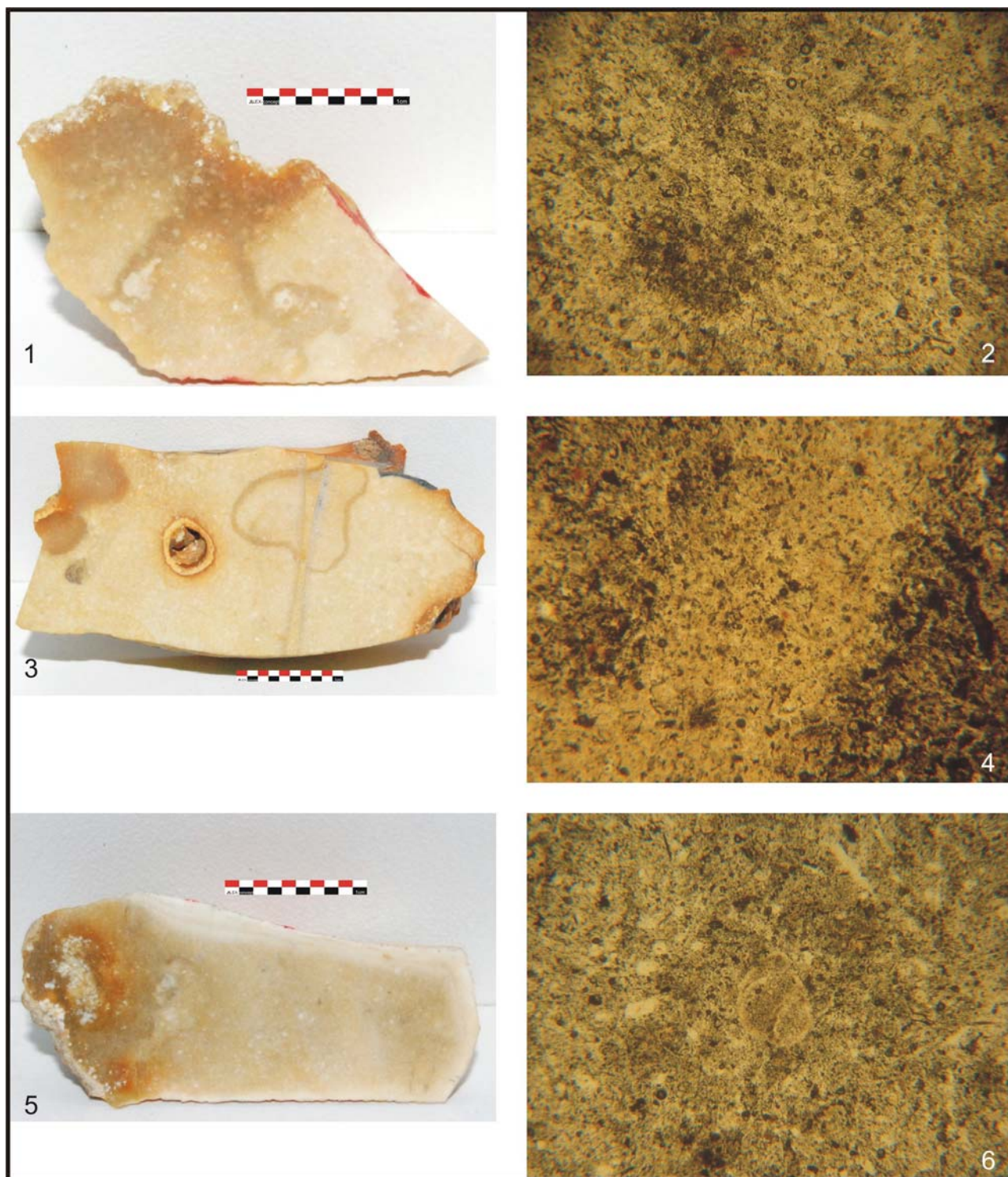
- Pl. 1. Macroscopic and microscopic photographs of opaque cherts (category A1) from Ciuperceni-La Vii (1–4), Ciuperceni-La Carieră (5–6) and Ciuperceni-La Tir (7–8): 1. Ciup-Vii [7] (macro); 2. Ciup-Vii [7] (micro – LPP); 3. Ciup-Vii [6] (macro); 4. Ciup-Vii [6] (micro – LPP); 5. Ciup-Ca [7] (macro); 6. Ciup-Ca [7] (micro – LPP); 7. Ciup-Tir [16] (macro); 8. Ciup-Tir [16] (micro – LPP); photographs by Al. Ciornei (2012); photo macro – scale is 1 cm; photo micro – magnification 4X; LPP – plane polarized light.
- Pl. 2. Macroscopic and microscopic photographs of opaque chert with tubular perforations (category A1) from

- Ciuperceni-La Vii" (1–2), Ciuperceni-La Carieră (3–4) and Ciuperceni-La Tir (5–6): 1. Ciup-Vii [5] (macro); 2. Ciup-Vii [5] (micro – LPP); 3. Ciup-Ca [22] (macro); 4. Ciup-Ca [22] (micro – LPP); 5. Ciup-Tir [10] (macro); 6. Ciup-Tir [10] (micro – LPP); photographs by Al. Ciornei (2012); photo macro – scale is 1 cm; photo micro – magnification 4X; LPP – plane polarized light.
- Pl. 3. Macroscopic and microscopic photographs of semi-opaque cherts (category A2) from Ciuperceni-La Vii (1–2), Ciuperceni-La Carieră (3–4, 7–8) and Ciuperceni-La Tir (5–6): 1. Ciup-Vii [3] (macro); 2. Ciup-Vii [3] (micro – LPP); 3. Ciup-Ca [9] (macro); 4. Ciup-Ca [9] (micro – LPP); 5. Ciup-Tir [11] (macro); 6. Ciup-Tir [11] (micro – LPP); 7. Ciup-Ca [11] (macro); 8. Ciup-Ca [11] (micro – LPP); photographs by Al. Ciornei (2012); photo macro – scale is 1 cm; photo micro – magnification 4X; LPP – plane polarized light.
- Pl. 4. Macroscopic and microscopic photographs of dark gray-brownish translucent chert (category A3) from Ciuperceni-La Vii (1–2), Ciuperceni-La Carieră (3–4) and Ciuperceni-La Tir (5–6): 1. Ciup-Vii [1] (macro); 2. Ciup-Vii [1] (micro – LPP); 3. Ciup-Ca [18] (macro); 4. Ciup-Ca [18] (micro – LPP); 5. Ciup-Tir [7] (macro); 6. Ciup-Tir [7] (micro – LPP); photographs by Al. Ciornei (2012); photo macro – scale is 1 cm; photo micro – magnification 4X; LPP – plane polarized light.
- Pl. 5. Macroscopic and microscopic photographs of dark gray-brownish translucent chert (category A3) from Ciuperceni-La Tir (1–2) and Ciuperceni-La Carieră (3–8): 1. Ciup-Tir [8] (macro); 2. Ciup-Tir [8] (micro – N+); 3. Ciup-Ca [20] (macro); 4. Ciup-Ca [20] (micro – N+); 5. Ciup-Ca [12] (macro); 6. Ciup-Ca [12] (micro – N+); 7. Ciup-Ca [21] (macro); 8. Ciup-Ca [21] (micro – N+); photographs by Al. Ciornei (2012); photo macro – scale is 1 cm; photo micro – magnification 4X; N+ – crossed nicols.
- Pl. 6. Macroscopic and microscopic photographs of cherts with carbonate bioclasts in a micrite matrix (category B1) from Ciuperceni-La Vii (1–2) and Ciuperceni-La Carieră (3–8): 1. Ciup-Vii [4] (macro); 2. Ciup-Vii [4] (micro – N+); 3. Ciup-Ca [16] (macro); 4. Ciup-Ca [16] (micro – N+); 5. Ciup-Ca [6] (macro); 6. Ciup-Ca [6] (micro – N+); 7. Ciup-Ca [19] (macro); 8. Ciup-Ca [19] (micro – N+); photographs by Al. Ciornei (2012); photo macro – scale is 1 cm; photo micro – magnification 4X; N+ – crossed nicols.
- Pl. 7. Macroscopic and microscopic photographs of cherts with carbonate bioclasts in a micrite matrix (category B2) from Ciuperceni-La Vii (1–2) and Ciuperceni-La Carieră (3–8): 1. Ciup-Vii [2] (macro); 2. Ciup-Vii [2] (micro – N+); 3. Ciup-Ca [23] (macro); 4. Ciup-Ca [23] (micro – N+); 5. Ciup-Ca [5] (macro); 6. Ciup-Ca [5] (micro – N+); 7. Ciup-Ca [15] (macro); 8. Ciup-Ca [15] (micro – N+); +); photographs by Al. Ciornei (2012); photo macro – scale is 1 cm; photo micro – magnification 4X; N+ – crossed nicols.
- Pl. 8. Macroscopic and microscopic photographs of gray-brownish translucent chert (category A3) de la Giurgiu-Malu Roșu (1–4) and Ghizdaru-Cariera de la Haltă (5–6): 1. GMR [62] (macro); 2. GMR [62] (micro – N+); 3. GMR [65] (macro); 4. GMR [65] (micro – N+); 5. Gh-CH [1] (macro); 6. Gh-CH [1] (micro – N+); photographs by Al. Ciornei (2012); photo macro – scale is 1 cm; photo micro – magnification 4X; N+ – crossed nicols.
- Pl. 9. Macroscopic and microscopic photographs of grayish-pink peloidal chert (1–4 – category C2) and light gray-brownish chert with carbonate bioclasts in a micrite matrix (5–7 – category B1) from Ghizdaru-Cariera de la Haltă (1–2), Giurgiu-Malu Roșu (3–6) and Giurgiu-Cariera Malu Roșu (7): 1. Gh-CH [3] (macro); 2. Gh-CH [3] (micro – N+); 3. GMR [45] (macro); 4. GMR [45] (micro – N+); 5. GMR [73] (macro); 6. GMR [73] (micro – N+); 7. GMR-Ca [1] (macro); photographs by Al. Ciornei (2012); photo macro – scale is 1 cm; photo micro – magnification 4X; N+ – crossed nicols.
- Pl. 10. Macroscopic and microscopic photographs of peloidal cherts (categoria C2) from Ghizdaru-Cariera de la Haltă (1–2, 5–6) and Giurgiu-Malu Roșu (3–4, 7–8): 1. Gh-CH [4] (macro); 2. Gh-CH [4] (micro – N+); 3. GMR [50] (macro); 4. GMR [50] (micro – N+); 5. Gh-CH [15] (macro); 6. Gh-CH [15] (micro – N+); 7. GMR [48] (macro); 8. GMR [48] (micro – N+); photographs by Al. Ciornei (2012); photo macro – scale is 1 cm; photo micro – magnification 4X; N+ – crossed nicols.



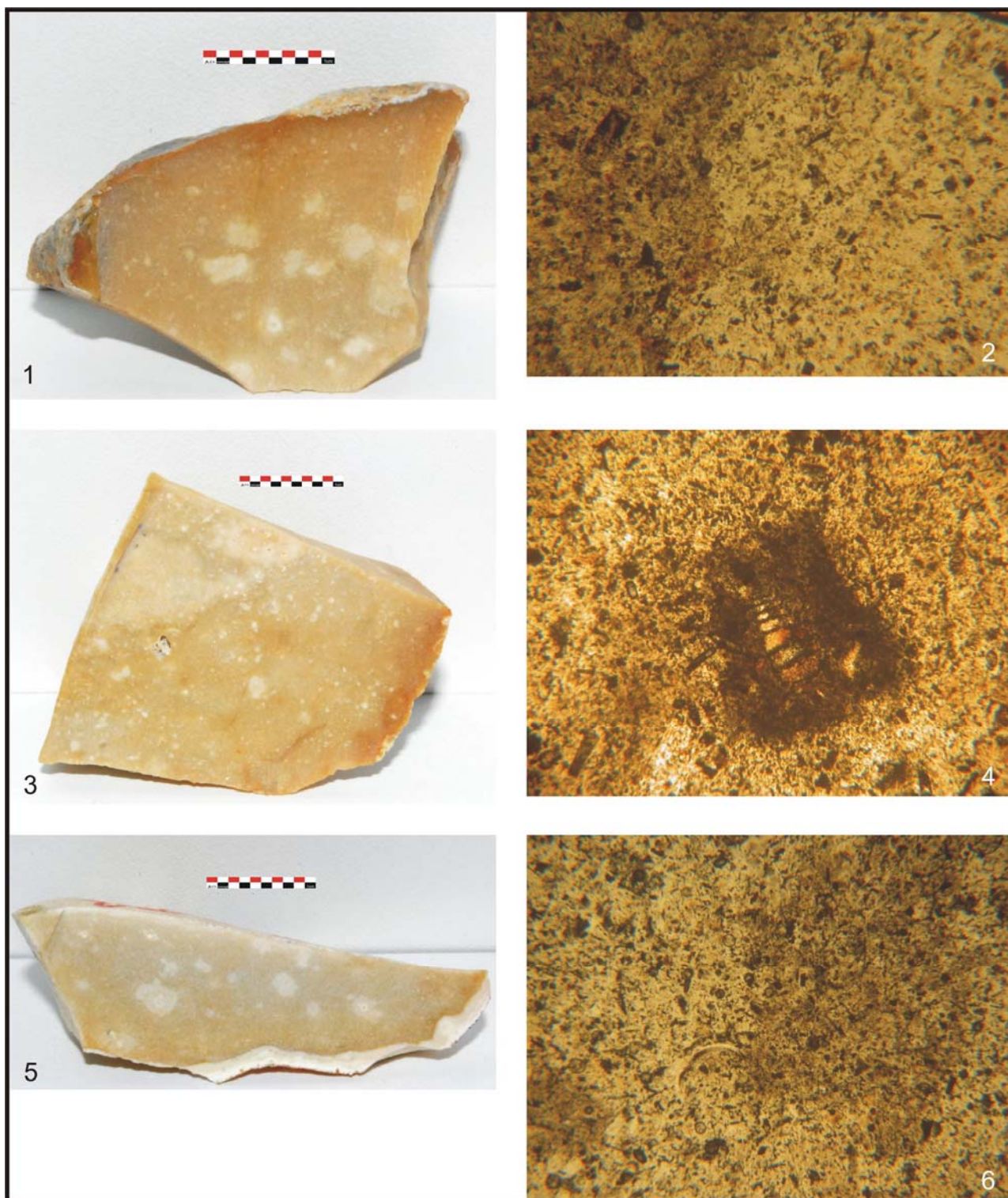
Pl. 1. Aspecte macroscopice și microscopice ale varietății de silicolit opac (categoria A1) de la Ciuperceni-La Vii (1–4), Ciuperceni-La Carieră (5–6) și Ciuperceni-La Tir (7–8): 1. Ciup-Vii [7] (macro); 2. Ciup-Vii [7] (micro – LPP); 3. Ciup-Vii [6] (macro); 4. Ciup-Vii [6] (micro – LPP); 5. Ciup-Ca [7] (macro); 6. Ciup-Ca [7] (micro – LPP); 7. Ciup-Tir [16] (macro); 8. Ciup-Tir [16] (micro – LPP); fotografii de Al. Ciornei (2012); foto macro – mirele au 1 cm; foto micro – grosiment 4X; LPP – lumină plan-polarizată.





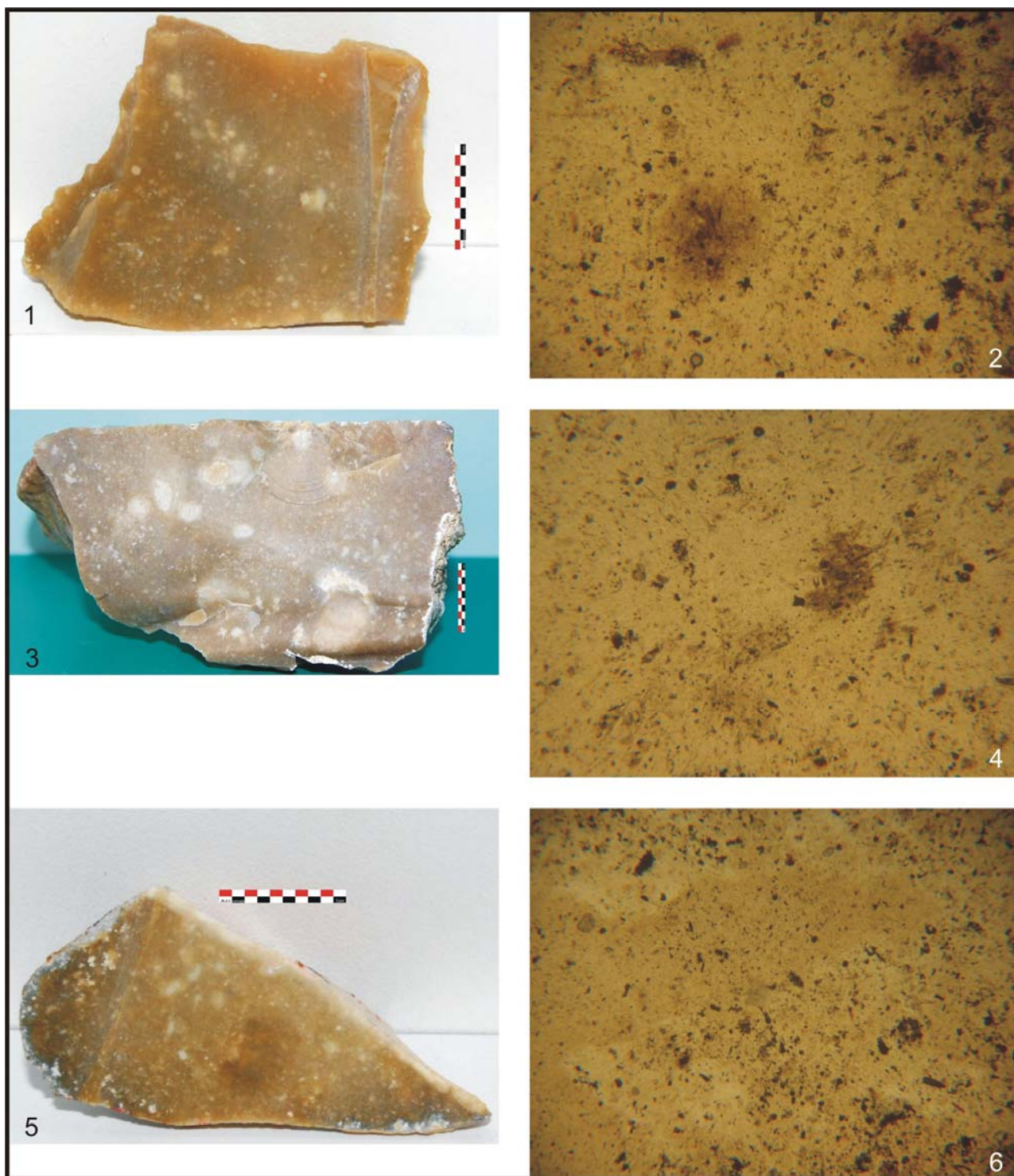
Pl. 2. Aspecte macroscopice și microscopice ale varietății de silicolit opac cu perforații tubulare (categoria A1) de la Ciuperceni-La Vii (1–2), Ciuperceni-La Carieră (3–4) și Ciuperceni-La Tir (5–6): 1. Ciup-Vii [5] (macro); 2. Ciup-Vii [5] (micro – LPP); 3. Ciup-Ca [22] (macro); 4. Ciup-Ca [22] (micro – LPP); 5. Ciup-Tir [10] (macro); 6. Ciup-Tir [10] (micro – LPP); fotografii de Al. Ciornei (2012); foto macro – mirele au 1 cm; foto micro – grosiment 4X; LPP – lumină plan-polarizată.





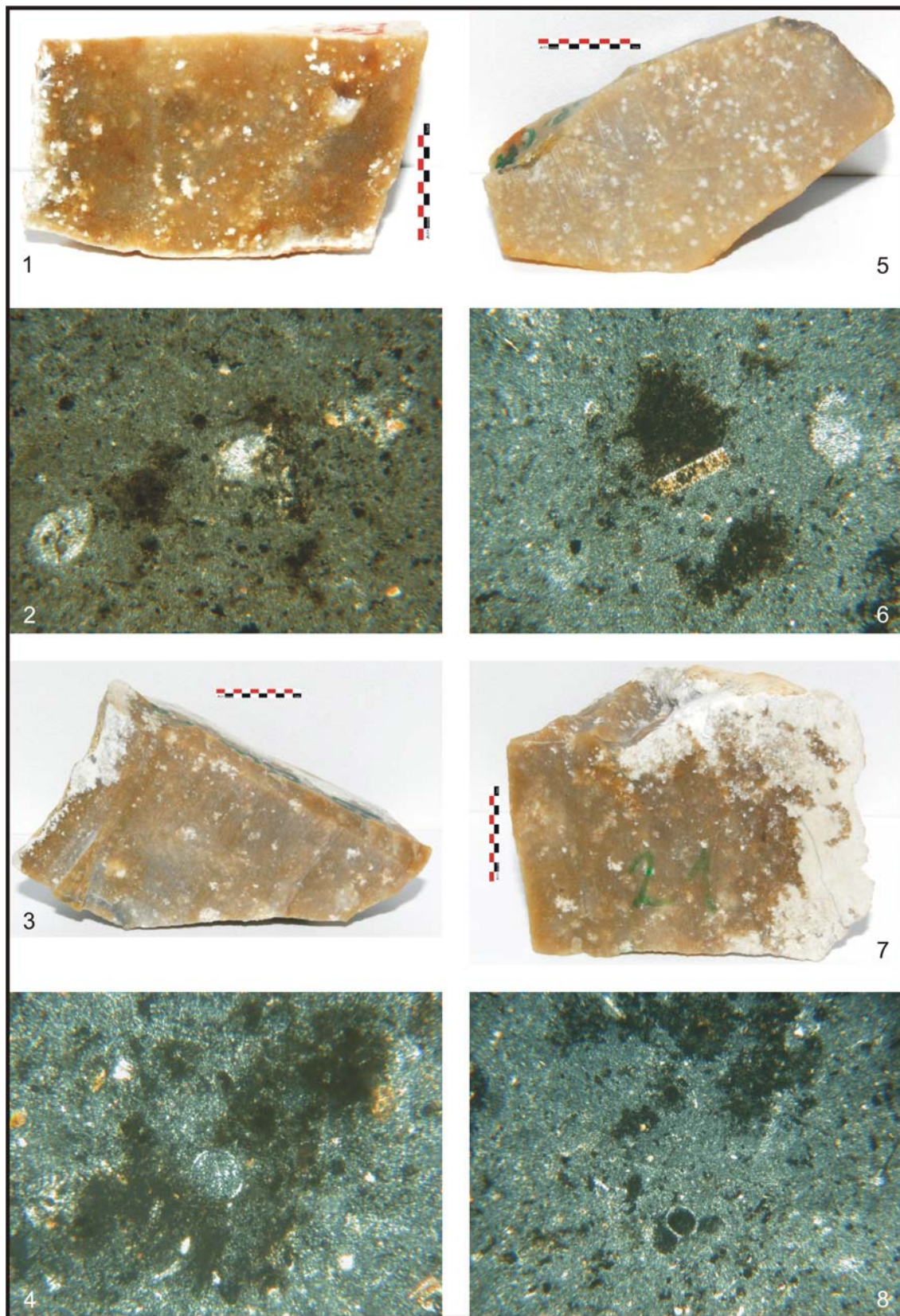
Pl. 3. Aspecte macroscopice și microscopice ale varietăților de silicolite semiopace (categoria A2) de la Ciuperceni-La Vii (1–2), Ciuperceni-La Carieră (3–4, 7–8) și Ciuperceni-La Tir (5–6): 1. Ciup-Vii [3] (macro); 2. Ciup-Vii [3] (micro – LPP); 3. Ciup-Ca [9] (macro); 4. Ciup-Ca [9] (micro – LPP); 5. Ciup-Tir [11] (macro); 6. Ciup-Tir [11] (micro – LPP); 7. Ciup-Ca [11] (macro); 8. Ciup-Ca [11] (micro – LPP); fotografii de Al. Ciornei (2012); foto macro – mirele au 1 cm; foto micro – grosiment 4X; LPP – lumină plan-polarizată.





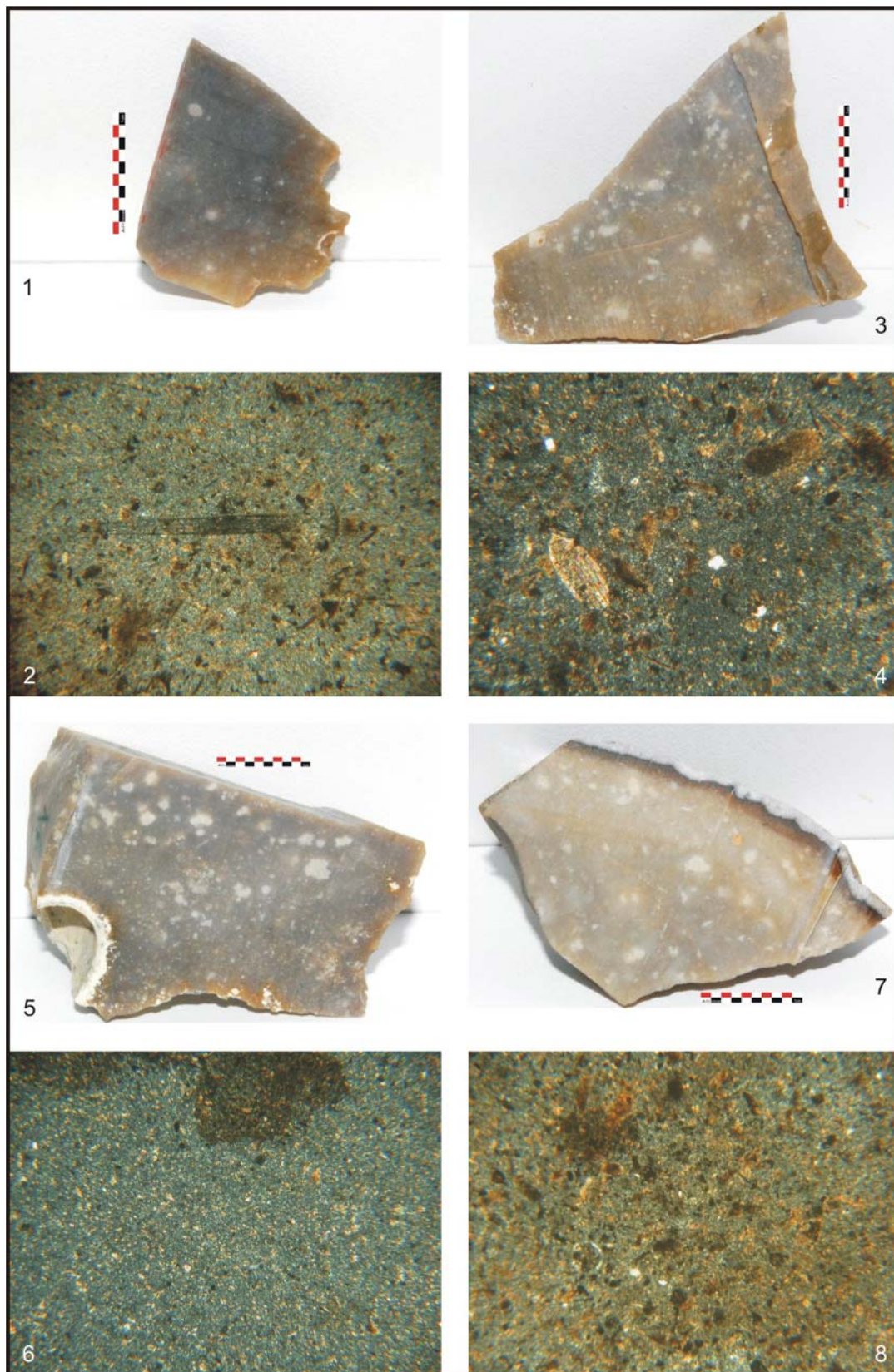
Pl. 4. Aspecte macroscopice și microscopice ale varietății de silicolit translucid gri-marونیu închis (categoria A3) de la Ciuperceni-La Vii (1–2), Ciuperceni-La Carieră (3–4) și Ciuperceni-La Tir (5–6): 1. Ciup-Vii [1] (macro); 2. Ciup-Vii [1] (micro – LPP); 3. Ciup-Ca [18] (macro); 4. Ciup-Ca [18] (micro – LPP); 5. Ciup-Tir [7] (macro); 6. Ciup-Tir [7] (micro – LPP); fotografii de Al. Ciornei (2012); foto macro – mirele au 1 cm; foto micro – grosimet 4X; LPP – lumină plan-polarizată.





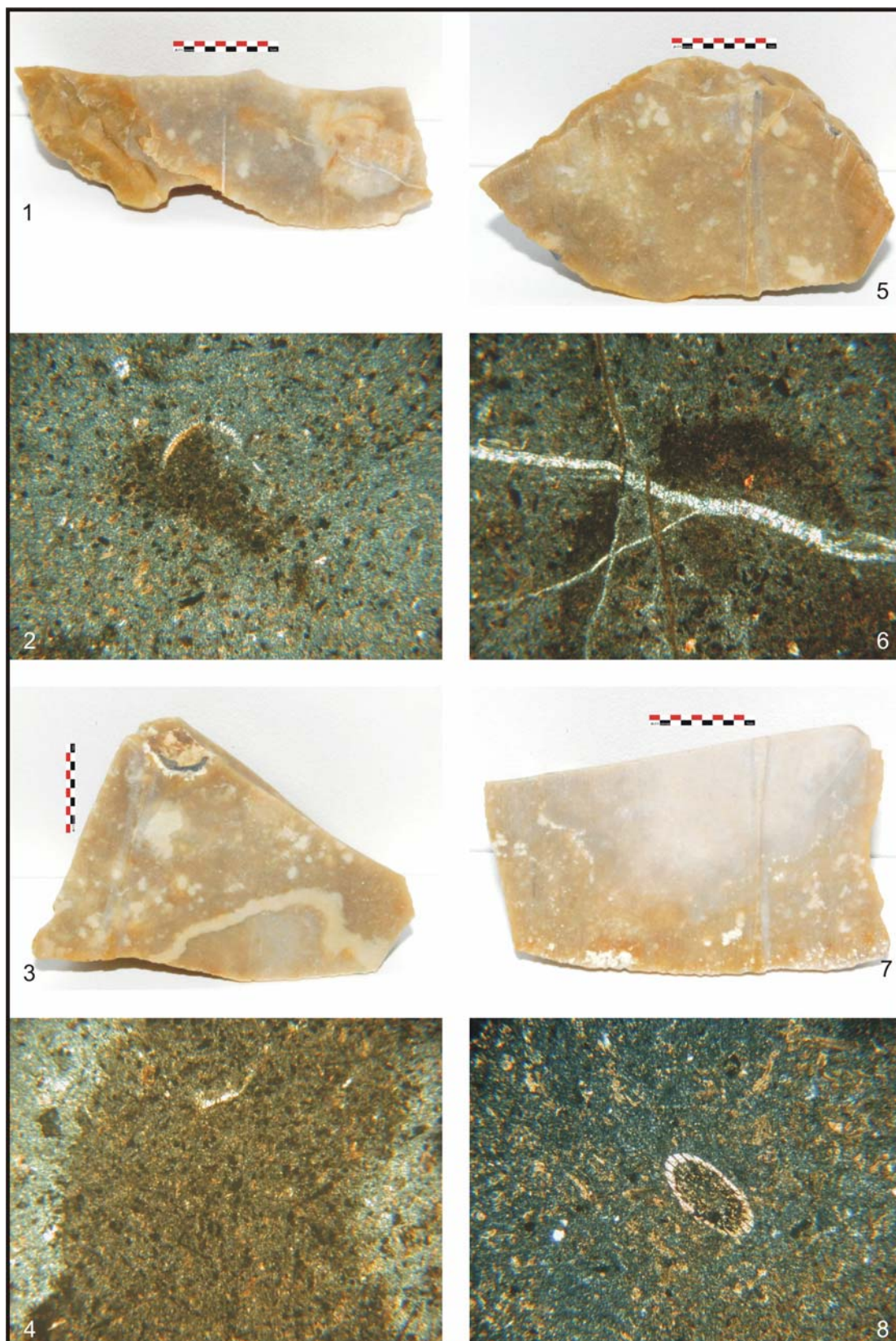
Pl. 5. Aspecte macroscopice și microscopice ale varietății de silicolit translucid gri-marونیu închis (categoria A3) de la Ciuperceni-La Tir (1–2) și Ciuperceni-La Carieră (3–8): 1. Ciup-Tir [8] (macro); 2. Ciup-Tir [8] (micro – N+); 3. Ciup-Ca [20] (macro); 4. Ciup-Ca [20] (micro – N+); 5. Ciup-Ca [12] (macro); 6. Ciup-Ca [12] (micro – N+); 7. Ciup-Ca [21] (macro); 8. Ciup-Ca [21] (micro – N+); fotografii de Al. Ciornei (2012); foto macro – mirele au 1 cm; foto micro – grosiment 4X; N+ – nicolii încrucișați.





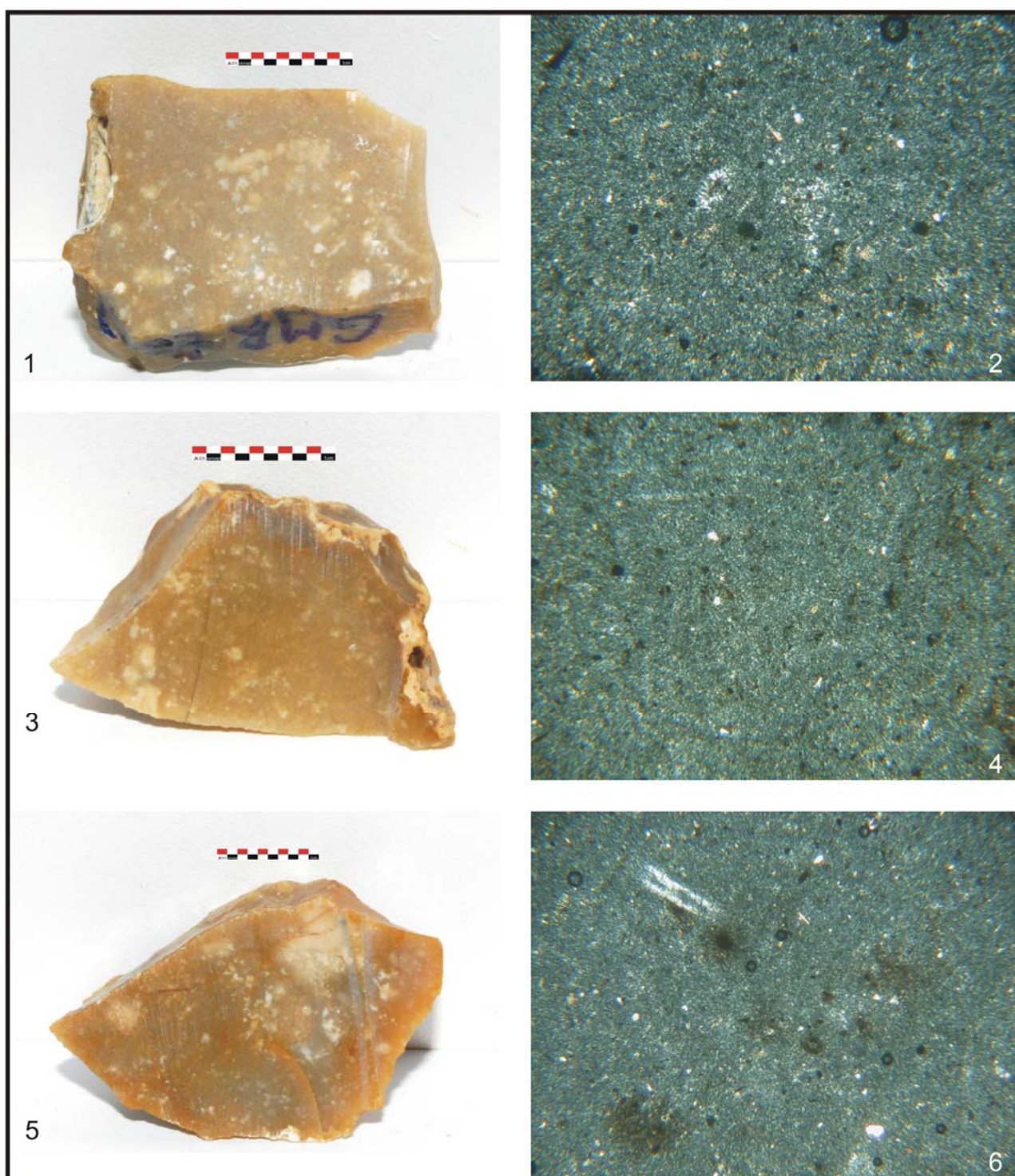
Pl. 6. Aspecte macroscopice și microscopice ale varietății de silicolit cu bioclaste carbonatice fragmentate (categoria B1) de la Ciuperceni-La Vii (1–2) și Ciuperceni-La Carieră (3–8): 1. Ciup-Vii [4] (macro); 2. Ciup-Vii [4] (micro – N+); 3. Ciup-Ca [16] (macro); 4. Ciup-Ca [16] (micro – N+); 5. Ciup-Ca [6] (macro); 6. Ciup-Ca [6] (micro – N+); 7. Ciup-Ca [19] (macro); 8. Ciup-Ca [19] (micro – N+); fotografii de Al. Ciornei (2012); foto macro – mirele au 1 cm; foto micro – grosiment 4X; N+ – nicolii încrucișați.





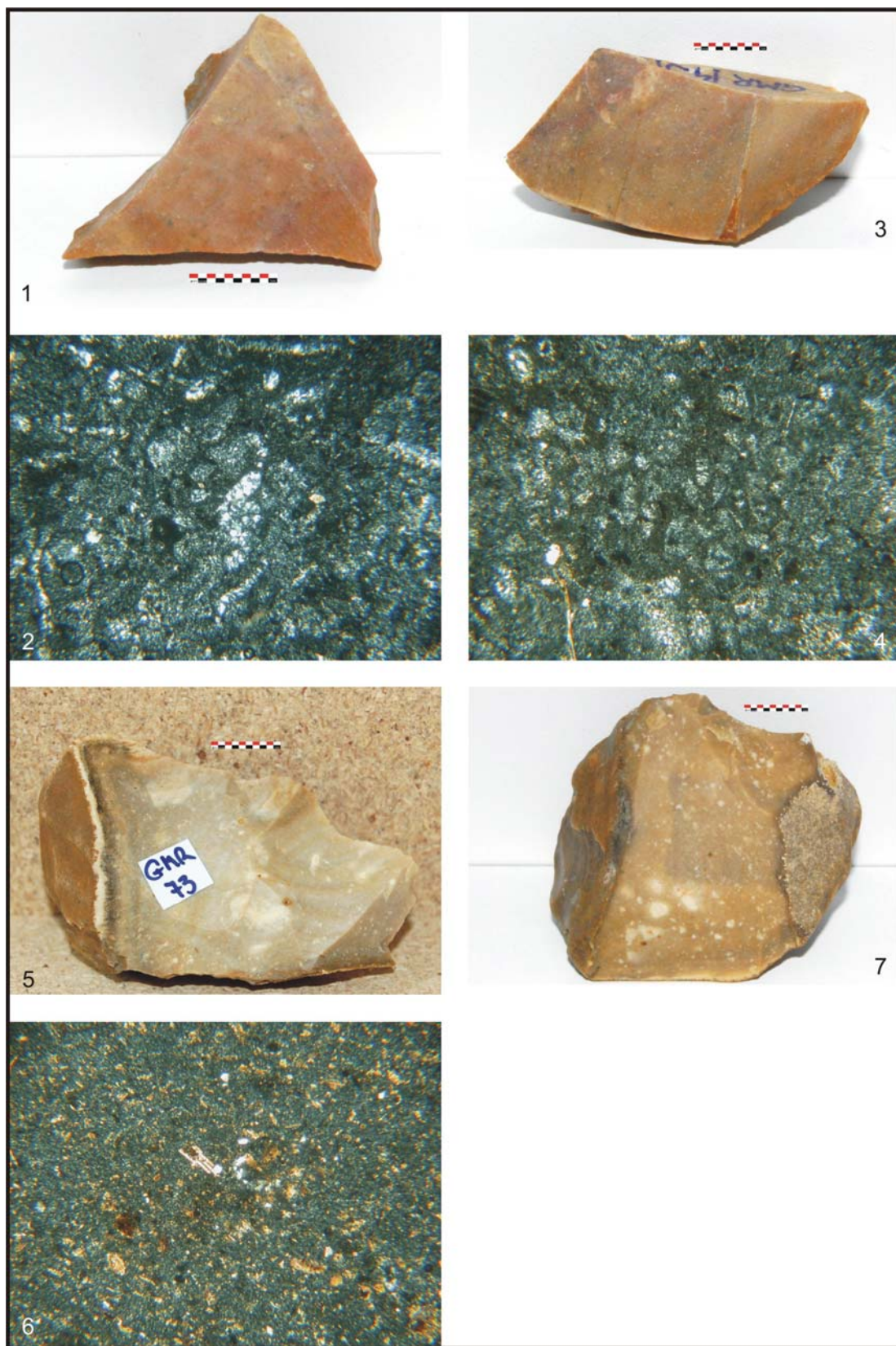
Pl. 7. Aspecte macroscopice și microscopice ale varietății de silicolit cu bioclaste carbonatice fragmentate (categoria B2) de la Ciuperceni-La Vii (1–2) și Ciuperceni-La Carieră (3–8): 1. Ciup-Vii [2] (macro); 2. Ciup-Vii [2] (micro – N+); 3. Ciup-Ca [23] (macro); 4. Ciup-Ca [23] (micro – N+); 5. Ciup-Ca [5] (macro); 6. Ciup-Ca [5] (micro – N+); 7. Ciup-Ca [15] (macro); 8. Ciup-Ca [15] (micro – N+); fotografii de Al. Ciornei (2012); foto macro – mirele au 1 cm; foto micro – grosiment 4X; N+ – nicolii încrucișați.





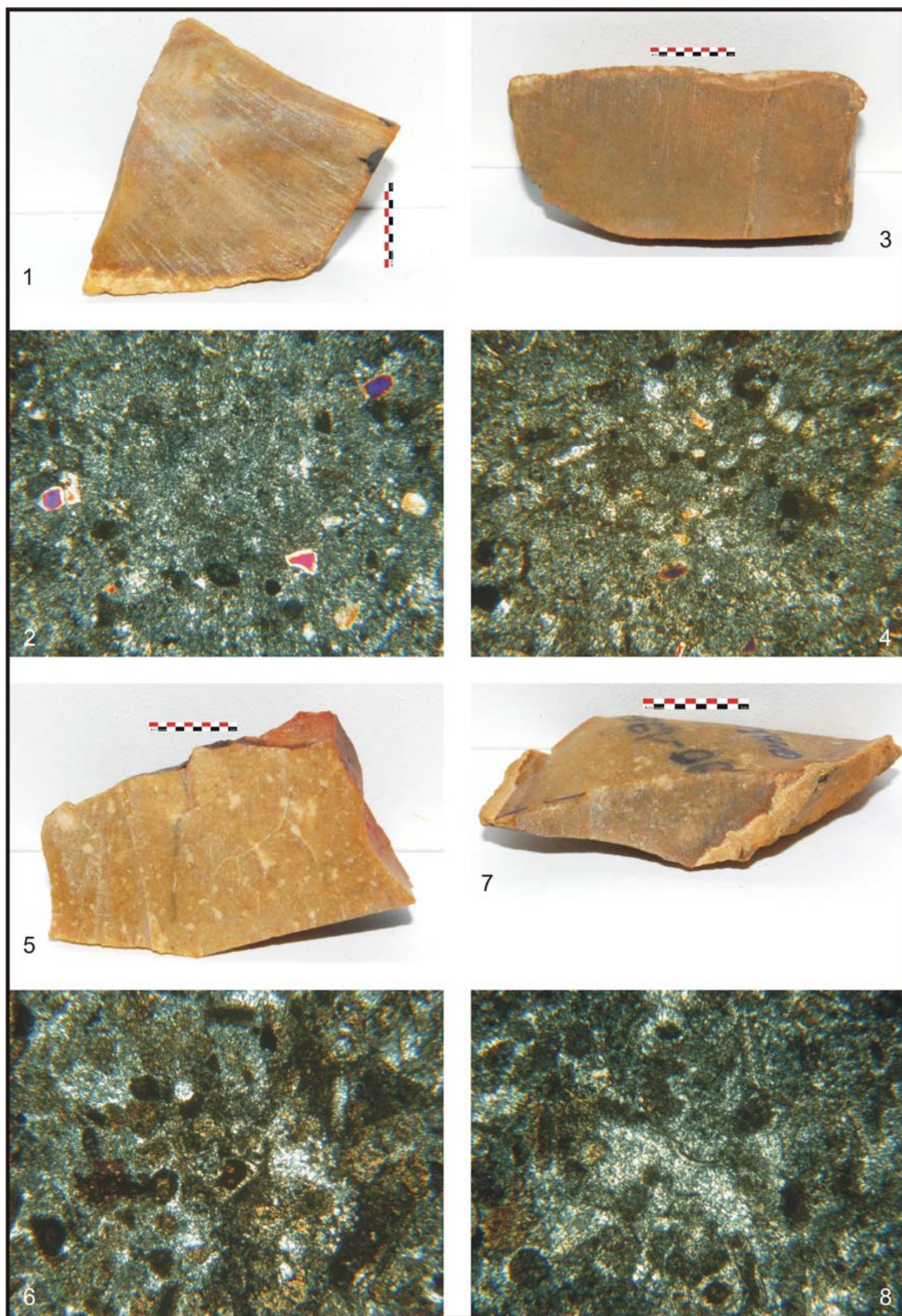
Pl. 8. Aspecte macroscopice și microscopice ale varietății de silicolit gri-marونیu translucid (categoria A3) de la Giurgiu-Malu Roșu (1–4) și Ghizdaru-Cariera de la Haltă (5–6): 1. GMR [62] (macro); 2. GMR [62] (micro – N+); 3. GMR [65] (macro); 4. GMR [65] (micro – N+); 5. Gh-CH [1] (macro); 6. Gh-CH [1] (micro – N+); fotografii de Al. Ciornei (2012); foto macro – mirele au 1 cm; foto micro – grosiment 4X; N+ – nicolii încrucișați.





Pl. 9. Aspecte macroscopice și microscopice ale varietății de silicolit cenușiu-rozaliu peloidal (1–4 – categoria C2) și a varietății de silicolit gri-marونیu deschis cu bioclaste puternic fragmentate (5–7 – categoria B1) de la Ghizdaru-Cariera de la Haltă (1–2), Giurgiu-Malu Roșu (3–6) și Giurgiu-Cariera Malu Roșu (7): 1. Gh-CH [3] (macro); 2. Gh-CH [3] (micro – N+); 3. GMR [45] (macro); 4. GMR [45] (micro – N+); 5. GMR [73] (macro); 6. GMR [73] (micro – N+); 7. GMR-Ca [1] (macro); fotografii de Al. Ciornei (2012); foto macro – mirele au 1 cm; foto micro – grosiment 4X; N+ – nicolii încrucișați.





Pl. 10. Aspecte macroscopice și microscopice ale varietăților de silicolite peloidale (categoria C2) de la Ghizdaru-Cariera de la Haltă (1–2, 5–6) și Giurgiu-Malu Roșu (3–4, 7–8): 1. Gh-CH [4] (macro); 2. Gh-CH [4] (micro – N+); 3. GMR [50] (macro); 4. GMR [50] (micro – N+); 5. Gh-CH [15] (macro); 6. Gh-CH [15] (micro – N+); 7. GMR [48] (macro); 8. GMR [48] (micro – N+); fotografii de Al. Ciornei (2012); foto macro – mirele au 1 cm; foto micro – grosiment 4X; N+ – nicolii încrucișați.





**ACADEMIA ROMÂNĂ**  
**INSTITUTUL DE ARHEOLOGIE „VASILE PÂRVAN”**

**MATERIALE**  
**ȘI**  
**CERCETĂRI**  
**ARHEOLOGICE**

**SERIE NOUĂ**  
**IX**

**2013**



**EDITURA ACADEMIEI ROMÂNE**  
**BUCUREȘTI, 2013**

## **Colegiul de redacție**

**PROF. DR. ALEXANDRU BARNEA** (Universitatea București), **DR. SANDA BALESCU** (Université des Sciences et Technologies de Lille, Laboratoire de Préhistoire et Quaternaire, CNRS), **PROF. DR. CLIVE BONSALL** (University of Edinburgh), **PROF. DR. NIKOLAUS BOROFFKA** (Deutsches Archäologisches Institut – Eurasien Abteilung, Berlin, Germany), **DR. GH. I. CANTACUZINO** (Institutul de „Arheologie Vasile Pârvan” București), **DR. UWE FIEDLER** (Berlin), **DR. RADU HARHOIU** (Institutul de Arheologie „Vasile Pârvan” București), **DR. ANNIE RENOUX** (Université du Maine, Le Mans), **PROF. DR. ERIK TRINKAUS** (Department of Anthropology, Washington University), **PROF. DR. ALAIN TUFFREAU** (Université des Sciences et Technologies de Lille, Laboratoire de Préhistoire et Quaternaire), **ACAD. ALEXANDRU VULPE** (Institutul de Arheologie „Vasile Pârvan” București).

## **Comitetul de redacție**

**ROXANA DOBRESCU** – redactor-șef

**ADRIAN IONIȚĂ** – redactor-șef adjunct

**IRINA ACHIM, ADINA BORONEANȚ, ADRIAN DOBOȘ, LIANA OȚA, ADRIANA PANAITE, DANIEL SPÂNU, VLAD VINTILĂ ZIRRA** – membri

**LILIANA ZAHARIA** – secretar de redacție

Redactor Editura Academiei Române: **ADRIAN MIRCEA DOBRE**

Tehnoredactor Editura Academiei Române: **DOINA STOIA**

Revista se poate procura contracost la sediul EDITURII ACADEMIEI ROMÂNE, Calea 13 Septembrie nr. 13, sector 5, 050711, București, România; tel. 4021-318 8146, 4021-318 8106, Fax 4021-318 2444, e-mail: [edacad@ear.ro](mailto:edacad@ear.ro).

ORION PRESS IMPEX 2000 S.R.L., P.O. Box 77-19, sector 3, București, România, Tel./Fax: 4021-610 6765, 4021-210 6787, Tel.: 0311 044 668, e-mail: [office@orionpress.ro](mailto:office@orionpress.ro).

S.C. MANPRES DISTRIBUTION S.R.L., Piața Presei Libere, nr. 1, Corp B, Etaj 3, Cam. 301–302, sector 1, București, România, tel./fax: (4021) 314 6339, e-mail: [abonamente@manpres.ro](mailto:abonamente@manpres.ro), [office@manpres.ro](mailto:office@manpres.ro), [www.romanianjournals.com](http://www.romanianjournals.com).

DEREX COM S.R.L., e-mail: [derex\\_com@yahoo.com](mailto:derex_com@yahoo.com)

Orice corespondență se va trimite Colegiului de redacție pe adresa: str. Henri Coandă 11, 010667 București, tel./fax 4021 212 88 62. și [redactie\\_iab@yahoo.com](mailto:redactie_iab@yahoo.com)

Normele de redactare a manuscriselor și lista abrevierilor folosite în revistă sunt în general aceleași ca în celelalte publicații ale Institutului de Arheologie. În măsura în care vom elabora alte norme, ne obligăm să le publicăm în numărul următor.

© 2013, EDITURA ACADEMIEI ROMÂNE

## SUMAR

ALAIN TUFFREAU, ROXANA DOBRESU, SANDA BALESCU, MĂDĂLIN CORNEL VĂLEANU, Boinești (département de Satu-Mare), Moustérien, Aurignacien et processus taphonomiques .....	7
ALEXANDRU CIORNEI, Petrografia silicolitelor din siturile Paleoliticului superior de pe Valea Dunării. Caracteristici și proveniență .....	41
MIHAI GLIGOR, MARIANA ROȘU, CĂLIN ȘUTEU, New Evidence on Burial Practices in Petrești Culture .....	67
CAMELIA-MIRELA VINTILĂ, CARMEN PAVEL, MARIAN NEAGU, Noi aspecte ale plasticii antropomorfe descoperite la Dunărea de Jos.....	83
ALIN FRÎNCULEASA, BIANCA PREDA, OCTAV NEGREA, ANDREI DORIAN SOFICARU, Cercetări arheologice în cimitirul din epoca bronzului târziu de la Câmpina (jud. Prahova) – campaniile 2011 și 2012 .....	97
DANIEL SPÂNU, Fibule „de tip hibrid”? .....	145
MIRCEA DABÎCA, Noi cercetări arheologice în partea de sud a cetății Histria. Campaniile 2003–2009 .....	157
ALEXANDRU BĂDESCU – Amfore orientale de tip Kapitän II descoperite la <i>Histria</i> în Sectorul <i>Basilica extra muros</i> .....	189
ANNAMARIA DIANA, MIHAI MEȘTER, Meeting an Early Medieval Community: A Preliminary Analysis of the Human Skeletal Remains from the Jucu Cemetery (Cluj-Napoca, Romania) .....	3; ;
BOGDAN CIUPERCĂ, ANDREI MĂGUREANU, EUGEN PAVELEȚ, DORIN SÂRBU, Cercetări arheologice în Curtea Domnească de la Târgșoru Vechi .....	219
RADU-ALEXANDRU DRAGOMAN, MIHAI FLOREA, Preambul la o cercetare arheologică a fostei colonii de muncă forțată din perioada comunistă de la Poarta Albă, România.....	231

## RECENZII

Laurent Carozza, Cătălin Bem, Cristian Micu (eds.), <i>Société et environnement dans la zone du Bas Danube durant le 5<sup>ème</sup> millénaire avant notre ère</i> , Editura Universității „Alexandru Ioan Cuza”, Iași, 2011, 413 p. (Cristian Eduard Ștefan) .....	243
<b>Abrevieri</b> .....	245



## SOMMAIRE

ALAIN TUFFREAU, ROXANA DOBRESU, SANDA BALESCU, MĂDĂLIN CORNEL VĂLEANU, Boinești (département de Satu-Mare), Moustérien, Aurignacien et processus taphonomiques .....	7
ALEXANDRU CIORNEI, Petrografia silicolitelor din siturile Paleoliticului superior de pe Valea Dunării. Caracteristici și proveniență.....	41
MIHAI GLIGOR, MARIANA ROȘU, CĂLIN ȘUTEU, New Evidence on Burial Practices in Petrești Culture .....	67
CAMELIA-MIRELA VINTILĂ, CARMEN PAVEL, MARIAN NEAGU, Several antropomorphic figurines found during the excavations on the Vidra tell .....	83
ALIN FRÎNCULEASA, BIANCA PREDA, OCTAV NEGREA, ANDREI DORIAN SOFICARU, Archaeological research in the Bronze Age cemetery at Câmpina (Prahova county) – campaigns 2011 și 2012.....	97
DANIEL SPÂNU, Fibule „de tip hibrid”? .....	145
MIRCEA DABÎCA, Les principaux résultats des fouilles menées entre 2003 et 2009 à Histria, dans le périmètre du Secteur sud .....	157
ALEXANDRU BĂDESCU – Amphoras Kapitän II discovered at Histria, in extra muros Basilica .....	189
ANNAMARIA DIANA, MIHAI MEȘTER, Meeting an Early Medieval Community: A Preliminary Analysis of the Human Skeletal Remains from the Jucu Cemetery (Cluj-Napoca, Romania) .....	3; ;
BOGDAN CIUPERCĂ, ANDREI MĂGUREANU, EUGEN PAVELEȚ, DORIN SÂRBU, Archaeological research Cercetări arheologice în Curtea Domnească de la Târgșoru Vechi.....	219
RADU-ALEXANDRU DRAGOMAN, MIHAI FLOREA, Preamble of planned archaeological research in the former forced labor camp from the communist period at Poarta Albă, Romania .....	231

## COMPTE-RENDUS

Laurent Carozza, Cătălin Bem, Cristian Micu (eds.), <i>Société et environnement dans la zone du Bas Danube durant le 5<sup>ème</sup> millénaire avant notre ère</i> , Editura Universității “Alexandru Ioan Cuza”, Iași, 2011, 413 p. (Cristian Eduard Ștefan) .....	243
<b>Abréviations</b> .....	245

# New Evidence on Burial Practices in Petrești Culture

MIHAI GLIGOR\*, MARIANA ROȘU\*\*, CĂLIN ȘUTEU\*

**Keywords:** Eneolithic, Petrești culture, Transylvania, mortuary practices, inhumation, cist graves.

**Abstract:** The aim of the current paper is to present two inhumation graves belonging to Petrești culture recently discovered within the Petrești-Groapa Galbenă settlement (Alba County, Transylvania). The burial of a deceased in a cist made of adobe pieces represents an unusual funerary practice for the Eneolithic Petrești culture communities. This discovery is especially important because the current state of research related to the mortuary practices of Petrești culture bearers is not satisfactory.

**Cuvinte cheie:** Eneolitic, cultura Petrești, Transilvania, practici funerare, înmormântare, morminte cu cistă.

**Rezumat:** Articolul își propune prezentarea a două morminte de înmormântare aparținând culturii Petrești descoperite recent în așezarea de la Petrești-Groapa Galbenă (județul Alba). În mormântarea în cistă făcută din fragmente de chirpic reprezintă o practică funerară neobișnuită pentru comunitățile culturii eneolitice Petrești. Descoperirea este cu atât mai importantă cu cât stadiul cercetărilor privind practicile funerare ale purtătorilor acestei culturi este departe de a fi satisfăcător.

## INTRODUCTION

Petrești culture communities, creators of an extraordinary intracarpethian Eneolithic civilization, have been individualized mostly through the painted pottery<sup>1</sup> attributed to them.

The Petrești habitation at *Groapa Galbenă* (the eponymous site) mainly fits with the A-B phase, a situation specific to most of the settlements within the middle Mureș river basin. Nowadays, in this geographical area we can identify no less than 36 sites or discoveries belonging to Petrești culture<sup>2</sup>.

---

<sup>1</sup> Paul 1992, p. 46–97; Gligor 2007, p. 66; 2009a, p. 87–90, 173–176.

<sup>2</sup> Gligor 2004, Pl. VII.

\* “1 Decembrie 1918” University of Alba Iulia, History, Archaeology and Museology Department, e-mail: m\_gligor@yahoo.com, calinsuteu@yahoo.com

\*\* National Institut of Legal Medicine “Mina Minovici” București, e-mail: mary\_rosu2005@yahoo.com

The pottery from Petrești-Groapa Galbenă settlement is preserved in the archaeological deposits of the National Museum of Union Alba Iulia, as a result of the taking over of old private collections. Recently, some artifacts belonging to the Turdaș culture<sup>3</sup>, the Foeni cultural group<sup>4</sup>, and also the Precucuteni-type excised ornamentation pottery<sup>5</sup> was published.

In the summer of 2011, after almost five decades after the last research of Dumitru and Ion Berciu at Petrești<sup>6</sup>, Alba Iulia University has restarted the archaeological excavations at Petrești – *Groapa Galbenă* (Pl. I/2).

Petrești is now part of Sebeș town (Alba County), approximately 4 km away (Pl. I/1). The site is on the left bank of the Sebeș river, close to the German fortified church called “Cetate” (Pl. I/2). The research was carried out as rescue excavations to build family homes.

## MORTUARY PRACTICES IN THE PETREȘTI CULTURE

Extremely important for the Petrești culture is the discovery and investigation of two inhumation graves, which represent the subject of the current paper.

In the current stage of the research, knowledge about the mortuary practices of the Petrești culture is scarce, only a few funerary discoveries and no necropolis being known<sup>7</sup>. The archaeological data

---

<sup>3</sup> Gligor 2008, p. 295–296, Pl. I–IV.

<sup>4</sup> Gligor 2008, p. 3019–310, Pl. V–VII, IX–XII.

<sup>5</sup> Gligor 2009b, p. 233–237, Pl. I–III.

<sup>6</sup> Paul 1992, p. 8, 143–143.

<sup>7</sup> Gligor 2007, p. 67; Gligor, Băcuet-Crișan 2012.

known about the Petrești culture funerary discoveries area is represented by the inhumation rite, in a crouching position, with poor funerary inventory found while researching isolated burials inside the settlements<sup>8</sup>.

Within the Ocna Sibiului-*Fața Vacilor* (Sibiu County) settlement was found a skeleton oriented SE-NW, lying on the left side in a crouched position<sup>9</sup>. A piece of sandstone was found in the neck (shoulders) area. Another skeleton in a crouched position was found at the Daia Română-*Părăuț* (Alba County) settlement<sup>10</sup>. It was lying on the right side, had its face oriented towards SE, and the bottom of the pit was partially covered with sandstone pieces. An ox jaw was also discovered close to the skeleton.

Child human remains were discovered on the hearth of a dwelling in *Tărtăria-Gura Luncii*<sup>11</sup>. Part of the A-B phase of the Petrești culture, the grave is considered a ritualistic inhumation<sup>12</sup>.

We studied the excavation (unpublished) reports of M. Rusu from the 1960-ies, from *Noșlac-Peșes* (Alba County) located close to the Petrești settlement, and they mention 6 inhumation graves belonging to Petrești culture<sup>13</sup>. In this site, there were 4 inhumation tombs found in a crouched position, according to I. Paul<sup>14</sup>.

#### ARCHAEOLOGICAL CONTEXT OF DISCOVERIES

Trench I/2011 is composed of a transverse section (Trench 1) of 10 x 1 m and 4 squares of 4 x 3.5 m, named A-D (Pl. VI/1). Within the squares C (Pl. VI/2) and D (Pl. VI/3), in the Petrești layer, the A-B phase (0.20–0.50m), we identified remains of a surface dwelling (L1/C34) consisting of massive adobe pieces, with traces of poles and twigs, as well as a considerable amount of ceramics, loom weights, zoomorphic and anthropomorphic clay figurines<sup>15</sup>.

Petrești painted pottery at “Groapa Galbenă” is typically for the A-B phase<sup>16</sup>. These artifacts are

included in the fine ware pottery category, made in an oxidizing firing atmosphere. The background of the painted decoration was well burnished. The main shapes comprised carinated bowls (Pl. II/1, 3), bowls with rounded rims (Pl. II/2; Pl. III/2), a pedestal vessel (Pl. IV/1–2; V/1–3). The decoration technique is painting, applied before firing, and only the category of bi-chrome pottery is represented. The geometric motifs are painted dark-brown and brownish, with the main patterns: thin lines (Pl. II/1, 3; Pl. IV/1–2; Pl. V/1–3), curvilinear motifs (Pl. II/2; Pl. III/1a–1b), and network patterns (Pl. III/2). At the same time, complementary pictorial motifs were applied on the inside of the vessel (Pl. III/1b, 2).

**M1 (C38)** In square D, after dismantling the remains of the dwelling, the first human remains were identified at a depth of approximately –0.50 m. Grave M1 (C38) was arranged as a rectangular cist, by reusing adobe pieces from dismantling the above mentioned complex (Pl. VII/1). The skeleton was found in a crouched position, lying on the left side, with a NNW-SSE orientation (Pl. VII/2).

The anatomically connected skeleton was incomplete, but not disturbed by subsequent anthropic activities. The presence of animal bones inside the cist, as well as in the feet area, could indicate that they are offerings. As funerary inventory we include a fragment of unpainted fragment of pedestal vessel, found next to the hip (Pl. VII/3). The stratigraphic context and using the remains of a burnt dwelling in the cist construction indicates the fact that the grave belongs either to the second habitation phase using remains of the first dwelling, or marks the end of the first habitation and leaving the burnt one (Pl. VIII/1).

#### THE ANTHROPOLOGICAL ANALYSES OF M1

The anthropological analyses allowed the identification of the following skeletal pieces:

- most of the frontal squama, rebuilt from 3 conjoining fragments, where we noted the obliteration of the metopic suture (a small fragment from above the nose still persists);
- parts of the upper orbits are attached to the above mentioned fragment;
- both zygomatic bones are detached (Pl. VIII/2–3);
- the right part of the maxillary has the teeth 54–55 in alveolae. The alveolae of the teeth 51, 52, 53 are empty, with sharp edges, which denotes they fell postmortem. On the bone

<sup>8</sup> Paul 1992, p. 115; Gligor, Băcuet-Crișan 2012.

<sup>9</sup> Paul 1992, 115–116, Pl. LIV/2–2.

<sup>10</sup> Paul 1992, 116, Pl. LIV/1–1.

<sup>11</sup> Horedt 1949, p. 51, Fig. 7.

<sup>12</sup> Paul 1992, p. 115, 159, note 41.

<sup>13</sup> Gligor, Băcuet-Crișan 2012.

<sup>14</sup> Paul 1992, p. 115, 159, note 42.

<sup>15</sup> Will be published in the forthcoming paper.

<sup>16</sup> Paul 1992, p. 76–90, Pl. XXIX, XXXIV–XLI; Gligor 2004, Pl. I; 2007, p. 70–71, Fig. 50–52; 2009a, Pl. CXLII–CXLIII.



fragment we notice the permanent teeth 11, 12, and 13 which have not erupted yet (Pl. VIII/4);

- in the vertex, on the left parietal, was identified a clogged fracture, approximately oval, with dimensions of 1.8 x 1.2cm in diameter (Pl. VIII/5). All the evidence indicates that the fracture had healed. The edges show a complete bone remodeling, which in turn indicate a long survival after the trauma<sup>17</sup>;
- the pelvis components were represented by the 3 bones of the right coxal (ilium, ischium and pubis), not fused with each other. We identified a left iliac bone fragment, a left ischion bone fragment, and 3 vertebral bodies. Most of the first sacral vertebra, presenting recent fusion of the lateral parts (the suture line persists). The vertebral arch and the right lateral side are missing, where the remaining area has indentations characteristic to the lack of suture (Pl. IX/2–3).
- vertebral fragments: 5 vertebral hemi-arches with indentations on the extremities, specific to the lack of suturing with the vertebral bodies; 1 vertebral body fragment, with indentations on the superior and inferior sides; 4 thoracic vertebral fragments, from which half of the vertebral arch is missing (Pl. IX/1). For 1 of the fragments, the suture line between the body and the hemi-arches still persists.

Conclusion: this skeleton belongs to an *Infans II* (4–6 years) of unknown sex<sup>18</sup>.

**M2 (C45)** While dismantling L1 in □C, we identified a second grave, M2 (C45) at a depth of approximately –0.60m. The complex was obviously anthropically disturbed, probably in this area being placed one of the poles of the dwelling from the upper layer (Pl. X/1).

This grave was also arranged as a cist from adobe pieces (Pl. XI/1). From the skull position, the individual was placed oriented SSW-NNE (Pl. X/2). No artifacts that can be associated with the inhumation could be identified.

## THE ANTHROPOLOGICAL ANALYSES OF M2

The anthropological analysis allowed the identification of the following skeletal parts:

- 37 cranial fragments, from which we were able to identify the medial part of the frontal squama, of which the nasal bones are also attached; both temporal bones, the left zygomatic bone; the left hemi-mandible, with a detached condyle, having in alveolae the teeth 33, 35, 36; tooth 38 had not erupted (it is included in the alveola); the alveolae for teeth 32, 34 and 37 are empty with sharp edges, indicating they fell postmortem (Pl. XI/3); the gonion angle is approximately 135, and the prominences of the muscular insertions are well represented;
- 14 costal fragments, including almost all the first rib; the two distal thirds of the left humerus (restored from 2 fragments) with the distal epiphysis detached after the incomplete ossification (the remaining area presents indentations); the proximal half of the left ulna; the proximal half of the left radius, the head is detached due to incomplete suture; small tibia/shinbone fragment (Pl. XI/2).

In conclusion, this skeleton belongs to an adolescent/*Juvenis* (16–18 years) of unknown sex<sup>19</sup>.

## CONCLUSIONS

By looking closely at the cist graves from Petrești-Groapa Galbenă, a new burial practice stands out in the Transylvanian Eneolithic. Within the settlement, 3.5 to 4 m apart from one another, two burials were arranged near a surface dwelling, previously dismantled. The lack of grave goods seems to classify in the distinguishing feature of the Petrești funerary finds currently known.

## Acknowledgments

This work was supported by a grant of the Romanian National Authority for Scientific Research, CNCS – UEFISCDI, project number PN-II-RU-TE-2012-3-0461.

## BIBLIOGRAPHY

- Gligor 2004 – M. Gligor, *Contribuții la repertoriul descoperirilor aparținând culturii Petrești din bazinul Mureșului mijlociu*, Acta Musei Porolissensis XXVI, 2004, p. 17–39.
- Gligor 2007 – M. Gligor, *Petrești Culture*, în: B. Ciută, C. Florescu, M. Gligor, P. Mazăre, C. Șuteu, S. Varvara, *A history lesson: pottery manufacturing 8000 years ago*, Aeternitas Publisher, Alba Iulia, 2007, p. 65–71.

<sup>17</sup> Lovejoy, Heiple 1981, p. 529–541; Patton 1992, p. 11; Ogden *et alii* 1996, p. 19–52; Ortner 2003, p. 46, 119–143; Malone *et alii* 2011, p. 1123–1130.

<sup>18</sup> Lovejoy *et alii* 1985, p. 15; Krogman, Îșcan, 1986, p. 75–77; Scheuer, Black 2000, p. 205–206; Mays 2010, p. 40–90; Gligor 2012, p. 87–90; White *et alii* 2012, p. 131–145.

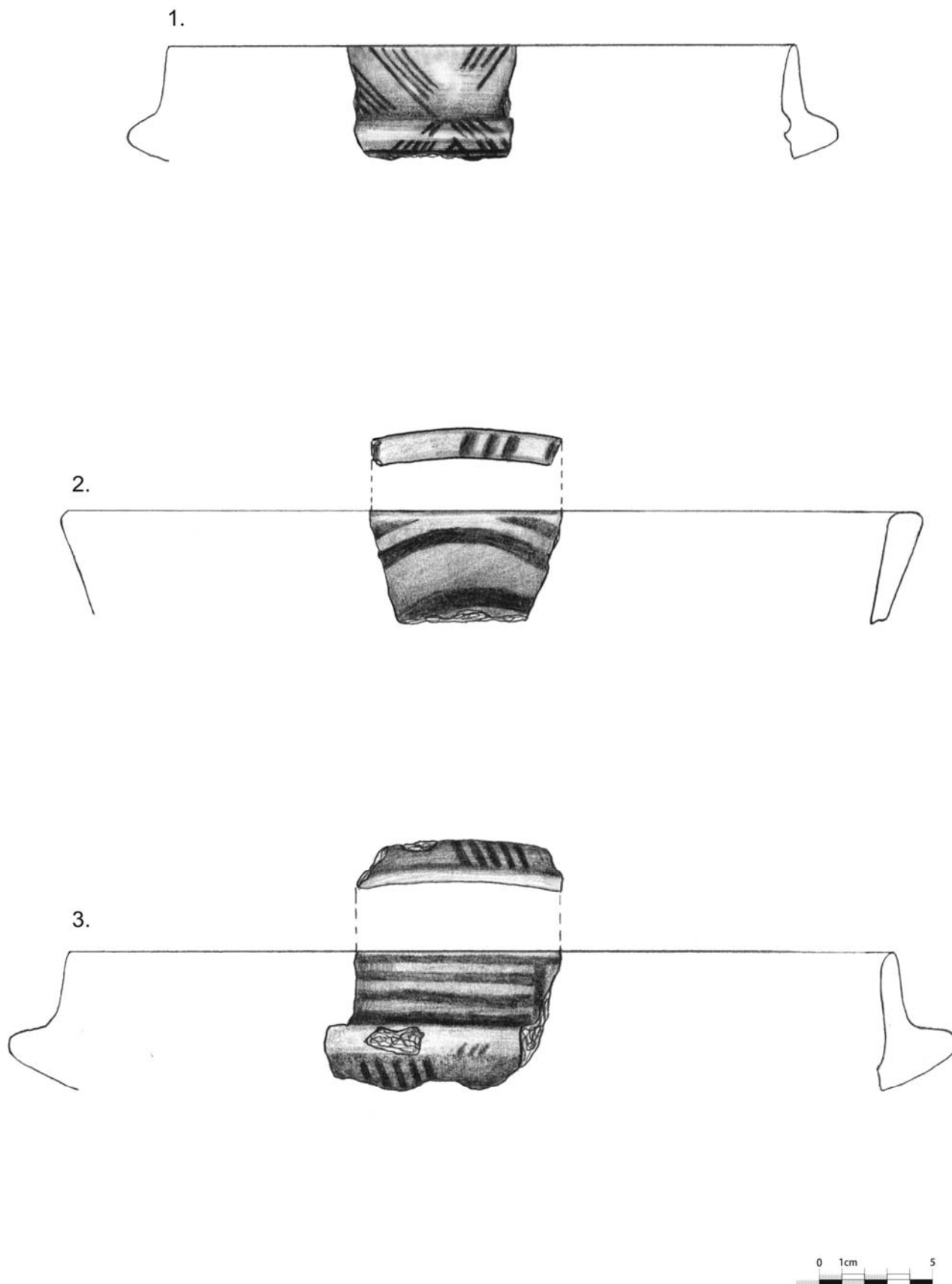
<sup>19</sup> Scheuer, Black 2000, p. 205–206; Rösing *et alii* 2007, p. 75–89; Mays 2010, p. 40–90; Gligor 2012, p. 87–90; White *et alii* 2012, p. 91–95, 104–125, 184–197.

- Gligor 2008 – M. Gligor, *Cu privire la locuirea neolitică de la Petrești-Groapa Galbenă*, Apulum XLV, 2008, p. 293–314.
- Gligor 2009a – M. Gligor, *Așezarea neolitică și eneolitică de la Alba Iulia-Lumea Nouă în lumina noilor cercetări*, Ed. Mega, Cluj-Napoca, 2009.
- Gligor 2009b – M. Gligor, *Despre ceramica de tip Precucuteni în Transilvania*, Apulum XLVI, 2009, p. 233–246.
- Gligor 2012 – M. Gligor, *Methodological Aspects Concerning the Contribution of Paleoanthropology and Bioarchaeological Techniques on Reconstructing the Prehistoric Human Past*, Terra Sebus 4, 2012, p. 87–101.
- Gligor, Băcșuț-Crișan 2012 – M. Gligor, S. Băcșuț-Crișan, *(Un)Usual Neolithic and Eneolithic Mortuary Practices in Transylvania (Romania)*, în: Ch. Gastgeber, Al. Simon (Eds.), *Eastern and Central European Studies Series (IV)*, Peter Lang Publisher, Wien, 2012, (in press).
- Horedt 1949 – K. Horedt, *Săpături privitoare la epoca neo- și eneolitică*, Apulum III, (1946–1948), 1949, p. 44–69.
- Krogman, Ișcan, 1986 – W. M. Krogman, M. Y. Ișcan, *The human skeleton in forensic medicine*, Second Edition, Charles C. Thomas Publisher Ltd., Springfield, Illinois, 1986.
- Lovejoy, Heiple 1981 – C. O. Lovejoy, K. G. Heiple, *The analysis of fractures in skeletal populations with an example from Libben site, Ottawa County, Ohio*, American Journal of Physical Anthropology 55, 1981, p. 529–541.
- Lovejoy et alii 1985 – C. O. Lovejoy, R. S. Meindl, T. R. Pryzbeck, R. P. Mensforth, *Chronological Metamorphosis of the Auricular Surface of the Ilium: A New Method for the Determination of Adult Skeletal Age at Death*, American Journal of Physical Anthropology 68, 1985, 1, p. 15–28.
- Malone et alii 2011 – Ch. A. Malone, N. J. Sauer, T. W. Fenton, *A Radiographic Assessment of Pediatric Fracture Healing and Time Since Injury*, Journal of Forensic Sciences 56, 2011, 5, p. 1123–1130.
- Mays 2010 – S. Mays, *The Archaeology of Human Bones*, Second Edition, Routledge.
- Ogden et alii 1996 – J. Ogden, T. Ganey, D. Ogden, *The biological aspects of children's fractures*, în: C. Jr. Rockwood, K. Wilkins, J. Beaty (Eds.), *Fractures in children*, 4<sup>th</sup> Edition, Lippincott-Raven, Philadelphia, 1996, p. 19–52.
- Ortner 2003 – D. Ortner, *Identification of Pathological Conditions in Human Skeletal Remains*, Second Edition, Academic Press, San Diego, 2003.
- Paul 1992 – I. Paul, *Cultura Petrești*, Ed. Museion, București.
- Patton 1992 – D. Patton, *Fractures and Orthopaedics*, Churchill Livingstone, Edinburgh, 1992.
- Rösing et alii 2007 – F. W. Rösing, M. Graw, B. Marré, S. Ritz-Timme, M. A. Rothschild, K. Röttscher, A. Schmelting, I. Schröder, G. Geserick, *Recommendations for the forensic diagnosis of sex and age from skeletons*, Homo 58, 2007, 1, p. 75–89.
- Scheuer, Black 2000 – L. Scheuer, S. Black, *Developmental juvenile osteology*, Elsevier Academic Press, 2000.
- White et alii 2012 – T. D. White, M. T. Black, P. A. Folkens, *Human Osteology*, Third Edition, Elsevier Academic Press, 2012.

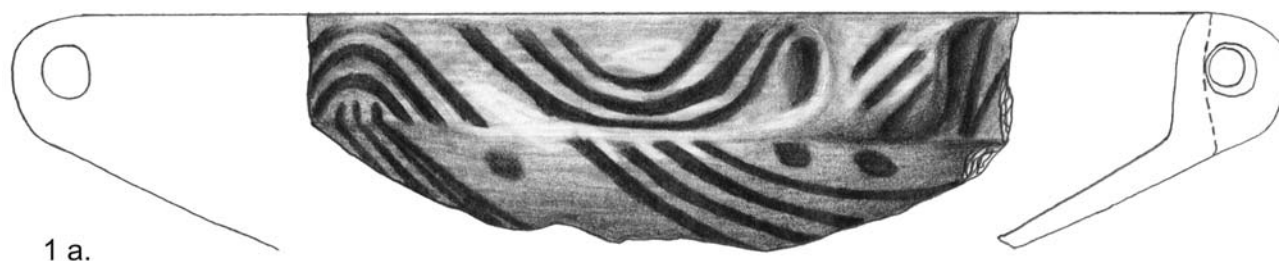
## LIST OF PLATES

- Pl. I. 1. Map of Romania showing the location of Alba County and the Petrești-Groapa Galbenă settlement as well as the map of the Petrești village; 2. Aerial view ([www.maps.google.com](http://www.maps.google.com)) showing the layout of the excavation (Trench I/2011).
- Pl. II. Petrești painted pottery (A-B) 1. trench 1, depth –0,40 –0,60 m (C17); 2. square A, depth –0,80 (C29a); 3. square B, depth 0,45 m.
- Pl. III. Petrești painted pottery (A-B). 1a–1b. square B, depth 0,45m; 2. square B, depth 1,30 m (C40).
- Pl. IV. Petrești painted pottery (A-B) 1. trench 1, depth 0,45 m (C11); 2. square A, depth 1,20m (C28).
- Pl. V. Petrești painted pottery (A-B) 1, 3 – square D, depth –0,30m (L1); 2 –square D, depth –0,20 m (L1).
- Pl. VI. 1. Sp. I/2011, general view during the excavation; 2–3. L1 (C34) surface dwelling in squares C-D.
- Pl. VII. M1 (C38) 1. general view of the grave; 2–3 details of the cist grave.
- Pl. VIII. M1 (C38) 1. grundriss of the grave; 2–4. skull fragments; 5. detail of skull trauma.
- Pl. IX. M1 (C38) 1–3. skeletal elements.
- Pl. X. M2 (C45) 1. general view of the grave; 2. details of the skeleton.
- Pl. XI. M2 (C45) 1. grundriss of the grave; 2–3 skeletal elements.

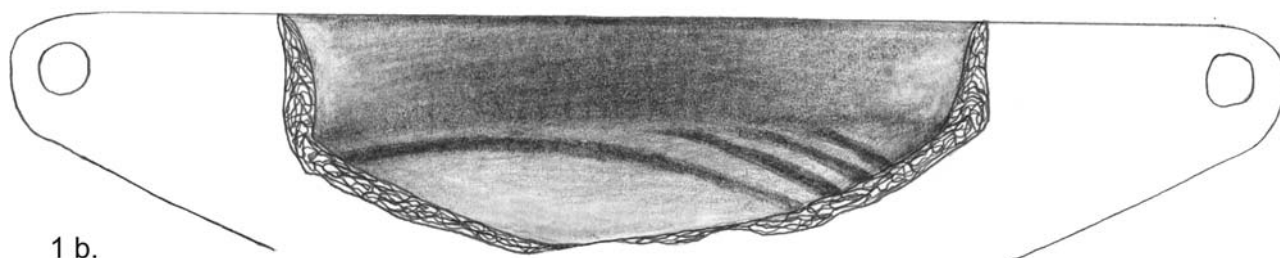




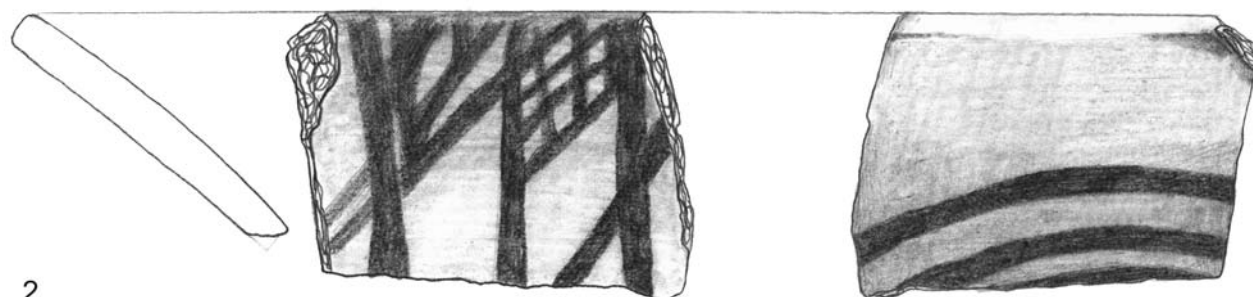
Pl. II. Petreşti painted pottery (A-B) 1. trench 1, depth  $-0,40-0,60$  m (C17); 2. square A, depth  $-0,80$  (C29a); 3. square B, depth  $0,45$  m.



1 a.



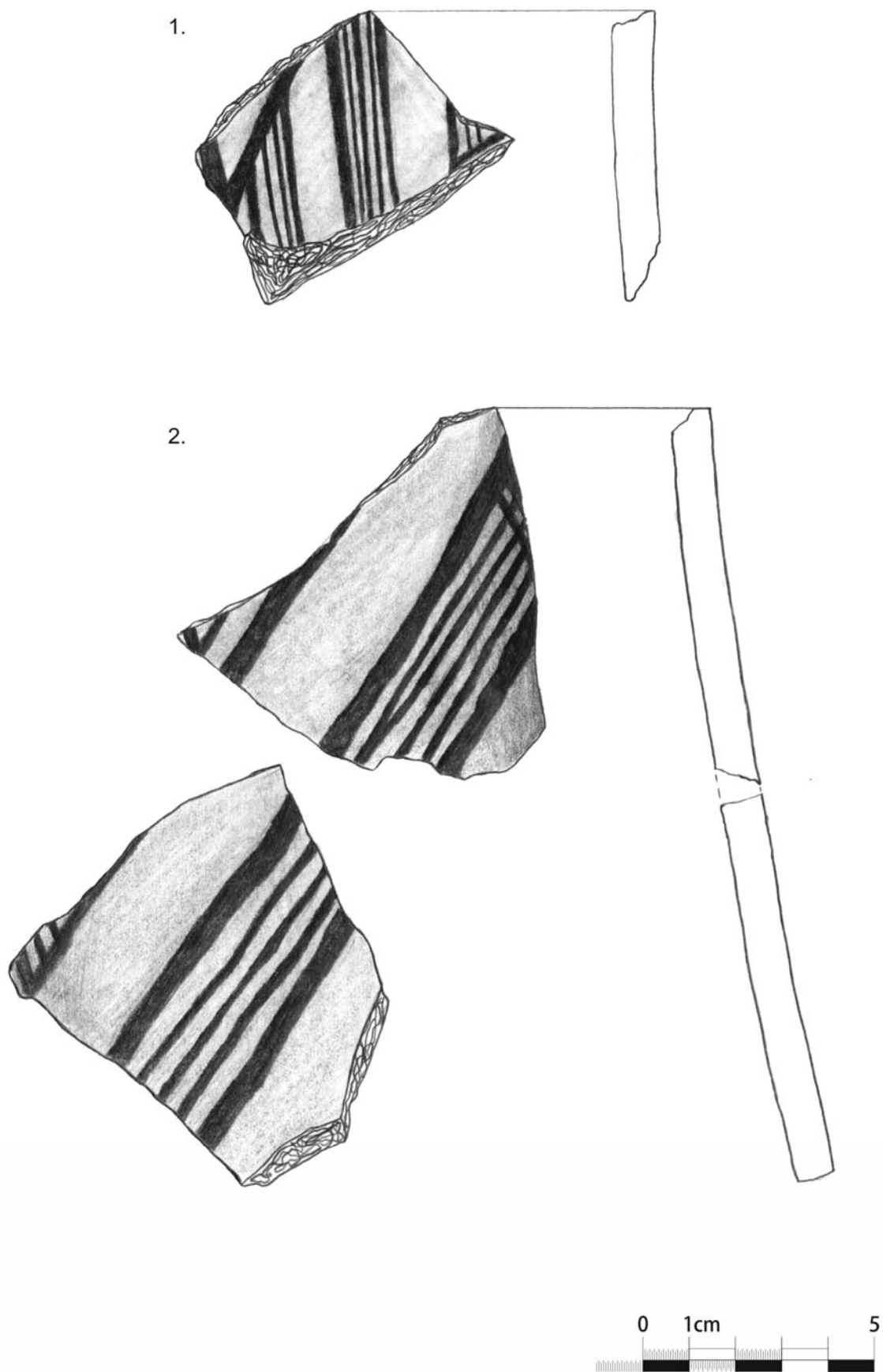
1 b.



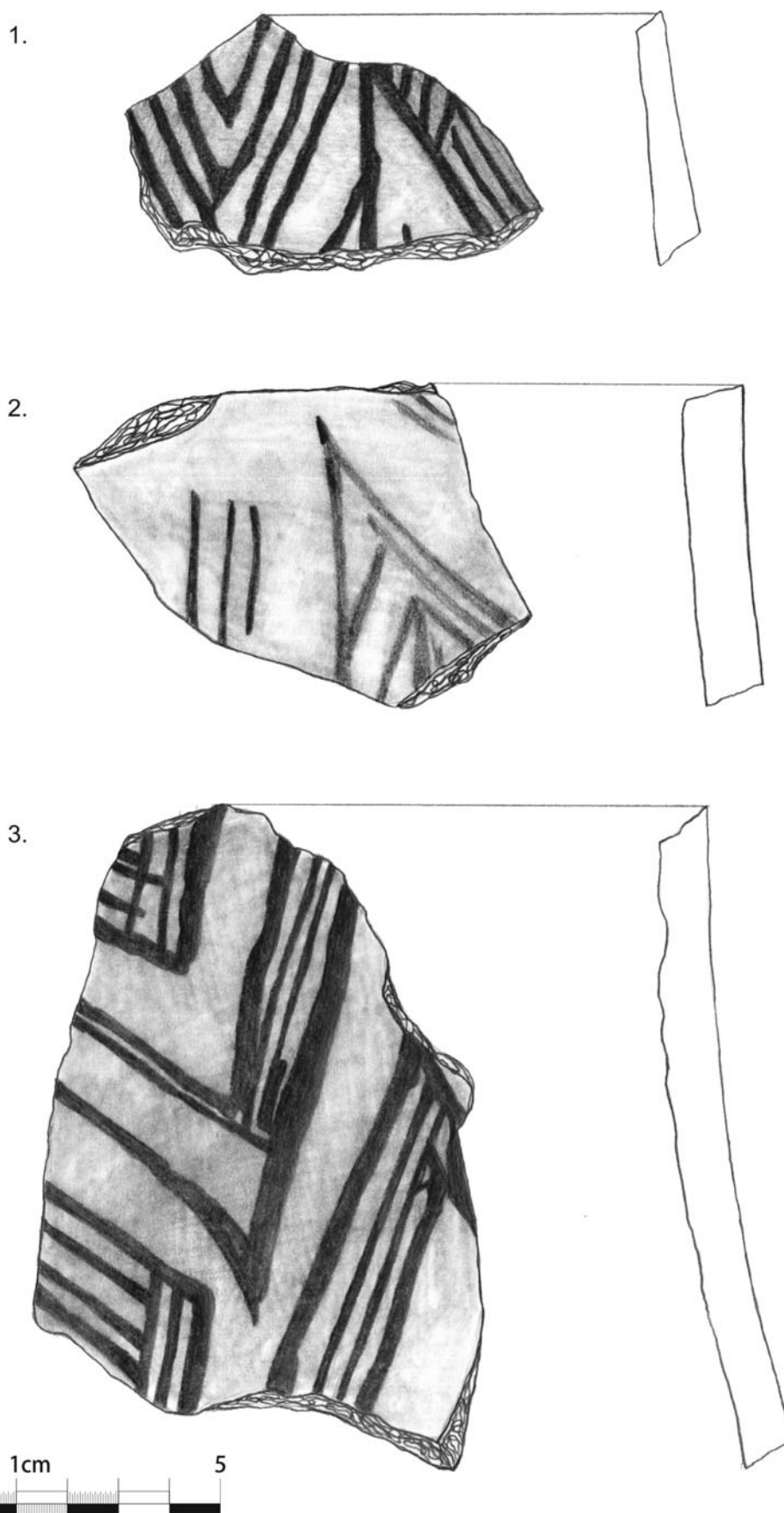
2.



Pl. III. Petrești painted pottery (A-B). 1a-1b. square B, depth 0,45 m; 2. square B, depth 1,30 m (C40).



Pl. IV. Petrești painted pottery (A-B) 1. trench 1, depth 0,45 m (C11); 2. square A, depth 1,20m (C28).



Pl. V. Petrești painted pottery (A-B) 1, 3 – square D, depth –0,30 m (L1); 2 –square D, depth –0,20 m (L1).



1.



2.



3.

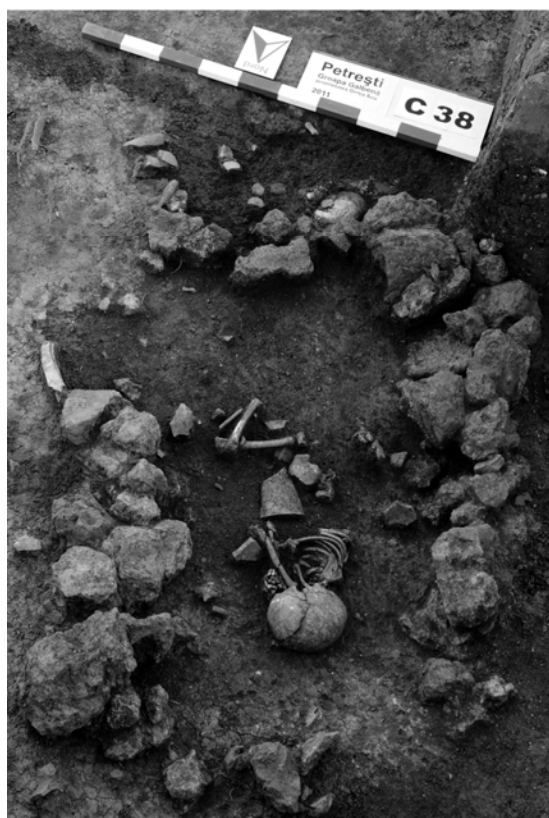
Pl. VI. 1. Sp. I/2011, general view during the excavation; 2–3. L1 (C34) surface dwelling in squares C-D.





2.

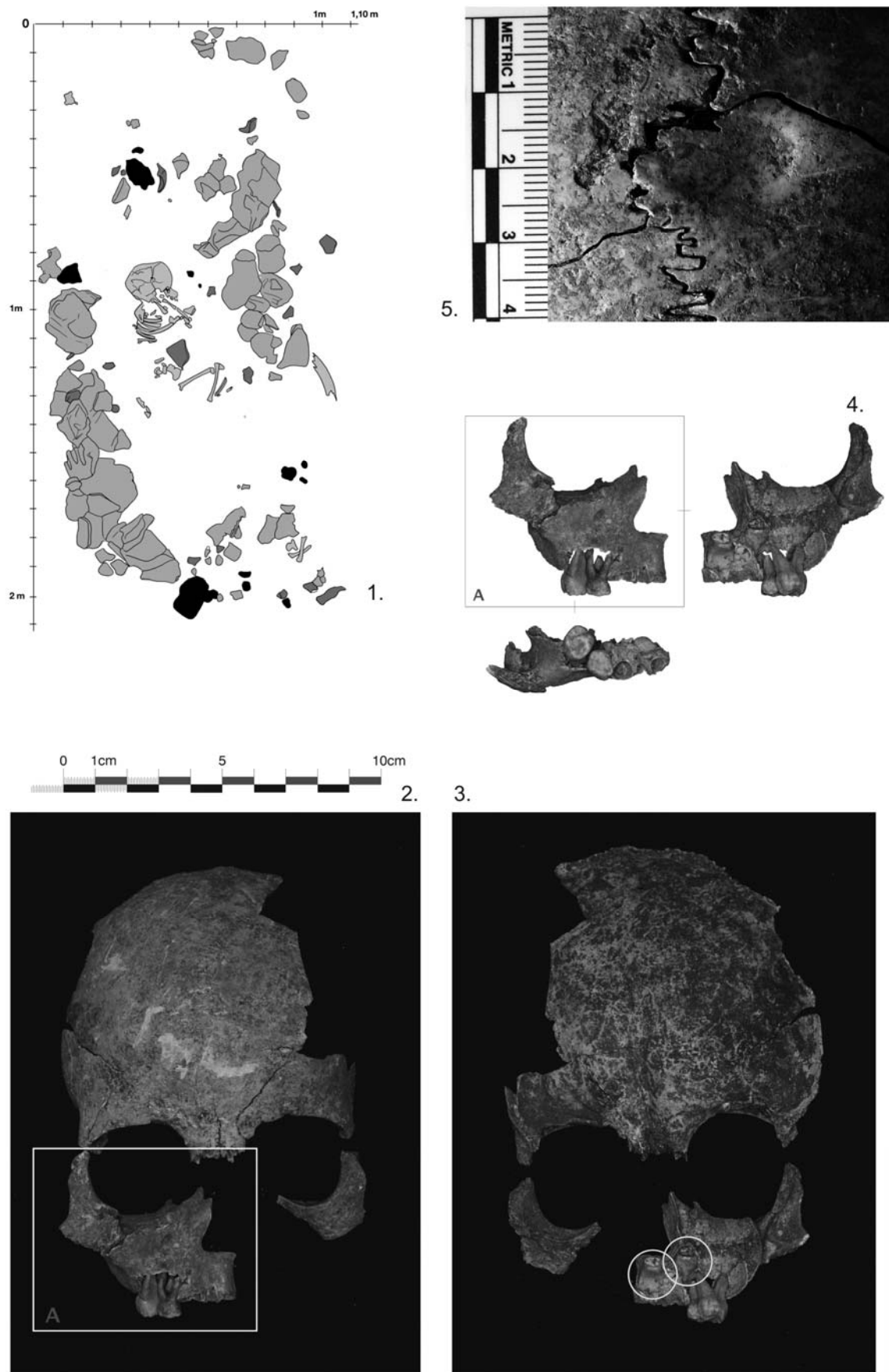
1.



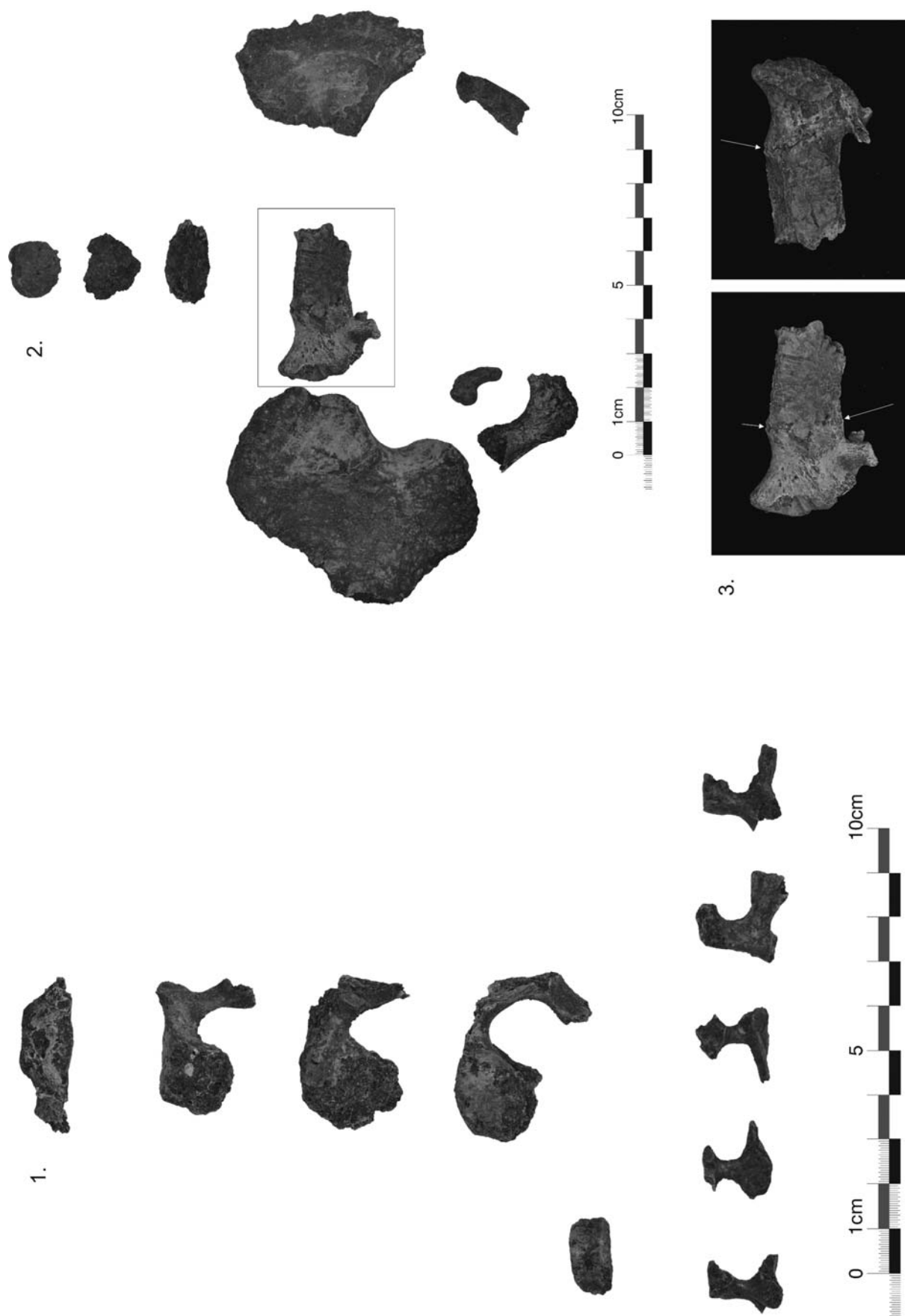
3.



Pl. VII. M1 (C38) 1. general view of the grave; 2–3 details of the cist grave.



Pl. VIII. M1 (C38) 1, grundriss of the grave; 2–4. skull fragments; 5. detail of skull trauma.



Pl. IX. M1 (C38) 1–3. skeletal elements.

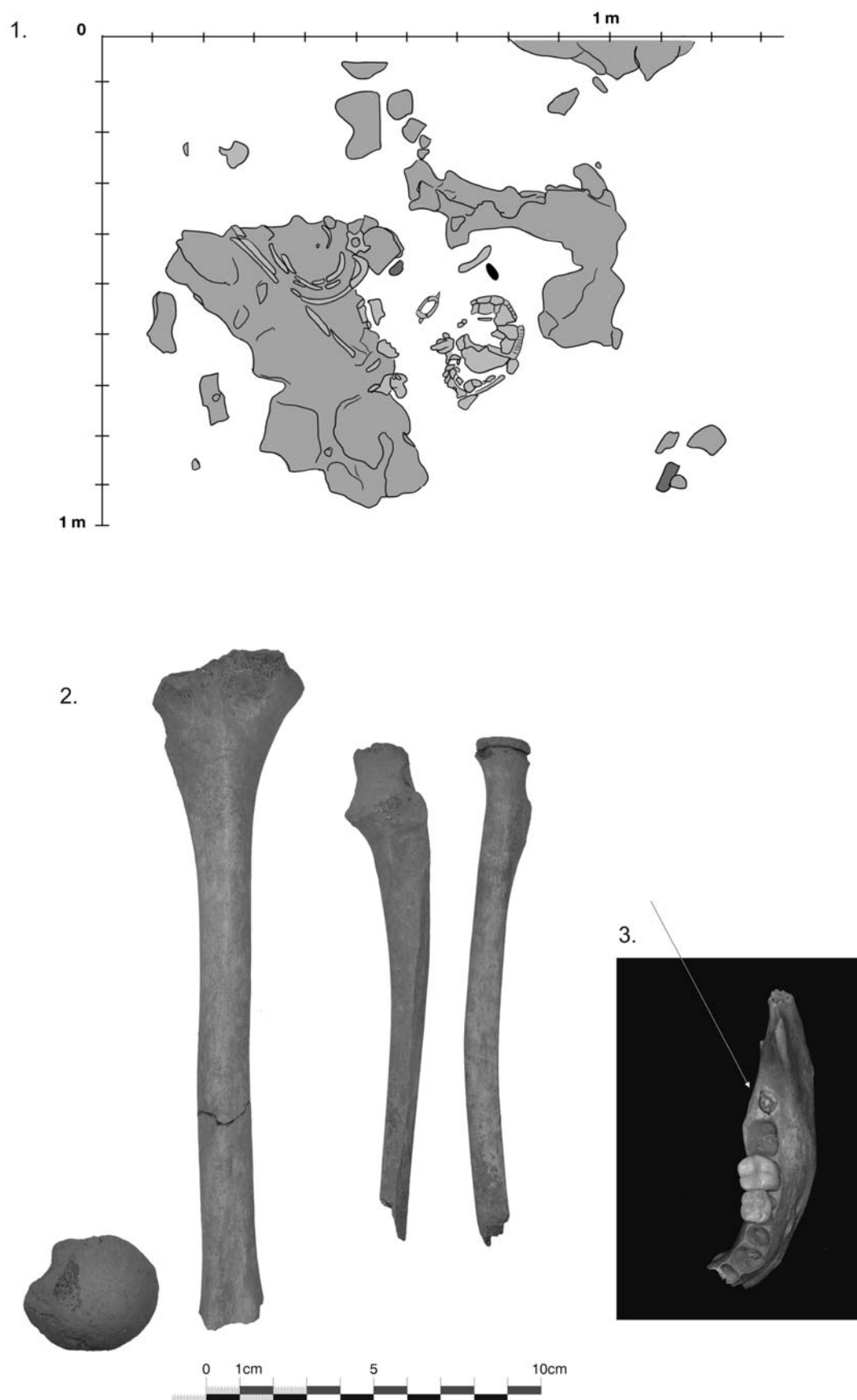


1.



2.

Pl. X. M2 (C45) 1. general view of the grave; 2. details of the skeleton.



Pl. XI. M2 (C45) 1. grundriss of the grave; 2–3 skeletal elements.



**ACADEMIA ROMÂNĂ**  
**INSTITUTUL DE ARHEOLOGIE „VASILE PÂRVAN”**

**MATERIALE  
ȘI  
CERCETĂRI  
ARHEOLOGICE**

**SERIE NOUĂ  
IX**

**2013**



**EDITURA ACADEMIEI ROMÂNE**  
**BUCUREȘTI, 2013**



## **Colegiul de redacție**

**PROF. DR. ALEXANDRU BARNEA** (Universitatea București), **DR. SANDA BALESCU** (Université des Sciences et Technologies de Lille, Laboratoire de Préhistoire et Quaternaire, CNRS), **PROF. DR. CLIVE BONSALL** (University of Edinburgh), **PROF. DR. NIKOLAUS BOROFFKA** (Deutsches Archäologisches Institut – Eurasien Abteilung, Berlin, Germany), **DR. GH. I. CANTACUZINO** (Institutul de „Arheologie Vasile Pârvan” București), **DR. UWE FIEDLER** (Berlin), **DR. RADU HARHOIU** (Institutul de Arheologie „Vasile Pârvan” București), **DR. ANNIE RENOUX** (Université du Maine, Le Mans), **PROF. DR. ERIK TRINKAUS** (Department of Anthropology, Washington University), **PROF. DR. ALAIN TUFFREAU** (Université des Sciences et Technologies de Lille, Laboratoire de Préhistoire et Quaternaire), **ACAD. ALEXANDRU VULPE** (Institutul de Arheologie „Vasile Pârvan” București).

## **Comitetul de redacție**

**ROXANA DOBRESU** – redactor-șef

**ADRIAN IONIȚĂ** – redactor-șef adjunct

**IRINA ACHIM, ADINA BORONEANȚ, ADRIAN DOBOȘ, LIANA OȚA, ADRIANA PANAITE, DANIEL SPÂNU, VLAD VINTILĂ ZIRRA** – membri

**LILIANA ZAHARIA** – secretar de redacție

Redactor Editura Academiei Române: **ADRIAN MIRCEA DOBRE**

Tehnoredactor Editura Academiei Române: **DOINA STOIA**

Revista se poate procura contracost la sediul EDITURII ACADEMIEI ROMÂNE, Calea 13 Septembrie nr. 13, sector 5, 050711, București, România; tel. 4021-318 8146, 4021-318 8106, Fax 4021-318 2444, e-mail: [edacad@ear.ro](mailto:edacad@ear.ro).

ORION PRESS IMPEX 2000 S.R.L., P.O. Box 77-19, sector 3, București, România, Tel./Fax: 4021-610 6765, 4021-210 6787, Tel.: 0311 044 668, e-mail: [office@orionpress.ro](mailto:office@orionpress.ro).

S.C. MANPRES DISTRIBUTION S.R.L., Piața Presei Libere, nr. 1, Corp B, Etaj 3, Cam. 301–302, sector 1, București, România, tel./fax: (4021) 314 6339, e-mail: [abonamente@manpres.ro](mailto:abonamente@manpres.ro), [office@manpres.ro](mailto:office@manpres.ro), [www.romanianjournals.com](http://www.romanianjournals.com).

DEREX COM S.R.L., e-mail: [derex\\_com@yahoo.com](mailto:derex_com@yahoo.com)

Orice corespondență se va trimite Colegiului de redacție pe adresa: str. Henri Coandă 11, 010667 București, tel./fax 4021 212 88 62. și [redactie\\_iab@yahoo.com](mailto:redactie_iab@yahoo.com)

Normele de redactare a manuscriselor și lista abrevierilor folosite în revistă sunt în general aceleași ca în celelalte publicații ale Institutului de Arheologie. În măsura în care vom elabora alte norme, ne obligăm să le publicăm în numărul următor.

© 2013, EDITURA ACADEMIEI ROMÂNE

## SUMAR

ALAIN TUFFREAU, ROXANA DOBRESU, SANDA BALESCU, MĂDĂLIN CORNEL VĂLEANU, Boinești (département de Satu-Mare), Moustérien, Aurignacien et processus taphonomiques .....	7
ALEXANDRU CIORNEI, Petrografia silicolitelor din siturile Paleoliticului superior de pe Valea Dunării. Caracteristici și proveniență .....	41
MIHAI GLIGOR, MARIANA ROȘU, CĂLIN ȘUTEU, New Evidence on Burial Practices in Petrești Culture .....	67
CAMELIA-MIRELA VINTILĂ, CARMEN PAVEL, MARIAN NEAGU, Noi aspecte ale plasticii antropomorfe descoperite la Dunărea de Jos .....	83
ALIN FRÎNCULEASA, BIANCA PREDA, OCTAV NEGREA, ANDREI DORIAN SOFICARU, Cercetări arheologice în cimitirul din epoca bronzului târziu de la Câmpina (jud. Prahova) – campaniile 2011 și 2012 .....	97
DANIEL SPÂNU, Fibule „de tip hibrid”? .....	145
MIRCEA DABÎCA, Noi cercetări arheologice în partea de sud a cetății Histria. Campaniile 2003–2009 .....	157
ALEXANDRU BĂDESCU – Amfore orientale de tip Kapitän II descoperite la <i>Histria</i> în Sectorul <i>Basilica extra muros</i> .....	189
ANNAMARIA DIANA, MIHAI MEȘTER, Meeting an Early Medieval Community: A Preliminary Analysis of the Human Skeletal Remains from the Jucu Cemetery (Cluj-Napoca, Romania) .....	3; ;
BOGDAN CIUPERCĂ, ANDREI MĂGUREANU, EUGEN PAVELEȚ, DORIN SÂRBU, Cercetări arheologice în Curtea Domnească de la Târgșoru Vechi .....	219
RADU-ALEXANDRU DRAGOMAN, MIHAI FLOREA, Preambul la o cercetare arheologică a fostei colonii de muncă forțată din perioada comunistă de la Poarta Albă, România .....	231

## RECENZII

Laurent Carozza, Cătălin Bem, Cristian Micu (eds.), <i>Société et environnement dans la zone du Bas Danube durant le 5<sup>ème</sup> millénaire avant notre ère</i> , Editura Universității „Alexandru Ioan Cuza”, Iași, 2011, 413 p. (Cristian Eduard Ștefan) .....	243
<b>Abrevieri</b> .....	245



## SOMMAIRE

ALAIN TUFFREAU, ROXANA DOBRESU, SANDA BALESCU, MĂDĂLIN CORNEL VĂLEANU, Boinești (département de Satu-Mare), Moustérien, Aurignacien et processus taphonomiques .....	7
ALEXANDRU CIORNEI, Petrografia silicolitelor din siturile Paleoliticului superior de pe Valea Dunării. Caracteristici și proveniență.....	41
MIHAI GLIGOR, MARIANA ROȘU, CĂLIN ȘUTEU, New Evidence on Burial Practices in Petrești Culture .....	67
CAMELIA-MIRELA VINTILĂ, CARMEN PAVEL, MARIAN NEAGU, Several antropomorphic figurines found during the excavations on the Vidra tell .....	83
ALIN FRÎNCULEASA, BIANCA PREDA, OCTAV NEGREA, ANDREI DORIAN SOFICARU, Archaeological research in the Bronze Age cemetery at Câmpina (Prahova county) – campaigns 2011 și 2012.....	97
DANIEL SPÂNU, Fibule „de tip hibrid”? .....	145
MIRCEA DABÎCA, Les principaux résultats des fouilles menées entre 2003 et 2009 à Histria, dans le périmètre du Secteur sud .....	157
ALEXANDRU BĂDESCU – Amphoras Kapitän II discovered at Histria, in extra muros Basilica .....	189
ANNAMARIA DIANA, MIHAI MEȘTER, Meeting an Early Medieval Community: A Preliminary Analysis of the Human Skeletal Remains from the Jucu Cemetery (Cluj-Napoca, Romania) .....	3; ;
BOGDAN CIUPERCĂ, ANDREI MĂGUREANU, EUGEN PAVELEȚ, DORIN SÂRBU, Archaeological research Cercetări arheologice în Curtea Domnească de la Târgșoru Vechi.....	219
RADU-ALEXANDRU DRAGOMAN, MIHAI FLOREA, Preamble of planned archaeological research in the former forced labor camp from the communist period at Poarta Albă, Romania .....	231

## COMPTE-RENDUS

Laurent Carozza, Cătălin Bem, Cristian Micu (eds.), <i>Société et environnement dans la zone du Bas Danube durant le 5<sup>ème</sup> millénaire avant notre ère</i> , Editura Universității “Alexandru Ioan Cuza”, Iași, 2011, 413 p. (Cristian Eduard Ștefan) .....	243
<b>Abréviations</b> .....	245

# Noi aspecte ale plasticii antropomorfe descoperite la Dunărea de Jos

CAMELIA-MIRELA VINTILĂ\*, CARMEN PAVEL\*\*, MARIAN NEAGU\*\*\*

**Keywords:** antropomorphic figurines, Vidra tell, Gumelnitsa culture, X-ray tomography

**Abstract:** The present paper reopens the discussion over several antropomorphic figurines found during the excavations on the Vidra tell. The figurines are part of the collection of the Bucharest City Museum (MMB). The majority of them were assigned by the author of the excavations, D.V. Rosetti, to the B1 phase of the Gumelnitsa culture. The exact archaeological context of the figurines is unknown. The authors used for the study of this lot a relatively recent method of investigation – the X-ray tomography. The X-ray equipment was specifically built for applications in archaeology and is unique in Romania. The X-ray tomography proved to be a very useful tool in archaeological research and cultural heritage studies, presenting a series of advantages.

**Cuvinte-cheie:** figurine antropomorfe, tell-ul de la Vidra, cultura Gumelnița, tomografie cu raze X

**Rezumat:** Prezentul articol se constituie într-o încercare de rediscutare a câtorva piese antropomorfe gumelnițene descoperite în *tell*-ul de la Vidra, aflate în colecția Muzeului Municipiului București. Cele mai multe dintre piesele discutate în acest articol au fost considerate de către Dinu V. Rosetti ca aparținând fazei Gumelnița B1. Contextul clar al descoperirilor nu este cunoscut. Autorii propun pentru studiul acestei colecții o metodă recentă de investigație științifică, și anume *examinarea tomografică*. Tomograful cu raze X folosit la analiza obiectelor descrise în această lucrare a fost special construit pentru studii arheologice, fiind unic în România. Tomografia cu raze X s-a dovedit a fi o metodă de diagnostic foarte utilă în cercetările arheologice și de patrimoniu cultural, această metodă imagistică prezentând o serie de avantaje.

Prezentul articol constituie o readucere în discuție a plasticii gumelnițene descoperite în *tell*-ul de la Vidra, aflată în prezent în colecția Muzeului Municipiului București<sup>1</sup>. D. V. Rosetti a efectuat primele cercetări arheologice în acest *tell* în anul 1929, ele fiind reluate în 1931–1933, 1952–1953 și 1958.

<sup>1</sup> Colecția MMB cuprinde peste 150 de piese provenind din *tell*-ul de la Vidra.

\* Muzeul Municipiului București.

\*\* Departamentul de Fizică Nucleară Aplicată „Horia Hulubei”, Institutul Național de Fizică și Inginerie Nucleară, Măgurele.

\*\*\* Muzeul Dunării de Jos, Călărași.

Cronologia *tell*-ului de la Vidra a fost stabilită pornind de la studiul inventarului complexelor arheologice cercetate, în principal locuințe de suprafață: fragmente și vase ceramice (atât antropomorfe – între care și binecunoscuta „Zeița de la Vidra” –, cât și zoomorfe), plastică antropomorfă (figurine de lut și os), capace de vase ceramice, greutăți și fusaiole de lut, obiecte de cupru, unelte (din silex și diverse alte roci), pandantive din foiță de aur<sup>2</sup>. Pe baza acestora, autorul cercetării arheologice atribuia primul nivel de locuire identificat comunităților culturii Boian – faza Vidra, iar cel de-al doilea culturii Gumelnița, în cadrul acestuia din urmă fiind observate trei orizonturi distincte atribuite fazelor Gumelnița A1, A2 și B.

Cele mai multe dintre piesele discutate în acest articol au fost considerate de către Dinu V. Rosetti ca aparținând fazei Gumelnița B1 (nr. inv. 15267, 15269, 15309, 15316, 15368, 15371, 17446, 17449) și una singură fazei Gumelnița A2 (nr. inv. 15263).

Din păcate nu se cunosc condițiile clare de descoperire ale acestor piese, ceea ce face imposibilă asocierea lor cu anumite contexte arheologice (structură de locuire, podea, vatră, în apropierea pereților, gropi menajere etc). Chiar și în aceste condiții, piesele discutate în prezentul articol reflectă aspecte importante ale vieții spirituale gumelnițene.

Autorii propun pentru studiul acestei colecții o metodă recentă de investigație științifică, și anume *examinarea tomografică*<sup>3</sup>. Tomograful cu raze X folosit la analiza obiectelor descrise în această

<sup>2</sup> Rosetti 1934, p. 6–59; Rosetti, Morintz 1961, p. 71–77.

<sup>3</sup> Tomografia computerizată cu raze X este o tehnică de examinare imagistică larg răspândită, fiind folosită în diverse domenii precum medicină, industrie, știința materialelor sau arheometrie.

lucrare a fost special construit pentru studii arheologice, fiind unic în România. Atât aparatul cât și *software*-ul asociat au fost dezvoltate în cadrul Departamentului de Fizică Nucleară Aplicată/ Institutul de Fizică și Inginerie Nucleară „Horia Hulubei”, Măgurele<sup>4</sup>.

Echipamentul este compus dintr-o sursă de raze X, un sistem de rotație și o serie de detectori care măsoară atenuarea razelor X. Pentru obținerea unei tomografii în procedura operațională standard, sunt preluate 60 de proiecții (o proiecție la fiecare 3° pe un interval de la 0° la 180°). Aceste proiecții reprezintă materia primă pentru reconstrucția obiectului. Timpul de scanare este de cinci minute, iar prelucrarea datelor achiziționate durează circa patru minute.

Din punct de vedere tipologic, cele nouă piese de plastică antropomorfă au fost grupate astfel:

1. Statuete antropomorfe în poziție verticală (MMB – nr. inv. 15263, 15269, 15368, 15316, 17446);

2. Statuetă cu pântecul bombat indicând o femeie însărcinată (MMB – nr. inv. 17449);

3. Statuetă antropomorfă cu „cocoașă” (MMB – nr. inv. 15267);

4. Statuetă aplecată în față (MMB – nr. inv. 17301);

5. Picior de statueta (MMB – nr. inv. 15371);

Acestora li se adaugă vasul antropomorf identificat ca MMB – nr. inv. 15309.

Înainte de prezentarea mai detaliată a fiecărui tip de figurină, se impun câteva considerații de ordin general:

1. majoritatea statuetelor reprezintă personaje aflate în poziție verticală;

2. dimensiunile pieselor variază între 3,76 și 10,84 cm<sup>5</sup>;

3. dacă în cazul statuetelor de tip Hamangia modelarea capului este tehnic separată de cea a restului corpului, sugerând astfel actul conștient că va fi rupt, la cele de tip Gumelnița B1 de la Vidra, examinările nucleare au indicat ca modalitate tehnică de realizare a statuetei, alipirea a două bucăți longitudinale modelate separat (fig. 7);

4. poziția mâinilor are un rol semnificativ într-un anume tip de gestualitate (întinse lateral în poziție orizontală – MMB – nr. inv. 15269, 15316;

îndreptate în sus – MMB – nr. inv. 15263, 15309). Un caz aparte este o statueta (MMB – nr. inv. 15267) care pare a susține ceva (?) – fig. 2.1, fig. 5.1;

5. starea de graviditate a fost evidențiată în mai multe feluri: prin ruperea intenționată<sup>6</sup> a capului și mâinilor (MMB – nr. inv. 17449) pentru a se observa abdomenul bombat, fertil, sau prin plasarea mâinilor pe pântec (MMB – nr. inv. 15368).

## CARACTERIZAREA PRINCIPALELOR CATEGORII TIPOLOGICE

### 1. Statuete antropomorfe în poziție verticală

**1.1. Statuetă antropomorfă** (MMB – nr. inv. 15263, fig. 1.1, fig. 4.1), descoperită de către D.V. Rosetti între anii 1932–1935 la Vidra, în nivelul cultural Gumelnița, faza A2<sup>7</sup>.

Figurina, cu capul rupt din vechime, reprezintă un personaj în picioare, îmbrăcat cu o rochie *cloche*. Gâtul este foarte gros, înalt, robust ( $h = 1,56$  cm) și prezintă la bază o incizie orizontală din care pleacă alte două incizii oblice.

Mâna stângă este îndreptată în sus, posibil și cea dreaptă, aceasta din urmă fiind ruptă din antebraț. Foarte probabil poziția brațelor sugerează o reprezentare a orantei. Această gestualitate este accentuată de un desen incizat amplasat sub sâni, în partea centrală și de jos a statuetei<sup>8</sup>.

Sânii sunt reprezentați sub forma a două mici protuberanțe (cea stângă mai vizibilă, cea dreaptă fiind ușor aplatizată); de pe ambele părți (stânga, dreapta), din dreptul antebrațelor pleacă în jos câte o linie până la baza statuetei. În partea dreaptă, linia se continuă în partea superioară peste umeri și pe spate.

Pe partea din spate statueta prezintă trei incizii: una orizontală și trei verticale (una dintre ele nu trece de linia verticală). Remarcăm faptul că la desenul inițial au mai fost adăugate într-o altă etapă, cu alt tip de instrument, incizii neregulate în zona sânilor – pe antebraț și sub reprezentarea de *orantă*.

Piesa are partea inferioară tronconică, goală la interior.

<sup>4</sup> Constantin *et. alii* 2010.

<sup>5</sup> Dimensiunile pieselor au fost luate cu un șubler electronic Stainless Hardened (0–150 mm), iar desenele pieselor au fost realizate de Gabi Dobre de la Muzeul Dunării de Jos, Călărași.

<sup>6</sup> Neagu, Măndescu 2012, p. 76, 79–80.

<sup>7</sup> Rosetti 1938, p. 34, fig. 14/5.

<sup>8</sup> Desenul este complex, redând vârful unui triunghi din care pleacă, stânga/dreapta, o linie incizată arcuit. Pe partea dreaptă, desenul incizat este dublat. Sub acest triunghi se află un dreptunghi de forma neregulată cu colțurile ușor înălțate.

Pasta este bine aleasă cu foarte multă mica în compoziție, arsă la brun cenușiu. Pe spate prezintă urme de ardere secundară.

Dimensiuni: h = 3,76 cm; gr. rochie = 0,38–0,53 cm; diam. ext. bază = 3,70 cm.; gr. mână = 0,63 cm; deschiderea brațelor = 0,39 cm; gr. gât: 0,91 - 1,29 cm; gr. angobă = 0,7 cm.

**1.2. Statuetă antropomorfă** (MMB – nr. inv. 15269, fig. 2.3, fig. 5.3), descoperită la Vidra în nivelul cultural Gumelnița B1<sup>9</sup>.

Figurina reprezintă un personaj în picioare. Capul a fost rupt intenționat în vechime. Măinile sunt întinse lateral cu terminațiile tocite. Prezintă o steatopigie pronunțată, cu șoldurile îngroșate, iar fesele, în relief, sunt marcate prin două mici proeminente. Picioarele sunt lipite, dar bine delimitate de către o șanțuire lată și adâncă, atât în față, cât și la spate.

Statueta prezintă un triunghi sexual ce nu a fost finalizat, deși a fost redată baza fantei vulvare.

Atât pe față, cât și pe spate poate fi observat un desen incizat efectuat în două etape. În prima etapă a fost realizat desenul geometric format din linii paralele care se opun în unghi (pe spate). Pe față se observă un triunghi incizat cu vârful în sus care a fost întrerupt de două împunsături perpendiculare efectuate cu unghia, într-o intervenție practică ulterioară. Tot în a doua etapă au fost practicate, deasupra feselor, de o parte și de cealaltă, două desene de formă aproximativ circulară, iar între fesa stângă și coapsă, în interior, este figurat câte un trapez cu linii incizate.

Pe statueta se observă urme de ardere secundară pe spate și față, cu precădere în zona pubiană și pe fese. Pasta este semifină cu cioburi pisate și foarte multă mica în compoziție. Pe suprafața figurinei se observă urme de lustruire practicate neglijent și de angobă lustruită.

În urma examinării cu tomograful cu raze X s-a observat că piesa a fost realizată dintr-o bucată. De asemenea, din tomografia obiectului se observă de la nivelul brațelor, în jos, până la nivelul șoldurilor, un spațiu intern (fig. 8.1, fig. 7.4). El se datorează, fie modului de manufacturare a obiectului, fie a fost lăsat acolo în mod intenționat la momentul realizării obiectului, reprezentând graviditatea<sup>10</sup>.

Dimensiuni: h conservată = 7,75 cm; amplitudinea brațelor = 6,46 cm.

**1.3. Statuetă antropomorfă** (MMB – nr. inv. 15368, fig. 2.4, fig. 5.4), descoperită la Vidra în stratul cultural Gumelnița B1<sup>11</sup>.

Statueta reprezintă un personaj în picioare, al cărui sex nu poate fi definit. Capul a fost rupt intenționat. Brațele sunt îndoite, având mâinile așezate ritual pe pântec. Fesele în relief au fost delimitate pe spate de o șanțuire ce se continuă până la baza picioarelor, iar pe față de o creștură evidentă doar la partea inferioară.

Picioarele sunt lipite, dar bine delimitate mai ales pe spate, pe față fiind ușor despărțite printr-o șanțuire mai pronunțată la bază. Laba piciorului stâng este scurtă, ușor ascuțită în vârf, iar cea dreaptă a fost ruptă din vechime. Pe partea lateral stângă au fost practicate mai multe împunsături, probabil într-un ritual de magie. Tălpile sunt plate și netezite.

Pe spate se observă urmele unui posibil material vegetal (?) lipit de statueta.

Urme de ardere secundară; pasta semifină, din cioburi pisate și multă mica, arsă la cenușiu-brun. Maniera de modelare este rudimentară.

Piesa a fost modelată dintr-o singură bucată, cu două tipuri/consistențe de pastă, partea superioară (inclusiv brațele), mai subțire, fiind realizată prin presare (fig. 7.2). La baza gâtului a putut fi observată o incizie trasată orizontal<sup>12</sup>.

Dimensiuni: h păstrată = 7,24 cm; l max = 5,5 cm; l min = 2,6 cm.

**1.4. Statuetă antropomorfă** (MMB – nr. inv. 15316, fig. 2.2, fig. 5.2), descoperită la Vidra în nivelul cultural Gumelnița B1<sup>13</sup>.

Statueta reprezintă un personaj în picioare. Elementele feței (nasul și ochii) sunt realizate prin ciupire, modelate „*en bec d'oiseau*”. În creștetul capului, pe axul central a fost practică o gropiță<sup>14</sup>. Gâtul este scurt, mâinile sunt întinse orizontal (cea dreaptă este mai scurtă). Sâni sunt redați prin proeminente circulare, cel drept este foarte mare, iar cel stâng este teșit și rupt la bază.

Piesa este de formă dreptunghiulară, lucrată grosolan din pastă nisipoasă, cu pietricele și mica

<sup>9</sup> Rosetti 1938, p. 35, fig. 16/4.

<sup>10</sup> Examinările au fost efectuate de către Carmen Pavel de la Departamentul de Fizică Nucleară Aplicată „Horia Hulubei”, Institutul Național de Fizică și Inginerie Nucleară, Măgurele.

<sup>11</sup> Rosetti 1938, p. 37, fig. 18/7.

<sup>12</sup> Aceasta a putut fi observată doar după examinările efectuate la Institutul Național de Fizică și Inginerie Nucleară, Măgurele.

<sup>13</sup> Rosetti 1938, p. 35, fig. 15/7.

<sup>14</sup> Se observă urmele unui instrument specializat.



în compoziție, arsă oxidant la maroniu-gălbui. Pe spate se observă puternice urme de ardere secundară.

Dimensiuni: h = 7,96 cm; amplitudinea brațelor = 5,90 cm; diam. sâni: drept:  $1,32 \times 1,47$  cm; h = 0,83 cm; stâng:  $1,26 \times 1,25$  cm; h = 0,58 cm.

Examinările nucleare efectuate au arătat că piesa a fost modelată din două bucăți (fig. 7.1), iar brațele sunt lipite, lutul având o consistență moale<sup>15</sup>.

În fig. 8.2, spațiul din punctul 2, conturat cu alb, reprezintă o mică crăpătură localizată pe suprafața obiectului, imposibil de observat cu ochiul liber.

**1.5. Statuetă antropomorfă** (MMB – nr. inv. 17446, fig. 3.1, fig. 6.1), descoperită la Vidra în stratul Gumelnița B1<sup>16</sup>. Piesa este realizată din două bucăți modelate separat și ulterior lipite între ele. Pe radiografie se observă linia lor de unire (fig. 7.5).

Reprezintă un personaj în picioare. Capul și mâinile lipsesc, fiind rupte intenționat din vechime. Picioarele sunt unite, iar labelle picioarelor ies în relief și au degetele bine indicate.

Fesele au fost redată prin presiunea pastei cu degetele, fiind despărțite printr-o șanțuire puternică. Triunghiul sexual este amplasat foarte jos, imediat deasupra unei linii incizate continue care marchează linia soldurilor.

Desenul este realizat din spirale incizate concentric și se găsește sub fese, dar și pe piept. Sâni sunt sugerați fiecare prin câte trei linii incizate ușor curbe, iar între ei apare pe mijloc o linie incizată spiraliform. Desenul incizat a fost realizat într-o singură etapă.

Pe spate, linia umerilor este marcată prin linii incizate paralele.

Statueta a fost realizată dintr-o pastă semifină cu pietricele mici și fulgi de mica în compoziție; pe suprafața exterioară prezintă o angobă de culoare maronie.

Dimensiuni: h păstrată = 6,20 cm; l max. brațe = 3,78 cm; l max. fese = 3,81 cm; gr. max. în dreptul feselor = 3,08 cm; gr. max. partea superioară = 1,65 cm; gr. max. laba piciorului = 0,72 cm.

**2. Statuetă cu pântecul bombat sugerând o femeie însărcinată** (MMB – nr. inv. 17449<sup>17</sup>, fig. 3.2, fig. 6.2).

Statueta (ruptă la jumătate, în dreptul taliei) reprezintă probabil tot un personaj în picioare. Capul și mâinile au fost rupte intenționat. Sâni sunt rotunzi, iar pântecul puternic bombat ar putea sugera o stare de graviditate. Spatele este plat.

Desenul de pe suprafața statuetei este organizat în două registre succesive, realizate din grupuri de linii incizate, în interiorul cărora se află linii oblice, aplecate spre stânga. Perforațiile/găurelele sunt acoperite cu pastă albă. Între sâni se observă patru linii verticale excizate, umplute cu pastă albă.

Pe radiografie se văd foarte clar cele două perforații din brațe (fig. 7.3), sugerând că piesa fost purtată poate ca pandantiv. Tot pe radiografie se observă un mic spațiu în interior.

Statueta e realizată din pastă fină, având ca degresant mica. La suprafață are o angobă de culoare maroniu-gălbui, lustruită neglijent. Mieul pastei era cenușiu.

Dimensiuni: h max. păstrată = 4,12 cm; l max = 7,1 cm; l min = 3 cm.

**3. Statuetă antropomorfă cu „cocoașă”** (MMB – nr. inv. 15267, fig. 2.1, fig. 5.1), descoperită la Vidra de către D.V. Rosetti, între anii 1932–1935, în nivelul culturii Gumelnița, faza B1<sup>18</sup>.

Statueta este plată (cu o ușoară arcuire observabilă în secțiune longitudinală) și reprezintă un personaj în picioare. Capul este ușor discoidal, cu partea superioară stângă deasupra nasului în sus, ruptă din vechime. Lobii urechilor au fost perforați (în partea dreaptă se observă patru perforații circulare iar pe partea stângă se păstrează doar trei perforații).

Ochii sunt redați prin două incizii duble, distanțate între ele. Nasul bine reliefat este marcat printr-o adâncitură orizontală (la bază) sub care se află două împunsături care marchează gura.

Gâtul este scurt și gros, mâna dreaptă este poziționată peste cea stângă, ca și cum ar susține ceva (poate un copil?). Sexul este redat printr-un desen incizat triunghiular, cu vârful rotunjit. Pe spate, linia mâinilor se continuă cu o excrescență de forma unei „cocoașe” (?), ușor spartă la partea superioară. Fesele sunt reprezentate prin două mici proeminențe în zona dorsală. Picioarele au fost delimitate la bază printr-o șanțuire, ce începe din zona dorsală printr-o adâncitură.

<sup>18</sup> Rosetti 1938, p. 37, fig. 19/1.

<sup>15</sup> Analiza a fost efectuată la Institutul Național de Fizică și Inginerie Nucleară, Măgurele.

<sup>16</sup> Rosetti 1938, p. 35, fig. 16/2.

<sup>17</sup> După numărul de inventar, statueta provine probabil tot din lotul de la Vidra.

Remarcăm pe corpul statuetei mai multe împunsături: două succesive pe mâna dreaptă, alte două pe fesa stângă. Tot pe spate, imediat sub umeri a mai fost practică încă o împunsătură, iar la baza „cocoșei” se găsesc alte trei, de mici dimensiuni.

În partea inferioară a statuetei, la baza piciorului drept se observă cinci incizii profunde, care foarte probabil reprezintă degetele. Menționăm că extremitatea distală a piciorului stâng a fost ruptă din vechime.

Statueta a fost realizată dintr-o pastă bună cu foarte multă mica. A fost arsă la brun cenușiu, prezentând puternice urme de ardere secundară (pe spate, în zona bazinului și a piciorului stâng).

Dimensiuni: h = 8,37 cm; l max = 4,6 cm; l min = 2 cm.

**4. Statuetă aplecată în față** (MMB – nr. inv. 17301<sup>19</sup>, fig. 3.3, fig. 6.3).

Partea stângă a unei statuete (de la membrul inferior masiv, cu talpa plată, până aproape de gât). Din profil pare să fie silueta unui personaj aplecat ușor în față. Brațul (stâng) și capul lipsesc din vechime.

Pe picior se observă un motiv incizat care este întâlnit deseori la plastica antropomorfă gumelnițeană, fiind compus din două registre incizate de formă trapezoidală, în care se află un desen liniar ce pornește de la baza genunchiului. Acesta se termină cu laba piciorului (care este scurtă). Glezna este pusă în evidență printr-un cerc în interiorul căruia se află două linii care se intersectează. Șira spinării este sugerată printr-un desen unghiular (în interiorul căruia se află 1–2 linii incizate).

Pasta este fină, cu nisip, mica și uneori pietricele mici utilizate ca degresant. Piesa, lucrată neglijent, este arsă oxidant, având o culoare cărămiziu-gălbui. Pe suprafața părții superioare (atât cât este conservată) se observă urme de ardere secundară.

Examinările cu raze X (fig. 7.6) au arătat că piesa este masivă, unitară. În interior se observă câteva mici pietricele care probabil fac parte din materialul mai grunjos din care a fost realizată statueta.

Dimensiuni: h conservată = 7,95 cm; l max = 2,4 cm; talpa: L = 3,1 cm; l max = 2,2 cm.

**5. Picior de statuță** (MMB – nr. inv. 15371, fig. 3.4, fig. 6.4). Este o piesă de mari dimensiuni, goală la interior, din care s-a păstrat un fragment din piciorul drept, până deasupra genunchiului, având talpa plată și călcâiul ascuțit. A fost descoperit la Vidra, în nivelul culturii Gumelnița, faza B1<sup>20</sup>.

Pe gleznă, frontal, se regăsește clasicul desen incizat, iar pe labă, relieful piciorului este marcat printr-un cerc incizat. Forma și desenul piesei sugerează mai degrabă o piesă de încălțăminte.

Fragmentul este lucrat neglijent, din pastă semifină.

Dimensiuni: h păstrată = 11,53 cm; gr. 0,9 cm; talpa: L = 11,08 cm; l max = 4,04 cm.

**6. Vas antropomorf** cu fundul plat (4,58 × 4,07 cm) descris drept un *vas cu brațe tuburi* (MMB – nr. inv. 15309, fig. 1.2, fig. 4.2), descoperit la Vidra de către D.V. Rosetti, între anii 1932–1935, în nivelul culturii Gumelnița, faza B1<sup>21</sup>.

Deasupra corpului a fost modelat un cap uman de formă discoidală. Ochii sunt redați prin incizii duble, iar urechile prin doi lobi laterali cu câte cinci perforații. Nasul, bine făcut, este realizat prin presiunea pastei cu degetele. Gura este subliniată printr-o mică creștătură, evidențiată de patru împunsături. Gâtul, scurt, are reprezentate pe el benzi incizate, iar pe umeri se observă alte benzi incizate. Brațele – tuburi ce comunică cu interiorul gol al vasului – sunt scurte și orientate oblic în sus. Corpul vasului este decorat cu benzi incizate, pe față și pe spate, trasate neglijent.

Pastă semifină cu cioburi pisate în compoziție, arsă la brun-cărămiziu.

Dimensiuni: h = 10,84 cm; l max = 10,18 cm; braț – tub drept: diam. ext = 3,23 × 2,80 m; gr. = 0,4 cm; Braț – tub stâng: diam. ext. = 3,44 × 3,07 m; gr. = 0,33–0,6 cm.

Pe corpul statuetei au fost practicate mai multe împunsături în cadrul unor proceduri de magie<sup>22</sup>. În afara înțepăturilor au mai fost observate și alte elemente de ritual, cum ar fi desenele incizate de pe statuete și mai ales ruperile intenționate<sup>23</sup> de capete, mâini sau picioare (nr. inv. 15267, 15269, 15309, 15316, 15368, 15371, 17290, 17301, 17446, 17449).

<sup>20</sup> Rosetti 1938, p. 38, fig. 23/2.

<sup>21</sup> Idem, p. 37, fig. 20/1.

<sup>22</sup> Chapman, Gaydarska 2007.

<sup>23</sup> Idem.

<sup>19</sup> După numărul de inventar, statueta provine probabil tot din lotul de la Vidra.

\*  
\* \*

Descoperiri similare de plastică antropomorfă provin din aşezările gumelniţene de la Teiu<sup>24</sup>, Căscioarele<sup>25</sup>, Morteni<sup>26</sup> sau Vităneşti<sup>27</sup>.

Tomografia cu raze X s-a dovedit a fi o metodă de diagnostic foarte utilă în cercetările arheologice şi de patrimoniu cultural, această metodă imagistică prezentând o serie de avantaje: procesul de examinare este foarte rapid şi nondestructiv, imaginile obţinute în urma scanării sunt digitale şi pot fi manipulate sau procesate ulterior. Examinarea tomografică permite vizualizarea unor corpuri incluse în structura artefactului, aflate fie accidental în compoziţia materialului folosit, fie fiind puse intenţionat de către cei care au realizat obiectul, cum este cazul aşă-numitelor zornăitori. De asemenea, examinarea tomografică poate ajuta la clarificarea unor aspecte legate de tehnologia de fabricare a respectivului obiect.

O altă aplicaţie este legată de observarea unor eventuale crăpături sau fisuri interne în obiectele examinate, fisuri care nu pot fi observate la o inspecţie vizuală. Evidenţierea prin tomografie a crăpăturilor prezintă interes mai ales în cazul unor eventuale intervenţii de restaurare a respectivelor obiecte şi în stabilirea ulterioară a procedurilor de conservare.

Documentarea sau celelalte demersuri ale investigaţiei ştiinţifice interdisciplinare nu sunt însă suficiente pentru recompunerea universului spiritual al comunităţilor gumelniţene, cu toate că lotul de la Vidra este unul dintre cele mai importante şi consistente din preistoria românească

Semnificaţiile şi funcţiile statuetelor, precum şi alte probleme legate de tehnologie, structură, interpretări şi noi abordări ale fenomenului plasticii<sup>28</sup>, vor face subiectul unui viitor studiu asupra plasticii din *tell*-ul de la Vidra.

## BIBLIOGRAFIE

- Andreescu 1997 – R. Andreescu, *Plastica gumelniţeană din colecţiile Muzeului Naţional de Istorie a României*, CA 10, 1997, p. 309–323.
- Andreescu 2002 – R. Andreescu, *Plastica antropomorfă gumelniţeană. Analiza primară*, Monografii III, Bucureşti, 2002.
- Chapman, Gaydarska 2007 – J. Chapman, B. Gaydarska, *Parts and wholes: Fragmentation in Prehistoric Context*, Oxbow Books, Oxford, 2007.
- Constantin *et al.* 2010 – F. Constantin, C. Pavel, R. Bugoi, M. Toderaş, *An X-ray tomograph based on a flat panel detector*, Nuclear Instruments and Methods in Physics Research A 621, 2010, p. 685–689.
- Ilie, Dumitru 2010 – A. Ilie, F. Dumitru, *La plastique anthropomorphe Gumelniţa du site de Morteni, departement de Dâmboviţa*, CA 17, 2010, p. 21–34.
- Monah 2012 – D. Monah, *Plastica antropomorfă a culturii Cucuteni-Tripolie*, Piatra Neamţ, 2012.
- Neagu, Măndescu 2011 – M. Neagu, D. Măndescu, *The Anthropomorphic Clay Figurines from Gumelniţa tell Settlements at Teiu (Argeş County). A Preliminary Approach*, CCDJ 28, East and West, 2011, p. 75–92.
- Rosetti 1934 – D. V. Rosetti, *Săpăturile de la Vidra – raport preliminar*, PMMB 1, 1934, p. 6–60.
- Rosetti 1938 – D.V. Rosetti, *Steinkupferzeitliche Plastik aus einem Wohnhugel bei Bukarest*, JPEK, 12, 1938, p. 29–50.
- Rosetti, Morintz 1961 – D. V. Rosetti, S. Morintz, *Săpăturile de la Vidra*, MCA 7, 1961, p. 71–77.

## LIST OF FIGURES AND PLATES

- Fig. 1. Clay figurines with incised signs.
- Fig. 2. Clay figurines of the „en bec d'oiseau” type (1–2) and with their heads intentionally broken (3–4).
- Fig. 3. Clay figurine with intentionally broken heads (1–3), clay human foot with incisions (4).
- Fig. 4. Clay figurines with incised signs.
- Fig. 5. Clay figurines of the „en bec d'oiseau” type (1–2) and with their heads intentionally broken (3–4).
- Fig. 6. Clay figurine with intentionally broken heads (1–3), clay human foot with incisions (4).
- Fig. 7. X-ray tomographic image of the figurines.
- Fig. 8. Antropomorphic figurine from Vidra, phase Gumelniţa B1 (1); Antropomorphic figurine (2).

<sup>24</sup> Neagu, Măndescu 2011, p. 75–92.

<sup>25</sup> Andreescu 1997, p. 309–323; Idem 2002, fig. 4/2–5, fig. 5/5–6, fig. 7/4–6; fig. 9/1, 3, 6; fig. 10/1–6, 8; fig. 11/2, 3, 5; fig. 12/1, 2, 6; fig. 13/1, 2, 4–5; fig. 14/1–4; fig. 15/1–6; fig. 16/1, 3; fig. 17/1, 3–7; fig. 20/2–8; fig. 21/1–5, 7–9, 11; fig. 25/3.

<sup>26</sup> Ilie, Dumitru 2010, p. 32, fig. 2, 1.

<sup>27</sup> Andreescu 2002, fig. 6/1–2; fig. 9/4; fig. 16/5; fig. 18/1, 5, 6, 8; fig. 19/1, 3, 11, 12; fig. 20/1, 21/6, 12, fig. 22/13–14; fig. 32/2–4.

<sup>28</sup> Monah 2012.



Fig. 1. Statuete de lut cu semne incizate.



Fig. 2. Statuete de lut modelate „en bec d'oiseau” (1–2) și cu capetele rupte intenționat (3–4).





Fig. 3. Statuete de lut cu capetele rupte intenționat (1–3), picior cu desen incizat (4).

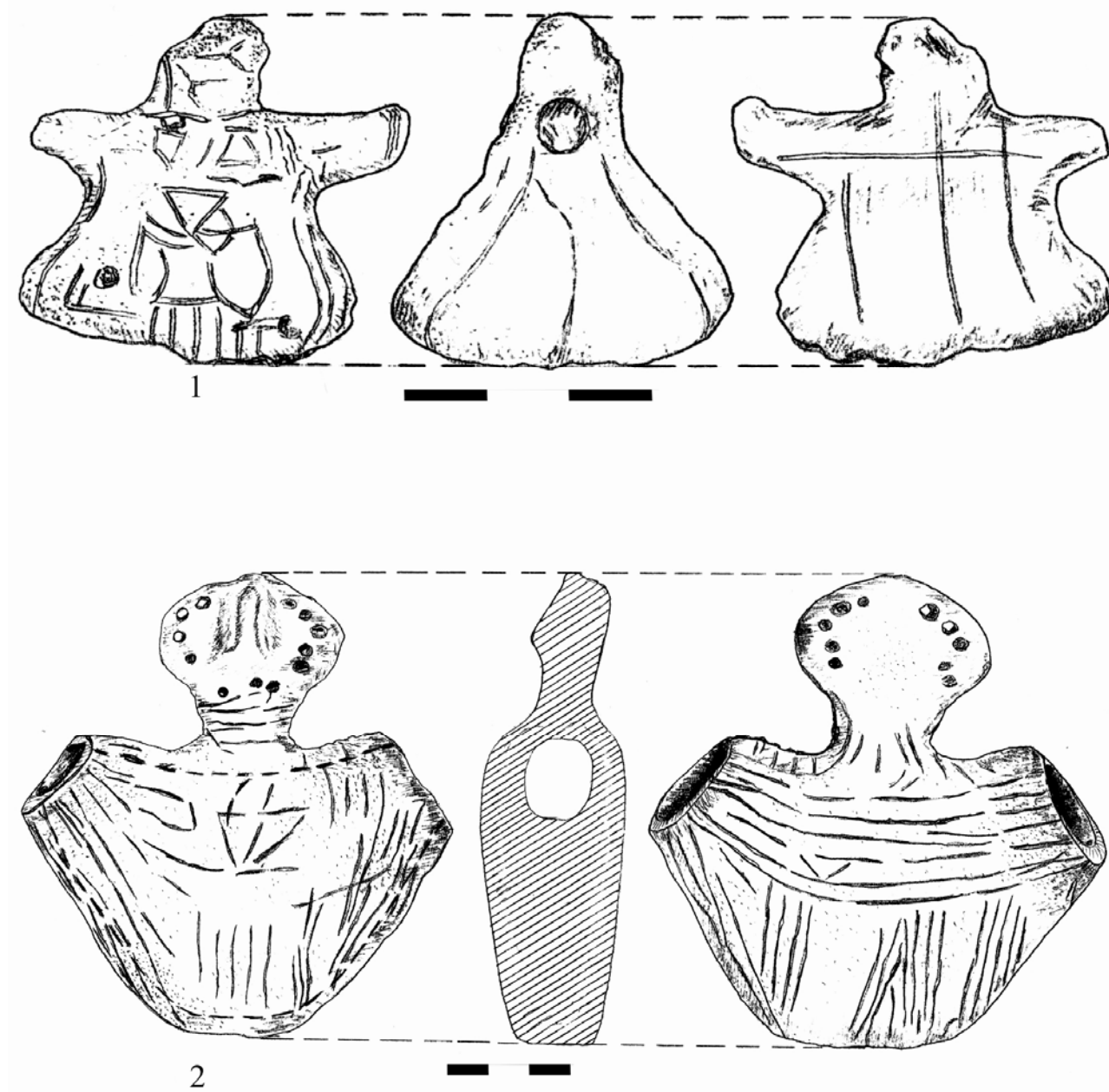


Fig. 4. Statuete de lut cu semne incizate.



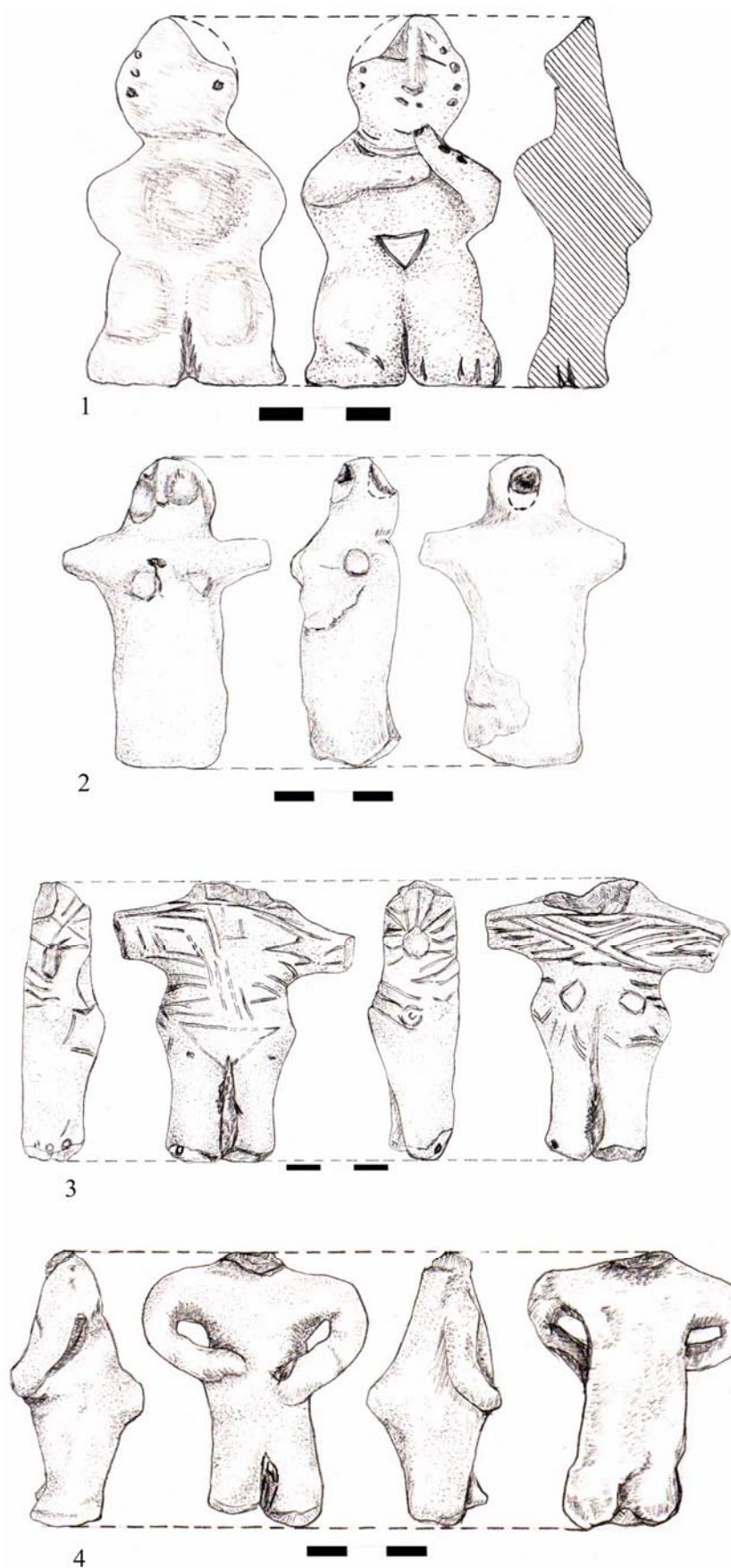


Fig. 5. Statuete de lut modelate „en bec d’oiseau” (1–2) și cu capetele rupte intenționat (3–4).

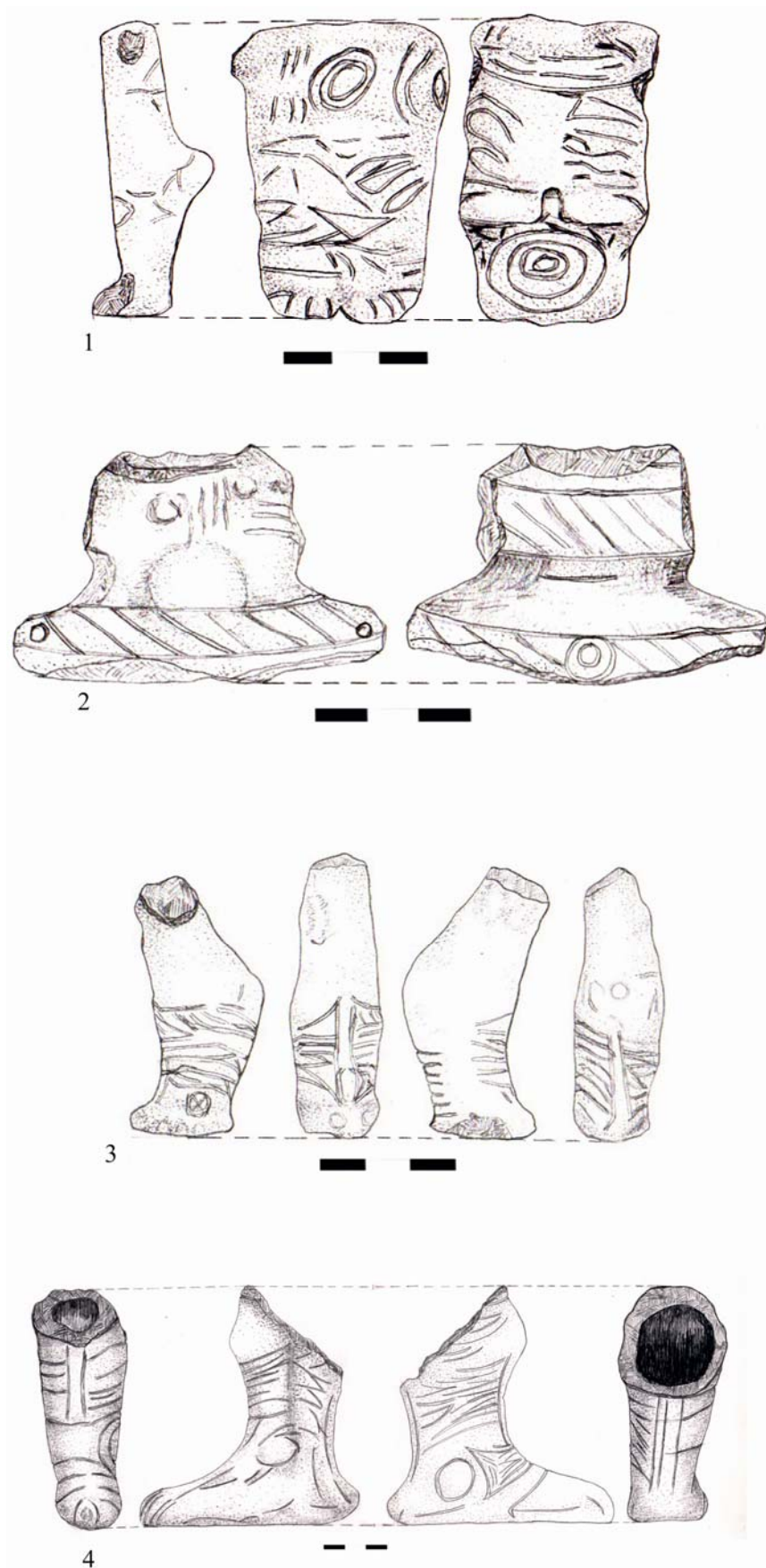


Fig. 6. Statuete de lut cu capetele rupte intenționat (1–3), picior cu desen incizat (4).

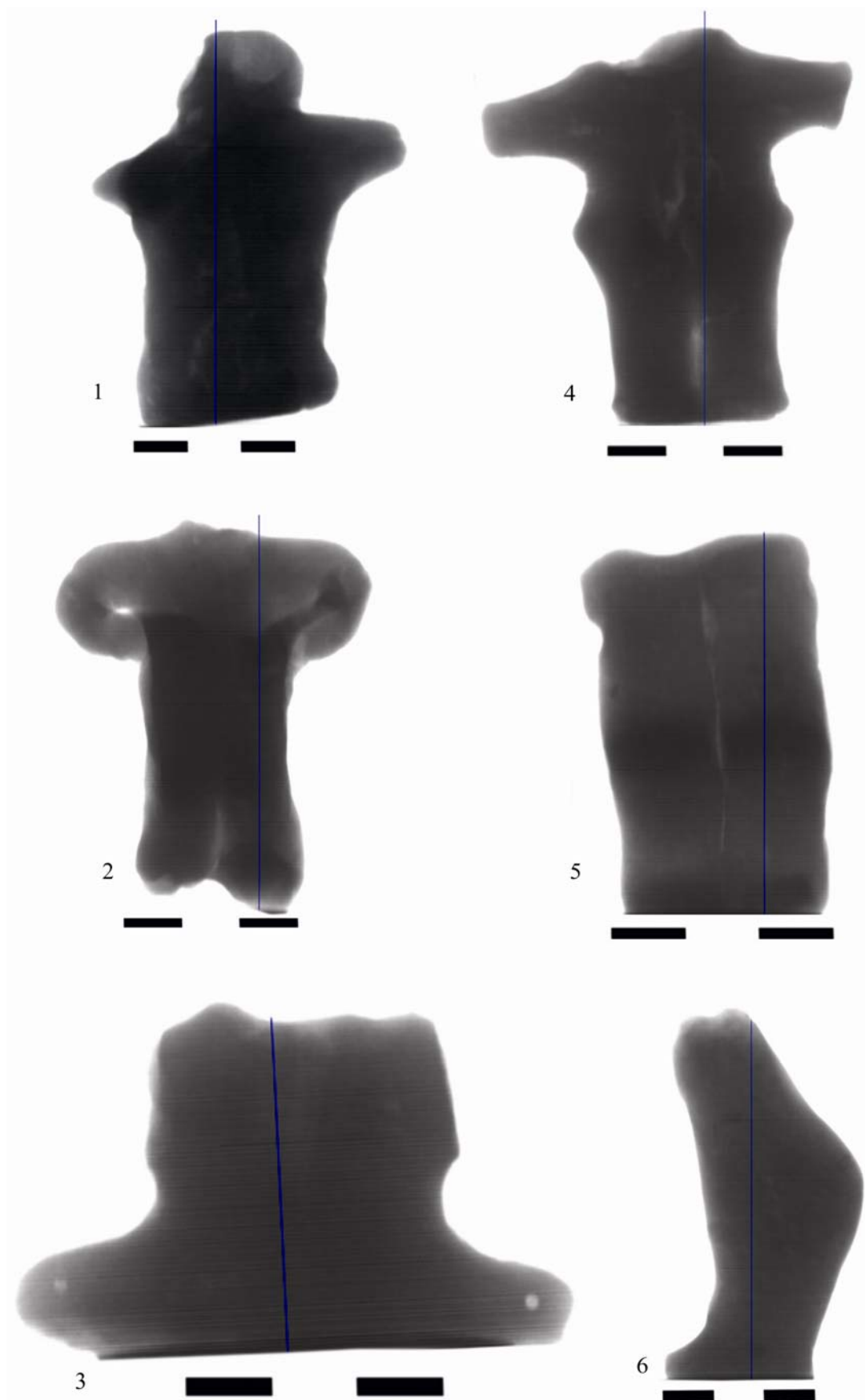


Fig. 7. Analiza tomografică.



Fig. 8. Figurină antropomorfă de la Vidra, Gumelnița B1 (1); Figurină antropomorfă (2).

**ACADEMIA ROMÂNĂ**  
**INSTITUTUL DE ARHEOLOGIE „VASILE PÂRVAN”**

**MATERIALE  
ȘI  
CERCETĂRI  
ARHEOLOGICE**

**SERIE NOUĂ  
IX**

**2013**



**EDITURA ACADEMIEI ROMÂNE**  
**BUCUREȘTI, 2013**

## **Colegiul de redacție**

**PROF. DR. ALEXANDRU BARNEA** (Universitatea București), **DR. SANDA BALESCU** (Université des Sciences et Technologies de Lille, Laboratoire de Préhistoire et Quaternaire, CNRS), **PROF. DR. CLIVE BONSALL** (University of Edinburgh), **PROF. DR. NIKOLAUS BOROFFKA** (Deutsches Archäologisches Institut – Eurasien Abteilung, Berlin, Germany), **DR. GH. I. CANTACUZINO** (Institutul de „Arheologie Vasile Pârvan” București), **DR. UWE FIEDLER** (Berlin), **DR. RADU HARHOIU** (Institutul de Arheologie „Vasile Pârvan” București), **DR. ANNIE RENOUX** (Université du Maine, Le Mans), **PROF. DR. ERIK TRINKAUS** (Department of Anthropology, Washington University), **PROF. DR. ALAIN TUFFREAU** (Université des Sciences et Technologies de Lille, Laboratoire de Préhistoire et Quaternaire), **ACAD. ALEXANDRU VULPE** (Institutul de Arheologie „Vasile Pârvan” București).

## **Comitetul de redacție**

**ROXANA DOBRESU** – redactor-șef

**ADRIAN IONIȚĂ** – redactor-șef adjunct

**IRINA ACHIM, ADINA BORONEANȚ, ADRIAN DOBOȘ, LIANA OȚA, ADRIANA PANAITE, DANIEL SPÂNU, VLAD VINTILĂ ZIRRA** – membri

**LILIANA ZAHARIA** – secretar de redacție

Redactor Editura Academiei Române: **ADRIAN MIRCEA DOBRE**

Tehnoredactor Editura Academiei Române: **DOINA STOIA**

Revista se poate procura contracost la sediul EDITURII ACADEMIEI ROMÂNE, Calea 13 Septembrie nr. 13, sector 5, 050711, București, România; tel. 4021-318 8146, 4021-318 8106, Fax 4021-318 2444, e-mail: [edacad@ear.ro](mailto:edacad@ear.ro).

ORION PRESS IMPEX 2000 S.R.L., P.O. Box 77-19, sector 3, București, România, Tel./Fax: 4021-610 6765, 4021-210 6787, Tel.: 0311 044 668, e-mail: [office@orionpress.ro](mailto:office@orionpress.ro).

S.C. MANPRES DISTRIBUTION S.R.L., Piața Presei Libere, nr. 1, Corp B, Etaj 3, Cam. 301–302, sector 1, București, România, tel./fax: (4021) 314 6339, e-mail: [abonamente@manpres.ro](mailto:abonamente@manpres.ro), [office@manpres.ro](mailto:office@manpres.ro), [www.romanianjournals.com](http://www.romanianjournals.com).

DEREX COM S.R.L., e-mail: [derex\\_com@yahoo.com](mailto:derex_com@yahoo.com)

Orice corespondență se va trimite Colegiului de redacție pe adresa: str. Henri Coandă 11, 010667 București, tel./fax 4021 212 88 62. și [redactie\\_iab@yahoo.com](mailto:redactie_iab@yahoo.com)

Normele de redactare a manuscriselor și lista abrevierilor folosite în revistă sunt în general aceleași ca în celelalte publicații ale Institutului de Arheologie. În măsura în care vom elabora alte norme, ne obligăm să le publicăm în numărul următor.

© 2013, EDITURA ACADEMIEI ROMÂNE

## SUMAR

ALAIN TUFFREAU, ROXANA DOBRESU, SANDA BALESCU, MĂDĂLIN CORNEL VĂLEANU, Boinești (département de Satu-Mare), Moustérien, Aurignacien et processus taphonomiques .....	7
ALEXANDRU CIORNEI, Petrografia silicolitelor din siturile Paleoliticului superior de pe Valea Dunării. Caracteristici și proveniență .....	41
MIHAI GLIGOR, MARIANA ROȘU, CĂLIN ȘUTEU, New Evidence on Burial Practices in Petrești Culture .....	67
CAMELIA-MIRELA VINTILĂ, CARMEN PAVEL, MARIAN NEAGU, Noi aspecte ale plasticii antropomorfe descoperite la Dunărea de Jos.....	83
ALIN FRÎNCULEASA, BIANCA PREDA, OCTAV NEGREA, ANDREI DORIAN SOFICARU, Cercetări arheologice în cimitirul din epoca bronzului târziu de la Câmpina (jud. Prahova) – campaniile 2011 și 2012 .....	97
DANIEL SPÂNU, Fibule „de tip hibrid”? .....	145
MIRCEA DABÎCA, Noi cercetări arheologice în partea de sud a cetății Histria. Campaniile 2003–2009 .....	157
ALEXANDRU BĂDESCU – Amfore orientale de tip Kapitän II descoperite la <i>Histria</i> în Sectorul <i>Basilica extra muros</i> .....	189
ANNAMARIA DIANA, MIHAI MEȘTER, Meeting an Early Medieval Community: A Preliminary Analysis of the Human Skeletal Remains from the Jucu Cemetery (Cluj-Napoca, Romania) .....	3; ;
BOGDAN CIUPERCĂ, ANDREI MĂGUREANU, EUGEN PAVELEȚ, DORIN SÂRBU, Cercetări arheologice în Curtea Domnească de la Târgșoru Vechi .....	219
RADU-ALEXANDRU DRAGOMAN, MIHAI FLOREA, Preambul la o cercetare arheologică a fostei colonii de muncă forțată din perioada comunistă de la Poarta Albă, România.....	231

## RECENZII

Laurent Carozza, Cătălin Bem, Cristian Micu (eds.), <i>Société et environnement dans la zone du Bas Danube durant le 5<sup>ème</sup> millénaire avant notre ère</i> , Editura Universității „Alexandru Ioan Cuza”, Iași, 2011, 413 p. (Cristian Eduard Ștefan) .....	243
<b>Abrevieri</b> .....	245





## SOMMAIRE

ALAIN TUFFREAU, ROXANA DOBRESU, SANDA BALESCU, MĂDĂLIN CORNEL VĂLEANU, Boinești (département de Satu-Mare), Moustérien, Aurignacien et processus taphonomiques .....	7
ALEXANDRU CIORNEI, Petrografia silicolitelor din siturile Paleoliticului superior de pe Valea Dunării. Caracteristici și proveniență.....	41
MIHAI GLIGOR, MARIANA ROȘU, CĂLIN ȘUTEU, New Evidence on Burial Practices in Petrești Culture .....	67
CAMELIA-MIRELA VINTILĂ, CARMEN PAVEL, MARIAN NEAGU, Several antropomorphic figurines found during the excavations on the Vidra tell .....	83
ALIN FRÎNCULEASA, BIANCA PREDA, OCTAV NEGREA, ANDREI DORIAN SOFICARU, Archaeological research in the Bronze Age cemetery at Câmpina (Prahova county) – campaigns 2011 și 2012.....	97
DANIEL SPÂNU, Fibule „de tip hibrid”? .....	145
MIRCEA DABÎCA, Les principaux résultats des fouilles menées entre 2003 et 2009 à Histria, dans le périmètre du Secteur sud .....	157
ALEXANDRU BĂDESCU – Amphoras Kapitän II discovered at Histria, in extra muros Basilica .....	189
ANNAMARIA DIANA, MIHAI MEȘTER, Meeting an Early Medieval Community: A Preliminary Analysis of the Human Skeletal Remains from the Jucu Cemetery (Cluj-Napoca, Romania) .....	3; ;
BOGDAN CIUPERCĂ, ANDREI MĂGUREANU, EUGEN PAVELEȚ, DORIN SÂRBU, Archaeological research Cercetări arheologice în Curtea Domnească de la Târgșoru Vechi.....	219
RADU-ALEXANDRU DRAGOMAN, MIHAI FLOREA, Preamble of planned archaeological research in the former forced labor camp from the communist period at Poarta Albă, Romania .....	231

## COMPTE-RENDUS

Laurent Carozza, Cătălin Bem, Cristian Micu (eds.), <i>Société et environnement dans la zone du Bas Danube durant le 5<sup>ème</sup> millénaire avant notre ère</i> , Editura Universității “Alexandru Ioan Cuza”, Iași, 2011, 413 p. (Cristian Eduard Ștefan) .....	243
<b>Abréviations</b> .....	245

# Cercetări arheologice în cimitirul din epoca bronzului târziu de la Câmpina (jud. Prahova) – campaniile 2011 și 2012

ALIN FRÎNCULEASA, BIANCA PREDA,  
OCTAV NEGREA, ANDREI DORIAN SOFICARU\*

**Key words:** Bronze Age, cemetery, graves, inhumation, cremation, pots, stones, absolute chronology.

**Abstract:** Archaeological research in the Bronze Age cemetery from Câmpina started in 2008. We published the first three archaeological campaigns in detail in a volume and synthetically in scientific studies, archaeological reports, catalogues and exhibition foldings. In this paper we aim to present the results of the archaeological research carried out in 2011 and 2012, completing for the interested ones the information already known. The research, that was initially a rescue one, consisted of five successive campaigns, from 2008 to 2012. We discovered 57 graves; some of them already disturbed and isolated human bones coming from several individuals found in inhumation graves strongly affected by late medieval or recent complexes. We also identified a series of complexes similar to graves that contained pots or ceramic fragments, but without human bones. They seem to be symbolic graves. We investigated both inhumation and cremation graves. The predominant funerary rite is inhumation, covering about 80% of the total number of identified individuals. The grave inventories suggest the presence of elements specific to Noua and Monteoru cultures. Moreover, three inhumation graves contained pots decorated in a manner specific to Tei culture. Some cremation graves contained pots difficult to assign to a culture, but a series of correlations, analogies and other details concerning the rite and ritual (the typology of complexes, the presence of upside down pots, the sandy paste, the distribution within the plan etc.), show they were contemporary with the other graves. Radiocarbon dates and relative chronology elements indicate the evolution of this cemetery during the Late Bronze Age.

**Cuvinte-cheie:** Epoca bronzului, cimitir, morminte, înhumare, incinerare, vase, pietre, cronologie absolută

**Rezumat:** Cercetările arheologice din cimitirul atribuit epocii bronzului identificat la Câmpina (Prahova) au debutat în anul 2008. Primele trei campanii arheologice (2008–2010) au fost deja valorificate extins într-un volum, dar și sintetic în articole științifice, rapoarte arheologice, cataloage și pliante de expoziții. În acest studiu ne-am propus publicarea rezultatelor cercetărilor arheologice din anii 2011 și 2012, completând astfel pentru cei interesați pachetul de informații ce deja a văzut lumina tiparului. Cercetările ce au avut inițial un caracter

de salvare, s-au derulat în cinci campanii succesive în intervalul anilor 2008–2012. Au fost descoperite 57 de morminte, câteva deranjate, resturi de oase umane izolate provenind de la mai mulți indivizi ale căror morminte de înhumare au fost afectate de complexe medievale târzii sau recente. Tot în acest sit au fost identificate o serie de complexe asemănătoare unor morminte în care sunt prezente vase/fragmente, dar lipsesc ori nu s-au conservat oasele umane. Acestea par a fi morminte simbolice. Au fost cercetate atât mormintele de înhumare cât și de incinerare. Ca rit de înmormântare predomină înhumarea ce acoperă din punct de vedere procentual aproape 80% din numărul total de indivizi identificați. Inventarul mormintelor semnalează prezența unor elemente specifice culturilor Noua și Monteoru, iar în trei dintre mormintele de înhumare au fost descoperite vase decorate în manieră specifică culturii Tei. Câteva morminte de incinerare au o ceramică ce deocamdată este mai greu de încadrat cultural, dar o serie de corelații, analogii și alte detalii de rit și ritual (tipologia complexelor, apariția unor vase cu gura în jos, pasta nisipoasă, distribuția în plan etc.) reflectă contemporaneitatea acestora cu celelalte complexe funerare. Datările radiocarbon și elementele de cronologie relativă indică evoluția acestui cimitir în etapa târzie a epocii bronzului.

## INTRODUCERE

Cercetările arheologice de la Câmpina au debutat în anul 2008, primele trei campanii arheologice (2008–2010) au fost deja valorificate extins într-un volum<sup>1</sup>, dar și sintetic în articole științifice<sup>2</sup>, rapoarte arheologice<sup>3</sup>, cataloage și pliante de expoziții<sup>4</sup>. În acest studiu ne-am propus

<sup>1</sup> Frînculeasa 2012.

<sup>2</sup> Frînculeasa, Lichiardopol 2011; Frînculeasa *et alii* 2011; Frînculeasa, Stîhi 2012.

<sup>3</sup> Lichiardopol *et alii* 2009; 2010; Frînculeasa, Negrea, Soficaru 2011; Frînculeasa *et alii* 2012; 2013.

<sup>4</sup> Frînculeasa 2010; Frînculeasa 2011a; Frînculeasa, Frînculeasa, Moga 2011.

\* Alin Frînculeasa, Muzeul Județean de Istorie și Arheologie Prahova, alinfranculeasa@yahoo.com, Bianca Preda, Muzeul Județean de Istorie și Arheologie Prahova, preda.biancaelena@yahoo.com; Octav Negrea, Muzeul Județean de Istorie și Arheologie Prahova, octavnegrea@yahoo.com; Andrei Dorian Soficaru, Institutul de Antropologie „Fr. Rainer”, asoficaru@yahoo.com

publicarea rezultatelor cercetărilor arheologice din anii 2011 și 2012, completând astfel pentru cei interesați pachetul de informații ce deja au văzut lumina tiparului.

Cercetările ce au avut inițial un caracter de salvare<sup>5</sup>, s-au derulat în cinci campanii succesive în intervalul 2008–2012. Au fost descoperite 57 de morminte dintre care câteva deranjate de complexe medievale târzii sau recente, lucrări agricole. Alături de aceste complexe funerare au fost identificate și alte oase umane izolate, în total numărul indivizilor identificați fiind de 61. Au fost cercetate și o serie de complexe arheologice mai mult sau mai puțin asemănătoare unor morminte în care erau prezente vase sau fragmente ceramice, dar lipseau sau nu s-au conservat oasele umane. Acestea par a fi morminte simbolice.

În cadrul acestui cimitir au fost cercetate atât morminte de înhumare, cât și de incinerare. Ca rit de înmormântare predomină înhumarea ce acoperă din punct de vedere procentual aproape 80% din numărul total de indivizi identificați. În inventarul mormintelor se regăsesc elemente specifice culturilor Noua și Monteoru, iar în trei dintre mormintele de înhumare au fost descoperite vase decorate în manieră specifică culturii Tei. Câteva morminte de incinerare au o ceramică ce deocamdată este mai greu de încadrat cultural, dar o serie de corelații, analogii și alte detalii de rit și ritual reflectă contemporaneitatea acestora cu celelalte complexe funerare. Datările radiocarbon și elementele de cronologie relativă indică evoluția acestui cimitir în etapa târzie a epocii bronzului.

#### DATE SINTETICE DESPRE CIMITIR

Complexul funerar se află pe terasa înaltă de pe partea stângă a râului Prahova, la nord de confluența cu râul Doftana, în sudul orașului Câmpina (jud. Prahova), la o altitudine de 500 m. Arealul este dominat de dealuri și terase înalte situate de o parte și de alta a râurilor Doftana și Prahova (Pl. 1). Cimitirul a fost descoperit întâmplător în anul 2008 în timpul efectuării unor lucrări de drenaj realizate pe latura de sud-est a *casei parohiale* a bisericii cu hramul *Sfântul Nicolae* din cartierul *Slobozia* (Pl. 1/3).

*Stratigrafia* este simplă și în același timp lipsită de detalii relevante ce ar putea ajuta la expunerea unor observații mai amănunțite. Sub nivelul arabil gros de 0,20–0,30 m, de culoare maronie cu o consistență argilooasă, apare un strat de pietriș

mărunțit amestecat cu argilă roșcat-maronie (marne grezoase solide), gros de până la 0,15 m. Sub acest strat urmează o depunere naturală de terasă constând din pietriș mai grosier, amestecat cu nisip cu o granulație mare și argilă roșcată. Dacă în campaniile precedente succesiunea stratigrafică era în cadrele expuse mai sus, în anul 2011 am remarcat spre limita de sud-est a zonei cercetate că nivelul natural de pietriș al terasei apare la adâncimea de –0,10 m, situație ce s-a reflectat în contextul și conservarea complexelor funerare dispuse în respectivul areal. În campania din anul 2012, spre zona de vest am observat că acest strat natural avea o grosime ceva mai mare, atingând 0,20 m.

Imediat sub stratul arabil sunt prezente grupaje de pietre de dimensiuni variabile ce provin din amenajarea unor mici movile dispuse deasupra gropilor funerare. În cele mai multe cazuri, intervențiile moderne au modificat forma antică a acestor movile. Pietrele utilizate sunt de dimensiuni variabile de la 0,10 m până la 0,20–0,40 m, mai rar ajung la 0,50–0,60 m lungime, multe dintre ele rulate cu marginile rotunjite, dar există și pietre de mari dimensiuni, colțuroase. Au forma dreptunghiulară, mai curând sau mai mult lungi și late decât groase, dar erau folosite inclusiv blocuri de piatră sau plăci de gresii subțiri. Pentru construcția movilei erau utilizate și pietre de mici dimensiuni cu diametre de 3–6 cm. Movilele identificate între –0,15 și –0,30 m adâncime aveau în plan forme oval-alungite în cazul mormintelor de înhumare, mai greu de definit pentru cele de incinerare.

Construcțiile/complexele funerare constau în săparea unei gropi ce era căptușită uneori pe margini cu plăci de piatră dispuse pe cant, iar după depunerea defunctului era ridicată o movilă din piatră și pământ. În cazul mormintelor de înhumare această situație predomină, deși există și câteva morminte în care a fost utilizat mai curând pământul și eventual câteva pietre/plăci de piatră, unele de dimensiuni ceva mai mari (0,20–0,40 m). De asemenea, au fost identificate schelete depuse imediat sub nivelul vegetal, acoperite de pietre. Pentru aceste morminte descoperite în intervalul de –0,05–0,20 m adâncime nu am identificat urmele unor gropi, ci doar pietre ce păreau a înconjura defunctul și delimitau spațiul complexului funerar. Cel puțin în cazul unui mormânt dublu (M.42), descoperit imediat sub nivelul vegetal, pare să fi existat o amenajare din piatră ce avea forma aproximativ dreptunghiulară, în interiorul căruia fuseseră așezate cele două cadavre. În cazul mormintelor de incinerare era săpată o mică adâncitură delimitată apoi de pietre, iar în acest

<sup>5</sup> Frînculeasa, Lichiardopol 2011.

spațiu erau așezate oasele incinerate, fie în vase, ori depuse direct pe „patul” de piatră, peste care se ridica o movilă din pietre.

#### CAMPANIILE ARHEOLOGICE 2011 ȘI 2012

În anul 2011 am continuat cercetările arheologice la sud-est de *casa parohială*. Au fost deschise două suprafețe ce au avut dimensiuni de  $9 \times 7,5$  m (NS–EV), denumite sector 5, respectiv  $9 \times 4$  m (NS–EV) sector 6. Ambele suprafețe au fost amplasate înspre marginea de sud-est a complexului funerar și a terasei. Între acestea a fost păstrat un martor stratigrafic gros de 0,40 m. De asemenea, au fost trasate trei noi secțiuni: S.VII de  $5,70 \times 0,90$  m (EV–NS), S.VIII de  $10,35 \times 0,95$  m (NS–EV) și S.IX de 20 m (NS–EV). Primele două au acoperit zone rămase necercetate între suprafețe abordate în campaniile precedente, cea de-a treia a fost amplasată la o distanță de aproximativ 5 m sud-vest de limita săpăturii arheologice derulată anterior, pentru identificarea unei posibile zone în care ar putea fi descoperite noi morminte.

Au fost cercetate 19 morminte<sup>6</sup>, dar și o groapă în care am identificat alături de deșeuri menajere moderne și părți de schelet uman. În ce privește ritul de înmormântare, 15 au fost morminte de înhumatie, doar 4 de incineratie, oasele deranjate aparțineau unui înhumat.

În anul 2012 au fost deschise alte cinci secțiuni S.X de  $8,20 \times 1,5$  m (E–V), S.XI de  $9,20 \times 1,50$  m (N–S), S.XII de  $9,80 \times 1,5$  m (N–S), S.XIII de  $9,80 \times 1,30$  m (N–S), S.XIV de  $9 \times 1,50$  m, o casetă de  $2,45 \times 1,45$  m și o suprafață de aproximativ 20 mp. Săpătura a acoperit zone rămase necercetate în campaniile anterioare și care se circumscriu marginilor nucleului de morminte descoperite până în 2011. Au fost descoperite trei complexe funerare din epoca bronzului, deși în unul dintre ele alături de două vase a fost identificat doar un os uman, indeterminabil, iar în altul doar resturi dintr-un craniu uman împreună cu două vase fragmentare.

#### CATALOGUL MORMINTELOR

Catalogul cuprinde sintetic principalele informații necesare pentru identificarea complexului și a inventarului atât material, cât și biologic. Pentru a nu relua în segmentul dedicat discuțiilor descrierea pieselor, am introdus în catalog și detalii privind inventarul. Adâncimile complexelor sunt raportate la un punct zero și au fost luate cu o nivelă

topografică. Am optat și pentru câteva abrevieri după cum urmează: M. – mormânt; St. – sector; S. – secțiune; cas. – casetă; V – vas; H – înălțime; D – diametru; □ – carou, CPL – complex.

**M.35** – incineratie; descoperit în S.VII, □C1, a fost identificat la  $-0,11$  m, baza complexului aflându-se la  $-0,35$  m (Pl. 5). În cazul acestui mormânt amenajarea a constat în ridicarea unei movile din piatră și pământ, peste oasele incinerate care au fost depuse în 2 vase utilizate ca urne. Primul este un vas de tip sac (V.1), culoarea gălbuie, ars secundar, pastă nisipoasă, dar nu poroasă, avea pereții ușor arcuiți, cu o serie de butoni alungiți aplicați, iar între aceștia un șir de mici gropițe circulare dispuse orizontal (Pl. 5/4, 6); dimensiuni: H = 192 mm; D gurii = 182 mm; D bază = 98 mm. Al doilea vas (V.2) pare să fie o amforă, îi lipsește partea superioară (buza/gura și parțial gâtul), din buză se păstrează doar un fragment (Pl. 5/2, 5). Pasta bine preparată este nisipoasă, dar nu poroasă la exterior, culoarea gălbuie, arsă secundar. Vasul este decorat pe corp cu un șir de gropițe alungite oblice dispuse într-un șir în plan orizontal, iar în partea inferioară cu *Besenstrich*; dimensiuni: H = 332 mm; D gurii = 245 mm; D bază = 103 mm. Analiza antropologică a resturilor osteologice a relevat faptul că în cele două vase au fost depuși indivizi diferiți, în V.1 un copil în vârstă de 8–10 ani al cărui sex nu a putut fi determinat, iar în V.2 un individ adult de sex masculin.

**M.36** – incineratie; a fost descoperit în S.VIII, □F5, la adâncimea de  $-0,29$  m, baza gropii se afla la  $-0,46$  m (Pl. 6). Pentru amenajarea mormântului a fost săpată o groapă ușor alungită de dimensiuni  $0,80 \times 0,60$  m, ce avea pereții căptușiți cu pietre. Mormântul era acoperit cu pietre ce formau o movilă alungită. Oasele incinerate au fost depuse în trei vase: V.1 – o cană cu o toartă în bandă, corp sferoidal, cu butoni aplicați la contactul dintre gât și corp, pastă nu foarte bine preparată, suprafața exterioară lustruită, culoarea negricioasă (Pl. 7/3, 6); dimensiuni: H = 102 mm; D gurii = 136 mm; D bază = 82 mm; V.2 – ceașcă nedecorată cu o toartă, este ușor asimetrică, culoarea gălbuie, pastă nisipoasă, are baza concavă (Pl. 7/2, 5); dimensiuni: H = 65 mm; D gurii = 81 mm; D bază = 32 mm; V.3 – cană tronconică cu o toartă în bandă, decorată cu trei butoni aplicați sub buză; are culoarea gălbui-cărmizie, pastă modest preparată, friabilă; baza era ușor profilată (Pl. 7/1, 4); dimensiuni: H = 220 mm; D gurii = 152; D bază = 86 mm; vasul a fost descoperit cu gura în jos. Oase incinerate se aflau atât în interiorul vaselor, cât și în exteriorul acestora. A fost identificat și un os de mamifer. Determinările antropologice au indicat un individ de sex masculin, cu o vârstă estimată între 20–30 ani.

<sup>6</sup> După finalizarea acestui studiu au mai fost descoperite trei morminte: Frînculeasa *et alii* 2013.

**M.37** – inhumăție; descoperit în S.VIII, □H5, la o adâncime de -0,29 m, baza gropii a apărut la -0,54 m (Pl. 8). Dimensiunile gropii erau de  $0,97 \times 0,43$  m, avea formă dreptunghiulară cu colțurile rotunjite, a avut ridicată deasupra o movilă de piatră de formă alungită. Defunctul era depus în poziție chircită pe partea stângă, orientat pe direcția est-vest, cu capul către est, privirea spre sud. Inventarul funerar era constituit dintr-o ceașcă nedecorată, cu o toartă supraînălțată, depusă la cap în zona occipitalului (Pl. 8/4, 5). Vasul avea culoarea gălbui-castanie, ars secundar, pastă nisipoasă bine preparată; toarta vasului era triunghiulară; dimensiuni: H = 102 mm; D gurii = 123 mm; D bază = 77 mm. Vârsta a fost estimată între 40–50 de ani, iar sexul feminin.

**M.38** – incinerăție; descoperit în St.5, □H4, identificat la -0,26 m, adâncimea maximă era de -0,37 m (Pl. 9/1–4); mormântul fusese deranjat de un complex recent și arăturile moderne, fiind întins pe o suprafață de  $0,80 \times 0,60$  m; complexul pare să fi fost delimitat de câteva pietre depuse pe cant; au fost găsite oase umane incinerate întinse de plug și resturile de la trei, posibil patru vase, între care un castron tronconic și două baze de vase pentru care este dificil de precizat forma; pasta vaselor este nisipoasă, bine preparată, culoarea castanie; mai remarcăm apariția a două fragmente ceramice puternic deformate, fiind vitrificate, ceea ce indică prezența lor pe rug. Mormântul a aparținut unui adult, sexul nu a putut fi determinat.

**M.39** – inhumăție; descoperit în S.VII, □C2, la -0,48 m adâncime iar baza la -0,64 m; a fost puternic deranjat de un complex recent (Pl. 22/2). După oasele păstrate, pare să fi fost orientat pe direcția est-vest. Lângă și pe oase au fost găsite două fragmente ceramice. Vârsta defunctului a fost estimată între 14–18 ani, sexul nu a putut fi determinat.

**M.40** – inhumăție; slab conservat (Pl. 22/3), descoperit în St.5, □H1, la -0,25 m, într-o mică adâncitură ce avea baza la -0,39 m. Complexul era prevăzut cu o movilă din piatră. Defunctul este depus în poziție chircită pe partea stângă, orientat pe direcția est-vest, cu capul către est. În mormânt a fost descoperită în poziție secundară o toartă în bandă, dar și alte fragmente ceramice grosiere. A aparținut unui copil de 9–10 ani, sexul nu a putut fi determinat.

**M.41** – inhumăție; descoperit în St.5, □H1, la -0,20 m, iar baza gropii era la -0,60 m (Pl. 11); groapa avea forma rectangulară cu colțurile rotunjite, dimensiunile  $1,32 \times 0,80$  m (VE–SN), cu pietre de mari dimensiuni dispuse pe margini, iar deasupra a

avut amenajată o movilă din piatră. Defunctul era depus în poziție chircită pe partea dreaptă, orientat pe direcția est-vest, cu capul către est, picioarele flexate, brațele îndoite și aduse către față. Spre față avea depus un vas de tip borcan (Pl. 11/3), decorat cu *Besenstrich* și cu patru butoni alungiți aplicați sub buză (Pl. 11/4, 5); dimensiuni: H = 128 mm; D gură = 100 mm; D bază = 93 mm. Pasta era friabilă, culoarea negricioasă. Tot în umplutură, în zona craniului a fost descoperit un fragment de bază de vas, din pastă grosieră, nisipoasă (Pl. 11/6). Mormântul a aparținut unui individ de sex masculin, având vârsta la deces între 25–30 ani.

**M.42** – inhumăție; dublu (M.42A–B), descoperit în St.5, □H2–I2, la -0,06 m, imediat sub nivelul vegetal actual, baza complexului era la -0,34 m (Pl. 10/3); scheletele au fost descoperite în interiorul unei amenajări din pietre dispuse pe cant; spațiul delimitat de amenajarea din pietre avea forma (conservată) aproximativ rectangulară, dimensiunile de  $1,70 \times 1,00$  m și era acoperit de o movilă din pietre. Ambele schelete erau depuse în poziție chircită pe partea dreaptă, membrele inferioare și superioare îndoite, acestea din urmă aduse către față. Erau orientate pe direcția est-vest. Nu aveau depus niciun obiect de inventar funerar, ci doar câteva fragmente ceramice. M.42A era un individ de 19–20 ani de sex masculin, iar M.42B posibil o femeie cu vârsta cuprinsă între 30–40 ani.

**M.43** – inhumăție; descoperit în St.5, □G4, la -0,27 m adâncime, iar baza gropii la -0,52 m (Pl. 12/1–2); groapa avea forma rectangulară cu colțurile rotunjite, dimensiunile de  $1,12 \times 0,60$  m (VE–NS). Defunctul era depus în poziție chircită pe partea stângă, orientat pe direcția vest-est, cu capul către vest. Picioarele erau flexate, brațele îndoite și aduse către față. La picioare avea depus un vas, o ceașcă cu o singură toartă în bandă, decorată prin împunsături, fiind obținute grupaje de câte două linii verticale, ușor oblice (Pl. 12/3, 4). S-au conservat doar parțial câteva fragmente din corp și toartă; pasta este fină cu nisip folosit ca degresant, culoarea negricioasă. Defunctul era un copil de 7–8 ani.

**M.44** – inhumăție; descoperit în St.5, □I3, la -0,12 m, iar baza la -0,21 m adâncime, groapa a avut forma rectangulară cu colțurile rotunjite, dimensiuni de  $1,18 \times 0,52$  m (Pl. 12/5). Nu a avut movilă din piatră. Înhumatul era depus în poziție chircită pe partea stângă, orientat pe direcția est-vest, cu capul la est. La cap avea depusă o ceașcă nedecorată, păstrată doar fragmentar (Pl. 12/7); era realizată din pastă fină, nisipoasă, culoarea negricioasă; în umplutură au fost descoperite și trei

fragmente ceramice, între care unul cu brâu-alveolat (Pl. 12/6). Mormântul a aparținut unui copil de 8–9 ani, sexul nu a putut fi determinat.

**M.45** – inhumatie; descoperit în St.5, □F4, la –0,30 m adâncime, iar baza la –0,44 m. Complexul a fost puternic deranjat de o intervenție modernă, dar și de o locuință medievală (Pl. 13/1, 3). Din cauza distrugerii mormântului nu au putut fi sesizate foarte clar aspecte precum poziția defunctului, orientarea acestuia, dimensiunea gropii etc. Picioarele par a fi fost la est, căzute spre nord. Au fost descoperite și pietre de mari dimensiuni ce au aparținut probabil movilei de deasupra mormântului. În apropierea mormântului a fost descoperit un fragment de ceașcă ce ar putea fi legat de acest complex (Pl. 13/2). S-au găsit fragmente de oase de la membrele inferioare, care au aparținut unui adolescent, sexul nu a putut fi determinat.

**M.46** – inhumatie; descoperit în St.5, □I –1 / 1, la –0,28 m adâncime, iar baza gropii la –0,31 m (Pl. 13/4, 5). Complexul a fost deranjat de o intervenție modernă (Pl. 23/2). Scheletul a fost găsit depus în poziție chircită pe partea stângă, orientat pe direcția est-vest, cu capul la est. Groapa era rectangulară cu colțurile rotunjite, având dimensiunile de 0,90 × 0,56 m. Deasupra avea o movilă din pietre. Nu a avut inventar, dar au fost descoperite un os de mamifer și câteva fragmente ceramice. Defunctul era probabil de sex masculin, având o vârstă cuprinsă între 16–18 ani.

**M.47** – inhumatie; descoperit în St.5, □H3–I3, la –0,30 m adâncime, iar baza gropii era la –0,69 m (Pl. 14). Groapa avea dimensiunile 1,00 × 0,62 m, era rectangulară cu colțurile rotunjite; pe margine erau așezate pietre dispuse pe cant ce căptușeau pereții. Defunctul era depus în poziție chircită pe partea dreaptă, orientat pe direcția est-vest, cu capul către est. Ca inventar funerar a avut două vase, depuse în zona feței (Pl. 14/2, 3); de asemenea, au mai fost găsite fragmente ceramice tot în zona craniului. S-a descoperit un *kantharos* (V.1) din pastă fină, culoarea castanie, decorat cu caneluri oblice grupate, și o incizie adâncită dispusă orizontal deasupra diametrului maxim (Pl. 14/4, 6); dimensiuni: H = 74 mm; D gurii = 97 mm; V.2 este o ceașcă nedecorată cu o singură toartă și „cioc” (Pl. 14/5, 7); culoarea castanie; dimensiuni: H = 49 mm; D gurii = 52 mm. Mormântul a aparținut unei persoane de sex feminin cu o vârstă estimată între 30–40 de ani.

**M.48** – incinerație; descoperit în St.5, □J3, la –0,17 m adâncime, iar baza gropii era la –0,32 m (Pl. 9/7). Groapa cu dimensiuni de aproximativ 0,60 × 0,40 m avea pereții căptușiți cu pietre, iar în

interior a fost găsit un vas fragmentar nedecorat din care s-a conservat partea inferioară (Pl. 9/6), care conținea oase umane incinerate. Ceramica era din categoria celei grosiere, pastă friabilă, culoarea negricioasă, forma fiind probabil una amforoidală. Mormântul a aparținut unui adult, sexul nu a putut fi determinat.

**M.49** – inhumatie; descoperit în St.5, □J1, la –0,30 m adâncime, iar baza gropii la –0,67 m (Pl. 10/5). Groapa era rectangulară cu colțurile rotunjite; dimensiuni 1,40 × 0,70 m, pe margine au fost găsite plăci de piatră de mari dimensiuni ce căptușeau pereții. Deasupra era o movilă din pietre. Defunctul era depus în poziție chircită pe partea dreaptă, orientat pe direcția vest-est, cu capul către vest. Corpul părea a fi contorsionat, iar fața era îndreptată în jos, putând fi remarcat occipitalul (Pl. 10/6). Au fost descoperite două fragmente ceramice dispuse în zona feței și a antebrațului, între care unul era decorat cu *Besenstrich*. În același mormânt între oase a fost identificat un mic fragment de vârf din silex (Pl. 10/4). Defunctul a avut sexul masculin, vârsta estimată la 25–30 de ani.

**M.50** – inhumatie; descoperit în St.6, □G–1, la –0,10 m imediat sub vegetal, baza fiind la –0,20 m (Pl. 24/1); defunctul era chircit pe partea stângă și avea orientarea est-vest, cu capul către est; nu am identificat o movilă din piatră și nici inventar. Defunctul era o femeie cu vârsta la deces de 20–23 ani.

**M.51** – inhumatie; descoperit în St.6, □I –1 / –2, la adâncimea de –0,20 m, iar fundul gropii era la –0,30 m (Pl. 15/1); pare să fi fost de formă rectangulară cu colțurile rotunjite, cu dimensiuni de 1,40 × 0,80 m; pe marginea acesteia au fost descoperite pietre de mari dimensiuni. Defunctul era depus în poziție chircită lateral stânga, picioarele flexate, brațele îndoite. Era orientat pe direcția est-vest, cu capul către est. În dreptul feței avea depus un vas bitronconic (ceașcă/cană) cu o singură toartă care lipsește, fiind ruptă din vechime (Pl. 15/3, 4). Vasul de culoare negricioasă, din pastă cu nisip, avea dimensiunile următoare: H = 73 mm; D gură = 102 mm; D bază = 47 mm. Defunctul era un individ de sex masculin, cu vârsta de 40–50 de ani.

**M.52** – inhumatie; descoperit în St.6, □H–1, la o adâncime de –0,12 m; groapa ce avea dimensiunile de 1,32 × 0,72 m, se adâncea în depozitul de pietriș aproximativ 0,10 m (Pl. 52/5); avea pietre dispuse pe marginea gropii; nu am identificat o movilă din piatră. Defunctul era depus în poziție chircită pe partea dreaptă, picioarele flexate, brațele îndoite □i aduse către față. Era orientat pe direcția sud-nord, cu capul către sud. În pământul din umplutura gropii a fost descoperit un fragment

ceramic cărămiziu-gălbui. Mormântul a aparținut unei femei, în vârstă de 20–25 ani.

**M.53** – înhumăție; parțial distrus, descoperit în St.6, □F–2 la o adâncime de –0,12 m (Pl. 16). Baza gropii era la –0,48–0,52 m; rectangulară cu colțurile rotunjite, dimensiuni probabile de 1,20 × 0,50 m; a avut movilă de pietre deasupra (Pl. 16/1). Defunctul era depus în poziție chircită pe partea dreaptă, brațele îndoite, aduse către față, orientarea est-vest, cu fața spre nord. În dreptul feței avea depus un vas de tip *kantharos* de culoare gălbui-cărămizie, ars secundar, cu două toarte supra-înălțate; este decorat cu motive geometrice incizate organizate în interiorul unui registru dispus orizontal pe corpul vasului (Pl. 16/3, 4, 6); fundul era inelar, ușor concav; dimensiuni: H = 102 mm; D gură = 120 mm; D bază = 53 mm. În aceeași zonă a fost identificată o mărgică inelară din lut, fragmentară ce avea diametrul de aproximativ 18 mm și grosimea de 5–6 mm (Pl. 16/5). Mormântul era distrus în zona membrelor inferioare de un șanț recent (Pl. 24/4). A aparținut unui individ de sex masculin, cu o vârstă estimată de 30–40 de ani.

**M.54** – înhumăție; în St.6, □I2 la adâncimea de –0,20 m a fost identificată o groapă circulară cu diametrul de 0,60 m, iar baza era la –0,60 m; în umplutura gropii au fost descoperite fragmente de sticlă și ceramică recentă, dar și câteva oase umane nearse ce provin de la un individ înhumat al cărui mormânt a fost distrus; se păstrează jumătatea proximală de la un cubitus stâng, ce provine de la un adult de sex indeterminabil, dar și câteva mici oase indeterminabile.

**M.55** – înhumăție; în S.XII, □H12, identificat la –0,50 m, iar baza la –0,60 m, intra în profilul de est al secțiunii (Pl. 17; 18/1); au fost descoperite un vas de tip *kantharos* (Pl. 17/4, 6) și craniul slab conservat (Pl. 17/2) împreună cu alte câteva oase ale unui copil cu vârsta estimată la 3–5 ani. Craniul era orientat spre vest cu fața spre nord. Vasul era nedecorat, pastă nisipoasă, culoarea gălbuie, dimensiuni: H = 67 mm; D gură = 78 mm; D bază = 30 mm. Umărul vasului era marcat printr-o adâncitură, toarta păstrată prezenta o ușoară creastă. Era ars secundar. Mormântul era delimitat de pietre așezate în jurul scheletului și vasului. O piatră de mari dimensiuni ce forma latura de vest a ringului M.56 acoperea (deși nu direct) craniul uman din M.55 (Pl. 17/6).

**M.56** – înhumăție ?; în S.XIII, □H11–12, la –0,35 m (Pl. 18/1, 6); complexul era reprezentat de o amenajare de formă dreptunghiulară realizată din pietre de dimensiuni medii dispuse pe latura estică și sudică, și o dală din piatră de mari dimensiuni așezată pe latura de vest (Pl. 18/6); în zona de sud a

suprafeței delimitate de pietre au fost identificate două vase de tip *kantharos* păstrate fragmentar, nedecorate și izolat un os uman indeterminabil; V.1 era nedecorat, pastă fină, culoarea brun-gălbuie (Pl. 18/4, 5), avea următoarele dimensiuni: H = 63 mm; D gură = 87 mm; D bază = 38 mm; V.2 păstrat fragmentar, era nedecorat, pastă fină culoarea brun-gălbuie (Pl. 18/2, 3), avea următoarele dimensiuni (aproximative): H = 63 mm; D gură = 71 mm; baza era rotunjită.

**M.57** – înhumăție; în S.XIII la –0,80 m, sub M.56 a fost identificat un craniu uman și două vase așezate la nord-est de acesta (Pl. 19); craniul orientat spre vest avea fața îndreptată spre est, iar împreună cu vasele era așezat pe un pat de piatră. Câteva pietre cu dimensiuni de aproximativ 0,20 × 0,15 m erau așezate în jurul craniului și a vaselor. Groapa complexului avea formă ovală cu dimensiuni de 1,20 × 0,90 m, baza fiind identificată la –0,85 m (Pl. 19/6). Cele două vase conservate parțial erau o ceașcă (Pl. 19/3) și un *kantharos* (Pl. 19/4, 5), ambele nedecorate. Cel de tip *kantharos* avea toarta de formă triunghiulară în secțiune (Pl. 19/4), ceașca avea fundul profilat. Craniul pare să fi aparținut unui adult (30–50 ani), sexul se poate determina drept masculin pe baza grosimii fragmentelor păstrate, dar diagnosticul este relativ.

Situația identificată în zona celor trei morminte cercetate în anul 2012, respectiv M.55, M.56, M.57 merită expusă mai pe larg. M.56 suprapunea parțial M.55 și M.57, relația dintre acestea două neputând deocamdată fi precizată. Între M.56 și M.57 pare să fie o relație directă, suprapunerea pare să fi fost una premeditată.

**Alte complexe** – în aceste două campanii au fost identificate și două complexe în care au fost descoperite fragmente ceramice. Acestea, denumite CPL. B, CPL. C, ar putea fi atribuite unor înmormântări simbolice sau cenotafuri și se aseamănă cu alte complexe descoperite anterior în acest cimitir<sup>7</sup>. Ele par a se constitui ca o „*practică rituală adiacentă înmormântărilor din imediata lor proximitate*”<sup>8</sup>. Complexul B se afla de altfel în apropierea M.47 (Pl. 20/6).

**CPL. B** – descoperit în St.5, □H3–4, identificat la –0,29 m, fundul la –0,52 m, D = 0,40 m. Este un complex de tip groapă (Pl. 20/1) ce avea ca inventar un castron fragmentar, tronconic, cu pereții ușor arcuiți, fundul profilat, nedecorat, realizat din pastă negricioasă nisipoasă, bine preparată (Pl. 20/4, 5, 7); dimensiuni vas: H = 118 mm; D gură = 273 mm; D bază = 116 mm.

<sup>7</sup> Frînculeasa *et alii* 2011, p. 145; Frînculeasa 2012, p. 42.

<sup>8</sup> Motzoi-Chicideanu 2003, p. 71.

**CPL. C** – descoperit în St.5, □G3, identificat la -0,50 m, iar baza la -0,64 m, D = 0,60 m (Pl. 20/2, 3). Complexul era „tăiat” de locuința 1, fiind identificat imediat sub podeaua acesteia. Era o groapă circulară, ce avea o umplutură (pământ) de culoare castanie; avea ca inventar fragmente ceramice provenind de la un vas borcan decorat cu *Besenstrich* (Pl. 20/3).

Au fost descoperite și complexe medievale târzii sau recente de tipul gropilor de var umplute ulterior cu materiale de construcție, alte gropi de mici dimensiuni (D: 0,40–0,60 m), fragmente ceramice recente, oase de mamifere. Un alt complex (L.1) constă dintr-o construcție (conservată pe 6–7 mp), ce avea un cuptor amplasat în colțul de vest (Pl. 21). În gura cuptorului au fost descoperite mai multe pietre. Locuința avea podeaua din lut bățorît de culoare gălbuie, groasă de 2–3 cm. În lutul din care se realizase calota cuptorului am identificat un fragment ceramic provenind de la o ceașcă din epoca bronzului, în apropiere aflându-se M.45 ce este puternic deranjat. Inventarul din L1 era format din ceramică, din care a fost întregită o cană cărămizie cu decor spiralic pictat cu alb pe umăr, ce își găsește analogii în sec. XVI–XVII (Pl. 21/4, 5). Construcția era tăiată de o groapă de var de mari dimensiuni, contemporană cu una dintre fazele de reconstrucție ale *casei parohiale*, dar și de o decapare modernă care a afectat partea de est a complexului.

#### DESPRE TIPOLOGIA COMPLEXELOR FUNERARE

Au fost descoperite complexe funerare în care utilizarea pietrelor este principala caracteristică atât în cazul mormintelor de înhumatie, cât și de incineratie. O parte din morminte încă mai păstrau movile din piatră ce acopereau defunctul și în același timp marcau complexul funerar. De asemenea, pietrele căptușeau marginile gropilor sau cu ajutorul lor erau construite „ringuri” din piatră ce înconjurau defuncții așezați în mici adâncituri sau gropi ușor adâncite. Gropile mormintelor aveau forma dreptunghiulară, colțurile rotunjite, pereții căptușiți cu piatră. Peste defunct era așezat pământ, apoi groapa era umplută cu pietre ce formau o movilă. Probabil existau și capace din lemn, unele vase ce erau depuse pe o placă din piatră par a fi deplasate într-o etapă ulterioară înmormântării și anterioară sau contemporană putrezirii/prăbușirii capacului. Un exemplu este M.41 unde în interiorul vasului ce era prăbușit au fost descoperite oasele mâinii drepte a individului.

Utilizarea pietrei în construcțiile funerare este binecunoscută de-a lungul întregii epoci a bronzului

și se regăsește în orizonturi culturale contemporane sau apropiate cum ar fi Mnogovalikovaja, Srubnaja, Monteoru, Sabatinovka și Noua<sup>9</sup>.

#### ADÂNCIMILE COMPLEXELOR

Pentru multe din complexele funerare nu am putut stabili foarte exact limitele, multe fiind identificate imediat sub nivelul vegetal. În cazul acestor descoperiri, defuncții par să fi fost așezați într-o mică adâncitură ce atinsese nivelul natural de pietriș, peste care erau ridicate movile din piatră ce au fost afectate puternic și aplatizate/întinse de arătură sau de factori naturali. Doar pentru următoarele morminte au putut fi delimitate gropile funerare: M.36, M.37, M.41, M.43, M.44, M.47, M.48, M.49, M.53. Din punct de vedere altimetric, două par intervalele la care se adâncesc gropile, respectiv -0,10–0,40 m și -0,40–0,70 m, cu câteva care se intersectează limitele inferioare, respectiv superioare ale celor două paliere altimetrice într-unul tranzitoriu. În cazul mormintelor cu gropi ceva mai adânci ce coboară până la -0,70 m, respectiv M.37, M.39, M.41, M.47, M.49, M.57, atât inventarul, orientarea, cât și grupele de vârstă și categoriile de sex nu prezintă anumite constante care să poată fi evidențiate, incluzând aici și celelalte morminte cu gropi similare cercetate în anii precedenți.

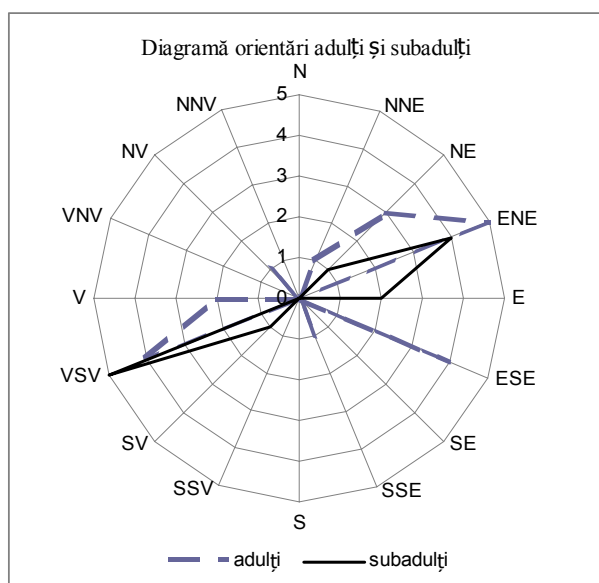
#### POZIȚIONAREA ȘI ORIENTAREA SCHELETELOR

Au fost descoperite 23 de morminte, dintre care unele deranjate de complexe recente așa cum este cazul M.39, M.45, M.46, M.56, iar într-o groapă din secolul al XX-lea au fost descoperite câteva oase umane provenind probabil de la un mormânt de înhumatie distrus și care a primit sigla M.54. În total au fost identificate resturi de oase umane provenind de la 25 de indivizi, situație generată de apariția a două morminte duble, unul de incineratie (M.35) și altul de înhumatie (M.42), reprezentând primele descoperiri de acest tip din cimitirul de la Câmpina.

Defuncții înhumați erau așezați în poziție chiricită lateral, membrele superioare îndoite și aduse spre față, iar cele inferioare îndoite. Orientarea generală a acestora este pe axul est-vest cu o singură excepție în care individul (M.52) pare mai curând dispus nord-sud. Este al doilea mormânt cu orientarea pe acest ax, chiar dacă spre deosebire de celălalt (M.34) are capul dispus spre sud. Ca și în cazul primului este lipsit de inventar. Ambele morminte aparțin unor persoane mature, diferența fiind una de gen.

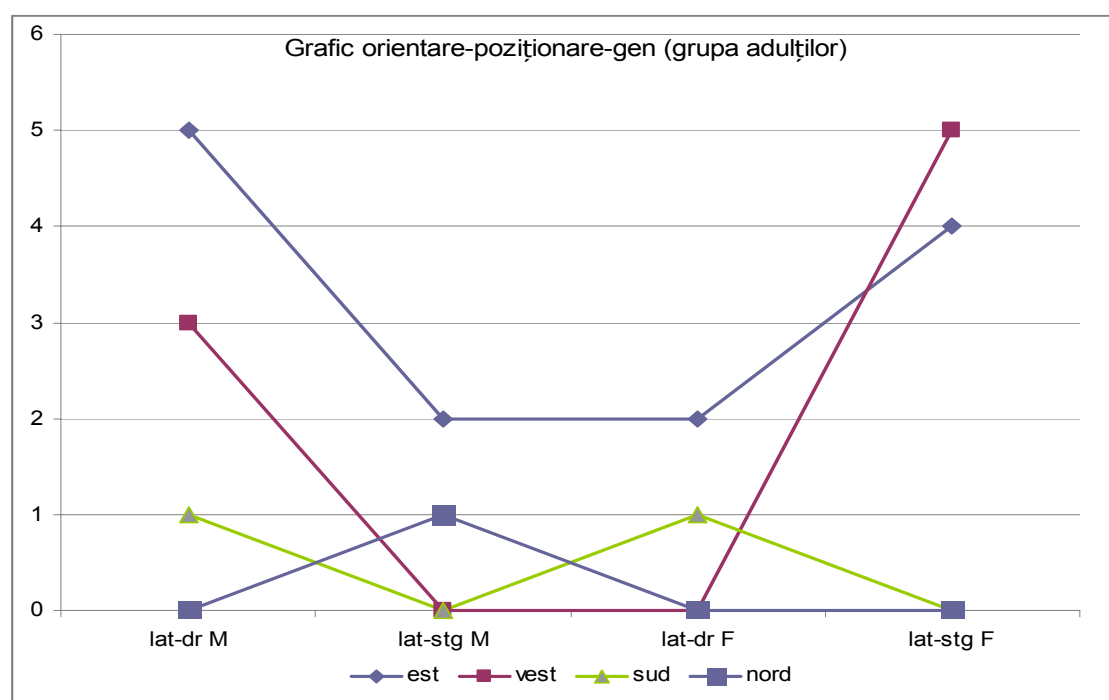
<sup>9</sup> Nicić 2008, p. 56; Sava 2002, p. 134.





O situație mai specială este reprezentată de M.49, ce pare să aibă fața îndreptată în jos spre baza gropii. O altă excepție este cea a mormântului dublu M.42, în care individul B are brațele întinse pe lângă corp (conservat doar brațul drept) (Pl. 22/5), situație ce probabil are legătură inclusiv cu manipularea acestuia într-o etapă ulterioară înmormântării inițiale. Elemente suplimentare în acest sens ar putea fi cele consemnate în cazul M.56 și M.57 din care s-au păstrat *in situ* doar câteva oase.

Inhumații cercetați în anii 2011–2012 erau depuși pe partea dreaptă (10 cazuri), cât și pe partea stângă (6 cazuri). Erau orientați în cele mai multe cazuri aproximativ de direcția est-vest, predominant cu capul către est (10), dar și către vest (4). Există și situații în care din cauza deranjamentelor recente nu au putut fi identificate detalii legate de poziția sau orientarea defuncțiilor.



Dintre cele 36 de schelete pentru care s-a putut stabili orientarea, 20 au capul la est și 14 la vest, numai două fiind pe axul nord-sud. Orientarea spre vest ar putea fi un indiciu al conservării unor tradiții Monteoru<sup>10</sup>, deși evidențiem cimitirul Noua de la Trușești unde orientarea se încadrează în același segment<sup>11</sup>. Cea spre est marchează probabil „contribuția” fondului răsăritean al comunităților

Noua, orientarea în acest segment apare în standardul înmormântărilor Sabatinovka sau Mnogovalikovaja<sup>12</sup>, deși a fost constatată o mare variabilitate în cazul standardului funerar Noua<sup>13</sup>. Cu toate că în majoritatea necropolelor culturii Noua predomină segmentele VNV și ENE<sup>14</sup>, situația de la Câmpina se prezintă oarecum diferit, segmentele alese sunt cele de VSV și ENE.

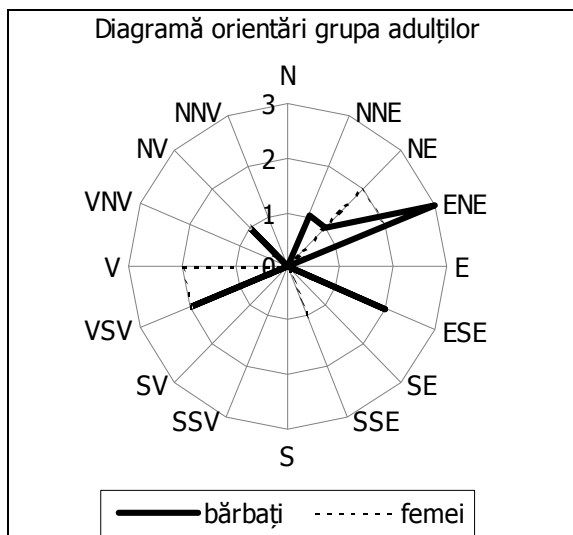
<sup>10</sup> Sava 2002, p. 141; Sava, Agulnikov 2003, p. 121; Motzoi-Chicideanu 2011, p. 420.

<sup>11</sup> Sava 2002, p. 136, abb. 22, 34; Motzoi-Chicideanu 2011, pl. 359.

<sup>12</sup> Sava, Agulnikov 2003, p. 122.

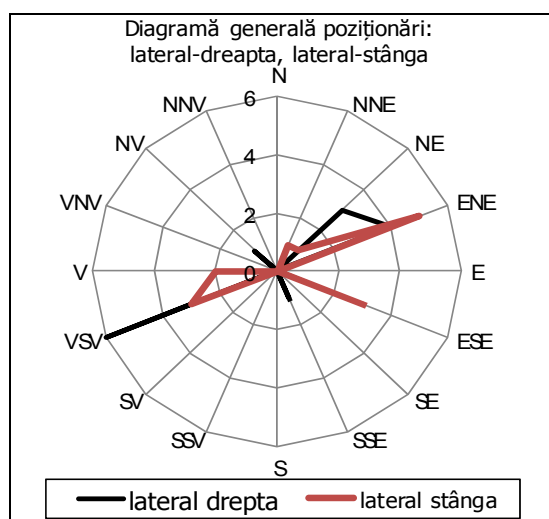
<sup>13</sup> Sava, Agulnikov 2003, p. 121.

<sup>14</sup> Dascălu 1994, p. 139; Sava 2002, p. 141; Sava, Agulnikov 2003, p. 122; Motzoi-Chicideanu 2011, p. 420.



După analiza tuturor mormintelor cercetate la Câmpina, observăm că spre est sunt asociate persoane adulte de ambele sexe cu copii, în cazul celor orientate spre vest apare o diferență ce are legătură cu poziționarea pe partea dreaptă sau stângă. Copii sunt în principal așezați lateral pe partea stângă, deși și pe dreapta apar patru situații. Femeile sunt așezate preponderent lateral pe stânga, iar bărbații pe dreapta. În cazul mormintelor de copii ce au putut fi determinate pe grupe de sex, asocierea este tot pe categorii de gen.

O situație singulară este reprezentată de un complex circular în interiorul căruia erau depuse două vase (cești), în apropierea unui craniu uman conservat parțial (M.57). Acest complex era suprapus la 0,20 m mai sus de o amenajare de formă rectangulară, realizată din piatră în interiorul căreia erau depuse două vase de tip *kantharos*, iar în apropierea unuia a fost descoperit și un os uman (M.56). Groapa M.57 tăia complexul M.55 (Pl. 18/1).



În cazul mormintelor de incinerare, oasele erau așezate în vase, dar și în apropierea acestora sau chiar sub/lângă vase. Au fost descoperite ca și în campaniile precedente, inclusiv vase, așezate cu gura în jos. Un caz deosebit singular este M.35 în care apar două vase/urne în interiorul cărora erau depuse separat resturile incinerate a doi defuncți, un individ adult și un copil (Pl. 5).

## INVENTARUL MORMINTELOR

Inventarele mormintelor de la Câmpina nu sunt din cele mai spectaculoase, atât din punct de vedere tipologic, cât și cantitativ. Ceramica, podoabele (din bronz, os, pastă sticloasă, chihlimbar, lut), piesele din silex (două) se constituie în categoriile ce formează inventarele mormintelor<sup>15</sup>. În aceste două campanii au fost descoperite vase sau fragmente, un vârf din silex și un fragment de mărgică din lut ars (grafic 1).

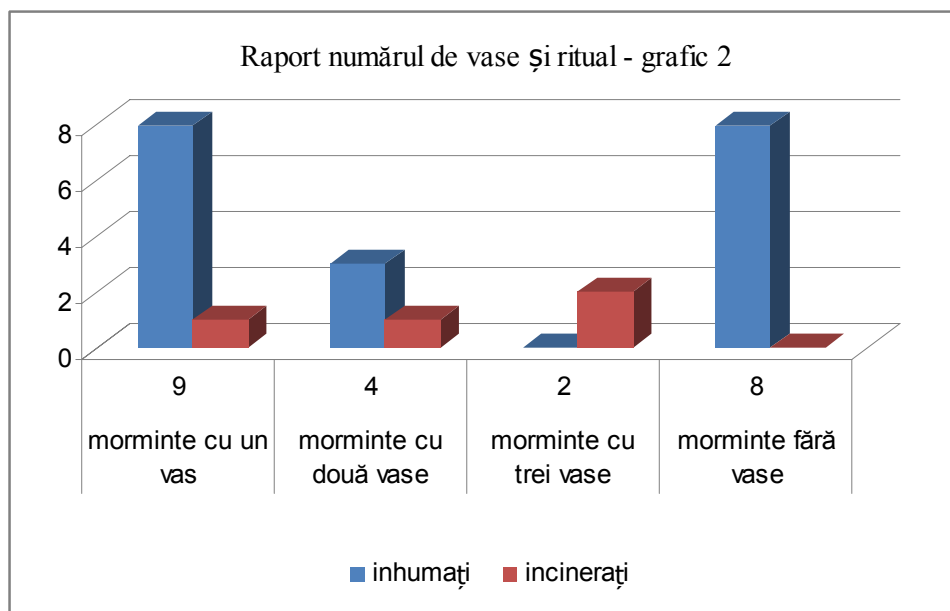
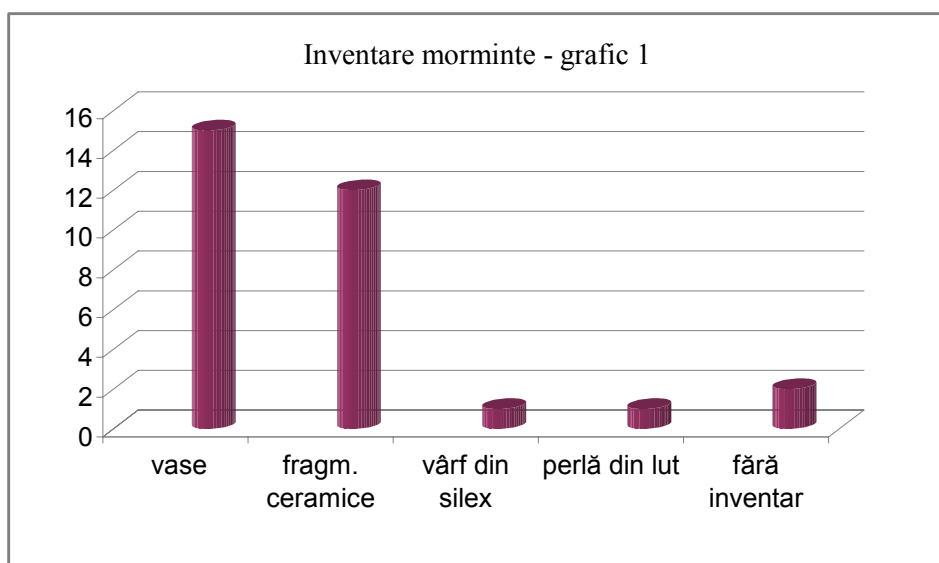
Din punct de vedere cultural, ceramica poate fi atribuită culturii Noua. Excepție face o ceașcă fragmentară descoperită în M.43, decorată în tehnica împunsăturilor succesive ce pare mai curând specifică culturii Tei (Pl. 12/3, 4). Este al treilea vas ce este decorat în această manieră, celelalte două fiind descoperite în campaniile anterioare în M.2 și M.32. De asemenea, vasul de tip *kantharos* de dimensiuni ceva mai mari, decorat cu motive geometrice descoperit în M.53 (Pl. 16/4, 6), ar putea mai curând fi legat de tradiții Monteoru.

Vase se regăsesc în următoarele morminte: M.35, M.36, M.37, M.38, M.41, M.43, M.44, M.45, M.47, M.48, M.51, M.53, M.55, M.56, M.57. Au fost descoperite și morminte fără inventar: M.39, M.40, M.42, M.46, M.49, M.50, M.52, M.54 (grafic 2). Niciun mormânt de înhumare nu a avut în inventar mai mult de două vase, situație prezentă și în cazul complexelor cercetate anterior<sup>16</sup>. În M.36 de incinerare au fost descoperite trei vase; probabil aceeași situație era și în cazul M.38, ce era puternic deranjat de lucrările agricole. Din acest punct de vedere se mențin situațiile din celelalte campanii în care am observat că în mormintele de incinerare predomină inventarele cu 3–4 vase<sup>17</sup>. În CPL. B, C a fost descoperit câte un vas fragmentar, niciunul neputând fi întregit. În total au fost descoperite 22 de vase (nu toate întregibile), la care se adaugă fragmente ceramice. Precizăm că acele fragmente ceramice din umplutură nu provin din buza vaselor decât rareori – M.44 (Pl. 12/6), ci sunt doar părți din corp, eventual bază – M.41 (Pl. 11/6).

<sup>15</sup> Frînculeasa et alii 2011; Frînculeasa 2012.

<sup>16</sup> Frînculeasa et alii 2011, p. 146; Frînculeasa 2012, p. 45.

<sup>17</sup> Frînculeasa 2012, p. 45, 97.



Tipologia ceramicii este una într-o gamă restrânsă, fiind identificate vase de tip *kantharos*, cești, căni, vase borcan, castroane, vase sac, vase amforoidale. În câteva morminte au fost descoperite doar fragmente ceramice, unele în umplutură, altele între oasele scheletelor. Trebuie evidențiat că ceramica depusă atât în mormintele de inhumatie, cât și din cele de incineratie, era arsă secundar. Tipologia ceramicii se pliază pe cea descoperită în campaniile arheologice precedente. În general lipsesc decorurile, pasta ceramicii este una de slabă calitate, cu o „remarcă” în acest sens pentru vasele cu *Besenstrich*. Vasele din mormintele de incineratie

au o pastă ceva mai bine preparată, cu nisip cu o granulație fină sau medie, numai într-un singur caz (M.29)<sup>18</sup> este poroasă la suprafața exterioară.

Ca și în anii anteriori vasele de tip *kantharos* se constituie în principala categorie, în aceste ultime două campanii fiind descoperite șase astfel de recipiente. *Kantharosul* din M.53 este de dimensiuni medii, are un decor geometric incizat ce deocamdată se constituie într-o excepție în cazul acestei necropole (Pl. 16/4, 6). Cel din M.47 prezintă pe corp grupaje de caneluri înguste dispuse vertical (Pl. 14/4, 6), iar celelalte descoperite în M.55, M.56 și M.57 nu sunt decorate.

<sup>18</sup> Frînculeasa 2012, pl. 49/4, 5.

Ceștile sunt de mici dimensiuni, realizate în general dintr-o pastă ce conține nisip. Ceșcuța din M.47 are „cioc”, fiind nedecorată (Pl. 14/5, 7), iar cea din M.43 este decorată prin împunsături și poate fi legată de tipologia ceramicii culturii Tei (Pl. 12/3, 4); alte două nedecorate au fost descoperite în M.36 și M.57.

Cănille au fost definite în baza unui criteriu în care dimensiunea acestora este mai mare decât a ceștilor. Au o singură toartă, în bandă, fiind în general nedecorate, ci eventual au atașați butoni alungiți sau conici. Au forme tronconice, bitronconice sau cu pereții ușor curbați. Vasul din M.37, deși are forma unei cești (Pl. 8), dimensiunile sale îl recomandă mai curând în categoria cănilor. Remarcăm forma acestuia ce poate fi ușor racordată tipologiei ceramicii Noua, dar și secțiunea triunghiulară a torții, ce reprezintă un „*element caracteristic olăriei Balintești-Gârbovăț*”<sup>19</sup>.

Un vas borcan identificat în M.41 realizat dintr-o pastă de slabă calitate, friabilă, care are aplicați sub buză o serie de patru butoni alungiți, este decorat cu *Besenstrich* ce acoperă toată suprafața exterioară a recipientului (Pl. 11/4, 5). Tot cu măturica sunt decorate urna amforoidală descoperită în M.35, fragmente ceramice din M.49 și CPL. C (Pl. 20/3). Vasul amforoidal din M.35 (incinerat), decorat în partea inferioară cu *Besenstrich* (Pl. 5/5), prezintă pe corp un brâu adâncit realizat din gropițe alungite așezate ușor oblic, tip de decor ce apare pe vase *kantharos* descoperite în campaniile precedente din M.16, M.25 ce pot fi încadrate în cultura Noua, dar și pe vase din complexe M.6, M.10, M.11, M.17 și M.30 care pot fi atribuite culturii Monteoru. Remarcăm și forma tortiței conservate ce prezintă o mică proeminență. Acest vas este asociat unui recipient (urnă) de tip sac ce are un decor cu un șir de gropițe circulare adâncite dispuse sub buză, dublat de butoni aplicați (Pl. 5/6). Își găsește analogii cu un vas descoperit în M.23 (înhumat), cercetat în anul 2010<sup>20</sup>. Castroanele au forma tronconică, pastă bine preparată, culoarea castanie sau negricioasă, nedecorate. Sunt dispuse ca și în campaniile precedente mai curând în morminte de incinerare, unul a fost descoperit în CPL. B.

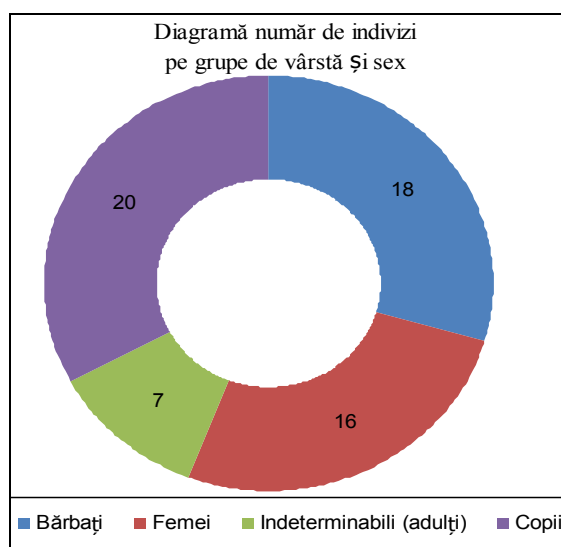
Vasele amforoidale au fost descoperite **exclusiv** în morminte de incinerare și sunt asociate în câteva situații cu castroane tronconice sau bitronconice depuse cu gura în jos. Vase cu gura în jos apar în morminte de incinerare (M.11, M.14, M.27, M.36), doar într-un singur caz într-unul de înhumare

(M.9). În M.38 și M.48 ambele de incinerare, două vase ce păstrează numai baza puteau fi de tip amforoidal.

Asocierea inventar – grupă de vârstă sau sex pare să indice anumite constante ce ținau probabil de standardul funerar. Observăm în continuare că în cazul mormintelor de copii erau depuse în majoritatea cazurilor cești sau vase *kantharos*. Aceste tipuri de vase apar atât în mormintele de femei, cât și de bărbați, sunt prezente mai ales în cele de înhumare, dar nu lipsesc nici din cele de incinerare. Piese din metal (bronz) apar în morminte de femei (M.5, M.20, M.30) sau copil (M.26), iar cele din os în toate cele trei grupe, respectiv bărbați (M.27), femei (M.6, M.30, M.31), copii (M.31). Perle din sticlă (M.20), lut (M.20, M.32) și chihlimbar (M.10) apar numai în morminte de femei.

#### DATE DE ANTROPOLOGIE BIOLOGICĂ

Lotul analizat este reprezentat de 25 de schelete, dintre acestea 4 au fost incinerate și 21 înhumate. Ca și în campaniile anterioare analiza antropologică a lotului descoperit în 2011 și 2012 indică prezența în proporții consistente a adulților (17) și o pondere ceva mai mică a copiilor (8). Analiza repartiției în funcție de grupa de sex este îngreunată de faptul că, dintr-un total de 25 de indivizi, pentru 11 nu a putut fi determinat genul, ceea ce reprezintă o pondere importantă. Pe sexe, cele determinate ca feminine sunt în număr de cinci (toate înhumate), cele masculine sunt nouă (din care două incinerate), iar cele indeterminabile sunt nouă (din care două incinerate).



<sup>19</sup> Motzoi-Chicideanu 2004, p. 72.

<sup>20</sup> Frînculeasa et alii 2011, pl. 13/13; Frînculeasa 2012, pl. 42.

Pe grupe de vârste: opt sunt subadultii (unul de sex masculin și șapte indeterminabili) și 17 adulți (cinci de sex feminin, opt de sex masculin, patru indeterminabili). Statura a fost calculată pe baza lungimii maxime a femurului stâng, doar în două cazuri, ambele la schelete de sex masculin și este cuprinsă între 162 și 169 cm.

O analiză a întregului lot indică un echilibru între bărbați și femei, dar și faptul că adulții predomină, copii reprezentând 32,78%. Mai remarcăm că o serie de copii se apropie de segmentul 14–18 ani, grupa *infans* este rar reprezentată, iar vârsta cea mai ridicată atinsă se situează în jurul pragului de 50 de ani.

Tabel  
Analize antropologice

siglă mormânt	Rit	Sex	Vârstă	Statură (cm)	Patologie
M.35A	Incinerat	IND	8–9 ani	–	–
M.35B	Incinerat	M	30–50 ani	–	<i>Cribră cranii</i>
M.36	Incinerat	M	20–30 ani	–	<i>Cribră cranii</i>
M.37	Inhumat	F	40–50 ani	–	Carie, tartru, osteoartroză
M.38	Incinerat	IND	Adult	–	–
M.39	Inhumat	IND	14–18 ani	–	Osteoperiostită
M.40	Inhumat	IND	9–10 ani	–	–
M.41	Inhumat	M	25–30 ani	169,3	<i>cribră cranii</i> , osteoartroză, fractură claviculă
M.42A	Inhumat	M	19–20 ani	–	–
M.42B	Inhumat	F	30–40 ani	–	–
M.43	Inhumat	IND	7–8 ani	–	–
M.44	Inhumat	IND	8–9 ani	–	–
M.45	Inhumat	IND	Adolescent	–	–
M.46	Inhumat	M	16–18 ani	–	Hipoplazie
M.47	Inhumat	F	30–40 ani	–	Carie, fractură, osteoartroză
M.48	Incinerat	IND	17–40 ani	–	–
M.49	Inhumat	M	25–30 ani	–	Hipoplazie
M.50	Inhumat	F	20–23 ani	–	<i>cribră cranii</i> , osteoartroză
M.51	Inhumat	M	40–50 ani	162,83	Carii, osteoartroză
M.52	Inhumat	F	20–25 ani	–	Carii, hipoplazie
M.53	Inhumat	M	30–40 ani	–	Carii, osteoartroză
M.54	Inhumat	IND	Adult	–	–
M.55	Inhumat	IND	3–5 ani	–	–
M.56	Inhumat	IND	–	–	–
M.57	Inhumat	IND	30–50 ani	–	–

Determinările antropologice ale lotului de oseminte umane, descoperite în campaniile din 2011 și 2012, au arătat o tendință asemănătoare indicatorilor patologici identificați în analizele precedente. Din lotul analizat, 13 schelete prezintă afecțiuni patologice ceea ce reprezintă procentual 52%, iar raportat la numărul total de indivizi atinge 47%. Elementele de patologie înregistrate în mod uzual sunt în primul rând cele de nutriție (anemia indicată de *hyperostosa porotica* și hipoplazia emailului), cele de creștere (rahitism), cele cauzate de activitățile fizice (osteoartroză), cele infecțioase (osteoperiostită) ori cele de comportament (fracturi sau lovituri). Ca patologie se înregistrează patru cazuri de *cribră*

*cranii* (trei la schelete de sex masculin și unul de sex feminin), cinci cazuri de carii (trei la schelete de sex feminin și două de sex masculin), șase cazuri de *osteoartroză* (trei la schelete de sex feminin și trei de sex masculin), trei cazuri de hipoplazie (două de sex masculin și unul feminin) și două cazuri de fracturi (unul la un schelet de sex masculin și unul de sex feminin). Majoritatea scheletelor cu patologii sunt de adulți și doar două sunt de subadultii.

Au fost identificate: *cribră cranii* (M.35, M.36, M.41, M.50), *osteoartroză* (M.37, M.41, M.51, M.53), *fracturi* (M.41, M.47?), *osteoperiostită* (M.39), *noduli Schmorl* (M.50). În ceea ce privește afecțiunile dentare, au fost identificate: *carii* (M.37,

M.41, M.47, M.51, M.52, M.53), *tartru* (M.37, M.41), *abcese* (M.41, M.47), *hipoplazia smalțului dentar* (M.46, M.49, M.52).

Cercetările recente în paleopatologie leagă *hiperostoza porotică* de anemia megaloblastică, rezultat al lipsei de vitamina B12 și B9, accentuată de infestarea cu paraziți. Leziunea ar putea fi rodul efectelor asociate ale unei diete inadecvate, igienei precare, bolilor infecțioase<sup>21</sup>. *Osteoartroza* este produsă de stresul mecanic și poate oferi indicii legate de tipurile de activități fizice ale indivizilor<sup>22</sup>. *Osteoperiostita* apare în infecții, traume (primară), dar și asociată cu anumite boli (secundară)<sup>23</sup> cum ar fi sifilis, lepră, osteită sau tumori<sup>24</sup>.

*Nodulii Schmorl* sunt rezultatul pătrunderii nucleului discurilor intervertebrale în corpul vertebral, creând o cavitate pe suprafața acestuia. Apar adesea în regiunea lombară, așa cum este și cazul M.50. Pot fi rezultatul unor defecte congenitale ale coloanei vertebrale sau al unor traume<sup>25</sup>.

*Carii* – din descoperirile arheologice s-a constatat că acestea afectează într-o măsură mai mare societățile agricole, din cauza dietei bogate în carbohidrați<sup>26</sup>. Prezența *tartrului* indică o igienă precară a cavității bucale. Dacă este analizat microscopic, acesta oferă informații cu privire la dieta populațiilor vechi, putând fi identificate urme de plante și alte particule de mâncare<sup>27</sup>. De asemenea, au fost identificate *abcese* dentare. *Hipoplazia smalțului dentar* ce reprezintă o deficiență a smalțului sub forma unor linii, șanțuri sau găuri rezultând din moartea sau funcționarea redusă a celulelor care produc smalț; este considerată un indicator al unor perturbări fiziologice (stres), experimentate în timpul dezvoltării dinților, fiind produsă de episoade de subnutriție, infecții și boală în copilărie<sup>28</sup>. Individul din M.41 a suferit o *fractură* a claviculei stângi (Pl. 28/1), iar cel din M.47 o posibilă *fractură* a condilului mandibular drept (Pl. 28/3).

#### DESPRE CRONOLOGIE ABSOLUTĂ ȘI RELATIVĂ

Din prisma interpretărilor tradiționale, descoperirile din cimitirul de la Câmpina sunt dificil de

abordat. Apar materiale și chiar elemente de ritual ce pot fi legate de manifestări culturale bine definite cum sunt Monteoru, Noua și Tei. Analiza ceramicii evidențiază prezența unor combinații și sinteze de elemente proprii unor tradiții culturale autonome și exprimă manifestări ce pot fi intuite, impunându-se o serie de analize și abordări suplimentare. De asemenea, au fost identificate elemente originale ce pot fi reflexul unor dezvoltări culturale locale, lipsa cercetărilor în acest areal sau în zone apropiate reflectă subiectivismul ineditului acestor descoperiri. Apoi observăm construcțiile funerare, alte elemente de ritual ce par să semnaleze transmiterea și conservarea unor tradiții bine marcate în acest areal subcarpatic.

Din primele cinci datări radiocarbon publicate<sup>29</sup>, cea pentru M.23 părea ușor excentrică și putea genera discuții, deși inventarul se putea încadra foarte bine reperului cronologic respectiv. Alte două analize realizate ulterior completează primul lot, acestea se plasează/integrează între ultimele două din cele cinci, confirmând validitatea datării pentru M.23.

În urma realizării celor șapte datări <sup>14</sup>C, concluziile generate pot fi corelate cu cele de cronologie relativă. Acestea confirmă o evoluție liniară a acestui cimitir, populat cu elemente ce subliniază menținerea unor tradiții culturale dincolo de limitele cronologice admise și precizate în bibliografia temei. Prezența în M.2 a unui vas Tei indică persistența acestor elemente culturale în paralel cu evoluția manifestărilor de tip Noua, poate chiar într-un areal apropiat. Datarea M.30 în care a fost identificată o cană cu o formă, decor, pastă, specifice pentru evoluția târzie a culturii Monteoru, este pe același palier cronologic cu M.31 în care apare o cană decorată cu *Besenstrich*. Ambele datări plasează din plin orizontul cronologic definit de descoperirile Noua. Interesant este și M.23 (înhumat), ce este datat spre sfârșitul epocii bronzului, poate fi corelat cu M.35 (incinerat), în ambele fiind descoperite câte un vas sac cu apucători, iar al doilea vas din acest ultim mormânt este decorat cu *Besenstrich*. Inventarul ceramic al mormintelor 13 și 20, ambele de înhumatie, datând în sec. XV–XIV î.Hr., își găsește analogii cu cel de tip Balintești *Cioinagi*<sup>30</sup>.

<sup>21</sup> Walker 2009, p. 114.

<sup>22</sup> Larsen 1995, p. 200.

<sup>23</sup> Ortner 2003, p. 208.

<sup>24</sup> Gladyskowska-Rzeczycka 1998, p. 217.

<sup>25</sup> Faccia, Williams 2008, p. 29–30.

<sup>26</sup> Larsen 1995, p. 187.

<sup>27</sup> Whitaker 2007, p. 30.

<sup>28</sup> Goodman 1989, p. 265–266.

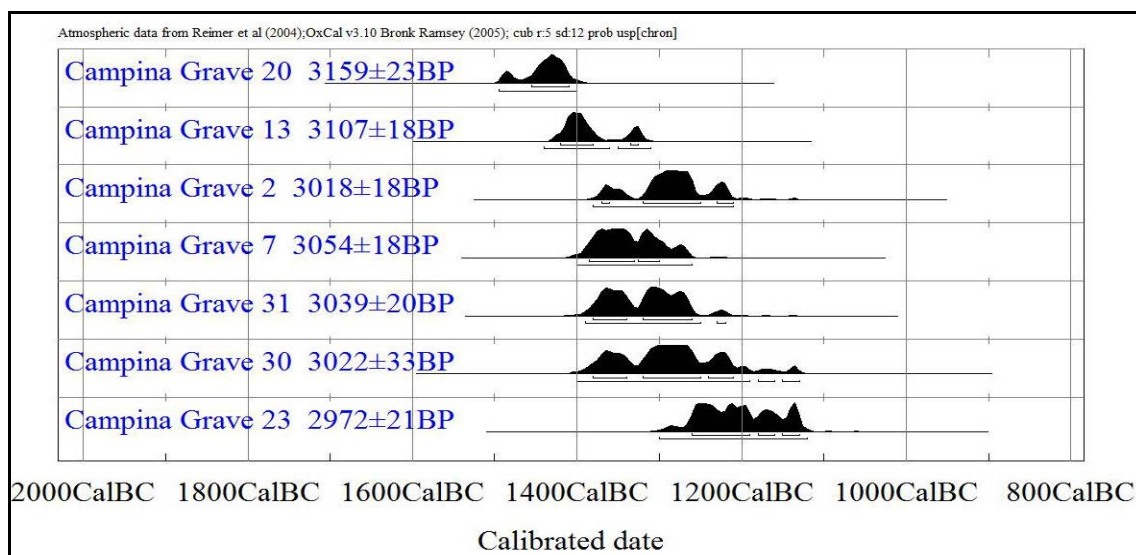
<sup>29</sup> Frînculeasa et alii 2011, p. 152–153; Frînculeasa 2012, p. 94–95.

<sup>30</sup> Zaharia 1963.



Codul de laborator	Proveniența probei	Conv. $^{14}\text{C}$ ani BP	Ani calibrați, sigma 1	Ani calibrați, sigma 2
Hd-29799	M.20	3159±23	cal BC 1452–1412	cal BC 1494–1404
Hd-29820	M.13	3107±18	cal BC 1417–1325	cal BC 1431–1316
Hd-29813	M.2	3081±18	cal BC 1404–1317	cal BC 1413–1306
Hd-29866	M.7	3054±18	cal BC 1383–1303	cal BC 1391–1268
Hd-30094	M.31	3039±20	cal BC 1373–1269	cal BC 1389–1221
Hd-30157	M.30	3022±33	cal BC 1374–1216	cal BC 1392–1132
Hd-29800	M.23	2972±21	cal BC 1260–1132	cal BC 1292–1124

(a fost utilizat INTCAL04 and CALIB5: P. J. Reimer *et alii* 2004)



Câmpina: diagrama datele  $^{14}\text{C}$

În ce privește etapa târzie a epocii bronzului, deși în ultima perioadă există o preocupare pentru obținerea unor repere cronologice mai clare, datările  $^{14}\text{C}$  realizate pentru cimitirul de la Câmpina fac parte dintr-un lot relativ restrâns de astfel de analize pentru zona Dunării de Jos, dar și pentru arealul apropiat<sup>31</sup>. Pentru cultura Noua există foarte puține date radiocarbon, așa cum de altfel a fost remarcat<sup>32</sup>. Cea mai mare parte din datările de la Câmpina pot fi integrate în același orizont cronologic cu cele Noua de la Mahala (nivelul II), Crasnaleuca<sup>33</sup> și Odaia-Miciurin<sup>34</sup>. Cea pentru M.23 situează acest complex funerar într-un interval apropiat de cel al așezării de la Kastanas, din Macedonia, respectiv în jur de 1150 BC<sup>35</sup>, sau de nivelul Coslogeni de la Durankulak, aflat în intervalul 1260–1050 BC<sup>36</sup>,

dar și din cenușarele 1, 16 și 17 de la Odaia-Miciurin, ce acoperă cam aceleași perioade<sup>37</sup>.

Chiar dacă pentru un areal mai îndepărtat, respectiv nord-vestul României, menționăm și setul de datări realizate pentru situl de la Lăpuș, respectiv pentru tumulul 26, intervalul cronologic determinat fiind unul apropiat cu cel în care evoluează complexul funerar de la Câmpina<sup>38</sup>. Mai remarcăm cele patru datări de la Siret (Bucovina) pentru așezarea Gava-Holihady aflate în intervalul 1310–1210 BC<sup>39</sup>, două date pentru piese din lemn descoperite în Maramureșul istoric<sup>40</sup>, o alta de la Valea Florilor în apropierea Turdei, toate aflate cam în același interval cronologic, respectiv 3000–2800 BP<sup>41</sup>.

În cimitirul de la Câmpina regăsim elemente de cronologie relativă, ce au contingență cu sfârșitul evoluției culturilor Tei și Monteoru, dar și cu etapa inițială a pătrunderii comunităților sau poate doar influențelor Noua și apoi cu definirea acestora în acest areal. Menționăm toate vasele ce prezintă

<sup>31</sup> Palincaș 1996; Popa, Boroffka 1996, p. 56; Motzoi-Chicideanu, Gugu 2001–2002; Motzoi-Chicideanu 2003a; Șandor-Chicideanu 2003; Motzoi-Chicideanu, Șandor-Chicideanu 2010, p. 36; Harding, Kavruk 2010; Harding 2011, p. 12 și urm.; Laszlo 2010; Frînculeasa *et alii* 2011; Kacso, Metzner-Nebelsick, Nebelsick 2011; Sava, Kaiser 2011.

<sup>32</sup> Motzoi-Chicideanu 2011, p. 584.

<sup>33</sup> László 1993; 2011, p. 268; Dascălu 2007, p. 130–132.

<sup>34</sup> Sava, Kaiser 2011, p. 337 și urm.

<sup>35</sup> Petrescu-Dîmbovița 2001, p. 285; Jung, Weninger 2002.

<sup>36</sup> Görsdorf, Bojadziev 1996, p. 150.

<sup>37</sup> Sava, Kaiser 2011, diagrama 12, tab. 26.

<sup>38</sup> Kacso, Metzner-Nebelsick, Nebelsick 2011, p. 349.

<sup>39</sup> Laszlo 2010, p. 129, tabel 2.

<sup>40</sup> Harding 2011, tab. I.

<sup>41</sup> Wollmann, Ciugudean 2005, p. 101.

mici proeminente, ce pot fi legate de influențe Noua, deși decorul în cazul unora este tipic cu cel al ceramicii etapelor târzii ale culturii Monteoru, respectiv linii incizate orizontale întrepătrunse cu capetele „petrecute”<sup>42</sup>. Acestea ar putea reflecta o serie de prime contacte culturale. În ce privește cele câteva elemente Tei, remarcăm *kantharosul* decorat prin împunsături succesive din M.2<sup>43</sup>, ce îl regăsim în faza Fundeni a culturii Tei, dar și în repertoriul tipologic al grupului cultural Fundeni Doamnei<sup>44</sup>, dar și alte două vase, respectiv o cană descoperită în M.32<sup>45</sup> și o ceașcă fragmentară din M.43.

Pentru cultura Monteoru, menționăm cana din M.30<sup>46</sup>, una dintre ceștile din M.17<sup>47</sup>, vasele de tip *kantharos* cu picior din M.6 și M.11 (ambele morminte de incinerare) ce prezintă decoruri specifice, respectiv linii incizate petrecute, ghirlande, motive solare, etc.<sup>48</sup> Datarea M.30 este una ce ar trebui corelată cu ideea persistenței unor tradiții Monteoru în acest areal și poate repune în discuție apariția unor *importuri* în așezările Noua sau chiar acele așezări aflate mai la sud în câmpie, cum este cea de la Independența (jud. Prahova) în care apar materiale Monteoru asociate cu cele Noua<sup>49</sup>, dar și problema fazei Noua I în care încă se regăsesc elemente Monteoru<sup>50</sup>.

Prezența decorului de tip *Besenstrich* indică aceeași etapă cronologică<sup>51</sup>. În umplutura gropii M.4 au fost descoperite fragmente ceramice dintre care unul este decorat cu măturica, alte două având brâu alveolat. O cană decorată cu *Besenstrich* a fost descoperită în M.31, alte două vase provin din M.35 și M.41, iar fragmente au apărut și în M.49 și CPL. C, dar și în stratul arheologic aflate în poziție secundară. În zona subcarpatică ceramică striată asociată cu cea specifică culturii Monteoru târziu apare într-o serie de situri<sup>52</sup>, iar mai spre sud în zona câmpiei piemontane menționăm alături de descoperirile izolate de la Târgșoru Vechi<sup>53</sup>, Urlați<sup>54</sup>, Mizil<sup>55</sup>, pe cele recente din așezarea de la

Independența<sup>56</sup>. Ceramică striată asociată cu cea decorată cu triunghiuri hașurate, dar și cești cu o toartă supraînălțată, vase sac cu brâu, apare și la Mălăieștii de Jos *Mornel*, dar aici lipsesc elementele (clare) monteorene târzii<sup>57</sup>. Descoperiri Monteoru târzii regăsim în acest areal și la Tinosu<sup>58</sup>, Budureasca<sup>59</sup>, Șoimești *Merez*<sup>60</sup>, Ghinoica *Ravena Gruiu*<sup>61</sup>.

Prezența la Câmpina a unor vase Monteoru specifice etapei târzii sau a unora cu puternice analogii cu cele de la Balintești *Cioinagi* și corelațiile cu datările absolute se adaugă dovezilor persistenței acestei manifestări culturale în zona dealurilor subcarpatice din nordul Munteniei în plină evoluție culturală Noua<sup>62</sup>. Elementele de tip Balintești-Gârbovăț definite ca mărturii ale unei faze târzii a culturii Monteoru<sup>63</sup> sau chiar nucleului Noua<sup>64</sup> se adaugă celor Noua prezente în acest cimitir. Mai remarcăm două vase din care unul de tip *kantharos* (Pl. 19/4), celălalt o cană (Pl. 8/5), ambele prevăzute cu toarte triunghiulare în secțiune.

Evoluția culturii Noua a fost încadrată în intervalul secolelor XV–XII<sup>65</sup>, eventual cu un debut chiar mai timpuriu „în jurul anului 1600”<sup>66</sup>. Datările și inventarele unor morminte de la Câmpina ar putea indica o evoluție mai îndelungată a culturii Noua în zona subcarpatică până în sec. XI î.Hr., ipoteză de altfel deja expusă<sup>67</sup>. Aceste elemente se pot adăuga mai vechilor discuții, constituindu-se în argumente suplimentare asupra posibilei evoluții paralele a comunităților Noua și în acest areal cu debutul culturilor Hallstattului timpuriu în Transilvania<sup>68</sup> sau în spațiul răsăritean<sup>69</sup>. Remarcăm și o serie de trei datări <sup>14</sup>C de la Durankulak pentru nivelul

<sup>55</sup> Inedit, materiale descoperite în anul 1977, aflate în depozitul MJIA.

<sup>56</sup> Frînculeasa 2012, pl. 79–81.

<sup>57</sup> Frînculeasa 2012, pl. 83; cercetări restrânse în cadrul șantierului eneolitic Mălăieștii de Jos.

<sup>58</sup> Vulpe, Vulpe 1924.

<sup>59</sup> Frînculeasa 2011, p. 56, fig. 4/6–9.

<sup>60</sup> Inedit, cercetări de suprafață A. Frînculeasa.

<sup>61</sup> Inedit, cercetări de suprafață D. Lichiardopol.

<sup>62</sup> Motzoi-Chicideanu, Șandor-Chicideanu 1999, p. 64–66; Motzoi-Chicideanu 2003a, p. 51; Frînculeasa *et alii* 2011, p. 155.

<sup>63</sup> Zaharia 1963.

<sup>64</sup> Florescu 1991, p. 27–28; Dascălu 1994; Motzoi-Chicideanu 2011, p. 371.

<sup>65</sup> Petrescu-Dîmbovița 2001, p. 285.

<sup>66</sup> Motzoi-Chicideanu 2003a, p. 49.

<sup>67</sup> Laszlo 1997, p. 249.

<sup>68</sup> Andrițoiu 1992, p. 68 și urm.; Andrițoiu, Vasiliev 1993, p. 104.

<sup>69</sup> Dergacev 2011 (pentru piese/depozite din bronz); vezi și datările de la Siret (Bucovina) pentru așezarea Gava-Holihady (Laszlo 2010).

<sup>42</sup> Frînculeasa 2012, pl. 66.

<sup>43</sup> Frînculeasa, Lichiardopol 2011, fig. 3/2, 3; Frînculeasa 2012, pl. 17.

<sup>44</sup> Leahu 2003.

<sup>45</sup> Frînculeasa 2012, pl. 52/4–6.

<sup>46</sup> Frînculeasa 2012, pl. 50/5, 8.

<sup>47</sup> Frînculeasa 2012, pl. 35/5, 8.

<sup>48</sup> Frînculeasa 2012, pl. 21/3, 5; 28/3, 5, 6.

<sup>49</sup> Frînculeasa 2012, pl. 79–81.

<sup>50</sup> Florescu 1964, p. 169, 179–180; Florescu, Florescu 1990.

<sup>51</sup> Motzoi-Chicideanu 2004, p. 72 și urm.

<sup>52</sup> Motzoi-Chicideanu 2004, p. 72.

<sup>53</sup> Teodorescu 1961, p. 637.

<sup>54</sup> Frînculeasa *et alii* 2008, p. 77, fig. 4/3–5.

Coslogeni aflate în intervalul 2960–2850 BP<sup>70</sup>, finalul evoluției acestor comunități (mai puțin pentru nord-estul Bulgariei) fiind propus undeva în intervalul 1200/1100–1150/1000 BC<sup>71</sup>.

## CONCLUZII

Aflat într-o zonă a contactelor culturale, inclusiv pe o cale de comunicare probabil bine cunoscută în epocă, cimitirul de la Câmpina marchează o perioadă de coabitare a unor comunități cu tradiții culturale diverse ce și-au găsit în acest loc exprimarea. Datările absolute corelate cu cele de cronologie relativă au generat informații ce reflectă evoluția cimitirului de la o etapă caracterizată de prezența elementelor Monteoru uneori mixate cu cele Noua și asociate cu Tei, la cele Noua târzii. În Subcarpații Munteniei, tradițiile Monteoru par a se conserva în paralel cu evoluția culturii Noua în areale apropiate, respectiv Moldova, sudul și sud-estul Munteniei sau Transilvania. După o perioadă de coabitare și influențare, treptat tradițiile Monteoru sunt asimilate și înlocuite de cele Noua.

Fără să aibă inventare bogate sau spectaculoase, riturile și ritualurile marchează un cimitir unitar și în același timp sintetizează o comunitate ce se percepea ca un grup social ce avea conștiința tradițiilor în interiorul cărora evolua.

Am constatat existența unor inventare mai complexe în cadrul mormintelor de femei în cazul celor de înhumare și a bărbaților pentru cele de incinerare. Ritul de incinerare este cu două excepții dedicat adulților. Dacă în cazul M.35A un copil este înmormântat împreună cu un adult M.35B, mormântul de incinerare M.29 aparține unui adolescent cu vârsta de 14–16 ani. Această situație ar putea semnala că la acea vârstă persoana era considerată deja adultă. Observația aceasta corelată cu altele ar putea reprezenta indicii legate de existența unui anumit ritual de trecere când un copil devenea adult.

De asemenea, remarcăm apariția în zona centrală a ceea ce pare nucleul cimitirului, a unui grupaj de morminte de copii (Pl. 27). Dispunerea și orientarea mormintelor de înhumare relevă existența unor asocieri de gen între grupele adulților și copiilor. Dacă în cazul bărbaților observăm anumite constante, mormintele de femei au orientări și poziționări diverse.

Observațiile rezultate din cercetarea cimitirului de la Câmpina oferă o bază importantă de informații utile pentru înțelegerea evoluției comunităților umane în acest areal geografic, respectiv zona Subcarpaților Munteniei.

## BIBLIOGRAFIE

- Andrițoiu 1992 – I. Andrițoiu, *Civilizația tracilor din sud-vestul Transilvaniei în epoca bronzului*, BTHR II, București, 1992.
- Andrițoiu, Vasiliev 1993 – I. Andrițoiu, V. Vasiliev, *Quelques considerations concernant la culture Noua en Transylvanie*, CCDJ 10, 1993, p. 101–123.
- Boyadziev 1995 – Y. D. Boyadziev, *Chronology of Prehistoric Cultures in Bulgaria*, p. 149–191, în: D. W. Bailey, I. Panayotov (Eds.), *Prehistoric Bulgaria*, Monographs in World Archaeology No. 22, Prehistory Press, Madison, Winsconsin, 1995.
- Dascălu 1994 – L. Dascălu, *Probleme ale bronzului târziu din nord-estul României. Rit și ritual funerar în cultura Noua*, Hierasus 9, 1994, p. 135–165.
- Dascălu 2007 – L. Dascălu, *Bronzul mijlociu și târziu în Câmpia Moldovei*, Iași, 2007.
- Dergacev 2011 – V. A. Dergacev, *Topory-kelty pozdney bronzy Karpato-Podunavja, 2, Kelty i serpy nižnego Podunavja / Socket Axes and Sickles from Lower Danube area*, Chișinău, 2011.
- Faccia, Williams 2008 – K. J. Faccia, R. C. Williams, *Schmorl's Nodes: Clinical Significance and Implications for the Bioarchaeological Record*, International Journal Of Osteoarchaeology 18, 2008, p. 28–44.
- Florescu 1964 – A. C. Florescu, *Contribuții la cunoașterea culturii Noua*, ArhMold 2–3, 1964, p. 143–216.
- Florescu 1991 – A. C. Florescu, *Repertoriul culturii Noua-Coslogeni din România. Așezări și necropole*, CCDJ 9, 1991.
- Florescu, Florescu 1990 – A. Florescu, M. Florescu, *Unele observații cu privire la geneza culturii Noua în zonele de curbură ale Carpaților Răsăriteni*, ArhMold 30, 1990, p. 49–102.
- Frînculeasa 2010 – A. Frînculeasa, *Câmpina „Slobozia” Parohia Sf. Nicolae – Cimitirul din epoca bronzului – Lumea morților în preistoria locului* (pliant expoziție), 2010.
- Frînculeasa 2011 – A. Frînculeasa, *Descoperiri funerare din epoca bronzului la Budureasca – Vadu Săpat, jud. Prahova*, MCA S.N. 7, 2011, p. 51–71.
- Frînculeasa 2011a – A. Frînculeasa, *Câmpina – Slobozia, mărturii ale spiritualității locului: cimitirul din epoca bronzului*, (catalog expoziție), M. Frînculeasa, A. Frînculeasa (Ed.), Ploiești, 2011.
- Frînculeasa 2012 – A. Frînculeasa, *Arheologie și Istorie. Parohia „Sfântul Nicolae” Câmpina, jud. Prahova*, Târgoviște, 2012.
- Frînculeasa et alii 2008 – A. Frînculeasa, D. Garvăn, M. Frînculeasa, B. Voicu, I. Adamescu, *Descoperiri arheologice în bazinul râului Cricovul Sărat, județul Prahova*, AMIAP S.N. III–IV (11–12), 2008 (2007–2008), p. 47–100.

<sup>70</sup> Boyadziev 1995, p. 187.

<sup>71</sup> Petrescu-Dîmbovița 2001, p. 285; Irimia 2010, p. 45; I. Motzoi-Chicideanu 2011, p. 56; Dergacev 2011, p. 244.

- Frînculeasa et alii 2011 – A. Frînculeasa, A. D. Soficaru, O. Negrea, M. Mărgărit, M. Frînculeasa, B. Preda, C. David, *Cimitirul din epoca bronzului de la Câmpina (jud. Prahova)*, Studii de Preistorie 8, 2011, p. 139–181.
- Frînculeasa, Lichiardopol 2011 – A. Frînculeasa, D. Lichiardopol, *Bronze age funeral discoveries in Câmpina, Prahova County – preliminary notes*, Thraco-Dacica S.N. 11 (XXV–XXVI), 2010–2011, 1–2, p. 47–58.
- Frînculeasa, Negrea, Soficaru 2011 – A. Frînculeasa, O. Negrea, A. Soficaru, *Câmpina, jud. Prahova, CCA, campania 2010*, A XLV a Sesiune națională de rapoarte arheologice Sibiu, 26–29 mai 2011, p. 167–168.
- Frînculeasa, Frînculeasa, Moga 2011 – M. Frînculeasa, A. Frînculeasa, P. Moga, *The Awareness of Values through Education. "Saint Nicholas" Parish, Campina (Prahova, Romania) – Crucible of Local Cultural and Spiritual Patrimony – Romanian Funds (The Administration of National Cultural Fund) for Cultural Education*, in: Nicola V, Ka-Lok Ng (Eds.) *Recent Researches In Chemistry, Biology, Environment, Arts And Culture. Proceedings of the 2nd International Conference On Arts And Culture*, Montreux, 2011, p. 40–46.
- Frînculeasa et alii 2012 – A. Frînculeasa, O. Negrea, B. Preda, C. Dumitrescu, A. D. Soficaru, *Câmpina, jud. Prahova, CCAR, campania 2011*, A XLVI a Sesiune națională de rapoarte arheologice Târgu-Mureș, 23–26 mai 2012, p. 194–195.
- Frînculeasa, Stihl 2012 – A. Frînculeasa, C. Stihl, *Vitreous Beads Found at the Bronze Age Cemetery from Câmpina (Prahova)*, Annales d'Université „Valahia” Târgoviște, Section d'Archéologie et d'Histoire, Tome XIV, Numero 2, 2012, p. 17–27.
- Frînculeasa et alii 2013 – A. Frînculeasa, O. Negrea, B. Preda, C. Dumitrescu, A. D. Soficaru, *Câmpina, jud. Prahova, CCAR, campania 2012*, A XLVII a Sesiune națională de rapoarte arheologice Craiova, 27–30 mai 2013, p. 41.
- Gładykowska-Rzeczycka 1998 – J. J. Gładykowska-Rzeczycka, *Periostitis: Cause, Form and Frequency in Paleopathology*, Vol. XXXVIII, Nr. 3, 1998, p. 217–236.
- Goodman 1989 – A. H. Goodman, *Dental Enamel Hypoplasias in Prehistoric Populations*, Advances in Dental Research 3, 1989, p. 265–271.
- Görsdorf, Bojadziev 1996 – J. van Görsdorf, J. Bojadziev, *Zur absoluten Chronologie der bulgarischen Urgeschichten. Berliner <sup>14</sup>C datierungen von bulgarischen archäologischen Fundplätzen*, Eurasia Antiqua 2, 1996, p. 105–173.
- Harding 2011 – A. Harding, *Evidence for prehistoric salt extraction rediscovered in the Hungarian Central Mining Museum*, AntJournal 91, 2011, p. 1–23.
- Harding, Kavruk 2010 – A. Harding, V. Kavruk, *A prehistoric salt production site at Băile Figa, Romania*, Eurasia Antiqua 16, 2010, p. 131–167.
- Irimia 2010 – M. Irimia, *Considerations concernant la fin de la culture Coslogeni*, SCIVA 61, 2010, 1–2, p. 31–68.
- Jung, Weninger 2002 – R. Jung, B. Weninger, *Appendix: Zur Realität der Diskrepanz zwischen den kalibrierten <sup>14</sup>C-Daten und der historisch-archäologischen Datierung in Kastanas*, p. 281–298, in: R. Jung, Kastanas. *Die Drehscheibenkeramik der Schichten 19 bis 11. Teil 1*, Prahistorische Archaeologie in Südosteuropa 18/1, Kiel, 2002.
- Laszlo 1993 – A. Laszlo, *Dates radiocarbone et chronologie de la civilisation Noua-Sabatinovka-Coslogeni*, CCDJ 10, 1993, p. 23–41.
- Laszlo 1997 – A. Laszlo, *Datarea prin radiocarbon în arheologie*, București, 1997.
- Laszlo 2010 – A. Laszlo, *Zur Chronologie der späten Bronzezeit und der älteren Hallstattperiode in nord-östlichen Karpatenraum. Die radiokarbon-Datierung der Gava-Holihady Siedlung von Siret (Bukowina)*, StCom Satu Mare, seria Arheologie, 26/1, 2010, p. 121–132.
- Laszlo 2011 – A. Laszlo, *Unele probleme ale epocii bronzului din regiunile est-carpătice. Observații pe marginea unei cărți recente*, ArhMold 34, 2011, p. 261–269.
- Kacso, Metzger-Nebelsick, Nebelsik 2011 – C. Kacso, C. Metzger-Nebelsick, L. D. Nebelsik, *New work at the late bronze age tumulus cemetery of Lăpuș in Romania*, în: Ancestral Landscapes. TMO 58, Maison de l'Orient et de la Méditerranée, Lyon, 2011, p. 341–353.
- Larsen 1995 – C. S. Larsen, *Biological changes in Human Populations with Agriculture*, Annual Review of Anthropology 24, 1995, p. 185–213.
- Lichiardopol, Frînculeasa, Soficaru 2009 – D. Lichiardopol, A. Frînculeasa, A. D. Soficaru, *Câmpina, jud. Prahova, CCA (campania 2008)*, Târgoviște, 2009, p. 281–283.
- Lichiardopol, Frînculeasa, Soficaru 2010 – D. Lichiardopol, A. Frînculeasa, A. D. Soficaru, *Câmpina, jud. Prahova, CCA (campania 2009)*, Suceava, 2010, p. 247–248.
- Leahu 2003 – V. Leahu, *Cultura Tei. Grupul cultural Fundenii Doamnei. Probleme ale epocii bronzului în Muntenia*, BTHR XXXVIII, București, 2003.
- Motzoi-Chicideanu 2003 – I. Motzoi-Chicideanu, *Câteva remarci asupra studiului descoperirilor mortuare*, p. 65–76, în: *In memoriam RADU POPA, Temeiuri ale civilizației românești în context european* (coord. D. Marcu Istrate, A. Istrate, C. Gaiu), Bistrița-Năsăud, 2003.
- Motzoi-Chicideanu 2003a – I. Motzoi-Chicideanu, *Câteva considerații asupra culturii Monteoru*, Mousaios 7, 2003, p. 7–59.
- Motzoi-Chicideanu 2004 – I. Motzoi-Chicideanu, *Observații asupra cimitirului din epoca bronzului de la Pietroasa Mică*, Mousaios 9, 2004, p. 57–100.
- Motzoi-Chicideanu 2011 – I. Motzoi-Chicideanu, *Obiceiuri funerare în epoca bronzului la Dunărea Mijlocie și Inferioară I–II*, București, 2011.
- Motzoi-Chicideanu, Șandor-Chicideanu 1999 – I. Motzoi-Chicideanu, M. Șandor-Chicideanu, *Cercetările arheologice de la Năieni-Zănoaga (jud. Buzău). Campaniile 1982–1986, 1988–1993 și 1996*, MCA S.N. 1, 1999, p. 59–97.
- Motzoi-Chicideanu, Gugiu 2001–2002 – I. Motzoi-Chicideanu, D. Gugiu, *Un mormânt din epoca bronzului descoperit la Cârloamănești jud. Buzău*, SCIVA 52–53, 2001–2002, p. 5–41.
- Motzoi-Chicideanu, Șandor-Chicideanu 2010 – I. Motzoi-Chicideanu, M. Șandor-Chicideanu, *Cimitirul din epoca Bronzului de la Cârloamănești – La Arman. Campaniile 2003–2007*, MCA S.N. 6, 2010, p. 21–70.
- Nicic 2008 – A. Nicic, *Interferențe cultural-cronologice în nord-vestul Pontului Euxin la finele mil. II – începutul mil. I. a. Chr.*, Biblioteca Tyrageia XV, Chișinău, 2008.
- Ortner 2003 – D. J. Ortner, *Identification of pathological conditions in human skeletal remains*, Academic Press, 2003.
- Palincaș 1996 – N. Palincaș, *Valorificarea arheologică a probelor <sup>14</sup>C din fortificația aparținând bronzului târziu de la Popești (jud. Giurgiu)*, SCIVA 47, 1996, 3, p. 239–295.

- Petrescu-Dîmbovița 2001 – M. Petrescu-Dîmbovița, *Perioada târzie a epocii bronzului*, p. 272–287, în: Istoria Românilor I, București, 2001.
- Popa, Boroffka 1996 – D. Popa, N. Boroffka, *Considerații privind cultura Noua. Așezarea de la Țichindeal, jud. Sibiu*, SCIVA 47, 1996, 1, p. 51–61.
- Sava 2002 – E. Sava, *Die Bestattungen der Noua-Kultur. Ein Beitrag zur Erforschung spätbronzezeitlicher Bestattungsriten zwischen Dnestr und Westkarpaten*, PAS 19, Kiel, 2002.
- Sava, Agulnikov 2003 – E. Sava, S. Agulnikov, *Contribuții noi la definirea ritului funerar de tip Sabatinovka*, în: E. Sava (red.), *Interferențe cultural-cronologice în spațiul nord-pontic*, Chișinău, 2003, p. 113–138.
- Sava, Kaiser 2011 – E. Sava, E. Kaiser, *Poselenie s „zolinikami” i sela Odaia-Miciurin, Respublika Moldova: Die Siedlung mit „Aschugeln” beim Dorf Odaia-Miciurin, Republik Moldova (Archäologische und naturwissenschaftliche Untersuchungen)*, Biblioteca Tyrasgria XI, Chișinău, 2011.
- Șandor-Chicideanu 2003 – M. Șandor-Chicideanu, *Cultura Zuto Brdo-Gârle Mare. Contribuții la cunoașterea epocii bronzului la Dunărea Mijlocie și Inferioară*, I–II, Cluj-Napoca, 2003.
- Teodorescu 1961 – V. Teodorescu, *Epoca bronzului*, p. 636–637, în: D. Popescu, N. Constantinescu, Gh. Diaconu, V. Teodorescu, *Șantierul arheologic Târgșor*, MCA 7, 1961, p. 631–644.
- Vulpe, Vulpe 1924 – R. Vulpe, E. Vulpe, *La fouilles de Tinosu*, Dacia 1, 1924, p. 166–223.
- Waldron 2009 – T. Waldron, *Palaeopathology*, Cambridge University Press, 2009.
- Walker et alii 2009 – P. L. Walker, R. R. Bathurst, R. Richman, T. Gjerdrum, V. A. Andrushko, *The Causes of Porotic Hyperostosis and Cribra Orbitalia: A Reappraisal of the Iron-Deficiency-Anemia Hypothesis*, American Journal of Physical Anthropology 139, 2009, p. 109–125.
- Whitaker 2007 – K. Whitaker, *How do dental studies contribute to the reconstruction of the lives of past peoples?*, 1<sup>st</sup> Summer School of the European Anthropological Association, 16–30 June, 2007, Prague, EAA Summer School eBook 1, 2007, p. 27–33.
- Wollmann, Ciugudean 2005 – V. Wollmann, H. Ciugudean, *Noi cercetări privind mineritul antic în Transilvania (I)*, Apulum 42, 2005, p. 95–116.
- Zaharia 1963 – E. Zaharia, *Das Gräberfeld von Balintești-Cioinagi und einige Fragen der Bronzezeit in der Moldau*, Dacia N.S. 7, 1963, p. 139–176.
- Pl. 7. Vase din M.36.
- Pl. 8. M.37: pietre din movilă (1); detaliu mormânt (2); vas *in situ* (3); vas (4–5).
- Pl. 9. M.38 (1); fragmente de vase provenind din M.38 (2); M.48 (5, 7); fragment de vas din M.48.
- Pl. 10. M.42 (1); M.49 (2), detaliu craniu M.49 (3); fragmente ceramice decorate cu *Besenstrich* descoperite în M.49 (4, 5); vârf de săgeată din silex descoperit în M.49 (6).
- Pl. 11. M.41: movila din piatră (1) și mormânt (2); detaliu cu vasul *in situ* (3); vas cu *Besenstrich* (4–5), fragment de vas (6).
- Pl. 12. M.43 (1) cu detaliu vas *in situ* (2); fragment de vas din M.43 (3–4); M.44 (5); fragmente de vase descoperite în M.44 (5–6).
- Pl. 13. M.45 (1, 3) și cuptorul medieval (3); fragment de vas deranjat descoperit în apropierea M.45 (2); movilă din piatră a M.46 (4); M.46 (5).
- Pl. 14. M.47 (1), detalii (2, 3); vase descoperite în M.47 (4–7).
- Pl. 15 – M.51 (1), detaliu vas *in situ* (2), vas (3–4); M.52 (5).
- Pl. 16. M.53: movila din piatră (1); detaliu mormânt (2) și vas *in situ* (3); vas (4, 6); fragment de mărgică din lut (5).
- Pl. 17. M.55 (1–3), craniu *in situ* (2); vas (4–6), fragment ceramic *in situ* (5); pietre de la M.56 (3).
- Pl. 18. Desen cu M.55, M.56, M.57 (1); M.56 (6); vase descoperite în M.56 (2–5).
- Pl. 19. M.57: detalii (1–2); vase (3–5), groapă mormânt (6).
- Pl. 20. Complexe de tip cenotaf: CPL B (1, 4), vas descoperit în CPL B (7); CPL C (2), vas descoperit în CPL C (3); CPL B și groapa M.47 (6).
- Pl. 21. Complex medieval L 1 (1–2), detaliu cuptor (2), vas descoperit în L 1 (4–5); complex recent (3).
- Pl. 22. Detalii cu mormintele de inhumatie: M.37 (1), M.39 (2), M.40 (3), M.41 (4), M.42 (5), M.43 (6).
- Pl. 23. Detalii cu mormintele de inhumatie: M.44 (1), M.46 (2), M.47 (3), M.49 (4).
- Pl. 24. Detalii cu mormintele de inhumatie: M.50 (1), M.51 (2), M.52 (3).
- Pl. 25. Inventarele mormintelor (2011–2012).
- Pl. 26. Planul general al cimitirului cu poziționarea mormintelor cercetate în campaniile 2011–2012 (M.35–M.57).
- Pl. 27. Distribuția mormintelor în plan cu determinările antropologice pe grupe de vârstă și sex.
- Pl. 28. Detalii cu semne ale unor patologii pe oase: M.41, clavicula stângă cu o fractură simplă, vedere superioară (1); M.41, *cribra cranii* (2, 4); M.47, condilul mandibular drept, vedere medială (3).
- Pl. 29. Câmpina 2008–2012, vase descoperite în morminte.
- Pl. 30. Câmpina 2008–2012, înserierea mormintelor după rit și inventar ceramic în relație cu grupa de sex (1), Câmpina 2008–2012 înserierea mormintelor de femei după rit, ritual și obiecte de port (2).

## LISTA ILUSTRAȚIILOR

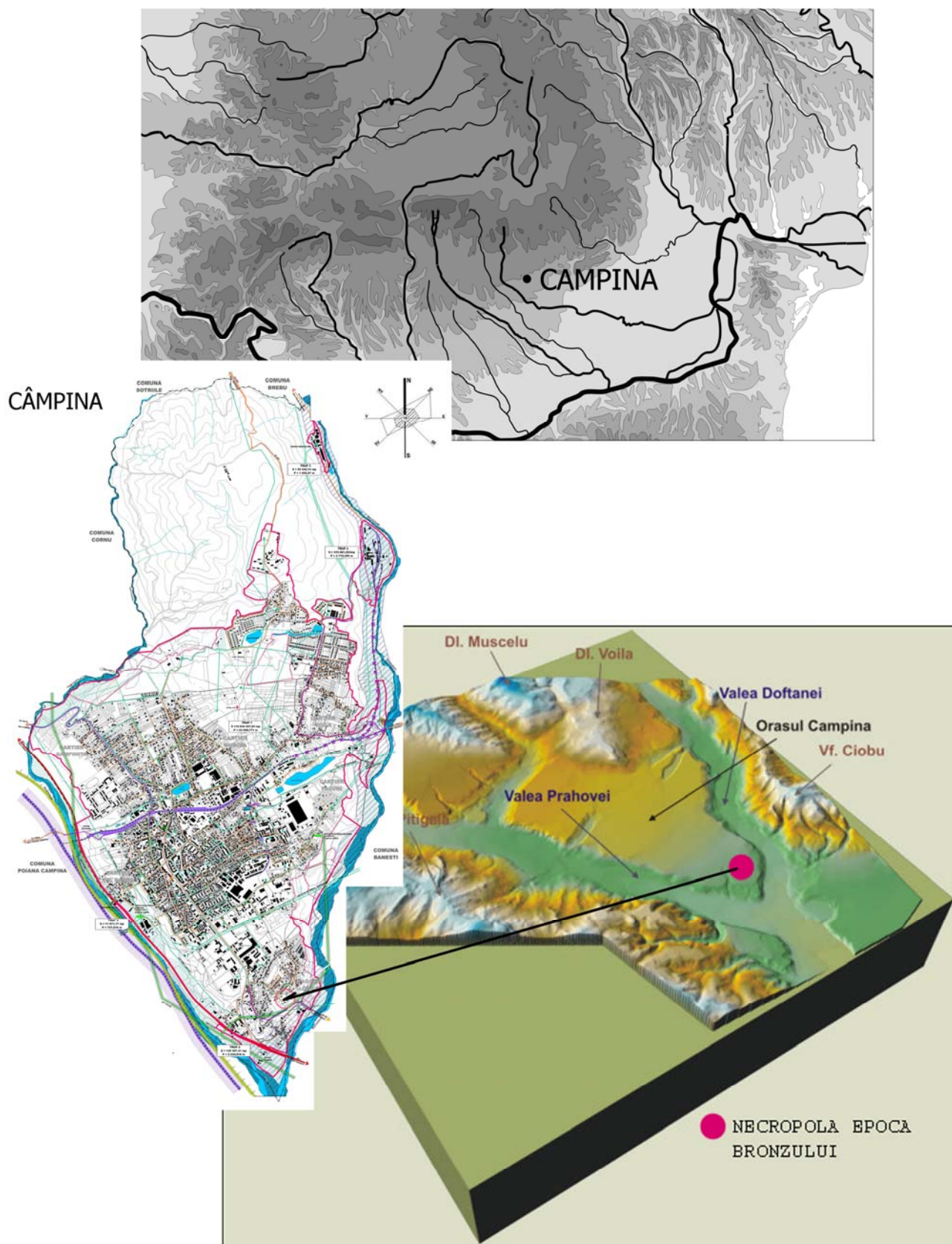
- Pl.1. Poziționarea localității și a cimitirului din epoca bronzului de la Câmpina (jud. Prahova).
- Pl. 2. Câmpina *Slobozia*: fotografii aeriene, vedere dinspre est și sud-est (1, 2); cimitirul din epoca bronzului și casa parohială văzute dinspre est (3).
- Pl. 3. Câmpina *Slobozia*: Parohia Sf. Nicolae cu poziționarea săpăturii arheologice.
- Pl. 4. Câmpina *Slobozia*: imagini din timpul cercetării.
- Pl. 5. M.35 (1, 3); vase din M.35 (2, 4–6).
- Pl. 6. M.36 (1), detalii cu vasele *in situ* (2–3); groapa și „ringul” din piatră după demontarea vaselor (4).

## LIST OF ILLUSTRATIONS

- Pl. 1. Câmpina (Prahova county) - the position of the city and of the Bronze Age cemetery.
- Pl. 2. Câmpina *Slobozia*: aerial photography, view from the east and south-east (1, 2); the Bronze Age cemetery and the parsonage seen from the east (3).
- Pl. 3. Câmpina *Slobozia*: Saint Nicholas Parish with the position of the archaeological excavation area.

- Pl. 4. Câmpina *Slobozia*: images during research.
- Pl. 5. Gr.35 (1, 3); pots from Gr.35 (2, 4–6).
- Pl. 6. Gr.36 (1), details of pots *in situ* (2–3); the pit and the “ring” of stones after the pots were collected (4).
- Pl. 7. Pots from Gr.36.
- Pl. 8. Gr.37: mound of stones (1); grave detail (2); *in situ* pot (3); pot (4–5).
- Pl. 9. Gr.38 (1); pot fragments from Gr.38 (2); Gr.48 (5, 7); pot fragment from Gr.48.
- Pl.10. Gr.42 (1); Gr.49 (2); skull detail from Gr.49 (3); ceramic fragments with *Besenstrich* decoration discovered in Gr.49 (4, 5); flint arrowhead discovered in Gr.49.
- Pl. 11. Gr.41: mound of stones (1) and grave (2); detail of *in situ* pot (3); pot with *Besenstrich* decoration (4–5), pot fragment (6).
- Pl. 12. Gr.43 (1) with detail of *in situ* pot (2); pot fragment from Gr.43 (3–4); Gr.44 (5); pot fragments discovered in Gr.44 (5–6).
- Pl. 13. Gr.45 (1, 3) and the medieval oven (3); fragment of a disturbed pot found near Gr.45 (2); mound of stones over Gr.46 (4); Gr.46 (5).
- Pl. 14. Gr.47 (1), details (2, 3); pots discovered in Gr.47 (4–7).
- Pl. 15. Gr.51 (1), detail of *in situ* pot (2), pot (3–4); Gr.52 (5).
- Pl. 16. Gr.53: mound of stones (1); grave detail (2) and *in situ* pot (3); pot (4, 6); clay bead fragment (5).
- Pl. 17. Gr.55 (1–3), skull *in situ* (2); pot (4–6), *in situ* ceramic fragment (5); stones from Gr.56 (3).
- Pl. 18. Drawing of graves 55, 56, 57 (1); Gr.56 (6); pots discovered in Gr.56 (2–5).
- Pl. 19. Gr.57: details (1–2); pots (3–5), grave pit (6).
- Pl. 20. Cenotaph complexes: CPL B (1, 4), pot discovered in CPL B (7); CPL C (2), pot discovered in CPL C (3); CPL B and the pit of Gr.47 (6).
- Pl. 21. Medieval complex L 1 (1–2), oven detail (2), pot discovered in L 1 (4–5); recent complex (3).
- Pl. 22. Details of inhumation graves: Gr.37 (1), Gr.39 (2), Gr.40 (3), Gr.41 (4), Gr.42 (5), Gr.43 (6).
- Pl. 23. Details of inhumation graves: Gr.44 (1), Gr.46 (2), Gr.47 (3), Gr.49 (4).
- Pl. 24. Details of inhumation graves: Gr.50 (1), Gr.51 (2), Gr.52 (3).
- Pl. 25. Grave inventories (2011–2012).
- Pl. 26. General plan of the cemetery with the position of the graves excavated in 2011–2012 (Gr.35–Gr.57).
- Pl. 27. Grave distribution according to anthropological determinations of age and sex groups.
- Pl. 28. Details of pathological conditions in bones: Gr.41, left clavicle simple fracture, superior view (1); Gr.41, *cribra cranii* (2, 4); Gr.47, right mandibular condyle, medial view (3).
- Pl. 29. Câmpina 2008–2012 pots discovered in graves.
- Pl. 30. Câmpina 2008–2012, the seriation of the graves according to rite and ceramic inventory related to the sex group (1); Câmpina 2008–2012, the seriation of female graves according to rite, ritual and ornaments (2).



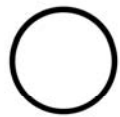


Pl. 1. Poziționarea localității și a cimitirului din epoca bronzului de la Câmpina (jud. Prahova).





1



zona cimitirului  
din epoca bronzului



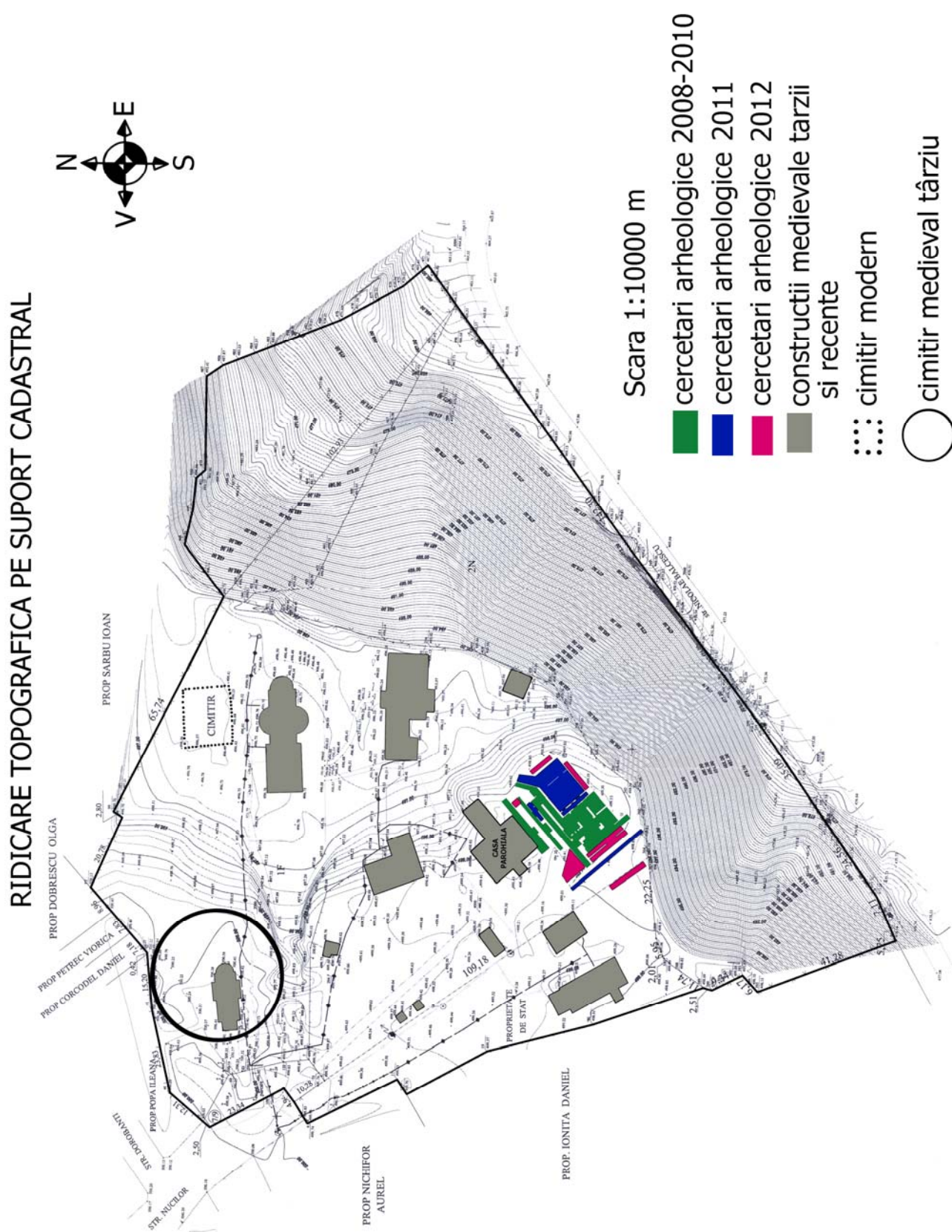
2

3



Pl. 2. Câmpina Slobozia: fotografii aeriene, vedere dinspre est și sud-est (1, 2);  
cimitirul din epoca bronzului și casa parohială văzute dinspre est (3).





Pl. 3. Câmpina Slobozia: Parohia Sf. Nicolae cu poziționarea săpăturii arheologice.





Pl. 4. Câmpina Slobozia: imagini din timpul cercetării.





Pl. 5. M.35 (1, 3); vase din M.35 (2, 4-6).





1



2



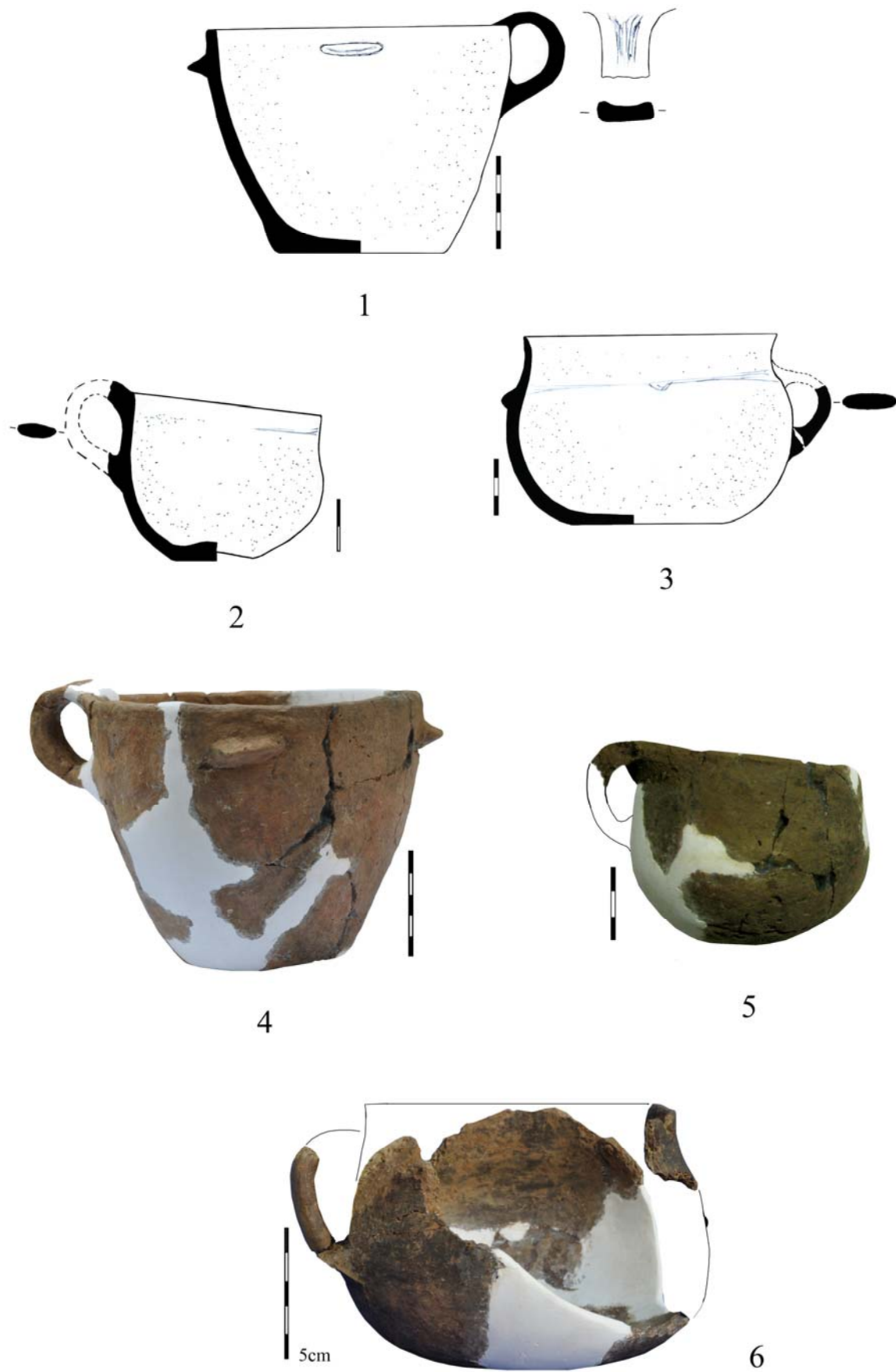
3



4

Pl. 6. M.36 (1), detalii cu vasele *in situ* (2–3); groapa și „ringul” din piatră după demontarea vaselor (4).





Pl. 7. Vase din M.36.

1



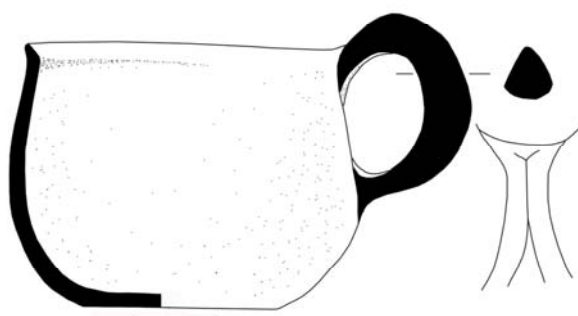
2



3



4



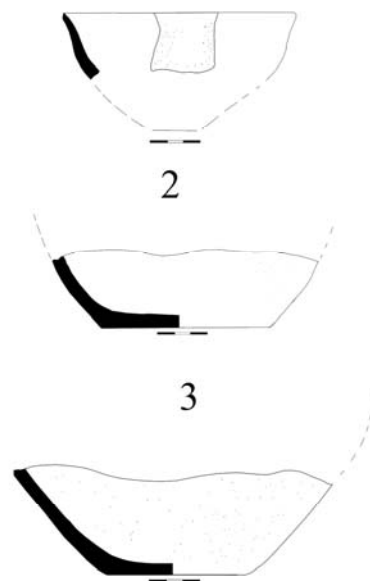
5

Pl. 8. M.37: pietre din movilă (1); detaliu mormânt (2); vas *in situ* (3); vas (4–5).





1



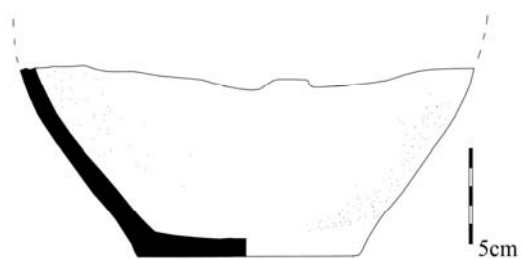
2

3

4



5



6



7

Pl. 9. M.38 (1); fragmente de vase provenind din M.38 (2); M.48 (5, 7); fragment de vas din M.48.



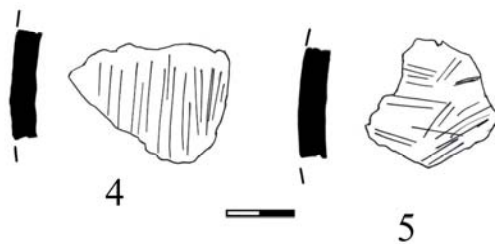
1



2



3



4

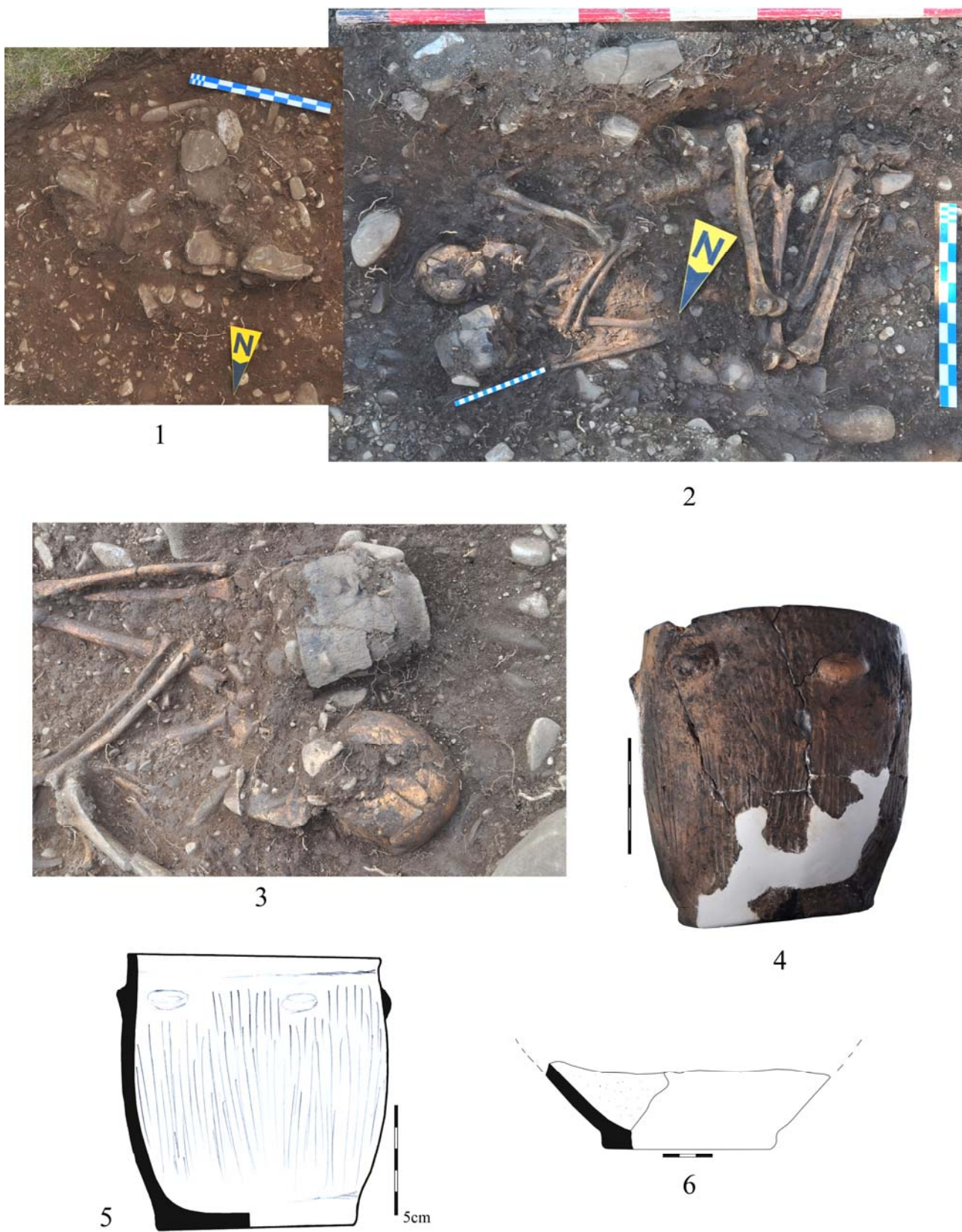
5



6

Pl. 10. M.42 (1); M.49 (2), detaliu craniu M.49 (3); fragmente ceramice decorate cu *Besenstrich* descoperite în M.49 (4, 5); vârf de săgeată din silex descoperit în M.49 (6).





Pl. 11. M.41: movila din piatră (1) și mormânt (2); detaliu cu vasul *in situ* (3); vas cu *Besenstrich* (4–5), fragment de vas (6).



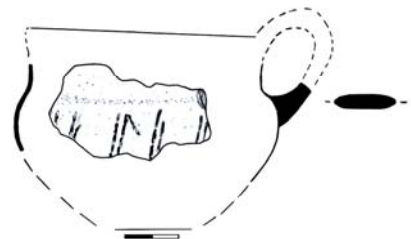
1



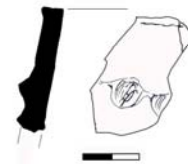
2



3



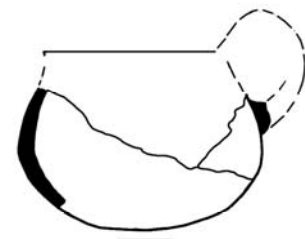
4



6



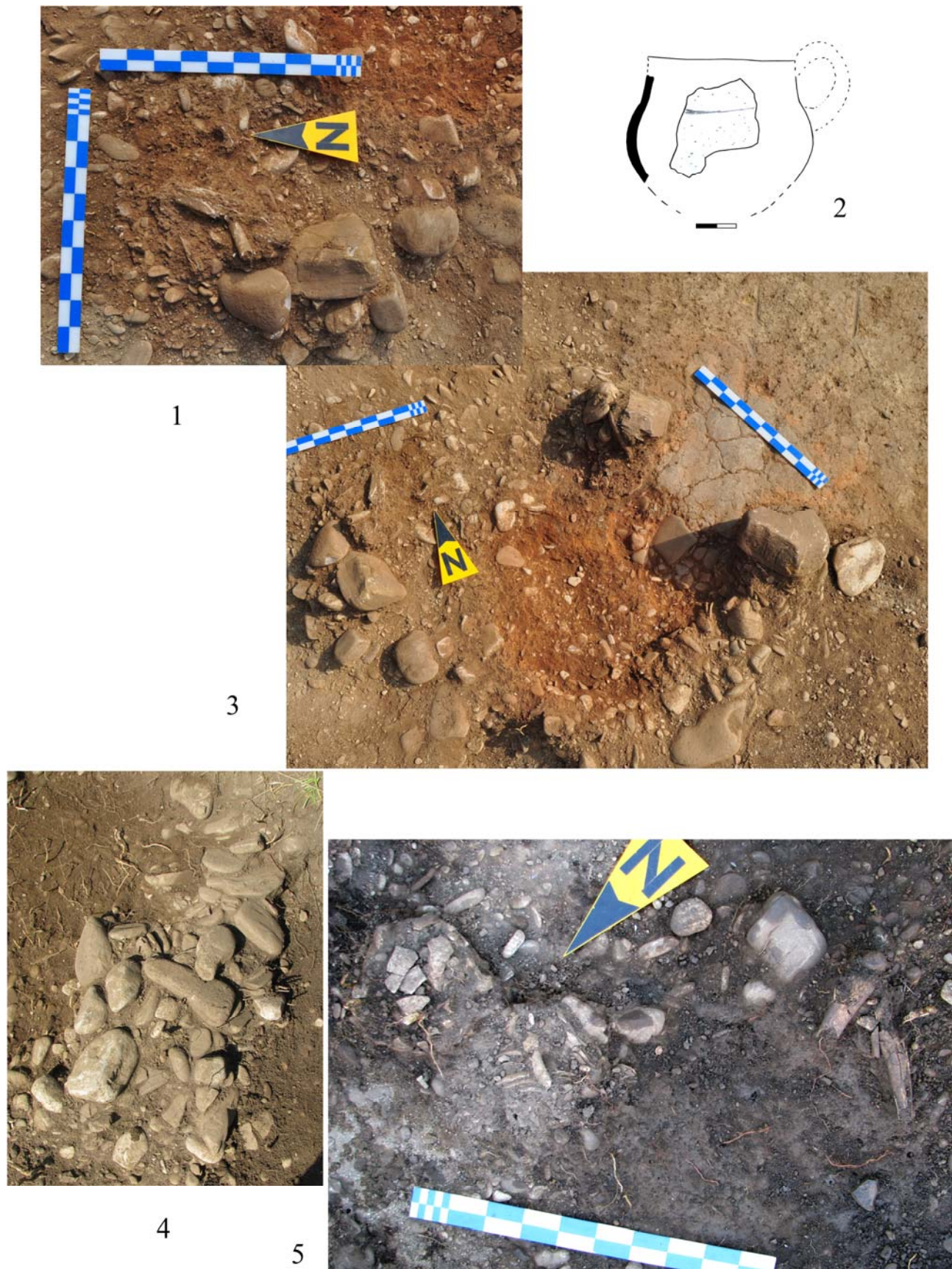
5



7

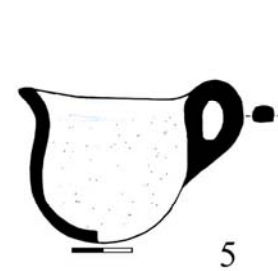
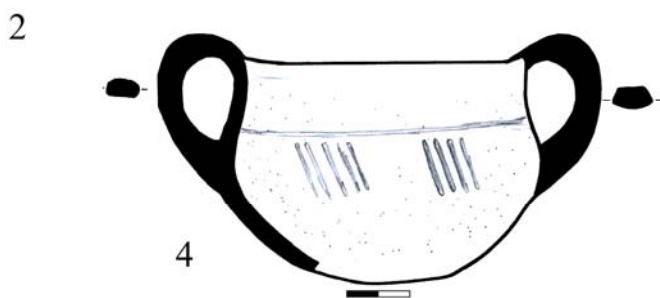
Pl. 12. M.43 (1) cu detaliu vas *in situ* (2); fragment de vas din M.43 (3-4); M.44 (5); fragmente de vase descoperite în M.44 (5-6).





Pl. 13. M.45 (1, 3) și cuptorul medieval (3); fragment de vas deranjat descoperit în apropierea M.45 (2); movilă din piatră a M.46 (4); M.46 (5).





Pl. 14. M.47 (1), detalii (2, 3); vase descoperite în M.47 (4-7).

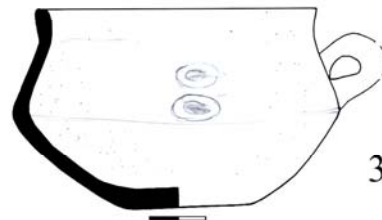




1



2



3



4



5

Pl. 15 – M.51 (1), detaliu vas *in situ* (2), vas (3–4); M.52 (5).





1

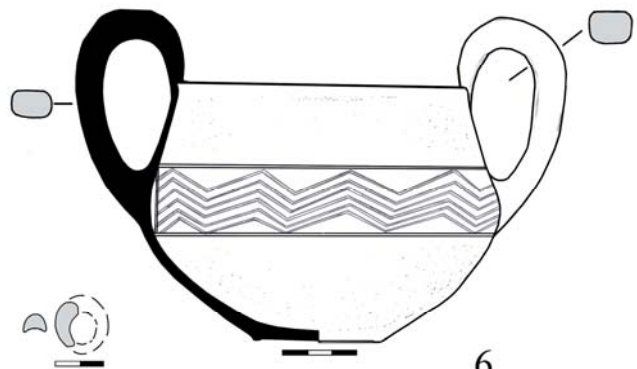


2

3



4



6



5

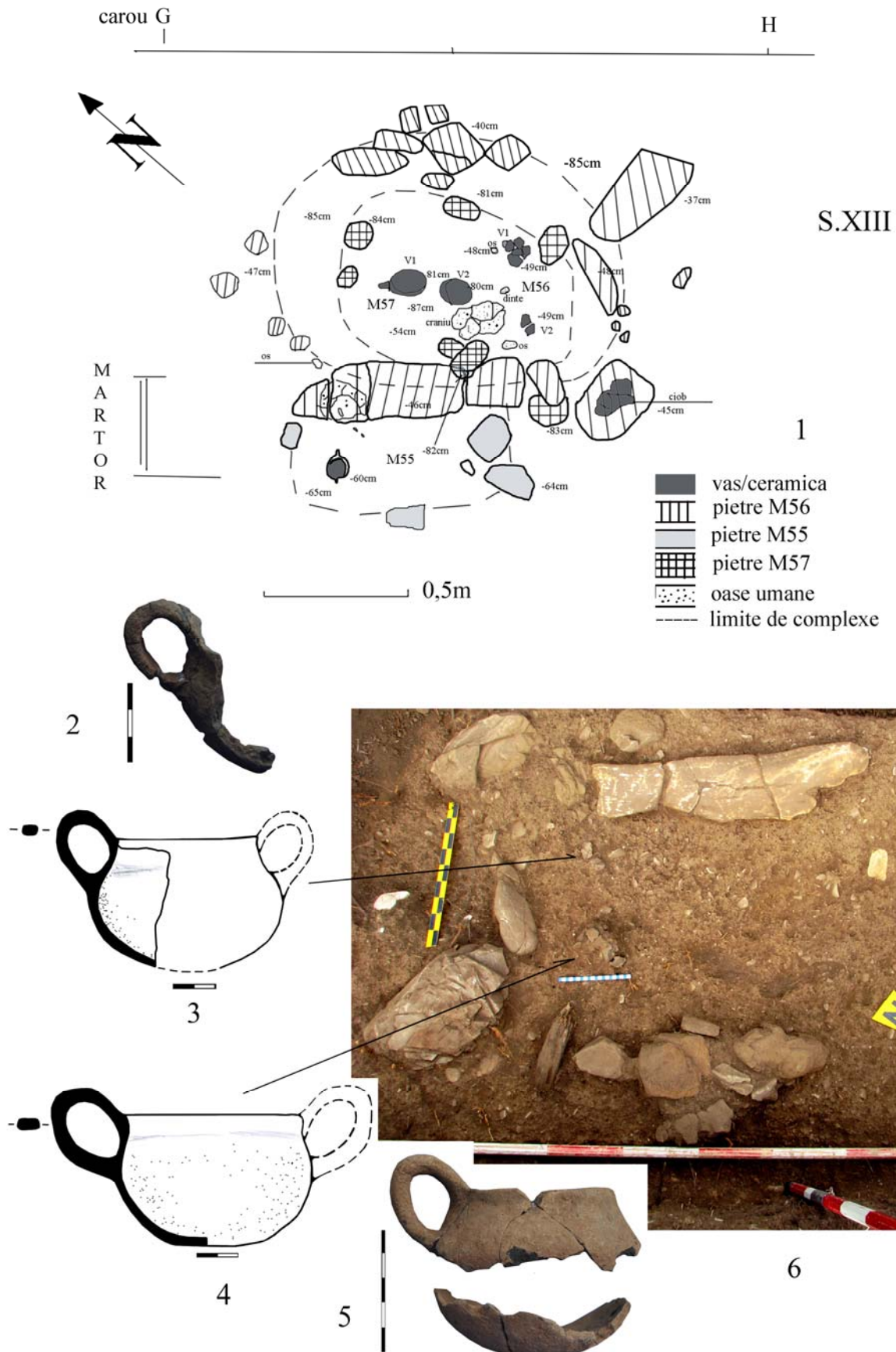
Pl. 16. M.53: movila din piatră (1); detaliu mormânt (2) și vas *in situ* (3); vas (4, 6); fragment de mărgică din lut (5).





Pl. 17. M.55 (1–3), craniu *in situ* (2); vas (4–6), fragment ceramic *in situ* (5); pietre de la M.56 (3).



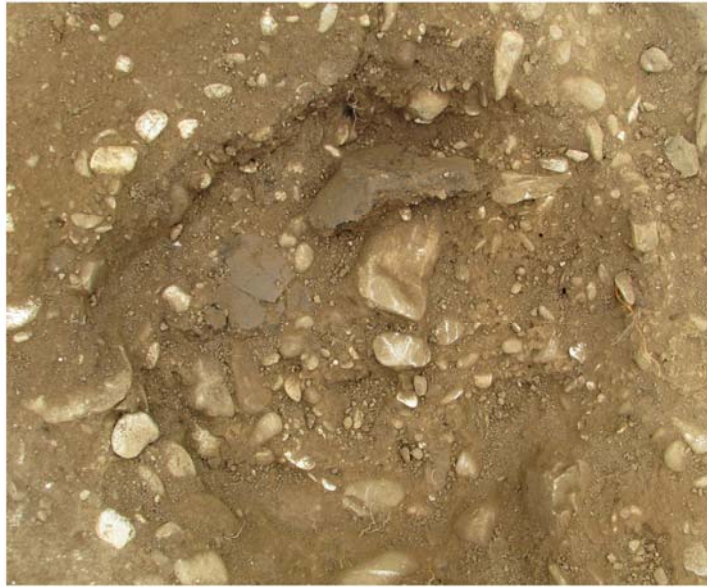


Pl. 18. Desen cu M.55, M.56, M.57 (1); M.56 (6); vase descoperite în M.56 (2-5).

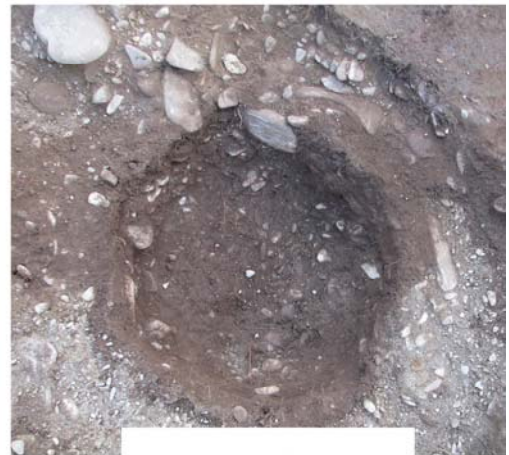


Pl. 19. M.57: detalii (1–2); vase (3–5), groapă mormânt (6).

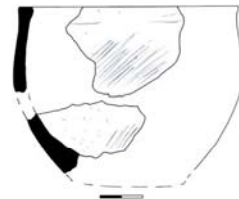




1



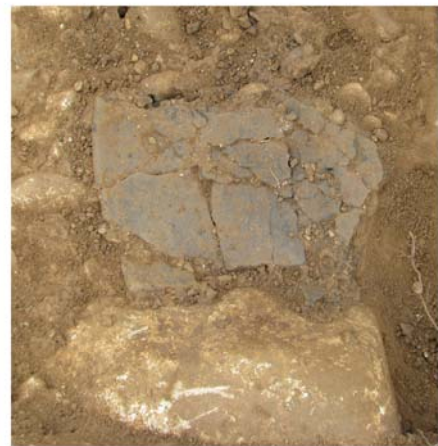
2



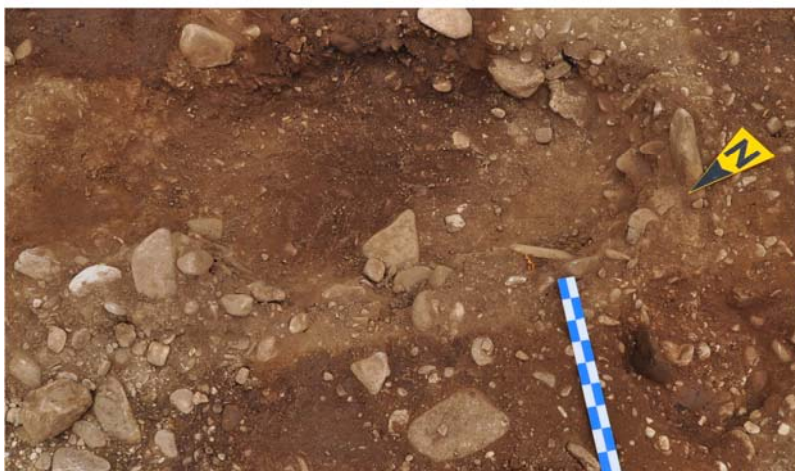
3



4



5



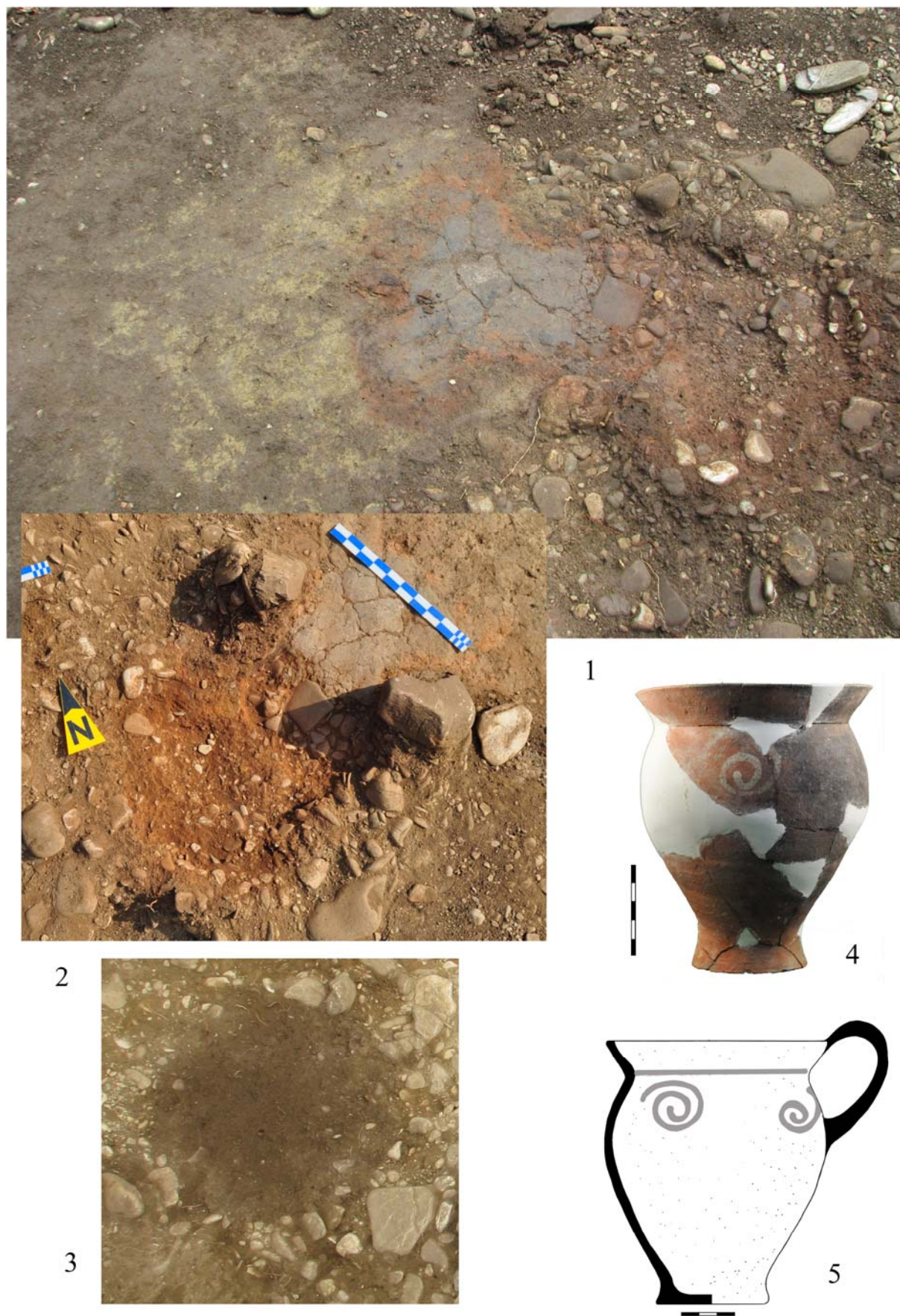
6



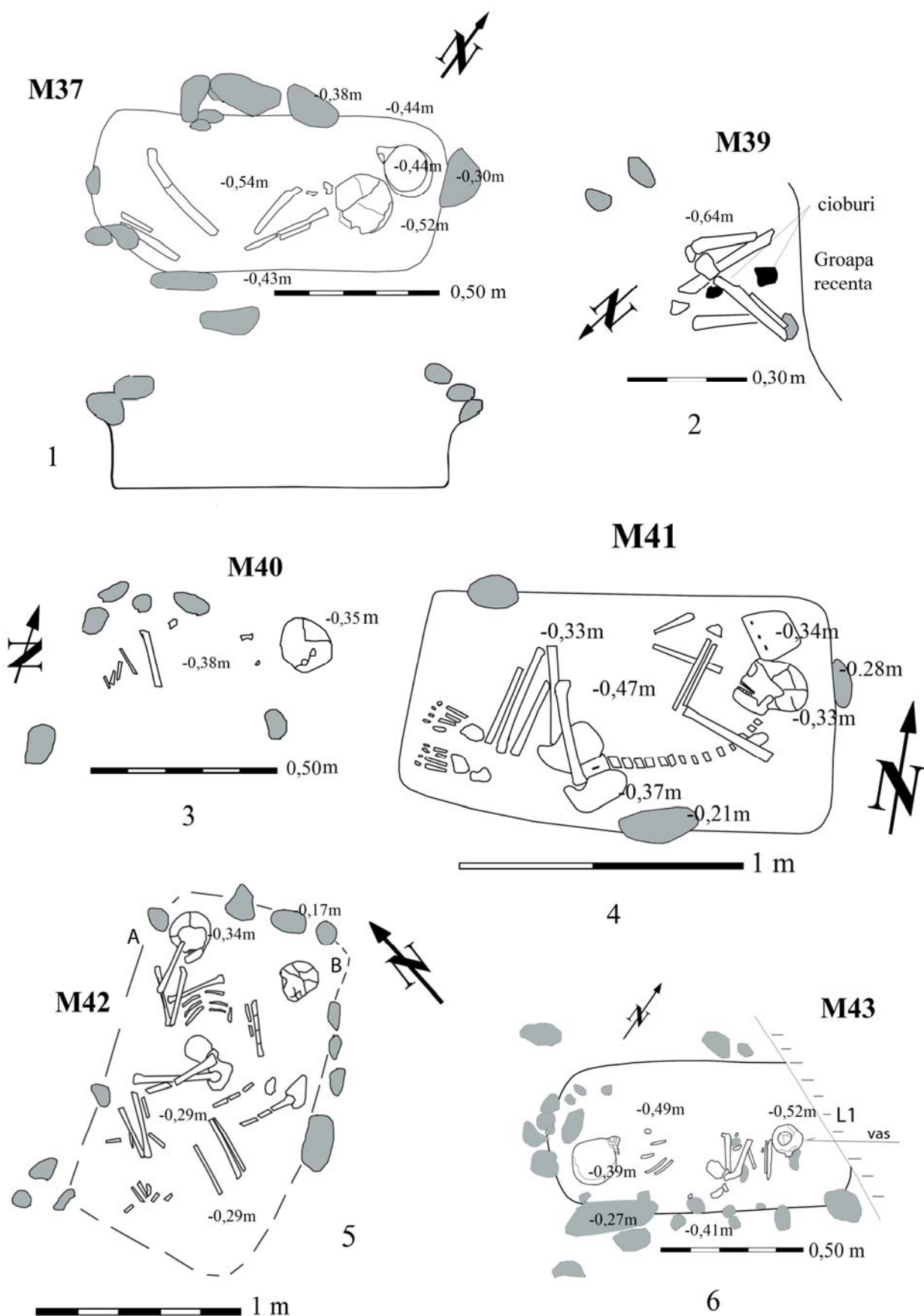
7

Pl. 20. Komplexe de tip cenotaf: CPL B (1, 4), vas descoperit în CPL B (7); CPL C (2), vas descoperit în CPL C (3); CPL B și groapa M.47 (6).



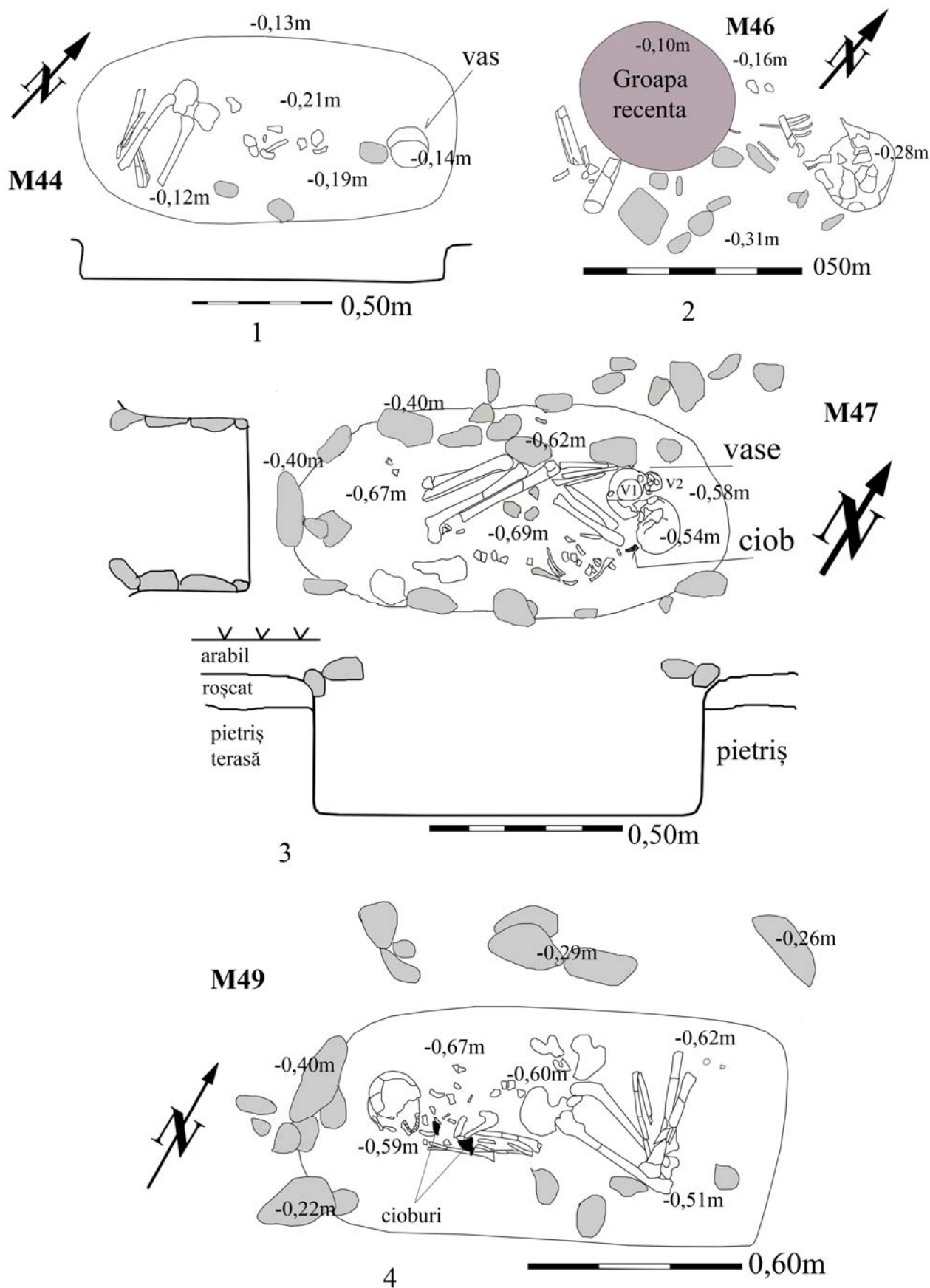


Pl. 21. Complex medieval L 1 (1–2), detaliu cuptor (2), vas descoperit în L 1 (4–5); complex recent (3).

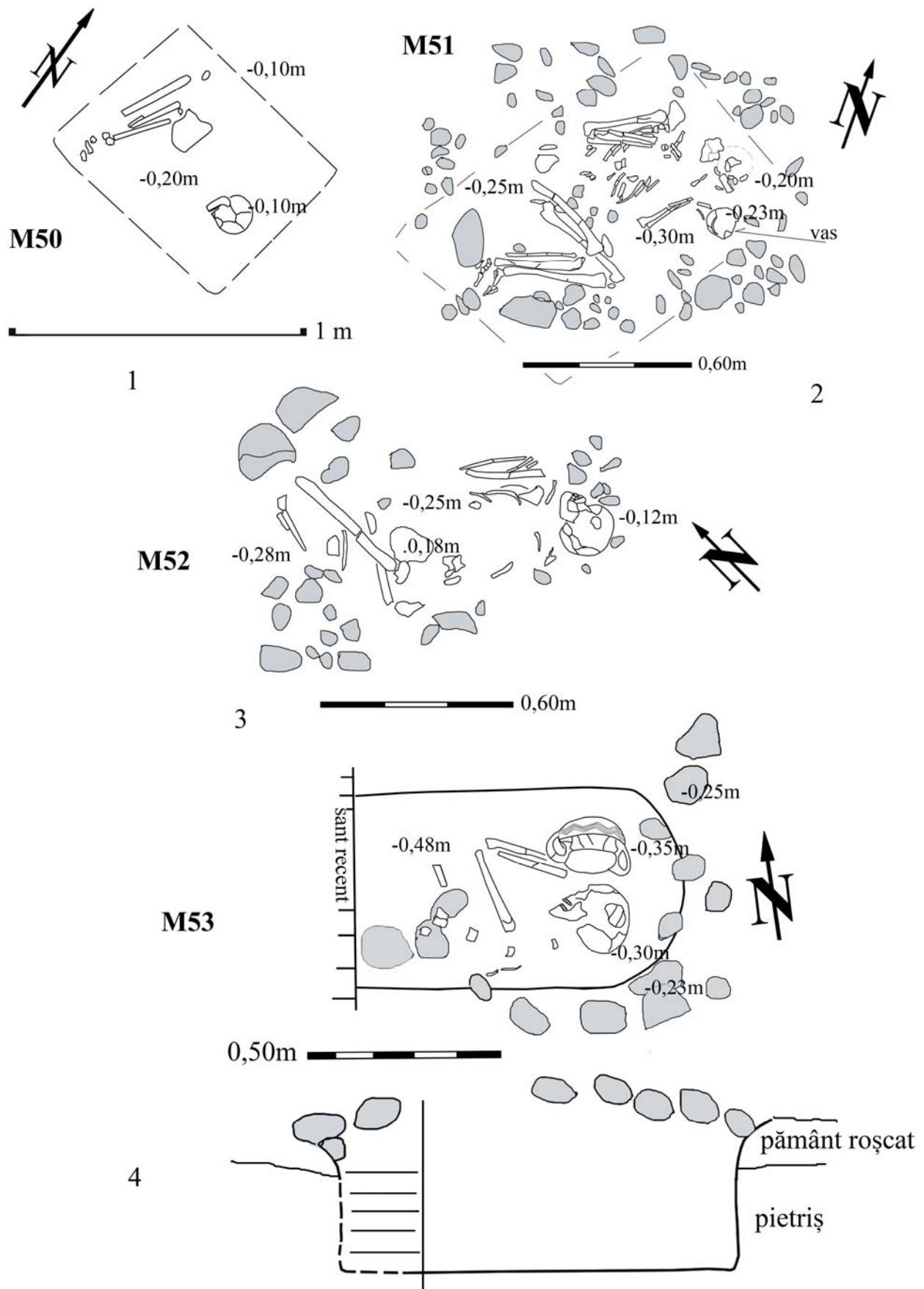


Pl. 22. Detalii cu mormintele de înhumăție: M.37 (1), M.39 (2), M.40 (3), M.41 (4), M.42 (5), M.43 (6).

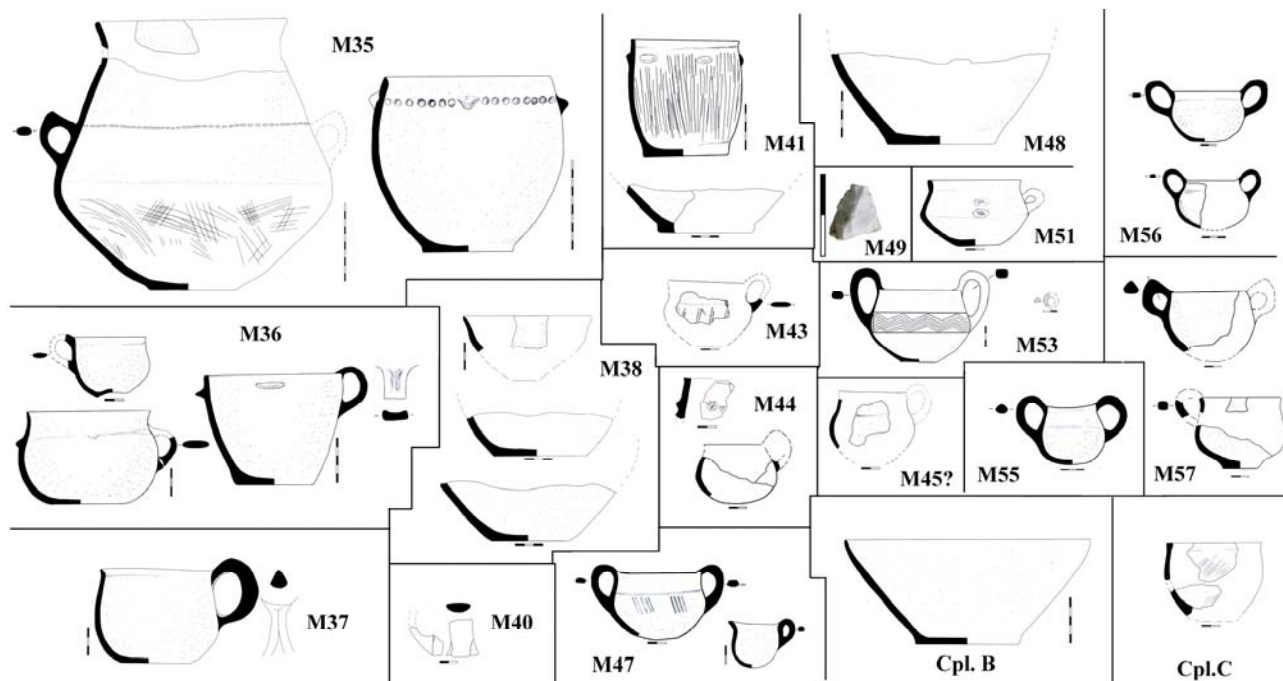




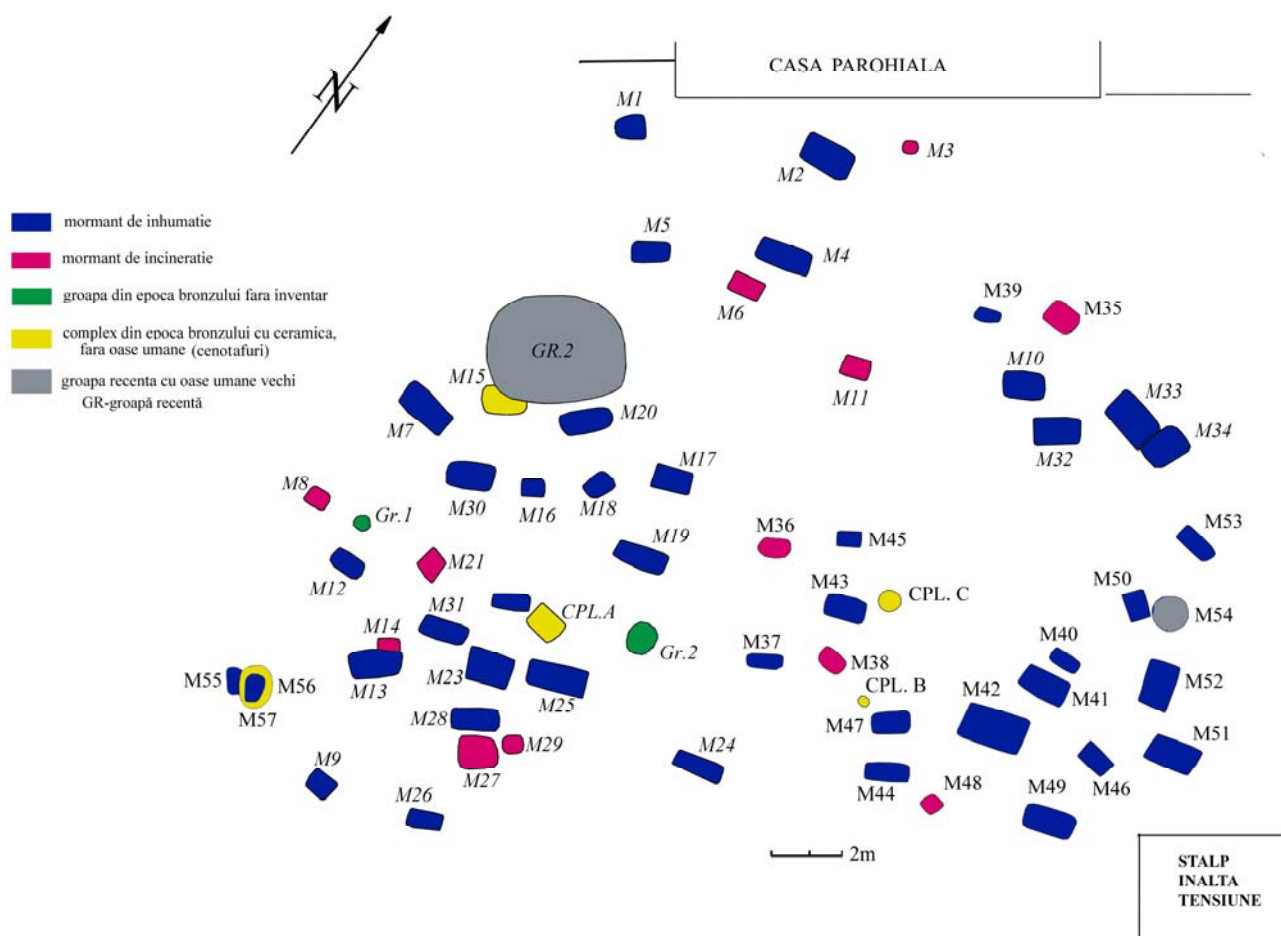
Pl. 23. Detalii cu mormintele de înhumăție: M.44 (1), M.46 (2), M.47 (3), M.49 (4).



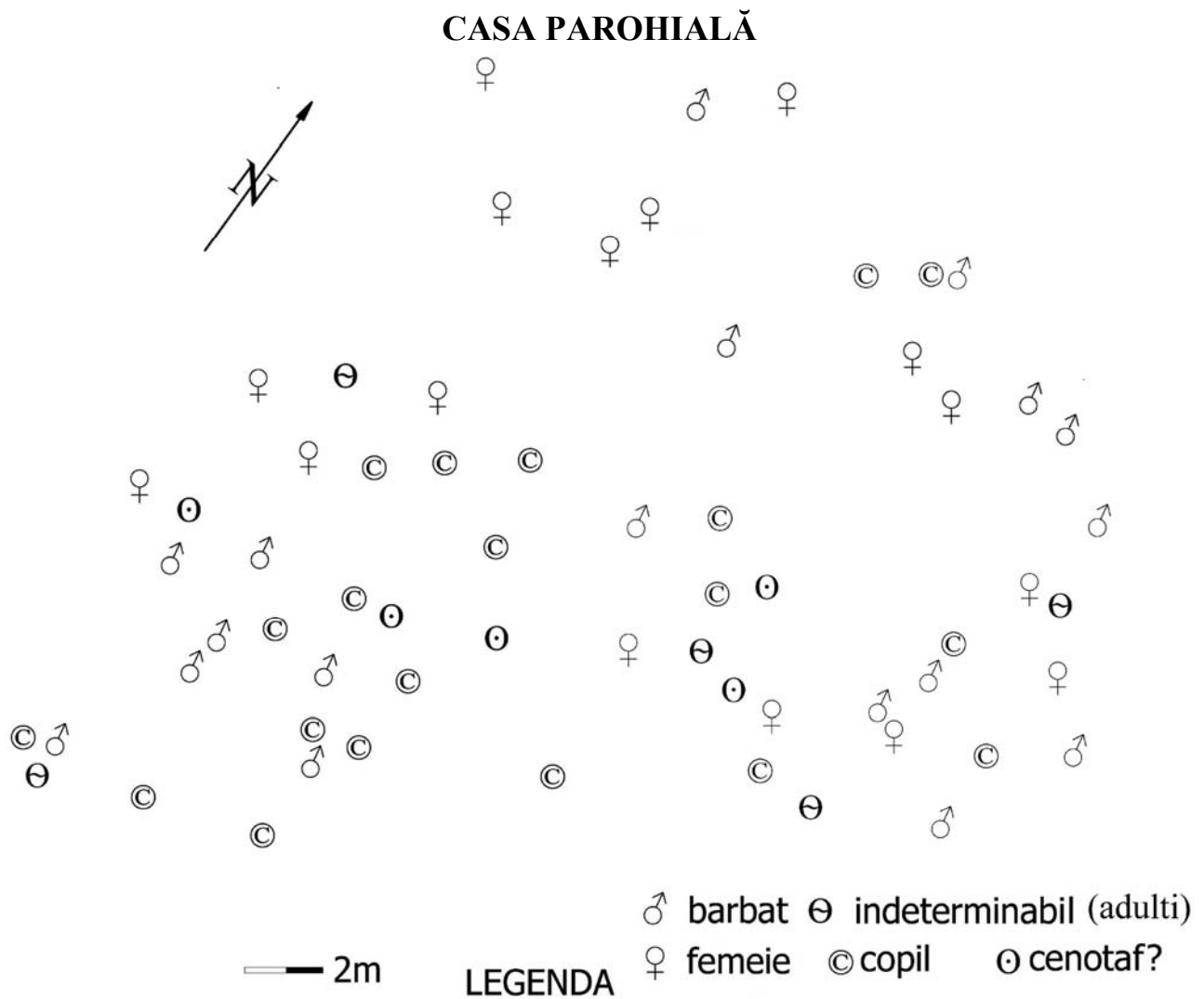
Pl. 24. Detalii cu mormintele de înhumăție: M.50 (1), M.51 (2), M.52 (3).



Pl. 25. Inventarele mormintelor (2011–2012).



Pl. 26. Planul general al cimitirului cu poziționarea mormintelor cercetate în campaniile 2011–2012 (M.35–M.57).



Pl. 27. Distribuția mormintelor în plan cu determinările antropologice pe grupe de vârstă și sex.





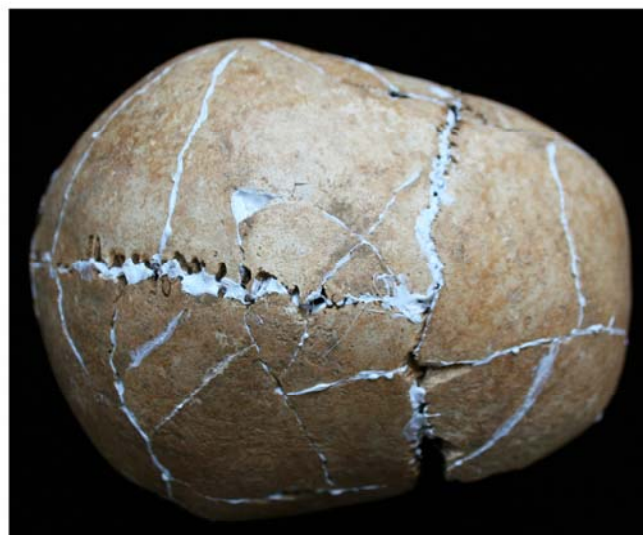
1



2

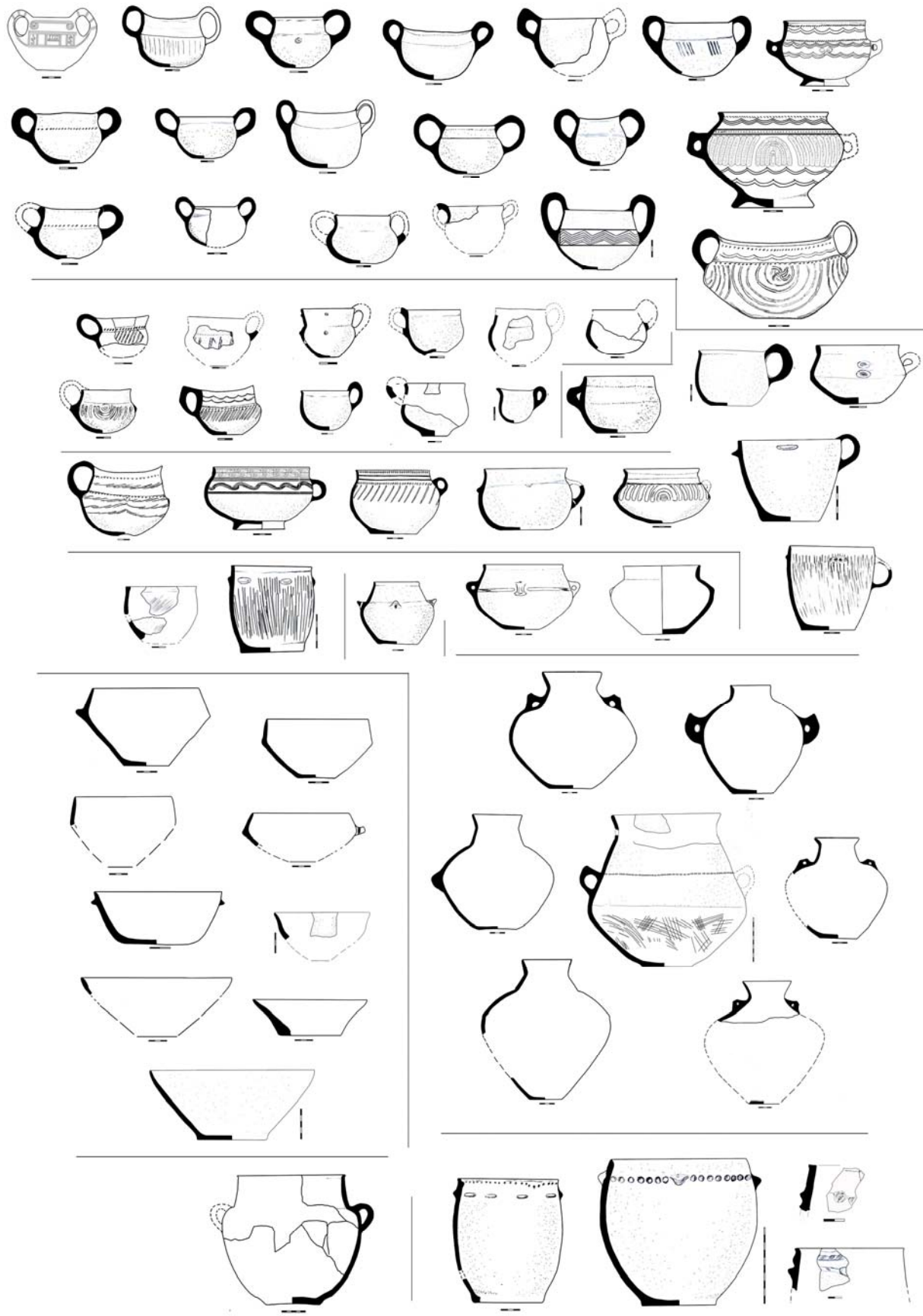


3



4

Pl. 28. Detalii cu semne ale unor patologii pe oase: M.41, clavicula stângă cu o fractură simplă, vedere superioară (1); M.41, *cribra cranii* (2, 4); M.47, condilul mandibular drept, vedere medială (3).



Pl. 29. Câmpina 2008–2012, vase descoperite în morminte.

Nr. morm.	Elemente de rit și inventar ceramic în relație cu grupele de sex													
	1	2	3	4	5	6	7	8	9	10	11	12	13	14
M35B	●	●				●								
M14	●	●			●	●	●							
M27	●	●			●	●	●							
M29	●	●			●	●	●							
M11		●	●		●	●				●				
M6		●	●								●			
M3C		●		●							●			
M21		●				●	●							
M36		●				●			●					●
M19						●	●					●		
M24A						●	●					●		
M46						●	●					●		
M49						●	●					●		
M31					●				●		●	●		
M23						●		●				●		
M41						●	●					●	●	
M13						●			●			●		
M53						●				●		●		
M2						●			●	●		●		
M51						●						●		●
M42B							●				●	●		
M52							●				●	●		
M32							●		●		●	●		
M58							●		●		●	●		
M57						●				●		●		●
M4							●			●	●	●		
M47							●			●	●	●		●
M20									●		●	●	●	
M7										●	●	●		
M25										●	●	●		
M18										●	●	●		●
M10											●	●		●
M30											●	●		●
M37											●	●		●

1

1. Chircit lateral-dreapta
2. Podoabe din bronz
3. Podoabe din sticlă
4. Podoabe din lut
5. Podoabe din chihlimbar
6. Chircit lateral-stânga
7. Podoabe din os
8. Așezat dorsal
9. Mormânt de incinerare

1. Vas amforoidal
2. Mormânt de incinerare
3. Kantharos mare, decorat
4. Urnă
5. Castron
6. Masculin
7. Fragmente ceramice
8. Vas sac
9. Cană
10. Kantharos mic
11. Feminin
12. Mormânt de înhumare
13. Vas borcan
14. Ceașcă

Nr. mormânt	Rit, ritual + obiecte de port în morminte de femei								
	1	2	3	4	5	6	7	8	9
M25	●								
M42B	●								
M47	●								
M52	●								
M5	●	●							
M20		●	●	●		●			
M58			●		●	●			
M32				●		●			
M10					●	●			
M7						●			
M18						●			
M37						●			
M50						●			
M30		●				●	●		
M31							●	●	
M6							●		●
M4								●	
M8									●
M3C									●

2

Pl. 30. Câmpina 2008–2012, înscrierea mormintelor după rit și inventar ceramic în relație cu grupa de sex (1), Câmpina 2008–2012 înscrierea mormintelor de femei după rit, ritual și obiecte de port (2).

**ACADEMIA ROMÂNĂ**  
**INSTITUTUL DE ARHEOLOGIE „VASILE PÂRVAN”**

**MATERIALE  
ȘI  
CERCETĂRI  
ARHEOLOGICE**

**SERIE NOUĂ  
IX**

**2013**



**EDITURA ACADEMIEI ROMÂNE**  
**BUCUREȘTI, 2013**



## **Colegiul de redacție**

**PROF. DR. ALEXANDRU BARNEA** (Universitatea București), **DR. SANDA BALESCU** (Université des Sciences et Technologies de Lille, Laboratoire de Préhistoire et Quaternaire, CNRS), **PROF. DR. CLIVE BONSALL** (University of Edinburgh), **PROF. DR. NIKOLAUS BOROFFKA** (Deutsches Archäologisches Institut – Eurasien Abteilung, Berlin, Germany), **DR. GH. I. CANTACUZINO** (Institutul de „Arheologie Vasile Pârvan” București), **DR. UWE FIEDLER** (Berlin), **DR. RADU HARHOIU** (Institutul de Arheologie „Vasile Pârvan” București), **DR. ANNIE RENOUX** (Université du Maine, Le Mans), **PROF. DR. ERIK TRINKAUS** (Department of Anthropology, Washington University), **PROF. DR. ALAIN TUFFREAU** (Université des Sciences et Technologies de Lille, Laboratoire de Préhistoire et Quaternaire), **ACAD. ALEXANDRU VULPE** (Institutul de Arheologie „Vasile Pârvan” București).

## **Comitetul de redacție**

**ROXANA DOBRESCU** – redactor-șef

**ADRIAN IONIȚĂ** – redactor-șef adjunct

**IRINA ACHIM, ADINA BORONEANȚ, ADRIAN DOBOȘ, LIANA OȚA, ADRIANA PANAITE, DANIEL SPÂNU, VLAD VINTILĂ ZIRRA** – membri

**LILIANA ZAHARIA** – secretar de redacție

Redactor Editura Academiei Române: **ADRIAN MIRCEA DOBRE**

Tehnoredactor Editura Academiei Române: **DOINA STOIA**

Revista se poate procura contracost la sediul EDITURII ACADEMIEI ROMÂNE, Calea 13 Septembrie nr. 13, sector 5, 050711, București, România; tel. 4021-318 8146, 4021-318 8106, Fax 4021-318 2444, e-mail: [edacad@ear.ro](mailto:edacad@ear.ro).

ORION PRESS IMPEX 2000 S.R.L., P.O. Box 77-19, sector 3, București, România, Tel./Fax: 4021-610 6765, 4021-210 6787, Tel.: 0311 044 668, e-mail: [office@orionpress.ro](mailto:office@orionpress.ro).

S.C. MANPRES DISTRIBUTION S.R.L., Piața Presei Libere, nr. 1, Corp B, Etaj 3, Cam. 301–302, sector 1, București, România, tel./fax: (4021) 314 6339, e-mail: [abonamente@manpres.ro](mailto:abonamente@manpres.ro), [office@manpres.ro](mailto:office@manpres.ro), [www.romanianjournals.com](http://www.romanianjournals.com).

DEREX COM S.R.L., e-mail: [derex\\_com@yahoo.com](mailto:derex_com@yahoo.com)

Orice corespondență se va trimite Colegiului de redacție pe adresa: str. Henri Coandă 11, 010667 București, tel./fax 4021 212 88 62. și [redactie\\_iab@yahoo.com](mailto:redactie_iab@yahoo.com)

Normele de redactare a manuscriselor și lista abrevierilor folosite în revistă sunt în general aceleași ca în celelalte publicații ale Institutului de Arheologie. În măsura în care vom elabora alte norme, ne obligăm să le publicăm în numărul următor.

© 2013, EDITURA ACADEMIEI ROMÂNE



## SUMAR

ALAIN TUFFREAU, ROXANA DOBRESU, SANDA BALESCU, MĂDĂLIN CORNEL VĂLEANU, Boinești (département de Satu-Mare), Moustérien, Aurignacien et processus taphonomiques .....	7
ALEXANDRU CIORNEI, Petrografia silicolitelor din siturile Paleoliticului superior de pe Valea Dunării. Caracteristici și proveniență .....	41
MIHAI GLIGOR, MARIANA ROȘU, CĂLIN ȘUTEU, New Evidence on Burial Practices in Petrești Culture .....	67
CAMELIA-MIRELA VINTILĂ, CARMEN PAVEL, MARIAN NEAGU, Noi aspecte ale plasticii antropomorfe descoperite la Dunărea de Jos .....	83
ALIN FRÎNCULEASA, BIANCA PREDA, OCTAV NEGREA, ANDREI DORIAN SOFICARU, Cercetări arheologice în cimitirul din epoca bronzului târziu de la Câmpina (jud. Prahova) – campaniile 2011 și 2012 .....	97
DANIEL SPÂNU, Fibule „de tip hibrid”?	145
MIRCEA DABÎCA, Noi cercetări arheologice în partea de sud a cetății Histria. Campaniile 2003–2009 .....	157
ALEXANDRU BĂDESCU – Amfore orientale de tip Kapitän II descoperite la <i>Histria</i> în Sectorul <i>Basilica extra muros</i> .....	189
ANNAMARIA DIANA, MIHAI MEȘTER, Meeting an Early Medieval Community: A Preliminary Analysis of the Human Skeletal Remains from the Jucu Cemetery (Cluj-Napoca, Romania) .....	3; ;
BOGDAN CIUPERCĂ, ANDREI MĂGUREANU, EUGEN PAVELEȚ, DORIN SÂRBU, Cercetări arheologice în Curtea Domnească de la Târgșoru Vechi .....	219
RADU-ALEXANDRU DRAGOMAN, MIHAI FLOREA, Preambul la o cercetare arheologică a fostei colonii de muncă forțată din perioada comunistă de la Poarta Albă, România .....	231

## RECENZII

Laurent Carozza, Cătălin Bem, Cristian Micu (eds.), <i>Société et environnement dans la zone du Bas Danube durant le 5<sup>ème</sup> millénaire avant notre ère</i> , Editura Universității „Alexandru Ioan Cuza”, Iași, 2011, 413 p. (Cristian Eduard Ștefan) .....	243
<b>Abrevieri</b> .....	245



## SOMMAIRE

ALAIN TUFFREAU, ROXANA DOBRESU, SANDA BALESCU, MĂDĂLIN CORNEL VĂLEANU, Boinești (département de Satu-Mare), Moustérien, Aurignacien et processus taphonomiques .....	7
ALEXANDRU CIORNEI, Petrografia silicolitelor din siturile Paleoliticului superior de pe Valea Dunării. Caracteristici și proveniență.....	41
MIHAI GLIGOR, MARIANA ROȘU, CĂLIN ȘUTEU, New Evidence on Burial Practices in Petrești Culture .....	67
CAMELIA-MIRELA VINTILĂ, CARMEN PAVEL, MARIAN NEAGU, Several antropomorphic figurines found during the excavations on the Vidra tell .....	83
ALIN FRÎNCULEASA, BIANCA PREDA, OCTAV NEGREA, ANDREI DORIAN SOFICARU, Archaeological research in the Bronze Age cemetery at Câmpina (Prahova county) – campaigns 2011 și 2012.....	97
DANIEL SPÂNU, Fibule „de tip hibrid”? .....	145
MIRCEA DABÎCA, Les principaux résultats des fouilles menées entre 2003 et 2009 à Histria, dans le périmètre du Secteur sud .....	157
ALEXANDRU BĂDESCU – Amphoras Kapitän II discovered at Histria, in extra muros Basilica .....	189
ANNAMARIA DIANA, MIHAI MEȘTER, Meeting an Early Medieval Community: A Preliminary Analysis of the Human Skeletal Remains from the Jucu Cemetery (Cluj-Napoca, Romania) .....	3; ;
BOGDAN CIUPERCĂ, ANDREI MĂGUREANU, EUGEN PAVELEȚ, DORIN SÂRBU, Archaeological research Cercetări arheologice în Curtea Domnească de la Târgșoru Vechi.....	219
RADU-ALEXANDRU DRAGOMAN, MIHAI FLOREA, Preamble of planned archaeological research in the former forced labor camp from the communist period at Poarta Albă, Romania .....	231

## COMPTE-RENDUS

Laurent Carozza, Cătălin Bem, Cristian Micu (eds.), <i>Société et environnement dans la zone du Bas Danube durant le 5<sup>ème</sup> millénaire avant notre ère</i> , Editura Universității “Alexandru Ioan Cuza”, Iași, 2011, 413 p. (Cristian Eduard Ștefan) .....	243
<b>Abréviations</b> .....	245

# Fibule „de tip hibrid”?

DANIEL SPÂNU\*

**Cuvinte-cheie:** Fibule de schemă timpurie La Tène, fibule tracice, Bulgaria, Rep. Moldova, România.

**Rezumat:** În 1969, într-un mormânt de incinerare a fost descoperită la Zimnicea o fibulă cu două resorturi bilaterale, ambele funcționale (fig. 1). Această construcție atipică a prilejuit presupunerea existenței unor ipotetice serii tipologice de fibule caracterizate ca „încrucișări traco-celtice” (*thrakisch-keltische Kreuzungen/ types hybrides thraco-celtiques*). Ele ar combina în egală măsură elemente ale fibulelor de schemă La Tène și ale fibulelor cu resort lateral și picior ridicat (fibule „tracice”). Cu timpul, sub eticheta „fibule hibride” sau „de tip hibrid” au fost reunite pur și simplu fibule de schemă La Tène sau fibule tracice lipsite de orice „hibridizare”. Doar unele motive ornamentale specifice anumitor tipuri de fibule de schemă timpurie La Tène au fost integrate în mod izolat pe structura tradițională (în spațiul extracarpatic) a unor fibule „tracice” (fig. 2-centru, fig. 3/23 și 26). Aceste împrumuturi au condus la diversificarea repertoriului ornamental al fibulelor cu resort lateral și picior ridicat (așa numitele fibule „tracice”), dar nu au determinat apariția unor serii tipologice distincte. Din acest motiv, noțiunea de „tip hibrid” pentru astfel de fibule nu se vedește nici consecventă, nici justificată.

**Schlüsselwörter:** Frühlatènefibeln, thrakische Fibeln, Bulgarien, Rep. Moldau, Rumänien.

**Zusammenfassung:** 1969 wurde in einem Brandgrab aus Zimnicea eine Fibel mit zwei beidseitigen funktionstüchtigen Spiralen gefunden (Abb. 1). Diese untypische Konstruktion hat die Vermutung der Existenz von hypothetischen Serien von Fibeltypen erweckt, die als *thrakisch-keltische Kreuzungen* (bzw. *types hybrides thraco-celtiques*) benannt wurden. Solche Fibeln würden im selben Maß sowohl Elemente der Latène-fibeln, als auch Elementen der Fibeln mit einseitiger Spirale und hochgehobenem Fuss (die so genannten „thrakischen Fibeln”) kombinieren. Mit der Zeit, wurden unter dem Begriff „hybride Fibeln“ (bzw. „Fibeln vom hybriden Typ”) entweder reine Latènefibeln oder reine thrakische Fibeln ohne jedwelche „Hybridisierung” vereinigt. Lediglich *einige* vereinzelte spezifische Motive bestimmter Fibeltypen von Frühlatèneschema wurden auf die traditionelle Konstruktion mancher „thrakischen” Fibeln aus dem ausserkarpatischen Raum integriert (Abb. 2-Mitte, Abb. 2/23 und 26). Solche Übernahmen führten zur Diversifizierung des ornamental Repertoriiums der Fibeln mit einseitiger Spirale und hochgehobenem Fuss, haben aber nicht zur Entstehung von typologischen Serien geführt. Aus diesem Grund ist der Begriff „Fibeln vom hybriden Typ“ weder konsequent, noch rechtfertigt.

## 1. DE LA ETICHETARE LA DEFINIȚIE ȘI DE LA CAZUL PARTICULAR LA GENERALIZARE

Noțiunea de „încrucișări traco-celtice” (*thrakisch-keltische Kreuzungen* – de remarcat folosirea pluralului!) a fost aplicată în 1971 de Vlad Zirra (sr.) unei mici fibule din mormântul C10M97 de la Zimnicea (fig. 1)<sup>1</sup>. Potrivit autorului, o fibulă „getică” a fost prevăzută cu un resort cu patru spire, iar piciorul a fost înlocuit cu un al doilea resort similar celor ale fibulelor La Tène<sup>2</sup>. Nouă ani mai târziu, Alexandrina Alexandrescu includea în categoria „tipuri hibride traco-celtice” (*des types hybrides thraco-celtiques* – de remarcat iarăși pluralul!) două fibule de la Zimnicea: cea menționată anterior de Zirra și fibula cu pseudo-resort la picior din mormântul C10M55 (fig. 3/20). Ca analogii erau evocate exemplare de la Tariverdi, Rosica și Braničevo<sup>3</sup>.

După două decenii, noțiunea „fibule hibride” a reapărut într-o ilustrație<sup>4</sup>. Ulterior, Vlad Vintilă Zirra (jr.) avea să evoce un fenomen al „hibridizării”<sup>5</sup>, dar cea dintâi tentativă de definire a „fibulelor hibride” ca o categorie aparte de piese o

<sup>1</sup> Zirra 1971, 226–227, fig. 23/69.

<sup>2</sup> Zirra 1971, 226–227: „Der besonders gewandte Meister schuf eine getische Fibel der er aber das Ende in vier spiralen, anstatt in einer, gewunden hat, und der S-förmige Fuß mit seinem Nadelhalter wurde ebenfalls von vielfachen Spiralen ersetzt, in der Art der Fibeln Latèneschema”.

<sup>3</sup> Alexandrescu 1980, 50, n. 98–100, 100, fig. 49/1–2. Anterior, Alexandrescu 1976, 135–136, oferă o descriere a piesei din mormântul C10M97, dar fără să o illustreze: „le pied réduit à une spirale quadruple achevée en port de l’agraphe” (p. 135); „c’est un exemplaire dont les caractères sont moins nettement «thraces», avec resort bilatéral comportant quatre spires sur une corde; son pied aussi se compose de quatre spires sur une corde et il s’achève en porte pour l’agraphe” (p. 136). Din descrieri reiese că resortul secundar se interpune între picior și portagrafă. Dimensiunile piesei (lungime 1,54 cm) le aflăm în contribuția din 1980 (Alexandrescu 1980, 30, nr. 42d).

<sup>4</sup> Zirra 1998a, 40, fig. 6 și 46, fig. 10.

<sup>5</sup> Zirra 2009, 82–84; Zirra 2011, 9.

\* Institutul de Arheologie „Vasile Pârvan”, e-mail: hazdrik@yahoo.com

datorăm lui Dragoș Măndescu. Potrivit acestuia, „grupa fibulelor de tip hibrid (de remarcat aici singularul – n.n.) ia naștere în urma intervenției modelului fibulei de schemă Latène B2 asupra variantelor târzii ale fibulei de schemă tracică cu piciorul îndoit în formă de S”<sup>6</sup>. Măndescu propune două caracteristici definitorii ale fibulelor hibride: (1) acestea dobândesc un resort bilateral, dar păstrează „silueta” fibulelor tracice; (2) ornamentarea piciorului fibulelor cu un pseudo-resort. Această definiție este numai aparent coerentă și suscită câteva dileme pe care le voi dezbate în cele ce urmează. Dar pentru a clarifica ce sunt „fibulele hibride”, trebuie lămurit mai întâi ce sunt fibulele „tracice” și cele La Tène. Discuția poate să pară latenologilor redundantă, dar vom vedea că nu este așa.

## 2. PRECIZĂRI MORFOLOGICE ȘI TERMINOLOGICE

Fibulele numite „tracice” sunt fibule cu resort lateral (format dintr-o singură spiră), dezvoltat în interiorul deschiderii arcului, iar piciorul este ridicat (recurbat). Diversitatea morfologică a acestei grupe de fibule este determinată de: (a) aspectul arcului (filiform, aplatizat, masiv-neted sau fațetat), (b) modul de recurbare a piciorului (îndoit către arc, îndoit în unghi drept sau sinuos) și (c) aspectul terminației piciorului (terminație îngroșată sau ornamentată cu diferite forme de proeminențe – sferică, piramidală, conică ș.a.). Importanța diferită acordată acestor variabile și combinațiilor lor au determinat multiple clasificări. Practic, în fiecare generație de arheologi români s-a elaborat o nouă clasificare<sup>7</sup>.

În schimb, fibulele La Tène (cu cele trei scheme: timpurie – cu piciorul recurbat liber, mijlocie – cu piciorul recurbat și fixat de arc, târzie – cu piciorul drept) au toate un resort bilateral, cu un număr variabil de spire. Legătura dintre cele două părți ale resortului este asigurată de coardă, element inexistent la fibulele cu resort lateral. Resortul bilateral al fibulelor La Tène se dezvoltă constant în afara curbării arcului, în timp ce resortul lateral al fibulelor „tracice” se dezvoltă în interiorul acestuia<sup>8</sup>. Această diferență este relevantă, mai ales

pentru recunoașterea schemei exemplarelor cu resortul deteriorat.

Resortul unei fibule nu poate să fie lateral și bilateral în același timp. Ori resortul este bilateral și atunci fibula aparține uneia dintre schemele La Tène, ori resortul este lateral și fibula nu este de schemă La Tène. De aici și dilema „hibridizării”, termen prin care se înțelege încrucișarea artificială a două specii distincte și obținerea unei identități noi: este cazul catărului, rezultat din încrucișarea măgarului cu o iapă, sau a bardoului, rezultat al încrucișării unui armăsar cu o măgăriță. Acești hibridi nu sunt nici cal, nici măgar, iar natura se apără împotriva intervențiilor artificiale: nici catărul, nici bardoul, nu se pot reproduce. După cum vom vedea în continuare, la fel s-a întâmplat și cu rezultatul „hibridizării” fibulelor.

Diferența dintre resortul lateral format dintr-o singură spiră și cel bilateral format din patru sau mai multe spire corespunde probabil unei diferențe de modă. Resortul bilateral cu cât este mai dezvoltat, împiedică arcul fibulelor La Tène să atingă planul pieptului. Foarte probabil, fibulele cu resort bilateral erau purtate cu portagrafa în sus și resortul în jos, iar arcul și piciorul erau orientate înainte. Nu este cazul fibulei cu resort lateral: foarte probabil, acul străpungea veșmântul orizontal, iar arcul era lăsat să atârne în jos.

Măndescu, acceptat apoi și de Zirra, a propus ridicarea fibulei „tracice” la rang de schemă<sup>9</sup>. Motivele sunt două: (1) nevoia de a sublinia diferența dintre principiile constructive ale fibulelor „tracice” și ale celor La Tène și (2) nevoia de a crea o categorie generală și cuprinzătoare care să reunească diferitele forme de fibule „tracice”. Încă din anii '30 și '40 ai secolului trecut, cercetători precum Vulpe, Mikov sau Berciu remarcaseră diversitatea morfologică a acestor fibule și posibilitatea clasificării lor în mai multe tipuri<sup>10</sup>. Formularea „fibule de schemă tracică” ar putea să pară mai tehnică decât cea de „fibule traco-getice”<sup>11</sup>. Dar, este oare potrivit să vorbim despre o „schemă tracică”? Pe de altă parte, nu cumva menținerea apelativului „tracic” ne conduce prea grabnic pe tărâmul atât de discutabil și nefast al etnicizărilor?

Fibulele „tracice” au fost denumite ca atare, deoarece, inițial, ele au fost identificate doar între Dunăre și Rodopi, deci în Tracia<sup>12</sup>. Denumirile propuse ulterior în literatură au fost variate – „fibula Certosa cu picior ridicat” (cu variantele

<sup>6</sup> Măndescu 2000a, 53; Măndescu 2007; Măndescu 2010, 357; cf. Arnăut 2003, 131.

<sup>7</sup> Vulpe 1930; Berciu 1943; Alexandrescu 1976; Zirra 1998a; Măndescu 2000; Arnăut 2003, 127-129.

<sup>8</sup> Un resort bilateral dezvoltat în interiorul arcului îl prezintă doar fibulele tipului Certosa XIII (Teržan 1976, 430). Diferitele sisteme de construire a resortului fibulelor Certosa au fost percepute ca variabile cu aceeași putere de separare ca și variațiile morfologice ale piciorului și arcului.

<sup>9</sup> Măndescu 2004; Măndescu 2010, Zirra 2011.

<sup>10</sup> Vulpe 1930; Mikov 1932; Berciu 1943, 290-292.

<sup>11</sup> Zirra 1998a; Zirra 2011.

<sup>12</sup> Popov 1924, 136; Mikov 1932.



„mesiană” și „getică”<sup>13</sup>, „fibula de tip Huși”<sup>14</sup>, „fibula traco-getică”<sup>15</sup> sau „fibula de schemă tracică”<sup>16</sup>, dar forma cea mai încetățenită a rămas cea de „fibulă tracică”<sup>17</sup>. Totuși, pe măsură ce numărul descoperirilor a crescut, fibulele din afara teritoriului Traciei s-au înmulțit. La ora actuală, numărul siturilor cu fibule cu resort lateral și picior ridicat din Tracia (77) nu îl depășește cu mult pe cel al siturilor din regiunile învecinate (64), în special din ținuturile dintre Dunăre, Carpați și Nistru<sup>18</sup>. La nord de Dunăre se plasează trei dintre siturile care au furnizat un număr sporit de fibule: Bâzdâna, Zimnicea și Bunești<sup>19</sup>. În plus, așezarea de la Bunești, cu cele 16 exemplare ilustrate și alte patru doar menționate<sup>20</sup>, deține și întâietatea numerică a exemplarelor de argint *per sit*.

Frecvența nord-dunăreană a fibulelor discutate este și motivul pentru care Vlad Vintilă Zirra a propus includerea geților, laolaltă cu tracii, în taxonomia fibulelor în discuție. Numărul mare de fibule descoperite în teritoriul tribalilor nu cumva ar trebui oare să impună schimbări terminologice? Dacă, presupunând că o nouă descoperire cu un număr mare de fibule „traco-getice” s-ar realiza pe coasta nord-vest-anatoliană, ar trebui oare să schimbăm numele fibulelor în „traco-geto-bithiniene”? Dilema a fost explicit exprimată de Berciu care evocă posibilitatea adoptării unor denumiri alternative pentru fibulele „tracice”: „traco-illirice” sau „geto-dacice”<sup>21</sup>. Berciu reține și menține însă cea dintâi denumire („fibule tracice”) doar pentru

că aceasta se încetățenise deja în literatură de specialitate... nu numai românească.

Trebuie precizat că nu orice fibulă cu resort lateral este „de schemă tracică”. Diferite forme de fibule din vreme hallstattiană din Italia, Peninsula Balcanică sau Anatolia<sup>22</sup> epocii arhaice au un resort lateral. La fel se întâmplă și cu fibulele Certosa răspândite cu precădere în nordul Italiei, în Pannonia și în regiunile vest-balcanice în secolele V–III a. Chr.<sup>23</sup>. Taxonomia acestor fibule derivă, în general, din numele localității în care au fost descoperite inițial și apoi au fost dezbătute în literatura de specialitate formele respective de fibule (de exemplu, Glasinac, Certosa ș.a.)<sup>24</sup>. Printre excepții se numără așa-numitele fibule „de tip thessalian”<sup>25</sup>, datate în secolul al VI-lea și răspândite în nordul Greciei, în regiunile centrale și de vest ale Peninsulei Balcanice și chiar în descoperiri Szentes-Vekerzug din Ungaria<sup>26</sup>. Răspândirea largă a acestei forme de fibulă nu a condus totuși la schimbarea denumirii în fibule „thessalo-traco-illiro-scitice”!

Latura superioară a plăcii trapezoidale a portagrafei fibulelor „de tip thessalian” este concavă și colțul opus arcului este decorat cu o proeminență. Astfel, „silueta” acestor fibule din secolul al VI-lea a. Chr. poate să ducă cu gândul la fibulele din Tracia secolelor V–III a. Chr. De altfel, Diana Gergova chiar sugera identificarea fibulelor „de tip thessalian” ca prototip al fibulelor „tracice”<sup>27</sup>. Și totuși, nu ar fi tocmai potrivit să considerăm fibulele thessaliene ca aparținând schemei tracice, la fel cum nici construcția fibulelor tracice nu o putem denumi ca „thessaliană”. Elementul comun al acestor forme este resortul lateral și nu presupusa patrie de origine. Construcția lor nu este nici tracică, nici thessaliană, nici ilirică sau italică, ci este indicată de morfologia resortului.

„Schema” este o categorie clasificatorie a fibulelor La Tène, superioară ierarhic și mai cuprinzătoare decât noțiunea de tip; ea se referă la relația dintre piciorul și arcul acestor fibule. Or, deosebirea principală dintre fibulele La Tène și cele „tracice” nu este indicată de construcția piciorului, ci de diferența dintre resortul bilateral și cel lateral. În aceste condiții, denumirea cea mai potrivită pentru fibulele „tracice”/„de schemă tracică” ar rămâne una tehnică: *fibulele cu resort lateral și picior*

<sup>13</sup> Vulpe 1930.

<sup>14</sup> Severeanu 1935, 22.

<sup>15</sup> Zirra 1998a; Zirra 2009, 82, recunoaște că aceste fibule sunt „rarely called «Thraco-Getian»”. Teodor 1999, 82, mai precută, nuanțează: „fibule considerate tracice”.

<sup>16</sup> Măndescu 2000a; Măndescu 2004; Măndescu 2005; Măndescu 2010.

<sup>17</sup> Filov 1934, 229; Berciu 1943, 284–285; Alexandrescu 1976; Arnăut 2003, 127 („fibule trace”) ș. a.

<sup>18</sup> Față de cartarea lui Zirra 1998a, 43, fig. 7, cea oferită de Măndescu 2010, 341, fig. 65 este actualizată, dar lipsită de o listă numerotată a descoperirilor. Harta fibulelor cu resort lateral și picior ridicat poate fi completată cu două descoperiri indite: (1) Slobozia „Drumul lui Rainea” (două fibule, una de fier, alta de bronz, dintr-un mormânt de incinerare, săpături B. Tănăsescu) și (2) Ghidigeni (fibulă descoperită întâmplător, informație Mircea Mămălăucă). De asemenea, descoperirea de la Huși-Epurenii (Severeanu 1935, 18–19 fig. 1) trebuie localizată în satul Epurenii din actuala comună Duda-Epurenii din nord-estul județului Vaslui și nu în satul Epurenii din comuna omonimă aflată în preajma Bârladului, în sud-estul județului Vaslui.

<sup>19</sup> Zirra 1998a, 43, fig. 7.

<sup>20</sup> Bazarciuc 1981, fig. 1 și fig. 2/1–4 și Bazarciuc 1983, 253, 265–266, 270, fig. 22/3–4.

<sup>21</sup> Berciu 1943, 306.

<sup>22</sup> Gergova 1987; Eles Masi 1986; Killian 1975; Caner 1983.

<sup>23</sup> Terzan 1976, 317–443.

<sup>24</sup> Alte exemple la Bader 1983, 8–60.

<sup>25</sup> Gergova 1987, 33–35, tipul AIII4, pl. 6/83–84, 7/85–99. Killian 1975 adoptă o taxonomie tehnică.

<sup>26</sup> Jerem 1971, 69–87.

<sup>27</sup> Gergova 1987, 33.

*ridicat*. Piciorul ridicat – termen ales de Radu Vulpe – constituie elementul care particularizează fibulele considerate „tracice” în cadrul cuprinzătoarei categorii a fibulelor cu resort lateral. Fibulele Certosa din regiunile vest-balcanice și fibulele cu resortul lateral și picior ridicat din regiunile est-balcanice formează cele mai târzii grupe morfologice de tradiție hallstattiană care au precedat și au întârziat generalizarea fibulelor cu resort bilateral în sud-estul Europei. Ambele grupe pot fi sincronizate perioadei timpurii a celei de-a doua epoci a fierului (secolele V–III a. Chr.), respectiv fazelor La Tène A–B din cronologia Europei vest-centrale<sup>28</sup>. Acestea fiind precizate, să revenim la fibulele așa-numite „hibride”.

### 3. AȘA-NUMITELE FIBULE „DE TIP HIBRID”

Dacă Alexandrina Alexandrescu atribuia „tipurilor hibride” cinci fibule din patru situri, Vlad Vintilă Zirra cunoștea 6 descoperiri certe și una incertă din care provin „fibulele hibride”<sup>29</sup>. După ce, inițial, a afirmat existența a peste 50 de fibule „de tip hibrid”<sup>30</sup> (de remarcat forma de singular: un singur tip!), Măndescu a coborât numărul lor la 10 exemplare din tot atâtea descoperiri<sup>31</sup>.

O simplă privire asupra reproducerilor exemplarelor considerate „hibride” de-a lungul timpului (fig. 3) impune formularea unei remarci critice. Aceste fibule nu numai că nu sunt asemănătoare între ele (nu sunt de același „tip”), dar nu prezintă nici măcar aceiași structură constructivă. Unele dintre aceste fibule sunt de schemă timpurie La Tène; altele prezintă un resort lateral și un picior ridicat; reproducerile unora sunt imprecise, ale altora sunt neclare. Și totuși, ele au fost considerate toate „de tip hibrid”. Măndescu a introdus deci singularul, pledând pentru omogenizare în locul recunoașterii și definirii diversității.

### 3.1. Fibule de schemă timpurie La Tène considerate „hibride”

Fibulele de la Brestovica (Bulgaria), Momișiți (Munteșu), Niș (Serbia) sau dintr-o localitate necunoscută (Glogovik?) de pe teritoriul fostei Iugoslavii, evocate de Zirra (fig. 3/1–4), dar și de Vasić (fig. 3/5–9)<sup>32</sup>, au fost eliminate de Măndescu din repertoriul fibulelor „hibride”. Resortul tuturor acestor fibule, fie păstrat integral (cert, bilateral la Brestovica și Momișiți), fie desirat sau fragmentar (la Niș și Glogovik/fosta Iugoslavie), se dezvoltă întotdeauna în afara arcului, un detaliu specific fibulelor La Tène. Aspectul piciorului acestor fibule ar putea aminti de piciorul unora dintre fibulele „tracice”. Totuși, două dintre fibulele de la Niș și exemplarul de la Momișiți prezintă la capătul piciorului ornamente formate din două până la patru proeminențe biconice suprapuse. Astfel de ornamente nu au fost încă atestate pe fibulele „tracice”. În cazul celorlalte exemplare, se poate pune întrebarea dacă simplitatea proeminențelor terminale ar permite certificarea unui împrumut ornamental deliberat. Analogiile pot să fie întâmplătoare sau nu, dar pentru clasificarea acestor fibule, construcția resortului poate fi considerată ca decisivă. Practic, toate aceste fibule sunt de schemă timpurie La Tène<sup>33</sup>.

Urmând sugestiile Alexandrei Alexandrescu, Vlad Vintilă Zirra a considerat ca „hibride” câteva fibule de certă schemă timpurie La Tène cu resort bilateral și piciorul ornamentat cu un pseudo-resort: Tariverdi și Zimnicea în România, Braničevo, Koprince/Seuthopolis și o localitate necunoscută din Bulgaria (fig. 3/10–12, 19–21)<sup>34</sup>. Ca și multe alte piese din Ucraina, Republica Moldova, Bulgaria și România<sup>35</sup>, aceste fibule corespund întru totul tipurilor A1–A2 din morfologia lui Karl Peschel

<sup>28</sup> Pentru datarea fibulelor Certosa: Teržan 1976, 443. Pentru datarea fibulelor cu piciorul ridicat: Zirra 1998a, 34–47 și Măndescu 2010, 339–357. Cele două forme se asociază în tumulul 1 de la Koprivce (Stančev 2004).

<sup>29</sup> Zirra 1998a, 40, fig. 6/19–22 ilustrează numai 4 exemplare – (1) dintr-un sit necunoscut din Iugoslavia, (2) Mășcăuți (Rep. Moldova), (3) Momișiți (Munteșu) și (4) Braničevo (Bulgaria) și cartează (fig. 10) încă două – Banatska Palanka (Serbia) și Zimnicea. Vasić 2000, 17, mai include printre fibulele hibride alte trei exemplare de schemă timpurie La Tène de la Niș.

<sup>30</sup> Măndescu 2002, 54 face probabil referire, printre altele, și la numeroasele fibule cu pseudoresort la picior care aveau să fie publicate ulterior de către Anastassov 2006, 14 (forma 5), 45 (listă și cartare).

<sup>31</sup> Măndescu 2010, 357–359, fig. 69.

<sup>32</sup> Zirra 1998, fig. 6/19 și 21; Vasić 2000, 15, 9–13. Se poate pune întrebarea dacă piesa de la Glogovik (Vasić 2000, 15, fig. 2/12) este aceeași cu cea menționată ca provenind dintr-o localitate necunoscută din Iugoslavia și ilustrată de Zirra 1998, fig. 6/19 (de comparat fig. 3/4 cu 3/9 din contribuția de față). Absența cataloagelor și lacunele din aparatele critice ale ambelor contribuții fac imposibilă verificarea acestei posibilități.

<sup>33</sup> În această conjunctură, aplicarea de către Vasić a clasificării propuse de Zirra 1998a pentru fibulele cu resort lateral asupra unor exemplare cu resort bilateral vădește de fapt confuzia dintre schemă (construcție) și detaliu ornamental. Potrivit lui Vasić 2000, 17, fibulele de la Niș reprezintă „a hibrid form of type II, with a double spiral fibula head, close to the La Tène scheme”. Fibulele respective nu sunt „apropiate” de schema La Tène, ci sunt de schemă timpurie La Tène, iar autorul aplică tipologia fibulelor „tracice” piciorului fibulelor La Tène de la Niș!

<sup>34</sup> Zirra 2009, 82–84, nr. cat. 27, 142, nr. 27.

<sup>35</sup> Brujako 2009, 332, fig. 1/10–12, 335, fig. 2/5–15; Topal 2012; Anastassov 2006, 14, 45; Măndescu 2010, 359.

(fibule de schemă timpurie La Tène cu picior ornamentat cu un pseudo-resort ornamental – *Fibeln mit Spiralfuss*)<sup>36</sup>. Măndescu a sesizat corect această corespondență, dar a păstrat totuși în lista fibulelor „de tip hibrid” exemplarele de la Braničevo, Koprinka<sup>37</sup> și Kugurlui<sup>38</sup>. Totodată, observația lui Măndescu nu a fost reținută și însușită de Zirra<sup>39</sup>.

Reproducerea fibulei de la Braničevo (fig. 3/10) necesită o atenție particulară. Resortul ei pare lateral; este plasat în afara și nu în interiorul arcului și este format din trei spire, dezvoltate, în mod cu totul straniu, tocmai pe acea parte a fibulei opusă portagrafei. Se poate pune întrebarea dacă acul din desen nu este altceva decât coarda îndreptată și orientată accidental către portagrafă. În această ipoteză, fibula de la Braničevo nu este „de schemă tracică”, ci de schemă timpurie La Tène și aparține tipului cu pseudo-resort la picior (Peschel A1–A2). Aceiași observație se poate face și în cazul fibulelor de la Kugurlui (fig. 3/13) și Koprinka-așezare, considerate de Măndescu tot „de tip hibrid”<sup>40</sup>. Resortul lor incomplet se dezvoltă în afara arcului – o caracteristică improprie fibulelor „tracice”, dar specifică fibulelor La Tène.

Desenarea neglijentă a unor astfel de fibule, cu o construcție relativ complicată, o regăsim în cazul reproducerii exemplarelor de aur din tumulul 2 de la Koprinka (Seuthopolis)<sup>41</sup>. Reproducerea lor (fig. 3/11–12), în mod aproape cert executată în tuș după o fotografie și nu după original, ilustrează eronat legătura dintre arc și picior. Dacă desenatorul lui Woźniak s-a înșelat, arheologul polonez nu: el a inclus în mod consecvent, și pe bună dreptate, fibulele de la Koprinka printre materialele timpurii La Tène de pe teritoriul Bulgariei<sup>42</sup>. Ambele fibule au resorturi bilaterale exterioare, iar piciorul liber formează în ambele cazuri câte două pseudo-resorturi succesive urmate de bucle ornamentale („brandenburguri”). Caracteristicile perechii de fibule de aur de la Koprinka corespund pe deplin schemei timpurii La Tène și nu au în comun cu fibulele considerate „tracice” decât regiunea în care au fost

descoperite. Ca și una dintre fibulele de la Stojkite (fig. 3/16)<sup>43</sup>, cele două fibule de la Seuthopolis reflectă preocuparea deliberată de supralicitare a caracterului ornamental al piciorului filiform prin multiplicarea pseudo-resorturilor.

Singurul detaliu comun cu anumite fibule „tracice” ar putea fi recunoscut *eventual* în fațetarea arcului fibulei de la Frumoasa, în Rep. Moldova (fig. 3/14)<sup>44</sup>. Totuși, structura fibulei de la Frumoasa respectă fidel schema timpurie La Tène: din resortul dezvoltat în afara arcului s-au păstrat primele două spire și coarda deșirată. Cu totul diferit se prezintă arcul fibulei din mormântul C10M55 de la Zimnicea și al celei din Bulgaria (fig. 3/20–21), aplatizat și lătit asemeni unui disc – o opțiune neatestată în cazul fibulelor „tracice”, iar resortul și pseudo-resortul sunt bilaterale. Să înțelegem că „intervenția” schemei La Tène asupra „fibulei de schemă tracică” poate să conducă la eliminarea oricărui element „tracic”? Să recunoaștem că aplicarea unor ornamente de presupusă sorginte „tracică” pe fibule de schemă timpurie La Tène se manifestă izolat și poate fi considerată întâmplătoare sau chiar incertă. În orice caz, astfel de împrumuturi nu reflectă o „încrucișare” a sistemelor constructive.

### 3.2. Fibule cu resort lateral considerate „hibride”

Cinci fibulele cu resort lateral au fost considerate ca „hibride” (fig. 3/22–26). Dintre acestea, numai două prezintă elemente ornamenale cu analogii în repertoriul fibulelor timpurii La Tène, și anume fibulele de la Mășcăuți și Veliko Tărnovo (fig. 3/23 și 26). Celelalte nu prezintă însă niciun detaliu de certă sorginte La Tène/central-europeană.

În stadiul actual al cercetării, fibula de la Veliko Tărnovo (fig. 3/26) reprezintă un *unicum*. Resortul ei este lateral, dezvoltat în interiorul arcului. Ornamentul inelar cu reliefuri zoomorfe de la picior se aseamănă cu cel al unor fibule de schemă timpurie La Tène, specifice perioadei La Tène A, răspândite în interiorul Bazinului Carpatic<sup>45</sup>. Fibula de la Veliko Tărnovo oferă deci unul dintre rarele exemple de „contaminare” a construcției fibulelor cu resort lateral cu elemente inspirate din repertoriul ornamental al anumitor fibule de schemă La Tène.

<sup>36</sup> Peschel 1972, 3–19.

<sup>37</sup> Ogdenova-Marinova 1984, 176, fig. 2/80.

<sup>38</sup> Măndescu 2010, 358. Anterior Măndescu 2002, 54–55, menținea ca fibule „de tip hibrid” exemplarele de la Tariverdi, Stojkite ș.a., toate cu resort bilateral și coradă exterioară (de schemă târzie La Tène !), dar nu și pe cea din mormântul C10M55 de la Zimnicea.

<sup>39</sup> Zirra 2009 consideră ca hibride fibulele din mormântul C10M55 de la Zimnicea și dintr-o localitate necunoscută din Bulgaria.

<sup>40</sup> Măndescu 2010, 357–358; Arnăut 2003, 131–132, fig. 72/B-C; Brujako 2009, 332–333, fig. 1/14.

<sup>41</sup> Woźniak 1975, 182, pl. 1/9–10.

<sup>42</sup> Woźniak 1975, 180; cf. Anastasov 2006, 45, nr. 61.

<sup>43</sup> Kis’ov 1989, 14, fig. 6/dr.

<sup>44</sup> Topal 2012, 170–171, fig. 2/5. Pentru fibulele cu resort lateral și arcul fațetat: Măndescu 2005. Topal 2012, 171 și Brujako 2009, 333, manifestă reținere față de denumirea fibulelor cu pseudo-resort ca „hibride”.

<sup>45</sup> Szabó 1974, 84; Binding 1993; Măndescu 2000b, 48; Rustoiu 2005, 60, 72, fig. 4/4–5, fig. 7.

Piciorul fibulei de la Mășcăuți (fig. 3/23) se încheie cu un pseudo-resort bilateral. Acest ornament a fost inspirat de la fibulele Peschel A1–A2, atestate nu numai în regiunile nord-balcanice și la est de Prut<sup>46</sup>, ci și în Europa vest-centrală<sup>47</sup>. Un împrumut în sens invers este greu de închipuit, deoarece analogiile pentru fibula de la Mășcăuți lipsesc. După cum am arătat mai sus, fibula de la Braničevo ilustrează schema timpurie La Tène, iar cea de la Răcățau a fost percepută eronat. Descrierea imprecisă a ornamentului terminal al piciorului fibulei de la Răcățau este cea care induce în eroare. Potrivit lui Căpitanu, „butonul terminal (este format) din mai multe spire”<sup>48</sup>, dar, din desenul fibulei (fig. 3/25)<sup>49</sup> reiese că butonul este de fapt masiv și striat și nu are caracterul unui pseudo-resort bilateral: coarda unui astfel de pseudo-resort nu este vizibilă. Și astfel, fibula de la Răcățau nu poate fi evocată ca analogie a exemplarului de la Mășcăuți.

Nici fibula de la Banatska Palanka (fig. 3/22) nu ar putea fi percepută ca analogie pentru piesa de la Mășcăuți. Extremitatea piciorului formează într-adevăr o mică spirală, dar omologarea acestui detalui ca pseudo-resort este îndoielnică: fotografia oferită de Milleker nu este lămuritoare<sup>50</sup>, dar în descrierea lui Berciu este menționată o proeminență terminală<sup>51</sup> cu vădit rol ornamental. Chiar dacă spira ar sugera un pseudo-resort, acesta este lateral. Prin urmare, niciun element inspirat de fibulele La Tène nu poate fi recunoscut exemplarului de la Banatska Palanka, iar interpretarea lui ca fibulă „hibridă”/„de tip hibrid” nu este justificată.

Profilul fibulei de la Poiana (fig. 3/24), reprodus cu mai puțină acuratețe<sup>52</sup>, dă impresia unui resort cu două spire, dar vederea frontală nu indică explicit același lucru. Nici din descrierea piesei<sup>53</sup> nu rezultă existența unui resort cu două spire. Fie cu una, fie cu două spire (neobișnuit la fibulele cu resort lateral și picior ridicat), resortul este rupt, iar

acul fibulei lipsește, astfel că nu se poate preciza dacă resortul a fost sau nu bilateral. Încadrarea morfologică a fibulei este însă sugerată de: (a) dezvoltarea resortului în interiorul arcului și (b) de proeminența piramidală de la picior – un ornament specific multor fibule cu resort lateral și picior ridicat și frecvent mai ales în descoperiri est-carpatice<sup>54</sup>. Ambele caracteristici nu sunt atestate în cazul fibulelor de schemă timpurie La Tène. Noțiunea de hibridizare nu se susține nici în cazul exemplarului de la Poiana. Și astfel, fibula de la Mășcăuți ne apare ca lipsită de analogii, constituindu-se într-un *unicum*.

Reunirea sub eticheta aceluiaș tip a fibulelor de la Veliko Tărnovo și Mășcăuți este inconsecventă, datorită deosebirii evidente dintre ornamentele piciorului. Cele două piese pot fi considerate ca variante particulare ale fibulelor cu resort lateral. Sursele de inspirație ale celor două ornamente, decalate cronologic, trebuie căutate în aria de cultură timpurie La Tène.

### 3.3. Fibula cu două resorturi de la Zimnicea

Dintre piesele discutate până acum, am omis tocmai exemplarul care a inspirat formularea noțiunii de hibridizare a fibulelor. După cum va reieși din cele ce urmează, descrierile succinte ale lui Vlad Zirra (sr.) și Alexandrina Alexandrescu citate mai sus<sup>55</sup> sunt corecte, dar, poate, nu îndeajuns de detaliate. Reprodusele publicate<sup>56</sup> nu au evidențiat corect și explicit mecanismul fibulei din mormântul C10M97 de la Zimnicea. Schița lui Zirra (fig. 1/1) ilustrează doar profilul piesei, iar din reproducerea Alexandrei Alexandrescu (fig. 1/2) ar reieși că portagrafa fibulei se continuă din coarda (!) pseudo(?)-resortului secundar bilateral plasat la piciorul fibulei. Lipsa de claritate în prezentarea acestei fibule avea să conducă la perceperea ei eronată în literatura de mai târziu<sup>57</sup>.

Examinarea fibulei (fig. 1/3), aflată în depozitele Muzeului Național de Antichități, mi-a permis deslușirea sistemului constructiv al acestei mici piese. Racordul dintre ac și arc este asigurat printr-un resort prim bilateral, corect ilustrat în desenul Alexandrei Alexandrescu. Portagrafa se formează însă în continuarea ultimei spire interioare a unui al

<sup>46</sup> Măndescu 2010, 359, fig. 69.

<sup>47</sup> Peschel 1972, 31, fig. 10 și 38–41 lista A. O reactualizare (nu tocmai completă) a repertoriului și a răspândirii fibulelor cu pseudo-resort la picior o datorăm lui Anastassov 2006, 45.

<sup>48</sup> Căpitanu 1984, 64, nr. I/3.

<sup>49</sup> Căpitanu 1984, 74, fig. 1/3.

<sup>50</sup> Berciu 1943, 283, fig. 2.

<sup>51</sup> Berciu 1943, 284: „Der Fortsatz krümmt sich zunächst zum Fibelkörper und widmet sich dann spiralförmig nach aussen mit kurz umgedrehtem Knopf (s.n.)”. Un picior terminat cu o buclă îl regăsim și în cazul fibulelor de la Ablanica și Rosica (Zirra 1998a, 39–40, fig. 5/5 și 6/14). Dintre acestea, doar cea din urmă a fost suspectată să fie hibridă de către Alexandrescu A. D. 1980, 50.

<sup>52</sup> Teodor, Țau 1997, fig. 2/4; Vulpe, Teodor 2003, fig. 92/4.

<sup>53</sup> Teodor, Țau 1997, 94; Vulpe, Teodor 2003, 207.

<sup>54</sup> Măndescu 2005.

<sup>55</sup> Cf. *supra* n. 2–3.

<sup>56</sup> Zirra 1971, fig. 23/69; Alexandrescu 1980, 100, fig. 49/1 (reprodusă și de Zirra 2009, 84, fig. 4/stg).

<sup>57</sup> Anastassov 2006, 45, nr. 76, include fibula cu două resorturi de la Zimnicea în lista descoperirilor cu fibulele de schemă timpurie La Tène cu pseudo-resort la picior.

doilea resort bilateral. Cu alte cuvinte, resortul de la piciorul piesei are un rol funcțional și permitea rabatarea lejeră a portagrafei<sup>58</sup>.

O astfel de construcție amintește de structura fibulelor Glasinac, cu deosebirea că, în acel caz, ambele resorturi sunt laterale și nu bilaterale. Este greu de precizat dacă mica fibulă de la Zimnicea reflectă recursul direct la tradiția fibulelor Glasinac. O astfel de fibulă a fost descoperită chiar la Zimnicea, într-un context funerar<sup>59</sup> suprapus de nivelurile inferioare ale așezării din care provin câteva fibule „tracice”<sup>60</sup>. Forma triunghiulară a portagrafei ar putea fi percepută și ea ca o reactualizare a formeii portagrafelor variantei I a fibulelor Glasinac<sup>61</sup>. Recursul la o tradiție hallstattiană pentru realizarea fibulei din mormântul C10M97 nu trebuie eliminat ca ipoteză de lucru, dar ar întâmpina dificultăți semnificative de ordin cronologic. Folosirea fibulelor Glasinac până către finele secolului al IV-lea a. Chr. (sau chiar începutul secolului următor ?), când în mormântul C10M97 a fost depusă o amforă de Thassos, este mai greu de argumentat.

După cum remarca și Alexandrina Alexandrescu, construirea resortului bilateral indică familiarizarea cu fibulele La Tène. Foarte probabil, structura fibulei din mormântul C10M97 este rezultatul unei reproduceri creative și originale a simetriei dintre resortul și pseudo-resortul fibulelor Peschel A1–A2. Nu întâmplător, mormântul C10M97 se situează tocmai în acea concentrare de morminte de la Zimnicea (C10) din care provin mai multe fibule de schemă timpurie și mijlocie La Tène, inclusiv o fibulă cu pseudo-resort (Peschel A1–A2) din mormântul C10M55 (fig. 3/20)<sup>62</sup>. Să recunoaștem însă că pentru redarea acestei simetrii, meșterul fibulei din mormântul C10M97 a ales o rezolvare pe cât de ingenioasă, pe atât de coerentă din punct de vedere structural: nu numai aspectul celor două resorturi reflectă simetrie, ci însăși funcționalitatea lor este „simetrică”.

Doar forma arcului, îngroșat în zona centrală, de secțiune semicirculară, amintește de unele fibule cu resort lateral și picior ridicat. De altfel, mormântul C10M97 conține alte două fibule „tracice” cu o

patină brună aproape identică patinei fibulei cu două resorturi. Realizarea celor trei piese de către același meșter este plauzibilă.

Structura fibulei cu două resorturi din mormântul C10M97 nu este nici „Glasinac”, nici „tracică”, dar nici La Tène, ci reunește caracteristici tehnice și formale ale tuturor acestor categorii de fibule. Ea ilustrează un adevărat *mixtum compositum*, unic deocamdată<sup>63</sup>. În pofida ingeniozității ei, formula astfel rezultată nu pare să fi condus însă la o serie tipologică numeric reprezentativă, ci ni se înfățișază ca un accident în istoria fibulelor epocii fierului. În stadiul actual al cercetării, această fibulă cu două resorturi bilaterale, ambele funcționale, este de fapt singura care ar putea corespunde noțiunii de „hibridizare” a construcțiilor diferite de fibule. „Hibridizate” nu au fost însă construcțiile „tracică” și La Tène. Din perspectiva unei clasificări formale, se poate considera că fibula combină construcția La Tène a resortului bilateral și mai vechiul sistem al fibulelor Glasinac (cu două resorturi – unul pentru ac, unul pentru portagrafă). O astfel de combinare presupune o imaginație meșteșugărească și o creativitate tehnică originală care depășesc cadrele noțiunii de hibridizare din zootehnia clasică.

#### 4. REMARCI ASUPRA FIBULEI MARI DE ARGINT DE LA BUNEȘTI

Reproducerea unor ornamente de sorginte La Tène ar putea fi întrevăzută și în cazul unei fibule cu un decor partucilar de la Bunești. Ilustrată prin fotografii neclare sau lipsite de scară<sup>64</sup>, fibula mare de argint din tezaurul nr. 1 de la Bunești a fost trecută cu vederea în literatura de specialitate. Față de toate celelalte fibule din tezaur, această piesă (fig. 2/centru) se distinge prin dimensiunile sensibil mai mari (4,9 cm lungime), o greutate sporită (21,29 g) și, mai ales, printr-o ornamentare particulară a arcului. Această ornamentație constă din grupuri de incizii oblice și ovale alternate, realizate prin turnare, urmată de cizelare. Inciziile creează impresia unei înfășurări complexe de nervuri și ochiuri.

În stadiul actual al cercetării, două fibule cu resort lateral și picior ridicat de la Zimnicea (fig. 2/

<sup>58</sup> Pentru prevenirea oxidării, fibula a fost îmbrăcată într-un lac care împiedică realizarea unor fotografii clare.

<sup>59</sup> Bader 1983, 80, nr. 177, pl. 27/177; Spănu 2009, 279–281, fig. 1–2.

<sup>60</sup> Alexandrescu 1976; Spănu 2009, fig. 6/2.

<sup>61</sup> Observație Dorin Sârbu. Pentru fibulele Glasinac cu portagrafă triunghiulară: Bader 1983, 71–77.

<sup>62</sup> Alexandrescu 1980, 100, fig. 49/2; Măndescu 2010, 171, fig. 25.

<sup>63</sup> Se poate pune întrebarea dacă o mică fibulă de la Svestari ilustrată într-o fotografie neclară (Mihaylova 1992 reproducă de Măndescu 2010, pl. 291/14) ar putea oferi o posibilă analogie structurală pentru fibula de la Zimnicea.

<sup>64</sup> Bazarciuc 1981, 564, nr. 1, fig. 1/1; Teodoru 1998, 34, pl. IV.



stânga)<sup>65</sup>, un exemplar de la Bačkovo (Bačkovski Monastir)<sup>66</sup> și altul de la Krasnoe<sup>67</sup> ar putea fi invocate ca analogii îndepărtate ale unui astfel de decor „șnurat”: toate prezintă o torsadă pe arc. Într-un caz (fig. 2/stânga-jos), torsada a fost realizată prin răsucirea unei tije de secțiune pătrată<sup>68</sup>. În celălalt caz (fig. 2/stânga-sus), pe o tijă din bronz a fost înfășurat un fir de argint<sup>69</sup>. Fără a mai evoca caracterul ornamental diferit, tehnicile de realizare a torsadei fibulelor de la Zimnicea diferă de tehnica decorativă a fibulei de la Bunești. Astfel, ornamentația ei ni se dezvăluie ca unică în cadrul repertoriului de fibule cu resort lateral și picior ridicat.

În mod surprinzător, ornamentația fibulei de la Bunești se aseamănă decorului reliefat al cunoscutelor fibule de tip Dux/Duchčov (fig. 2/dreapta)<sup>70</sup>, specifice fazei B1 (400–320 a. Chr.) din cronologia central-europeană a epocii La Tène. În regiunea carpatică, de exemplu la Pișcolt, astfel de fibule sunt încă folosite și în faza B2 (320–260 a. Chr.) sau chiar la începutul fazei C1 a La Tène-ului<sup>71</sup>. Analogia ornamentală dintre fibula de la Bunești și fibulele Dux/Duchčov nu este contrazisă de cronologie. Din tezaurul de la Bunești provine o drăhmă histriană cu capete inversate aparținând grupelor III și IV de emisiuni, datate între ±380 și ±313/280 a. Chr.<sup>72</sup>. Totodată, analogia nu este contrazisă nici de contextul cultural al epocii din regiunile est-carpătice. În nordul Moldovei (Bucovina, Câmpia Jijiei, nordul Basarabiei), fibulele cu resort lateral aproape lipsesc, dar fibulele de schemă timpurie La Tène sunt frecvente<sup>73</sup>. Contextele acestor piese nu sunt îndeajuns de bine precizate sau expresive, dar numărul lor nu este deloc neglijabil și permite conturarea unui orizont cu materiale timpurii La Tène în regiunile de nord ale Moldovei. De altfel, câteva fibule de schemă timpurie La Tène au fost identificate și în așezările central-moldovenești din aria fibulelor „tracice”, precum Poiana și chiar Bunești<sup>74</sup>. Toate aceste descoperiri indică posibilitatea unor contacte de vecinătate între purtătorii

fibulelor La Tène și creatorii fibulelor tracice din Moldova Centrală. Aceste contacte nu numai că au fost posibile, dar au fost și fecunde, așa cum o indică fibula mare din tezaurul 1 de la Bunești.

## 5. ÎNCHEIERE

Descoperirea unei fibule cu o construcție excepțională (fibula cu două resorturi bilaterale din mormântul C10M97 de la Zimnicea) a prilejuit presupunerea hazardată și ipotetică a unei diversități de forme „hibride” care ar combina în egală măsură elemente structurale ale fibulelor de schemă La Tène și ale fibulelor cu resort lateral și picior ridicat (fibule „tracice”). Cu timpul, în această categorie artificială și, inițial, insuficient definită au mai fost incluse: (1) exemplare aparținând fibulelor de schemă timpurie La Tène, (2) fibule cu resort lateral și picior ridicat lipsite de orice influență sau împrumut ornamental La Tène și (3) fibule cu resort lateral cu piciorul decorat cu motive împrumutate de la fibulele de schemă La Tène. Practic, sub eticheta „fibule hibride” sau „de tip hibrid” au fost grupate artificial, pe lângă fibula cu două resorturi de la Zimnicea, piese care nu acuză niciun fel de „hibridizare” sau care ilustrează, cel mult, împrumuturi ornamentale de sorginte La Tène, aplicate pe structura – tradițională la sud și est de Carpați – a fibulelor cu resort lateral și picior ridicat (fibula „tracică”). Aceste împrumuturi au condus la diversificarea repertoriului ornamental al fibulelor cu resort lateral și picior ridicat. Noțiunea de „tip hibrid” pentru astfel de fibule nu se vădește nici consecventă, nici justificată. Nu asistăm la un „fenomen de hibridizare”, „de încrucișare” sau „de tranziție”, ci la câteva opțiuni individuale distincte, izolate geografic. Confuziile clasificatorii derivă din lipsa de acuitate a reproducerilor din publicațiile de specialitate (desene imprecise, fotografii neclare – exemple în fig. 3), dar și din neglijarea definirii și ierarhizării judicioase a variabilelor utilizate în analoza morfologică.

Cele patru fibule de la Mășcăuți, Veliko Tărnovo, Bunești și Zimnicea au o importanță care nu trebuie minimalizată. Ele reflectă cele dintâi contacte ale unor meșteri din bazinul Dunării inferioare și din bazinul Nistrului cu modele elaborate în aria de cultură La Tène. Împrumuturile și inovațiile ilustrate de aceste exemplare pot fi încadrate mai judicios în acea epocă în care lumea purtătorilor fibulelor cu resort lateral și picior ridicat și cea a purtătorilor fibulelor cu resort bilateral (de schemă

<sup>65</sup> Alexandrescu 1980, 96, fig. 45/6 și 14; Zirra 1998a, 32, fig. 2/12–13.

<sup>66</sup> Berciu 1943, 300, fig. 6/IVa; Zirra 1998, 32, fig. 2/2.

<sup>67</sup> Brujako 2009, 335, fig. 2/15.

<sup>68</sup> Alexandrescu 1980, 96, fig. 45/6.

<sup>69</sup> Alexandrescu 1980, 96, fig. 45/14.

<sup>70</sup> Filip 1956, fig. 26/6–7; Maute 1994, 460–465.

<sup>71</sup> Zirra 1998b, 158–160.

<sup>72</sup> Poenaru Bordea 2004, 34–36, lista A.II, nr. 19, p. 49.

<sup>73</sup> Teodor 1988; Babeș 1993, 123–125; Teodor 1999, 101–112; Topal 2012, 169–170.

<sup>74</sup> Bazarciuc 1983, 267–268, fig. 20.

timpurie La Tène) se aflau încă într-un relativ echilibru care permiteau schimburi reciproce<sup>75</sup>. Astfel de raporturi între două tradiții distincte de construire a fibulelor au premers sfârșitul perioadei timpurii a La Tène-ului când fibulele cu resort bilateral au început să se generalizeze în sud-estul Europei.

## BIBLIOGRAFIE

- Alexandrescu 1972 – A. D. Alexandrescu, *Mormintele din perioada mai târzie a necropolei getice de la Zimnicea (jud. Teleorman)*, Crisia 2, 1972, p. 15–26.
- Alexandrescu 1976 – A. D. Alexandrescu, *À propos des fibules «thraces» de Zimnicea*, TD 1, 1976, p. 131–141.
- Alexandrescu 1980 – A. D. Alexandrescu, *La nécropole gète de Zimnicea*, Dacia 24, 1980, p. 19–126.
- Arnăuț 2003 – T. Arnăuț, *Vestigii ale sec. VII-III a. Chr. în spațiul de la răsărit de Carpați*, Chișinău 2003.
- Anastassov 2006 – J. Anastassov, *Objets lanténiens du Musée de Schoumen*, în: V. Sîrbu, D. L. Vaida (ed.), *Thracian and Celts. Proceedings of the International Colloquium from Bistrița 18–20 May 2006*, Cluj-Napoca 2006, p. 11–50.
- Babeș 1993 – M. Babeș, *Die Poienești-Lukaševka-Kultur. Ein Beitrag zur Kulturgeschichte im Raum östlich der Karpaten in den letzten Jahrhunderten vor Christi Geburt*, Saarbrücker Beiträge zur Altertumskunde 30, Bonn 1993.
- Bader 1983 – T. Bader, *Die Fibeln in Rumänien*, PBZ 14/6, 1983.
- Bazarciuc 1981 – V. V. Bazarciuc, *Tezaurul geto-dacic de la Bunești, jud. Vaslui*, SCIVA 32, 4, 1981, p. 536–570.
- Bazarciuc 1983 – V. V. Bazarciuc, *Cetatea geto-dacică de la Bunești, județul Vaslui*, SCIVA 34, 3, 1983, p. 249–273.
- Berciu 1943 – D. Berciu, *Ein Problem aus der frühgeschichtliche Südosteuropas. Die thrakischen Fibeln*, Balcanica 6, 1943, p. 283–306.
- Binding 1993 – U. Binding, *Studien zu den figuralen Fibeln der Frühlatènezeit*, Bonn 1993.
- Brujako 2009 – I. V. Brujako, *Ot skifii k Sarmatii: desijat' let spustija*, Stratum plus 3, 2005–2009 (2009), p. 329–370.
- Caner 1983 – E. Caner, *Fibeln in Anatolien I*, PBZ 14/8, 1983.
- Căpitanu 1984 – V. Căpitanu, *Fibule de tip Latène descoperite în așezarea de tip „dava” la Răcățâu, comuna Horgești, județul Bacău*, Carpica 16, 1984, p. 61–84.
- Condurachi și colab. 1953 – E. Condurachi și colaboratori, *Șantierul Histria*, SCIV 4, 1–2, 1953, p. 90–152.
- Dremsizova 1962 – C. Dremsizova, *Mogilnijat nekropol pri c. Braničevo (Kolarovgradsko)*, Izvestija Sofia 25, 1962, p. 165–186.
- Eles Masi 1986 – P. v. Eles Masi, *Le fibule dell'Italia settentrionale*, PBZ 14/5, 1986.
- Filip 1956 – J. Filip, *Keltové ve střední Evropě*, Praha 1956.
- Filov 1934 – B. Filov, *Die Grabhügelnekropole bei Duvanlj in Südbulgarien*, Sofia 1934.
- Gergova 1987 – D. Gergova, *Früh- und ältereisenzeitliche Fibeln in Bulgarien*, PBZ 14/7, 1987.
- Jerem 1971 – E. Jerem, *Késővaskori sírleletek Beremendröl (Baranya megye)*, Évkönyve Pécs 16, 1971, p. 69–87.
- Killian 1975 – K. Killian, *Die Fibeln in Thessalien von der mykenischen bis zur archaischen Zeit*, Prähistorische Bronzefunde XIV, 2, 1975.
- Kis'ov 1989 – K. Kis'ov, *Trakijski nekropol kraj c. Ctojkite, Plovdivska oblast*, Arheologija Sofia, 4, 1989, p. 13–17.
- Măndescu 2000a – D. Măndescu, *Fibula de schemă tracică – noi puncte de vedere*, SCIVA 51, 2000, 1–2, p. 71–92.
- Măndescu 2000b – D. Măndescu, *Fibulele de schemă Latène în perioada timpurie și mijlocie a celei de a doua epoci a fierului pe teritoriul vechii Dacii*, Crisia 20, 2000, p. 45–80.
- Măndescu 2002 – D. Măndescu, *Fibulele de tip hibrid pe teritoriul României și Republicii Moldova*, Argesis 11, 2002, p. 53–56.
- Măndescu 2004 – D. Măndescu, *Câteva particularități regionale ale fibulei de schemă tracică*, Peuce 2 (15), 2004, p. 41–48.
- Măndescu 2005 – D. Măndescu, *Fibulele de schemă tracică din sudul Moldovei. Studiu de caz: așezarea getică de la Poiana*, în: Ș. Stanciu, C. Croitoru (ed.), *Perspective asupra istoriei locale în viziunea tinerilor cercetători. Pagini de istorie gălățeană*, I, Galați 2005, p. 7–16.
- Măndescu 2007 – D. Măndescu, *A Witness of the Fashion's Change in the 3rd C BC at the Lower Danube: The Fibula of Hybrid Type*, în: *The Lower Danube in Antiquity, International Archaeological Conference Bulgaria-Tutranak*, 6.–7. 10. 2005, Sofia 2007, p. 59–63.
- Măndescu 2010 – D. Măndescu, *Cronologia perioadei timpurii a celei de-a doua epoci a fierului (sec. V–III) între Carpați, Nistru și Balcani*, Brăila, Editura Istros 2010.
- Maute 1994 – M. Maute, *Fibel und Fibeltracht*, în: Hoops J., Beck H. (ed.), *Reallexikon der germanischen Altertumskunde* 8, 5/6, 1994, p. 458–467.
- Mihaylova 1992 – Z. Mihaylova, *Metal finds from the Thracian fortified settlement near the water-supply station in Sborianovo*, în: Gergova D., *Helis. Sborianovo-Studies and Prospects. Proceedings of the Conference in Ispereh II*, Sofia 1992, p. 89–93.
- Mikov 1932 – V. Mikov, *Thrakische Fibeln*, Izvestija Sofia 6, 1930–1931 (1932), p. 171–183.
- Mirčeva 2007 – E. Mirčeva, *La Tène fibulae kept in Varna Archaeological Museum*, în: Vagalinski I. F. (ed.), *The Lower Danube in Antiquity (VI c. B.C. – VI c. A.D.). International Archaeological Conference, Bulgaria – Turtukan*, Sofia 2007, p. 65–72.
- Niculiță 1987 – I. T. Niculiță, *Severnije frakijci v VI-I vv. do n. e.*, Chișinău 1987.
- Ogdenova-Marinova 1984 – L. Ogdenova-Marinova, *Minor objects – terracotta – sculpture*, în: Dimitrov D., Cicikova M., Balkanska A., Ogdenova-Marinova L. (ed.), *Sevtopolis I, Bit i kultura*, Sofia 1984, 159–171, p. 224–228.
- Poenaru Bordea 2004 – G. Poenaru Bordea, *La diffusion des monnaies d'Istros, Callatis et Tomi, du Vie siècle av. J. -C. dans leurs territoires, zones d'influence et ailleurs*, în: *Presenza e funzioni della moneta nelle chorai delle colonie greche dall' Iberia al Mar Nero. Atti del XII convegno organizzato dall'Unoversità “Federico II” e dal Centro Internazionale di Studi Numismatici, Napoli 16–17 Giugno 2000*, Istituto Italiano di Numismatica, Roma, 2004, p. 27–70.
- Peschel 1972 – K. Peschel, *Fibeln mit Spiralfuß*, ZfA 6, 1972, p. 1–42.
- Popov 1924 – R. Popov, *Predistoričeski izledvanija v Vračens-koto pole*, Izvestija Sofia 2, 1924, p. 99–136.

<sup>75</sup> Rustoiu 2008, 26–29.

- Rustoiu 2005 – A. Rustoiu, *Archäologische und historische Hinweise betreffend den Anfang der keltischen Kolonisation des innerkarpatischen Raumes*, *Apulum* 42, 2005, p. 57–76.
- Rustoiu 2008 – A. Rustoiu, *Celții din Transilvania și comunitățile indigene nord-balcanice. Schimburi culturale și mobilitatea individuală*, *EphemNap* 18, 2008, p. 25–44.
- Severeanu 1935 – G. Severeanu, *Le Trésor de Huși*, *Revista Muzeului Municipiului București* 2, 1935, p. 17–36.
- Spânu 2009 – D. Spânu, *Un mormânt cu fibulă Glasinac descoperit pe situl „Cetate” de la Zimnicea*, *Analele Banatului*, S.N., Arheologie-Istorie, 17, 2009, p. 279–294.
- Stančev 2004 – D. Stančev, *Trakijski nakiti ot Istoričeski Muzej Ruse*, în: *Panagjurskoto sâkrovište i trakijskata kultura. Dokladi ot vtori mejdunaroden simpozium*, Sofia 2004, p. 149–162.
- Szabó 1974 – M. Szabó, *Contribution à l'étude de l'art et de la chronologie de La Tène anceinns en Hongrie*, *Folia Archaeologica* 25, 1974, p. 71–86.
- Tănăsescu 2009 – B. Tănăsescu (ed.), *Treasure Lost, Treasure Regained*, Giurgiu 2009.
- Teodor 1988 – S. Teodor, *Elemente celtice pe teritoriul est-carpatic al României*, *ArhMold* 12, 1988, p. 33–51.
- Teodor 1999 – S. Teodor, *Regiunile est-carpatică ale României în secolele V-II î. d. Hr.*, *Bibliotheca Thracologica XXVII*, București 1999.
- Teodor, Țau 1997 – S. Teodor, S. Țau, *Obiecte de port și podoabă din așezarea geto-dacică de la Poiana, jud. Galați (I). Fibule*, *ArhMold* 19, 1996 (1997), p. 57–105.
- Teodoru 1998 – V. V. Teodoru, *Contribuții la cunoașterea civilizației geto-dacice în zona est-carpatică în lumina cercetărilor arheologice*, *Arheologia Moldovei* 21, 1998, p. 29–41.
- Terzan 1976 – B. Terzan, *Certoška fibula*, *Arhvestnik* 27, 1976, p. 317–443.
- Topal 2012 – D. Topal, *Nov'ie nahodki rannelatenskih importoe mejdu Dnestrom i Prutom*, în: *Telnov N., Sinică V. (ed.), Drevnosti severnogo procernomorje III-II v. do n. e.*, Tiraspol 2012, p. 169–171.
- Vasić 2000 – Vasić R., *Thracian Fibulae in the West: Invasion or Cultural Exchange ?* *Archaeologia Bulgarica* 4, 1, 2000, p. 13–20.
- Vulpe 1930 – R. Vulpe, *L'âge du fer dans les régions thraces de la Péninsule Balcanique*, Paris 1930.
- Vulpe, Teodor 2003 – R. Vulpe, S. Teodor, *Piroboridava. Așezarea geto-dacică de la Poiana*, *Bibliotheca Thracologica* 39, București 2003.
- Woźniak 1975 – Z. Woźniak, *Die Kelten und die Latènekultur auf den thrakischen Gebieten*, *Alba Regia* 14, 1975, p. 177–184.
- Zirra 1971 – V. Zirra, *Beiträge zur Kenntnis des keltischen Latène in Rumänien*, *Dacia* 15, 1971, p. 171–238.
- Zirra 1998a – V. V. Zirra, *Bemerkungen zu den thrakogetischen Fibeln*, *Dacia* 40–42, 1996–1998, p. 29–53.
- Zirra 1998b – V. V. Zirra, *Die relative Chronologie des Gräberfeldes von Pișcolt (Kr. Satu Mare, Rumänien)*, în: F. Müller (ed.), *Münsingen-Rain, ein Markstein der keltischen Archäologie. Funde, Befunde, Methoden im Vergleich*, *Schriften des Bernischen Historischen Museums Band 2*, 1998, p. 145–160.
- Zirra 2009 – V. V. Zirra, *Two Thracian Fibulae*, în: B. Tănăsescu (ed.), *Treasure Lost, Treasure Regained*, Giurgiu 2009, p. 82–84.
- Zirra 2011 – V. V. Zirra, *Research stage of the La Tène and Thracian scheme fibulae in Romania – Dynamics and exclusion. Critical general approach*, în: *WSEAS – Transactions on Environment and Development*, Issue 1, Volume 7, January 2011, p. 1–12.

## LISTA ILUSTRAȚIEI

- Fig. 1 – Fibula cu două resorturi din mormântul C10M97 de la Zimnicea: (1) schița reprodușă de Zirra 1971, fig. 23/69; (2) reproducere după Alexandrescu 1980, 100, fig. 49/1; (3) reproducere după original (D.S.).
- Fig. 2 – Fibula mare din tezaurul 1 (locuința 21) de la Bunești (centru; reproducere după original D. S.); fibulele cu resort lateral și arc în trosadă de la Zimnicea (stânga sus: după Alexandrescu 1980, 96, fig. 45/14; stânga jos: reproducere după original); fibule de tip Dux/Duchčov (dreapta; după Filip 1956, fig. 26/6–7).
- Fig. 3 – Fibule considerate „hibride” de către Zirra (1–4, 21, 23), Vasić (5–9) sau „de tip hibrid” de către Măndescu (10–13; 15–26). 1–9: fibule de schemă timpurie La Tène; 10–21: fibule de schemă timpurie La Tène cu pseudo-resort la picior (Peschel tip A1-A2); 22–26: fibule cu resort lateral și picior ridicat („tracice”). Pentru sursele reproducerilor: anexa 1.

## ANEXA 1

(Sursele reproducerilor din fig. 3)

- 1: Branicevo (Bulgaria) – după Zirra 1998, fig. 6/22.
- 2: Brestovica (Bulgaria), tumulul 1 – după Mirčeva 2007, 71, fig. 7.
- 3: localitate necunoscută din fosta Iugoslavie – după Zirra 1998, 40, fig. 6/19.
- 4: Momišici (Munteneșu) – după Zirra 1998, 40, fig. 6/21.
- 5–7: Niš (Serbia) – după Vasić 2000, 15, fig. 2/9–11.
- 8: Momišici (Munteneșu) – după Vasić 2000, 15, fig. 2/13 (probabil aceeași piesă cu cea de la nr. 4).
- 9: Glogovik – după Vasić 2000, 15, fig. 2/12.
- 10: Branicevo, tum. 10, morm. 2 – după Dremsizova 1962, 176, fig. 18/5.
- 11–12: Koprince/Seuthopolis (Bulgaria), necropolă – după Woźniak 1975, 182, pl. 1/9–10.
- 13: Kugurlui (Moldova) – după Arnăut 2003, 395, fig. 72/dr.D.
- 14: Frumoasa (Moldova) – după Topal 2012, 170, fig. 2/5.
- 15–16: Stojkite (Bulgaria) – după Kis'ov 1989, 14, fig. 6/a-b.
- 17–18: Sveštari (Bulgaria) – după Mihaylova 1992, 92.
- 19: Tariverdi (România) – după Condurachi și colab. 1953, 133, fig. 32.
- 20: Zimnicea, morm. C10M55 – reproducere după original.
- 21: localitate necunoscută din Bulgaria – reproducere de F. Grofu, după Tănăsescu 2009, 142, nr. 27.
- 22: Banatska Palanka (Serbia) – după Berciu 1943, 283, fig. 2.
- 23: Măscăuți (Moldova) – după Niculiță 1987, 105, fig. 27/1.
- 24: Poiana (România) – după Vulpe, Teodor 2003, 207, nr. 13 fig. 92/4.
- 25: Răcățau (România) – după Căpitanu 1984, 64, fig. 1/3.
- 26: Veliko Tărnovo (Bulgaria) – după Stancev 2004, 158, pl. 1/9.

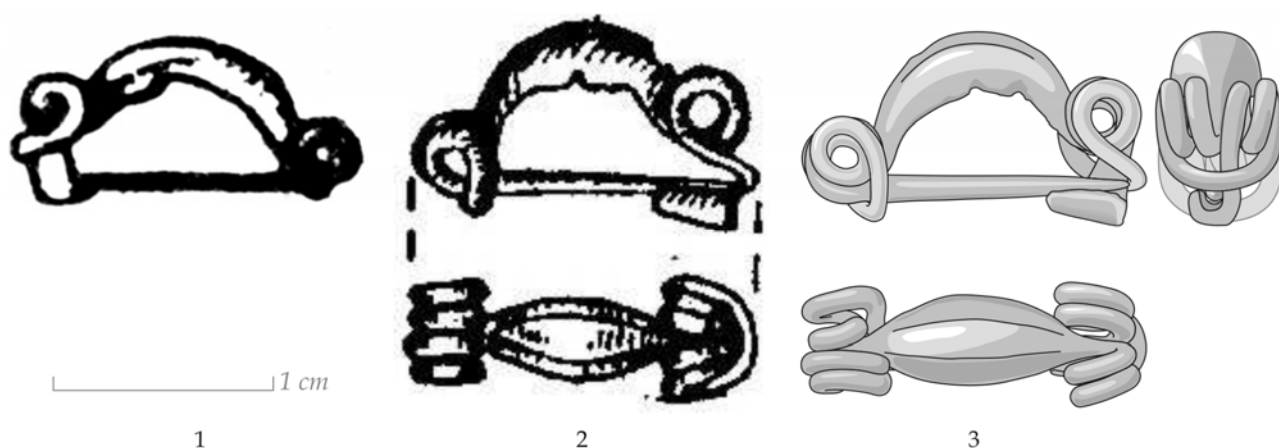


Fig. 1. Fibula cu două resorturi din mormântul C10M97 de la Zimnicea: (1) schița reproducă de Zirra 1971, fig. 23/69; (2) reproducere după Alexandrescu 1980, 100, fig. 49/1; (3) reproducere după original (D.S.).

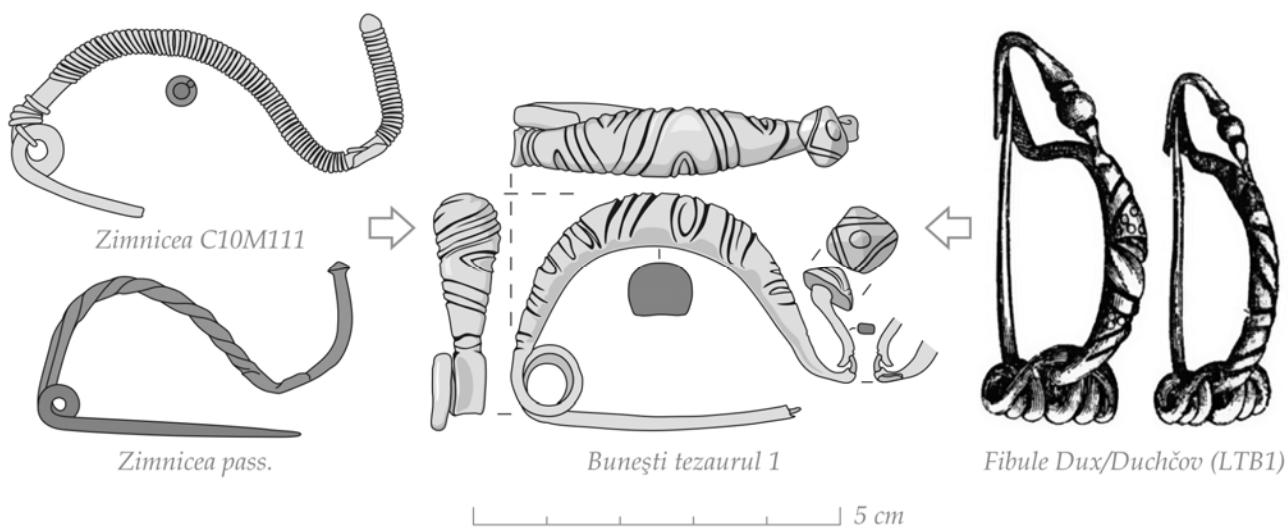


Fig. 2. Fibula mare din tezaurul 1 (locuința 21) de la Bunești (centru; reproducere după original D. S.); fibulele cu resort lateral și arc în trossadă de la Zimnicea (stânga sus: după Alexandrescu 1980, 96, fig. 45/14; stânga jos: reproducere după original); fibule de tip Dux/Duchčov (dreapta; după Filip 1956, fig. 26/6–7).

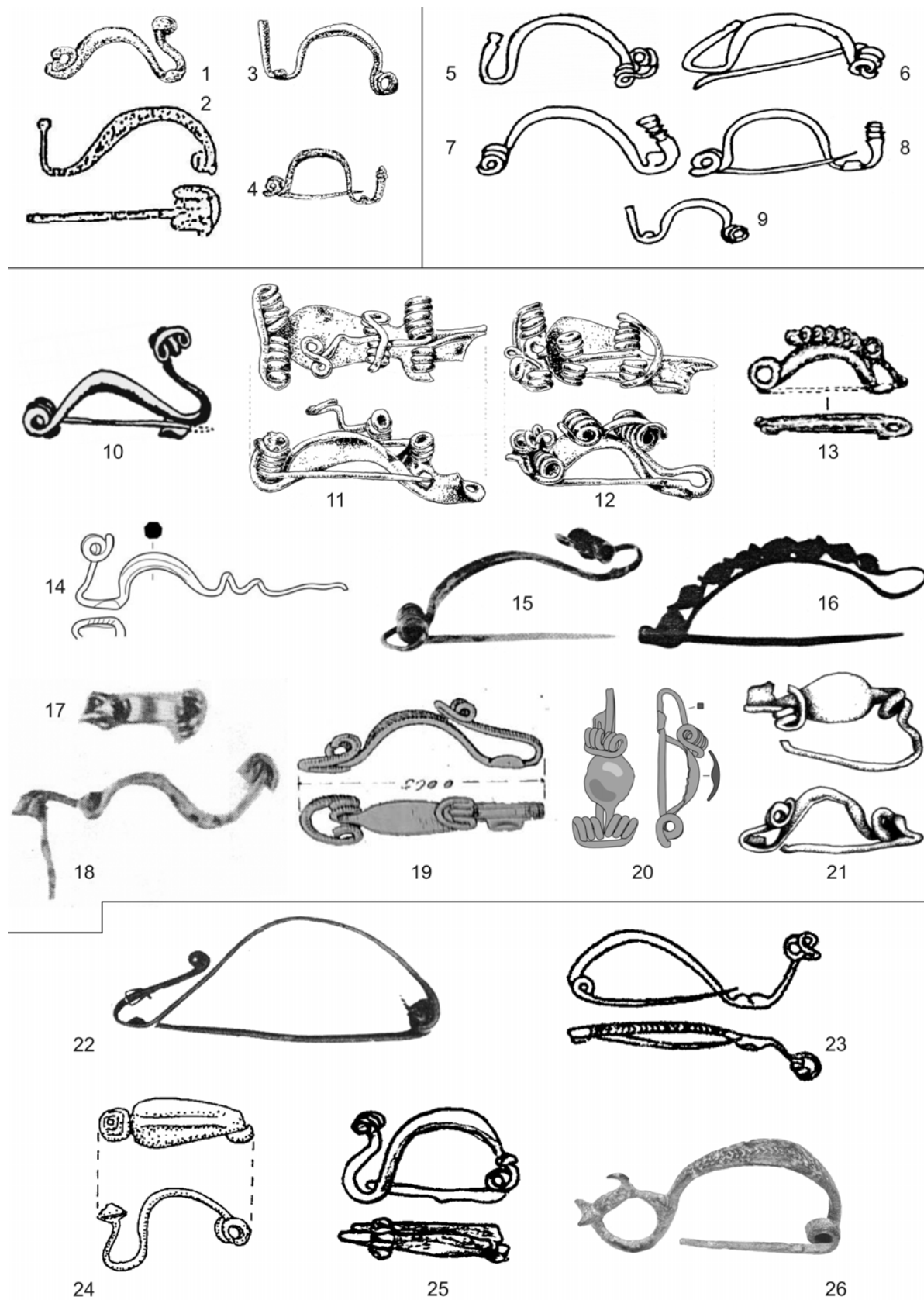


Fig. 3. Fibule considerate „hibride” de către Zirra (1–4, 21, 23), Vasić (5–9) sau „de tip hibrid” de către Măndescu (10–13; 15–26). 1–9: fibule de schemă timpurie La Tène; 10–21: fibule de schemă timpurie La Tène cu pseudo-resort la picior (Peschel tip A1-A2); 22–26: fibule cu resort lateral și picior ridicat („tracice”). Pentru sursele reproducerilor: anexa 1.



**ACADEMIA ROMÂNĂ**  
**INSTITUTUL DE ARHEOLOGIE „VASILE PÂRVAN”**

**MATERIALE**  
**ȘI**  
**CERCETĂRI**  
**ARHEOLOGICE**

**SERIE NOUĂ**  
**IX**

**2013**



**EDITURA ACADEMIEI ROMÂNE**  
**BUCUREȘTI, 2013**

## **Colegiul de redacție**

**PROF. DR. ALEXANDRU BARNEA** (Universitatea București), **DR. SANDA BALESCU** (Université des Sciences et Technologies de Lille, Laboratoire de Préhistoire et Quaternaire, CNRS), **PROF. DR. CLIVE BONSALL** (University of Edinburgh), **PROF. DR. NIKOLAUS BOROFFKA** (Deutsches Archäologisches Institut – Eurasien Abteilung, Berlin, Germany), **DR. GH. I. CANTACUZINO** (Institutul de „Arheologie Vasile Pârvan” București), **DR. UWE FIEDLER** (Berlin), **DR. RADU HARHOIU** (Institutul de Arheologie „Vasile Pârvan” București), **DR. ANNIE RENOUX** (Université du Maine, Le Mans), **PROF. DR. ERIK TRINKAUS** (Department of Anthropology, Washington University), **PROF. DR. ALAIN TUFFREAU** (Université des Sciences et Technologies de Lille, Laboratoire de Préhistoire et Quaternaire), **ACAD. ALEXANDRU VULPE** (Institutul de Arheologie „Vasile Pârvan” București).

## **Comitetul de redacție**

**ROXANA DOBRESCU** – redactor-șef

**ADRIAN IONIȚĂ** – redactor-șef adjunct

**IRINA ACHIM, ADINA BORONEANȚ, ADRIAN DOBOȘ, LIANA OȚA, ADRIANA PANAITE, DANIEL SPÂNU, VLAD VINTILĂ ZIRRA** – membri

**LILIANA ZAHARIA** – secretar de redacție

Redactor Editura Academiei Române: **ADRIAN MIRCEA DOBRE**

Tehnoredactor Editura Academiei Române: **DOINA STOIA**

Revista se poate procura contracost la sediul EDITURII ACADEMIEI ROMÂNE, Calea 13 Septembrie nr. 13, sector 5, 050711, București, România; tel. 4021-318 8146, 4021-318 8106, Fax 4021-318 2444, e-mail: [edacad@ear.ro](mailto:edacad@ear.ro).

ORION PRESS IMPEX 2000 S.R.L., P.O. Box 77-19, sector 3, București, România, Tel./Fax: 4021-610 6765, 4021-210 6787, Tel.: 0311 044 668, e-mail: [office@orionpress.ro](mailto:office@orionpress.ro).

S.C. MANPRES DISTRIBUTION S.R.L., Piața Presei Libere, nr. 1, Corp B, Etaj 3, Cam. 301–302, sector 1, București, România, tel./fax: (4021) 314 6339, e-mail: [abonamente@manpres.ro](mailto:abonamente@manpres.ro), [office@manpres.ro](mailto:office@manpres.ro), [www.romanianjournals.com](http://www.romanianjournals.com).

DEREX COM S.R.L., e-mail: [derex\\_com@yahoo.com](mailto:derex_com@yahoo.com)

Orice corespondență se va trimite Colegiului de redacție pe adresa: str. Henri Coandă 11, 010667 București, tel./fax 4021 212 88 62. și [redactie\\_iab@yahoo.com](mailto:redactie_iab@yahoo.com)

Normele de redactare a manuscriselor și lista abrevierilor folosite în revistă sunt în general aceleași ca în celelalte publicații ale Institutului de Arheologie. În măsura în care vom elabora alte norme, ne obligăm să le publicăm în numărul următor.

© 2013, EDITURA ACADEMIEI ROMÂNE

## SUMAR

ALAIN TUFFREAU, ROXANA DOBRESU, SANDA BALESCU, MĂDĂLIN CORNEL VĂLEANU, Boinești (département de Satu-Mare), Moustérien, Aurignacien et processus taphonomiques .....	7
ALEXANDRU CIORNEI, Petrografia silicolitelor din siturile Paleoliticului superior de pe Valea Dunării. Caracteristici și proveniență .....	41
MIHAI GLIGOR, MARIANA ROȘU, CĂLIN ȘUTEU, New Evidence on Burial Practices in Petrești Culture .....	67
CAMELIA-MIRELA VINTILĂ, CARMEN PAVEL, MARIAN NEAGU, Noi aspecte ale plasticii antropomorfe descoperite la Dunărea de Jos .....	83
ALIN FRÎNCULEASA, BIANCA PREDA, OCTAV NEGREA, ANDREI DORIAN SOFICARU, Cercetări arheologice în cimitirul din epoca bronzului târziu de la Câmpina (jud. Prahova) – campaniile 2011 și 2012 .....	97
DANIEL SPÂNU, Fibule „de tip hibrid”?	145
MIRCEA DABÎCA, Noi cercetări arheologice în partea de sud a cetății Histria. Campaniile 2003–2009 .....	157
ALEXANDRU BĂDESCU – Amfore orientale de tip Kapitän II descoperite la <i>Histria</i> în Sectorul <i>Basilica extra muros</i> .....	189
ANNAMARIA DIANA, MIHAI MEȘTER, Meeting an Early Medieval Community: A Preliminary Analysis of the Human Skeletal Remains from the Jucu Cemetery (Cluj-Napoca, Romania) .....	3; ;
BOGDAN CIUPERCĂ, ANDREI MĂGUREANU, EUGEN PAVELEȚ, DORIN SÂRBU, Cercetări arheologice în Curtea Domnească de la Târgșoru Vechi .....	219
RADU-ALEXANDRU DRAGOMAN, MIHAI FLOREA, Preambul la o cercetare arheologică a fostei colonii de muncă forțată din perioada comunistă de la Poarta Albă, România .....	231

## RECENZII

Laurent Carozza, Cătălin Bem, Cristian Micu (eds.), <i>Société et environnement dans la zone du Bas Danube durant le 5<sup>ème</sup> millénaire avant notre ère</i> , Editura Universității „Alexandru Ioan Cuza”, Iași, 2011, 413 p. (Cristian Eduard Ștefan) .....	243
<b>Abrevieri</b> .....	245



## SOMMAIRE

ALAIN TUFFREAU, ROXANA DOBRESU, SANDA BALESCU, MĂDĂLIN CORNEL VĂLEANU, Boinești (département de Satu-Mare), Moustérien, Aurignacien et processus taphonomiques .....	7
ALEXANDRU CIORNEI, Petrografia silicolitelor din siturile Paleoliticului superior de pe Valea Dunării. Caracteristici și proveniență.....	41
MIHAI GLIGOR, MARIANA ROȘU, CĂLIN ȘUTEU, New Evidence on Burial Practices in Petrești Culture .....	67
CAMELIA-MIRELA VINTILĂ, CARMEN PAVEL, MARIAN NEAGU, Several antropomorphic figurines found during the excavations on the Vidra tell .....	83
ALIN FRÎNCULEASA, BIANCA PREDA, OCTAV NEGREA, ANDREI DORIAN SOFICARU, Archaeological research in the Bronze Age cemetery at Câmpina (Prahova county) – campaigns 2011 și 2012.....	97
DANIEL SPÂNU, Fibule „de tip hibrid”? .....	145
MIRCEA DABÎCA, Les principaux résultats des fouilles menées entre 2003 et 2009 à Histria, dans le périmètre du Secteur sud .....	157
ALEXANDRU BĂDESCU – Amphoras Kapitân II discovered at Histria, in extra muros Basilica .....	189
ANNAMARIA DIANA, MIHAI MEȘTER, Meeting an Early Medieval Community: A Preliminary Analysis of the Human Skeletal Remains from the Jucu Cemetery (Cluj-Napoca, Romania) .....	3; ;
BOGDAN CIUPERCĂ, ANDREI MĂGUREANU, EUGEN PAVELEȚ, DORIN SÂRBU, Archaeological research Cercetări arheologice în Curtea Domnească de la Târgșoru Vechi.....	219
RADU-ALEXANDRU DRAGOMAN, MIHAI FLOREA, Preamble of planned archaeological research in the former forced labor camp from the communist period at Poarta Albă, Romania .....	231

## COMPTE-RENDUS

Laurent Carozza, Cătălin Bem, Cristian Micu (eds.), <i>Société et environnement dans la zone du Bas Danube durant le 5<sup>ème</sup> millénaire avant notre ère</i> , Editura Universității “Alexandru Ioan Cuza”, Iași, 2011, 413 p. (Cristian Eduard Ștefan) .....	243
<b>Abréviations</b> .....	245



# Noi cercetări arheologice în partea de sud a cetății Histria. Campaniile 2003–2009

MIRCEA DABÎCA\*

**Mots-clés** : Histria, Secteur Sud, extra-muros, plateforme, shiste, installation portuaire, incinte, sable.

**Résumé** : Cette contribution porte sur les principaux résultats des fouilles menées entre 2003 et 2009 à Histria, dans le périmètre du *Secteur sud*. Une première partie est dédiée à la présentation des découvertes sur le terrain à proximité de la *Tour K extra muros* du Secteur sud. L'information la plus significative qui se dégage suite à la recherche archéologique de cette zone spécifique de la cité grecque d'Histria est l'identification d'une plateforme réalisée en pierre roulée, le schiste vert, ayant une déclivité modérée vers le Sud. L'auteur reconnaît cet agencement anthropique tel qu'installation portuaire ou bien comme une infrastructure d'accotement dont la pleine période d'utilisation semble correspondre à la dernière étape de fonctionnement de la zone portuaire d'Histria (VI–VII apr. J.-C.).

La seconde partie de cette contribution traite la problématique de *l'enceinte romaine du Haut-Empire*. La reprise des fouilles dans ce secteur de la ville romaine d'Histria a eu comme but l'exploration archéologique systématique de l'aire située à l'extrémité sud de ce système défensif. L'objectif majeur des recherches de terrain était d'abord de déterminer le trajet exact de la muraille dans le périmètre sud de la ville, ainsi que la relation entre ce monument emblématique de la cité et la zone portuaire susceptible d'être située au sud de l'habitat urbain d'Histria.

**Cuvinte-cheie**: Histria, Sector Sud, extra-muros, platforme, sist, amenajare portuară, incintă, nisip.

**Rezumat**: Articolul de față prezintă rezultatele cercetărilor arheologice efectuate în perioada 2003–2009, în **Sectorul Sud** al cetății Histria. Prima parte cuprinde descoperirile arheologice din punctul **Turnul K-extra-muros**, unde au fost surprinse două faze ale unei platforme antropice din piatră rulată cu panta spre sud. Construcția identificată este în opinia autorului *o amenajare portuară sau un punct de acostament, probabil din ultima etapă de funcționare a zonei portuare histriene (secolele VI–VII p. Chr.)*. În partea a doua a articolului sunt prezentate rezultatele cercetărilor întreprinse în zona **Incintei romane timpurii**. Investigațiile arheologice au fost reluate, în acest punct, în vederea verificării unei informații mai vechi, conform căreia incinta, pe partea sudică, se pierde în nisip. Rezultatele obținute demonstrează că aceasta se termină constructiv, cu un capăt organizat, aflat pe marginea țărmului antic din perioada romană timpurie.

În anul 2003 a început cercetarea de teren a zonei situate la vest de turnul de colț K al incintei romane târzii de la Histria (pl. 1), inițial în cadrul unei colaborări cu sectorul *Basilica Pârvan*, condus de dr. Mircea V. Angelescu. Această nouă cercetare arheologică (devenită între timp un sector de sine-stătător, condus de Mircea Dabîca: **Sectorul Sud, Turnul K – Extra-muros** – pl. 2/1) a fost motivată de necesitatea verificării în teren a unei ipoteze de lucru emise cu ocazia cercetărilor întreprinse de Mircea V. Angelescu și colaboratorii săi în zona de sud-est a cetății romane târzii, ipoteză care va fi expusă în cele ce urmează.

Ca urmare a identificării unei a treia plinte sub faza B (datată în epoca Dioclețian – Constantin cel Mare) a incintei romane târzii (pl. 2/2), ne-am pus întrebarea dacă nu cumva plinta scoasă la lumină este un traseu mai vechi de zid refolosit în momentul construirii fazei B a incintei. Ar trebui adăugat și faptul că între fazele A (datată în vremea împăratului Probus) și B (încadrată cronologic în vremea împăraților Dioclețian – Constantin cel Mare) ale zidului de incintă roman târziu, în zona afectată astăzi sectorului de cercetare *Basilica Pârvan*, distanța dintre cele două trasee ale zidurilor de incintă este din ce în ce mai mică, până la estomparea sa totală și convergența perfectă a traseelor celor două opere defensive. O primă variantă de interpretare a acestei realități din teren ar fi aceea că în momentul ridicării fazei B era cunoscută existența unui zid mai vechi care ulterior a fost refolosit.

Pentru a se verifica validitatea ipotezei mai sus enunțate, s-a considerat necesară explorarea arheologică a zonei situate extra-muros la vest de turnul de colț K, în încercarea de a identifica un presupus zid mai vechi de incintă (posibil închiderea pe sud

\* Institutul de Arheologie „Vasile Pârvan” al Academiei Române, București; e-mail: mdabica@yahoo.com

a incintei romane timpurii, sau de ce nu, un zid datând din epoca greacă), zid care în mod logic ar fi trebuit să-și continue traseul spre vest trecând și prin acest perimetru.

În vederea atingerii obiectivului științific fixat, a fost practică secțiunea arheologică S1 (pl. 3/1) (19 x 1,5 m.) orientată nord-sud, perpendiculară pe obiectivul căutat, lângă baza turnului de colț K. După descoperirea celor două plinte ale turnului, a fost pusă în evidență (pl. 3/2-3) substructura turnului K realizată dintr-o rețea tip grilaj de bărne de lemn (aflate într-o stare de conservare relativ bună) și din dale mari de piatră (în partea de sud a turnului). Această rețea (pl. 4/1-5; pl. 5/1-2), alcătuită din două părți distincte, dar apropiate, este așezată pe un strat de nisip aproape pe toată lungimea ei, mai puțin în partea de sud a turnului (pl. 5/3-6) unde între bărne și nisip au fost identificate patru dale mari de piatră, orientate aproximativ est-vest (pl. 6/1-2). Descoperirea celor patru dale din piatră ne-a determinat inițial să credem că acestea făceau de fapt parte din structura fazei mai vechi a zidului de incintă.

În campania arheologică 2004, au fost practicate două secțiuni de verificare S2 (4 x 1,5 m) și S3 (4 x 1,5 m), situate la un metru vest de S1, sondaje care însă nu au mai confirmat continuarea spre vest a dalajului de piatră pomenit mai sus. Inexistența oricărei evidențe arheologice care să conducă la concluzia că elementele arhitecturale descrise mai sus făceau parte dintr-un sistem constructiv anterior (zid), a permis constatarea că acestea aveau doar rolul de a consolida suplimentar terenul cu o structură geologică improprie unei construcții defensive de anvergură de la colțul sudic al turnului de colț K al incintei romane târzii (zona indicată este una cu puternice depuneri aluvionare, rezultate ca urmare a retragerii apelor mării).

În anul 2005 s-a continuat verificarea ipotezei acestui probabil traseu de incintă înspre vest prin realizarea altor secțiuni arheologice S4 (23 x 1,5 m), S5 (20 x 1,5 m), S6 (22 x 1,5 m) la aproximativ 17 m de turn, însă într-o zonă afectată, așa cum am constatat ulterior, de depunerile de pământ din vechile săpături și de lucrările de restaurare și conservare ale incintei romane târzii din anii '70 ai secolului trecut. Explorarea perimetrului indicat a fost motivată și de necesitatea verificării rezultatelor unor prospecțiuni magnetometrice realizate anterior în această zonă<sup>1</sup>, care s-au dovedit a fi neconcludente.

În campania arheologică din anul 2006, a fost deschisă secțiunea arheologică S7 (20,5 x 1,5 m)

(pl. 7), secțiune aflată mult spre vest în raport cu zona anterior cercetată, la aproximativ 55 m distanță de Turnul de colț K al incintei romane târzii. În partea de sud a acestei secțiuni, într-o primă etapă a cercetării, a fost pusă în evidență o situație arheologică care se prezenta astfel: la adâncimea de 1,30 m față de nivelul actual de călcare a fost identificată o platformă de pietre, care se prezenta sub forma unui strat compact realizat din șist verde, ce descria o pantă de 20° spre sud, mărginită în aceeași direcție de o groapă de demantelare și de un strat compact de nisip (pl. 8/1-2). În extremitatea nordică a aceleiași secțiuni, au fost descoperite și două ziduri denumite convențional Z 1 și Z 2<sup>2</sup>, al căror traseu a fost verificat printr-o mică secțiune – caseta S 8 (4 x 2 m) (pl. 7) – amplasată paralel cu S 7 și aflată la doar un metru distanță spre vest.

În campania arheologică din 2007, verificând situația arheologică conturată în anul precedent, a fost scoasă la lumină o amenajare pe care până la proba contrarie am putea-o considera o instalație portuară sau un punct de acostament, datând probabil din ultima etapă de funcționare a zonei portuare histriene. Astfel, au fost practicate (pl. 7) trei noi secțiuni arheologice de verificare (S 9, S 10, S 11) și a fost reluată săpătura în S 7. Aici trebuie menționat faptul că, pe o distanță de 22 m, această amenajare (orientată est-vest) a fost identificată în toate cele patru secțiuni orientate nord-sud, ceea ce ne-a determinat să credem că ea se întinde pe o suprafață și mai vastă, atât spre vest, cât și spre est; lipsesc deocamdată indiciile care să valideze extinderea acestei platforme spre sud, cercetarea de teren fiind mult îngreunată în acest perimetru de pânza freatică aflată foarte aproape de suprafață.

În S 9 (pl. 7) (15 x 1,5 m, amplasată la o distanță de cinci metri vest de S 7), la adâncimi cuprinse între 1,20 / 1,68 m a fost identificat un nou segment din platforma descrisă anterior, având o înclinare mai puțin accentuată, de numai 10° spre sud și a cărei extindere am putut-o pune în evidență până în extremitatea sudică a secțiunii. Ca și amenajările similare descrise mai sus, această platformă este mărginită de un șanț de demantelare clar conturat, iar la nord de acesta a fost pus în evidență un strat compact de nisip (pl. 9/1-6; pl. 10.2). Analizând această situație arheologică și conturându-se mai clar ideea unei posibile amenajări portuare, a fost reluată cercetarea în secțiunea S 7 (pl. 7), unde după îndepărtarea unui strat compact de nisip, a fost identificată continuarea platformei

<sup>1</sup> Anghel 2007, p. 13-15.

<sup>2</sup> Pe baza criteriilor stratigrafice, aceste două structuri constructive pot fi încadrate cronologic în perioada romană târzie.

de pietre care cobora în pantă accentuată până în capătul sudic al secțiunii<sup>3</sup>. La fel ca și în cazul amenajării din secțiunea S9, platforma reperată în secțiunea S7 era mărginită la nord de un alt șanț de demantelare bine conturat, iar la nord de șanțul de demantelare se afla un strat de nisip (pl. 8/3–6; pl. 10/1).

În S 10, (14 × 2 m), la cinci metri vest de S 9, au fost puse în evidență două faze ale acestei amenajări portuare (pl. 7). Mai precis, situația arheologică descoperită face plauzibilă ipoteza reparării platformei nr. 1 (–1,25 / –1,58 m; cu o pantă de 12°) la un moment istoric încă greu de precizat (foarte probabil cândva în a doua jumătate a secolului VI p.Chr.), aceasta fiind suprapusă de platforma nr. 2 (–1,00 / –1,48 m; cu o pantă de 14°), de care o separă mai multe straturi de nisip (pl. 11/1–4; pl. 12/1–2). Materialul ceramic (în mare parte rulat și amestecat, la fel ca în celelalte secțiuni – fragmente ceramice preponderent romane târzii) descoperit pe aceste două faze ale amenajării portuare ar putea să ofere după o analiză mai amănunțită o datare de mai mare acuratețe a celor două momente de funcționare ale prezumtivei instalații portuare<sup>4</sup>.

O descoperire remarcabilă în această secțiune arheologică o reprezintă o monedă de aur, mai exact un *solidus* de la Theodosius al II-lea (408–450). Moneda (pl. 11/5–6) a fost descoperită la mică adâncime (–0,32 m), în extremitatea sudică a secțiunii (la o distanță de 0,61 m față de profilul sudic și 0,72 m față de profilul estic), într-un context arheologic nerelevant (într-un strat de pământ negru afânat, foarte probabil o depunere modernă). Chiar și în absența unui context arheologic foarte explicit, această descoperire monetară este importantă în sine, așa cum o demonstrează și analiza realizată de numismatul Th. Isvoranu<sup>5</sup> de la Institutul de Arheologie „Vasile Pârvan”, analiză din care rezultă că este vorba despre un *solidus* emis la Constantinopol între anii 408–419 (*DOC – LRC*) sau anii 408–420 (*RIC X*), de officina θ. Moneda are greutatea de 4,34 g și un diametru de 20,5 mm. Pe avers este reprezentat bustul cuirasat al

împăratului Theodosius al II-lea din față. Capul (cu coif cu panaș și diademă de perle) este ușor întors spre dreapta. În mâna dreaptă ține o lance rezemată pe umăr, iar în mâna stângă un scut. Pe revers se află Constantinopolis tronând, care ține în mâna dreaptă un sceptru, iar în mâna stângă un glob surmontat de Victoria care îi oferă cununa.

Ridicările topografice<sup>6</sup> realizate anual au permis observația că platformele realizate din pietre rulate (preponderent șisturi verzi) se întind pe o distanță considerabilă spre vest (pl. 7), dar existența lor la est se cerea confirmată prin extinderea cercetării în această zonă. Astfel, și de această dată, după un plan sistematic<sup>7</sup>, la cinci metri est de S 7, a fost realizată o nouă secțiune arheologică, S 11 (12 × 1,5 m) (pl. 7). În noul perimetru cercetat a fost pusă în evidență continuarea spre est a platformei de pietre, la adâncimea de 1,15 / 1,38 m și cu o pantă de 23°. Însă spre deosebire de situația din S 7 și S 9, în S 11, ca și în S 10, nu au mai fost identificate în cursul cercetării șanțuri de demantelare, singura fază a platformei de pietre rulate identificată fiind delimitată la nord doar de un strat compact de nisip (pl. 13/1–6; pl. 15/1).

Începând cu campania arheologică din 2008, cercetarea de teren în **Sectorul Sud** al cetății greco-romane Histria s-a axat pe două obiective principale. Primul dintre acestea a fost reprezentat de continuarea dezvelirii în suprafață, în zona *Turnul K – extra-muros*, a presupusei amenajări portuare, printr-o nouă secțiune arheologică, S 12 (pl. 7) de 20 × 1,5 m, situată la cinci metri vest de S 10. Aici, la o adâncime de 0,85 m în partea de nord și de 1,25 m în partea de sud a apărut *platforma nr. 1* probabil continuarea celei scoase la lumină în anul 2007 în S 10 care se prezintă tot sub forma unui strat compact de pietre rulate, cu o pantă spre sud de 13° și acoperită de un strat consistent de nisip, mărginită la nord de un posibil șanț de demantelare și de un strat compact de nisip, la fel ca în secțiunile descrise anterior).

Confirmându-se în mare măsură descoperirile din campania arheologică precedentă din S 10, am continuat cercetarea spre sud în S 12, unde la o adâncime de 0,75 m în partea de nord și de 1,35 m în partea de sud, a fost pusă în evidență și *platforma nr. 2* (identificată pentru prima dată în S 10), amenajare care se prezintă tot sub forma unui strat compact de pietre rulate cu o pantă spre sud de 18° și acoperită de nisip (pl. 14/1–6; pl. 15/2).

<sup>6</sup> Aceste lucrări au fost efectuate cu începere din 2008 de către C. Mehedințeanu, inginer topograf la Institutul Național al Patrimoniului din București.

<sup>7</sup> Secțiuni paralele practicate din cinci în cinci metri.

<sup>3</sup> În extremitatea sudică a secțiunii S7 platforma din pietre de șist a fost pusă în evidență la adâncimea de –1,55 m.

<sup>4</sup> Un argument suplimentar pentru identificarea unei amenajări cu rol portuar îl constituie tocmai înclinarea către sud a platformelor realizate preponderent din șisturi verzi rulate, zonă unde prospecțiunile geo-fizice întreprinse la mijlocul anilor '60 ai secolului trecut de către R. G. Merkle (cf. Theodorescu, 1970, p. 47 și nota 2) au indicat întinderea luciului de apă marină. Ipoteza lui R. G. Merkle este susținută de fapt de un argument de ordin geologic, și anume o cotă foarte joasă a stâncii native în tot perimetrul de la sud de cetate.

<sup>5</sup> Isvoranu, Dabîca 2009, p. 309–312.

Această situație arheologică inedită a fost cercetată în continuare prin deschiderea secțiunii arheologice S 13 (pl. 7), de  $20 \times 1,5$  m, situată tot la cinci metri vest de S 12. În partea de sud a acesteia, la o adâncime de 0,80 m în partea de nord și de 1,50 m în partea de sud, a fost dezvelită inițial doar *platforma nr. 2*, care se prezintă ca și în restul secțiunilor, sub forma unui strat compact de pietre rulate cu o pantă spre sud de  $12^\circ$ , și acoperită de un strat masiv de nisip.

În anul 2009 a fost reluată și finalizată cercetarea în secțiunea S 13, unde în partea de nord a secțiunii, după un strat compact de nisip, la o distanță de 2,50 m spre nord de platforma nr. 2, și la o adâncime de 0,70 m, avea să fie identificat doar un fragment aflat într-o stare precară de conservare din ceea ce ar fi putut fi *platforma nr. 1*, acoperită și limitată la nord de un strat de nisip (pl. 16/1–6; pl. 18/1). Printre materialele arheologice recoltate din această zonă se remarcă, alături de o cantitate apreciabilă de fragmente ceramice romane târzii rulate (databile în a doua jumătate a secolului VI), o serie de alte artefacte cum ar fi greutatea de năvoade și un cârlig de pescuit, indicii valoroase credem noi, ale funcționalității acestei structuri denumite generic *amenajare portuară*.

În secțiunea arheologică S 14 (pl. 7) ( $21 \text{ m} \times 1,5 \text{ m}$ ), practică la cinci metri vest de S 13, orientată ca și celelalte nord-sud, dar poziționată mai la sud, a fost descoperită în jumătatea sudică a secțiunii, la adâncimi variabile, cuprinse între 0,71 m/1,00 m, platforma nr. 1. La sud de aceasta, la adâncimi cuprinse între 0,85 m/1,23 m a fost pusă în evidență *platforma nr. 2*. Tot așa cum am putut constata în secțiunile descrise mai sus, platformele se prezintă sub forma unui strat compact de pietre rulate, cu o pantă spre sud de  $12^\circ$  (platforma nr. 1) și  $17^\circ$  (platforma nr. 2) acoperite de un strat consistent de nisip, ce conținea numeroase fragmente ceramice rulate, de epocă romană, între cele două momente ale platformei existând un strat de nisip gros de 0,20 m (pl. 17/1–6; pl. 18/2).

O concluzie preliminară se desprinde din realitățile de teren înfățișate mai sus: situația arheologică conturată în secțiunea S 14 concordă cu cea din S 10, unde putem afirma clar existența a două momente de funcționare ale presupusei amenajări portuare, dintre care unul ar putea fi considerat un moment de refacere a instalației inițiale. Faptul că cele două platforme dezvelite în secțiunea S 14 sunt poziționate mult mai la sud în raport cu cele din primele secțiuni cercetate, ar putea să constituie un argument pertinent în favoarea ipotezei existenței a două sau mai multor momente de funcționare ale amenajării cu destinație portuară. De asemenea, în

absența unei imagini mai cuprinzătoare pe care ar fi putut-o oferi o săpătură în suprafață (pl. 7), putem doar specula existența mai multor linii diferite ale țărmului antic în această parte de sud a cetății, prea puțin sau deloc cercetată din punct de vedere arheologic. Nu este însă exclus ca la un anumit moment, poate în a doua jumătate a secolului VI p. Chr., după înnisiparea platformei nr. 1, datorită fluctuației nivelului apei mării și ca urmare a liniei țărmului, pe noua plajă rezultată la sud să se înceapă construcția uneia noi, posibil la începutul secolului VII p. Chr. A fost astfel amenajată platforma nr. 2 și este de asemenea posibil ca și aceasta să fi fost deplasată la un moment dat, din aceleași motive, mai la sud. Se conturează, din punctul nostru de vedere, tot mai clar ideea că această ultimă amenajare portuară de la Histria este amplasată în zona orașului antic unde a existat, la un moment dat, portul cetății sau măcar unul dintre bazinele sale portuare<sup>8</sup>. O serie de argumente factuale vin în sprijinul ipotezei noastre: o amenajare sub forma unui strat compact de pietre rulate a fost scoasă la iveală pe o lungime apreciabilă, de 41,5 m (pl. 7); platforma prezintă o pantă lejeră spre sud<sup>9</sup>, arie unde indicii de natură geologică<sup>10</sup> permit observația că în perioada antică se întindea apa mării; platforma realizată din pietre rulate a fost ulterior acoperită de un strat consistent de nisip, care conținea numeroase fragmente ceramice romane rulate; platforma amintită mai sus suferă la un anumit moment o reparație ca urmare a procesului de înnisipare și de deplasare a liniei țărmului la momentul repunerii sale în funcțiune. Toate aceste indicii din teren ne îndreptătesc să vorbim despre o posibilă ultimă amenajare portuară a cetății Histria (în fapt, o continuitate a acestei zone din punct de vedere funcțional), datând cel mai posibil din epocă romană târzie (secolele VI–VII p. Chr.) și, nu în ultimul rând, de limita sudică a cetății identificată arheologic.

Din anul 2008, printre obiectivele de cercetare din **Sectorul Sud** al cetății Histria s-a aflat reluarea săpăturilor în zona **Incintei romane timpurii**, mai exact în capătul sudic al acesteia (pl. 19/1). Explorarea arheologică a acestui monument a avut ca punct de pornire indicii oferite de un document de natură fotografică realizat în anul 1931 (fotografie aeriană inedită, realizată de armată pl. 19/2).

<sup>8</sup> Dabica 2010, p. 381–393.

<sup>9</sup> Ștefan 1982, p. 608. În vocea dedicată porturilor, autorul menționează „platforme în trepte până la partea superioară a digului” și „platforme la nivelul apei” ca dispozitive pentru eficientizarea operațiunilor portuare de descărcare – încărcare a mărfurilor.

<sup>10</sup> Vezi mai sus nota 4.

Pentru a aduce unele lămuriri cu privire la amplasarea portului antic pe flancul sudic al cetății romane timpurii s-a considerat astfel necesară reinvestigarea extremității sudice a incintei romane timpurii.

Ar trebui menționat de la început că în aria incintei romane timpurii au fost întreprinse cercetări de teren încă din deceniul al patrulea al secolului trecut<sup>11</sup>, de către Scarlat și Marcelle Lambrino<sup>12</sup>. La o analiză mai atentă a textului lui Gr. Florescu<sup>13</sup>, căruia îi datorăm o primă contribuție științifică cu privire la situația incintei romane timpurii, putem constata că autorul menționat nu excludea posibilitatea ca extremitatea sudică a incintei să poată fi plasată în teren acolo unde începea de fapt linia țărmului antic, cu alte cuvinte într-o zonă cu valențe portuare.

*„Pe platoul dinspre V de cetate, la cca 370 m de zidul ei, Vasile Pârvan făcând o secțiune sondaj peste creasta de teren care traversa platoul cam de la NS a descoperit un zid gros cu direcția însăși a acestei creste.”...*

*„Între anii 1927–1944 zidul a fost eliberat de dărâmături pe fața lui exterioară pe o bună porțiune înspre capătul lui de S. Aici pierzându-se, s-a încercat să i se ia urma pe fața interioară.”...*

*„Săpăturile (începute în 1949) au început de la capătul dinspre S al zidului și i-au dezvelit ambele fețe până la capătul de N, adică pe o lungime de 350 m. Capetele propriu-zise ale zidului nu s-au găsit pentru că sunt dărâmate, iar temelia, la N, se pierde în nisipul lacului actual, Sinoe, iar la S, în terenul aluvionar. Încercările de a o urmări n-au izbutit din cauza apei care și la S apare la cca 1,20 m de la suprafața actuală a solului. **E foarte probabil deci că zidul, atât la N, cât și la S, se oprea în marginea apei, pe atunci țărmul mării.**”...*

*„Începând de la capătul de N, traseul zidului este orientat de la NE spre SV până la turnul L. Aici își schimbă direcția spre S până la turnul C, unde din nou își schimbă direcția apucând spre SE. Aceste schimbări de direcție se explică prin forma terenului, zidul urmând linia mai înaltă a solului.”<sup>14</sup>*

Astfel, reinvestigarea arheologică a incintei romane timpurii a început prin reddezvelirea, după mai mulți ani, a extremității sale sudice. O primă secțiune a fost practică perpendicular pe incintă între turnul-bastion A și extremitatea sudică a zidului. Secțiunea S1 (pl. 20/1) are 15 m lungime și

o lățime de 1,5 m, fiind orientată NE–SV. În cursul cercetării au fost reidentificate șanțurile executate cu ocazia cercetărilor anterioare din cursul secolului XX; totodată, au fost puse în evidență o serie de elemente referitoare la structura constructivă a acesteia (cele două paramente și emplectonul), precum și fazele ei de funcționare (două momente documentate arheologic, care se încadrează cronologic în intervalele 100–170 p.Chr. și 170–250 p.Chr.<sup>15</sup> (pl. 21/1–4). O zonă masivă de dărâmătură a fost documentată arheologic la o adâncime de circa 0,75 m față de nivelul actual de călcare. S-a putut însă constata că relația stratigrafică a stratului de dărâmătură cu monumentul în sine a fost iremediabil afectată de cercetările mai vechi efectuate de-a lungul paramentelor zidului de incintă (pl. 24/1). De asemenea, s-a putut constata că stratul de dărâmătură este mult mai consistent în zona extra-muros. Pentru a putea pune în evidență cele două paramente și plintele incintei, au fost golite șanțurile din vechile săpături, iar în adâncime cercetarea noastră a continuat până la identificarea unui strat de nisip nederanjat și ulterior până la nivelul pânzei freatice (aflată la o adâncime medie de 1,25 m).

În partea vestică a secțiunii S 1 (extra-muros), la adâncimea de 0,70 m, stratul de dărâmătură este mult mai consistent și prezintă o pantă spre vest, ceea ce ar putea însemna că, aici, această dărâmătură a căzut peste primul șanț de apărare al incintei documentat arheologic (pl. 20/2) de săpăturile Mariei Coja de la începutul anilor '60<sup>16</sup>. Sub acest nivel de dărâmătură s-a constatat prezența unui strat consistent de nisip în cantitate apreciabilă, ce conținea numeroase fragmente ceramice romane timpurii, dintre care unele rulate. O situație similară a putut fi pusă în evidență pe cale arheologică și în partea estică (intra-muros), unde la adâncimea medie de 1,35 m cercetarea a fost sistată aproape de nivelul pânzei freatice.

Precizăm că în profilului nord al S 1 au fost identificate contrafortul turnului-bastion A cu plinta sa (extra-muros) (pl. 21/3; pl. 22/1), precum și zidul sudic al turnului-bastion A (intra-muros) (pl. 21/4; pl. 22/1). Ambele paramente au fost realizate din piatră de șist verde, într-o tehnică constructivă identică cu cea folosită în cazul paramentului interior al celei de-a doua faze a incintei romane timpurii (aceasta este posterioară atacurilor marcomanice și se plasează cronologic în intervalul cronologic 170–250 p.Chr.).

O secțiune de verificare, S4 (pl. 20/1), a extremității sudice a zidului de incintă roman timpuriu a

<sup>11</sup> Aceste cercetări au permis punerea în evidență a paramentului exterior al incintei romane timpurii.

<sup>12</sup> Mulțumesc pe această cale domnului dr. Mircea Victor Angelescu pentru această informație obținută în urma comparării fotografiilor aeriene de arhivă din diferite perioade de la Histria.

<sup>13</sup> Florescu 1954, p. 285–286.

<sup>14</sup> Florescu 1954, p. 285–286.

<sup>15</sup> Suceveanu, Angelescu 1994, p. 195–208.

<sup>16</sup> Coja 1970, p. 203, fig. 19.



fost practică la doi metri SE de S1. Aceasta, orientată NE-SV, are lungimea de 15 m, lățimea de 2 m și este plasată perpendicular pe capătul sudic al incintei (pl. 21/5-6). În cadrul acestei secțiuni s-a urmărit aceeași problemă ca și în cea precedentă și, așa cum a putut fi dovedit în cursul ultimelor cercetări (pl. 23/1-5; pl. 22/2), incinta prezintă la capătul său sudic un parament realizat din piatră de șist verde într-o tehnică constructivă identică cu cea a paramentelor puse în evidență pe alte tronsoane de pe laturile de vest și est ale zidului, respectiv același moment cronologic (170-250 p.Chr.).

În perimetrul secțiunii S4 (pl. 24/2) atât în partea extra-muros, cât și în cea intra-muros, cercetarea arheologică a permis identificarea unui nivel de dărâmtură, aflat la adâncimea de 0,75 m (în zona extra-muros), respectiv 0,95 m (în zona intra-muros). Nivelul pânzei freatice a fost atins doar în partea centrală a secțiunii – zona ce corespunde extremității sudice a incintei –, care în antichitate, credem noi, atingea țărmul mării.

O serie de remarci se impun la finalul acestei expuneri. În termeni de topografie antică, în partea de sud a cetății Histria, în spațiul aflat între Incinta romană târzie și cea romană timpurie o vastă suprafață cu o lungime de aproximativ 350 m pare să fie propice, în viziunea noastră, amplasării unui bazin portuar<sup>17</sup>. Un argument suplimentar în sprijinul acestei ipoteze îl constituie tocmai cercetările noastre din anii 2006-2010 din Sectorul Sud al cetății Histria. Rezultatele acestora<sup>18</sup> au condus, așa cum am demonstrat mai sus, la surprinderea arheologică a unei amenajări antropice a plajei cu piatră, într-o perioadă ce poate fi plasată cronologic în secolul VI p. Chr. și la începutul secolului următor. Amenajarea cu piatră a plajei a suferit una sau chiar două reparații, pentru a facilita acostarea unor ambarcațiuni de mici dimensiuni, poate cu scop pescăresc. Pe de altă parte, cercetările de până acum au arătat faptul că în zona avută în vedere nu există alte structuri constructive. Toate aceste date pot fi coroborate cu rezultatele cercetărilor mai recente, care au demonstrat că incinta romană timpurie se termină constructiv și nu se pierde în nisip, așa cum se considera până nu demult. Această ultimă descoperire este, credem noi, un argument în plus, pentru postularea existenței unui bazin portuar în sudul cetății Histria, incinta oprindu-se constructiv acolo unde la momentul punerii sale în operă (epoca romană timpurie) se întindea apa mării.

<sup>17</sup> Dabica 2010, p. 381-388.

<sup>18</sup> Dabica 2009, p. 132-133; Dabica 2010, p. 82-84.

## BIBLIOGRAFIE

- Anghel 2007 – S. Anghel, *Studii geofizice complexe pentru evidențierea și studierea vestigiilor antice în cadrul sitului arheologic „Cetatea Histria”*, Institutul Național de Cercetare dezvoltare pentru Geologie și Geoecologie Marină – GeoEcoMar, București, 2007.
- Coja 1970 – M. Coja, *Sectorul Z 2 (1960, 1961, 1963)*, MCA 9, 1970, p. 202-209.
- Dabica 2009 – M. Dabica, *Histria, Sector Sud*, CCA (campania 2008, București) 2009, p. 132-133.
- Dabica 2010 – M. Dabica, *Histria, Sector Sud*, CCA (campania 2009, București) București, 2010, p. 82-84.
- Dabica 2010 – M. Dabica, *Hypotheses for the Location of the Harbor at Istros*, în M. V. Angelescu, I. Achim, A. Băltăc, V. Rusu-Bolindeț & V. Bottez (eds.), *Antiquitas istro-pontica. Mélanges d'archéologie et d'histoire ancienne offerts à Alexandru Suceveanu*, Cluj-Napoca 2010, p. 381-393.
- Florescu 1954 – Gr. Florescu, *Histria. Monografie Arheologică*, I, București, 1954.
- Isvoranu, Dabica 2009 – Th. Isvoranu, M. Dabica, *O monedă de aur din sec. V p.Chr. descoperită la Histria*, în Tyrageia, S.N. III [XVIII], 1, 2009, p. 309-312.
- Ștefan 1982 – Al. Simion Ștefan, s.v. *Porturile*, în *Enciclopedia Civilizației Romane*, București, 1982.
- Suceveanu, Angelescu 1994 – Al. Suceveanu, M. V. Angelescu, *Nouvelles données concernant Histria à l'époque romaine*, în Ktema. Civilisations de l'Orient, de la Grèce et de Rome antiques 19, 1994, p. 195-208.
- Theodorescu 1970 – D. Theodorescu, *Notes Histriennes*, RA, 1970, p. 29-48.

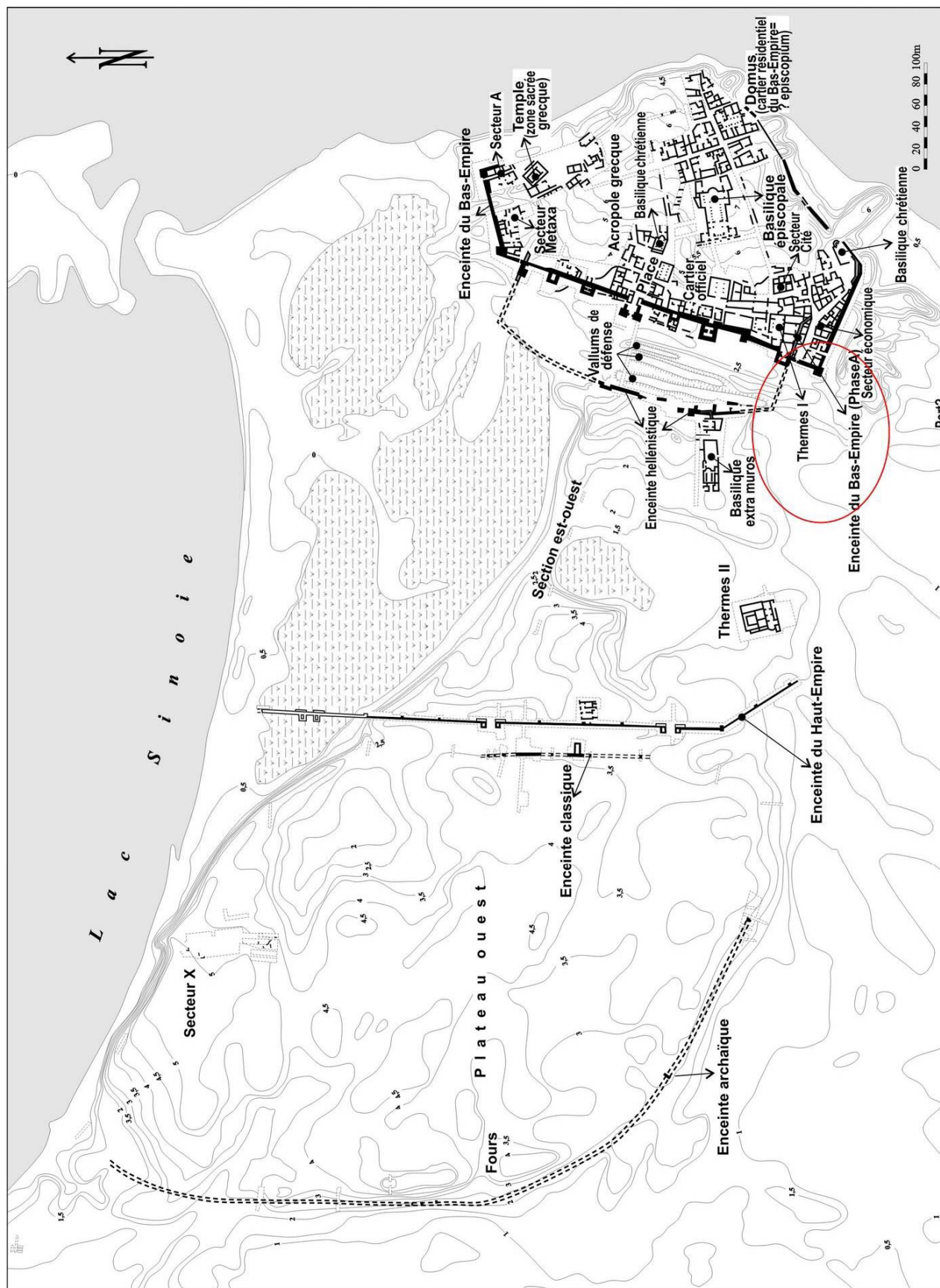
## LISTA PLANȘELOR

- Pl. 1. Histria. Plan general al săpăturilor (după Al. Suceveanu, Histria XIII).
- Pl. 2. 1 Histria. Sector Sud. Turnul K-Extra-Muros (Google Earth); 2 Histria. Fazele A și B ale Incintei romane târzii (foto Mircea V. Angelescu).
- Pl. 3. 1 S1 imagine de ansamblu privită dinspre nord-vest 2 S1 imagine de ansamblu cu toate barnele dinspre nord; 3. S1 imagine de ansamblu dinspre nord.
- Pl. 4. 1 S1 detaliu barne cu zona de întâlnire dintre cele două părți; 2 S1 detaliu bârnă; 3 S1 detaliu bârnă; 4 S1 detaliu îmbinare barne; 5 S1 detaliu îmbinare barne.
- Pl. 5. 1 S1 detaliu îmbinare barne; 2 S1 detaliu cu zona de apropiere a celor două părți distincte din sistemul de barne; 3 S1 detaliu cu partea a doua a sistemului de barne (barne și dale piatră); 4. S1 detaliu cu partea a doua a sistemului de barne (dale piatră); 5 S1 detaliu cu partea a doua a sistemului de barne privită dinspre nord; 6. S1 detaliu cu partea a doua a sistemului de barne privită dinspre sud.
- Pl. 6. 1 S1 profil nord; 2 S1 secțiune transversală est-vest.
- Pl. 7. Histria Sector Sud TK-EM. Plan general al secțiunilor arheologice din campaniile 2006-2009.
- Pl. 8. 1 S7 detaliu din prima etapă de cercetare; 2 S7 detaliu din prima etapă de cercetare; 3 S7 imagine de ansamblu dinspre sud; 4 S7 imagine de ansamblu dinspre nord; 5 S7 detaliu platforme piatră. S7 detaliu platforme piatră.
- Pl. 9. 1. S9 imagine de ansamblu dinspre sud; 2. S9 imagine de ansamblu dinspre nord; 3. S9 detaliu platformă piatră dinspre sud; 4. S9 detaliu platformă piatră dinspre sud; 5. S9 detaliu platformă piatră; 6. S9 detaliu platformă piatră.

- Pl. 10. 1. S7 profil vest; 2. S9 profil vest.
- Pl. 11. 1. S10 imagine de ansamblu dinspre nord; 2. S10 imagine de ansamblu dinspre sud; 3. S10 detaliu platforme piatră dinspre nord; 4. S10 detaliu platforme piatră dinspre sud; 5. solidus Theodosius al II-lea avers; 6. solidus Theodosius al II-lea revers.
- Pl. 12. 1. S10 profil vest; 2. S10 profil sud, dintre platforme.
- Pl. 13. 1. S11 imagine de ansamblu dinspre sud; 2. S11 imagine de ansamblu dinspre nord; 3. S11 detaliu platformă piatră dinspre nord; 4. S11 detaliu platformă piatră dinspre nord; 5. S11 detaliu platformă piatră; 6. S11 detaliu platformă piatră.
- Pl. 14. 1. S12 imagine de ansamblu dinspre nord; 2. S12 imagine de ansamblu dinspre sud; 3. S12 detaliu platforma 2 dinspre sud; 4. S12 detaliu platforma 1 dinspre sud; 5. S12 detaliu platforma 1 dinspre nord; 6. S12 detaliu platforma 2 dinspre nord.
- Pl. 15. 1. S11 profil vest; 2. S12 profil vest.
- Pl. 16. 1. S13 imagine de ansamblu dinspre sud; 2. S13 imagine de ansamblu dinspre nord; 3. S13 detaliu platforma 2; 4. S13 detaliu platforma 2; 5. S13 detaliu rest platforma 1; 6. S13 detaliu rest platforma 1.
- Pl. 17. 1. S14 imagine de ansamblu dinspre sud; 2. S14 imagine de ansamblu dinspre nord; 3. S14 detaliu platforma 1; 4. S14 detaliu platforma 2; 5. S14 detaliu platforma 2; 6. S14 detaliu posibil început platforma 3.
- Pl. 18. 1. S13 profil vest; 2. S14 profil vest.
- Pl. 19. 1. Histria. Sector Sud. Incinta Romană Timpurie (Google Earth); 2. Fotografie aeriană inedită Lambrino din anii 1931–1935. Detaliu (Mircea V. Angelescu).
- Pl. 20. 1. Histria. Sector Sud Incinta Romană Timpurie. Plan general al secțiunilor arheologice din campaniile 2008–2009; 2. Planul Sectorului Z 2 cu cele 2 șanțuri de apărare ale Incintei Romane Timpurii, apud Maria Coja, 1970.
- Pl. 21. 1. S1 imagine de ansamblu dinspre est; 2. S1 imagine de ansamblu dinspre vest; 3. S1 detaliu pinten-contrafort; 4. S1 detaliu zid sudic al turnului-bastion A; 5. S4 imagine de ansamblu dinspre est; 6. S4 imagine de ansamblu dinspre vest.
- Pl. 22. 1. S1 secțiune transversală; 2. S4 relevu architectural capătul sudic al Incintei Romane Timpurii.
- Pl. 23. 1. Imagine de ansamblu a capătului sudic al Incintei Romane Timpurii. 2. Detaliu capătul sudic al Incintei Romane Timpurii; 3. Detaliu capătul sudic al Incintei Romane Timpurii; 4. Detaliu capătul sudic al Incintei Romane Timpurii; 5. Detaliu capătul sudic al Incintei Romane Timpurii.
- Pl. 24. 1. S1 profil nord; 2. S4 profil nord.

## LISTE DES PLANCHES:

- Pl. 1. Histria. Plan général des fouilles (A.Suceveanu, Histria XIII).
- Pl. 2. 1. Histria. Secteur Sud. Tour K-Extra-Muros (Google Earth); 2. Histria. Phases A et B de l'enceinte du Bas Empire (photo Mircea V. Angelescu).
- Pl. 3. 1. S1 image générale vue du N-O; 2. S1 image générale des poutres vers le N; 3. S1 image générale vue du N.
- Pl. 4. 1. S1 détail des poutres dans la zone où les deux parties se rencontrent; 2. S1 détail poutre; 3. S1 détail poutre; 4. S1 détail de la jointure des poutres; 5. S1 détail de la jointure des poutres.
- Pl. 5. 1. S1 détail de la jointure des poutres; 2. S1 détail de la zone de rapprochement des deux parties distinctes du système des poutres; 3. S1 détail de la deuxième partie du système des poutres (poutres et dalles en pierre); 4. S1 détail de la deuxième partie du système des poutres (dalles en pierre); 5. S1 détail de la deuxième partie du système des poutres vue du N; 6. S1 détail de la deuxième partie du système des poutres vue du S.
- Pl. 6. 1. S1 profil N; 2. S1 section transversale E-O.
- Pl. 7. Histria Secteur Sud TK-EM. Plan général des sections archéologiques 2006–2009.
- Pl. 8. 1. S7 détail de la première étape de la recherche; 2. S7 détail de la première étape de la recherche; 3. S7 image générale vue du S; 4. S7 image générale vue du N; 5. S7 détail plateformes en pierre; 6. S7 détail plateforme en pierre.
- Pl. 9. 1. S9 image générale vue du S; 2. S9 image générale vue du N; 3. S9 détail plateforme en pierre vue du S; 4. S9 détail plateforme en pierre vue du S; 5. S9 détail plateforme en pierre; 6. S9 détail plateforme en pierre.
- Pl. 10. 1. S7 profil O; 2. S9 profil O.
- Pl. 11. 1. S10 image générale vue du N; 2. S10 image générale vue du S; 3. S10 détail plateforme en pierre vue du N; 4. S10 détail plateforme en pierre vue du S; 5. Avers du solidus de Théodose II; 6. Revers du solidus de Théodose II.
- Pl. 12. 1. S10 profil O; 2. S10 profil S, entre les plateformes.
- Pl. 13. 1. S11 image générale vue du S; 2. S11 image générale vue du N; 3. S11 détail plateforme en pierre vue du N; 4. S11 détail plateforme en pierre vue du N; 5. S11 détail plateforme en pierre; 6. S11 détail plateforme en pierre.
- Pl. 14. 1. S12 image générale vue du N; 2. S12 image générale vue du S; 3. S12 détail Plateforme no. 2 vue du S; 4. S12 détail Plateforme no. 1 vue du S; 5. S12 détail Plateforme no. 1 vue du N; 6. S12 détail Plateforme no. 2 vue du N.
- Pl. 15. 1. S11 profil O; 2. S12 profil O.
- Pl. 16. 1. S13 image générale vue du S; 2. S13 image générale vue du N; 3. S13 détail Plateforme no. 2; 4. S13 détail Plateforme no. 2; 5. S13 détail segment de la Plateforme no. 1; 6. S13 détail segment de la Plateforme no. 1.
- Pl. 17. 1. S14 image générale vue du S; 2. S14 image générale vue du N; 3. S14 détail de la Plateforme no. 1; 4. S14 détail de la Plateforme no. 2; 5. S14 détail de la Plateforme no. 2; 6. S14 détail de ce qui pourrait être le début de la Plateforme no. 3.
- Pl. 18. 1. S13 profil O; 2. S14 profil O.
- Pl. 19. 1. Histria. Secteur Sud. L'enceinte du Haut Empire (Google Earth); 2. Photographie aérienne inédite des années 1931–1935. Détail (Mircea V. Angelescu).
- Pl. 20. 1. Histria. Secteur Sud. L'enceinte du Haut Empire. Plan général des sections archéologiques 2008–2009; 2. Plan du Secteur Z 2, avec les deux fosses de défense de l'enceinte du Haut Empire, apud Maria Coja, 1970.
- Pl. 21. 1. S1 image générale vue de l'E; 2. S1 image générale vue de l'O; 3. S1 détail de l'éperon-contrefort; 4. S1 détail du mur S de la tour-bastion A; 5. S4 image générale vue de l'E; 6. S4 image générale vue de l'O.
- Pl. 22. 1. S1 section transversale; 2. S4 relevé architectural de l'extrémité S de l'enceinte du Haut Empire.
- Pl. 23. 1. Image générale de l'extrémité S de l'enceinte du Haut Empire. 2. Détail de l'extrémité S de l'enceinte du Haut Empire; 3. Détail de l'extrémité S de l'enceinte du Haut Empire; 4. Détail de l'extrémité S de l'enceinte du Haut Empire; 5. Détail de l'extrémité S de l'enceinte du Haut Empire.
- Pl. 24. 1. S1 profil N; 2. S4 profil N.



Pl. 1. Histria. Plan general al săpăturilor. (după Al. Suceveanu, Histria XIII).





Pl. 2. 1. Histria. Sectorul Sud. Turnul K-Extra-Muros (Google Earth);  
2. Histria. Fazele A și B ale Incintei romane târzii (foto Mircea V. Angelescu).





1



2



3

Pl. 3. 1. S1 imagine de ansamblu privită dinspre nord-vest; 2. S1 imagine de ansamblu cu toate barnele dinspre nord; 3. S1 imagine de ansamblu dinspre nord.



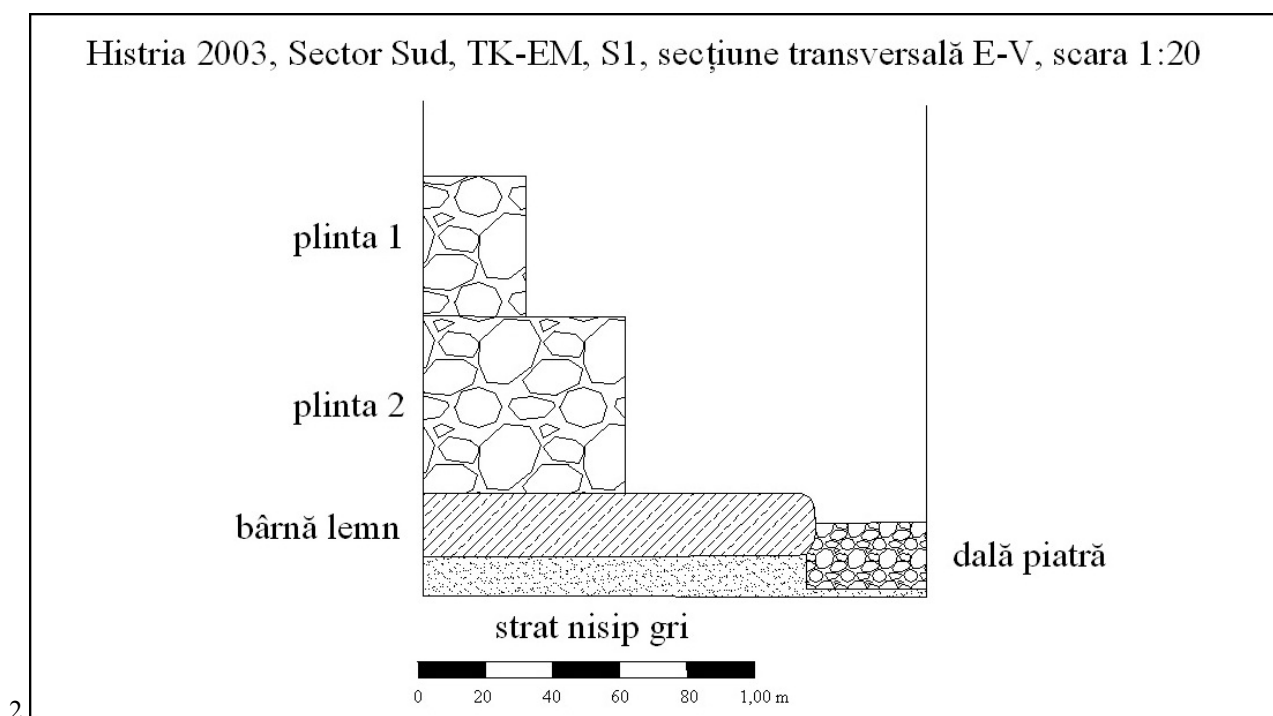
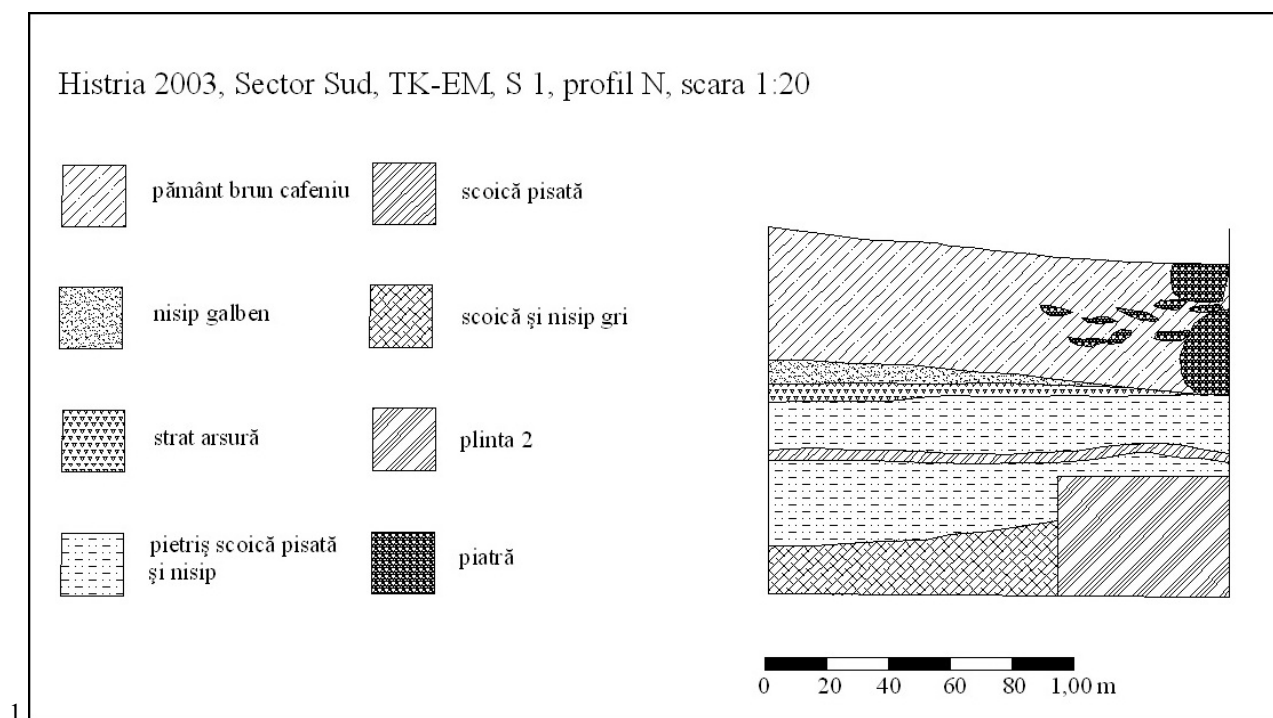


Pl. 4. 1. S1 detaliu bârne cu zona de întâlnire dintre cele două părți; 2, 3. S1 detaliu bârnă;  
4, 5. S1 detaliu îmbinare bârne.

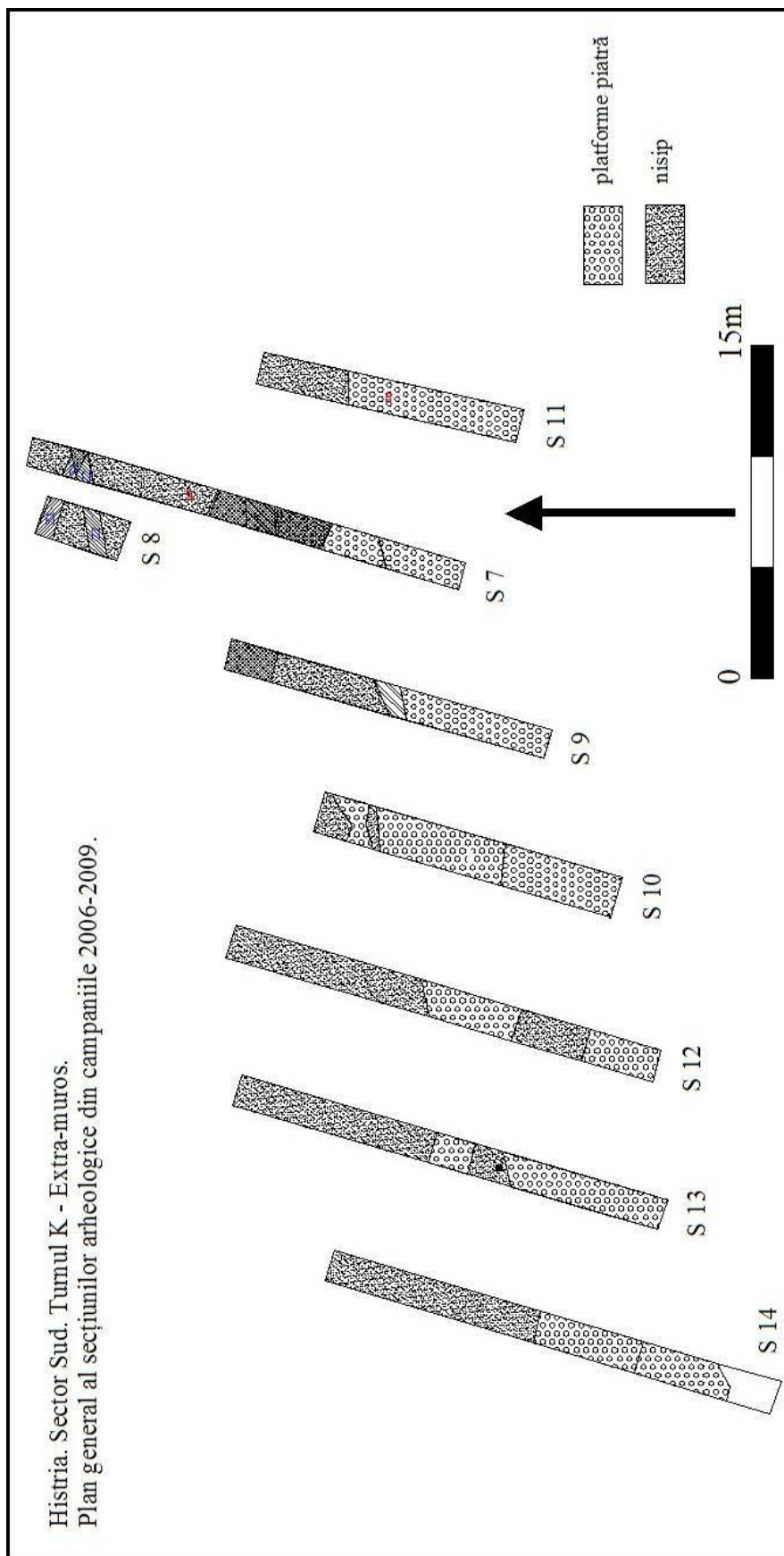




Pl. 5. 1. S1 detaliu îmbinare bârne; 2. S1 detaliu cu zona de apropiere a celor două părți distincte din sistemul de bârne;  
 3, 4. S1 detaliu cu partea a doua a sistemului de bârne (bârne și dale piatră;  
 5, 6. S1 detaliu cu partea a doua a sistemului de bârne privită dinspre nord și sud.

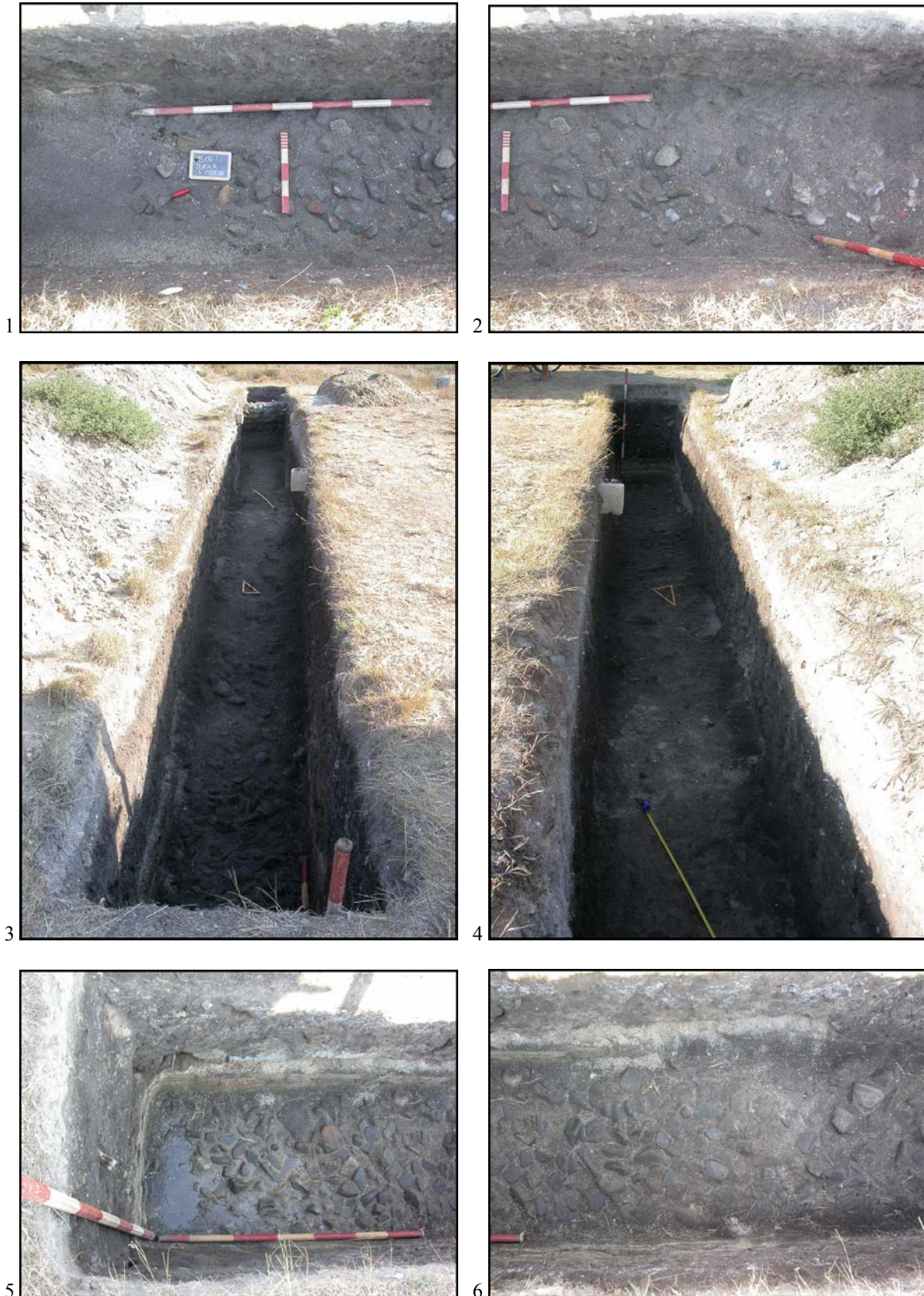


Pl. 6. 1. S1 profil nord; 2. S1 secțiune transversală est-vest.



Pl. 7. Histria Sector Sud TK-EM. Plan general al secțiunilor arheologice din campaniile 2006-2009.



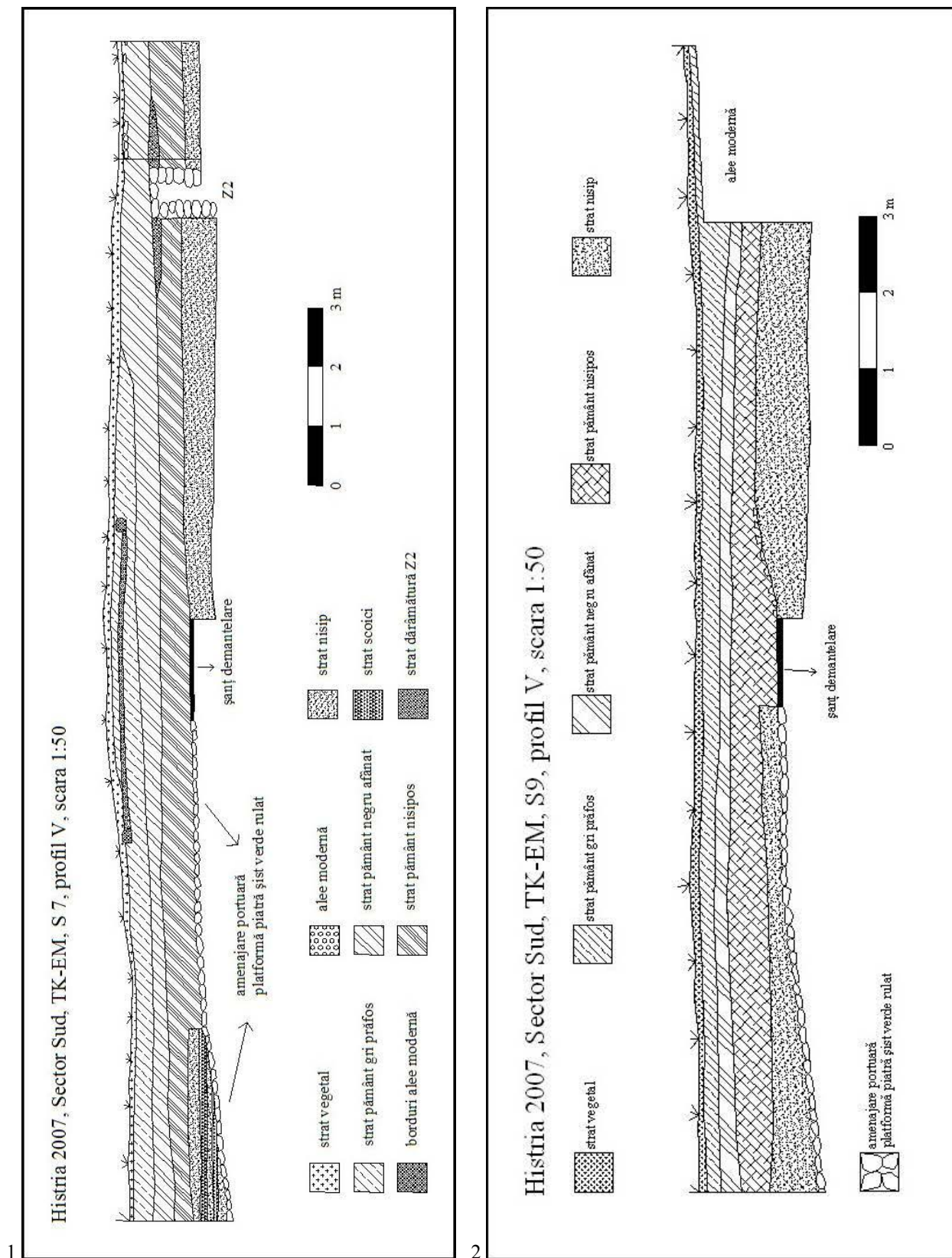


Pl. 8. 1, 2. S7 detaliu din prima etapă de cercetare; 3, 4. S7 imagine de ansamblu dinspre sud și nord;  
5, 6. S7 detaliu platforme piatră.





Pl. 9. 1, 2. S9 imagine de ansamblu dinspre sud și nord; 3, 4. S9 detaliu platformă piatră dinspre sud;  
5, 6. detaliu platformă piatră.

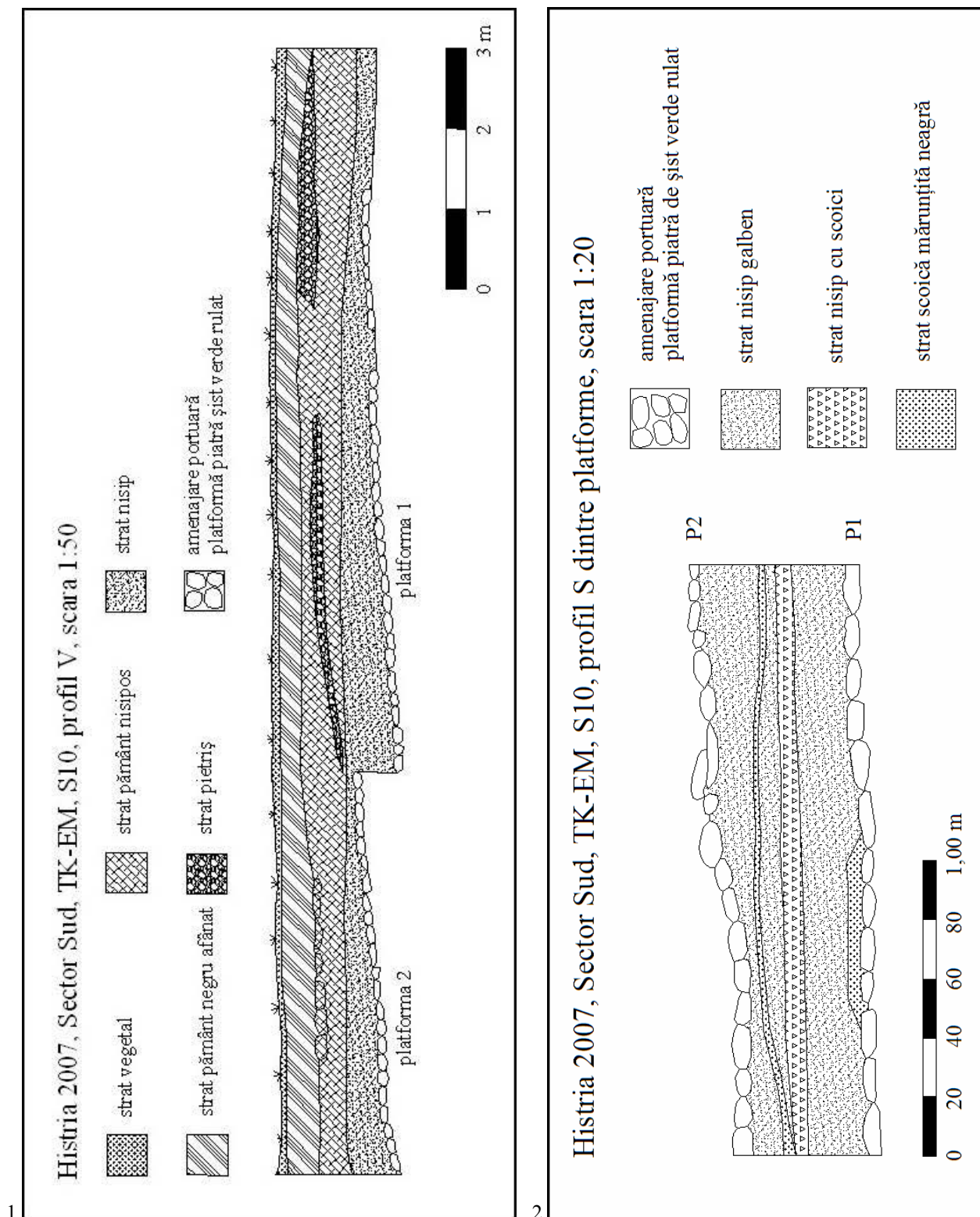


Pl. 10. 1. S7 profil vest; 2. S9 profil vest.





Pl. 11. 1, 2. S10 imagine de ansamblu dinspre nord și sud; 3, 4. S10 detaliu platforme piatră dinspre nord și sud;  
5, 6. *solidus* Theodosius al II-lea avers și revers.



Pl. 12. 1. S10 profil vest; 2. S10 profil sud, dintre platforme.



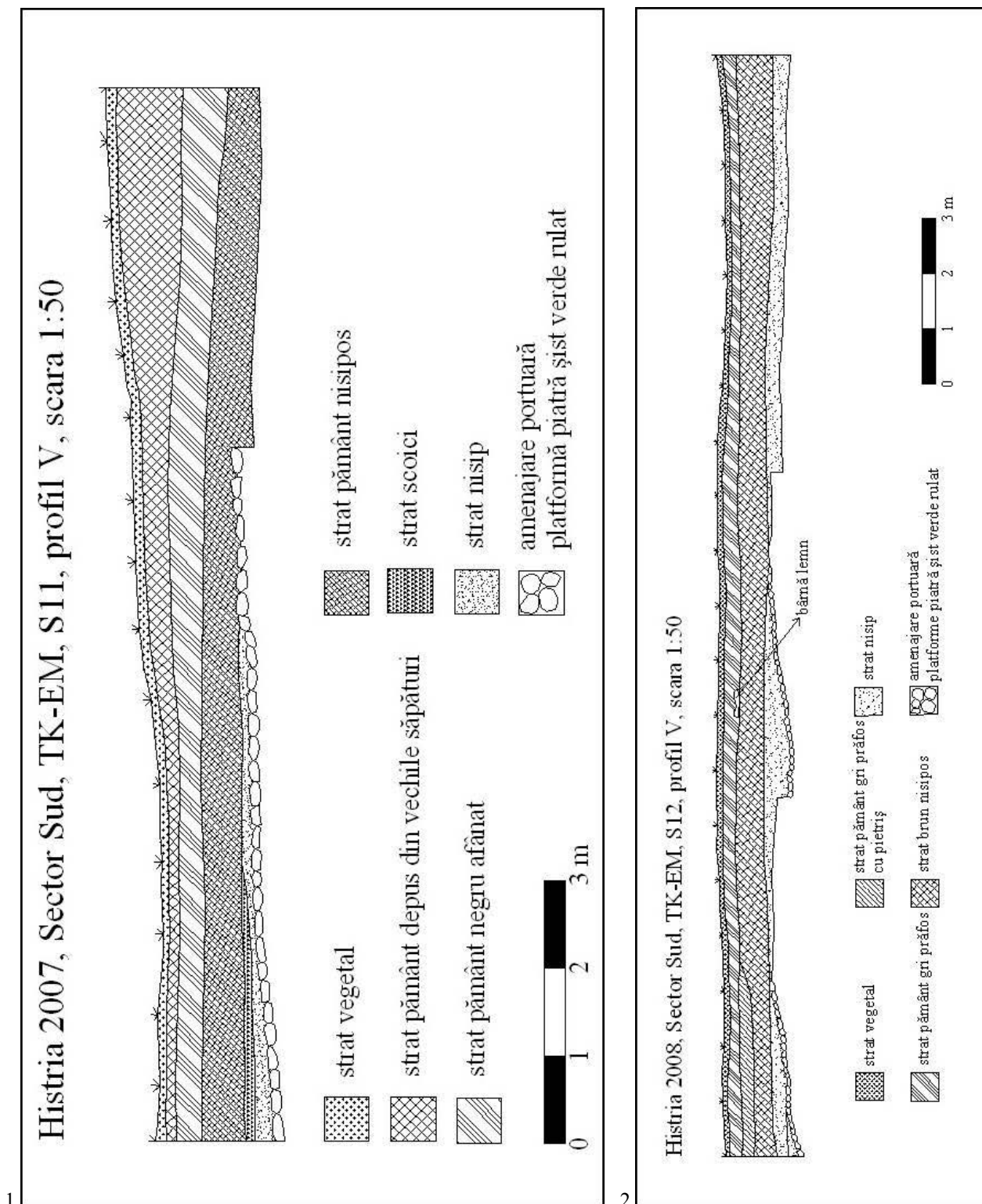


Pl. 13. 1, 2. S11 imagine de ansamblu dinspre sud și nord; 3, 4. S11 detaliu platformă piatră dinspre nord; 5, 6. S11 detaliu platformă piatră.



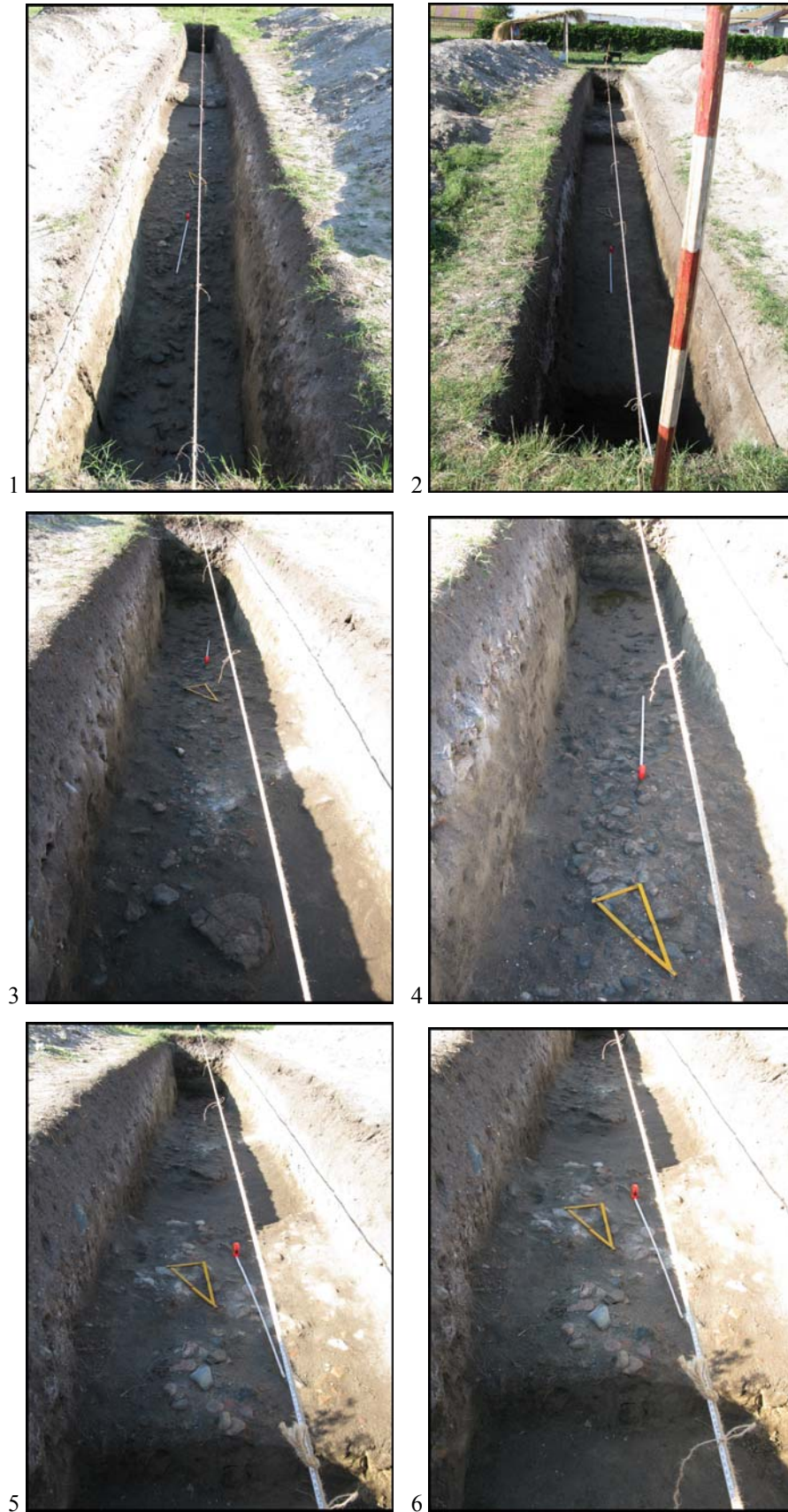


Pl. 14. 1, 2. S12 imagine de ansamblu dinspre nord și sud; 3. S12 detaliu platforma 2 dinspre sud; 4. S12 detaliu platforma 1 dinspre sud; 5. S12 detaliu platforma 1 dinspre nord; 6. S12 detaliu platforma 2 dinspre nord.



Pl. 15. 1. S11 profil vest; 2. S12 profil vest.





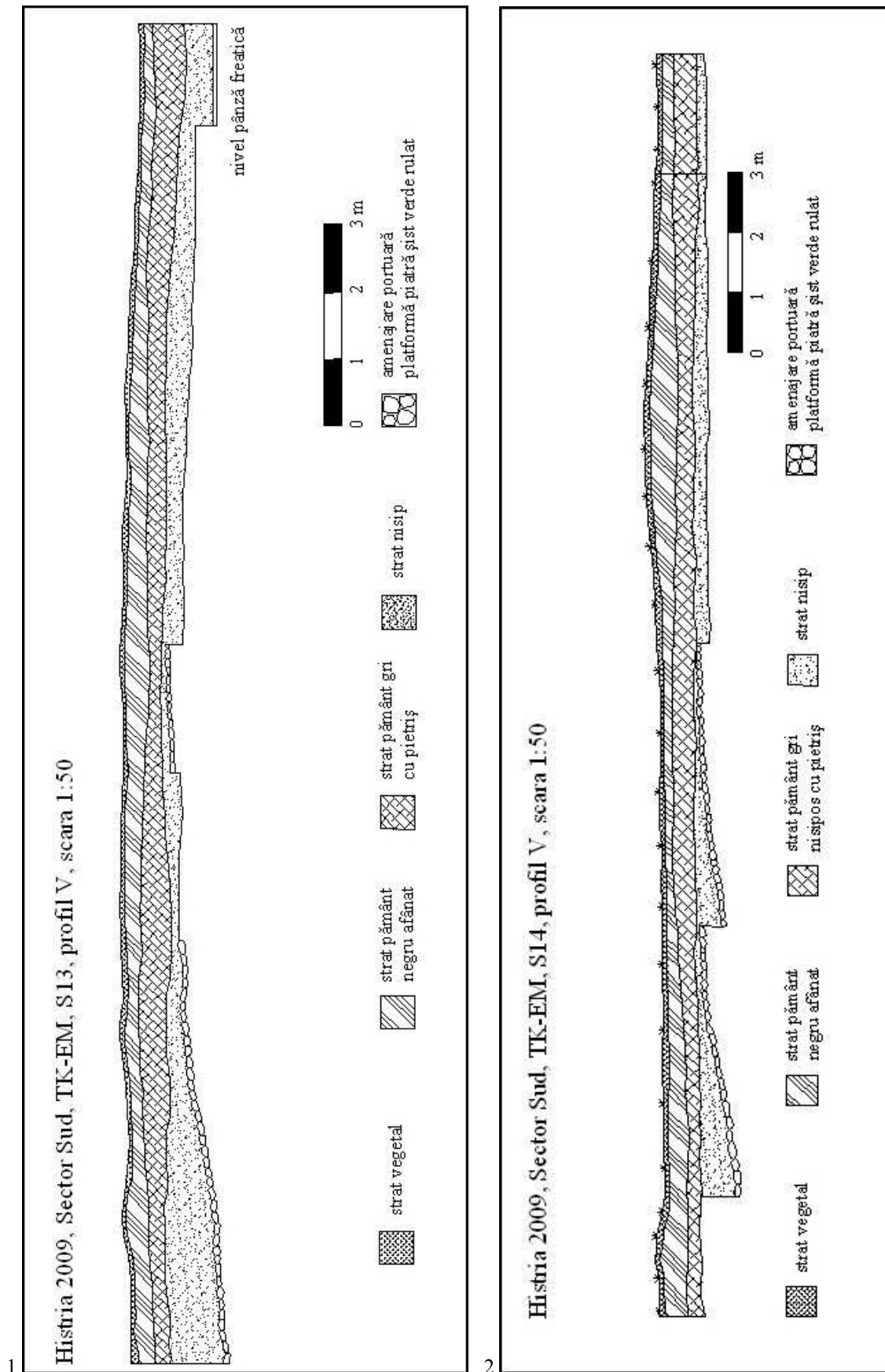
Pl. 16. 1, 2. S13 imagine de ansamblu dinspre sud și nord; 3, 4. S13 detaliu platforma 2; 5, 6. S13 detaliu rest platforma 1.





Pl. 17. 1, 2. S14 imagine de ansamblu dinspre sud și nord; 3. S14 detaliu platforma 1; 4, 5. S14 detaliu platforma 2; 6. S14 detaliu posibil început platforma 3.

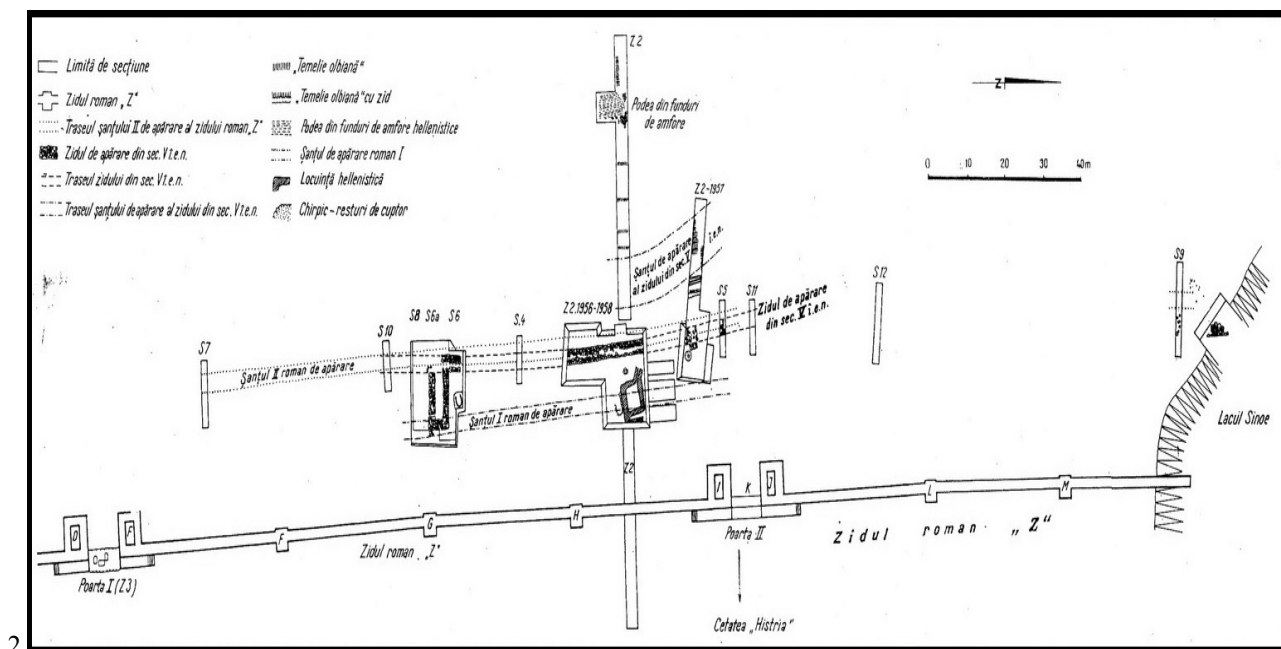
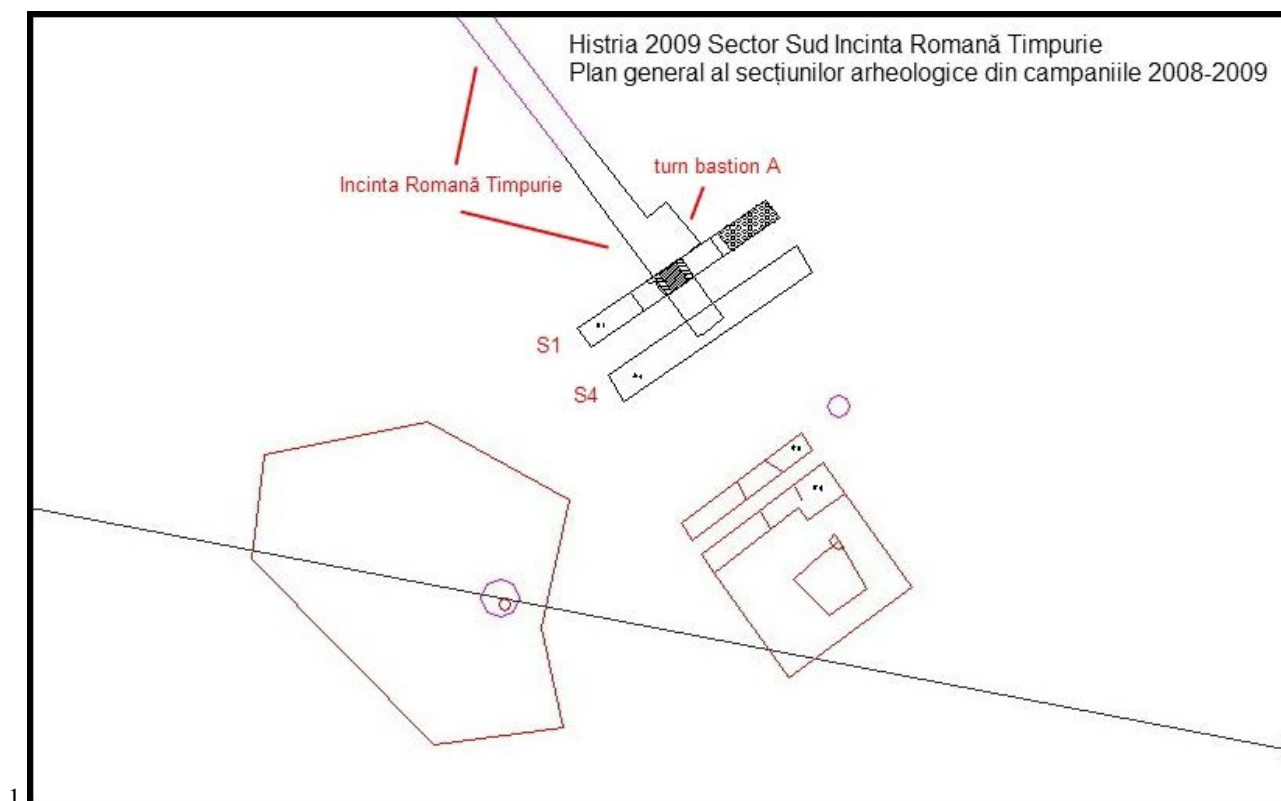




Pl. 18. 1. S13 profil vest; 2. S14 profil vest.



Pl. 19. 1. Histria. Sector Sud. Incinta Romană Timpurie (Google Earth); 2. Fotografie aeriană înedită Lambrino din anii 1931–1935. Detaliu (Mircea V. Angelescu).



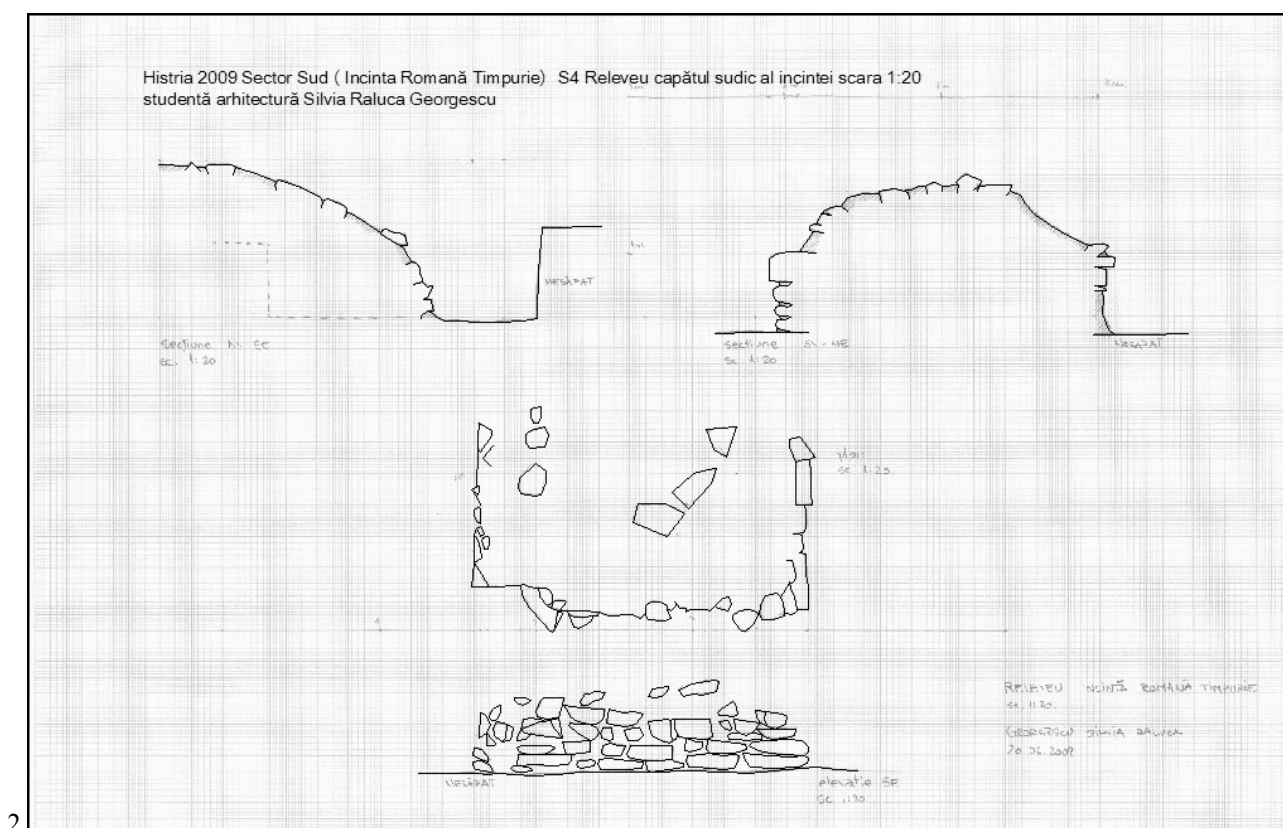
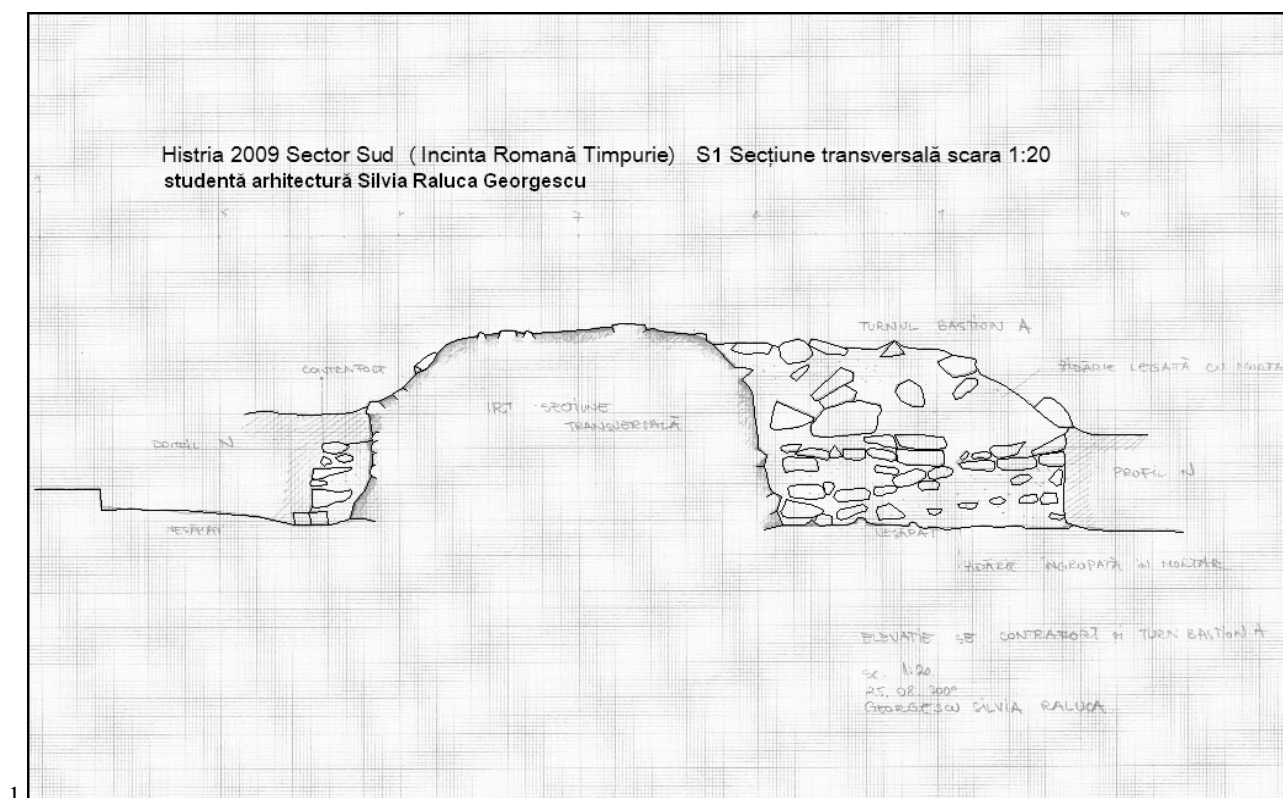
Pl. 20. 1. Histria. Sector Sud Incinta Romană Timpurie. Plan general al secțiunilor arheologice din campaniile 2008–2009;  
2. Planul Sectorului Z 2 cu cele 2 șanțuri de apărare ale Incintei Romane Timpurii, apud Maria Coja, 1970.



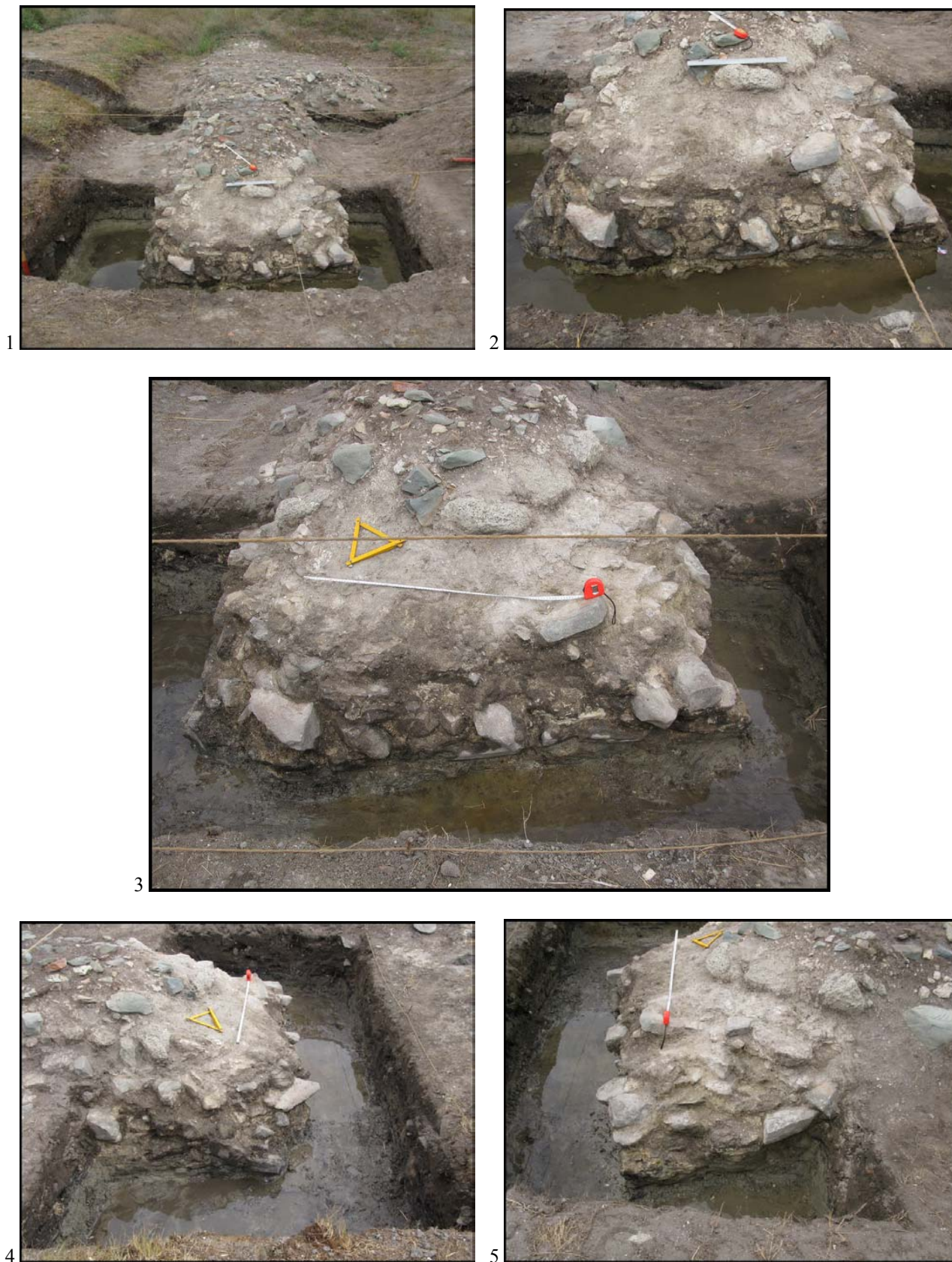


Pl. 21.1, 2. S1 imagine de ansamblu dinspre est și vest; 3. S1 detaliu pinten-contrafort; 4. S1 detaliu zid sudic al turnului-bastion A; 5, 6. S4 imagine de ansamblu dinspre est și vest.

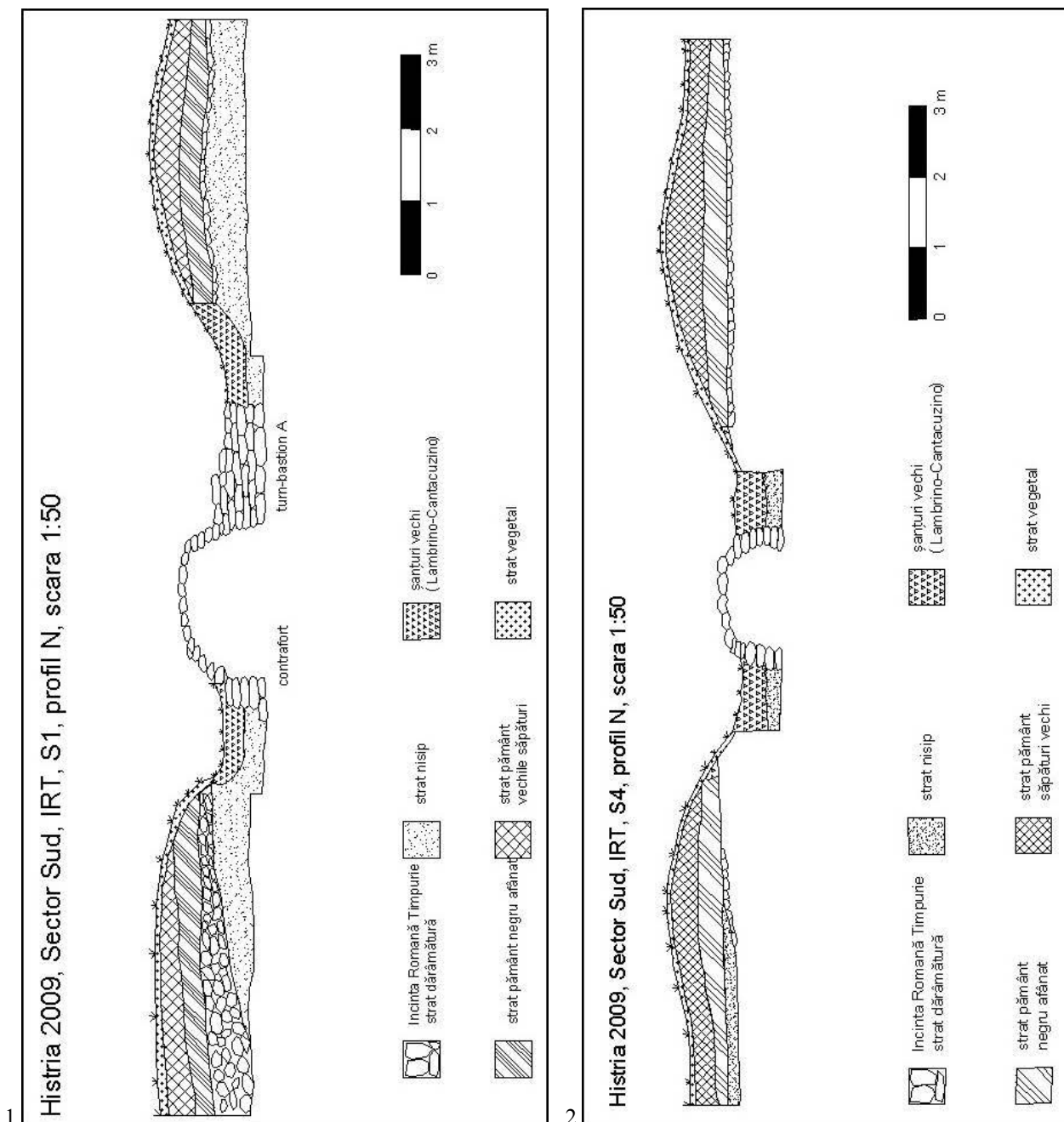




Pl. 22. 1. S1 secțiune transversal; 2. S4 relevu architectural capătul sudic al Incintei Romane Timpurii.



Pl. 23. 1. Imagine de ansamblu a capătului sudic al Incintei Romane Timpurii 2-5.  
 Detaliu capătul sudic al Incintei Romane Timpurii.



Pl. 24. 1. S1 profil nord; 2. S4 profil nord.





**ACADEMIA ROMÂNĂ**  
**INSTITUTUL DE ARHEOLOGIE „VASILE PÂRVAN”**

**MATERIALE**  
**ȘI**  
**CERCETĂRI**  
**ARHEOLOGICE**

**SERIE NOUĂ**  
**IX**

**2013**



**EDITURA ACADEMIEI ROMÂNE**  
**BUCUREȘTI, 2013**

## **Colegiul de redacție**

**PROF. DR. ALEXANDRU BARNEA** (Universitatea București), **DR. SANDA BALESCU** (Université des Sciences et Technologies de Lille, Laboratoire de Préhistoire et Quaternaire, CNRS), **PROF. DR. CLIVE BONSALE** (University of Edinburgh), **PROF. DR. NIKOLAUS BOROFFKA** (Deutsches Archäologisches Institut – Eurasien Abteilung, Berlin, Germany), **DR. GH. I. CANTACUZINO** (Institutul de „Arheologie Vasile Pârvan” București), **DR. UWE FIEDLER** (Berlin), **DR. RADU HARHOIU** (Institutul de Arheologie „Vasile Pârvan” București), **DR. ANNIE RENOUX** (Université du Maine, Le Mans), **PROF. DR. ERIK TRINKAUS** (Department of Anthropology, Washington University), **PROF. DR. ALAIN TUFFREAU** (Université des Sciences et Technologies de Lille, Laboratoire de Préhistoire et Quaternaire), **ACAD. ALEXANDRU VULPE** (Institutul de Arheologie „Vasile Pârvan” București).

## **Comitetul de redacție**

**ROXANA DOBRESCU** – redactor-șef

**ADRIAN IONIȚĂ** – redactor-șef adjunct

**IRINA ACHIM, ADINA BORONEANȚ, ADRIAN DOBOȘ, LIANA OȚA, ADRIANA PANAITE, DANIEL SPÂNU, VLAD VINTILĂ ZIRRA** – membri

**LILIANA ZAHARIA** – secretar de redacție

Redactor Editura Academiei Române: **ADRIAN MIRCEA DOBRE**

Tehnoredactor Editura Academiei Române: **DOINA STOIA**

Revista se poate procura contracost la sediul EDITURII ACADEMIEI ROMÂNE, Calea 13 Septembrie nr. 13, sector 5, 050711, București, România; tel. 4021-318 8146, 4021-318 8106, Fax 4021-318 2444, e-mail: [edacad@ear.ro](mailto:edacad@ear.ro).

ORION PRESS IMPEX 2000 S.R.L., P.O. Box 77-19, sector 3, București, România, Tel./Fax: 4021-610 6765, 4021-210 6787, Tel.: 0311 044 668, e-mail: [office@orionpress.ro](mailto:office@orionpress.ro).

S.C. MANPRES DISTRIBUTION S.R.L., Piața Presei Libere, nr. 1, Corp B, Etaj 3, Cam. 301–302, sector 1, București, România, tel./fax: (4021) 314 6339, e-mail: [abonamente@manpres.ro](mailto:abonamente@manpres.ro), [office@manpres.ro](mailto:office@manpres.ro), [www.romanianjournals.com](http://www.romanianjournals.com).

DEREX COM S.R.L., e-mail: [derex\\_com@yahoo.com](mailto:derex_com@yahoo.com)

Orice corespondență se va trimite Colegiului de redacție pe adresa: str. Henri Coandă 11, 010667 București, tel./fax 4021 212 88 62. și [redactie\\_iab@yahoo.com](mailto:redactie_iab@yahoo.com)

Normele de redactare a manuscriselor și lista abrevierilor folosite în revistă sunt în general aceleași ca în celelalte publicații ale Institutului de Arheologie. În măsura în care vom elabora alte norme, ne obligăm să le publicăm în numărul următor.

© 2013, EDITURA ACADEMIEI ROMÂNE

## SUMAR

ALAIN TUFFREAU, ROXANA DOBRESU, SANDA BALESCU, MĂDĂLIN CORNEL VĂLEANU, Boinești (département de Satu-Mare), Moustérien, Aurignacien et processus taphonomiques .....	7
ALEXANDRU CIORNEI, Petrografia silicolitelor din siturile Paleoliticului superior de pe Valea Dunării. Caracteristici și proveniență .....	41
MIHAI GLIGOR, MARIANA ROȘU, CĂLIN ȘUTEU, New Evidence on Burial Practices in Petrești Culture .....	67
CAMELIA-MIRELA VINTILĂ, CARMEN PAVEL, MARIAN NEAGU, Noi aspecte ale plasticii antropomorfe descoperite la Dunărea de Jos .....	83
ALIN FRÎNCULEASA, BIANCA PREDA, OCTAV NEGREA, ANDREI DORIAN SOFICARU, Cercetări arheologice în cimitirul din epoca bronzului târziu de la Câmpina (jud. Prahova) – campaniile 2011 și 2012 .....	97
DANIEL SPÂNU, Fibule „de tip hibrid”? .....	145
MIRCEA DABÎCA, Noi cercetări arheologice în partea de sud a cetății Histria. Campaniile 2003–2009 .....	157
ALEXANDRU BĂDESCU – Amfore orientale de tip Kapitän II descoperite la <i>Histria</i> în Sectorul <i>Basilica extra muros</i> .....	189
ANNAMARIA DIANA, MIHAI MEȘTER, Meeting an Early Medieval Community: A Preliminary Analysis of the Human Skeletal Remains from the Jucu Cemetery (Cluj-Napoca, Romania) .....	3; ;
BOGDAN CIUPERCĂ, ANDREI MĂGUREANU, EUGEN PAVELEȚ, DORIN SÂRBU, Cercetări arheologice în Curtea Domnească de la Târgșoru Vechi .....	219
RADU-ALEXANDRU DRAGOMAN, MIHAI FLOREA, Preambul la o cercetare arheologică a fostei colonii de muncă forțată din perioada comunistă de la Poarta Albă, România .....	231

## RECENZII

Laurent Carozza, Cătălin Bem, Cristian Micu (eds.), <i>Société et environnement dans la zone du Bas Danube durant le 5<sup>ème</sup> millénaire avant notre ère</i> , Editura Universității „Alexandru Ioan Cuza”, Iași, 2011, 413 p. (Cristian Eduard Ștefan) .....	243
<b>Abrevieri</b> .....	245





## SOMMAIRE

ALAIN TUFFREAU, ROXANA DOBRESU, SANDA BALESCU, MĂDĂLIN CORNEL VĂLEANU, Boinești (département de Satu-Mare), Moustérien, Aurignacien et processus taphonomiques .....	7
ALEXANDRU CIORNEI, Petrografia silicolitelor din siturile Paleoliticului superior de pe Valea Dunării. Caracteristici și proveniență.....	41
MIHAI GLIGOR, MARIANA ROȘU, CĂLIN ȘUTEU, New Evidence on Burial Practices in Petrești Culture .....	67
CAMELIA-MIRELA VINTILĂ, CARMEN PAVEL, MARIAN NEAGU, Several antropomorphic figurines found during the excavations on the Vidra tell .....	83
ALIN FRÎNCULEASA, BIANCA PREDĂ, OCTAV NEGREA, ANDREI DORIAN SOFICARU, Archaeological research in the Bronze Age cemetery at Câmpina (Prahova county) – campaigns 2011 și 2012.....	97
DANIEL SPÂNU, Fibule „de tip hibrid”? .....	145
MIRCEA DABÎCA, Les principaux résultats des fouilles menées entre 2003 et 2009 à Histria, dans le périmètre du Secteur sud .....	157
ALEXANDRU BĂDESCU – Amphoras Kapitän II discovered at Histria, in extra muros Basilica .....	189
ANNAMARIA DIANA, MIHAI MEȘTER, Meeting an Early Medieval Community: A Preliminary Analysis of the Human Skeletal Remains from the Jucu Cemetery (Cluj-Napoca, Romania) .....	3; ;
BOGDAN CIUPERCĂ, ANDREI MĂGUREANU, EUGEN PAVELEȚ, DORIN SÂRBU, Archaeological research Cercetări arheologice în Curtea Domnească de la Târgșoru Vechi.....	219
RADU-ALEXANDRU DRAGOMAN, MIHAI FLOREA, Preamble of planned archaeological research in the former forced labor camp from the communist period at Poarta Albă, Romania .....	231

## COMPTE-RENDUS

Laurent Carozza, Cătălin Bem, Cristian Micu (eds.), <i>Société et environnement dans la zone du Bas Danube durant le 5<sup>ème</sup> millénaire avant notre ère</i> , Editura Universității “Alexandru Ioan Cuza”, Iași, 2011, 413 p. (Cristian Eduard Ștefan) .....	243
<b>Abréviations</b> .....	245

# Amfore orientale de tip Kapitän II descoperite la *Histria* în Sectorul *Basilica extra muros*

ALEXANDRU BĂDESCU\*

**Key-words:** *Scythia, Histria*, roman period, ceramics, amphoras, Kapitän II.

**Summary:** Amphoras Kapitän II type are attested in *Scythia Minor* in contexts dated between the end of the 2<sup>nd</sup> century AD and the beginning of the 6<sup>th</sup> century AD, especially between 250 and 450 AD. They are widely distributed around the eastern Mediterranean, *Dacia, Moesia Superior, Pannonia, Italia, Dalmatia*, northern Africa; but less common in the west; small quantities also occurred in Gallia, North and North-Western regions of the Black Sea. This type of amphoras was discovered in the southern parts of the province of *Dacia*, between the Lower Danube and the Carpathians, in archaeological sites situated along the Roman roads across the Danube and the Olt, Jiu and Timis rivers. Within the arch of the Carpathian mountains they are rarely attested. Those amphoras were transported on the water – Black Sea and Danube – to the points where from start the land roads going to the North. They were especially used for the army supply, most of them being discovered inside Roman fortifications. There are two different types of Kapitän II amphoras. For the early type there are analogies at *Sucidava, Slăveni, Romula, Răcari, Dierna, Tibiscum, Crâmpoia, Gresia, Jidava, Râșnov, Enoșești-Acidava, Stolniceni-Buridava, Orlea, Gârla Mare, Colonești-Mărunței, Cioroiul Nou și Orlea*. For the late type there are analogies at *Histria, Cogeașlac, Fântânele, Tomis, Tropaeum Traiani, Arsa, Aegyssus, Plopu, Halmyris, Telița-Amza, Barboși, Troesmis, Sacidava, Babadag-Topraichioi, Bizone, Nicopolis ad Istrum, Novae, Atena, Corint, Argos*, and also in *Moesia Superior, Dalmatia, Pannonia, Italia, Gallia*, northern Africa and North and North-Western regions of the Black Sea.

**Cuvinte-cheie:** *Scythia, Histria*, epocă romană, ceramică, amfore, Kapitän II.

**Rezumat:** Acest tip amforic este atestat în *Scythia Minor* în contexte datate între sfârșitul secolului al II-lea p. Chr. și începutul secolului al VI-lea, dar cu precădere între anii 250–450 p. Chr. Sunt foarte des întâlnite și în zona Mediteranei orientale, *Dacia, Moesia Superior, Pannonia, Italia, Dalmatia*, nordul Africii și, în cantități mai mici, în *Gallia* sau nordul și nord-vestul Mării Negre. În *Dacia*, amforele de tip Kapitän II au fost descoperite în special în partea de sud, între Dunărea de Jos și Munții Carpați, rareori în interiorul arcului carpatic, în situri arheologice din apropierea drumurilor romane amplasate de-a lungul Dunării, a râurilor Olt, Jiu și Timiș. Transportul lor

trebuie să se fi făcut pe mare și pe Dunăre până la punctele de unde drumurile romane porneau spre nord. Erau folosite în special pentru aprovizionarea armatei, majoritatea lor fiind găsite în fortificații romane. Pentru varianta timpurie există analogii<sup>1</sup> la: *Sucidava, Slăveni, Romula, Răcari, Dierna, Tibiscum, Crâmpoia, Gresia, Jidava, Râșnov, Enoșești-Acidava, Stolniceni-Buridava, Orlea, Gârla Mare, Colonești-Mărunței, Cioroiul Nou și Orlea*. Varianta târzie are analogii<sup>2</sup> la: *Histria, Cogeașlac, Fântânele, Tomis, Tropaeum Traiani, Arsa, Aegyssus, Plopu, Halmyris, Telița-Amza, Barboși, Troesmis, Sacidava, Babadag-Topraichioi, Bizone, Nicopolis ad Istrum, Novae, Atena, Corint, Argos*, precum și în alte puncte situate în *Moesia Superior, Dalmatia, Pannonia, Italia, Gallia*, nordul Africii sau nordul și nord-vestul Mării Negre.

\* \* \*

Cercetările arheologice în sectorul *Basilica extra muros*<sup>3</sup> de la *Histria*<sup>4</sup> au fost reluate începând cu anul 2001<sup>5</sup>. Materialul ceramic publicat aici a fost descoperit în anul 2001 în secțiunea magistrală denumită S 1<sup>6</sup>.

<sup>1</sup> Vezi planșa nr. 2: Harta descoperirilor de pe teritoriul României.

<sup>2</sup> Idem.

<sup>3</sup> Vezi planșa nr. 1: Planul general al Histriei și poziționarea sectorului *Basilica extra muros*.

<sup>4</sup> Cercetări arheologice în acest sector au fost efectuate în anii 1955–1956 (Popescu 1957; Popescu 1994) și în perioada 1961–1964 (Nubar 1970, p. 191–199; Nubar 1971, p. 199–215). Pentru istoricul cercetărilor vezi Rusu-Bolindeț, Bădescu 2005, p. 103.

<sup>5</sup> Colectivul de cercetare a fost constituit din Alexandru Suceveanu (Institutul de Arheologie „Vasile Pârvan”, București) – responsabil de sector, Karl von der Lohe (Institutul de Arheologie „Ludwig Maximilian”, Universitatea din München), Viorica Rusu-Bolindeț (Muzeul Național de Istorie a Transilvaniei, Cluj-Napoca), Alexandru Bădescu (Muzeul Militar Național, respectiv, din 2002, angajat al Muzeului Național de Istorie a României, București) – membri în colectiv.

<sup>6</sup> Suprafața cercetată a fost de 15/3 metri.

\* Muzeul Național de Istorie a României, București; e-mail: alex\_bades@yahoo.com

Despre amforele de tip Kapitan II au fost publicate unele articole și studii<sup>7</sup> în ultimele decenii. În urmă cu 3–4 decenii, acestea erau prezentate ca aparținând unui singur tip, fără subtipuri sau variante<sup>8</sup>. Distribuția și pasta din care sunt produse aceste amfore, care se pare că este identică, indiferent de contextul descoperiri, sunt argumente pentru existența unui singur atelier situat, cel mai probabil, în estul Mării Egee. Totuși, analizele au demonstrat existența mai multor ateliere. O analiză atentă a formei arată că ele pot avea corpul mai mult sau mai puțin curbat, umărul mai mult sau mai puțin arcuit și baza de la cilindrică la conică, toate acestea fiind argumente pentru existența mai multor centre de producție și, implicit, a unor variante.

Lotul ceramic descoperit la *Histria*, în anul 2001, conține 11 fragmente de amfore de acest tip: 3 buze, 7 picioare și un fragment din zona inferioară.

Amforele Kăpitan II au corpul conic, terminat cu un picior tubular masiv și anse supraînălțate, ovale în secțiune. Buza este despărțită de gât printr-o șanțuire puternică, iar gâtul este aproape cilindric sau tronconic. Prezintă caneluri pronunțate pe picior și gât. Capacitatea este de aproximativ 10 litri, iar dimensiunile se încadrează în următoarele limite: H = 60–80 cm; DMG = cca 7–8 cm; DM = cca 25 cm; DF = 6–8 cm.

În zona Dunării de Jos aceste amfore sunt atestate până în prezent la: *Histria*<sup>9</sup>, Cogeaclac<sup>10</sup>, Fântânele<sup>11</sup> (în teritoriul histrian), *Tomis*<sup>12</sup>, Arsa (în teritoriul callatian)<sup>13</sup>, *Bizone*<sup>14</sup>, *Nicopolis ad Istrum*<sup>15</sup>, *Novae* (unde reprezintă aproape 10% din amforele de epocă romană timpurie)<sup>16</sup>, *Aegyssus*<sup>17</sup>, *Halmyris* (și în teritoriu)<sup>18</sup>, Plopu (în lacul Beibugeac)<sup>19</sup>,

Telița – Amza (în teritoriul noviodunens)<sup>20</sup>, Barboși<sup>21</sup>, *Troesmis*<sup>22</sup>, *Sacidava*<sup>23</sup>, Babadag – Topraichioi<sup>24</sup> și Slava Rusă – Kurt Baiir<sup>25</sup>, în contexte datate între sfârșitul secolului al II-lea și începutul secolului al VI-lea p. Chr., însă cu precădere între anii 250–450 p. Chr.

Acest tip de amfore este foarte răspândit în zona Mediteranei orientale, în special în bazinul Mării Egee, la *Corint* și *Argos*<sup>26</sup>, precum și în *Dacia*, *Moesia Superior*, *Pannonia*, *Italia*, *Dalmatia* și în nordul Africii<sup>27</sup>. În cantități mai mici sunt atestate în *Gallia* sau în nordul și nord-vestul Mării Negre. Sunt datate între mijlocul secolului al II-lea și începutul secolului al V-lea p. Chr., însă la *Berenice* sunt atestate și în contexte arheologice din prima jumătate a secolului al VI-lea p. Chr.<sup>28</sup>.

În *Dacia* amforele de tip Kăpitan II au fost descoperite în special în partea de sud, între Dunăre și Munții Carpați, rareori în interiorul arcului carpatic, în situri arheologice din apropierea drumurilor romane amplasate de-a lungul Dunării (*Sucidava*, Orlea, Gârla Mare, *Dierna*), a *limes-ului transalutani* (Crâmpoia, Gresia, Jidava și Râșnov), râurilor Olt (Slăveni, *Romula*, Enoșești-*Acidava*, Stolniceni-*Buridava*), Jiu (Răcari) și Timiș (*Tibiscum*). Cel mai probabil erau transportate pe mare și pe Dunăre până la punctele de unde drumurile romane porneau spre nord. Pentru că majoritatea au fost descoperite în fortificații romane se pare că erau folosite, în special, pentru aprovizionarea armatei. Cele descoperite în așezările civile<sup>29</sup> din apropierea castror au ajuns acolo, probabil, tot pe filieră militară<sup>30</sup>.

Departajarea cronologică nu implică, obligatoriu, existența a două variante distincte, timpurie și târzie.

<sup>7</sup> Popilian 1974, p. 137–146; Popilian 1976; Ardeț 1991, p. 83–89; Negru, Bădescu, Avram 2003a, p. 231–240; Negru, Bădescu, Avram 2003b, p. 209–214.

<sup>8</sup> Zeest 1960, p. 114; Kapitan 1972, p. 243–252; Brukner 1981, p. 185; Peacock, Williams 1986, p. 193–194; Dyczek 1999, p. 113.

<sup>9</sup> Suceveanu 1982, faza II A–B, p. 116/cat. nr. 18–22, pl. 15; Suceveanu 2000, p. 173–174, pl. 84.

<sup>10</sup> Lungu, Bounegru, Avram, 1990, p. 172, fig. 8/8.

<sup>11</sup> Angelescu, 1998, p. 228/cat. nr. 116, 231/cat. nr. 149, 154, 233/cat. nr. 176, pl. XIII, XV, XVI, XXIII.

<sup>12</sup> Scorpan 1976, p. 156–157, pl. I/3; Scorpan 1977, p. 269–270, fig. 1/3; Opaît 1996, p. 57, pl. 10/6.

<sup>13</sup> Ionescu, Georgescu, 1997, p. 173/cat. nr. 14, fig. 5.

<sup>14</sup> Kuzmanov, Salkin 1992, p. 39/cal. nr. 47–48, pl. IV.

<sup>15</sup> Falkner 1999, p. 251/cat. nr. 150–153, fig. 9.52.

<sup>16</sup> Dyczek 1996, p. 37, fig. 5, 18.

<sup>17</sup> Piese inedite.

<sup>18</sup> Opaît 1991a, p. 148–149; Opaît 1996, p. 56; Topoleanu 2000, p. 140–141/cat. nr. 355–356, pl. XLIV.

<sup>19</sup> Piesă inedită.

<sup>20</sup> Baumann 1995, p. 91/cat. nr. 23, pl. LXVII/1, 3; Opaît 1996, p. 56; Baumann 2003, p. 198–199/cat. nr. 79.

<sup>21</sup> Sanie 1981, p. 136, pl. 32/5, 33/1, 3.

<sup>22</sup> Opaît 1980, p. 298, 301, pl. V/1, XII/2.

<sup>23</sup> Scorpan 1975, p. 267–268, pl. 1/1–2.

<sup>24</sup> Opaît 1991b, p. 221, pl. 27/1–2; Opaît 1996, p. 56, pl. 10/7–8.

<sup>25</sup> Opaît 1996, p. 57.

<sup>26</sup> Reprezintă între 30 și 45% din vasele pentru transport din complexe închise datate la începutul secolului al IV-lea și aproape 10% din cele datate la sfârșitul aceluiași secol.

<sup>27</sup> La *Berenice* reprezintă 10–15% din amforele datate în prima jumătate a secolului al III-lea.

<sup>28</sup> Riley 1979, fig. 34.

<sup>29</sup> Enoșești-*Acidava*, *Buridava*, *Tibiscum*.

<sup>30</sup> Colonești-Mărunței, Cioroiul Nou și Orlea (Negru, Bădescu, Avram 2003a, p. 235).

Ieșirea Daciei din granițele Imperiului a dus, firesc, la quasidispariția amforelor Kăpitan II din această zonă.

Astfel, pentru varianta timpurie, avem următoarele analogii: *Dacia*: Popilian 1976, p. 44–45, 172/cat. nr. 201, pl. XV; Ardeț 1996, p. 168, fig. 8; Benea 2000, p. 435, fig. 1/1; *Sucidava*, Slăveni, *Romula*, Răcari, *Dierna*, *Tibiscum*, Crâmpoia, Gresia, Jidava, Râșnov, Enoșești-*Acidava*, Stolniceni-*Buridava*, Orlea, Gârla Mare, Colonești-Mărunței, Cioroiul Nou și Orlea: Negru, Bădescu, Avram 2003a, p. 235, Pl. 1–2.

Pentru varianta târzie sunt analogii mai numeroase: *Histria*: Suceveanu 1982, faza II A–B, p. 116/cat. nr. 18–22, pl. 15; Suceveanu 2000, p. 173–174, pl. 84; Cogea: Lungu, Bounegru, Avram 1990, p. 172, fig. 8/8; Fântânele: Angelescu 1998, p. 228/cat. nr. 116, p. 231/cat. nr. 149, 154, p. 233/cat. nr. 176, pl. XIII, XV, XVI, XXIII; *Tomis*: Scorpan 1976, p. 156–157, pl. I/3; Scorpan 1977, p. 269–270, fig. 1/3; Opaț 1991a, p. 186, pl. 20/A; Opaț 1996, p. 57, pl. 10/6; *Tropaeum Traiani*: Bogdan-Cătănciu, Barnea 1979, fig. 167, 3.9 (sec. VI–VII p. Chr.); Arsa: Ionescu, Georgescu 1997, p. 173/cat. nr. 14, fig. 5; *Aegyssus*, Plopu: Paraschiv 2006, p. 87, 88; *Halmyris*: Opaț 1991a, p. 148–149; Opaț 1996, p. 56; Topoleanu 2000, p. 140–141/cat. nr. 355–356, pl. XLIV; Telița-Amza: Baumann 1995, p. 91/cat. nr. 23, pl. LXVII/1, 3; Opaț 1996, p. 56; Baumann 2003, p. 198–199/cat. nr. 79; *Troesmis*: Sanie 1981, p. 136, pl. 32/5, 33/1, 3 (Barboși); Opaț 1980, p. 298, 301, pl. V/1, XII/2; *Sacidava*: Scorpan 1975, p. 267–268, pl. 1/1–2 (); Babadag-Topraichioi: Opaț 1991b, p. 221, pl. 27/1–2; Opaț 1996, p. 56, pl. 10/7–8; Slava Rusă-Kurt Bai: Opaț 1996, p. 57; Bizone: Kuzmanov, Salkin 1992, p. 39/cal. nr. 47–48, pl. IV; *Nicopolis ad Istrum*: Falkner 1999, p. 251/cat. nr. 150–153, fig. 9.52; *Novae*: Dyczek 1996, p. 37, fig. 5, 18; *Athena*: Robinson 1959, M 237 (sec. IV); *Corint*: Williams, Zervos 1983, p. 26/cat. nr. 70, pl. 10; *Argos*: Abadie-Reynal 1989, p. 47, fig. 5; Riley 1979, p. 192, fig. 35; Peacock, Williams 1986, p. 193, fig. 113; Slane 2000, fig. 14/f; *Moesia Superior*: Bjelajac 1996, p. 41–44/cat. nr. 53–60, fig. 13; *Pannonia*: Kelemen 1990, p. 174–183, fig. 6–8; Hárshgyi 2004, p. 116, fig. 2/II–19; *Italia*: Kapitan 1972, p. 248, fig. 4; Panella 1972, p. 92–53, fig. 43–45; Lusuardi Siena 1977, p. 216, fig. 38; Williams, Zervos 1983, p. 15/cat. nr. 27, pl. 7; Panella 1989, fig. 23–24; Carignani, Pacetti 1989; Martin 2005, p. 127; *Dalmatia*: Reynolds 2004,

p. 226, fig. 13/45–47; nordul Africii: Riley 1979, p. 189–193/cat. nr. 234, fig. 35, 84; *Gallia*: Laubenheimer 1990, p. 141; Lemaître 2000, p. 473, fig. 8/5–10 (); nordul și nord-vestul Mării Negre: Zeest 1960, p. 114, pl. XXXIII; Košelenko, Kruglicova, Dolgorukov 1984, pl. LXXIV/35; Daševskaja 1991, p. 20, pl. 31/18; Krapivina 1993, p. 95, fig. 29/18–20.

Referitor la conținut, majoritatea cercetătorilor cred că erau folosite pentru transportul vinului<sup>31</sup>. Alții consideră că nu au suficiente dovezi și optează pentru varianta „conținut necunoscut”<sup>32</sup>. Cel mai probabil este ca vinul să fi fost marfa transportată în aceste amfore.

În ceea ce privește originea lor, frecvența în Mediterana orientală și raritatea în cea occidentală<sup>33</sup>, precum și distribuția sau structura pastei, sunt argumente pentru existența unor ateliere situate, cel mai probabil, în estul Mării Egee<sup>34</sup>. Este posibilă și producerea lor pe coasta de vest a Asiei Mici<sup>35</sup> sau în regiunea din estul Mării Mediterane<sup>36</sup>. Analizele chimice și petrologice<sup>37</sup> pot confirma sau infirma opiniile prezentate.

Tipul amforic în care se încadrează cele 11 fragmente descoperite la *Histria* în anul 2001 este documentat în situri arheologice din apropierea drumurilor romane amplasate de-a lungul Dunării (*Sucidava*, Orlea, Gârla Mare, *Dierna*), a *limes*-ului *transalutanus* (Crâmpoia, Gresia, Jidava și Râșnov), râurilor Olt (Slăveni, *Romula*, Enoșești-*Acidava*, Stolniceni-*Buridava*), Jiu (Răcari) și Timiș (*Tibiscum*) și în multe așezări din *Schytia Minor*. Foarte probabil că erau transportate pe mare și pe Dunăre până la punctele de unde drumurile romane porneau spre nord. Majoritatea lor au fost găsite în fortificații romane, puține în așezările civile ale acestora (Enoșești-*Acidava*, Stolniceni-*Buridava*, *Tibiscum*) și în așezările rurale (Colonești-Mărunței, Cioroiul Nou și Orlea).

<sup>31</sup> Panella 1972, p. 93; Panella 1973, p. 599; Laubenheimer 1990, p. 141; Dyczek 1999, p. 113; Lemaître 2000, p. 476; Martin 2000, p. 429.

<sup>32</sup> Peacock, Williams 1986, p. 194.

<sup>33</sup> Peacock, Williams 1986, p. 193.

<sup>34</sup> Abadie-Reynal 1989, p. 47; Vilvorder, Symond, Rekk 2000, p. 481.

<sup>35</sup> Nicolau, Empereur 1986, p. 398 (*Millet*); Panella 1972, p. 92; Panella 1973, p. 598; Laubenheimer 1990, p. 141; Outschar 1993, p. 46–52 (*Ephesus*).

<sup>36</sup> Lemaître 2000, p. 473.

<sup>37</sup> Pentru comentarii și rezultatele analizelor vezi Vilvorder, Symond, Rekk 2000, p. 481; Tomber, Dore 1998, p. 109; Empereur, Picon 1989, p. 233; Peacock, Williams 1986, p. 194–195.



În castrele romane de pe *Limes transalutani* și la *Romula* au fost datate la sfârșitul secolului al II-lea p. Chr. și în prima jumătate a secolului al III-lea p. Chr. La Slăveni, pe *Limes alutani*, au fost descoperite în nivelul datat între anii 205 și 251 p. Chr. La Jidava, un fragment a fost găsit în nivelul datat între anii 240–245 p. Chr. În alte castre au fost datate în secolele II–III p. Chr. sau la sfârșitul secolului al III-lea – mijlocul secolului al III-lea p. Chr. și începutul secolului al IV-lea p. Chr., respectiv în secolele III–IV p. Chr. .

În anul 1982, Alexandru Suceveanu publica un lot ceramic numeros care cuprindea și 7 fragmente de amfore de tip Kapitän II. Acestea fuseseră descoperite în nivelurile II A–B și erau datate în perioada cuprinsă între a doua jumătate a secolului al III-lea și al treilea sfert al secolului al IV-lea p. Chr.

Din cele 11 fragmente descoperite la *Histria*, un singur exemplar este datat la începutul secolului al VI-lea, celelalte fiind descoperite în nivelurile II A–B care corespund perioadei 250–378 p. Chr.

\*  
\* \*

**I. Kapitän 1972, tipul II; Berenice MRA 7; Zeest 1960, tipul 79; Popilian 1976, tipul IV; Scorpan 1976, tipul I-E; Peacock/Williams 1986, tipul 47; Kelemen 1990, tipul 21; Kuzmanov/Salkin 1992, tipul 20; Krapivina 1993, tipul 9; Bjelajac 1996, tipul XII; Robinson 1959, M 237**

Cele 3 fragmente de gură se încadrează în două tipuri diferite, primul având gâtul cilindric, iar celelalte două tronconic.

#### **I.1. Kapitän 1972, tipul II; Zeest 1960, tipul 79a**

Gâtul este lung, aproape cilindric, iar diametrul gurii este cuprins între 70 și 81 mm. Pasta este cărămizie, arsă complet.

#### **Catalog**

1. Amforă (fragment parte superioară)<sup>38</sup>. Ardere primară uniformă, oxidantă, pastă semifină, culoare orange – deschisă. Buză inelară, subțiată. Degresanți: pietricele (maxim 2 mm), particule medii de calcit, oxizi de fier și mică. Dimensiuni: DMG = 80 mm, DMP = 82 mm, H = 71 mm. *Histria* 2001, sector BEM, S 1, c 1–2, –0,95 m, nr. 120, Pl. 1/1.

Tip: Kapitän 1972, tip 2; Peacock & 1986, tip 47; Kelemen 1990, p. 177–178, fig. 7:6,7; Suceveanu 2000, p. 173–174, pl. 84:7.

<sup>38</sup> Planșa nr. 3/1.

Cronologie: mijlocul secolului al II-lea – începutul secolului al V-lea p. Chr.

Asemenea exemplare au fost descoperite la *Romula*<sup>39</sup>, Jidava<sup>40</sup>, Răcari<sup>41</sup> și Gârla Mare<sup>42</sup>. Cu excepția celui descoperit în *villa rustica* de la Gârla Mare, toate au fost găsite în fortificații romane. Ele au fost datate la sfârșitul secolului al II-lea p. Chr. și prima jumătate a secolului al III-lea p. Chr. (*Romula*, Jidava), respectiv în secolele II–III p. Chr. (Răcari, Gârla Mare).

Exemplare similare au mai fost descoperite în trecut la *Histria*<sup>43</sup>, Mursa<sup>44</sup>, Dunapentele<sup>45</sup>, *Aquincum*<sup>46</sup>, *Atena*<sup>47</sup> și în nordul Mării Negre, la Pantikapaion<sup>48</sup>.

#### **I.2. Kapitän 1972, tipul II; Zeest 1960, tipul 79b**

Corpul este ovoidal înalt și are umărul marcat, ansele sunt înălțate peste nivelul gurii vasului, buza este verticală cu marginea oblică la interior, iar gâtul este lung și tronconic. Pasta este cărămizie, arsă complet.

#### **Catalog**

2. Amforă (fragmentară, gât)<sup>49</sup>. Ardere primară uniformă, oxidantă, pastă grosieră, poroasă, culoare cărămizie, fără decor. Degresanți: particule mari de cuarț, calcit și oxizi de fier. Buză inelară, subțiată. Dimensiuni: DMG = 72 mm, DMP = 76 mm, H = 56 mm. *Histria* 2001, sector BEM, S 1, c 4, –1,20 m, nr. 34, Pl. 1/2.

3. Amforă (fragmentară, gât)<sup>50</sup>. Ardere primară uniformă, oxidantă, pastă semifină, densă, cu mici porozități, aspect rugos, culoare cărămiziu închis. Degresanți: particule mici și medii de calcit, oxizi de fier și mică. Suprafața exterioară netedă, buză dreaptă, cu canelură sub buză. Ardere secundară la

<sup>39</sup> Muzeul Militar Național – Depozitul de Arheologie (un fragment provenit din săpătura condusă de Cristian Vlădescu și Romeo Avram); Negru, Bădescu, Avram 2003a, p. 238, pl. 1/13.

<sup>40</sup> Negru, Bădescu, Avram 2003a, p. 238, pl. 1/14.

<sup>41</sup> Muzeul Militar Național – Depozitul de Arheologie (un fragment provenit din săpătura condusă de Cristian Vlădescu și Romeo Avram); Negru, Bădescu, Avram 2003a, p. 238, pl. 1/15–16.

<sup>42</sup> Stîngă 1998, p. 35, fig. 8:7; Negru, Bădescu, Avram 2003a, 2003, p. 238, pl. 1/17.

<sup>43</sup> Suceveanu 2000, p. 173–174, pl. 84:5.

<sup>44</sup> Brukner 1981, p. 185, pl. 163:71.

<sup>45</sup> Kelemen 1990, p. 177, fig. 7:1.

<sup>46</sup> Kelemen 1990, p. 177, fig. 7:4.

<sup>47</sup> Robinson 1959, p. 69, pl. 15, K 113.

<sup>48</sup> Zeest 1960, p. 78, fig. 79a, pl. XXXIII.

<sup>49</sup> Planșa nr. 3/2.

<sup>50</sup> Planșa nr. 3/3.

exterior și pe buza interioară. Dimensiuni: DMG = 70 mm, DMP = 170 mm, H = 69 mm. *Histria* 2001, sector BEM, S 1, c 4, -1,10 – 1,20 m, nr. 215, pl. 1/3.

Tip: Kapitan 1972, tip 2; Peacock & 1986, tip 47; Kelemen 1990, tip 21; Suceveanu 2000, tip LIX/6.

Cronologie: mijlocul secolului al II-lea – începutul secolului al V-lea p. Chr.

Fragmente din această variantă au fost descoperite și la Crâmpoia<sup>51</sup>, Jidava<sup>52</sup>, *Romula*<sup>53</sup>, Răcari<sup>54</sup>, *Dierna*<sup>55</sup>, Gresia<sup>56</sup> și *Tibiscum*<sup>57</sup>. Ele au fost găsite în interiorul castrelor romane, în barăci (Jidava) sau în gropi (*Romula*). Diametrele gurilor sunt cuprinse între 55 mm (*Romula*) și 73 mm (Gresia). Aceste fragmente au fost datate la sfârșitul secolului al II-lea p. Chr. și în prima jumătate a secolului al III-lea p. Chr. (Jidava), în secolele II–III p. Chr. (Răcari), între 240–245 p. Chr. (un alt fragment de la Jidava), la sfârșitul secolului al III-lea p. Chr. (*Tibiscum*), respectiv la sfârșitul secolului al III-lea p. Chr. și în secolul al IV-lea p. Chr. (*Dierna*).

Asemenea amfore au mai fost descoperite chiar la *Histria*<sup>58</sup>, în *Pannonia* (*Mursa*<sup>59</sup> și *Aquincum*<sup>60</sup>), în *Italia* (*Capo Ognino*<sup>61</sup> și *Ostia*<sup>62</sup>), în *Gallia* (Bauvay<sup>63</sup>), în Grecia (*Atena*<sup>64</sup>, *Corinth*<sup>65</sup>, *Olympia*<sup>66</sup>, *Knossos*<sup>67</sup>) și în nordul Marii Negre (Semenovska<sup>68</sup>).

<sup>51</sup> Muzeul Militar Național – Depozitul de Arheologie (un fragment provenit din săpătura lui Romeo Avram); Negru, Bădescu, Avram 2003a, p. 238, pl. 1/5.

<sup>52</sup> Pentru toate fragmentele de amfore, de tip Kapitan II, descoperite la Jidava și pe care le voi aminti în paginile următoare am avut acceptul domnului Constantin Petolescu pentru a le publica împreună cu Mircea Negru și Romeo Avram (Negru, Bădescu, Avram 2003a, p. 238, pl. 1/6,9).

<sup>53</sup> Muzeul Militar Național – Depozitul de Arheologie (un fragment provenit din săpătura condusă de Cristian Vlădescu și Romeo Avram); Negru, Bădescu, Avram 2003a, p. 238, pl. 1/7.

<sup>54</sup> Muzeul Militar Național – Depozitul de Arheologie (un fragment provenit din săpătura condusă de Cristian Vlădescu și Romeo Avram); Negru, Bădescu, Avram 2003a, p. 238, pl. 1/8.

<sup>55</sup> Benea 1996, p. 91–93; 303, fig. 9A:1.

<sup>56</sup> Muzeul Militar Național – Depozitul de Arheologie (un fragment provenit din săpătura lui Romeo Avram); Negru, Bădescu, Avram 2003a, p. 238, pl. 1/11.

<sup>57</sup> Benea 2000, p. 435, fig. 1:1.

<sup>58</sup> Suceveanu 2000, p. 173–174, pl. 84:7.

<sup>59</sup> Brukner 1981, p. 185, pl. 163:69.

<sup>60</sup> Kelemen 1990, p. 177–178, fig. 7:6,7.

<sup>61</sup> Kapitan 1972, p. 248, fig. 4.

<sup>62</sup> Panella 1973, p. 596; Panella 1970, pl. XXXIX/544.

<sup>63</sup> Vilvorder, Symonds, Rekk 2000, p. 481, fig. 3:1.

<sup>64</sup> Robinson 1959, p. 106, pl. 28, M 237.

<sup>65</sup> Slane 2000, fig. 14f.

<sup>66</sup> Martin 2000, p. 429, fig. 1:4.

<sup>67</sup> Hayes 1983, p. 155, fig. 25:26.

<sup>68</sup> Zeest 1960, p. 114, nr. 79b, pl. XXXIII.

Fragmentele de baze pot fi clasificate în trei tipuri (fiecare având subtipuri în funcție de forma cilindrică sau tronconică a piciorului). În secțiunea magistrală de la *Histria* au fost descoperite trei tipuri de asemenea baze.

### Tipul 1

Unicul exemplar încadrabil în acest tip are piciorul de formă cilindrică, curbată spre interior.

### Catalog

4. Amforă (fragmentară, bază)<sup>69</sup>. Ardere primară uniformă, oxidantă, pastă semifină, culoare gălbui-roșcată. Degresanți: particule mici și medii de calcit și oxizi de fier, sporadic mică. Fund inelar. Dimensiuni: DF = 62 mm, DMP = 68 mm, H = 42 mm. *Histria* 2001, sector BEM, S 1, c 2–3, -1,25 – 1,40 m, nr. 163, pl. 20, pl. 1/4.

Tip: Kapitan 1972, tip 2; Peacock & 1986, tip 47.

Cronologie: sfârșitul secolului al II-lea – prima jumătate a secolului al III-lea p. Chr.

Fragmente de baze de acest tip au fost descoperite la *Romula*<sup>70</sup>, unde au fost datate la sfârșitul secolului al II-lea și în prima jumătate a secolului al III-lea.

### Tipul 2

Următoarele trei baze de amforă au forma cilindrică, pasta de culoare cărămidă, complet arsă și diametrul de aproximativ 80 mm. Acestea se încadrează în același tip cu fragmentele superioare prezentate la numerele 2 și 3 din catalog.

### Catalog

5. Amforă (fragmentară, fund)<sup>71</sup>. Ardere primară neuniformă, oxidantă, pastă semifină, poroasă, culoare cărămidă la exterior și cărămidă închis la exterior. Caneluri exterioare pe picior. Degresanți: particule mici și medii de calcit. Fund inelar. Dimensiuni: DF = 82 mm, DMP = 96 mm, H = 75 mm. *Histria* 2001, sector BEM, S 1, c 3, -1,60 m, nr. 180, pl. 1/5.

6. Amforă (fragmentară, bază)<sup>72</sup>. Ardere primară neuniformă, oxidantă, pastă grosieră, poroasă, culoare roșie, fără decor. Angobă orange – roșcată la exterior. Degresanți: pietricele mici, particule medii de calcit, cuarț și oxizi de fier. Fund inelar. Dimensiuni: DF = 72 mm, DMP = 84 mm, H = 67 mm. *Histria* 2001, sector BEM, S 1, c 2, -1,30 m, nr. 62, pl. 1/6.

<sup>69</sup> Planșa nr. 3/4.

<sup>70</sup> Negru, Bădescu, Avram 2003a, p. 234, pl. 2:20–21.

<sup>71</sup> Planșa nr. 3/5.

<sup>72</sup> Planșa nr. 3/6.

7. Amforă (fragmentară, bază)<sup>73</sup>. Ardere primară uniformă, oxidantă, pastă semifină/grosieră, poroasă, aspră la pipăit, culoare cărămizie-roșcată, fără decor. Degresanți: particule mari de cuarț, calcit, pietricele mici și nisip. Fund inelar. Dimensiuni: DF = 82 mm, DMP = 111 mm, H = 150 mm. Histria 2001, sector BEM, S 1, c 2, -0,50 m, nr. 9, pl. 1/7.

Tip: Kapitän 1972, tip 2; Peacock & 1986, tip 47; Kelemen 1990, tip 21; Suceveanu 2000, tip LIX/6.

Analogii selective: Topoleanu 2000, p 140, pl. XLIV/358.

Cronologie: sfârșitul secolului al II-lea – începutul secolului al IV-lea p. Chr.

Exemplare asemănătoare au fost descoperite la Jidava<sup>74</sup>, Colonești-Mărunței<sup>75</sup> și *Ampelum*<sup>76</sup>. Ele au fost datate la sfârșitul secolului al II-lea p. Chr. și în prima jumătate a secolului al III-lea p. Chr. (Jidava), în secolele II–III p. Chr. (*Ampelum*), respectiv de la mijlocul secolului al III-lea p. Chr. până la începutul secolului al IV-lea p. Chr. (Colonești-Mărunței). O amforă cu bază asemănătoare a fost descoperită în *Italia* (*Ostia*)<sup>77</sup>.

### Tipul 3

Alte trei fragmente sunt tronconice, pasta de culoare orange și diametrul maxim de aproximativ 80 mm.

### Catalog

8. Amforă (fragmentară, bază)<sup>78</sup>. Ardere primară uniformă, oxidantă, pastă semifină, culoare orange deschisă. Degresanți: pietricele, particule medii de calcit, oxizi de fier și mică. Dimensiuni: DF = 81 mm, DMP = 81 mm, H = 50 mm. Histria 2001, sector BEM, S 1, c 3, -0,90 m, nr. 110, pl. 1/8.

9. Amforă (fragmentară, bază)<sup>79</sup>. Ardere primară uniformă, oxidantă, pastă semifină, culoare orange-deschisă. Degresanți: pietricele (maxim 2 mm), particule medii de calcit, oxizi de fier și mică. Fund inelar. Dimensiuni: DF = 82 mm, DMP = 82 mm, H = 58 mm. Histria 2001, sector BEM, S 1, c 1–2, -0,95 m, nr. 121, pl. 1/9.

<sup>73</sup> Planșa nr. 3/7.

<sup>74</sup> Negru, Bădescu, Avram 2003a, p. 238, pl. 2/22.

<sup>75</sup> Bichir 1984, p. 39, pl. XXV:11; Negru, Bădescu, Avram 2003a, p. 238, pl. 2:23.

<sup>76</sup> Lipovan 1994, p. 229, pl. II:4; Negru, Bădescu, Avram 2003a, p. 238, pl. 2:24.

<sup>77</sup> Panella 1970, pl. XXXIX/545.

<sup>78</sup> Planșa nr. 3/8.

<sup>79</sup> Planșa nr. 3/9.

10. Amforă (fragmentară, bază)<sup>80</sup>. Ardere primară uniformă, oxidantă, pastă semifină, culoare orange închis. Degresanți: particule mici și medii de cuarț, calcit, mică și oxizi de fier. Fund inelar. Dimensiuni: DF = 81 mm, DMP = 81 mm, H = 39 mm. Histria 2001, sector BEM, S 1, c 2–3, -1,25 –1,40 m, nr. 156, pl. 1/10.

Tip: Kapitän 1972, tip 2; Peacock & 1986, tip 47.

Cronologie: sfârșitul secolului al II-lea – începutul secolului al IV-lea p. Chr.

Fragmente asemănătoare au fost descoperite la Jidava<sup>81</sup> și *Romula*<sup>82</sup>. Ele au fost datate între sfârșitul secolului al II-lea p. Chr. și începutul secolului al IV-lea p. Chr.<sup>83</sup>. Exemplare similare au fost găsite în *Pannonia* (*Aquincum*)<sup>84</sup>, în *Britannia* (Colchester)<sup>85</sup> și în *Italia* (*Capo Ognina*)<sup>86</sup>.

**Ultimul fragment** se încadrează, cel mai probabil, în acest tip cu bază tronconică.

### Catalog

11. Amforă (fragmentară, picior fără bază)<sup>87</sup>. Ardere primară uniformă, oxidantă, pastă semifină, ușor zgrunțuroasă la pipăit, culoare orange închis. Degresanți: particule dense și mici de calcit și mică și medii de oxizi de fier. Fund inelar. Dimensiuni: DF = 64 mm, DMP = 128 mm, H = 102 mm. Histria 2001, sector BEM, S 1, c 3, -1,60 m, nr. 174, Pl. 1/11.

### ABREVIERI

BEM = *Basilica extra muros*;  
c = caroul;  
DM = diametrul maxim (pentru obiectele ceramice, altele decât vase);  
DMG = diametrul maxim la gură;  
DF = diametrul fundului;  
DMP = diametrul maxim păstrat;  
GrM = grosime maximă (pentru obiectele ceramice, altele decât vase);  
H = înălțimea păstrată a fragmentului ceramic;  
S = secțiunea.

### BIBLIOGRAFIE

Abadie-Reynal 1989 – C. Abadie-Reynal, *Les amphores proto-byzantines d'Argos*, în *Recherches sur la ceramique byzantine*, 1987 (1989), p. 47–56.

<sup>80</sup> Planșa nr. 3/10.

<sup>81</sup> Negru, Bădescu, Avram 2003a, p. 238, pl. 2/25–27.

<sup>82</sup> Negru, Bădescu, Avram 2003a, p. 238, pl. 2/28–31.

<sup>83</sup> Bichir 1984, p. 107–108.

<sup>84</sup> Kelemen 1990, p. 181, fig. 8:20.

<sup>85</sup> Vilvorder/Symonds/Rekk 2000, p. 481, fig. 3:2.

<sup>86</sup> Kapitän 1972, p. 248, fig. 4.

<sup>87</sup> Planșa nr. 3/11.

- Angelescu 1998 – Mircea V. Angelescu, *Ceramica*, în Suceveanu. Al, *Fântânele. Contribuții la studiul vieții rurale în Dobrogea romană*, București, 1998, p. 217–234, pl. VII–XXIV.
- Ardeț 1993 – A. Ardeț, *Le municipes romaines de Tibiscum*, La Politique éditiale dans les provinces de l'Empire Romain, Actes du 1er Colloque Roumano-Suisse, Deva 1991, Cluj-Napoca, 1993, p. 83–89.
- Ardeț 1996 – A. Ardeț, *Considération sur les amphores romaines de Tibiscum*, Omaggio a Dinu Adameșteanu, Cluj-Napoca, 1996, p. 165–167.
- Baumann 1995 – Victor Henrich Baumann, *Așezări rurale antice în zona gurilor Dunării. Contribuții arheologice la cunoașterea habitatului rural (sec. I–IV p. Chr.)*, Tulcea, 1995.
- Baumann 2003 – Victor Henrich Baumann, *Noi săpături de salvare în așezarea rurală antică de la Telița – Amza (jud. Tulcea)*, Peuce S. N. 1 (14), p. 155–232.
- Benea 1996 – Doina Benea, *Dacia sud – vestică în secolele III–IV*, Timișoara, 1996.
- Benea 2000 – Doina Benea, *Les amphores de Tibiscum. Les relations commerciales entre la Dacie et les territoires de la Méditerranée orientale*, RCRF Acta 36, Abingdon, p. 435–438.
- Bichir 1984 – Gheorghe Bichir, *Geto-dacii din Muntenia în epoca romană*, București, 1984.
- Bjelajac 1996 – Ljiljana Bjelajac, *Amfore gornjo mejiskog Podunavia*, Beograd, 1996.
- Bogdan-Cătănicu, Barnea 1979 – Ioana Bogdan-Cătănicu, Al. Barnea, *Ceramica și descoperiri mărunte*, în *Tropaeum Traiani, I* (coord. Ion Barnea). Biblioteca de Arheologie, XXXV, București, 1979, p. 177–266.
- Brukner 1981 – Olga Brukner, *Rimska keramika u Jugosloveskom delu Provincije Donje Panonije*, Dissertationes et monographiae, 24, 1981, Beograd.
- Carignani, Pacetti 1989 – A. Carignani, F. Pacetti, *Anfore tardo-antiche dagli scavi del Palatino*, în *Amphores romaines et histoire économique*, 1986 (1989), p. 610–615.
- Daševskaja 1991 – O. D. Daševskaja, *Pozdnie skij v Kr'mu*, ArheologijaSSSR, 1–7, 1991.
- Dyczek 1996 – P. Dyczek, *Novae. Une forteresse de la Première Légion Italique. Remarques concernant les amphores romaines aux I<sup>er</sup>–III<sup>es</sup> siècles ap. J.-C.*, Revue des archéologiques et historiens d'art de Louvain, 29, Louvain-la-Neuve, 1996, p. 23–40.
- Dyczek 1999 – P. Dyczek, *Amfory rzymskie z obszaru dolnego Dunaju. Dystrybucja amfor i transportowanych w nich produktów w I–III w. po Chr.*, Warszawa, 1999.
- Empereur, Picon 1989 – J.-Y. Empereur, M. Picon, *Les régions de production d'amphores impériales en Méditerranée Orientale*, în *Amphores romaines et histoire économique: dix ans de recherches*, Collection de l'École Française de Rome, 114, Paris-Roma, 1986 (1989), p. 223–248.
- Falkner 1999 – R. K. Falkner, *The pottery*, în A. G. Poulter, R. K. Falkner, J. D. Shepherd, *Nicopolis ad Istrum: A Roman to Early Byzantine city. The pottery and glass*, London, 1999, 55–296.
- Hárshegyi 2004 – P. Hárshegyi, *Roman amphorae from the civil town of Brigetio / Szöny-Vásárter 1992 – 2001*, ComArchHung, 2004, p. 113–121.
- Hayes 1983 – J. W. Hayes, *The Villa Dionysos Excavation, Knossos: The Pottery*, The Annual of the British School at Athens 78, 1983, p. 97–169.
- Ionescu, Georgescu 1997 – M. Ionescu, N. C. Georgescu, *Cercetări periegetice în teritoriul callatian*, SCIVA 48, 2, 1997, p. 155–175.
- Kapitan 1972 – G. Kapitan, *Le amfore del relitto romano di Capo Ognina (Siracusa)*, AmphRom, 10, 1972, 243–252.
- Kelemen 1990 – M. Kelemen, *Roman Amphorae in Pannonia*, III, ActaArchHung, 42, 1–4, 1990, p. 147–194.
- Košelenko, Kruglicova, Dolgorukov 1984 – G. A. Košelenko, I. T. Kruglicova, V. S. Dolgorukov, *Antičnye Gosudartsva Severnogo Pričernomor'ja*, Arheologija SSSR, 1984.
- Kuzmanov, Salkin 1992 – Gheorghe Kuzmanov, A. Salkin, *Antični amfori akvatorijata na Cernomorskato kraibrezje na ložna Dobrudža*, IzvestijaVarna, 28, 1992, p. 27–61.
- Laubenheimer 1990 – F. Laubenheimer, *Le temps des amphores en Gaule. Vins, huiles, et sauces*, 1990, Paris.
- Lemaître 2000 – S. Lemaître, *Les importations des amphores de Méditerranée orientale à Lyon au III<sup>e</sup> siècle ap. J.-C.*, RCRF Acta 36, Abingdon, 2000, p. 467–476.
- Lipovan 1994 – I. T. Lipovan, *Amfore, chiupuri și urcioare romane de la Ampelum*, Apulum 31, 1994, p. 227–239.
- Lungu, Bounegru, Avram 1990 – Virgil Lungu, Octavian Bounegru, Alexandru Avram, *Cercetările arheologice din așezările romane de la Cogelac*, Pontica 23, 1990, p. 161–175.
- Lusuardi Siena 1977 – S. Lusuardi Siena, *Appunti su alcune tipi di anfore lunensi*, în *Methodes classiques et methodes formelles*, 1974 (1977), p. 207–230.
- Martin 2000 – A. Martin, *Amphorae at Olympia*, RCRFActa 36, 2000, p. 427–433.
- Martin 2005 – A. Martin, *Pottery at Ostia (4<sup>th</sup> to 8<sup>th</sup> centuries). The evidence from the Aar-Dai excavations*, RCRF Acta 39, Abingdon, 2005, p. 127–132.
- Negru, Bădescu, Avram 2003a – Mircea Negru, Alexandru Bădescu, Romeo Avram, *Amfore de tip Kapitan II în Dacia romană*, CA, 12, 2003, p. 231–240.
- Negru, Bădescu, Avram 2003b – M. Negru, Al. Bădescu, R. Avram, *Kapitan II amphorae in Roman Dacia*, RCRFActa, 38, Abingdon, 2003, p. 209–214.
- Nicolauo, Empereur 1986 – I. Nicolauo, J. Y. Empereur, *Amphores Rhodiennes du Musée de Nicosie*, BCH 1986.
- Nubar 1970 Nubar Hampartumian, *Șantierul arheologic Histria. Sectorul basilica extra muros*, MCA 9, 1970, p. 191–199.
- Nubar 1971 – Nubar Hampartumian, *Contribuții la topografia cetății Histria în epoca romano-bizantină. Considerații generale asupra necropolei din sectorul basilicii „extra muros”*, SCIV 22, 2, 1971, p. 199–215.
- Opaîț 1980 – Andrei Opaîț, *Considerații preliminare asupra amforelor romane și romano-bizantine din Dobrogea. Considerații preliminare asupra ceramicii romane de la Troesmis*, Peuce 8, 1980, p. 291–327.
- Opaîț 1991a – A. Opaîț, *Ceramica din așezarea și cetatea de la Independența (Murighiol) în secolele V î.e.n. – VII e.n.*, Peuce, 10, 1991, p. 133–182 (vol. I), p. 165–216 (vol. II).
- Opaîț 1991b – A. Opaîț, *Ceramica*, în A. Opaîț, M. Zahariade, Gh. Poenaru-Bordea, Cristina Opaîț, *Fortificația și așezarea romană târzie de la Babadag – Topraichioi, V*, Ceramica, Peuce 10, 1991, vol. I, p. 211–269; vol. II, 219–283.
- Opaîț 1996 – A. Opaîț, *Aspecte ale vieții economice din provincia Scythia (secolele IV–VI p. Chr.). Producția ceramicii locale și de import*, București, 1996.
- Outschar 1993 – Ul. Outschar, *Ephesische Amphoren*, in Materialien und Berichte des ÖAI, 5 (1993).
- Panella 1970 – Cl. Panella, *Le Anfore, Ostia II*, Studi Miscellanei 16, 1970, 102–156.



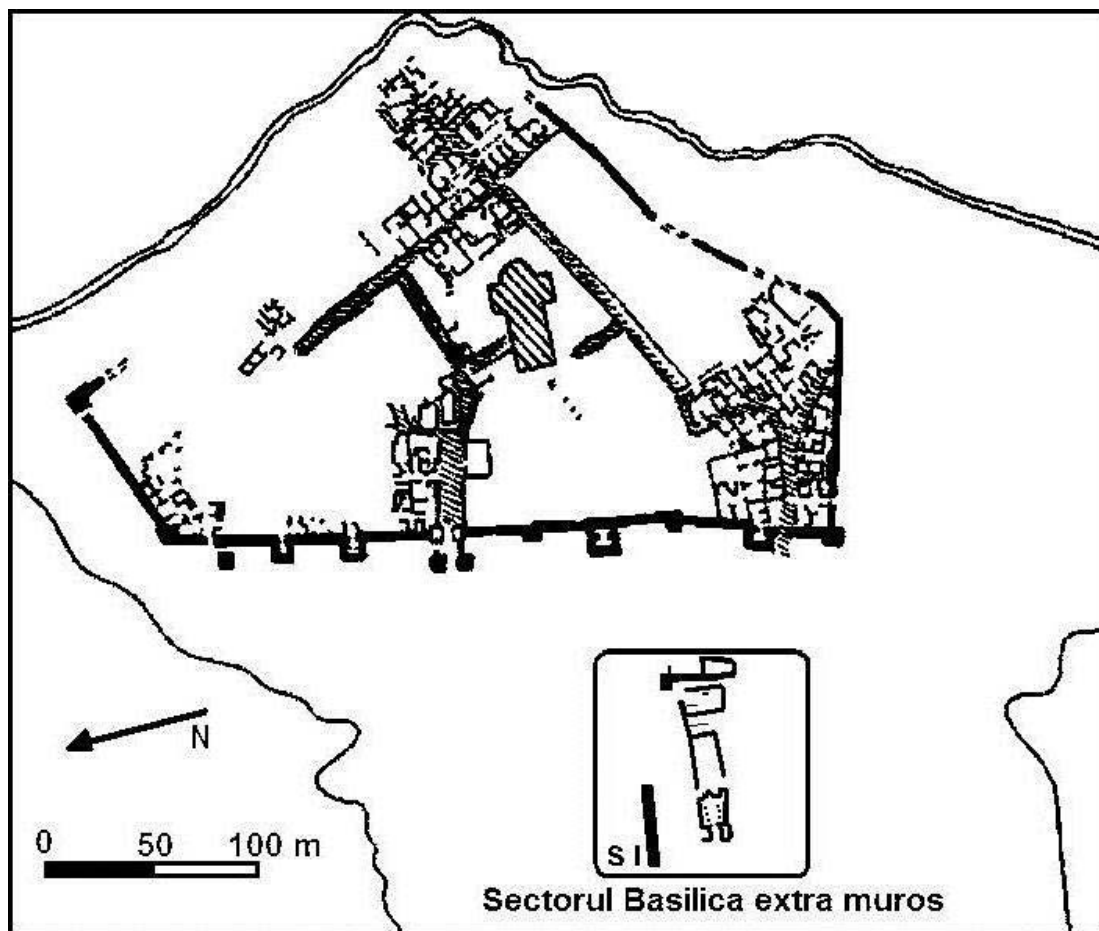
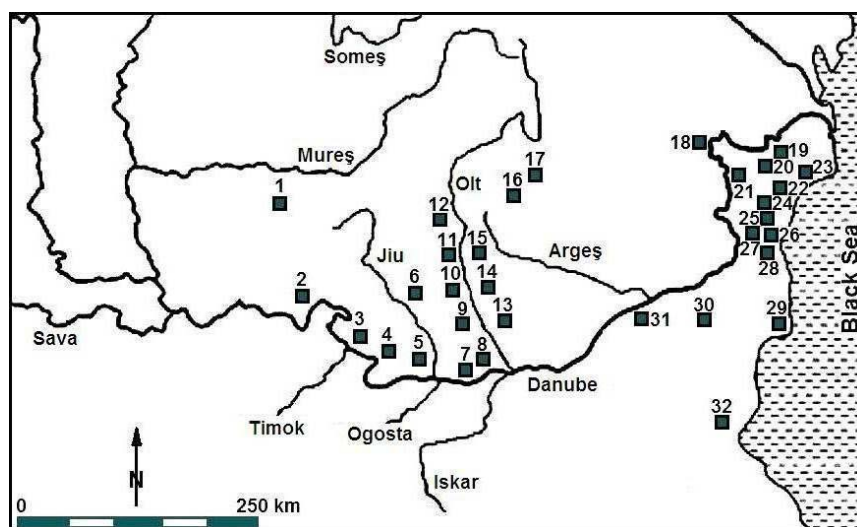
- Panella 1972 – Cl. Panella, *Annotazioni in margine alle stratigrafie delle terme ostiensi del Nuotatore*, în *Recherches sur les amphores romaines*, 1972, p. 69–106.
- Panella 1973 – Cl. Panella, *Le Anfore*, Ostia III, Studi Miscellanei 21, 1973, 460–633.
- Panella 1989 – Cl. Panella, *Le anfore italiche del II secolo D. C.*, în *Amphores romaines et histoire économique*, 1986 (1989), p. 139–178.
- Paraschiv 2006 – D. Paraschiv, *Amfore romane și romano-bizantine în zona Dunării de Jos (sec. I – VII)*, Iași, 2006.
- Peacock, Williams 1986 – D. P. S. Peacock, D. F. Williams, *Amphorae and the Roman Economy. An introductory Guide*, London-New York, 1986.
- Popescu 1957 – Em. Popescu, *Șantierul arheologic Histria. Sectorul de la vest de zidul de incintă din valul al III-lea*, MCA 4, 1957, p. 16–24.
- Popescu 1994 – Em. Popescu, *Les antiquités paléochrétiennes d'Histria, Christianitas daco-romana*. Florilegium studiorum, București, 1994, p. 306–396.
- Popilian 1974 – Gh. Popilian, *Contribution à la typologie des amphores romaines découvertes en Oltenie (II<sup>e</sup> – III<sup>e</sup> siècles de n. E.)*. Dacia N. S. 18, p. 137–146.
- Popilian 1976 – Gh. Popilian, *Ceramica romană din Oltenia*, Craiova, 1976.
- Reynolds 2004 – P. Reynolds, *The Roman pottery from the Triconch Palace*, în R. Hodges, W. Bowden, K. Lako (eds.), *Byzantine Butrint: Excavations and Surveys 1994 – 99*, Oxford, p. 224–269.
- Riley 1979 – J. A. Riley, *The coarse pottery from Benghazi*, în J. A. Lloyd (ed.), *Excavations at Siidi Krebish Bengazi (Berenice) II*, Tripoli, 1979, p. 91–467.
- Robinson 1959 – H. S. Robinson, *The Athenian Agora V, Pottery of the Roman Period. Chronology*, Princeton, New Jersey, 1959.
- Rusu-Bolindeț, Bădescu 2005 Viorica Rusu-Bolindeț, Al. Bădescu, *Sectorul Basilica extra muros*, SCIVA 54–56, 2003–2005, p. 103–130.
- Sanie 1981 – S. Sanie, *Civilizația romană la est de Carpați și romanitatea pe teritoriul Moldovei (secolele II î. e. n. – III e. n.)*, Iași, 1981.
- Scorpan 1975 – C. Scorpan, *Ceramica romano-bizantină de la Sacidava*, Pontica, 8, 1975, p. 263–313.
- Scorpan 1976 – C. Scorpan, *Origini și linii evolutive în ceramica romano-bizantină (sec. IV–VII) din spațiul mediteranean și pontic*, Pontica 9, 1976, p. 155–185.
- Scorpan 1977 – C. Scorpan, *Contribution à la connaissance de certains types céramiques romano-bizantins (IV<sup>e</sup>–VII<sup>e</sup> siècles) dans l'espace istro-pontique*, Dacia N.S. 21, 1977, p. 269–297.
- Slane 2000 – Kathleen Warner Slane, *East-West trade in fine wares and commodities: the view from Corinth*, RCRF Acta 36, Abingdon, 2000, p. 299–312.
- Stângă 1998 – Ion Stângă, *Viața economică la Drobeta în secolele II–VI p. Chr.*, București, Bibliotheca Thracologica XXVI, 1998, 270 p. + 112 pl.
- Suceveanu 1982 – Al. Suceveanu, *Les Thermes Romains (= Histria VI)*, Bucarest-Paris, 1982.
- Suceveanu 2000 – Al. Suceveanu, *La céramique romaine des I<sup>er</sup>–III<sup>e</sup> siècles ap. J.-C. (=Histria X)*, Bucarest, 2000.
- Tomber, Dore 1998 – R. Tomber, J. Dore, *The National Roman Fabric Reference Collection*, London, 1998.
- Topoleanu 2000 – Fl. Topoleanu, *Ceramica romană și romano-bizantină de la Halmyris (sec. I–VII d. Ch.)*, Tulcea, 2000.
- Vilvorder, Symonds, Rekk 2000 – F. Vilvorder, R. P. Symonds, S. Rekk, *Les amphores orientales en Gaule septentrionale et au sud-est de la Grand-Bretagne*, RCRF Acta, 36, 2000, p. 477–486.
- Williams, Zervos 1983 – Ch. K. Williams, O. H. Zervos, *Corinth 1981: East of Theater*, Hesperia 52, 1 p. 1–32 + 12 pl.
- Zeest 1960 – I. B. Zeest, *Keramičeskaja Tara Bospora*, MIA 83, 1960.

## ILUSTRAȚIE

- Pl. 1. Planul general al Histriei și poziționarea sectorului *Basilica extra muros*.
- Pl. 2. Harta descoperirilor de pe teritoriul României: 1 – *Tibiscum*; 2 – *Dierna*; 3 – Gârla Mare; 4 – Izîmșa; 5 – Cioroiul Nou; 6 – Răcari; 7 – Orlea; 8 – *Sucidava*; 9 – Slăveni; 10 – *Romula*; 11 – Enoșești – *Acidava*; 12 – Stolniceni – *Buridava*; 13 – Gresia; 14 – Crâmpoia; 15 – Colonești-Mărunței; 16 – Jidava; 17 – Râșnov; 18 – Barboși; 19 – *Aegyssus*; 20 – Telița – Amza; 21 – *Troesmis*; 22 – Plopu; 23 – *Halmyris*; 24 – Babadag – Topraichioi; 25 – Slava Rusă; 26 – *Histria*; 27 – Fântânele; 28 – Cogeașlac; 29 – *Tomis*; 30 – *Tropaeum Traiani*; 31 – *Sacidava*; 32 – Arsa.
- Pl. 3. Amfore de tip Kapitän II descoperite la Histria (Sectorul *Basilica extra muros*).

## PLATES

- Pl. 1. General plan of Histria and the position of the Sector *Basilica extra muros*.
- Pl. 2. Map of the discoveries of the Amphoras Kapitän II type on the territory of Romania: 1 – *Tibiscum*; 2 – *Dierna*; 3 – Gârla Mare; 4 – Izîmșa; 5 – Cioroiul Nou; 6 – Răcari; 7 – Orlea; 8 – *Sucidava*; 9 – Slăveni; 10 – *Romula*; 11 – Enoșești-*Acidava*; 12 – Stolniceni-*Buridava*; 13 – Gresia; 14 – Crâmpoia; 15 – Colonești-Mărunței; 16 – Jidava; 17 – Râșnov; 18 – Barboși; 19 – *Aegyssus*; 20 – Telița – Amza; 21 – *Troesmis*; 22 – Plopu; 23 – *Halmyris*; 24 – Babadag-Topraichioi; 25 – Slava Rusă; 26 – *Histria*; 27 – Fântânele; 28 – Cogeașlac; 29 – *Tomis*; 30 – *Tropaeum Traiani*; 31 – *Sacidava*; 32 – Arsa.
- Pl. 3. Amphoras Kapitän II type discovered at Histria in the sector *Basilica extra muros*.

Pl. 1. Planul general al Histriei și poziționarea sectorului *Basilica extra muros*.

Pl. 2. Harta descoperirilor de pe teritoriul României: 1 – *Tibiscum*; 2 – *Dierna*; 3 – Gârla Mare; 4 – Izîmșa; 5 – Cioroiul Nou; 6 – Răcari; 7 – Orlea; 8 – *Sucidava*; 9 – Slăveni; 10 – *Romula*; 11 – Enoșești – *Acidava*; 12 – Stolniceni – *Buridava*; 13 – Gresia; 14 – Crâmpoia; 15 – Colonești-Măruntiei; 16 – Jidava; 17 – Râșnov; 18 – Barboși; 19 – *Aegyssus*; 20 – Telița – Amza; 21 – *Troesmis*; 22 – Plopu; 23 – *Halmiris*; 24 – Babadag – Topraichioi; 25 – Slava Rusă; 26 – *Histria*; 27 – Fântânele; 28 – Cogeaalac; 29 – *Tomis*; 30 – *Tropaeum Traiani*; 31 – *Sacidava*; 32 – Arsa.



**ACADEMIA ROMÂNĂ**  
**INSTITUTUL DE ARHEOLOGIE „VASILE PÂRVAN”**

**MATERIALE  
ȘI  
CERCETĂRI  
ARHEOLOGICE**

**SERIE NOUĂ  
IX**

**2013**



**EDITURA ACADEMIEI ROMÂNE**  
**BUCUREȘTI, 2013**



## **Colegiul de redacție**

**PROF. DR. ALEXANDRU BARNEA** (Universitatea București), **DR. SANDA BALESCU** (Université des Sciences et Technologies de Lille, Laboratoire de Préhistoire et Quaternaire, CNRS), **PROF. DR. CLIVE BONSALL** (University of Edinburgh), **PROF. DR. NIKOLAUS BOROFFKA** (Deutsches Archäologisches Institut – Eurasien Abteilung, Berlin, Germany), **DR. GH. I. CANTACUZINO** (Institutul de „Arheologie Vasile Pârvan” București), **DR. UWE FIEDLER** (Berlin), **DR. RADU HARHOIU** (Institutul de Arheologie „Vasile Pârvan” București), **DR. ANNIE RENOUX** (Université du Maine, Le Mans), **PROF. DR. ERIK TRINKAUS** (Department of Anthropology, Washington University), **PROF. DR. ALAIN TUFFREAU** (Université des Sciences et Technologies de Lille, Laboratoire de Préhistoire et Quaternaire), **ACAD. ALEXANDRU VULPE** (Institutul de Arheologie „Vasile Pârvan” București).

## **Comitetul de redacție**

**ROXANA DOBRESCU** – redactor-șef

**ADRIAN IONIȚĂ** – redactor-șef adjunct

**IRINA ACHIM, ADINA BORONEANȚ, ADRIAN DOBOȘ, LIANA OȚA, ADRIANA PANAITE, DANIEL SPÂNU, VLAD VINTILĂ ZIRRA** – membri

**LILIANA ZAHARIA** – secretar de redacție

Redactor Editura Academiei Române: **ADRIAN MIRCEA DOBRE**

Tehnoredactor Editura Academiei Române: **DOINA STOIA**

Revista se poate procura contracost la sediul EDITURII ACADEMIEI ROMÂNE, Calea 13 Septembrie nr. 13, sector 5, 050711, București, România; tel. 4021-318 8146, 4021-318 8106, Fax 4021-318 2444, e-mail: [edacad@ear.ro](mailto:edacad@ear.ro).

ORION PRESS IMPEX 2000 S.R.L., P.O. Box 77-19, sector 3, București, România, Tel./Fax: 4021-610 6765, 4021-210 6787, Tel.: 0311 044 668, e-mail: [office@orionpress.ro](mailto:office@orionpress.ro).

S.C. MANPRES DISTRIBUTION S.R.L., Piața Presei Libere, nr. 1, Corp B, Etaj 3, Cam. 301–302, sector 1, București, România, tel./fax: (4021) 314 6339, e-mail: [abonamente@manpres.ro](mailto:abonamente@manpres.ro), [office@manpres.ro](mailto:office@manpres.ro), [www.romanianjournals.com](http://www.romanianjournals.com).

DEREX COM S.R.L., e-mail: [derex\\_com@yahoo.com](mailto:derex_com@yahoo.com)

Orice corespondență se va trimite Colegiului de redacție pe adresa: str. Henri Coandă 11, 010667 București, tel./fax 4021 212 88 62. și [redactie\\_iab@yahoo.com](mailto:redactie_iab@yahoo.com)

Normele de redactare a manuscriselor și lista abrevierilor folosite în revistă sunt în general aceleași ca în celelalte publicații ale Institutului de Arheologie. În măsura în care vom elabora alte norme, ne obligăm să le publicăm în numărul următor.

© 2013, EDITURA ACADEMIEI ROMÂNE

## SUMAR

ALAIN TUFFREAU, ROXANA DOBRESU, SANDA BALESCU, MĂDĂLIN CORNEL VĂLEANU, Boinești (département de Satu-Mare), Moustérien, Aurignacien et processus taphonomiques .....	7
ALEXANDRU CIORNEI, Petrografia silicolitelor din siturile Paleoliticului superior de pe Valea Dunării. Caracteristici și proveniență .....	41
MIHAI GLIGOR, MARIANA ROȘU, CĂLIN ȘUTEU, New Evidence on Burial Practices in Petrești Culture .....	67
CAMELIA-MIRELA VINTILĂ, CARMEN PAVEL, MARIAN NEAGU, Noi aspecte ale plasticii antropomorfe descoperite la Dunărea de Jos .....	83
ALIN FRÎNCULEASA, BIANCA PREDA, OCTAV NEGREA, ANDREI DORIAN SOFICARU, Cercetări arheologice în cimitirul din epoca bronzului târziu de la Câmpina (jud. Prahova) – campaniile 2011 și 2012 .....	97
DANIEL SPÂNU, Fibule „de tip hibrid”?	145
MIRCEA DABÎCA, Noi cercetări arheologice în partea de sud a cetății Histria. Campaniile 2003–2009 .....	157
ALEXANDRU BĂDESCU – Amfore orientale de tip Kapitän II descoperite la <i>Histria</i> în Sectorul <i>Basilica extra muros</i> .....	189
ANNAMARIA DIANA, MIHAI MEȘTER, Meeting an Early Medieval Community: A Preliminary Analysis of the Human Skeletal Remains from the Jucu Cemetery (Cluj-Napoca, Romania) .....	3; ;
BOGDAN CIUPERCĂ, ANDREI MĂGUREANU, EUGEN PAVELEȚ, DORIN SÂRBU, Cercetări arheologice în Curtea Domnească de la Târgșoru Vechi .....	219
RADU-ALEXANDRU DRAGOMAN, MIHAI FLOREA, Preambul la o cercetare arheologică a fostei colonii de muncă forțată din perioada comunistă de la Poarta Albă, România .....	231

## RECENZII

Laurent Carozza, Cătălin Bem, Cristian Micu (eds.), <i>Société et environnement dans la zone du Bas Danube durant le 5<sup>ème</sup> millénaire avant notre ère</i> , Editura Universității „Alexandru Ioan Cuza”, Iași, 2011, 413 p. (Cristian Eduard Ștefan) .....	243
<b>Abrevieri</b> .....	245



## SOMMAIRE

ALAIN TUFFREAU, ROXANA DOBRESU, SANDA BALESCU, MĂDĂLIN CORNEL VĂLEANU, Boinești (département de Satu-Mare), Moustérien, Aurignacien et processus taphonomiques .....	7
ALEXANDRU CIORNEI, Petrografia silicolitelor din siturile Paleoliticului superior de pe Valea Dunării. Caracteristici și proveniență.....	41
MIHAI GLIGOR, MARIANA ROȘU, CĂLIN ȘUTEU, New Evidence on Burial Practices in Petrești Culture .....	67
CAMELIA-MIRELA VINTILĂ, CARMEN PAVEL, MARIAN NEAGU, Several antropomorphic figurines found during the excavations on the Vidra tell .....	83
ALIN FRÎNCULEASA, BIANCA PREDA, OCTAV NEGREA, ANDREI DORIAN SOFICARU, Archaeological research in the Bronze Age cemetery at Câmpina (Prahova county) – campaigns 2011 și 2012.....	97
DANIEL SPÂNU, Fibule „de tip hibrid”? .....	145
MIRCEA DABÎCA, Les principaux résultats des fouilles menées entre 2003 et 2009 à Histria, dans le périmètre du Secteur sud .....	157
ALEXANDRU BĂDESCU – Amphoras Kapitän II discovered at Histria, in extra muros Basilica .....	189
ANNAMARIA DIANA, MIHAI MEȘTER, Meeting an Early Medieval Community: A Preliminary Analysis of the Human Skeletal Remains from the Jucu Cemetery (Cluj-Napoca, Romania) .....	3; ;
BOGDAN CIUPERCĂ, ANDREI MĂGUREANU, EUGEN PAVELEȚ, DORIN SÂRBU, Archaeological research Cercetări arheologice în Curtea Domnească de la Târgșoru Vechi.....	219
RADU-ALEXANDRU DRAGOMAN, MIHAI FLOREA, Preamble of planned archaeological research in the former forced labor camp from the communist period at Poarta Albă, Romania .....	231

## COMPTE-RENDUS

Laurent Carozza, Cătălin Bem, Cristian Micu (eds.), <i>Société et environnement dans la zone du Bas Danube durant le 5<sup>ème</sup> millénaire avant notre ère</i> , Editura Universității “Alexandru Ioan Cuza”, Iași, 2011, 413 p. (Cristian Eduard Ștefan) .....	243
<b>Abréviations</b> .....	245

# Meeting an Early Medieval Community: A Preliminary Analysis of the Human Skeletal Remains from the Jucu Cemetery (Cluj-Napoca, Romania)

ANNAMARIA DIANA\*, MIHAI MEȘTER\*\*

**Keywords:** rural settlement, Early Medieval Transylvania, Slavs, Migration period, cemetery, palaeopathology, physical anthropology.

**Abstract:** The cemetery of Jucu – “Tetarom III” – was excavated in 2007, part of a commercial archaeological project triggered by the construction of the Nokia industrial park. The investigated area proved to be extremely rich, the traces of human habitation covering a rather extensive time period, from the Early Prehistory (Neolithic) to the XVIII century AD. This paper presents the preliminary results of the osteological analyses carried out on 60 individual skeletons. The study suggested higher rates of mortality among juveniles, slight differences in the distribution of pathological lesions between females and males, and an average stature similar to that of other North-Central Early Medieval populations in Europe. The cemetery of Jucu was used during a time period characterised by intense population movements. Given the limited number of written documents pertaining to the early Middle Ages in Transylvania, archaeological and osteological evidence is vital to our understanding of this region's history. The present research constitutes only a pilot study but has provided extremely valuable information about the post-Roman community whose members were entered at Jucu.

**Cuvinte cheie:** comunitate rurală, Transilvania, Evul Mediu timpuriu, slavi, migrații, paleopatologie, antropologie.

**Rezumat:** Necropola de la Jucu (jud. Cluj) – „Tetarom III” – a fost cercetată în 2007 în urma săpăturilor arheologice de salvare determinate de necesitatea descărcării de sarcină arheologică a terenului pe care urma să fie amenajat parcul industrial Nokia. Zona este bogată în situri arheologice a căror datare merge din epoca neolitică până în secolul al XVIII-lea. Articolul de față prezintă rezultatele preliminare ale analizei antropologice efectuate pe 60 de schelete din această necropolă. S-a constatat astfel o rată ridicată a mortalității infantile, o slabă diferență între sexe în ceea ce privește patologia și o talie medie apropiată de cea a altor populații europene din Evul Mediu timpuriu. Perioada în care necropola de la Jucu a fost folosită este caracterizată de intense migrații. Numărul de surse scrise ce conțin informații referitoare la această perioadă din istoria Transilvaniei fiind limitat, materialele arheologice și osteologice reprezintă o sursă fundamentală în cunoașterea istoriei acestei regiuni. Chiar și într-o formă preliminară, studiul de față a permis obținerea unor date prețioase asupra comunității de la Jucu.

## INTRODUCTION

The Early Medieval period is considered all over Europe as the time when national identities first started to develop, and Romania is no exception (Murgescu 2001, 27). It is generally accepted that during the post-Roman period, the Transylvanian regions were continuously crossed by Avars, Slavs, Gepids and other tribes. These populations had different ethnic backgrounds (Borsody *et al.* 1980, 44) and fought one another for short-lived periods of regional control.

Another factor that needs to be taken into account is that Transylvania was even then one of the transitory regions between Western Europe and the Byzantine Empire.

Under the Christian influence, inhumation burials started to coexist with cremations, the former eventually replacing the latter (Slavic) custom. During this period of transition, in this region situated at the border of the Occidental Christian world, pagan beliefs coexisted with Christian values that had been only recently adopted by the local population (Gall 2005; Meier and Graham-Campbell 2007, 432).

There are two main questions that need answering:

- Who were the people living in the Carpathian basin before the Hungarian expansion?
- Did they preserve their cultural identity?

Although the present paper does not claim to offer comprehensive answers to these matters, the osteoarchaeological information collected herein will provide important elements for a better understanding of this critical period in history.

The aim of this study was twofold:

- to present the results of the osteoarchaeological analysis conducted between May and July 2011 on the human skeletal assemblage

\* PhD candidate in Human Osteoarchaeology, Edinburgh University, School of History, Classics and Archaeology, e-mail A.Diana@sms.ed.ac.uk;

\*\* Muzeul de Istorie, Gherla (Cluj-Napoca).



recovered in 2007 in the village of Jucu, Cluj-Napoca, Romania and stored at the Museum of History of Gherla (Cluj-Napoca).

- to promote unknown aspects of Transylvanian archaeology and history, both to the local communities and to the foreign visitors and researchers. This constitutes an important goal for a small cultural centre such as Gherla and its surrounding communities, where curiosity about the distant and recent past has always been very strong (Meşter 2011).

### THE SITE

In the spring of 2007, within the perimeter of the “Tetrom III” Industrial Park located at the periphery of the Jucu village, preliminary investigation aimed at preparing the area for the construction of a Nokia factory started.

According to the Romanian legislation protecting archaeological sites, excavations had to be carried out in order to identify, record and recover historical and archaeological information (Fig. 1). Following the survey undertaken by a group of specialists (directed by Dr. Alexandru Diaconescu from the Department of Ancient History and Archaeology of the Babeş-Bolyai University in Cluj-Napoca) within an area of more than 160 ha, numerous archaeological sites dating from prehistory to the XVIII century AD were identified, and assigned to one of two categories:

1. Major sites (a Roman farm, the Autochthonous-Slavic settlement, the necropolis);
2. Secondary sites (a seasonal Neolithic settlement, a seasonal structure of the Coţofeni culture and a „hunter’s house” dating to the XVIII century AD).

### The Roman Farm (*Villa Rustica*)

This group of buildings occupied an area of 1.5 ha and was surrounded by a stone wall to which several structures were related. A total of seven structures were identified, one being the main household and the others related structures. On the south-east side of the courtyard a well was discovered and excavated.

The archaeological material unearthed consisted of agricultural and craft tools, nails for the wooden building elements, glass panel fragments, fibulae, a bronze decorative element, bone needles, glass beads, Roman provincial pottery, and harness elements. Another interesting finding is a golden pendant shaped through hammering into a crescent moon, probably a byzantine import dated to the

VIII century AD. The harness garments and the tiles stamped “AIIP” may indicate the role played by this farm in building and developing the roads used by the military settlement of Gherla where a Pannonian cavalry unit was quartered.

### The Slavic-Autochthonous settlement

This site with a total area of c. 0.70 ha was identified not far from the River Someş, at a distance of c. 2 km from the Roman farm. The excavation led to the discovery of shallow surface structures, but also of deeper structural remains at different depth levels. The archaeological material recovered included Romano-Slavic pottery (VII–IX century AD), iron tool fragments, burnt and semi-burnt timber, daub, fireplaces surrounded by stones with traces of firing, as well as storage pits. Pottery analyses, the identification of cemeteries with both inhumation and cremation burials, and the size and length of use of this settlement – approximately two centuries – suggest that it was a Romanian-Slavic community, similar to several others found throughout Transylvania.

### The Romanian-Slavic cemetery

During the excavation of the *villa rustica* an inhumation burial was unearthed within the confines of this structure. Further investigation led to the identification of an inhumation-cremation cemetery with a perimeter of c. 0.50 ha, having as boundaries the central part of the Roman farm, the seasonal Coţofeni house, the Roman well, and the western side of the Romanian-Slavic settlement.

During the 2007 campaign, an estimated 25% of the cemetery was excavated, unearthing 88 inhumation burials and 13 cremation urns distributed among the inhumation burials (Fig.2). The initial interpretation of this burial site was that the individuals buried there had lived in the Romanian-Slavic settlement, given that the first burials were located within the Roman farm area which was later abandoned. Another important observation was that the inhumation burials belonged to local people who were Christians, whereas the funerary urns contained the remains of Slavic individuals (pagans) who co-existed peacefully with the autochthonous community in the aforementioned settlement.

With regards to the „secondary” sites identified in the same area – the seasonal Neolithic settlement, the seasonal structure of the Coţofeni culture and the “hunter’s house” dating to the

XVIII century AD – these produced fragmentary and sometimes unidentifiable material which provides no significant information both archaeologically and historically.

### THE ANTHROPOLOGICAL ANALYSES

During the excavation of the cemetery 88 burial numbers were assigned. Human remains were recovered from only 60 funerary contexts – 55 anatomically connected skeletons with varying degrees of preservation, and 5 identifiable isolated cranial and post-cranial elements (Table 1).

#### Methodology for the estimation of demographic features

All measurements were taken using a manual sliding calliper, a hand-made osteometric board and a tape measure. Manuals regularly used were White and Folkens (2010), Buikstra and Ubelaker (1994), Mays (2010), Van Beek (1983) and Hillson (1996, 2001).

For the estimation of sex in adults, multiple skeletal elements subject to dimorphic variability (i.e. shape of pelvic bones, skull features, and metric variation of post-cranial bones) were considered in order of reliability, and their results cross-referenced (guidelines by Buikstra and Ubelaker 1994; Mays 2010; White and Folkens 2005; methods by İşcan *et al.* 1984; Lovejoy *et al.* 1985; Brooks and Suchey 1990; Buckberry and Chamberlain 2002). A similar approach was used for the estimation of age (methods by Todd 1920; Phenice 1969; Brothwell 1989; Meindl *et al.* 1985 a, 1985b; Shaefer, Black and Scheuer 2009) and the identification of pathologies (as described in Aufderheide and Rodríguez-Martín 1998; Ortner 2003; Waldron 2009).

Determining features such as age at death and sex is vital to our understanding of past populations' mortality and morbidity patterns. It has been, correctly, asserted that "age determination is ultimately an art, not a precise science" (Maples 1989, 323).

In this work, the fact that the individuals whose remains have been subject of analysis lived in the Early Medieval period was taken into account. They probably worked from a very young age, and could have faced long periods of famine, epidemics, and the lack of proper medical treatment. These factors may have accelerated the process of degeneration of bones and teeth and comparison with standards based on modern skeletal

assemblages is not ideal, but it is our only source. Table 2 shows the categories used to age the skeletons from Jucu.

### RESULTS

It could be argued that 60 individuals out of an estimated total assemblage of 300 should not be used for palaeodemographic analysis, unless they represent a closed, coherent unit.

However, in most cases ancient cemeteries are not excavated completely, and quite often archaeologists have to deal with limited samples (Howell 1982; Milner *et al.* 1989; Woods *et al.* 1993; Chamberlain 2000). Inevitably, it is impossible to recover 100% of an ancient population's biological or cultural remains. Osteoarchaeologists invariably have to deal with partial data, but this does not imply that we should be silent witnesses of the osteological paradox. With the help of comparative studies, statistics and some cultural and archaeological understanding of ancient societies, it is possible to reconstruct certain aspects of the past. Ultimately, skeletal assemblages represent the living populations that produced them (Cohen 1994, 629).

#### Age and sex distribution

A plot of the skeletal assemblage by age classes was created for statistical purposes. Figure 4 shows the ratio between adults and juveniles, which is in favour of the juveniles.

However, at this stage it is probably better to consider that a combination of causes underlies the age distribution pattern, and that the numbers obtained reflect realistic information limited to the group of skeletons that were the object of this study. In addition, among adults, the female-male ratio should not be considered significant given the small sample (Fig. 5).

#### Metric and morphologic differences between the sexes

For the assessment of sex, both visual inspection of the dimorphic features and metric variation of the skeleton were considered (guidelines by Bass 1987). When looking at the measurements of maximum length, maximum diameter of the head and bicondylar width of the humerus, the main difference between men and women in the Jucu sample was length, with the shaft being almost two centimetres longer on average in men.

Bicondylar width was almost one centimetre larger in males, while the diameter of humeral head is very similar between the two sexes (Table 4).

Measurements of maximum head diameter and maximum midshaft circumference of right and left femora yielded similar results: the maximum diameter of the head is slightly bigger in males, while the shaft circumference is more than one centimetre larger in males (Table 5).

Another feature examined was bilateral asymmetry. In general, when both sides were present, the sizes were very similar, and not more than 5 mm difference between right and left side could be measured (Tables 4 and 5).

In addition, average height determined from the better preserved skeletons showed that male individuals from these samples were generally taller than females.

It is very important to underline here that, given the small size of this sample, measurements and their comparison could not be tested statistically, and they are therefore just presented in order to give a general metric overview.

### Stature

The assessment of stature can be used to observe the correlation between nutritional status and height, and to compare populations from different geographical areas and chronological periods (Roberts and Manchester 2010, 41).

In this work the estimation of stature was attempted on adults when complete bones were found. The regression equation of Trotter and Gleser (1952), based on the measurement of the maximum length of long bones of skeletons from individuals of known stature killed in the Korean War, and adapted to different human groups by Bass (1987), was adopted. The equations were applied to the maximum length of right limb bones when available (otherwise to left limb bones). A bias has obviously been caused by the fact that the formulae were calculated on skeletal assemblages with a different ancestry than the skeletons from Jucu. Nevertheless, the calculations give an approximation of the median height of the individuals from this cemetery (Table 3).

### Pathologies and trauma

A limited number of diseases leave traces on dry bones. Furthermore, many factors can affect the state of preservation of a skeleton, limiting the extent to which we can properly inspect the cortical

bone or see the skeleton in its completeness. However, in spite of these limitations, the amount of information on pathological changes and traumatic injuries that bones can provide is considerable.

Within the Jucu assemblage, pathological changes were identified on the bones of twenty individuals, representing 36% of the sample analysed (Figs. 3, 6).

#### *Infectious diseases: non-specific infections*

As it can be seen in Fig. 6, periosteal inflammation (non-specific infectious disease) was found mostly on juvenile skeletons, and only one adult (M 51) showed a specific pattern of distribution of woven bone and periosteal reactions on the skull. Among the juveniles, one child (M 04<sub>(A)</sub>) and three infants (M 25<sub>(A)</sub>, M 28 and M 63) displayed new bone formation, mainly on femora and tibiae, as seen in other Medieval skeletal assemblages (Grauer 1993, 207) and indicating the spread of an infection to the bony level.

#### *Metabolic diseases*

Only one individual (M 26=32) displayed *cribra orbitalia*, generally connected to anaemia, especially to iron deficiency anaemia (Angel 1966; Stuart-Macadam 1992).

#### *Joint degenerative diseases*

Unexpectedly, general changes of the contour and surface of joints could be located only on a limited number of adult skeletons.

M 23<sub>(A)</sub> showed remodelled lesions (Schmorl's nodes) on a few thoracic vertebral bodies. However, most of the spine was either missing or had been heavily damaged post-mortem, making it difficult to assess whether the rest of the spine was also affected by similar lesions.

A better-preserved young adult male, skeleton M 24, displayed a similar pattern, i.e. the presence of Schmorl's nodes and marginal osteophytes on the bodies of thoracic vertebrae.

M 69 had a more severe form of Schmorl's nodes, gradually increasing in size from the last thoracic vertebra to the lumbar vertebrae.

M 60, an old male, was the most significant case of spinal degeneration from the skeletal assemblage, diagnosed as OA (osteoarthritis). In fact, despite the absence of eburnation, more than two of the changes that must be identified in order to allow the operational definition for osteoarthritis (Rogers *et al.* 1987, 185; Waldron 2009, 35) were present.

Three individuals were affected by spinal joint disease. The fact that they were all males might suggest the evidence for activity-related changes, as seen in other studies on Medieval British sites (Stirland and Waldron 1997; Coughlan and Holst 2001; Knüsel 2001).

#### *Dental disease*

Dental pathological lesions were recorded on the teeth of fifteen individuals (Fig. 7), representing >25% of the assemblage. Among adults, cavities were frequent, with seven adults (c. 20% of the individuals with dental pathology), displaying moderate to severe caries. One young and two mature adults displayed abscesses, probably caused by the presence of cavities on the nearest tooth. Nine individuals (26% of the assemblage, 60 % of the sample), all adults showed ante-mortem tooth loss (AMTL).

Calculus was found on the teeth of one mature and four young adults, while six adults (two young, four mature adults) displayed periodontal disease. In nine cases the same individual could be affected by more than one condition.

One sub-adult and one adult showed enamel hypoplasia (EH): M 62, had visible lines (two or more) on all teeth, excluding permanent molars (Fig. 8), while M 67, an individual with a very poor oral health, showed one line on the right upper canine.

#### *Fractures and other injuries*

Fractures are very interesting skeletal markers as their causative factors do not usually depend on the influence of external organisms such as bacteria and viruses, or diet and hygiene standards (Šlaus 2008, 459). They can give a picture of accidents in everyday life, and suggest the existence of inter-personal violence.

Within the Jucu skeletal assemblage, three adults (M 47, M 53 and M 54) had a bony callus on the left ulna, probably formed during the successful healing of indirect or direct traumatic injuries. One individual, M 60, displayed healed fractures on the ribs.

The occurrence of fractures on ulnae was noted in other studies of Medieval populations (Judd and Roberts 1998, 1999). The patterns of healing and positioning of those lesions can be linked to the so-called 'parry fractures' (Judd 2004, 2008), caused by accidental falls on the forearm or an attempt to protect the head from a direct blow. Some

researchers see them as clear evidence of inter-personal violence (Jurmain 1999, 217), but a more cautious approach is adopted here.

M 47 displayed a bony callus on the left ulna, exhibiting some post-mortem superficial damage that exposed the underlying trabecular bone. The appearance was that of a properly healed fracture. Only the proximal epiphysis and less than the first third of the shaft of the radius were preserved, unfortunately not enough to determine if both bones were fractured.

The left ulna of M 53 also showed a thickening of the midshaft (Fig. 9). This bump displayed a twisted pattern, and its cortical surface had a slightly lighter colour than the surrounding cortical bone and also showed some micro-porosity. These elements suggest a healed spiral fracture (Lovell 1997). The fractures evident on M 47 and M 53 were well healed, indicating that the limbs affected were protected from movement during the recovery period.

M 54 was a poorly preserved skeleton, with most bones, including the left ulna, exposing trabecular bone. The fragment, identified as the left ulna by looking at the cross section of its D-shaped shaft, displayed an irregularly-shaped porous formation, suggesting that a complication had probably occurred during the remodelling phase of the healing of a fracture (Fig. 10).

The bones of M 60 (a male) bore the signs of a physically demanding life-style. In fact, apart from the aforementioned spinal stress indicators and very strong muscular attachments with several enthesophytes, bony calluses were identified on the ribs. This pattern of fracture can be the result of direct trauma, occupational stress or even persistent coughing and/or vomiting (Lovell 1997, 159).

Two traumatic skull injuries were also identified: M 72 showed on the left side of the occipital a healed depressed fracture of the cranial vault, roughly the shape and size of the top of a thumb, which could have been caused by a blunt trauma (Lovell 1997, 155). M 51, a female individual affected by a non-specific infectious disease, also displayed on her left frontal a circular compressed fracture showing the typical pattern of a blunt trauma injury with radiating and concentric fractures (Berryman and Haun 1996, 4) (Fig. 11). Unfortunately, it was not possible to determine what kinds of objects had caused these injuries of the skull.

## DISCUSSION

Understanding how much the community of the dead is representative for the living society has always been a big challenge for the archaeologists. The disease load affects population growth and development, and thus the analysis of morbidity rates helps researchers to better understand modern and ancient societies (Roberts and Manchester 2010, 26).

According to palaeodemographic studies, in archaeological skeletal assemblages juveniles (infants mostly) are often under-represented, despite the fact that, given the high mortality rates of children during the past, we should expect to find a higher number of children (Aykroyd *et al.* 1999; Guy *et al.* 1997). In our case, more than half of the sample was represented by children and infants (Fig. 12). What does it mean? Various factors must be considered before attempting any hypothesis.

Firstly, all burials occurred quite close to the surface (60–70 cm below ground level) and most had been affected by the locals' agricultural activities and the excavation process. Both adult and juvenile graves had suffered similar amounts of damage owing to post-depositional factors.

Secondly, patterns of disposal of infants and children's bodies, in a community where Christian and Pagan traditions co-existed, may have resulted in better survival of juvenile remains.

Therefore, two main hypotheses may be proposed to explain the observed ratio of adults/sub-adults: 1) Mortality was higher in children than in adults; 2) The area of the cemetery excavated contained a higher proportion of juvenile burials.

With regard to the results of the pathological analyses, comparison of the incidence of disease within different age and sex categories reveals some interesting patterns. As shown in Fig. 6, morbidity rates were higher among young and mature adults. Some of the infants in the sample showed evidence of infectious diseases represented by the presence of woven bone. In pre-antibiotic societies, a simple cold or a small infection of soft tissues could cause a serious illness, and this is one of the reasons why many children died within the early years of life (Ortner 2003, 180).

One particularly interesting case is that of skeleton M 51, the only middle-aged female to show a severe infection at the level of the skull, a probable trauma on the frontal bone and dental diseases.

Among the children, some showed infectious diseases, but one only (M 26=32) displayed *cribra orbitalia*, together with osteolytic lesions on the femoral neck.

The dentitions of young and mature adults' were the most affected by disease. These two age classes were also the only representative ones for trauma. Old adults mainly showed AMTL and fractures. As seen in Fig. 8, all individuals affected by dental disease had caries. AMTL certainly was a consequence of the interaction of lesions such as caries, dental attrition and periodontal disease (Brothwell 1981, 154), the last mentioned especially being a major factor of tooth loss in ancient and modern populations (Roberts and Manchester 2010, 74). As also seen in some British cases (Roberts and Manchester 2010, 74), the rates of tooth loss are very similar to those of caries, and their presence increases with age. It is likely that many more individuals from the assemblage, perhaps all of them, had similar oral health problems but, unfortunately, not all the skeletons examined had a complete dentition, which can easily be damaged by post-depositional processes.

Furthermore, although it is difficult to estimate sex-specific frailty and life expectancy based on the data obtained from the analysis of such a limited sample, the analyses presented in Fig. 13 suggest a slightly higher incidence of morbidity among men. It is generally recognized that the nature of skeletal diseases is complicated by the different immune response of the sexes, owing to selective factors related to women's reproductive role as child bearers and the obvious sex-related physiological differences (Ortner 1998, 81; Roberts *et al.* 1998), which have determined the enhancement of female immune reactivity in the last 10,000 years as an adaptation of the female body to the risks of pregnancy (Roberts *et al.* 1998). In fact, if the developing countries are excluded (Roberts *et al.* 1998, 81), in the majority of modern populations, women live longer than men, experience lower age-specific mortality rates, and appear to be more resistant to environmental stressors and diseases (DeWitte 2010, 285).

Among the skeletons from Jucu men and women displayed very similar incidences of dental disease, while joint diseases affected only men.

With regard to fractures and trauma, the most interesting finding is the occurrence of ulnar fractures, as the only other fractures identified were on the ribs of M 60. Unfortunately, it was not possible to observe a meaningful pattern of frequency



by sex given the small number of individuals, one male, one probable female, and one female. However, the location of these fractures on left ulnae is interesting, as the frequency of fractures of the forearm, and in particular the ulna, is often attested in Medieval (Judd and Roberts 1999; Djurić *et al.* 2006) and Egyptian (Alvrus 1999) rural sites. In clinical studies the absence or limited presence of displacement is usually interpreted as the consequence of a direct blow (Lovell 1997, 165). Furthermore, in rural communities such as the one from Jucu, daily chores and a more hazardous, dynamic life than in the city, exposed males and females to animal-related injuries, tasks involving repeated stressful actions, and accidental falls (Judd and Roberts, 1999). In British Medieval rural sites an even distribution of fractures between man and woman, although with some differences in types and locations, has been observed (Judd and Roberts, 1999).

Traumatic injuries were also located on cranial vaults of two individuals. If these lesions were perimortem as hypothesised, then this raises interesting questions about the life and death of the individuals affected (one young male and one middle-aged female). In fact, cranio-facial trauma is often cited as an indicator for warfare and interpersonal violence (Knüsel 2005; Facchini *et al.* 2008). However, identifying a specific aetiology would be pure speculation at this stage.

## CONCLUSIONS

Considering that 80% of the cemetery is still unexcavated, the Jucu assemblage is the only human skeletal material on which to judge the characteristics of this early Medieval community.

The village of Jucu was located in a rural area, rich in water and natural sources. The material culture remains from the settlement and the grave goods have allowed archaeologists to date the site to the VII–X centuries AD. This period includes the so-called “South-East European Dark Ages” (Curta 2006, 70–110), characterised by political confusion following the withdrawal of the Romans, and subsequent raids by the Avars and the Slavs and, later, the Magyars.

Given the lack of literary sources and official documents for the time, archaeological and bioarchaeological studies are of vital importance.

The osteological data derived from the skeletal assemblage unearthed at Jucu shows high mortality among juveniles, followed by young and middle-

aged adults, and a comparison of the two sexes shows morbidity to have been higher for men.

These results can be explained in two ways:

1) If the assemblage is considered as a representative sample of the whole community buried in the cemetery, then it can be stated that life-expectancy was very low, since mortality was very high among young individuals. 2) Alternatively, this can be treated as a tentative conclusion pending recovery and analysis of a much larger sample of skeletons from the cemetery.

Some remarks and questions arise at this point:

- Given the high rate of mortality between the fourth and fifth decade of life within the Jucu assemblage, adults aged >45 years were included in the older age class.
- The age/disease distribution pattern reflects a common situation in Early Medieval cemeteries, with more dental diseases and fractures among adults and infectious diseases among sub-adults.
- A higher number of mature/old adults suffering from joint diseases might have been expected: is this a sign of high status classes, of the existence of privileged groups? Or, could it be an indicator of occupation-specific diseases?
- Is the presence of traumatic injuries an indicator of inter-personal violence or warfare?

Given the low incidence of joint diseases, the presence of very common pathologies such as non-specific and dental diseases, the robustness of most individuals' bones and an average stature similar to that of other populations from the same period, the health status of this group of individuals can be assessed as “good”, although life expectancy was rather low.

This picture is in line with other bioarchaeological studies of Medieval rural populations (Grauer 1993; Bennike *et al.* 2005; DeWitte 2010). In fact, it has often been noted that rural communities show evidence of a better quality of life than the inhabitants of cities, given the squalid conditions in most Medieval towns, caused by the lack of sanitation systems and overcrowding (Dunn 1972; Stuart-Macadam 1992, 43; Grauer 1993, 211; Sullivan 2005, 255). Unfortunately, little more can be said at this stage regarding the existence of privileged social classes or inter-personal violence.

This research was a pilot study. Osteological data were collected and interpreted, and have given a valuable insight into the life and death of a group of individuals from the cemetery of Jucu. A more

coherent view of the community should be possible if other parts of the cemetery are excavated.

#### ACKNOWLEDGEMENTS

*We would like to thank Professor Clive Bonsall and Dr. Adina Boroneanţ for their useful comments on the previous drafts of this paper.*

#### BIBLIOGRAPHY

- Alvrus 1999 – A. Alvrus, *Fracture patterns among the Nubians of Semna South, Sudanese Nubia*. International Journal of Osteoarchaeology 9, 1999, p. 417–429.
- Angel 1996 – J. Angel, *Porotic hyperostosis, anemias, malarias and the marshes in Prehistoric Eastern Mediterranean*. Science 153, 1996, p. 760–763.
- Aykroyd *et al.* 1999 – R.G. Aykroyd, D. Lucy, A.M. Pollard, and C. Roberts, *Nasty, brutish, but not necessarily short: a reconsideration of the statistical methods used to calculate age at death from adult human skeletal and dental indicators*. American Antiquity 64 (1), 1999, p. 55–70.
- Aufderheide *et al.* 1998 – A.C. Aufderheide and C. Rodríguez-Martín (eds), *The Cambridge Encyclopaedia of Human Palaeopathology*, Cambridge, 1998.
- Baetsen 1998 – S. Baetsen, *Het Menselijke Skeletmateriaal van het Salvatorplein te Susteren*. Intern Verslag Archaeozoölogie, Amersfoort, 1998.
- Bass 1987 – W.M. Bass, *Human Osteology: a field guide and manual*, Missouri, 1987.
- Bennike *et al.* 2005 – P. Bennike, M.E. Lewis, H. Schutkowski, and F. Valentin, *Comparison of Child Morbidity in Two Contrasting Medieval Cemeteries from Denmark*, AJPA., 128, 2005, p. 734–746.
- Berryman and Jones Haun 1996 – H.E. Berryman and S. Jones Haun, *Applying forensic techniques to interpret cranial fracture patterns in an archaeological specimen*, International Journal of Osteoarchaeology 6, 1996, p. 2–9.
- Borsody *et al.* 1980 – S. Borsody, N. Dreisziger, A. Makkai, G. Schöpflin, *Transylvania and the theory of Daco-Roman-Rumanian Continuity*. Committee of Transylvania, INC, 1980.
- Brooks and Suchey 1990 – S. Brooks and J.M. Suchey, *Skeletal age determination based on the os pubis: A comparison of the Acsádi and Nemeskéri and Suchey-Brooks methods*, Human Evolution 5, 1990, p. 227–238.
- Brothwell 1981 – D. Brothwell, *Digging up bones*, London, 1981.
- Brothwell 1989 – D. Brothwell, *The relationship of tooth wear to aging*, in M.Y. İşcan (ed.), *Age Markers in the Human Skeleton*, Springfield, Illinois, 1989, p. 306–316.
- Buckberry and Chamberlain 2002 – J.L. Buckberry and A.T. Chamberlain, *Age Estimation from the Auricular Surface of the Ilium: a Revised Method*, AJPA., 119, 2002, p. 231–239.
- Buikstra and Ubelaker 1994 – J.E. Buikstra and D.H. Ubelaker, *Standards for Data Collection from Human Skeletal Remains*, Fayetteville, Arkansas, 1994.
- Chamberlain 2000 – A. Chamberlain, *Problems and prospects in palaeodemography*, In M. Cox and S. Mays (eds), *Human Osteology in Archaeology and Forensic Science*. London, 2000, p. 101–115.
- Christensen *et al.* 2011 – T. Christensen, M. Martínez-Lavín and C. Pineda, *Periostitis and Osteolysis in a Medieval Skeleton from South-West Hungary: (Leprosy, Treponematoses, Tuberculosis or Hypertrophic Osteoarthropathy) A diagnostic Challenge!* International Journal of Osteoarchaeology, 23 (1), 2011, p. 69–82.
- Cohen 1994 – M.N. Cohen, *The Osteological Paradox reconsidered*, Current Anthropology, 35(5), 1994, p. 629–637.
- Coughlan and Holst 2001 – J. Coughlan and M. Holst, *Health status*, in: V. Fiorato, A. Boylston and C.J. Knüsel (eds), *Blood Red Roses: the archaeology of a mass grave from the battle of Towton AD 1461*. Oxford, 2001, p. 60–76.
- Curta 2006 – F. Curta, *Southeastern Europe in the Middle Ages, 500–1250*, Cambridge University Press, 2006.
- DeWitte 2010 – S. DeWitte, *Sex differentials in frailty in Medieval England*, AJPA., 143, 2010, p. 285–297.
- Djurić *et al.* 2006 – M.P. Djurić, C.A. Roberts, Z.B. Rakočević, D.D. Djonić and A.R. Lešić, *Fractures in late Medieval populations from Serbia*, AJPA., 130, 2006, p. 167–178.
- Dunn 1972 – F.L. Dunn, *Intestinal parasitism in Malayan aborigines (Orang Asli)*, Bulletin of the World Health Organization, 46, 1972, p. 99–113.
- Facchini *et al.* 2008 – F. Facchini, E. Rastelli and M.G. Belcastro, *Peri Mortem cranial injuries from a Medieval grave in Saint Peter's Cathedral, Bologna, Italy*, International Journal of Osteoarchaeology, 18, 2008, p. 421–430.
- Gall 2005 – E. Gall, *Analysis and comparison of burial customs in the 10–11th century in the Transylvanian Basin, Crişana and Banat*, Dacia N.S., 48–49, 2005, p. 334–454.
- Grauer 1993 – A. Grauer, *Patterns of anemia and infection from Medieval York*, AJPA., 91, 2005, p. 203–213.
- Grauer and Roberts 1996 – A. Grauer and C. Roberts, *Paleo-epidemiology, healing, and possible treatment of trauma in the Medieval cemetery population of St. Helen-on-the-Walls, York, England*, AJPA., 100, 1996, p. 531–544.
- Grauer and Stuart-Macadam 1998 – A. Grauer and P. Stuart-Macadam (eds), *Sex and Gender in Paleopathological Perspective*, Cambridge, 1998.
- Guy *et al.* 1997 – H. Guy, C. Masset and C.-A. Baud, *Infant taphonomy*, International Journal of Osteoarchaeology, 7, 1997, p. 221–229.
- Hillson 2001 – S. Hillson, *Recording dental caries in archaeological human remains*, International Journal of Osteoarchaeology, 11, 2001, p. 249–289.
- Hillson 1996 – S. Hillson, *Dental Anthropology*, Cambridge, 1996.
- Howell 1982 – N. Howell, *Village composition implied by a palaeodemographic table: The Libben site*, AJPA., 76, 1982, p. 189–196.
- İşcan *et al.* 1984 – M.Y. İşcan, S.R. Loth and R.K. Wright, *Metamorphosis at the sternal rib end: a new method to estimate age at death in white males*, AJPA., 65, 1984, p. 147–156.
- Judd 2004 – M.A. Judd, *Trauma in the city of Kerma: ancient versus modern injury patterns*, International Journal of Osteoarchaeology, 14, 2004, p. 34–51.
- Judd and Roberts 1998 – M.A. Judd and C.A. Roberts, *Fracture patterns at the Medieval Leper Hospital in Chichester*, AJPA., 105, 1998, p. 43–55.
- Judd and Roberts 1999 – M.A. Judd and C.A. Roberts, *Fracture trauma in a Medieval British farming village*, AJPA., 109, 1999, p. 229–243.
- Jurmain 1999 – R. Jurmain, *Stories from the Skeleton. Behavioral Reconstruction in Human Osteology*, Amsterdam, 1999.

- Knüsel 2001 – C.J. Knüsel, *Activity-related skeletal change*, in: V. Fiorato, A. Boylston and C.J. Knüsel (eds), *Blood Red Roses: the archaeology of a mass grave from the battle of Towton AD 1461*, Oxford, 2001, p. 103–118.
- Knüsel 2005 – C.J. Knüsel, *The physical evidence of warfare – subtle stigmata?*, in: M. Parker-Pearson and I. Thorpe (eds), *Warfare, Violence and Slavery in Prehistory*, BAR International Series, 1374, 2005, p. 49–62.
- Lovejoy *et al.* 1985 – C.O. Lovejoy, R.S. Meindl, T.R. Pryzbeck and R.P. Mensforth, *Chronological metamorphosis of the auricular surface of the ilium. A new method for the determination of adult skeletal age at death*, *AJPA.*, 68, 1985, p. 15–28.
- Lovell 1997 – N.C. Lovell, *Trauma analysis in palaeopathology*, *Yearbook of Physical Anthropology*, 40, 1997, p. 139–170.
- Maples 1989 – W.R. Maples, *The practical application of age-estimation techniques*, in: M.Y. İşcan, and K.A.R. Kennedy (eds.), *Reconstruction of Life from the Skeleton*. New York, 1989, p. 319–324.
- Mays 2010 – S. Mays, *The Archaeology of Human Bones*, London, 2010.
- Meier and Graham-Campbell 2007 – T. Meier and J. Graham-Campbell, *Life, death and memory*, in: J. Graham-Campbell and M. Valor (eds.), *The Archaeology of Medieval Europe*. Acta Jutlandica LXXXIII:1, Humanities Series 79. Aarhus University Press, 2007, p. 420–449.
- Meindl *et al.* 1985(a) – R.S. Meindl, C.O. Lovejoy, R.P. Mensforth and R.A. Walker, *A revised method of age determination using the os pubis with a review and tests of accuracy of other current methods of pubic symphyseal aging*, *AJPA.*, 68, 1985, p. 29–45.
- Meindl *et al.* 1985(b) – R.S. Meindl, C.O. Lovejoy, R.P. Mensforth and L. Don Carlos, *Accuracy and direction of error in the sexing of the skeleton: Implications for palaeodemography*, *AJPA.*, 68, 1985, p. 79–85.
- Meşter 2011 – M. Meşter, *Anuarul Muzeului din Gherla. Arheologie, Istorie, Cultură*, Gherla, 2011.
- Milner *et al.* 1989 – G.R. Milner, D.A. Humpf and H.C. Harpending, *Pattern-matching of age-at-death distributions in palaeodemographic analysis*, *AJPA.*, 80, 1989, p. 49–58.
- Murgescu 2001 – B. Murgescu (ed.), *Istoria României în texte*, Bucureşti, 2001.
- Ortner 1998 – D.J. Ortner, *Male-female immune reactivity*, in: A. Grauer and P. Stuart-Macadam (eds.), *Sex and Gender in Paleopathological perspective*. Cambridge, 1998.
- Ortner 2003 – D.J. Ortner, *Identification of pathological conditions in human skeletal remains*, 2<sup>nd</sup> ed. San Diego, 2003.
- Phenice 1969 – T.W. Phenice, *A newly developed visual method of sexing the os pubis*, *AJPA.* 30, 1969, p. 297–302.
- Roberts *et al.* 1998 – C.A. Roberts, M.E. Lewis and P. Boocock, *Infectious disease, sex, and gender: the complexity of it all*, in: A. Grauer and P. Stuart-Macadam (eds.), *Sex and Gender in Paleopathological perspective*, Cambridge, 1998, p. 93–113.
- Roberts and Manchester 2010 – C. Roberts and K. Manchester, *The Archaeology of Disease*, Stroud, 2010.
- Rogers *et al.* 1987 – J. Rogers, T. Waldron, P. Dieppe and I. Watt, *Arthropathies in palaeopathology: the basis of classification according to most probable cause*, *JArS* 14, 1987, p. 179–193.
- Schaefer *et al.* 2009 – M. Schaefer, S. Black, L. Scheuer, *Juvenile Osteology: a Laboratory and Field Manual*, Elsevier Academic Press, 2009.
- Šlaus 2008 – M. Šlaus, *Osteological and dental markers of health in the transition from the late Antique to the early Medieval period in Croatia*, *AJPA.*, 136, 2008, p. 455–469.
- Stirland and Waldron 1997 – A. Stirland and T. Waldron, *Evidence for activity-related markers in the vertebrae of the crew of the Mary Rose*, *JArS*, 24, 1997, p. 329–335.
- Stirland 2005 – A. Stirland, *The Men of the Mary Rose. Raising the Dead*, Sutton, 2005.
- Stuart-Macadam 1992 – P. Stuart-Macadam, *Porotic hyperostosis: a new perspective*, *AJPA.*, 87, 1992, p. 39–47.
- Sullivan 2005 – A. Sullivan, *Prevalence and etiology of acquired anemia in Medieval York, England*, *AJPA.*, 128, 2005, p. 252–272.
- Todd 1920 – T.W. Todd, *Age changes in the pubic bone, I. The male white pubis*, *AJPA.*, 3, 1920, p. 285–334.
- Trotter and Gleser 1952 – M. Trotter and G.C. Gleser, *Estimation of stature from long bones of American Whites and Negroes*, *AJPA.*, 10, 1952, p. 463–514.
- Van Beek 1983 – G.C. Van Beek, *Dental morphology. An illustrated Guide*, Bristol, 1983.
- Waldron 2009 – T. Waldron, *Palaeopathology*, Cambridge, 2009.
- White and Folkens 2005 – T.D. White and P.A. Folkens, *The Human Bone Manual*, Academic Press, 2005.

#### LIST OF FIGURES AND TABLES

- Fig. 1. Fieldwork at Jucu (photo: Mihai Meşter).
- Fig. 2. Skeleton M 60.
- Fig. 3. Incidences of pathological changes on skeletal remains from Jucu.
- Fig. 4. Total numbers of skeletons according to age classes.
- Fig. 5. Age-sex distribution of mortality at Jucu.
- Fig. 6. Distribution of pathological and traumatic lesions by age classes.
- Fig. 7. Distribution of dental lesions by age classes.
- Fig. 8. M 62, upper and lower dentition showing several hypoplastic lines.
- Fig. 9. M 53, midshaft bony callus on left ulna, evidence of a healed fracture.
- Fig. 10. M 54, bony callus showing remodelling and post depositional damage of the ulnar shaft.
- Fig. 11. M 51, ecto- and endocranial view of a peri-mortem trauma on the left side of the frontal bone.
- Fig. 12. Ratio adult/juvenile.
- Fig. 13. Distribution of pathological lesions by sex.
- Fig. 14. Comparison between the estimated stature (in cm) at Jucu and other European sites from the early medieval period.
- Table 1. A list of the skeletons analysed including information about their state of preservation and demographic features.
- Table 2. Age classes adapted from Buikstra and Ubelaker 1994.
- Table 3. Comparisons of estimated stature (in cm) for the better preserved male and female skeletons from Jucu.
- Table 4. Comparison between measurements (in cm) of three diagnostic parts of the humerus from the better-preserved males and females.
- Table 5. Comparison between measurements (in cm) of two diagnostic parts of the femur from better-preserved males and females.



Fig. 1. Fieldwork at Jucu (photo: Mihai Meşter).

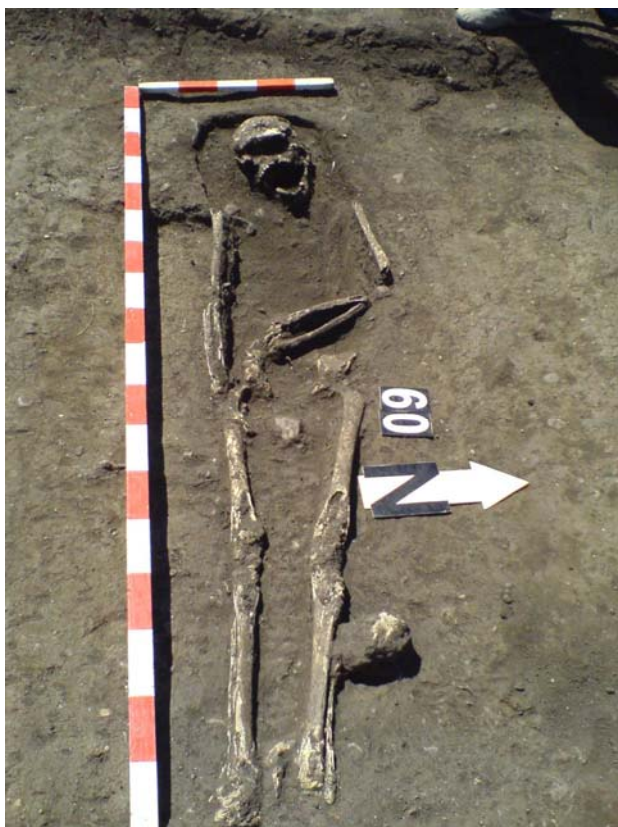


Fig. 2. Skeleton M 60.

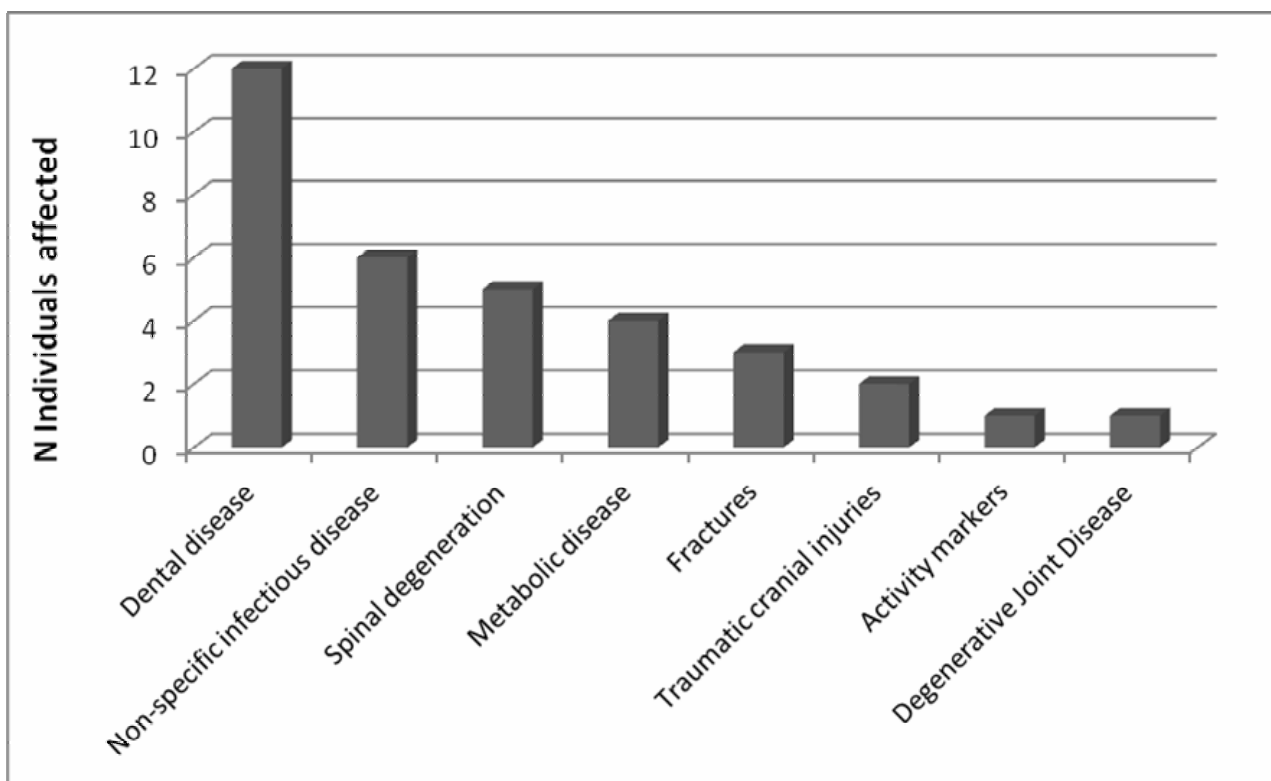


Fig. 3. Incidences of pathological changes on skeletal remains from Jucu.

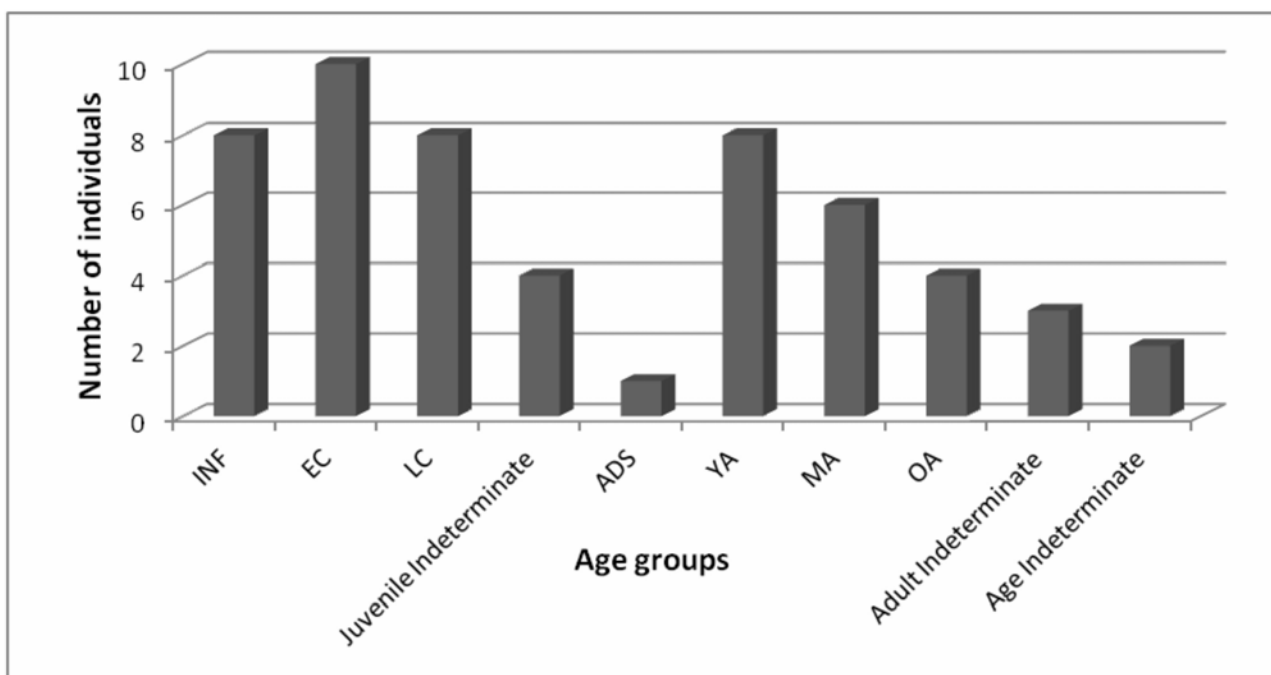


Fig. 4. Total numbers of skeletons according to age classes.



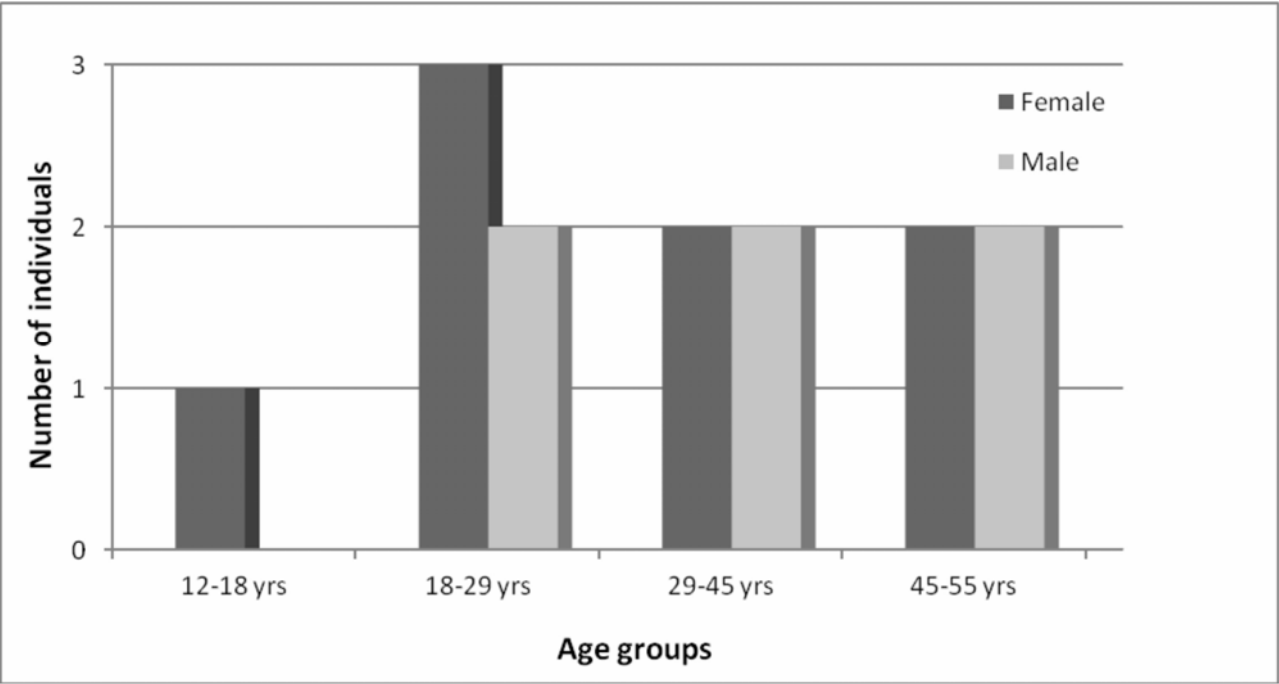


Fig. 5. Age-sex distribution at Jucu.

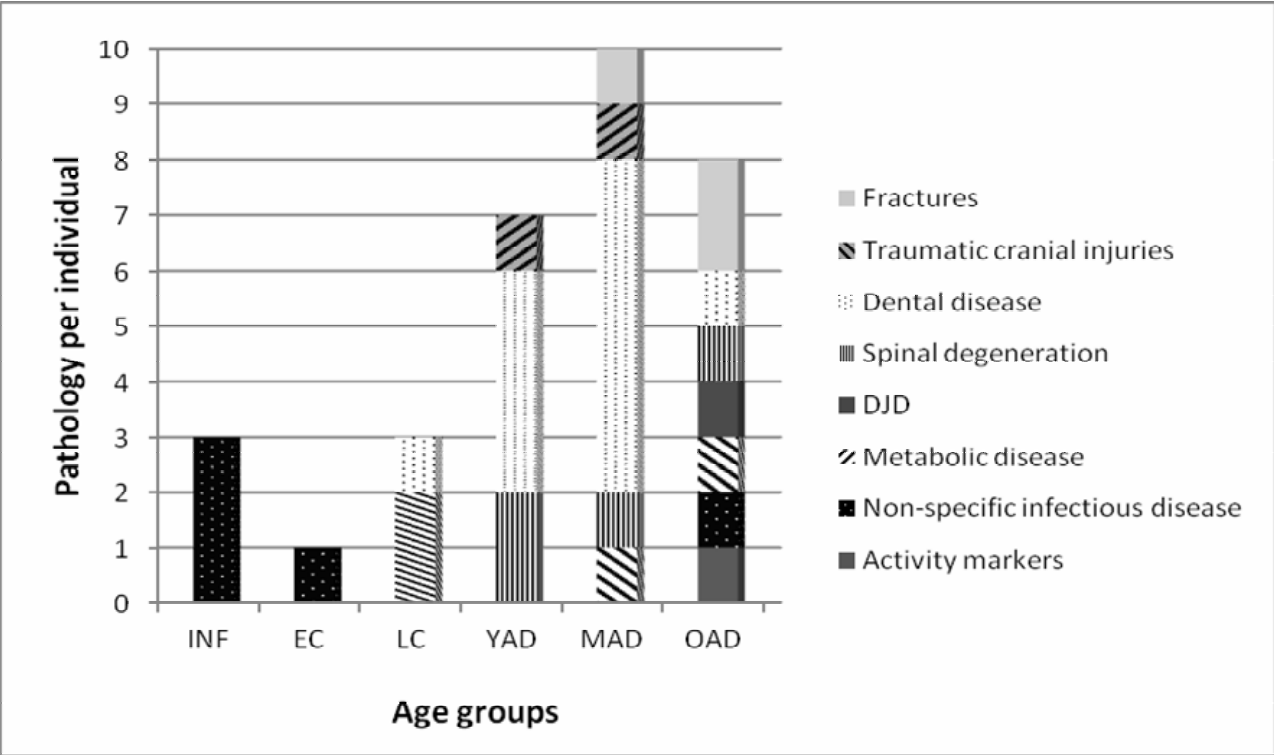


Fig. 6. Distribution of pathological and traumatic lesions by age classes.

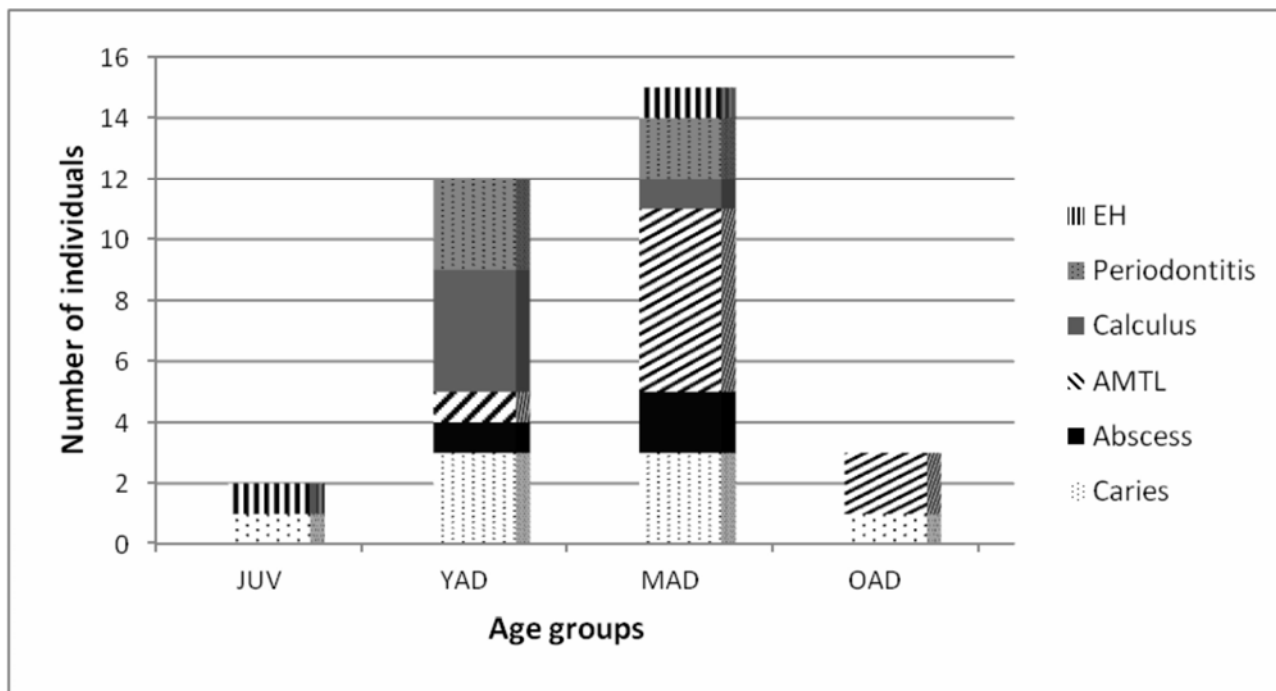


Fig. 7. Distribution of dental lesions by age classes.



Fig. 8. M 62, upper and lower dentition showing several hypoplastic lines (arrowed).



Fig. 9 (A–B). M 53, bony callus on the midshaft of the left ulna, evidence of a healed fracture.



Fig. 10. M 54, bony callus showing remodelling, possible infection and post-depositional damage on the ulnar shaft.

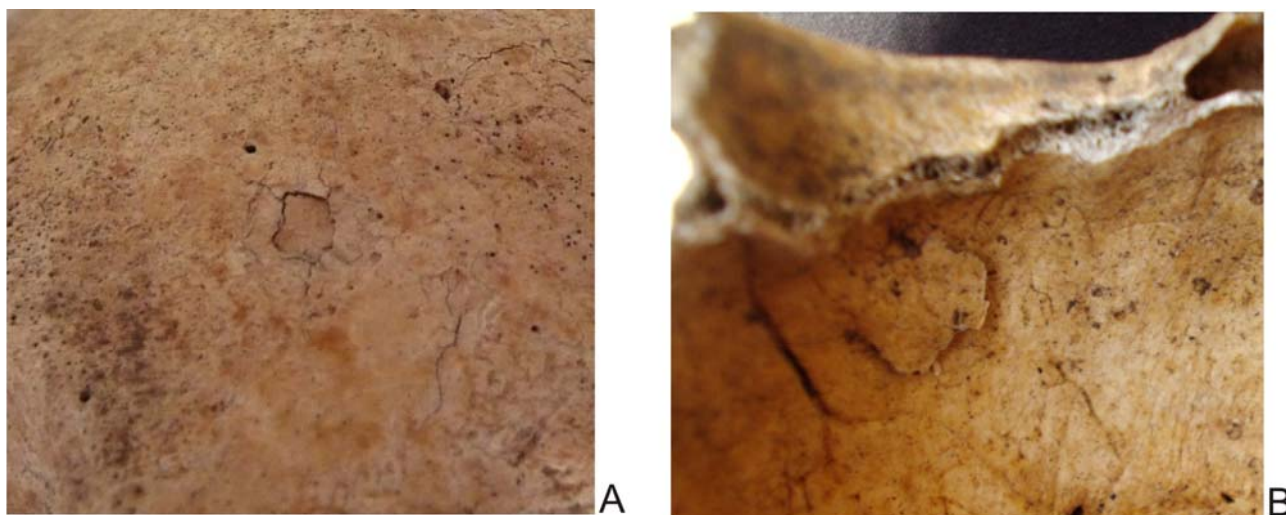


Fig. 11 (A–B). M 51, ecto- and endocranial view of a peri-mortem crush fracture on the left side of the frontal bone.

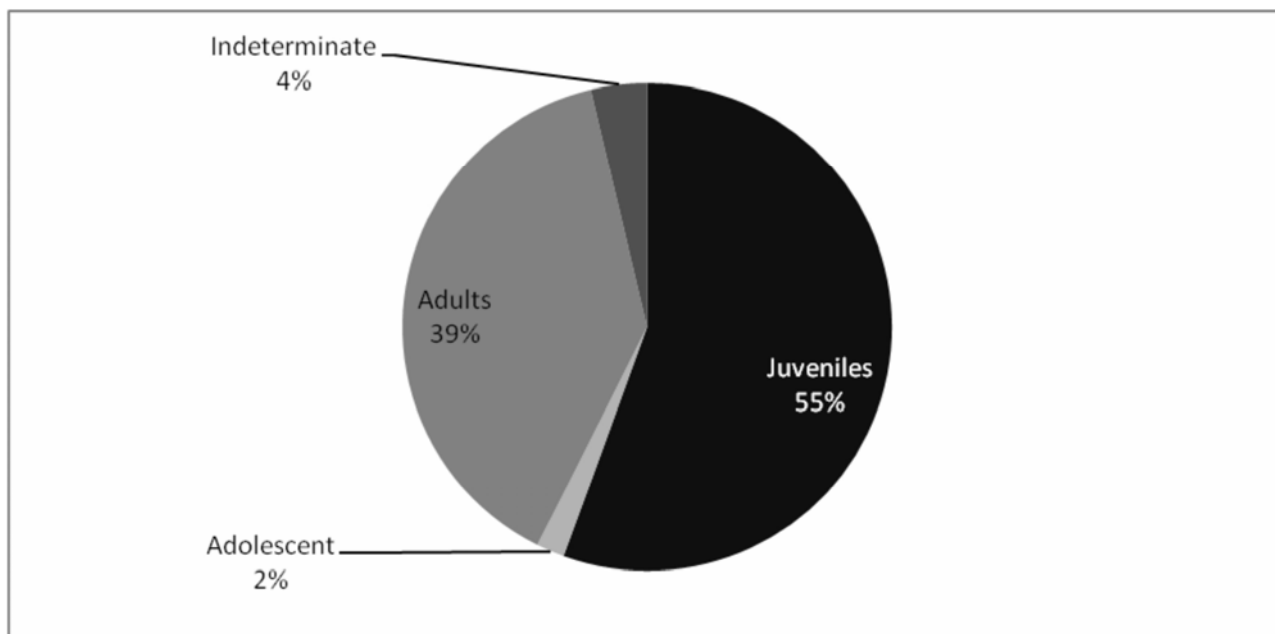


Fig. 12. Ratio adult/juvenile.

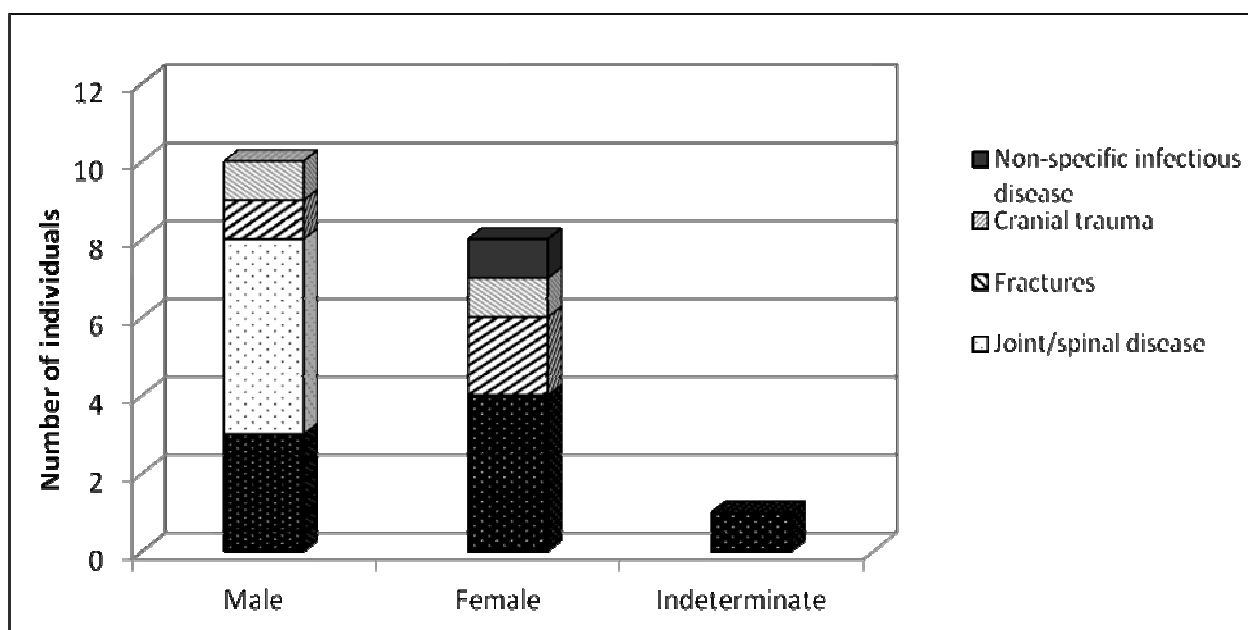


Fig. 13. Distribution of pathological lesions by sex.

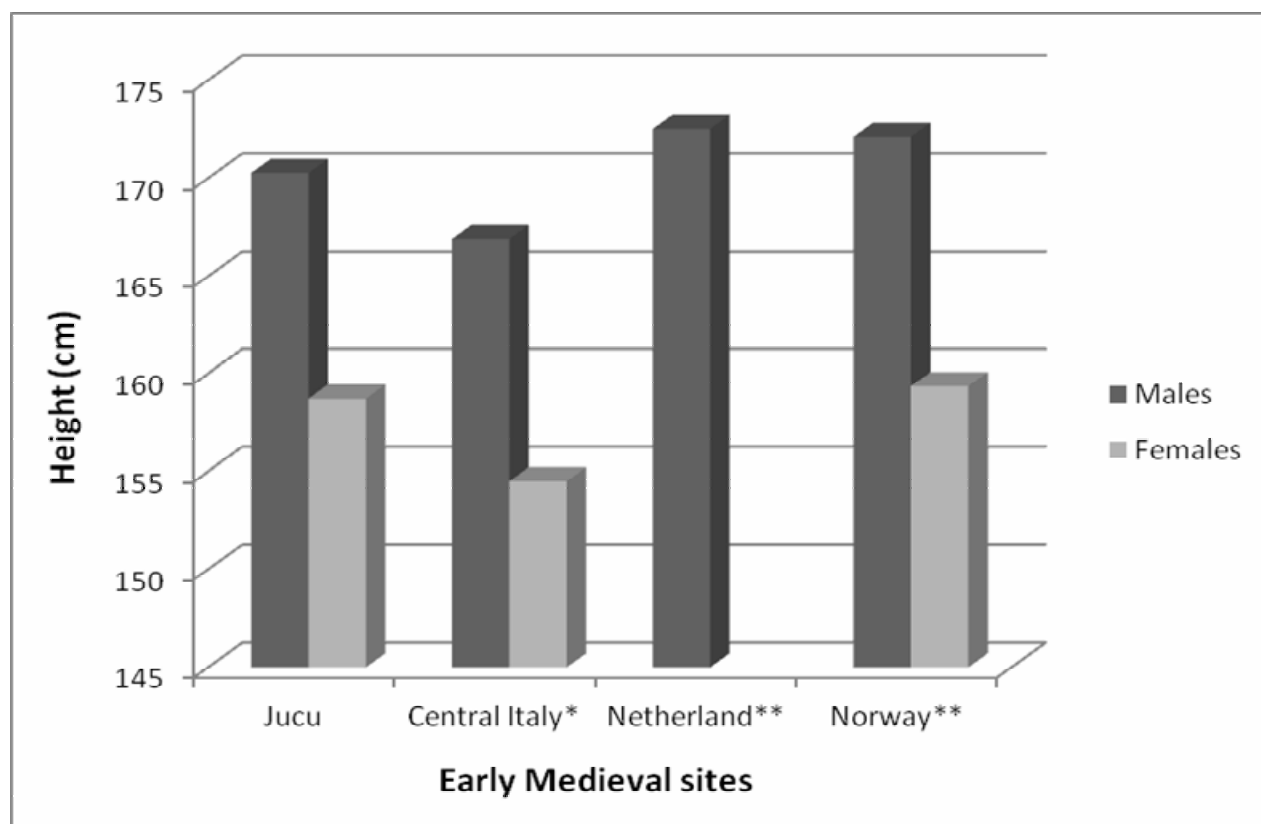


Fig. 14. Comparison between the estimated stature (in cm) from Jucu and other European sites dating back to the Early Medieval period.

Sources: \* Giannecchini and Moggi-Cecchi 2008; \*\*Baetsen 1998.




Table 1  
A list of the skeletons analysed, including information about their state of preservation and demographic features.

M	MNI	Isolated bones	Preservation	Sex	Age category	Age	Stature	Pathological lesions	Remarks
1	1		Excellent	F	A	?			Not analysed, exposed at the museum
4 (A)	1		Good	?	EC	5 yrs +/- 16 mths	?	Woven bone on limbs.	Green stain on R mandibular condyle.
4 (B)		1 Scapula	Poor	?	A	?	?		
5	1		Fair	F	MA	25-30	153 ~		Green stain on R shaft of ulna.
8	1		Fair	?	EC	5 yrs +/- 16 mths	?		
10		1 Cranium	Poor	?	J	?	?		
11		1 Cranium	Poor	?	YA	?	?		
13	1		Poor	?	MA	?	?	AMTL, calculus.	
16	1		Poor	?	A	?	?		
17	1			?	A	?	?		
19	1		Poor	M?	MA	35-45 yrs?	?	AMTL	
19 (A)									
19 (B)	1		Fair	?	EC	5 yrs +/- 16 mths			
21	1		Poor		LC	11 yrs +/- 30 mths			
21 (A)									
21 (B)	1		Fair		INF	< 1 yr?			
23	1		Good	M?	YA	20-25 yrs	174 ~	Caries, calculus, Schmorl's nodes.	
23 (A)								AMTL.	
23 (B)	1	1 Cranium	Fair	F?	MA	35-45 yrs?			
24	1		Excellent	M	MA	25-35 yrs	172 ~	Schmorl's nodes, osteophytes.	Two big Wormian bones at lambda.
25	1		Good		INF	6-18 mths		Woven bone on lower limbs.	
25 (A)									
25 (B)	1		Fair		LC	11 yrs +/- 30 mths		Caries?	
25 (C)		Spine only - in anatomical connection	Poor		A	?			
26 = 32	1		Good		LC	10 yrs +/- 30 mths		Porotic hyperostosis, possible erosive lesions on prox anterior medial surface of both femora.	
28	1		Poor		INF	<3?		Woven bone on frontal.	
29	1		Poor	F?	YA	17-25 yrs		Caries, calculus.	Green staining on right temporal.
37	1		Poor		INF	18 mths +/- 6 mths			
38	1		Poor		INF	?			
39	1		Poor		EC	?			
40	1		Poor	F?	YA	20-24 yrs			Very neat fracture of the R femur mid-shaft.
41	1		Poor		J	?			
42	1		Poor		EC	5 yrs +/- 1.5 yrs			
44	1		Poor		LC	8 +/- 2 years			
45	1		Poor		LC	6 +/- 2 yrs			
46	1		Poor		EC	?			

Table 1 (continued)

M	MNI	Isolated bones	Preservation	Sex	Age category	Age	Stature	Pathological lesions	Remarks
47	1		Poor	??	MA	35-40 yrs?		Possible healed fracture on ulna, AMTL, caries, abscess.	
48	1		Poor		?	?			
49	1		Poor		A	?			Fragments of lower limbs only.
51	1		Good	F	OA	45+ yrs	164.33 ~	AMTL, calculus, periodontitis, caries, woven bone on cranium and mandible. Possible trauma on R side of forehead.	
52	1		Poor		LC	?			
53	1		Good	F	OA	50+ yrs	158.44	Bony callus on left ulna, AMTL, porosity on cranium.	Metopic suture. Green staining on right phalanges.
54	1		Poor	M?	OA	45+ yrs?		Bony callus on left ulna, AMTL, caries.	
56	1		Poor		J	?			
57 (A)	2		Poor	?	YA	17-25			
57 (B)	1		Poor		LC	8-10 yrs?			
60	1		Fair	M	OA	45-50+ yrs		Spinal degeneration and OA, Schmorl's nodes, bony callus on ribs.	
62 (A)	1		Excellent		LC	8-10 yrs		Enamel hypoplasia and cribra orbitalia.	Green stain on R gonion - cylindric glass beads.
62 (B)		Hand bones only	Poor		A	?			
63	1		Fair		INF	1 yr?		Woven bone on R temporal, R orbit, R posterior humerus shaft.	
64	1		Fair	F?	YA	17-25			
65	1		Good		INF	18 mths +/- 6 mths			
67	1		Poor	??	MA	?		AMTL, severe caries, roots exposure, abscess, EH.	
69	1		Excellent	M	YA	20-29 yrs	169.13 ~	Schmorl's nodes, AMTL, calculus, roots exposure, possible trauma on occipital.	
70	1		Good		EC	5 yrs +/- 1.5 yrs			
71	1		Poor		J	?			
72	1		Good	??	YA	20-25 yrs	165.47 ~	Caries, abscess, cranial trauma.	
73	1		Poor		??	?			
75	1		Poor		EC	5 yrs +/- 1.5 yrs			
76	1		Good		EC	4 yrs +/- 1 yr			Beads from necklace
77	1		Fair		ADS	15-17 yrs			Slavic bronze earring.
83	1		Fair		INF	1-2 yrs			
87	1		Poor		J	?			
88	1		Fair		EC	3 yrs +/- 1 yr			
tot	55	5							

 Poor, almost inexistent preservation

\*MNI = Minimum Number Individuals; A = Adult; J = Juvenile; INF = Infant; CHL = Child; YAD = Young Adult; MAD = Middle/Mature Adult; OAD = Old Adult; yrs = Years; mths = Months; F = Female; M = Male; AMTL = Antemortem Tooth Loss.

Table 2  
Age classes adapted from Buikstra and Ubelaker 1994.

CATEGORY	NAME	ABBREVIATION	AGE
Juveniles	Foetus	FOET	Pre-natal
	Infant	INF	0 – 2 years
	Early childhood	EC	2 – 5 years
	Late childhood	LC	5 – 12 years
	Adolescent*	ADS	12 – 18 years
Adults	Young Adult	YA	18 – 29 years
	Middle Adult 1	MA1	30 – 39 years
	Middle Adult 2	MA2	39 – 45 years
	Old Adult	OA	45 – 55 years
	Senile	S	55 + years

\*The event delimitating the passage between adolescence and young adulthood is in this study the eruption of third molars: when those are present, the individual is considered to be a young adult.

Table 3  
Comparison between estimated stature (in cm) of the better-preserved male and female skeletons from Jucu.

Skeleton	Male	Female
M 05		153,38
M 23 (1)	174,18	
M 24	172,32	
M 51		164,33
M 53		158,44
M 69	169,13	
M 72	165,47	
Mean	170,27	158,71

Table 4  
Comparison between measurements (in cm) of three diagnostic parts of the humerus from the better-preserved males and females.

MALES						
Skeleton	Hum Max Length		Hum Max Diam Head		Hum Bicondylar width	
	R	L	R	L	R	L
M 23 (1)	33.3					6.2
M 24	31.8		4.5		6.35	6.1
M 60					6.9	6.9
M 69	31.2	32	4.4	4.3		6.55
M 72	31.4	31.7	4.6			
Mean	31.92	31.85	4.5	4.3	6.62	6.43

FEMALES						
Skeleton	Hum Max Length		Hum Max Diam Head		Hum Bicondylar Width	
	R	L	R	L	R	L
M 05		28.5		4		5.7
M 51	31	31.3	4.3	4.3	6	5.8
M 53	30.5	30	4.35	4.25	4.15	4
M 64	30.5					
Mean	30.6	29.9	4.32	4.18	5	5.16

Table 5  
Comparison between measurements (in cm) of two diagnostic parts of the femur from better-preserved males and females.

MALES				
Skeleton	Fem Max Diam Head		Fem Midshaft Circumf	
	R	L	R	R
M 24	4,9		9,4	9,3
M 53			9	
M 60	5,1		9,5	
M 69	5,1	5	9	9
<b>Mean</b>	<b>5</b>	<b>5</b>	<b>9,22</b>	<b>9,15</b>

FEMALES				
Skeleton	Fem Max Diam Head		Fem Midshaft Circumf	
	R	L	R	L
M 05	4,5	4,5	8,5	8,5
M 29		3,8		7,3
M 40		4	7,5	
M 51	4,4	4,35	8	8,3
M 53	4,2	4,2	7	7
M 64	4,25		8,5	
<b>Mean</b>	<b>4,33</b>	<b>4,17</b>	<b>7,9</b>	<b>7,77</b>

**ACADEMIA ROMÂNĂ**  
**INSTITUTUL DE ARHEOLOGIE „VASILE PÂRVAN”**

**MATERIALE  
ȘI  
CERCETĂRI  
ARHEOLOGICE**

**SERIE NOUĂ  
IX**

**2013**



**EDITURA ACADEMIEI ROMÂNE**  
**BUCUREȘTI, 2013**



## **Colegiul de redacție**

**PROF. DR. ALEXANDRU BARNEA** (Universitatea București), **DR. SANDA BALESCU** (Université des Sciences et Technologies de Lille, Laboratoire de Préhistoire et Quaternaire, CNRS), **PROF. DR. CLIVE BONSALE** (University of Edinburgh), **PROF. DR. NIKOLAUS BOROFFKA** (Deutsches Archäologisches Institut – Eurasien Abteilung, Berlin, Germany), **DR. GH. I. CANTACUZINO** (Institutul de „Arheologie Vasile Pârvan” București), **DR. UWE FIEDLER** (Berlin), **DR. RADU HARHOIU** (Institutul de Arheologie „Vasile Pârvan” București), **DR. ANNIE RENOUX** (Université du Maine, Le Mans), **PROF. DR. ERIK TRINKAUS** (Department of Anthropology, Washington University), **PROF. DR. ALAIN TUFFREAU** (Université des Sciences et Technologies de Lille, Laboratoire de Préhistoire et Quaternaire), **ACAD. ALEXANDRU VULPE** (Institutul de Arheologie „Vasile Pârvan” București).

## **Comitetul de redacție**

**ROXANA DOBRESCU** – redactor-șef

**ADRIAN IONIȚĂ** – redactor-șef adjunct

**IRINA ACHIM, ADINA BORONEANȚ, ADRIAN DOBOȘ, LIANA OȚA, ADRIANA PANAITE, DANIEL SPÂNU, VLAD VINTILĂ ZIRRA** – membri

**LILIANA ZAHARIA** – secretar de redacție

Redactor Editura Academiei Române: **ADRIAN MIRCEA DOBRE**

Tehnoredactor Editura Academiei Române: **DOINA STOIA**

Revista se poate procura contracost la sediul EDITURII ACADEMIEI ROMÂNE, Calea 13 Septembrie nr. 13, sector 5, 050711, București, România; tel. 4021-318 8146, 4021-318 8106, Fax 4021-318 2444, e-mail: [edacad@ear.ro](mailto:edacad@ear.ro).

ORION PRESS IMPEX 2000 S.R.L., P.O. Box 77-19, sector 3, București, România, Tel./Fax: 4021-610 6765, 4021-210 6787, Tel.: 0311 044 668, e-mail: [office@orionpress.ro](mailto:office@orionpress.ro).

S.C. MANPRES DISTRIBUTION S.R.L., Piața Presei Libere, nr. 1, Corp B, Etaj 3, Cam. 301–302, sector 1, București, România, tel./fax: (4021) 314 6339, e-mail: [abonamente@manpres.ro](mailto:abonamente@manpres.ro), [office@manpres.ro](mailto:office@manpres.ro), [www.romanianjournals.com](http://www.romanianjournals.com).

DEREX COM S.R.L., e-mail: [derex\\_com@yahoo.com](mailto:derex_com@yahoo.com)

Orice corespondență se va trimite Colegiului de redacție pe adresa: str. Henri Coandă 11, 010667 București, tel./fax 4021 212 88 62. și [redactie\\_iab@yahoo.com](mailto:redactie_iab@yahoo.com)

Normele de redactare a manuscriselor și lista abrevierilor folosite în revistă sunt în general aceleași ca în celelalte publicații ale Institutului de Arheologie. În măsura în care vom elabora alte norme, ne obligăm să le publicăm în numărul următor.

© 2013, EDITURA ACADEMIEI ROMÂNE

## SUMAR

ALAIN TUFFREAU, ROXANA DOBRESU, SANDA BALESCU, MĂDĂLIN CORNEL VĂLEANU, Boinești (département de Satu-Mare), Moustérien, Aurignacien et processus taphonomiques .....	7
ALEXANDRU CIORNEI, Petrografia silicolitelor din siturile Paleoliticului superior de pe Valea Dunării. Caracteristici și proveniență .....	41
MIHAI GLIGOR, MARIANA ROȘU, CĂLIN ȘUTEU, New Evidence on Burial Practices in Petrești Culture .....	67
CAMELIA-MIRELA VINTILĂ, CARMEN PAVEL, MARIAN NEAGU, Noi aspecte ale plasticii antropomorfe descoperite la Dunărea de Jos .....	83
ALIN FRÎNCULEASA, BIANCA PREDA, OCTAV NEGREA, ANDREI DORIAN SOFICARU, Cercetări arheologice în cimitirul din epoca bronzului târziu de la Câmpina (jud. Prahova) – campaniile 2011 și 2012 .....	97
DANIEL SPÂNU, Fibule „de tip hibrid”? .....	145
MIRCEA DABÎCA, Noi cercetări arheologice în partea de sud a cetății Histria. Campaniile 2003–2009 .....	157
ALEXANDRU BĂDESCU – Amfore orientale de tip Kapitän II descoperite la <i>Histria</i> în Sectorul <i>Basilica extra muros</i> .....	189
ANNAMARIA DIANA, MIHAI MEȘTER, Meeting an Early Medieval Community: A Preliminary Analysis of the Human Skeletal Remains from the Jucu Cemetery (Cluj-Napoca, Romania) .....	3; ;
BOGDAN CIUPERCĂ, ANDREI MĂGUREANU, EUGEN PAVELEȚ, DORIN SÂRBU, Cercetări arheologice în Curtea Domnească de la Târgșoru Vechi .....	219
RADU-ALEXANDRU DRAGOMAN, MIHAI FLOREA, Preambul la o cercetare arheologică a fostei colonii de muncă forțată din perioada comunistă de la Poarta Albă, România .....	231

## RECENZII

Laurent Carozza, Cătălin Bem, Cristian Micu (eds.), <i>Société et environnement dans la zone du Bas Danube durant le 5<sup>ème</sup> millénaire avant notre ère</i> , Editura Universității „Alexandru Ioan Cuza”, Iași, 2011, 413 p. (Cristian Eduard Ștefan) .....	243
<b>Abrevieri</b> .....	245



## SOMMAIRE

ALAIN TUFFREAU, ROXANA DOBRESU, SANDA BALESCU, MĂDĂLIN CORNEL VĂLEANU, Boinești (département de Satu-Mare), Moustérien, Aurignacien et processus taphonomiques .....	7
ALEXANDRU CIORNEI, Petrografia silicolitelor din siturile Paleoliticului superior de pe Valea Dunării. Caracteristici și proveniență.....	41
MIHAI GLIGOR, MARIANA ROȘU, CĂLIN ȘUTEU, New Evidence on Burial Practices in Petrești Culture .....	67
CAMELIA-MIRELA VINTILĂ, CARMEN PAVEL, MARIAN NEAGU, Several antropomorphic figurines found during the excavations on the Vidra tell .....	83
ALIN FRÎNCULEASA, BIANCA PREDA, OCTAV NEGREA, ANDREI DORIAN SOFICARU, Archaeological research in the Bronze Age cemetery at Câmpina (Prahova county) – campaigns 2011 și 2012.....	97
DANIEL SPÂNU, Fibule „de tip hibrid”? .....	145
MIRCEA DABÎCA, Les principaux résultats des fouilles menées entre 2003 et 2009 à Histria, dans le périmètre du Secteur sud .....	157
ALEXANDRU BĂDESCU – Amphoras Kapitän II discovered at Histria, in extra muros Basilica .....	189
ANNAMARIA DIANA, MIHAI MEȘTER, Meeting an Early Medieval Community: A Preliminary Analysis of the Human Skeletal Remains from the Jucu Cemetery (Cluj-Napoca, Romania) .....	3; ;
BOGDAN CIUPERCĂ, ANDREI MĂGUREANU, EUGEN PAVELEȚ, DORIN SÂRBU, Archaeological research Cercetări arheologice în Curtea Domnească de la Târgșoru Vechi.....	219
RADU-ALEXANDRU DRAGOMAN, MIHAI FLOREA, Preamble of planned archaeological research in the former forced labor camp from the communist period at Poarta Albă, Romania .....	231

## COMPTE-RENDUS

Laurent Carozza, Cătălin Bem, Cristian Micu (eds.), <i>Société et environnement dans la zone du Bas Danube durant le 5<sup>ème</sup> millénaire avant notre ère</i> , Editura Universității “Alexandru Ioan Cuza”, Iași, 2011, 413 p. (Cristian Eduard Ștefan) .....	243
<b>Abréviations</b> .....	245

# Cercetări arheologice în Curtea Domnească de la Târgșoru Vechi

BOGDAN CIUPERCĂ\*, ANDREI MĂGUREANU\*\*, EUGEN PAVELEȚ\*\*\*, DORIN SÂRBU\*\*

**Keywords:** Voivodal Court, Târgșoru Vechi, planimetry, stone and mud-bricks structures, cemetery, 15<sup>th</sup> – 17<sup>th</sup> centuries.

**Abstract:** Over 50 years ago, an archaeological team initiated the research in the area of the medieval town from Târgșoru Vechi. In 1956 only the ruins of three churches and some fragments of the buildings of the former Voivodal Court and Turnu monastery could still be observed. Those medieval remains were the starting point for the investigation of Târgșoru Vechi town, a town that today celebrates 600 years since it was first mentioned in a medieval document. The *Novo Foro*, as it was known in the Latin version of the document issued by Mircea cel Bătrân to the merchants of Brașov, was an important custom point, voivodal residence and later on, monastery.

Following a project of restoration proposed by the architect C. Hoinărescu, archaeological excavations in the area of the Medieval Court were resumed in 2005. Excavations during two seasons (2005, 2006) aimed to verify and complete the results of the previous research undertaken by N. Constantinescu, research that was abruptly stopped in the mid-1960-ies. The recent investigations provided new data about structures from interior of the Voivodal Court area, identifying a first habitation level going back to the 15<sup>th</sup> century. Also, the existing information referring to the cellar of the Voivodal House was completed with new data and a new chronological interpretation of other structures was proposed. A new opened surface (located in the north-east corner of the second medieval enclosure) allowed the identification a long-term inhabited area, with the same evolution from the mud-bricks constructions to stone ones.

**Cuvinte cheie:** Curte Domnească, Târgșoru Vechi, planimetrie, structuri din piatră și chirpic, cimitir, secolele XV–XVII.

**Rezumat:** Cercetările arheologice de la Târgșoru Vechi, din zona Curților Domnești, au fost reluate după aproape 50 de ani de la începutul acestora, în 1956. În acel an se începeau lucrările de identificare a locuirii medievale, precum și ale limitelor orașului, care în 2013 împlinește 600 de ani de la prima atestare documentară. *Novo Foro*, cum apare numele său în varianta latină a documentului emis de Mircea cel Bătrân pentru negustorii brașoveni, a fost un important punct de vamă, scaun domnesc și apoi o mănăstire. Cercetările din anii 2005–2006 au fost ocazionate de punerea în aplicarea a unui proiect de refacere volumetrică a clădirilor mănăstirii care activa în secolele XVII–XIX. Au fost identificate clădiri din chirpici aparținând secolului al XV-lea, nivel de locuire pentru prima dată identificat în zona Caselor domnești sau din piatră, au fost redatate diferite structuri și au fost completate date despre clădiri deja cercetate.

Anul 2013 marchează 600 de ani de la prima atestare documentară a orașului medieval Târgșor – *Novo Foro* (*Novum Forum*). Vechi punct de vamă, calitate în care este și prima dată atestat, scaun domnesc alături de Câmpulung și Târgoviște, cândva cel mai important oraș în relația comercială cu Brașovul, Târgșoru a atras atenția arheologilor începând cu anul 1956, când sunt efectuate primele sondaje.

Scopul acestora era de a identifica limitele orașului medieval, precum și intensitatea de locuire din jurul Curților domnești și a celor trei biserici care încă se mai vedeau la acea vreme. Din păcate, bogăția arheologică a zonei a dus la schimbarea de mai multe ori a țelului principal al cercetărilor, vestigiilor medievale fiindu-le preferate fie descoperirile aparținând mileniului I d. Chr., fie descoperirile de epocă romană.

Începerea derulării unui proiect care vizează refacerea volumetrică a fostelor case domnești, plasate pe un martor de eroziune care domină cursul Leatei (Pl. I.1), care după domnia lui Antonie Vodă (1669–1672) au fost transformate în mănăstire (mănăstirea Turnu) pe vechiul amplasament (proiect realizat de arhitect Călin Hoinărescu), a determinat reluarea cercetărilor arheologice în această zonă a Rezervației Arheologice de la Târgșoru Vechi, jud. Prahova<sup>1</sup>.

Interesul era cu atât mai puternic și datorită publicării extrem de succinte a săpăturilor efectuate în anii '60 de către Nicolae Constantinescu<sup>2</sup>, când au fost identificate fundațiile caselor domnești, precum și cele ale chiliilor mănăstirii. Astfel, reluarea la aproape 40 de ani a săpăturii arheologice în acest sector avea drept scop cercetarea integrală a zonei afectate de viitoarea construcție,

<sup>1</sup> Măgureanu, Ciupercă 2011, p. 123-127.

<sup>2</sup> Constantinescu 1969.

\* Muzeul Județean de Istorie și Arheologie Prahova, e-mail bogdanciuperca@yahoo.com

\*\* Institutul de Arheologie „Vasile Pârvan”, str. Henri Coandă nr. 11, sector 1, 010667 București, România, e-mail: arheologiemedievala@yahoo.com, dorin\_sarbu@yahoo.com

\*\*\* Direcția Județeană Prahova pentru Cultură și Patrimoniul Național Prahova, e-mail: eugen\_pavelet@yahoo.com



precum și recuperarea unor informații privind construcțiile identificate în săpăturile mai vechi, rămase încă inedite. În timpul cercetărilor s-a urmărit stabilirea cu precizie a traiectelor zidurilor din această parte a Curții domnești și clarificarea unor aspecte privind fazele de construcție ale casei domnești. De asemenea, am dorit să stabilim stratigrafia acestei zone a rezervației arheologice de la Târgșorul Vechi.

Cercetările care fac obiectul acestui articol s-au derulat în perioada 2005–2006 (Pl. I.2).

### ISTORICUL CERCETĂRIILOR

Primele cercetări, în zona Curții domnești, au început în anul 1959, fiind efectuate de Nicolae Constantinescu. Acestea au continuat până în 1964<sup>3</sup>, din anul următor responsabilul de sector concentrându-se doar asupra cercetărilor din alte situri cum sunt cele de la Târgoviște, începute deja din anul 1961 sau de la Coconi.

Rezultatele cercetărilor sale au fost publicate într-un articol sintetic din anul 1969, articol în care propunea o împărțire în mai multe faze a evoluției construcțiilor din zona Curții domnești, faze pe care le vom reaminti pe scurt:

- Fazei I îi erau atribuite fundațiile Casei domnești, care era văzută ca un patrulat construit anterior zidului primei incinte. Aceasta din urmă s-ar data în secolul al XVI-lea, cel mai probabil în vremea lui Neagoe Basarab, moment în care apar și știrile referitoare la curtea domnească de la Târgșoru Vechi.
- Faza a II-a, datată în secolul al XVII-lea, este marcată de momentul înălțării bisericii lui Antonie-Vodă. Tot atunci apar construcțiile de lângă turnul de intrare, se reface spațiul Casei domnești, care devine casă egumenească și apare un corp de clădire pe latura de vest.
- În faza a III-a, de la începutul secolului al XVIII-lea, se construiește incinta a doua și un corp de clădire, cu rigolă de scurgere, interpretat drept hambar sau bucătărie. Acum este menționată și structura circulară din mijlocul primei incinte, despre care se presupunea că ar fi fost o fântână. Săpăturile recente au arătat că structura respectivă a fost doar surprinsă, fără a fi fost și cercetată de către N. Constantinescu.
- Fazei a IV-a, din a doua jumătate a secolului al XVIII-lea și de la începutul secolului al XIX-lea, îi erau atribuite diferite modificări la

casa egumenească. Acestei faze îi este atribuit și un pridvor în fața corpului de clădiri de pe latura de vest.

- Ultima fază, a cincea, a fost datată în prima jumătate a secolului al XIX-lea, fiind remarcate arheologic doar câteva mici modificări ale structurilor existente.

În anul 2005 au fost reluate cercetările în zona Curții domnești. Continuate și în anul 2006, ele au avut un caracter mai mult de identificare și racordare la vechea săpătură a lui N. Constantinescu, dar și de completare a datelor arheologice.

### STRATEGIA DE SAPATURA

Cercetările din 2005 și 2006, efectuate de un colectiv de arheologi format din Andrei Măgureanu și Dorin Sârbu de la Institutul de Arheologie „Vasile Pârvan”, respectiv Bogdan Ciupercă și Eugen Paveleț de la Muzeul Județean de Istorie și Arheologie Prahova, au reușit să surprindă și să cerceteze o serie de structuri neidentificate în săpăturile anterioare, precum și să adune date care conduc spre o reanalizare a fazelor de dezvoltare a caselor domnești și ulterior ecumenice. Misiunea s-a dovedit extrem de dificilă din momentul identificării unor noi structuri, încercarea de a observa relații stratigrafice fiind aproape imposibilă datorită distrugerii nivelurilor arheologice, pe de o parte datorită cercetărilor arheologice anterioare<sup>4</sup>, pe de alta, datorită nivelărilor mai mult sau mai puțin moderne.

Așa cum am mai amintit, Curtea domnească a fost cercetată în anii '60 ai secolului trecut de către N. Constantinescu, drept urmare cercetarea noastră a plecat de la informațiile publicate de către acesta și s-au concentrat cu predilecție asupra zonelor care nu au fost cercetate integral în cadrul primei etape.

În campania arheologică desfășurată în anul 2005 au fost trasate două secțiuni numerotate S I B / 2005 și S II B / 2005. Secțiunea S I B a avut lungimea de 17 m și lățimea de 1,5 m, și a fost trasată pe direcția NV 320° – SE 140°, perpendicular pe zidurile beciului și pe zidul incintei întâi. Secțiunea S II B, are lungimea de 14,50 m și lățimea de 2,00 m, fiind orientată pe direcția NV 320° – SE 140°, paralel cu S I B / 2005, la 3,70 m de aceasta. Prin trasarea acestei secțiuni s-a urmărit identificarea limitei de est a beciului, cu zona de acces, fiind descoperită zona de intrare în beci, gârliciu, inclusiv locașul pentru fixarea tocului ușii

<sup>3</sup> Măgureanu, Ciupercă, Anton 2013.

<sup>4</sup> În anul 1962 a fost efectuată o cercetare în suprafață care a decopertat întreaga zonă Popescu 1964, p. 562.

și o parte din pragul de lemn existent la intrarea în beci. Beciul avea podea de pământ bătătorit, peste care, în unele zone, a fost așezat un strat de pietriș fin. Sub pragul de lemn, de la intrarea în beci a fost descoperit un rând de cărămizi. Accesul în beci se făcea pe o rampă de pământ bătătorit.

În campania arheologică din anul 2006 au fost continuate cercetările în cele două secțiuni începute în anul 2005 și au fost deschise alte două secțiuni S III B / 2006 și S IV B / 2006. Secțiunea S III B / 2006 are lungimea de 17,00 m, lățimea de 2,50 m și a fost amplasată la 2,50 m est de S II B / 2005 cu scopul de a verifica traiectele zidurilor și planimetria părții de est a construcției Casei domnești și de a stabili cât de lung este gârliciul beciului. Secțiunea S IV B / 2006 are lungimea de 4,00 m și lățimea de 2,50 m și a fost trasată la 4,00 m vest de S I B / 2005, cu scopul de a studia colțul sud-vestic al beciului Casei domnești. Astfel, s-a putut stabili că lungimea totală a beciului este de 11,50 m, iar lățimea de 4,86 m.

Pentru un control stratigrafic mai bun, au fost păstrați doi martori stratigrafici cu lățimea de 1,50 m, respectiv 1,00 m, în zona intrării în beci.

În secțiunea S II B / 2005 a fost descoperită zona de intrare în beci, inclusiv locul amenajat pentru tocul ușii. A fost surprins și colțul de nord-est al beciului, completându-se astfel planurile desenate de N. Constantinescu. Lățimea beciului în dreptul intrării este de 4,90 m. Grosimea zidurilor laterale este de cca 50 cm, iar cea a zidului de la intrare, situat spre nord-est, 40 cm.

### **A. Zona Caselor domnești**

Casele domnești de la Târgșoru Vechi au din punct de vedere planimetric o formă rectangulară, având în centru un beci, în jurul căruia s-a dezvoltat clădirea, a cărei fundații se observă și astăzi. Forma actuală a construcției este rezultatul evoluției sale timp de mai multe secole.

În continuare, vom prezenta principalele descoperiri din zona caselor domnești de la Târgșoru Vechi:

#### *1. Construcțiile din lemn*

Cercetările arheologice din 2005, completate cu cele din 2006, au coborât sub nivelul pe care se oprișe cercetarea la mijlocul anilor '60. Acest fapt ne-a permis identificarea unui nou nivel de locuire în zona Curților Domnești. Este vorba despre o fază a locuirii în care nu apar construcții din zid, clădirile având o structură din lemn acoperit cu

chirpici. Incendierea acestora a permis o bună identificare pe baza fragmentelor de chirpici ars și a urmelor de cărbune (Pl. II).

Clădirea 1, identificată în 2005, este construită la suprafața solului antic, marcată de un strat gros de 20 cm de chirpici ars, a cărei formă nu poate fi precizată datorită suprapunerii de către clădirile ulterioare, ea fiind parțial distrusă de fundațiile zidurilor Casei Domnești, dar și a primului zid de incintă. Adâncimea la care a fost descoperită este de 1,10 m – 1,30 m. Au fost descoperite resturi de bârne arse, fragmente masive de lipitură de lut și urme ale podelei făcute din pământ galben bătătorit. Datarea acestei construcții este asigurată de fragmentele ceramice descoperite pe podeaua locuinței, precum și de destul de numeroasele fragmente de cahle decorate cu motive geometrice și florale (una dintre cahle este decorată cu semnul crucii), cahle traforate aparținând secolului al XV-lea, după cum sugerează doamna Venera Rădulescu. A doua structură diferă de prima prin faptul că reprezintă o pivniță, din care a fost surprinsă intrarea în pantă și, parțial, încăperea propriu-zisă. Și această clădire a fost distrusă de un incendiu. Din păcate, datarea acestei pivnițe se poate face doar pe baza relației sale stratigrafice cu prima construcție, relație care ne arată că pivnița este anterioară clădirii din secolul al XV-lea. Este de acceptat o datare probabil tot la nivelul acestui secol.

Identificarea acestui nivel din secolul al XV-lea este importantă, pe de o parte, fiindcă începe să se contureze aspectul zonei la momentul Vlad Țepeș (în anul 1455 acesta îl prinde la Târgșor pe Vladislav al II-lea, se presupune și existența unei biserici ctitorită de el în Curtea domnească), pe de altă parte, datorită poziției acestor construcții, în colțul, unde, mai târziu, se vor construi casele din piatră. Posibil ca această construcție să fie cea mai veche fază a Curții domnești de la Târgșoru Vechi. Într-o primă etapă Curtea domnească a fost cel mai probabil un edificiu din lemn, iar apoi, după incendiul care a distrus partea de lemn, a fost reconstruită din piatră.

#### *2. „Turnul” de nord*

Pe latura de nord-vest a primei incinte, N. Constantinescu marca începuturile unei clădiri pe care domnia sa o atribuia ultimei faze de folosire a clădirilor de la Târgșoru Vechi, anume în secolul al XIX-lea.

Reluând cercetarea, în campania din 2005, în capătul de nord-vest al S I B / 2005, am dezvelit partea vestică a respectivei construcții. Este vorba despre o structură rectangulară, cu colțurile rotunjite

la exterior, adâncită în pământ, cu pereții zidiți din cărămidă legată cu mortar de var. În partea superioară, mai păstrează fragmente dintr-o zidărie mixtă, părând a fi existat la acest nivel al zidăriei casete din cărămizi cu pietre de râu (Pl. III. 1).

Lățimea beciului este de 1,95 m, iar adâncimea maximă de 2,70 m. În acest complex, la adâncimea de 1,90 m a fost sesizat un nivel compact de mortar amestecat cu lemn putrezit și fragmente de cărămizi rezultat probabil din prăbușirea unui planșeu al locuinței ce suprapunea beciul. Grosimea acestui nivel de distrugere variază între 30–50 cm. Sub acest nivel a fost descoperit un alt nivel de pământ negru amestecat cu fragmente mici de mortar și cărămidă, gros de cca 30 cm. Nu au fost observate urme ale amenajării podelei beciului, ci doar un nivel de călcare din pământ galben.

După distrugerea acestei construcții, spațiul a fost folosit ca zonă menajeră. În umplutura lui, alături de fragmente de cărămidă și pietre de râu, am descoperit vase întregi, fragmente ceramice, urme ale unor recipiente de sticlă (pahare cu picior sticle etc) și obiecte de fier toate de foarte bună calitate (Pl. III. 2).

Dacă în ceea ce privește funcționalitatea acestei structuri mai avem încă de reflectat (turn / beci), se pot face în schimb unele considerații referitoare la cronologia sa. Și anume, se poate observa că, în colțul de SE al structurii, aceasta este suprapusă de un zid (aparținând unei faze inițiale a Caselor Domnești), care, la rândul lui, este tăiat de zidul primei incinte. Având în vedere că, pe baza observațiilor din anii '60, zidul de incintă a fost datat în secolul al XVI-lea<sup>5</sup>, clădirea cercetată în 2005 nu poate fi datată în secolul al XIX-lea cum fusese propus, ci cel puțin în secolul al XVI-lea, dacă nu și ceva mai timpuriu.

### 3. Beciul Caselor Domnești

Construcția a fost datată în secolul al XVI-lea, considerându-se ca aparținând probabil primei etape de construcție a Curții domnești. În cercetările din anii 2005–2006 au fost surprinse zidurile de fundație ale beciului. Acestea erau groase de cca 60 cm și sunt construite din piatră de râu și cărămidă prinse cu mortar de var. Zidurile beciului sunt tencuite spre interior. Lățimea beciului este de aproximativ 4,75 m, iar adâncimea de cca 2,20 m. În umplutura gropii beciului am descoperit fragmente

de cărămizi, pietre și mortar, rezultate din prăbușirea zidurilor. În același perimetru au fost descoperite și fragmente ceramice.

Ca mod de construire s-a observat că inițial a fost săpată groapa viitorului beci, iar, ulterior, limitele gropii au fost zidite în maniera amintită. Podeaua beciului a fost amenajată prin depunerea unui strat de pietriș.

În campania din 2005 am reușit să identificăm gârliciul de acces (Pl. IV). După cum se poate observa, acesta nu este dispus pe axul central al construcției, fiind amenajat în jumătatea sudică a acesteia. Au putut fi identificate lăcașurile de fixare a porților din lemn, precum și fragmente din pragul de la intrarea în beci, realizat tot din lemn.

Gârliciul beciului este lat de cca 1,90 m și a suferit cel puțin o refacere care a constat din adăugarea unui rând de cărămizi la exteriorul ambelor ziduri ce delimitează culoarul de intrare în beci. În zona pragului porți de intrare în beci au fost descoperite numeroase cuie și obiecte de fier, inclusiv un zăvor de fier. A fost surprins și colțul de nord-est al beciului, completându-se astfel planurile desenate de N. Constantinescu. Lățimea beciului în dreptul porții de intrare este de 4,90 m. Grosimea zidurilor laterale este de cca. 50 cm, iar cea a zidului de la intrare, situat spre nord-est, 40 cm.

Zidurile beciului au fost construite din bolovani de râu legați cu mortar de var. În partea de est a beciului zidul a fost surprins până la adâncimea de 2,30 m, măsurat de la nivelul actual de călcare.

Pe latura de vest a beciului, pe podeaua lui, au fost descoperite bârne de lemn, cu profile pătrate, pe care probabil erau așezate butoaiele. Nu au fost descoperite urme ale unei eventuale podele din lemn.

### Morminte medievale

Prin trasarea secțiunii S III / 2006 am putut stabili, dincolo de planimetria colțului de sud-est al Casei Domnești și limita nordică a necropolei medievale din jurul bisericii lui Antonie Vodă. Astfel, în carourile 1 și 2 am descoperit patru morminte de înhumare, toate creștine. Scheletele defuncților, așezate pe spate cu mâinile pe piept sau pe bazin, erau toate orientate cu capul spre vest și picioarele spre est. Dintre cele cinci morminte, numai unul a fost cercetat în întregime (M.4). Scheletele au fost descoperite toate la adâncimea de 0,90–0,95 m. Este de menționat și suprapunerea de către capul defunctului din M.3 a părții inferioare a picioarelor (tibii și perone) scheletului din M.4 (Pl. III. 3).

<sup>5</sup> Cronologia trebuie reconsiderată pe baza cercetărilor din 2011, zidul primei incinte putând data mai probabil de la începutul secolului al XVII-lea

Nu au fost descoperite urme de coșciuge sau inventar arheologic pe baza căruia să putem face o încadrare cronologică exactă a mormintelor. Un singur mormânt M.3 avea un posibil obiect de inventar, un colț de porc depus în zona gâtului, probabil un pandantiv.

Gropile mormintelor erau de formă dreptunghiulară, cu colțurile rotunjite. La picioarele M.1 au fost descoperite oase umane reînchinate.

Gropile mormintelor au fost surprinse pe profile de la adâncimea de 20–30 cm. Deasupra lor, imediat sub solul vegetal, a fost semnalat un nivel arheologic în componența căruia sunt urme de mortar și cărămizi fragmentare, ceea ce ne arată că în aceea parte a necropolei medievale au încetat înhumările în momentul când a fost construită clădirea Casei Domnești. Astfel, în stadiul actual al cercetării putem încadra mormintele medievale descoperite în S III B / 2006, evident cu rezerve, în intervalul cuprins între secolele XV–XVI.

## **B. Complexe medievale din perimetrul Curții domnești**

În paralel cu cercetările din zona Curții domnești au fost continuate și cele din interiorul celei de a doua incinte, scopul fiind identificarea și cercetarea unor noi complexe aparținând necropolei Sântana de Mureș-Cerneahov.

În acest scop, a fost deschisă, în anul 2003, caseta notată XIII B, în colțul de nord-est al celei de a doua incinte. Spre surpriza noastră, au fost identificate vestigii ale târgului medieval, care ne-au atras întreaga atenție.

Pentru clarificarea situației arheologice întâlnite Cas. XIII B, a fost extinsă până la dimensiunile de  $12 \times 8$  m, iar ca metodă de săpătură au fost păstrați martori stratigrafici care împart suprafața casei în patru sectoare principale.

În urma cercetărilor au fost observate noi nivele arheologice care demonstrează un fapt oarecum surprinzător: colțul de nord-est al incintei medievale a fost puternic locuit, suferind o multitudine de nivelări, lucru nici pe departe înregistrat în alte zone ale incintei. Au fost făcute noi observații asupra complexului E1 privind stratigrafia, nivelul de fundare și materialul de construcție, observații care par să arate o altă tehnică față de cea a realizării zidului de incintă.

### *1. Nivelări / pavimente*

Complexul 2 a fost surprins în Cas. XIII B, carourile 3–4/A–B, la adâncimea de 0,37 m. Cercetat parțial, de formă rectangulară, complexul

are dimensiunile surprinse în grund de  $3,9 \times 4$  m. Complexul este o nivelare din fragmente de cărămizi dispuse pe trei niveluri, cu straturi de pământ intercalate. Este mărginit de E1 și E2, suprapune complexul 3/2004. Conform observațiilor stratigrafice și datorită fragmentelor de cărămizi este vorba despre o nivelare medievală.

Complexul 3 a fost surprins în Cas. XIII B, carourile 3–5/A–C, la adâncimea de 0,62 m. Cercetat parțial, de formă neregulată, complexul este o nivelare din pietre mari de râu dispuse pe un singur nivel. Este suprapus de complexul 2, perforat de E1 și E2 și mărginit la nord-vest de zidul de incintă. Conform observațiilor stratigrafice, este vorba despre un paviment medieval.

Complexul 5 a fost surprins în Cas. XIII B, carourile 3–4/A–C, la adâncimea de 0,83 m. Cercetat parțial, de formă neregulată, cu dimensiuni de  $4 \times 4$  m, complexul este o nivelare din pietre mici de râu dispuse pe un singur nivel „legate” cu lut galben. Conform observațiilor stratigrafice, este vorba despre o nivelare medievală.

### *2. Construcții din lemn (Pl. V. 2)*

Complexul 7 a fost surprins în Cas. XIII B, carourile 1–2/B, la adâncimea de 1,1 m. De formă rectangulară, complexul are dimensiunile surprinse în grund de  $1,86 \times 1,64$  m. Umplutura constă în pământ de culoare negricioasă-brună cu pigment de cărbune și arsură. Observațiile stratigrafice par să atribuie complexul stratului medieval. În urma finalizării cercetării s-a constatat că cpl. 7 este o groapă ce aparține cpl. 9, podina acestuia coboară și căptușește pereții și fundul acestei gropi.

Complexul 8 a fost surprins în Cas. XIII B, carourile 1–2/A, la adâncimea de 1,1 m. Cercetat parțial, de formă rectangulară, complexul are dimensiunile surprinse în grund de  $2,3 \times 0,8$  m. Pe laturile de nord-est și sud-vest prezintă două nișe laterale de formă rectangulară, nedispuse simetric, posibil amprente de unor bârne. Umplutura constă în pământ de culoare negricioasă-brună cu pigment de cărbune și arsură. Observațiile stratigrafice par să atribuie complexul stratului medieval.

Complexul 9, identificat în carourile 4–5/A–B, la adâncimea de 0,90–1,07 m față de cota „0” (stabilită pe baza unui sistem de borne și măsurată de la borna „A”), este constituit dintr-o masă de dărâmată arsă puternic, căzută peste o podină lutuită, având dimensiunile surprinse de  $3 \times 2,30$  m. Stratigrafic este suprapus de zidul de incintă, perforat de E1 și E2. Acest complex constituie resturile unei locuințe (dependințe) medievale construite anterior ridicării celei de-a doua curte.

Între masa de arsură și lutiiala galbenă a cpl. 9 s-a observat o dungă subțire, de culoare neagră și pe alocuri fragmente de la scânduri arse. Complexul păstrează urmele unor gropi de par care ar fi putut avea rolul de a susține suprastructura construcției.

Complexul 12 a fost surpris în carourile 2–4/D, și a apărut ca o groapă de mari dimensiuni, având umplutura din pământ de culoare neagră. Cpl. 12 este suprapus de latura de N a zidului de incintă, acest fapt putând reprezenta cauza tasării respectivei porțiuni de zid. Inventarul arheologic al cpl. 12 este constituit din oase de animale, fragmente ceramice, bucăți de zgură de fier.

Complexul 16 este situat în caroul 5D, între cpl. 14 și cpl. 15, fiind suprapus de fundația zidului de incintă și de latura de est a cpl. 14. Umplutura acestui complex este alcătuită din pământ de culoare neagră, cu pigment de cărbune și pigmentație slabă de chirpici. În urma cercetării acestui complex s-a observat existența unei cantități mari de lipitură arsă cu impresiuni de nuiele, cât și a unei bârne, surprinse *in situ*, având orientare nord-sud. Constatându-se existența unor puncte comune între cpl. 9 și cpl. 16 (situarea în aceeași zonă, de o parte și alta a zidului de incintă; nivel comun; prezența aceluiași material de construcție în umplutură, existența unor bârne surprinse „in situ”, care delimitează o structură unitară etc.), s-a emis ipoteza conform căreia cele două complexe ar constitui o singură structură, probabil o construcție aparținând perioadei medievale. Urmează ca în momentul când se va cerceta suprafața situată la nord de caseta 13B, această ipoteză să se confirme sau nu.

Complexul 21 a fost observat în caroul 5D și apare ca un nivel de lipitură arsă, omogenă, dură, fățuită, probabil o podea de locuință, dar peste care nu s-a găsit un strat de dărâmatură. Forma cpl. 21 este rectangulară în plan, cu colțuri rotunjite, iar pe profilul E–V al cas. 13 apare ca o mică albiere. În colțul de sud-est a fost identificată o groapă de par în care s-au observat resturi de cărbune de la un stâlp al locuinței. În umplutura acestui complex s-au găsit fragmente ceramice și o cantitate mare de pigmenți de cărbune.

### 3. Zidul de incintă

În campania din 2005 s-au completat observațiile privind colțul de nord-est al curtinei celei de-a doua incinte. După demontarea martorului mare est-vest, s-au putut observa următoarele:

1. Pe latura de est și în colțul de nord-est al curtinei se disting foarte clar două tipuri de construire a elevației. Primul tip de zidărie este

caracterizat prin casete de cărămizi, în care sunt încastrați bolovani de râu, legați cu mortar. Din elevație nu s-a păstrat decât partea exterioară a peretelui, ușor înclinată către est, fața interioară a acestuia, însă lipsind. Fundația zidului respectiv este turnată în șanț, fiind realizată din bolovani mari de râu, „înecați” în mortar de var. Lățimea fundației este de 1,10 m, având o adâncime de cca 0,50 m și a fost surprinsă în Cas. 13B pe o lungime de 3,40 m. Elevația păstrată are, însă, o lungime de cca. 2,40 m de la profilul de S al Cas. 13B.

În colțul propriu-zis al curtinei se poate observa un alt tip de zidărie, constând din paramenți cu două rânduri de cărămizi, între care s-a turnat un emplecton, constituit din bolovani de râu și fragmente de cărămizi, înecate în mortar. Pe latura de nord a acestui zid s-a putut observa că structura cu paramenți și emplecton a început să fie clădită abia după așezarea a 3–4 asize de cărămizi peste fundație. Lățimea zidului cu emplecton variază între 0,90 și 1,00 m, elevația fiind păstrată pe o înălțime de 0,20–0,37 m. Pe latura de est a acestui zid, către sud, nu s-au păstrat decât 5 asize de cărămizi. Acestea constituie, eventual, baza peste care putea să fie clădită structura cu emplecton, dar care lipsește în această porțiune. În orice caz, este categoric vorba de unul și același zid, întrucât s-a putut observa că în colțul curtinei zidăria este țesută. Fundația zidului de colț este constituită din bolovani de râu (de dimensiuni vizibil mai mici decât la fundația zidului cu casete) și multă cărămidă spartă, înecată în mortar. Lățimea fundației este de 1,00–1,10 m. Partea ei superioară (baza elevației) se află la 0,33 m (latura de nord) / 0,17 m (în colț) față de cota „0”, iar talpa fundației la 0,75 m (latura de nord) / 0,61 m (în colț) față de cota „0”.

2. Fundația zidului construit cu paramenți din asize de cărămizi și emplecton „taie” fundația zidului cu „casete”, fiind săpată ceva mai de sus decât primul (cel mai de jos) rând de cărămizi aflat peste fundația cu bolovani mari de râu (de la care pornesc „casetele”).

3. Fundația constituită din bolovani de râu și cărămidă spartă, înecată în mortar, continuă și pe latura de N a zidului de incintă, dar traseul acesteia este deviat față de traseul zidului cu cca 7°.

### 4. Construcție din zid (Pl. V. 1)

Încă din campania 2003, în afara zidului de incintă, au fost surprinse și câteva fundații, despre care s-a bănuț inițial că ar aparține unei structuri unitare, notată cu sigla Edificiul 1. Este vorba de două fundații (notate E1 și E4), aproximativ perpendiculare pe traseul zidului de nord al



incintei. Fundația E1 a fost surprinsă la adâncimea de 0,31 m (capătul de nord) / 0,50 m (capătul de sud) față de față de cota „0”. Are o lungime de 4,90 m și o lățime variind între 0,70 și 0,90 m. Adâncimea șanțului în care a fost turnată este de 0,90–0,75 m, talpa ei fiind surprinsă la 1,05–1,09 față de cota „0”. În capătul de sud al fundației E1, imediat la est de aceasta, se află o altă fundație, notată E2, aproximativ pătrată (0,80 × 1,00 m), puțin adâncită (0,30 m) și care este adosată la fundația E1. Fundația E4, paralelă cu E1 și perpendiculară pe zidul de incintă de nord, se află la cca 4 m vest de fundația E1. A fost surprinsă la 0,75 m față de cota „0”, având o lungime de 4,60 m și o lățime de 0,90–1,10 m. Fundația E3 este situată în capătul de nord al E4, perpendiculară pe aceasta și paralelă cu zidul de incintă, adosată la acesta. Are o formă dreptunghiulară cu dimensiunile de 1,5 × 1,2 m; talpa acesteia nu a putut fi surprinsă deoarece săpătura s-a oprit pe nivelul pavajului de bolovani identificat între fundațiile E1 și E4.

Din elevațiile zidurilor respective, nu s-a păstrat nimic, partea lor superioară fiind acoperită, așa cum s-a observat în campaniile din 2003–2004, de un strat de pământ în amestec cu o cantitate mică de mortar și cărămizi sparte.

## CONCLUZII

După cum am încercat să prezentăm, succint, săpăturile din anii 2005–2006 au reușit să completeze imaginea acestui sector al complexului medieval de la Târgșoru Vechi. Aceste noi structuri au adus lămuriri, dar și multe întrebări referitoare atât la cronologie (locuirea din secolul al XV-lea, construcția rectangulară de pe latura nordică), cât și la felul în care a evoluat Curtea domnească, atât ca dinamică a sa, cât și ce a însemnat transformarea sa în mănăstire.

Așa cum ne apar lucrurile acum, o primă etapă de locuire se poate data în secolul al XV-lea, fiind caracterizată de construcții cu structură din lemn și chirpici, având sau nu pivniță. O a doua etapă survine relativ repede, la sfârșitul aceluiași secol, când este construit turnul / beciul de pe latura de nord. Ulterior, este ridicat primul zid de incintă și se recompartimentează Casa domnească. Acesta este momentul când se amenajează cel mai probabil și beciul Casei Domnești, orientat est-vest, cu un gârlici în pantă dispus pe latura estică, în apropierea laturii de sud. Tot acum este de presupus și renunțarea la folosirea ca spațiu funerar și încetarea

înmor-mântărilor în zonă, ele continuând doar în stricta apropiere a bisericii lui Antonie-Vodă.

Analiza problemelor ridicate de vestigiile medievale este doar la început. Răspunsurile sunt, ca de obicei, greu de găsit. Totuși, putem spune că evoluția ansamblului medieval de la Târgșoru Vechi se prefigurează a fi altfel față de cea observată în anii '60.

## BIBLIOGRAFIE

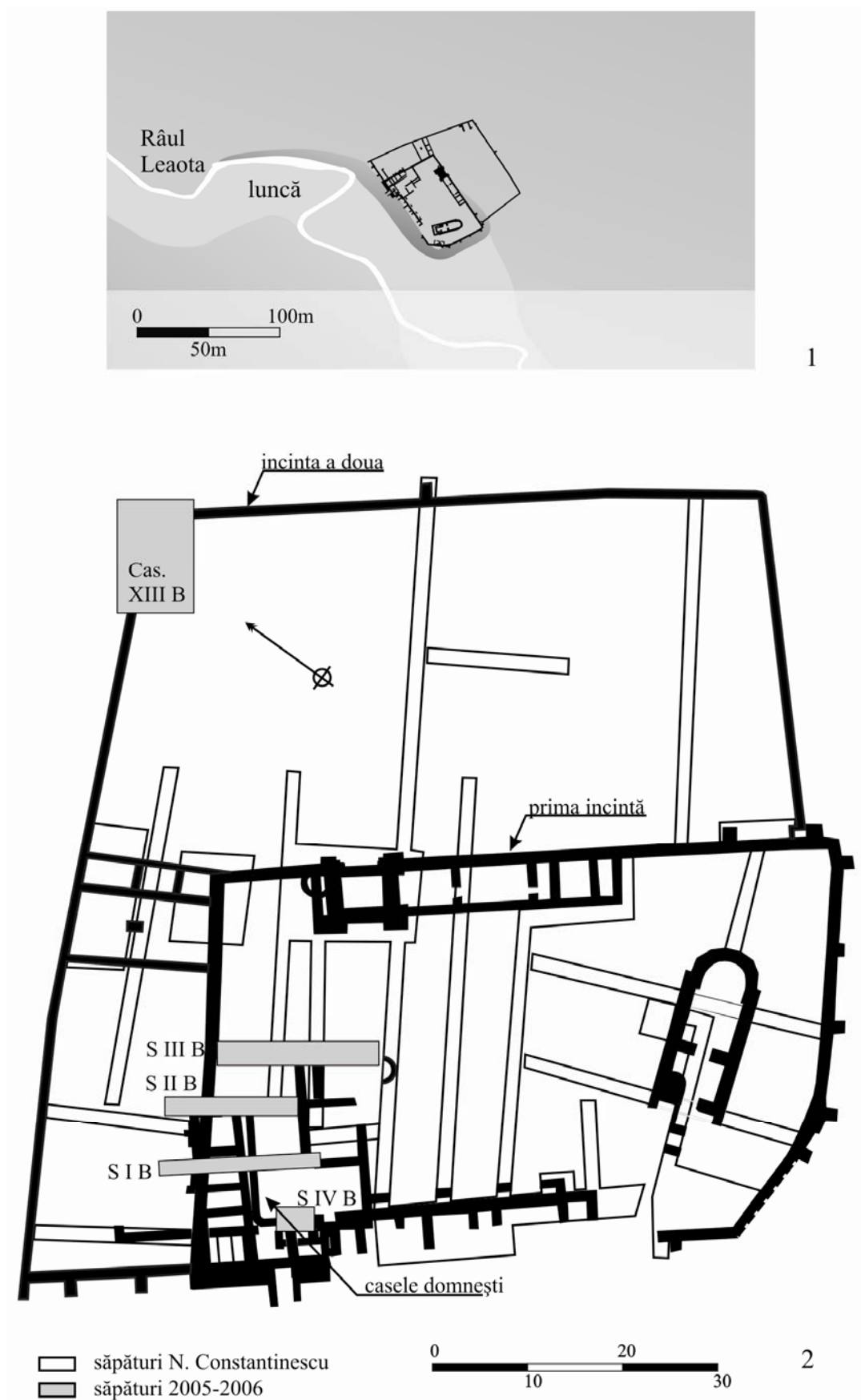
- Constantinescu 1969 – N. Constantinescu, *Note arheologice și istorice asupra curții feudale de la Târgșor*, SCIV 20, 1969, 1, p. 83–100.
- Măgureanu, Ciupercă 2011 – A. Măgureanu, B. Ciupercă, *Preliminary notes on the medieval structures of Târgșoru Vechi*, Caiete ARA 2, 2011, p. 123–127.
- Măgureanu, Ciupercă, Anton 2013 – A. Măgureanu, B. Ciupercă, A. Anton, *Medieval heritage from Târgșoru Vechi. An archaeological overview of 50 years of research*, Caiete ARA 4, 2013, sub tipar.
- Niculescu *et alii*. 2006 – Gh. Al. Niculescu, A. Măgureanu, D. Sârbu, D. Lichiardopol, B. Ciupercă, E. Paveleț, A. Frânculeasa, *Târgșoru Vechi, jud. Prahova, Punct: La Mănăstire*, CCA (Campania 2005). A XL-a Sesiune Națională de Rapoarte Arheologice – Constanța, 31 mai – 3 iunie 2006, p. 362–365.
- Popescu 1964 – D. Popescu, *Săpăturile arheologice din R.P.R. în anul 1963*, SCIV 15, 1964, 4, p. 551–567.

## LISTA ILUSTRAȚIEI

- Pl. I. 1. Amplasarea curții domnești de la Târgșoru Vechi; 2. Detaliu cu amplasarea săpăturilor din 2005–2006.
- Pl. II. 1–2. Aspecte de la cercetarea locuinței din sec. XV; 3. Fragmente de cahle din locuință.
- Pl. III. 1. Detaliu cu suprapunerile de ziduri; 2. Piese descoperite în umplutura superioară; 3. Detaliu cu suprapunerea a două morminte.
- Pl. IV. 1–3. Aspecte de la cercetarea gârliciului beciului domnesc; 4. Obiecte descoperite în zona gârliciului.
- Pl. V. 1. Planul zidurilor din Cas. XIII B; 2. Planul locuinței din lemn din Cas. XIII B.

## LIST OF ILLUSTRATIONS

- Pl. I. 1. Location of the Voivodal court from Târgșoru Vechi; 2. Position of the archaeological excavations carried on in 2005 and 2006.
- Pl. II. 1–2. Views of the 15<sup>th</sup> century dwelling; 3. Fragments of stove tiles.
- Pl. III. 1. Detail of overlapping walls; 2. Finds from the upper part of the infill; 3. View of overlapping tombs.
- Pl. IV. 1–3. View of the entrance into the voivodal cellar during various moments of the excavation; 4. Finds from the entrance area.
- Pl. V. 1. Plan of the walls from Cas. XIII B; 2. Plan of the wooden structure/dwelling from Cas. XIII B.



Pl. I. 1. Amplasarea curții domnești de la Târgșoru Vechi; 2. Detaliu cu amplasarea săpăturilor din 2005–2006.



1



2



3

Pl. II. 1–2. Aspecte de la cercetarea locuinței din sec. XV; 3. Fragmente de cahle din locuință.





zidul primei incinte

zidul casei domnești

zidul construcției

1



3

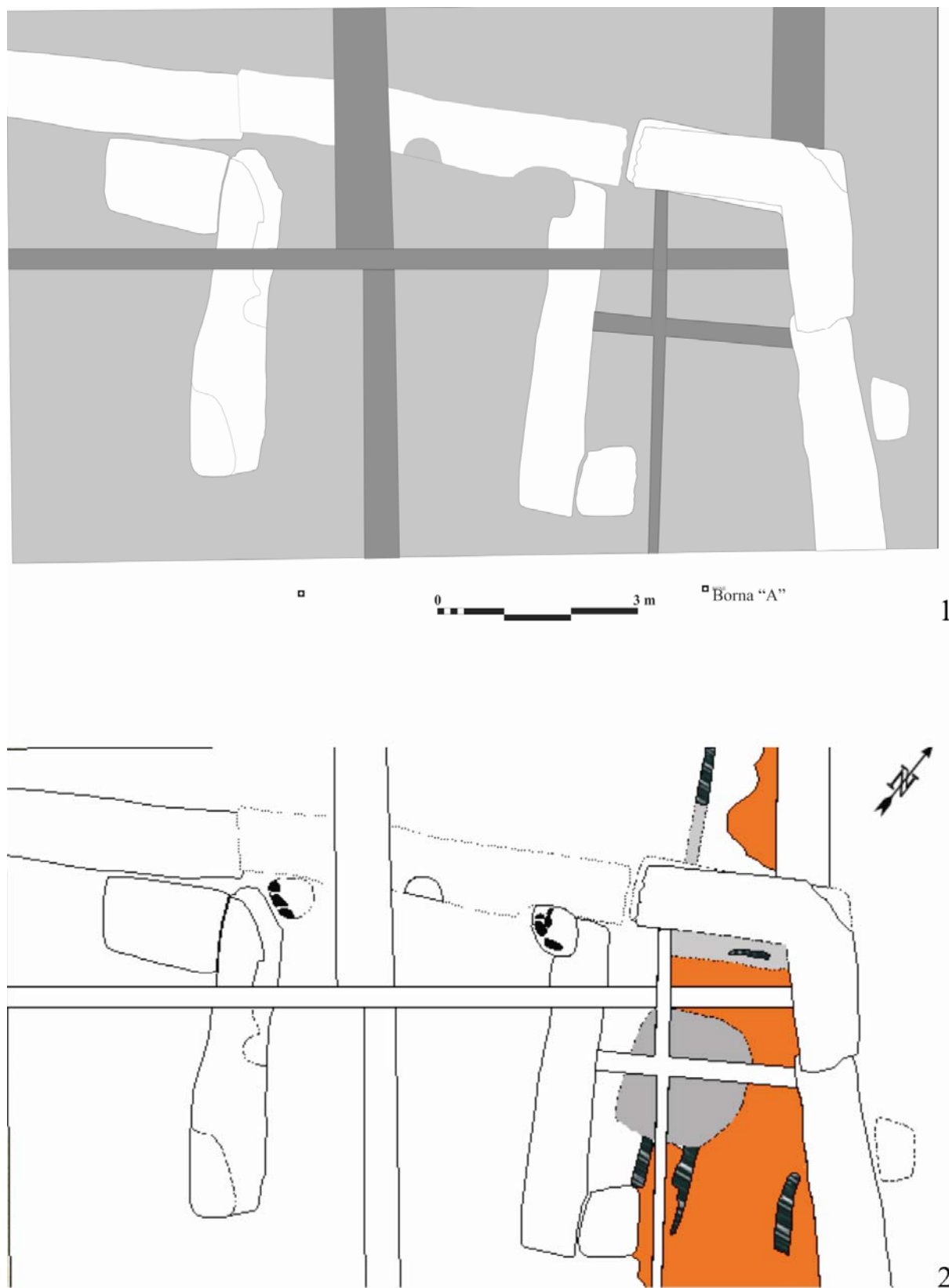


Pl. III. 1. Detaliu cu suprapunerile de ziduri; 2. Piese descoperite în umplutura superioară;  
3. Detaliu cu suprapunerea a două morminte.



Pl. IV. 1–3. Aspecte de la cercetarea gârliciului beciului domnescu; 4. Obiecte descoperite în zona gârliciului.





Pl. V. 1. Planul zidurilor din Cas. XIII B; 2. Planul locuinței din lemn din Cas. XIII B.

**ACADEMIA ROMÂNĂ**  
**INSTITUTUL DE ARHEOLOGIE „VASILE PÂRVAN”**

**MATERIALE**  
**ȘI**  
**CERCETĂRI**  
**ARHEOLOGICE**

**SERIE NOUĂ**  
**IX**

**2013**



**EDITURA ACADEMIEI ROMÂNE**  
**BUCUREȘTI, 2013**

## **Colegiul de redacție**

**PROF. DR. ALEXANDRU BARNEA** (Universitatea București), **DR. SANDA BALESCU** (Université des Sciences et Technologies de Lille, Laboratoire de Préhistoire et Quaternaire, CNRS), **PROF. DR. CLIVE BONSALL** (University of Edinburgh), **PROF. DR. NIKOLAUS BOROFFKA** (Deutsches Archäologisches Institut – Eurasien Abteilung, Berlin, Germany), **DR. GH. I. CANTACUZINO** (Institutul de „Arheologie Vasile Pârvan” București), **DR. UWE FIEDLER** (Berlin), **DR. RADU HARHOIU** (Institutul de Arheologie „Vasile Pârvan” București), **DR. ANNIE RENOUX** (Université du Maine, Le Mans), **PROF. DR. ERIK TRINKAUS** (Department of Anthropology, Washington University), **PROF. DR. ALAIN TUFFREAU** (Université des Sciences et Technologies de Lille, Laboratoire de Préhistoire et Quaternaire), **ACAD. ALEXANDRU VULPE** (Institutul de Arheologie „Vasile Pârvan” București).

## **Comitetul de redacție**

**ROXANA DOBRESU** – redactor-șef

**ADRIAN IONIȚĂ** – redactor-șef adjunct

**IRINA ACHIM, ADINA BORONEANȚ, ADRIAN DOBOȘ, LIANA OȚA, ADRIANA PANAITE, DANIEL SPÂNU, VLAD VINTILĂ ZIRRA** – membri

**LILIANA ZAHARIA** – secretar de redacție

Redactor Editura Academiei Române: **ADRIAN MIRCEA DOBRE**

Tehnoredactor Editura Academiei Române: **DOINA STOIA**

Revista se poate procura contracost la sediul EDITURII ACADEMIEI ROMÂNE, Calea 13 Septembrie nr. 13, sector 5, 050711, București, România; tel. 4021-318 8146, 4021-318 8106, Fax 4021-318 2444, e-mail: [edacad@ear.ro](mailto:edacad@ear.ro).

ORION PRESS IMPEX 2000 S.R.L., P.O. Box 77-19, sector 3, București, România, Tel./Fax: 4021-610 6765, 4021-210 6787, Tel.: 0311 044 668, e-mail: [office@orionpress.ro](mailto:office@orionpress.ro).

S.C. MANPRES DISTRIBUTION S.R.L., Piața Presei Libere, nr. 1, Corp B, Etaj 3, Cam. 301–302, sector 1, București, România, tel./fax: (4021) 314 6339, e-mail: [abonamente@manpres.ro](mailto:abonamente@manpres.ro), [office@manpres.ro](mailto:office@manpres.ro), [www.romanianjournals.com](http://www.romanianjournals.com).

DEREX COM S.R.L., e-mail: [derex\\_com@yahoo.com](mailto:derex_com@yahoo.com)

Orice corespondență se va trimite Colegiului de redacție pe adresa: str. Henri Coandă 11, 010667 București, tel./fax 4021 212 88 62. și [redactie\\_iab@yahoo.com](mailto:redactie_iab@yahoo.com)

Normele de redactare a manuscriselor și lista abrevierilor folosite în revistă sunt în general aceleași ca în celelalte publicații ale Institutului de Arheologie. În măsura în care vom elabora alte norme, ne obligăm să le publicăm în numărul următor.

© 2013, EDITURA ACADEMIEI ROMÂNE

## SUMAR

ALAIN TUFFREAU, ROXANA DOBRESU, SANDA BALESCU, MĂDĂLIN CORNEL VĂLEANU, Boinești (département de Satu-Mare), Moustérien, Aurignacien et processus taphonomiques .....	7
ALEXANDRU CIORNEI, Petrografia silicolitelor din siturile Paleoliticului superior de pe Valea Dunării. Caracteristici și proveniență .....	41
MIHAI GLIGOR, MARIANA ROȘU, CĂLIN ȘUTEU, New Evidence on Burial Practices in Petrești Culture .....	67
CAMELIA-MIRELA VINTILĂ, CARMEN PAVEL, MARIAN NEAGU, Noi aspecte ale plasticii antropomorfe descoperite la Dunărea de Jos.....	83
ALIN FRÎNCULEASA, BIANCA PREDA, OCTAV NEGREA, ANDREI DORIAN SOFICARU, Cercetări arheologice în cimitirul din epoca bronzului târziu de la Câmpina (jud. Prahova) – campaniile 2011 și 2012 .....	97
DANIEL SPÂNU, Fibule „de tip hibrid”? .....	145
MIRCEA DABÎCA, Noi cercetări arheologice în partea de sud a cetății Histria. Campaniile 2003–2009 .....	157
ALEXANDRU BĂDESCU – Amfore orientale de tip Kapitän II descoperite la <i>Histria</i> în Sectorul <i>Basilica extra muros</i> .....	189
ANNAMARIA DIANA, MIHAI MEȘTER, Meeting an Early Medieval Community: A Preliminary Analysis of the Human Skeletal Remains from the Jucu Cemetery (Cluj-Napoca, Romania) .....	3; ;
BOGDAN CIUPERCĂ, ANDREI MĂGUREANU, EUGEN PAVELEȚ, DORIN SÂRBU, Cercetări arheologice în Curtea Domnească de la Târgșoru Vechi .....	219
RADU-ALEXANDRU DRAGOMAN, MIHAI FLOREA, Preambul la o cercetare arheologică a fostei colonii de muncă forțată din perioada comunistă de la Poarta Albă, România.....	231

## RECENZII

Laurent Carozza, Cătălin Bem, Cristian Micu (eds.), <i>Société et environnement dans la zone du Bas Danube durant le 5<sup>ème</sup> millénaire avant notre ère</i> , Editura Universității „Alexandru Ioan Cuza”, Iași, 2011, 413 p. (Cristian Eduard Ștefan) .....	243
<b>Abrevieri</b> .....	245





## SOMMAIRE

ALAIN TUFFREAU, ROXANA DOBRESU, SANDA BALESCU, MĂDĂLIN CORNEL VĂLEANU, Boinești (département de Satu-Mare), Moustérien, Aurignacien et processus taphonomiques .....	7
ALEXANDRU CIORNEI, Petrografia silicolitelor din siturile Paleoliticului superior de pe Valea Dunării. Caracteristici și proveniență.....	41
MIHAI GLIGOR, MARIANA ROȘU, CĂLIN ȘUTEU, New Evidence on Burial Practices in Petrești Culture .....	67
CAMELIA-MIRELA VINTILĂ, CARMEN PAVEL, MARIAN NEAGU, Several antropomorphic figurines found during the excavations on the Vidra tell .....	83
ALIN FRÎNCULEASA, BIANCA PREDA, OCTAV NEGREA, ANDREI DORIAN SOFICARU, Archaeological research in the Bronze Age cemetery at Câmpina (Prahova county) – campaigns 2011 și 2012.....	97
DANIEL SPÂNU, Fibule „de tip hibrid”? .....	145
MIRCEA DABÎCA, Les principaux résultats des fouilles menées entre 2003 et 2009 à Histria, dans le périmètre du Secteur sud .....	157
ALEXANDRU BĂDESCU – Amphoras Kapitän II discovered at Histria, in extra muros Basilica .....	189
ANNAMARIA DIANA, MIHAI MEȘTER, Meeting an Early Medieval Community: A Preliminary Analysis of the Human Skeletal Remains from the Jucu Cemetery (Cluj-Napoca, Romania) .....	3; ;
BOGDAN CIUPERCĂ, ANDREI MĂGUREANU, EUGEN PAVELEȚ, DORIN SÂRBU, Archaeological research Cercetări arheologice în Curtea Domnească de la Târgșoru Vechi.....	219
RADU-ALEXANDRU DRAGOMAN, MIHAI FLOREA, Preamble of planned archaeological research in the former forced labor camp from the communist period at Poarta Albă, Romania .....	231

## COMPTE-RENDUS

Laurent Carozza, Cătălin Bem, Cristian Micu (eds.), <i>Société et environnement dans la zone du Bas Danube durant le 5<sup>ème</sup> millénaire avant notre ère</i> , Editura Universității “Alexandru Ioan Cuza”, Iași, 2011, 413 p. (Cristian Eduard Ștefan) .....	243
<b>Abréviations</b> .....	245

# Preambul la o cercetare arheologică a fostei colonii de muncă forțată din perioada comunistă de la Poarta Albă, România

RADU-ALEXANDRU DRAGOMAN\*, MIHAI FLOREA\*\*

**Keywords:** archaeology, Communist period, forced labor camp, Danube–Black Sea Canal, Romania.

**Abstract:** The present text is a preamble of proposed archaeological excavations in the former forced labor camp from the communist period at Poarta Albă, Dobrudja, Eastern Romania. In the 1950s thousands of persons were arrested for political and/or religious reasons and sent to Poarta Albă to work for the construction of the Danube–Black Sea Canal; many of them died due to the extermination conditions in the camp. To honor them, an Orthodox monastery is going to be built in the area of the former camp. We argue that the main aim of a future archaeological approach should be to uncover the memories hold by the site and surrounding landscape, *i.e.* “the material memory” (Olivier 2008), and to contribute to the creation of a memorial museum, part of the monastery. Following the preliminary fieldwork carried out in 2012, a series of structures were mapped and photographed, the majority of which belong most probably to the former camp.

**Cuvinte-cheie:** arheologie, perioada comunistă, colonie de muncă forțată, Canalul Dunăre–Marea Neagră, România.

**Rezumat:** Textul de față este un preambul al unor propuse săpături arheologice în fosta colonie de muncă forțată din perioada comunistă de la Poarta Albă, Dobrogea, estul României. În anii ’1950, mii de persoane au fost arestate pe motive politice și/sau religioase și trimise la Poarta Albă pentru a lucra la construirea Canalului Dunăre–Marea Neagră; multe dintre ele au murit datorită condițiilor de exterminare din colonie. Pentru cinstirea lor, urmează a se construi o mănăstire ortodoxă în aria fostei colonii. Considerăm că scopul principal al unui viitor demers arheologic ar trebui să fie acela de a scoate la iveală memoriile deținute de sit și de peisajul înconjurător, *i.e.* „memoria materială” (Olivier 2008), și de a contribui la realizarea unui muzeu memorial, parte a mănăstirii. În urma cercetărilor de teren preliminare efectuate în anul 2012, au fost cartate și fotografiate o serie de structuri ce, foarte probabil, aparțin în majoritatea lor fostei colonii.

## INTRODUCERE

În perioada comunistă, Poarta Albă (com. Poarta Albă, jud. Constanța) a fost cea mai mare dintre coloniile de muncă forțată înființate cu

ocazia lucrărilor de construcție a Canalului Dunăre–Marea Neagră – un proiect demarat în anul 1949 și abandonat în 1953 după moartea lui I. V. Stalin<sup>1</sup>. Numărul maxim de deținuți politici internați în colonia Poarta Albă a fost în jur de 12.000, aceștia fiind considerați drept „elemente dușmănoase regimului”<sup>2</sup>. Categoria deținuților politici de la Canal „era extrem de eterogenă: țărani care s-au opus colectivizării, sârbi de la frontiera iugoslavă deveniți nesiguri prin vecinătatea cu «călăul Tito», preoți, călugărițe și călugări, foști miniștri, foști legionari (reali sau bănuți), ziariști”<sup>3</sup>. Datorită foamei endemice, a muncilor epuizante, a torturilor fizice și a lipsei tratamentului medical, în rândurile deținuților politici rata mortalității a fost una ridicată<sup>4</sup>. Mulți dintre cei care au murit la Canal, cum este cazul preoților sau a monahilor și a monahiilor, dar și a numeroși laici, au fost arestați și au suferit pentru credința lor în Hristos, motiv pentru care, potrivit tradiției creștine, pot fi considerați martiri<sup>5</sup>. Drept urmare, în anul 2012, la inițiativa Părintelui Justin Pârvu de la Mănăstirea Petru Vodă (jud. Neamț), la rândul său tot un fost deținut politic, s-au început demersurile în vederea ridicării unei mănăstiri cu hramul Sfinților Români și închinată oamenilor care și-au pierdut viața la Canal. În luna iulie 2012 au fost sfințite fundațiile primei construcții, și anume a unui paraclis (fig. 1). Totodată, exista intenția din partea comunității monahale de a amenaja în cadrul mănăstirii un

<sup>1</sup> Pentru o sinteză, vezi Tismăneanu *et al.* 2007, p. 587–597.

<sup>2</sup> Tismăneanu *et al.* 2007, p. 590.

<sup>3</sup> Jela 2006, p. 131.

<sup>4</sup> Tismăneanu *et al.* 2007, p. 594.

<sup>5</sup> Vezi, de exemplu, Pomazanski 2008.

\* Institutul de Arheologie „Vasile Pârvan” al Academiei Române, str. Henri Coandă, nr. 11, Sector 1, 010667, București, România; adresă e-mail: al\_dragoman@yahoo.com

\*\* Muzeul Național de Istorie a României, Calea Victoriei, nr. 12, București, România; adresă e-mail: mihaimfs@yahoo.com

muzeu tematic și, eventual, de a reconstitui o construcție din fostul lagăr. În acest context, ne-am gândit că ar fi important ca în viitor zona să fie cercetată arheologic cu scopul documentării urmelor materiale existente. Un astfel de proiect arheologic s-ar constitui într-o evocare a suferinței îndurate de cei deportați în coloniile de muncă forțată de pe traseul Canalului, într-o încercare de revelare a straturilor de memorie sedimentate până astăzi în acest loc, precum și într-un act de cinstire a „noilor mărturisitori”.

### ISTORICUL CERCETĂRII ȘI PREMISE TEORETICE

Primele cercetări privind materialitatea represiunii din perioada comunistă din estul Europei au fost întreprinse imediat după schimbările politice survenite în 1989. De exemplu, în anul 1991, arheologii polonezi au efectuat investigații preliminare în presupusele cimitire N.K.V.D. de la Harkov și Miednoje, unde, precum în cazul sitului de la Katyn, se bănuia că fuseseră îngropați o parte dintre ofițerii polonezi capturați și executați de sovietici în 1940, pentru ca ulterior, între 1994 și 1996, să realizeze săpături arheologice de amploare în toate cele trei locuri<sup>6</sup>. Săpături similare au avut loc și în alte țări anexate cândva de Uniunea Sovietică, de exemplu în Lituania<sup>7</sup>. Pe lângă identificarea și cercetarea gropilor comune, analizele din diverse perspective asupra culturii materiale a sistemului represiv comunist au avut în vedere și relația dintre memorie și arhitectura represiunii, cum ar fi Zidul Berlinului<sup>8</sup>, foste închisori politice din Blocul Sovietic<sup>9</sup> sau foste lagăre de concentrare naziste utilizate de sovietici în scop punitiv după 1945<sup>10</sup>. Având în vedere faptul că situl de la Poarta Albă a fost o colonie penitenciară, merită menționate și cercetările arheologice efectuate în situri similare construite de alte regimuri totalitare, precum lagărele de muncă forțată de la Bustarviejo și Castuera din Spania lui Franco<sup>11</sup>, lagărele de concentrare naziste de la Chelmo, Treblinka, Sobibór și Belzec din Polonia<sup>12</sup> sau lagărul de prizonieri de război Sværholt din Norvegia<sup>13</sup>.

Prin comparație, în România cercetările dedicate materialității represiunii comuniste au început mult mai târziu, odată cu înființarea în anul 2005 a Institutului de Investigare a Crimelor Comunismului din România (rebotezat în anul 2009 Institutul de Investigare a Crimelor Comunismului și Memoria Exilului Românesc). Cercetările arheologice au fost demarate de „Departamentul Investigații Speciale” din cadrul I.I.C.C.R. cu scopul de a obține date privind politica de exterminare a deținuților politici sub regimul comunist și condițiile în care s-au petrecut crimele<sup>14</sup>. Drept urmare, au fost investigate o serie întreagă de puncte în care au fost îngropate victime ale aparatului de represiune comunist<sup>15</sup>. Deși incontestabil meritorii, cercetările arheologice inițiate de I.I.C.C.R. au constat până acum aproape exclusiv<sup>16</sup> din lucrări de exhumare, motiv pentru care ele pot fi caracterizate mai degrabă ca un demers de antropologie legală, ce utilizează metode de săpătură specifice arheologiei, și mai puțin ca arheologie<sup>17</sup>. În acest tip de demers, cultura materială se constituie doar într-un pretext pentru a aborda teme considerate a fi mai importante și situate dincolo de obiectele propriu-zise, cum sunt reconstituirea istorică a evenimentelor și, în sens mai larg, caracterul criminal al regimului totalitar comunist. Astfel, cultura materială este redusă, pe de o parte, la simplul statut juridic de „probă” ce nu face altceva decât să (re)confirme informații cunoscute deja din sursele scrise sau orale, iar pe de altă parte, la cel de simbol al unor evenimente traumatice. Paradoxal, o astfel de arheologie ignoră practic cultura materială<sup>18</sup>.

Un demers arheologic în adevăratul sens al cuvântului trebuie să aibă drept obiectiv însăși materialitatea, în cazul de față cea a represiunii comuniste. Urmându-l pe Laurent Olivier, principala premisă de la care pornim este aceea conform căreia vestigiile arheologice sunt „memorie materializată”<sup>19</sup>. Aceste vestigii se constituie în „memoria materială” a trecutului și reprezintă, alături de „memoria psihică a trecutului” (*i.e.* mărturiile și

<sup>6</sup> Kola 2005.

<sup>7</sup> Jankauskas *et al.* 2005.

<sup>8</sup> Dolf-Bonekämper 2002; van der Hoorn 2003; Schofield 2009, Capitolul 4; Klausmeier 2009.

<sup>9</sup> Gallinat 2006; Mark 2010.

<sup>10</sup> Farmer 1995; vezi și Beech 2002.

<sup>11</sup> Falquina Aparicio *et al.* 2008; González-Ruibal 2012.

<sup>12</sup> Gilead *et al.* 2009.

<sup>13</sup> Olsen, Witmore 2012.

<sup>14</sup> *E.g.* Raport 2006, p. 4.

<sup>15</sup> *E.g.* Petrov 2007; Petrov, Budeancă 2007.

<sup>16</sup> O excepție o reprezintă săpăturile efectuate de I.I.C.C.M.E.R. în interiorul penitenciarului din Aiud în vederea recuperării unor săbii ce au aparținut unor membri ai Armatei Regale și care au fost ascunse de câțiva deținuți politici (vezi comunicatul de presă din 2013: [http://www.iiccr.ro/ro/presa/comunicate/comunicate\\_de\\_presa\\_2013/iiccrmer\\_reia\\_sapaturile\\_in\\_penitenciarul\\_aiud\\_pentru\\_recuperarea\\_unor\\_sabii\\_de\\_o\\_valoare\\_istorica\\_inestimabila/](http://www.iiccr.ro/ro/presa/comunicate/comunicate_de_presa_2013/iiccrmer_reia_sapaturile_in_penitenciarul_aiud_pentru_recuperarea_unor_sabii_de_o_valoare_istorica_inestimabila/); accesat: 2 iunie 2013).

<sup>17</sup> Vezi Olivier 2001.

<sup>18</sup> Vezi Olsen 2003.

<sup>19</sup> Olivier 2008.

tradițiile colective ce comemorează locuri sau evenimente ale trecutului) și de memoria scrisă (*i.e.* sursele scrise sau mențiunile istorice), una dintre formele prin care trecutul continuă să existe în prezent<sup>20</sup>. În consecință, demersul nostru nu își propune să aducă noi date sau confirmări privind evenimentele istorice, ci are în vedere manierele în care trecutul este conținut în prezent, în elementele materiale ce au aparținut fostei colonii de muncă forțată de la Poarta Albă. Din această perspectivă, sunt relevante în egală măsură atât urmele materiale din perioada represiunii comuniste, cât și cele ulterioare abandonării lucrărilor la Canal, deoarece ambele compun memoria și destinul acestui loc încărcat de suferință.

#### CERCETĂRILE ARHEOLOGICE DE SUPRAFAȚĂ DIN AUGUST 2012

Ca preambul la o viitoare săpătură arheologică în cadrul fostei colonii de muncă forțată, în vara anului 2012 ne-am deplasat timp de două zile la Poarta Albă (fig. 2). Situl se află la aproximativ 5,5 km nord-est de satul Poarta Albă și la 2 km nord-est de satul Nazarcea, pe malul drept al Canalului Carasu–Poarta Albă–Năvodari, în dreptul unei monu-mentale depuneri de pământ (aproximativ 550 m lungime × 230 m lățime și o înălțime mai mare de 15 m de la bază, având o structură oarecum piramidală, dimensiunile corespunzând bazei), provenite cel mai probabil de la excavările făcute în zonă pentru realizarea Canalului. Coordonatele exacte sunt: 44° 13' 55.1945" latitudine nordică; 28° 27' 28.7934" longitudine estică; X = 776228.587; Y = 309453.677 (coordonate în proiecție Stereografică 1970). Scopul deplasării noastre a fost acela de a efectua o cercetare de suprafață a zonei în care va fi construită mănăstirea și de a realiza un plan topografic al acestei zone.

Din fosta colonie de muncă, se poate răzbate cu privirea până departe, în toate direcțiile. Înspre nord-vest, în câmpul vizual se interpun parțial depunerea mare de pământ și, mai ales, malul opus al Canalului. Înspre sud-est perspectiva este limitată doar de faptul că terenul este mai ridicat (fig. 3). Aflându-te acolo și privind în jur, senzația este aceea de spațiu deschis, pustiu. Senzația este accentuată și de faptul că, exceptând iarba, în peisajul înconjurător nu există niciun fel de vegetație. Absența vegetației și formele de relief antropice

crează oarecum o imagine dezolantă. Spațiul deschis și fără copaci este pârjolit de căldură, pătruns de frig sau străbătut de vânt. În ciuda acestei impresii de pustietate, culorile cerului, ierbiile sau ale terenurilor cultivate din apropiere, împreună cu varietatea de lumini din decursul zilei, fac ca peisajul să aibă propriul său farmec.

Suprafața cercetată a fost convențional împărțită în două sectoare, în funcție de drumul Nazarcea–Poiana care le separă: sectorul de nord-vest și cel de sud-est (fig. 3). La data la care am efectuat cercetarea în ambele sectoare se găseau răspândite numeroase gunoaie, dintre cele mai diverse, deși nu a fost un spațiu special utilizat pentru depozitarea gunoiului. Conform datelor de expirare înscrise pe o serie de ambalaje și recipiente, resturile pot fi încadrate în intervalul de timp 2005 (expirare: 2006)–2012 (expirare: 2013). În plus, în sectorul de nord-vest se mai aflau aglomerări de deșeuri, unele cu aspectul unor movilițe (notate pe plan cu „M”), aglomerări de cioburi de sticlă, o movilă de bitum, fragmente masive de beton, gropi cu gunoaie și gropi săpate pe traseul unei conducte.

În *sectorul de sud-est* am înregistrat un număr de șapte construcții, pe care le-am denumit neutru „unități” (notate cu „U”, fig. 4). Atribuirea am făcut-o pe baza unor segmente de piatră și ciment vizibile în structura așa-ziselor „unități” (fig. 5). O „unitate” are beci (fig. 6). Unele dintre aceste „unități” au aspectul unor movilițe. Celelalte patru movilițe din sectorul de sud-est (notate tot cu „U”) este posibil să aparțină tot unor „unități”, dar nu era expus niciun segment din structura lor. Alături de aceste „unități” am mai înregistrat: o groapă de piatră de mici dimensiuni, în asociere cu o „unitate”; o amenajare circulară de ciment, piatră și cărămidă; un „puț” de cărămidă și ciment; patru piloni de ciment și un „beci” de piatră. În terenul arat din același sector se mai găsea o aglomerare de materiale ce ar putea proveni de la o „unitate” deranjată sau distrusă. Este posibil ca toate „unitățile” înregistrate sau o parte dintre ele să fi aparținut fostei colonii de muncă forțată comuniste. Consultând o imagine aeriană a zonei, se poate observa că numărul de „unități” din sectorul de sud-est este mai mare (fig. 7), dar respectivele „unități” nu erau vizibile la suprafața solului în momentul în care am întreprins cercetările.

În *sectorul de nord-vest* am identificat la suprafață o „unitate” în elevație și una chiar la nivelul solului. Din structura primei se vedeau treptele, în număr de trei, și fragmente de la o

<sup>20</sup> Olivier 2000.

platformă de ciment, restul fiind acoperit de pământ și iarbă (fig. 8). În cazul celei de-a doua „unități”, se putea urmări parțial traseul pereților; după cum sugerează traseul unui perete despărțitor, această „unitate” pare să fi avut mai mult de o încăpere (fig. 9). Ambele „unități” ar fi putut aparține fostei colonii de muncă. O a treia „unitate” este ulterioară perioadei detenției politice, fiind un bazin pentru deparazitat oile (fig. 10).

Măsurătorile topografice au constatat în colectarea de date altimetrice în vederea realizării curbilor de nivel, măsurarea tuturor anomaliilor vizibile pe teren, anomalii ce au constatat în mici ridicături de pământ (movilițe), dar și gropi sau resturi de structuri de beton, ciment sau cărămidă arsă. Toate măsurătorile au fost efectuate cu o stație totală, în două etape: în prima etapă, s-au colectat datele altimetrice, iar în cea de-a doua, s-au colectat anomaliile prezente pe suprafața cercetată. Au fost utilizate trei puncte de sprijin pentru realizarea tuturor măsurătorilor, amplasate arbitrar, în funcție de vizibilitatea între puncte și zona ce urma a fi măsurată. Suprafața cercetată acoperă 13,24 Ha, perimetrul fiind de 1394 m. Terenul prezintă o ușoară înclinare către Canalul Carasu-Poarta Albă-Năvodari, pe axa NV-SE (vezi profil altimetric A-B), maximul pantei fiind de 4,41°, media fiind de 1,16°, ceea ce ar reprezenta o înclinare de aproximativ 2,03%. Înălțimea maximă pe suprafața cercetată este de 67,29 m<sup>21</sup>, iar cea minimă de 54,75 m.

### PERSPECTIVE

Pentru viitor, ar trebui cercetate prin săpături detaliate unele dintre „unități” (ideal ar fi toate), atât dintre cele care erau vizibile la suprafața solului și pe care le-am înregistrat, cât și dintre cele vizibile doar în imaginile aeriene. Demersul arheologic ar presupune investigarea relației dintre „unități” învecinate, precum și a spațiilor exterioare „unităților”. În cazul în care s-ar identifica oseminte umane, pe teren ar fi nevoie de prezența antropologilor.

Urmând exemplul cercetărilor de la Sværholt, din perimetrul fostei colonii de muncă forțată comuniste ar trebui recoltate probe de sol cu scopul determinării conținutului de fosfat anorganic, ce poate indica prezența în trecut a resturilor de oase sau a deșeurilor umane sau animale, dar și în

vederea analizei susceptibilității magnetice, ce poate indica expunerea la temperaturi înalte și, în consecință, prezența focurilor sau a vetrelor<sup>22</sup>.

Cercetările arheologice ar trebui dublate de informații culese, preferabil la fața locului, de la deținuți politici care au fost internați la Poarta Albă și de informații din arhivele fostei Securități privind planul și arhitectura lagărului.

Considerăm că merită acordată atenție inclusiv movilelor de deșeuri sau de pământ ce pot oferi date despre etapele biografice ulterioare detenției politice; pentru a le observa structura, pot fi realizate sondaje mecanice.

Pentru completarea datelor privind memoria locului sunt necesare interviuri cu populația locală de diferite vârste.

Pe lângă cercetările propriu-zise de la Poarta Albă, ar trebui verificate și alte colonii de muncă forțată de pe traseul Canalului.

Un obiectiv important de urmărit îl reprezintă legătura cu publicul. Drept urmare, ar fi necesară realizarea unor expoziții prin intermediul cărora să ajungă la public rezultatele săpăturilor arheologice, prezentate în relație cu documentele oficiale și mărturiile supraviețuitorilor.

### MUȚUMIRI

Dorim să ne exprimăm recunoștința față de Părintele Iustin Petre (Mănăstirea Sfântul Ioan Casian) și față de Părintele Ștefan (Mănăstirea Poarta Albă), pentru suportul necondiționat arătat față de demersul nostru. De asemenea, suntem recunoscători Valentinei Voina de la Muzeul de Istorie Națională și Arheologie Constanța pentru sprijinul acordat în vederea realizării cercetării din august 2012. Nu în ultimul rând, mulțumim lui Cosmin Ion și Marian Aurel Stanciu din satul Cheia (jud. Constanța) pentru ajutorul dat la realizarea măsurătorilor.

### REFERINȚE BIBLIOGRAFICE

- Beech 2002 – J. G. Beech, *The differing development paths of Second World War concentration camps and the possibility of an application of a principle of equifinality*, în: J. Schofield, W. Gray Johnson, C. M. Beck (ed.), *Matériel culture. The archaeology of twentieth-century conflict*, Londra și New York, 2002, p. 199–207.
- Dolf-Bonekämper 2002 – G. Dolf-Bonekämper, *The Berlin Wall: an archaeological site in progress*, în: J. Schofield, W. Gray Johnson, C. M. Beck (ed.), *Matériel culture. The archaeology of twentieth-century conflict*, Londra și New York, 2002, p. 236–248.
- Falquina Aparicio et al. 2008 – Á. Falquina Aparicio, P. Fermín Maguire, A. González Ruibal, C. Marín Suárez, A. Quintero Maqua, J. Rolland Calvo, *Arqueología de los destacamentos penales franquistas en el ferrocarril Madrid-Burgos: El caso de Bustarviejo*, Complutum 19, 2008, 2, p. 175–195.

<sup>21</sup> Referința altimetrică este Marea Neagră 1975.

<sup>22</sup> Olsen, Witmore 2012.



- Farmer 1995 – S. Farmer, *Symbols that face two ways: commemorating the victims of Nazism and Stalinism at Buchenwald and Sachsenhausen*, *Representations* 49, 1995, p. 97–119.
- Gallinat 2006 – A. Gallinat, 'Menacing buildings'. *Former political prisons and prisoners in eastern Germany*, *Anthropology Today* 22, 2006, 2, p. 19–20.
- Gilead et al. 2009 – I. Gilead, Y. Haimi, W. Mazurek, *Excavating Nazi extermination centres*, *Present Pasts* 1, 2009, p. 10–39.
- González-Ruibal 2012 – A. González-Ruibal, *From the battlefield to the labour camp: archaeology of civil war and dictatorship in Spain*, *Antiquity* 86, 2012, 332, p. 456–473.
- Jankauskas et al. 2005 – R. Jankauskas, A. Barkus, V. Urbanavičius, A. Garmus, *Forensic archaeology in Lithuania: the Tuskulėnai mass grave*, *Acta Medica Lituanica* 12, 2005, 1, p. 70–74.
- Jela 2006 – D. Jela, *Canalul Morții*, în: R. Cesereanu (coord.), *Comunism și represiune în România: istoria tematică a unui fratricid național*, Iași, 2006, p. 126–134.
- Klausmeier 2009 – A. Klausmeier, *Interpretation as a means of preservation policy or: whose heritage is the Berlin Wall?*, în: N. Forbes, R. Page, G. Pérez (ed.), *Europe's Deadly Century. Perspectives on 20th century conflict heritage*, Swindon, 2009, p. 97–105.
- Kola 2005 – A. Kola, *Archeologia zbrodni. Oficerowie polscy na cmentarzu ofiar NKWD w Charkowie*, Toruń, 2005.
- Mark 2010 – J. Mark, *What remains? Anti-communism, forensic archaeology, and retelling of the national past in Lithuania and Romania*, *Past and Present* 206 (supplement 5), 2010, p. 276–300.
- Olivier 2000 – L. Olivier, *L'impossible archéologie de la mémoire: à propos de W ou le souvenir d'enfance de Georges Perec*, *EJA* 3, 2000, 3, p. 387–406.
- Olivier 2001 – L. Olivier, *The archaeology of the contemporary past*, în: V. Buchli, G. Lucas (ed.), *Archaeologies of the contemporary past*, Londra și New York, 2001, p. 175–188.
- Olivier 2008 – L. Olivier, *Le Sombre abîme du temps. Mémoire et archéologie*, Paris, 2008.
- Olsen 2003 – B. Olsen, *Material culture after text: remembering things*, *NAR* 36, 2003, 2, p. 87–104.
- Olsen, Witmore 2012 – B. Olsen, C. Witmore, *Sværholt: memories of a northern war site*, <http://ruinmemories.org/2012/03/svaerholt-memories-of-a-northern-war-site/> (accesat: 5 noiembrie 2012).
- Petrov 2007 – Gh. Petrov, *Raport privind deshumarea osemintelor lui Tira Geza din cimitirul greco-catolic din Satu Mare*, [http://www.crimelecomunismului.ro/pdf/ro/investigatii\\_speciale/raport\\_satu\\_mare\\_oct2007.pdf](http://www.crimelecomunismului.ro/pdf/ro/investigatii_speciale/raport_satu_mare_oct2007.pdf) (accesat: 17 septembrie 2008).
- Petrov, Budeancă 2007 – Gh. Petrov, C. Budeancă, *Raport privind sondajele arheologice efectuate în satul Hălmășău, com. Spermezeu, și pe Dealul Șasa-Poieni (jud. Bistrița-Năsăud) 24–25.04.2007*, [http://www.crimelecomunismului.ro/pdf/ro/investigatii\\_speciale/raport\\_spermezeu.pdf](http://www.crimelecomunismului.ro/pdf/ro/investigatii_speciale/raport_spermezeu.pdf) (accesat: 17 septembrie 2008).
- Pomazanski 2008 – M. Pomazanski, *Proslăvirea Sfinților*, în: D. Vasile (coord.), *Din temnițe spre sinaxare: despre mucenicii prigoanei comuniste*, Galați, 2008, p. 181–203.
- Schofield 2009 – J. Schofield, *Aftermath. Readings in the archaeology of recent conflict*, New York, 2009.
- Raport 2006 – *Institutul de Investigare a Crimelor Comunismului în România. Direcția generală investigații. Raport de activitate (mai–decembrie 2006)*: [http://www.crimelecomunismului.ro/pdf/ro/rapoarte/raport\\_de\\_activitate\\_2006.pdf](http://www.crimelecomunismului.ro/pdf/ro/rapoarte/raport_de_activitate_2006.pdf) (accesat: 2 ianuarie 2012).
- Tismăneanu et al. 2007 – V. Tismăneanu, D. Dobrinu, C. Vasile (ed.), *Comisia prezidențială pentru analiza dictaturii comuniste din România: raport final*, București, 2007.
- van der Hoorn 2003 – M. van der Hoorn, M. (2003), *Exorcizing remains. Architectural fragments as intermediaries between history and individual experience*, *JMC* 8, 2003, 2, p. 189–213.

#### LISTA ILUSTRAȚIEI

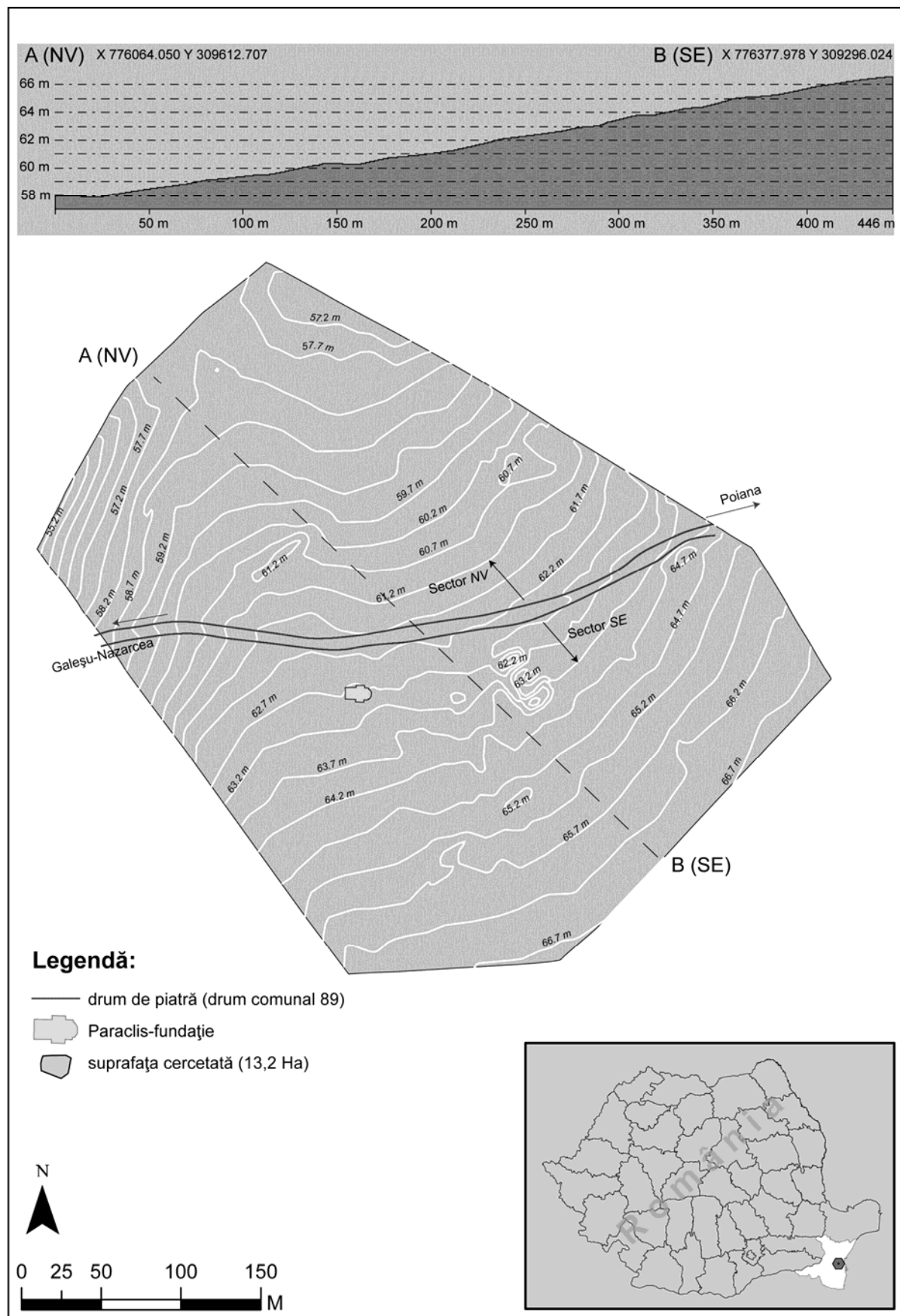
- Fig. 1. Poarta Albă: fundațiile paraclisului (sursa: toate fotografiile au fost făcute de Radu-Alexandru Dragoman).
- Fig. 2. Poarta Albă: vedere generală asupra sitului.
- Fig. 3. Poarta Albă: arealul cercetat în august 2012 (sursa: toate planurile topografice au fost făcute de Mihai Florea).
- Fig. 4. Poarta Albă: „unități”.
- Fig. 5. Poarta Albă, sectorul de sud-est: segment vizibil din structura unei „unități”.
- Fig. 6. Poarta Albă, sectorul de sud-est: „unitate” cu beci.
- Fig. 7. Poarta Albă: imagine aeriană.
- Fig. 8. Poarta Albă, sectorul de nord-vest: „unitate” cu aspect de moviliță, cu trepte și platformă din ciment.
- Fig. 9. Poarta Albă, sectorul de nord-vest: perete despărțitor al unei „unități”.
- Fig. 10. Poarta Albă, sectorul de nord-vest: bazin utilizat pentru deparazitarea oilor.



Fig. 1. Poarta Albă: fundațiile paraclisului (sursa: toate fotografiile au fost făcute de Radu-Alexandru Dragoman).



Fig. 2. Poarta Albă: vedere generală asupra sitului.



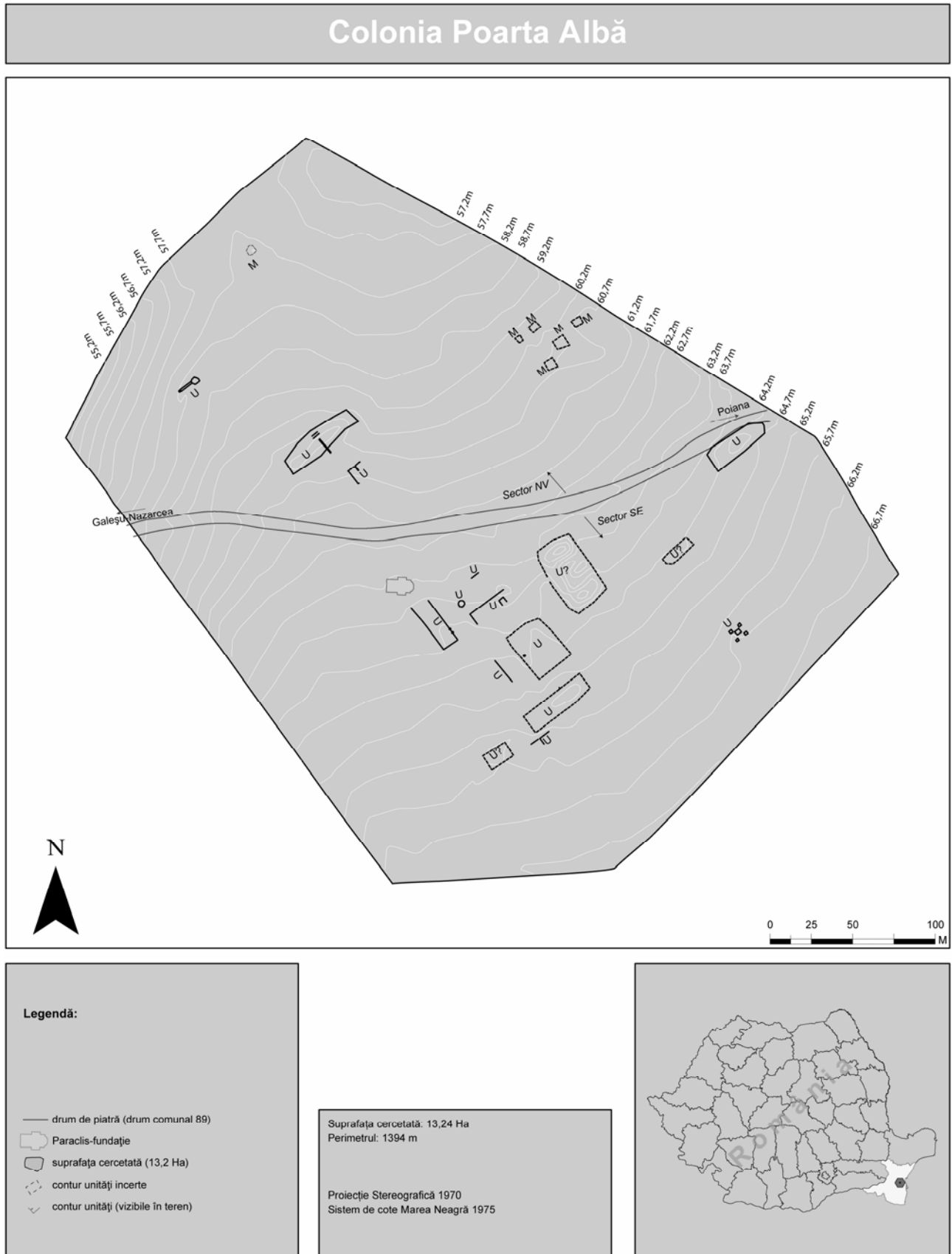


Fig. 4. Poarta Albă: „unități”.



Fig. 5. Poarta Albă, sectorul de sud-est: segment vizibil din structura unei „unități”.



Fig. 6. Poarta Albă, sectorul de sud-est: „unitate” cu beci.



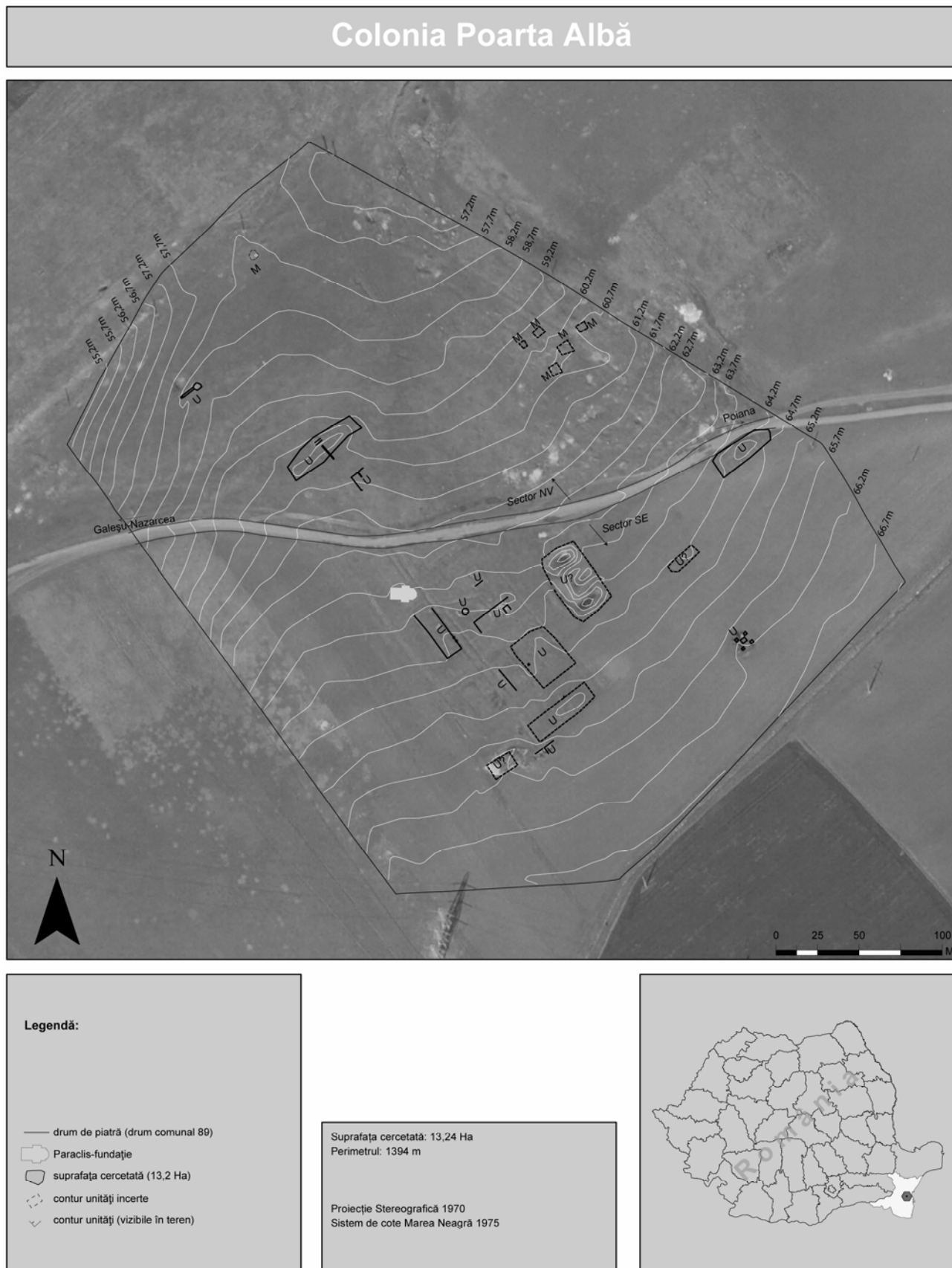


Fig. 7. Poarta Albă: imagine aeriană.



Fig. 8. Poarta Albă, sectorul de nord-vest: „unitate” cu aspect de moviliță, cu trepte și platformă din ciment.



Fig. 9. Poarta Albă, sectorul de nord-vest: perete despărțitor al unei „unități”.



Fig. 10. Poarta Albă, sectorul de nord-vest: bazin utilizat pentru deparazitarea oilor.

**ACADEMIA ROMÂNĂ**  
**INSTITUTUL DE ARHEOLOGIE „VASILE PÂRVAN”**

**MATERIALE  
ȘI  
CERCETĂRI  
ARHEOLOGICE**

**SERIE NOUĂ  
IX**

**2013**



**EDITURA ACADEMIEI ROMÂNE**  
**BUCUREȘTI, 2013**

## **Colegiul de redacție**

**PROF. DR. ALEXANDRU BARNEA** (Universitatea București), **DR. SANDA BALESCU** (Université des Sciences et Technologies de Lille, Laboratoire de Préhistoire et Quaternaire, CNRS), **PROF. DR. CLIVE BONSALL** (University of Edinburgh), **PROF. DR. NIKOLAUS BOROFFKA** (Deutsches Archäologisches Institut – Eurasien Abteilung, Berlin, Germany), **DR. GH. I. CANTACUZINO** (Institutul de „Arheologie Vasile Pârvan” București), **DR. UWE FIEDLER** (Berlin), **DR. RADU HARHOIU** (Institutul de Arheologie „Vasile Pârvan” București), **DR. ANNIE RENOUX** (Université du Maine, Le Mans), **PROF. DR. ERIK TRINKAUS** (Department of Anthropology, Washington University), **PROF. DR. ALAIN TUFFREAU** (Université des Sciences et Technologies de Lille, Laboratoire de Préhistoire et Quaternaire), **ACAD. ALEXANDRU VULPE** (Institutul de Arheologie „Vasile Pârvan” București).

## **Comitetul de redacție**

**ROXANA DOBRESCU** – redactor-șef

**ADRIAN IONIȚĂ** – redactor-șef adjunct

**IRINA ACHIM, ADINA BORONEANȚ, ADRIAN DOBOȘ, LIANA OȚA, ADRIANA PANAITE, DANIEL SPÂNU, VLAD VINTILĂ ZIRRA** – membri

**LILIANA ZAHARIA** – secretar de redacție

Redactor Editura Academiei Române: **ADRIAN MIRCEA DOBRE**

Tehnoredactor Editura Academiei Române: **DOINA STOIA**

Revista se poate procura contracost la sediul EDITURII ACADEMIEI ROMÂNE, Calea 13 Septembrie nr. 13, sector 5, 050711, București, România; tel. 4021-318 8146, 4021-318 8106, Fax 4021-318 2444, e-mail: [edacad@ear.ro](mailto:edacad@ear.ro).

ORION PRESS IMPEX 2000 S.R.L., P.O. Box 77-19, sector 3, București, România, Tel./Fax: 4021-610 6765, 4021-210 6787, Tel.: 0311 044 668, e-mail: [office@orionpress.ro](mailto:office@orionpress.ro).

S.C. MANPRES DISTRIBUTION S.R.L., Piața Presei Libere, nr. 1, Corp B, Etaj 3, Cam. 301–302, sector 1, București, România, tel./fax: (4021) 314 6339, e-mail: [abonamente@manpres.ro](mailto:abonamente@manpres.ro), [office@manpres.ro](mailto:office@manpres.ro), [www.romanianjournals.com](http://www.romanianjournals.com).

DEREX COM S.R.L., e-mail: [derex\\_com@yahoo.com](mailto:derex_com@yahoo.com)

Orice corespondență se va trimite Colegiului de redacție pe adresa: str. Henri Coandă 11, 010667 București, tel./fax 4021 212 88 62. și [redactie\\_iab@yahoo.com](mailto:redactie_iab@yahoo.com)

Normele de redactare a manuscriselor și lista abrevierilor folosite în revistă sunt în general aceleași ca în celelalte publicații ale Institutului de Arheologie. În măsura în care vom elabora alte norme, ne obligăm să le publicăm în numărul următor.

© 2013, EDITURA ACADEMIEI ROMÂNE



## SUMAR

ALAIN TUFFREAU, ROXANA DOBRESU, SANDA BALESCU, MĂDĂLIN CORNEL VĂLEANU, Boinești (département de Satu-Mare), Moustérien, Aurignacien et processus taphonomiques .....	7
ALEXANDRU CIORNEI, Petrografia silicolitelor din siturile Paleoliticului superior de pe Valea Dunării. Caracteristici și proveniență .....	41
MIHAI GLIGOR, MARIANA ROȘU, CĂLIN ȘUTEU, New Evidence on Burial Practices in Petrești Culture .....	67
CAMELIA-MIRELA VINTILĂ, CARMEN PAVEL, MARIAN NEAGU, Noi aspecte ale plasticii antropomorfe descoperite la Dunărea de Jos .....	83
ALIN FRÎNCULEASA, BIANCA PREDA, OCTAV NEGREA, ANDREI DORIAN SOFICARU, Cercetări arheologice în cimitirul din epoca bronzului târziu de la Câmpina (jud. Prahova) – campaniile 2011 și 2012 .....	97
DANIEL SPÂNU, Fibule „de tip hibrid”?	145
MIRCEA DABÎCA, Noi cercetări arheologice în partea de sud a cetății Histria. Campaniile 2003–2009 .....	157
ALEXANDRU BĂDESCU – Amfore orientale de tip Kapitän II descoperite la <i>Histria</i> în Sectorul <i>Basilica extra muros</i> .....	189
ANNAMARIA DIANA, MIHAI MEȘTER, Meeting an Early Medieval Community: A Preliminary Analysis of the Human Skeletal Remains from the Jucu Cemetery (Cluj-Napoca, Romania) .....	3; ;
BOGDAN CIUPERCĂ, ANDREI MĂGUREANU, EUGEN PAVELEȚ, DORIN SÂRBU, Cercetări arheologice în Curtea Domnească de la Târgșoru Vechi .....	219
RADU-ALEXANDRU DRAGOMAN, MIHAI FLOREA, Preambul la o cercetare arheologică a fostei colonii de muncă forțată din perioada comunistă de la Poarta Albă, România .....	231

## RECENZII

Laurent Carozza, Cătălin Bem, Cristian Micu (eds.), <i>Société et environnement dans la zone du Bas Danube durant le 5<sup>ème</sup> millénaire avant notre ère</i> , Editura Universității „Alexandru Ioan Cuza”, Iași, 2011, 413 p. (Cristian Eduard Ștefan) .....	243
<b>Abrevieri</b> .....	245



## SOMMAIRE

ALAIN TUFFREAU, ROXANA DOBRESU, SANDA BALESCU, MĂDĂLIN CORNEL VĂLEANU, Boinești (département de Satu-Mare), Moustérien, Aurignacien et processus taphonomiques .....	7
ALEXANDRU CIORNEI, Petrografia silicolitelor din siturile Paleoliticului superior de pe Valea Dunării. Caracteristici și proveniență.....	41
MIHAI GLIGOR, MARIANA ROȘU, CĂLIN ȘUTEU, New Evidence on Burial Practices in Petrești Culture .....	67
CAMELIA-MIRELA VINTILĂ, CARMEN PAVEL, MARIAN NEAGU, Several antropomorphic figurines found during the excavations on the Vidra tell .....	83
ALIN FRÎNCULEASA, BIANCA PREDA, OCTAV NEGREA, ANDREI DORIAN SOFICARU, Archaeological research in the Bronze Age cemetery at Câmpina (Prahova county) – campaigns 2011 și 2012.....	97
DANIEL SPÂNU, Fibule „de tip hibrid”? .....	145
MIRCEA DABÎCA, Les principaux résultats des fouilles menées entre 2003 et 2009 à Histria, dans le périmètre du Secteur sud .....	157
ALEXANDRU BĂDESCU – Amphoras Kapitän II discovered at Histria, in extra muros Basilica .....	189
ANNAMARIA DIANA, MIHAI MEȘTER, Meeting an Early Medieval Community: A Preliminary Analysis of the Human Skeletal Remains from the Jucu Cemetery (Cluj-Napoca, Romania) .....	3; ;
BOGDAN CIUPERCĂ, ANDREI MĂGUREANU, EUGEN PAVELEȚ, DORIN SÂRBU, Archaeological research Cercetări arheologice în Curtea Domnească de la Târgșoru Vechi.....	219
RADU-ALEXANDRU DRAGOMAN, MIHAI FLOREA, Preamble of planned archaeological research in the former forced labor camp from the communist period at Poarta Albă, Romania .....	231

## COMPTE-RENDUS

Laurent Carozza, Cătălin Bem, Cristian Micu (eds.), <i>Société et environnement dans la zone du Bas Danube durant le 5<sup>ème</sup> millénaire avant notre ère</i> , Editura Universității “Alexandru Ioan Cuza”, Iași, 2011, 413 p. (Cristian Eduard Ștefan) .....	243
<b>Abréviations</b> .....	245

Laurent Carozza, Cătălin Bem, Cristian Micu (eds.), *Société et environnement dans la zone du Bas Danube durant le 5<sup>ème</sup> millénaire avant notre ère*, Editura Universității „Alexandru Ioan Cuza”, Iași, 2011, 413 pagini.

Volumul este structurat în două mari părți, prima cuprinzând cinci capitole, iar cea de-a doua zece capitole, ambele părți precedate de un *Cuvânt Înainte* care îi aparține Silviei Marinescu-Bîlcu și o scurtă *Introducere* redactată de cei trei editori.

Prima parte, cu cele 5 capitole, intitulată *Les recherches Chronos en Dobroudja. Une vue générale*, se dorește o trecere în revistă a rezultatelor cercetării derulate în cadrul proiectului *Chronos – chronologie et interactions humaines au cours de la période néolithique*, rod al colaborării mai multor muzee și instituții de profil din țară, dintre care se detașează Muzeul Național de Istorie a României și Institutul de Cercetări Eco-Muzeale din Tulcea.

**Capitolul 1**, redactat de Cătălin Bem, ne furnizează un necesar corpus al așezărilor gumelnițene din Dobrogea, cu adăugarea unor situri de epocă precedentă (Boian-Spanțov), dar și imediat ulterioară (Cernavoda I). Este scris sub forma unui catalog cu fișe-standard, care cuprinde codurile RAN și LMI ale siturilor, coordonatele ST 70 ale unui punct din situl respectiv, o scurtă descriere a situației și bibliografia aferentă. Încercând să transformăm coordonatele Stereo 70 în coordonate WGS84 prin programul TransDatRo 4.01, ne-a fost imposibil cu x-ul și y-ul publicate în acest capitol, dar inversate ne deuceau exact în așezările respective.

**Capitolul 2**, scris de Constantin Haită, se dorește o schiță geografică și geologică a Dobrogei, în care după o descriere sumară a cadrului geografic și după o discuție necesară asupra evoluției litoralului românesc al Mării Negre de-a lungul Holocenului sunt discutate posibilele surse de materie primă care au stat la baza industriei litice relativ bogate descoperite în majoritatea așezărilor preistorice din Dobrogea.

**Capitolul 3**, redactat de Constantin Haită și Cătălin Bem, ne oferă date foarte interesante obținute din analiza unor situri pluristratificate din Dobrogea (*tell*-urile de la Lunca, Greci și Ostrov). Carotajele realizate în diverse puncte din aria celor trei așezări au dus la observații interesante cum ar fi: succesiunea și tipurile de locuire din coloana stratigrafică obținută, intensitatea locuirii sau perioada în care a fost fondată așezarea respectivă.

**Capitolul 4**, realizat de Andrei Asăndulesei, Felix-Adrian Tencariu și Vasile Cotiugă, cuprinde o analiză a metodelor non-invasive din arheologie, în special aplicarea magnetometriei cu cesiu în așezările gumelnițene din Dobrogea. După descrierea metodei și a instrumentelor folosite, sunt prezentate șase studii de caz (Adâncata, Cochirleni, Rasova, Zorile-Cișmea 2, Carcaliu-Vadul Mare și Lunca-Pensiune). În unele dintre cazuri au putut fi identificate structuri interpretate ca fiind de natură arheologică sau delimitări ale așezărilor.

**Capitolul 5**, redactat de Cătălin Bem, reprezintă o analiză consistentă a locuirii gumelnițene din Dobrogea. Pe parcursul celor 80 de pagini sunt trecute în revistă o serie de aspecte cum ar fi prezența controversată a fazei Boian-Spanțov în

Dobrogea, relația Gumelnița-Cernavoda I, datele radiocarbon obținute pentru siturile gumelnițene, căile de pătrundere în Dobrogea. Așezările sunt grupate după o serie de variabile cum ar fi distribuția, tipologia siturilor, distanța principală, poziția logistică și vizibilitatea. După aceste criterii, au fost stabilite următoarele grupe: Hârșova (6 așezări), Cernavoda (11 așezări), Medgidia (4 așezări), Constanța (6 așezări), Casimcea (15 așezări), Histria (6 așezări), Lunca (3 așezări), Sarichioi (6 așezări), Luncavița (9 așezări), Greci (8 așezări), Kalipetrovo (3 așezări), Lacul Mârleanu-Văleni (6 așezări), Rasova-Șipotele (11 așezări), Curcani (6 așezări) și Lacul Mangalia (8 așezări).

Acest tip de analiză foarte aplicat a determinat elaborarea unor concluzii pertinente, dintre care cea mai importantă ni se pare cea referitoare la strategia de a identifica noi situri după un model predictiv rezultat din analiza menționată mai sus.

A doua parte a volumului ne furnizează 10 studii realizate în cadrul proiectului *Mission archéologique «Delta du Danube – Société et environnement dans le delta du Danube»*, proiect derulat în ultimii ani cu sprijinul Ministerului francez al Afacerilor Externe și Europene.

**Capitolul 1**, redactat de Laurent Carozza, Cristian Micu și Jean-Michel Carozza, prezintă, în linii mari, problematica și contextul proiectului privind arheologia Deltei Dunării. Prin mai multe tipuri de cercetare s-a dorit atingerea mai multor obiective prin care să înțelegem mai bine evoluția acestui interesant areal de pe teritoriul țării noastre.

**Capitolul 2**, scris de Jean-Michel Carozza, tratează un subiect foarte interesant, care a fost abordat și în anii precedenți de către alți specialiști: formarea Deltei Dunării. Considerate până acum imposibil de realizat, cercetările arheologice din Delta Dunării coroborate cu reconstrucțiile paleogeografice ne pot da o idee despre viața primilor locuitori ai zonei din epoca preistorică.

**Capitolul 3**, elaborat de Cristian Micu, Sorin Ailincăi și Aurel Stănică, ne prezintă istoricul cercetărilor din zona Deltei Dunării. Primul proiect pus în practică încă din 1966 de către Muzeul Deltei Dunării din Tulcea viza două probleme majore: geneza deltei și aportul datelor arheologice la o posibilă cronologie și modalitățile de populare prin analiza urmelor de locuire și caracterizarea modului de viață. S-a constatat prezența neîntreruptă a oamenilor în zonă din antichitate până în zilele noastre. Cercetările arheologice întreprinse și în alte obiective (Chilia Veche, Nufăru, Taraschina) au pus în evidență descoperiri din epoci diverse (neolitic, bronz timpuriu, perioada bizantină), dovedind o dată în plus locuirea neîntreruptă a acestor locuri din cele mai vechi timpuri până astăzi.

**Capitolul 4**, redactat de Laurent Carozza, Cristian Micu, Mihai Florea, Albane Burens, Florian Mihail, Sorin Ailincăi, Adrian Bălășescu, Valentin Radu și Cătălin Mihail, reprezintă o sinteză a observațiilor asupra locuirii eneolitice de la Taraschina. Sunt analizate topografia și limitele așezării,

rezultatele cercetărilor de suprafață și a două sondaje efectuate în sit. Au fost descoperite câteva complexe (gropi) care au livrat o cantitate relativ mare de materiale arheologice și au fost obținute date radiocarbon ce indică faza A1 a culturii Gumelnița.

**Capitolul 5**, scris de Laurent Carozza, Jean-Michel Carozza, Constantin Haită, François Lévêque, Gicu Opreanu, Valentin Radu și Cătălin Mihail, prezintă rezultatele unor carotaje efectuate în așezarea de la Taraschina-*Mila 23* și în afara acesteia. Sunt prezentate metoda și rezultatele cu ajutorul cărora s-a obținut o istorie a zonei din punct de vedere geomorfologic și arheologic. Numeroasele date radiocarbon nuanțează analiza și ne indică faza A1 a culturii Gumelnița.

**Capitolul 6**, elaborat de Laurent Carozza, Cristian Micu, Albane Burens, Sorin Ailincăi, Florian Mihail și Cătălin Mihail, ne prezintă rezultatele cercetărilor arheologice propriu-zise din așezarea de la Taraschina. Prin metoda unităților stratigrafice, sunt puse în evidență o serie de structuri de locuire, este analizat materialul arheologic recoltat, fiind analizată în detaliu descoperirea unei figurine de os, în context asigurat – „silozul” Si 1134. Merită subliniată aici calitatea deosebită a săpăturilor arheologice și a metodei de înregistrare, care fac din Taraschina un model pentru cercetările arheologice din România, care deseori cad pradă superficialității sau ideii complet greșite că cercetările arheologice se pot face oricum (fără studii interdisciplinare, cu fonduri meschine etc.).

**Capitolul 7**, autor Constantin Haită, prezintă primele rezultate ale unui studiu micromorfologic al secvenței superioare de locuire de la Taraschina. Sunt prezentate tipul de eșantionaj, metodologia folosită, o necesară descriere micromorfologică și o scurtă discuție pe tema abordată. Concluziile preliminare duc spre ideea unei locuiri sezoniere sau temporare în secvența superioară de locuire de la Taraschina, fără formarea unor niveluri de soluri antropice, însoțite de episoade de acumulare a unor aluviuni fine.

**Capitolul 8**, redactat de Robin Furestier și Florian Mihail, se referă la industria litică cioplită de la Taraschina. Sunt analizate 157 de piese litice, clasate pe tipuri; sunt analizate și tipurile de materie primă. Interesantă ni se pare harta de la Fig. 5 care ne indică 10 surse de materie primă cunoscute până acum în Dobrogea. Sunt abordate apoi aspecte ce țin de producția uneltelor de silex, structura utilajului litic, concluziile mergând către aspecte foarte interesante: cel mai spectaculos ni se pare observația conform căreia aceeași piesă a avut trei

utilizări succesive – fragment de lamă à bord abbatu/ gratoar/ pièce esquillée.

**Capitolul 9**, elaborat de Adrian Bălășescu și Valentin Radu, ne prezintă elemente de paleoeconomie animalieră și de reconstrucție a mediului cu ajutorul datelor de la Taraschina-*Mila 23*. După o introducere și o evaluare a stării de conservare a faunei, ne este prezentată metoda de lucru, apoi se trece la analiza de detaliu a lotului faunistic, pe structuri de locuire. Strategia exploatarea animalelor la Taraschina se făcea pe mai multe paliere: culesul moluștelor, pescuitul și exploatarea mamiferelor, în care un rol important îl jucau animalele domestice (în special caprinele și bovinele, dar și porcul). De asemenea, vânatul avea un rol important în completarea dietei comunităților preistorice de la Taraschina (11 specii sălbatice identificate). O observație foarte interesantă este aceea conform căreia la Taraschina se observă o supraviețuire a unor caracteristici ale paleoeconomiei animaliere din perioada Hamangia, fapt ce diferențiază această așezare de altele contemporane din Dobrogea.

**Capitolul 10**, redactat de Laurent Carozza, Cristian Micu, Jean-Michel Carozza, Adrian Bălășescu, Constantin Haită, Valentin Radu, Albane Burens, Robin Furestier, Florian Mihail, Sorin Ailincăi și Mihai Florea, critică modelele catastrofice prezentate de diverși autori în legătură cu neoliticul dobrogean, mergând pe o mai mare capacitate de adaptare a comunităților eneolitice din zonă la diversele provocări ale mediului înconjurător. Sunt discutate apoi cronologia formării Deltei Dunării, în care problema re conectării dintre Marea Neagră și Marea Mediterană pune încă probleme de cronologie, precum și poziția extraordinară a tell-ului de la Taraschina, ca martor al schimbărilor de mediu în milenii VI–V BC.

Apărut în condiții grafice excepționale, cu texte de o calitate remarcabilă și ilustrații pe măsură, volumul de față se constituie într-un model de analiză a comunităților neolite, valabil nu numai pentru spațiul dobrogean, el fiind aplicabil în orice areal din această perioadă și nu numai. Volumul se constituie totodată și într-o pledoarie a realizării cercetărilor arheologice în cadrul unor proiecte de anvergură, în care latura financiară nu mai poate fi neglijată.

*Cristian Eduard Ștefan*

Institutul de Arheologie „Vasile Pârvan” al Academiei Române, București; e.mail: cristarh\_1978@yahoo.com



## ABREVIERI

AnB – Analele Banatului, Timișoara  
AÉ. – Archeologiai Értesítő, Budapesta  
A.M.I.A.P. – Anuarul Muzeului Județean de Istorie și Arheologie  
Prahova  
CA – Cercetări Arheologice, București  
CAB – Cercetări Arheologice în București, București  
CCA – Cronica cercetărilor arheologice din România  
CCDJ – Cultură și Civilizație la Dunărea de Jos, Călărași  
DRH – Documenta Romaniae Historica, București  
DRH C. – Transilvania, Vol. XI (1356–1360), București, 1981  
DRH C. – Transilvania, Vol. XII (1361–1365), București,  
1985

MCA – Materiale și Cercetări Arheologice, București  
MN – Muzeul Național, București  
Mousaios – Mousaios. Buletinul Muzeului Județean Buzău,  
Buzău  
PZ – Prähistorische Zeitschrift, Leipzig – Berlin  
RMM-MIA – Revista muzeelor și monumentelor, seria  
monumente istorice și de artă, București  
SIB – Studii de Istorie a Banatului, Timișoara  
SP – Studii de Preistorie, București  
StMatPloiești – Studii și Materiale privind trecutul istoric al  
județului Prahova, Ploiești  
UPA – Zeitschrift für Papyrologie und Epigraphik, Bonn